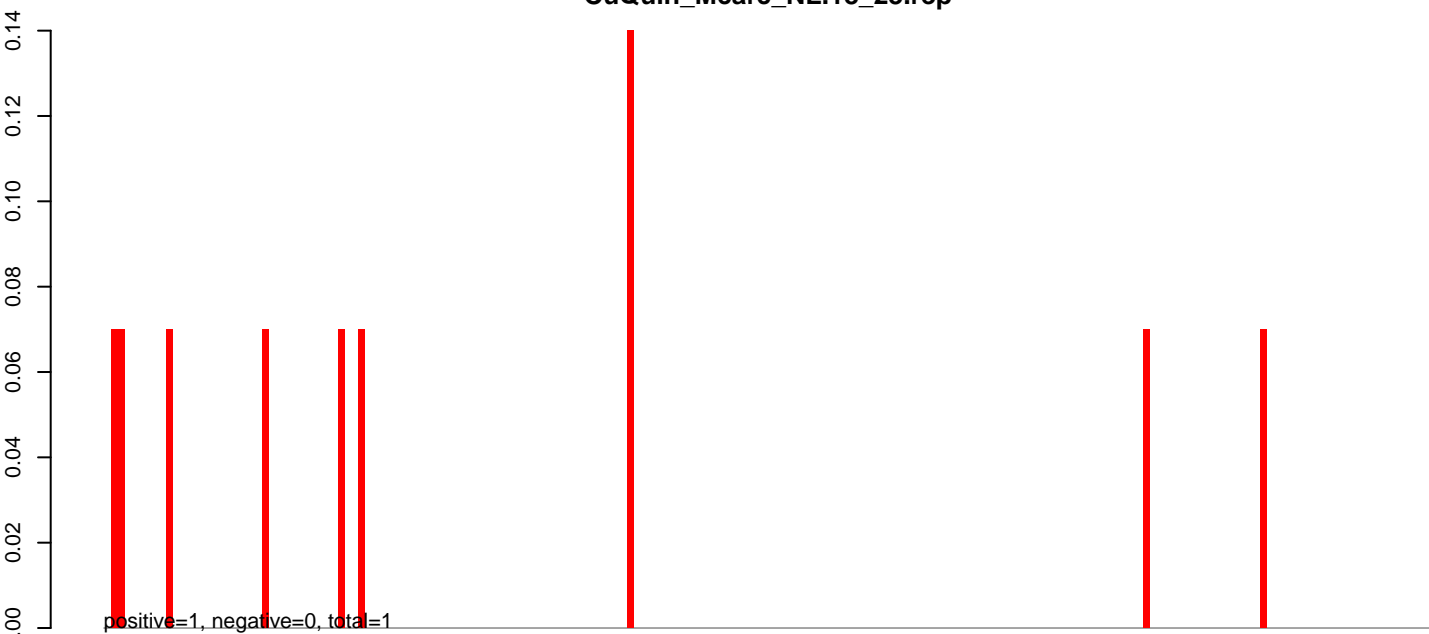
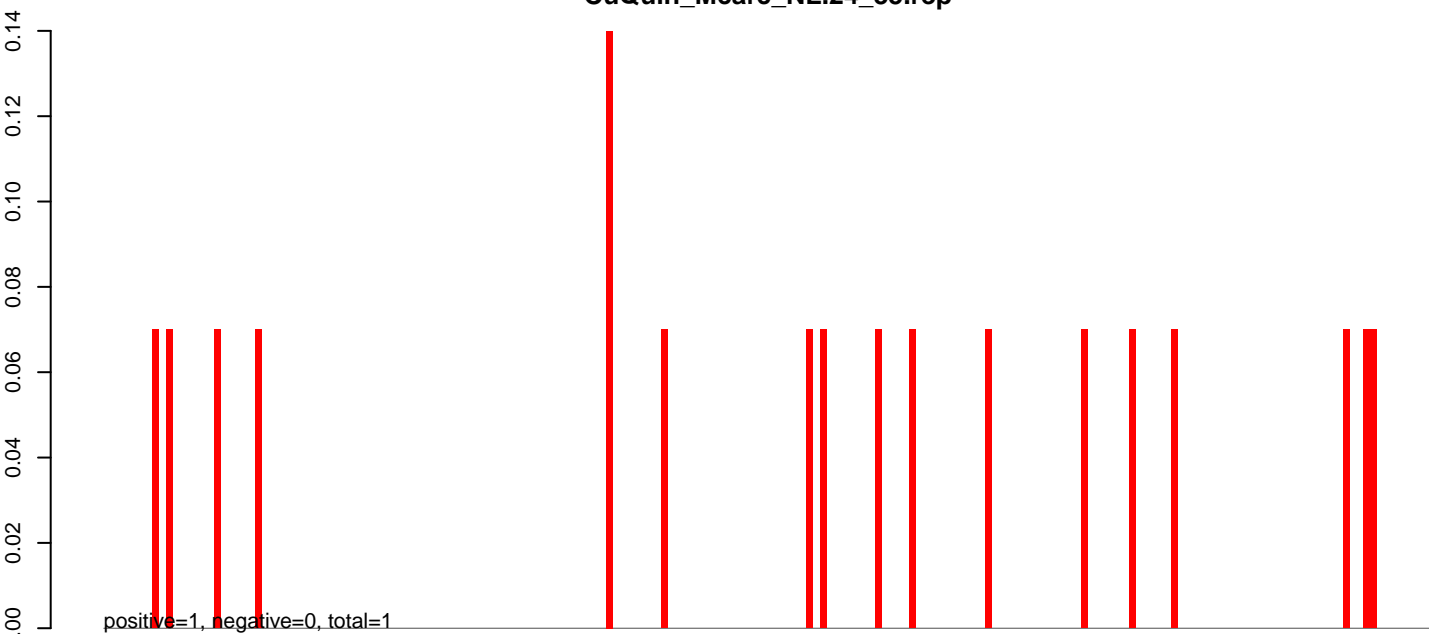


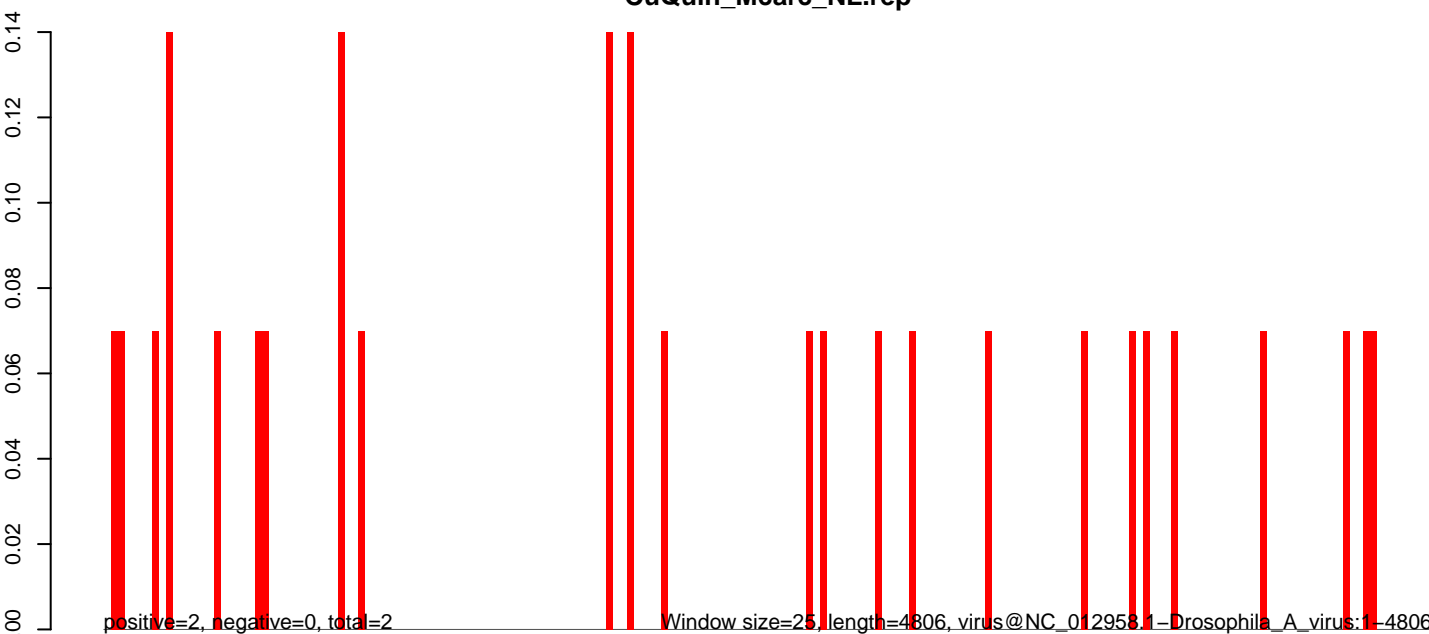
CuQuin_Mcarc_NL.18_23.rep



CuQuin_Mcarc_NL.24_35.rep



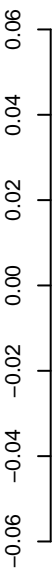
CuQuin_Mcarc_NL.rep



Window size=25, length=4806, virus@NC_012958.1-Drosophila_A_virus:1-4806

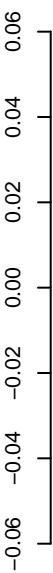
0 1000 2000 3000 4000 5000

CuQuin_Mcarc_NL.18_23.rep



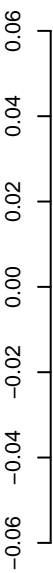
positive=0, negative=0, total=0

CuQuin_Mcarc_NL.24_35.rep



positive=0, negative=0, total=0

CuQuin_Mcarc_NL.rep

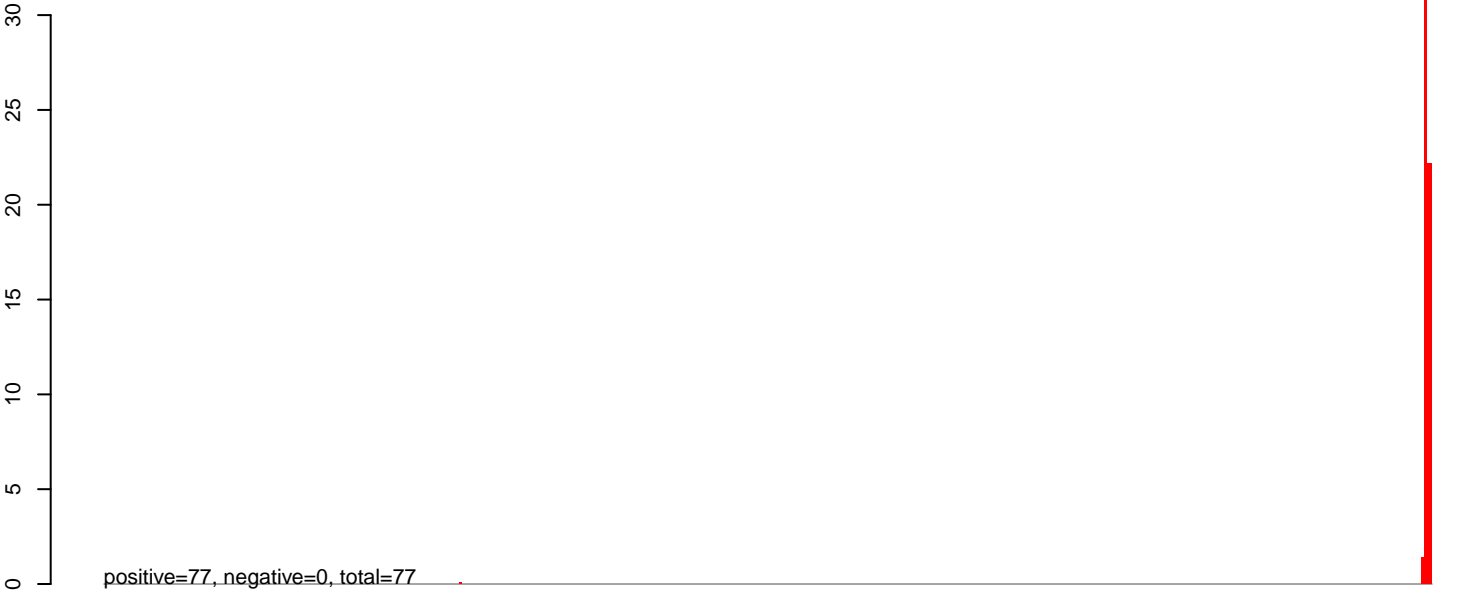


positive=0, negative=0, total=0

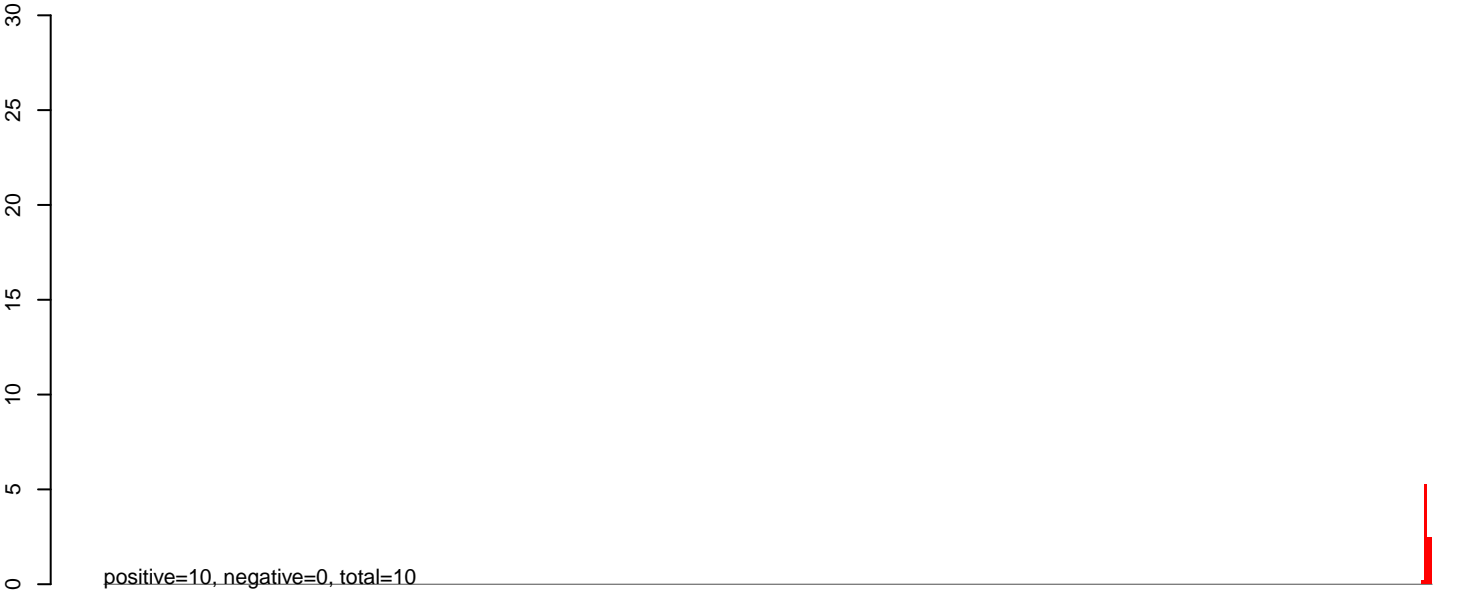
Window size=25, length=10682, virus@NC_001564.2-Cell_fusing_agent_virus_strain_Galveston:1-10682



CuQuin_Mcarc_NL.18_23.rep



CuQuin_Mcarc_NL.24_35.rep

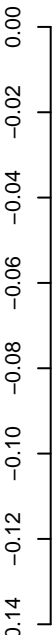


CuQuin_Mcarc_NL.rep



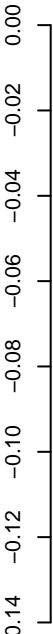
bow size=35, length=11964, total=77
1-Una_virus_non_structural_polyprotein_gene_partial_cds_and_structural_polyprotein_ge:1-11964

CuQuin_Mcarc_NL.18_23.rep



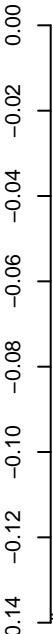
positive=0, negative=0, total=0

CuQuin_Mcarc_NL.24_35.rep

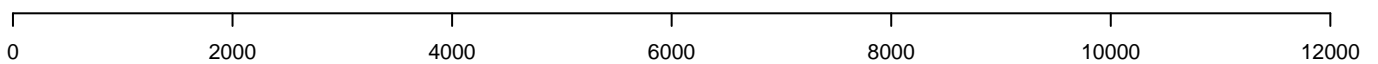


positive=0, negative=0, total=0

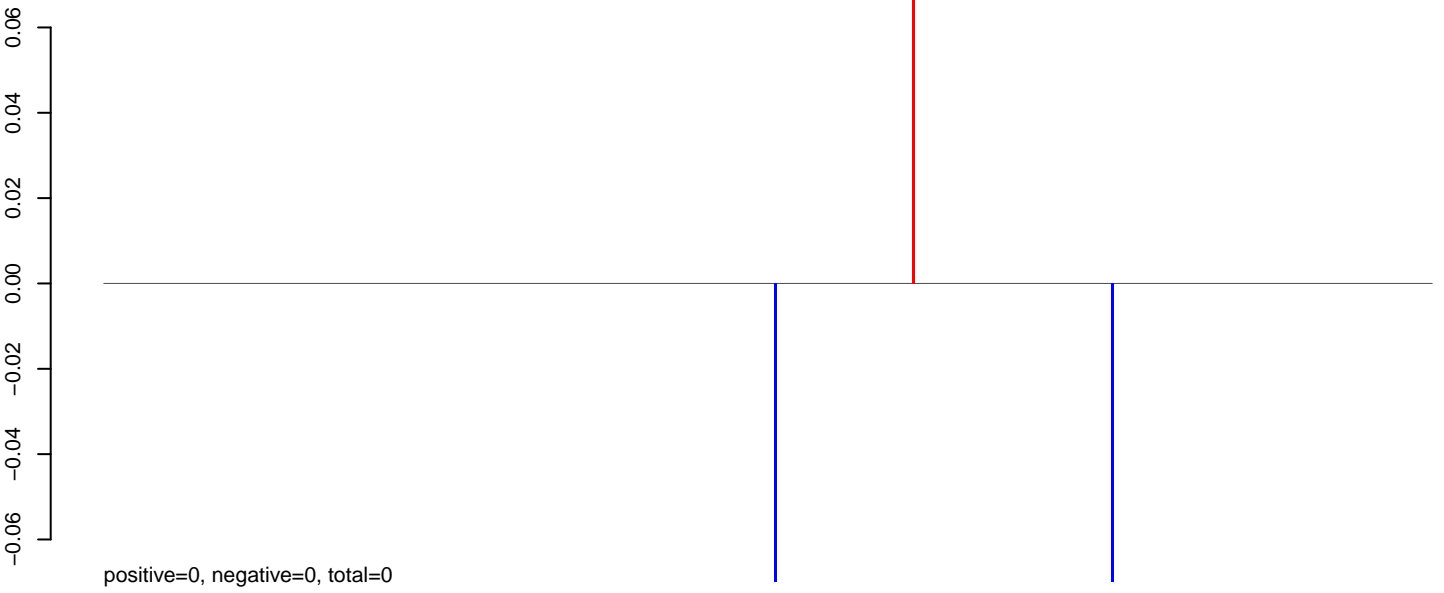
CuQuin_Mcarc_NL.rep



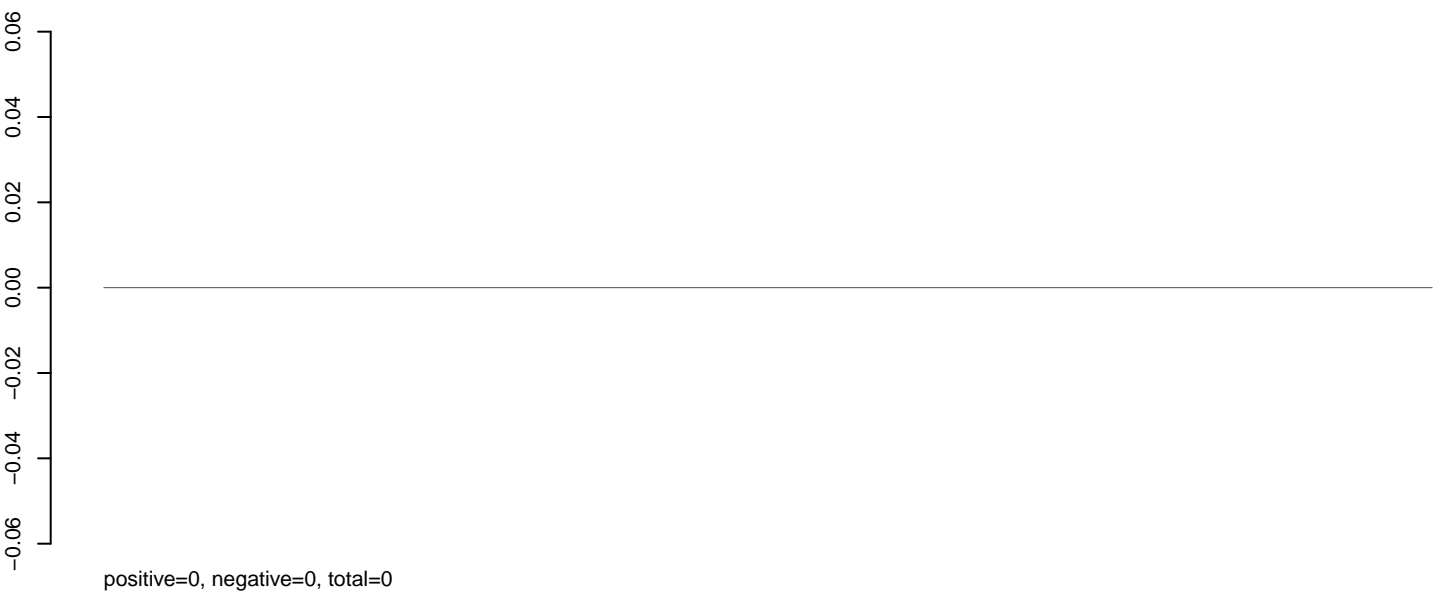
25, length=12096, positive=0, negative=0, total=0
263.1-Phasi_Charoen-like_virus_isolate_Rio_segment_S_plus_segment_M_plus_segment_L_Nucle:1-12099



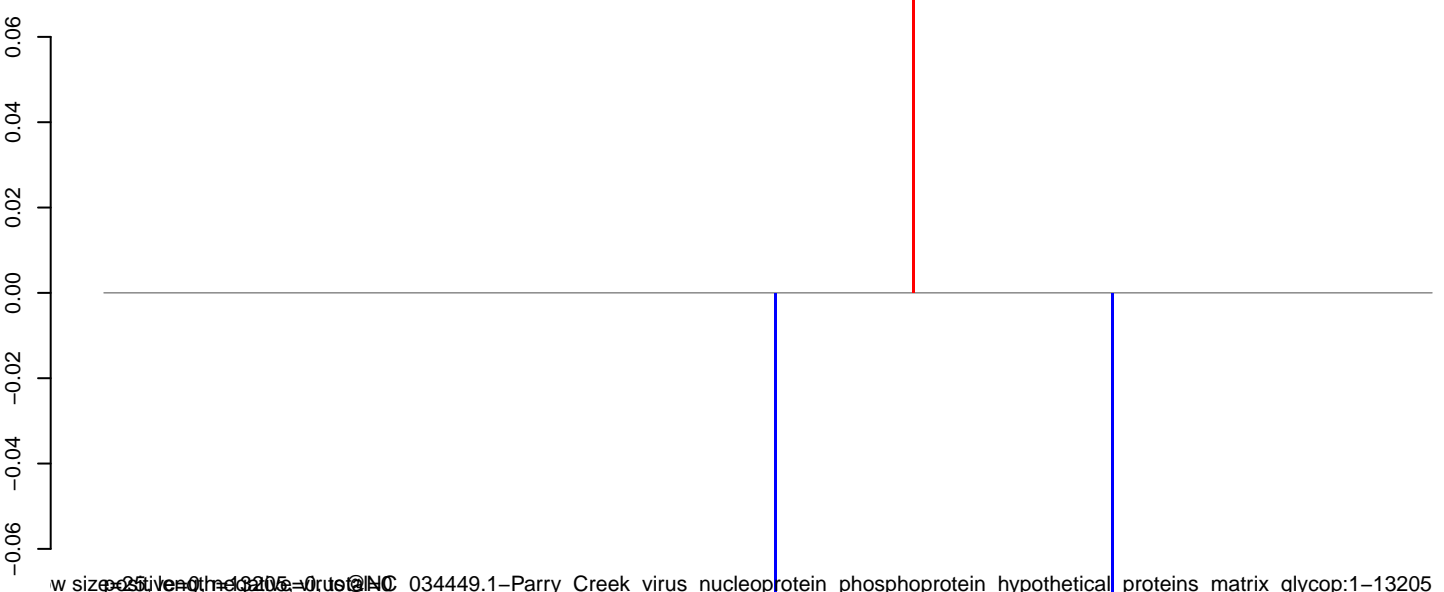
CuQuin_Mcarc_NL.18_23.rep



CuQuin_Mcarc_NL.24_35.rep



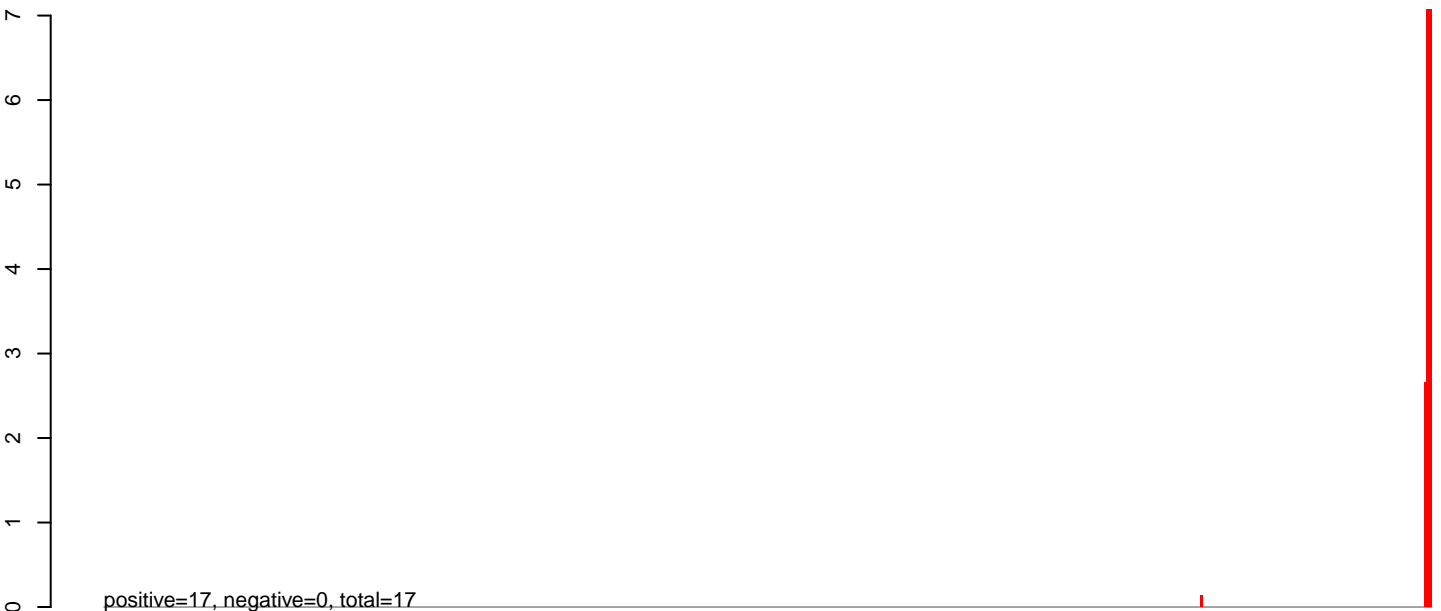
CuQuin_Mcarc_NL.rep



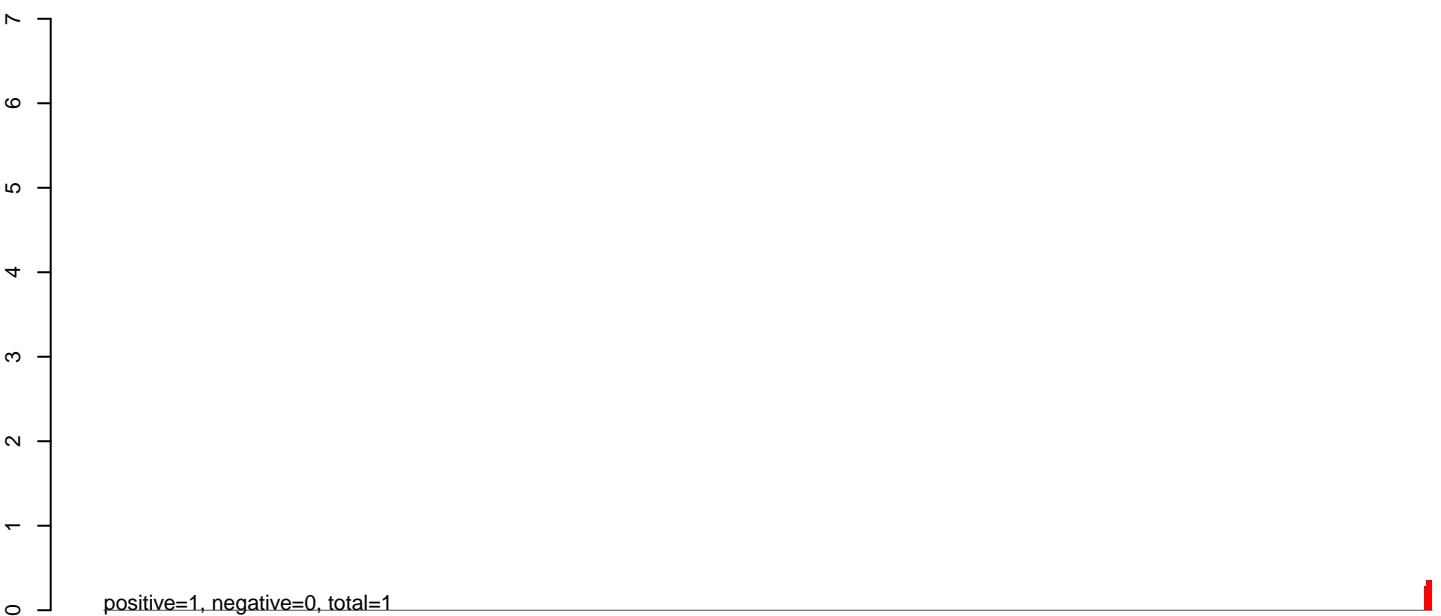
w size=25, length=3205, use@NC_034449.1-Parry_Creek_virus_nucleoprotein_phosphoprotein_hypothetical_proteins_matrix_glycop:1-13205

0 2000 4000 6000 8000 10000 12000

CuQuin_Mcarc_NL.18_23.rep



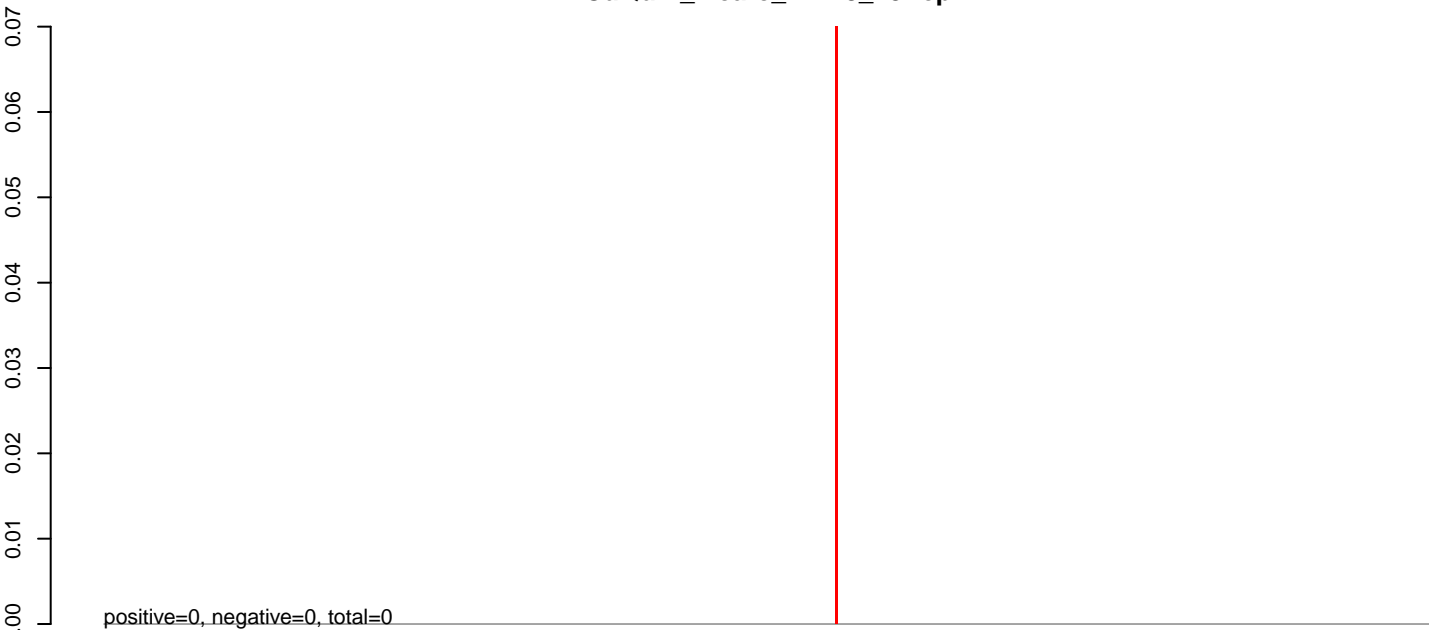
CuQuin_Mcarc_NL.24_35.rep



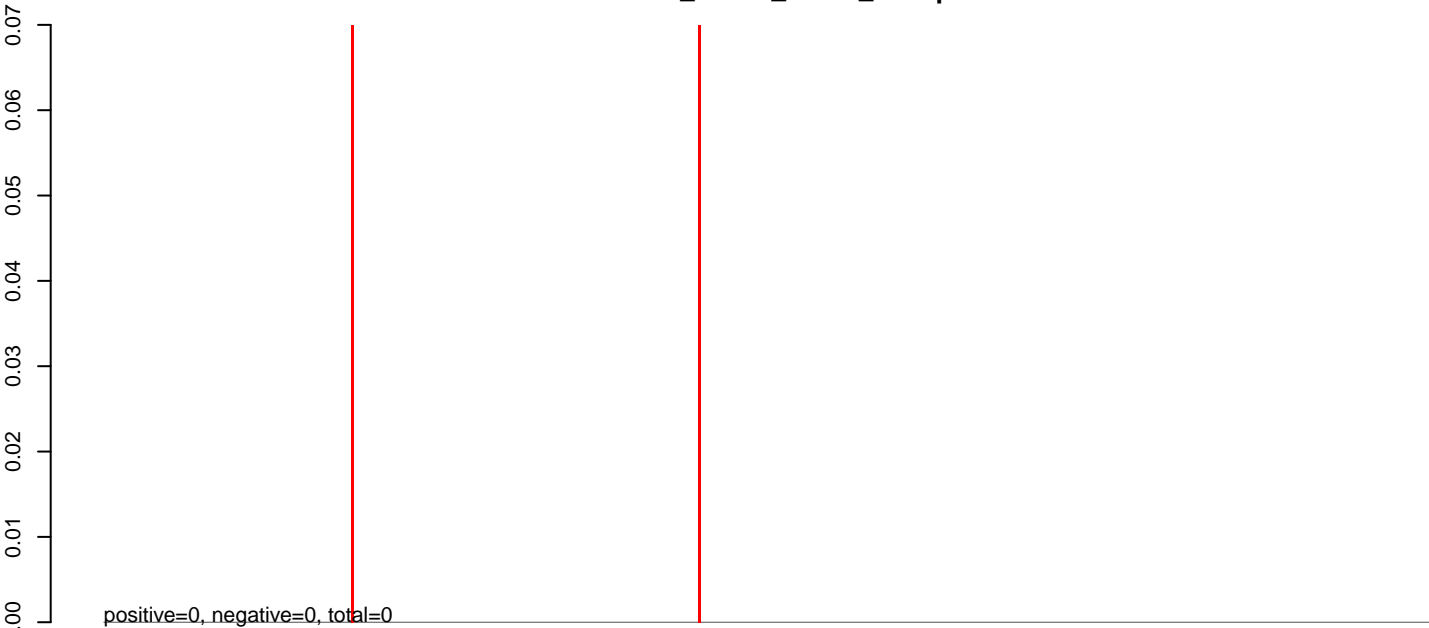
CuQuin_Mcarc_NL.rep



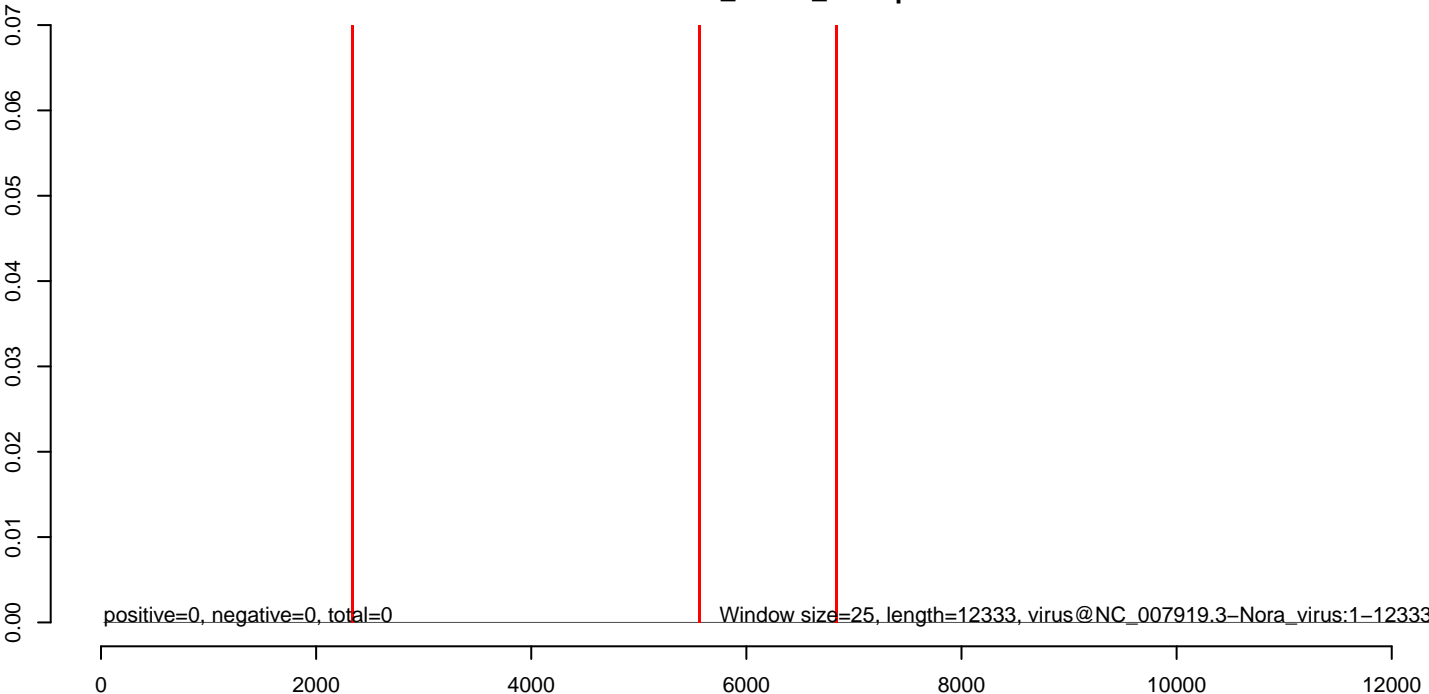
CuQuin_Mcarc_NL.18_23.rep



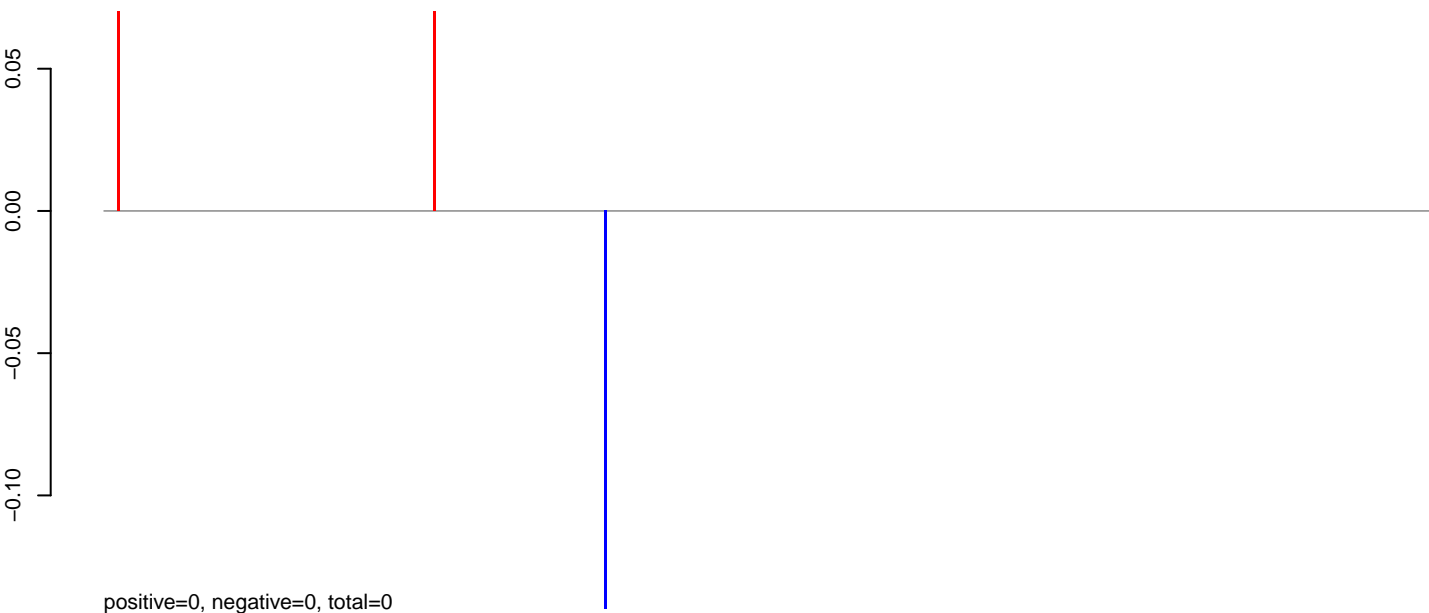
CuQuin_Mcarc_NL.24_35.rep



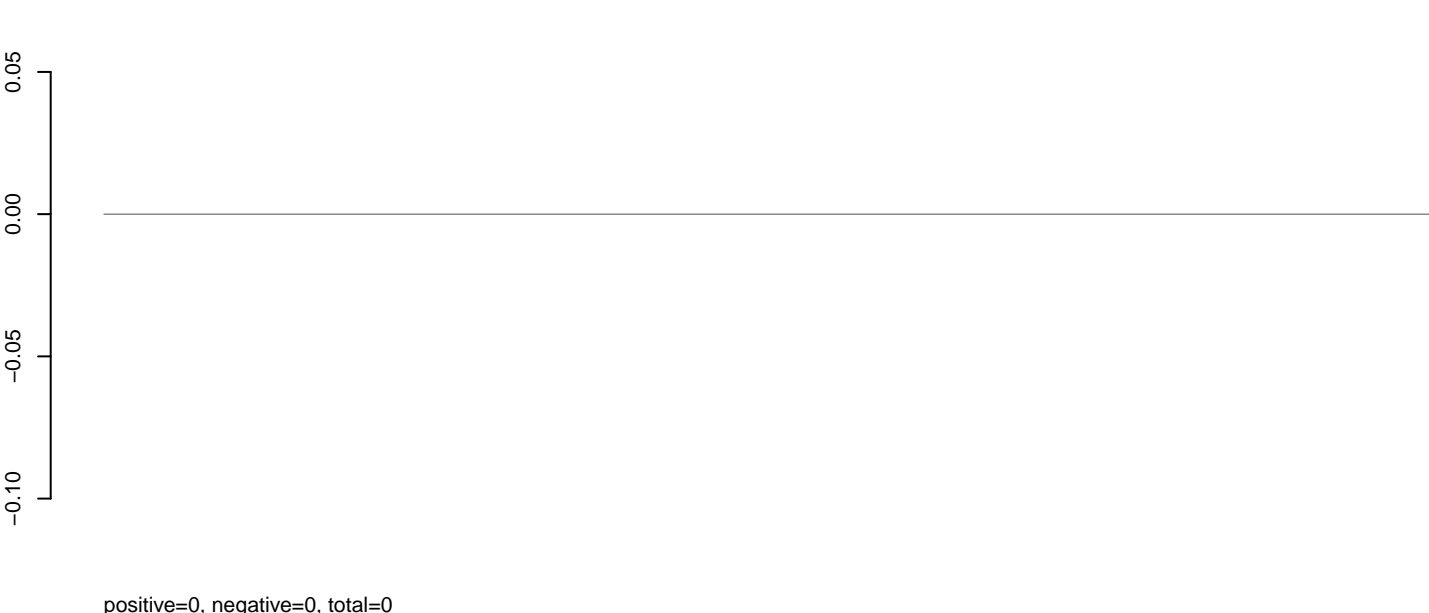
CuQuin_Mcarc_NL.rep



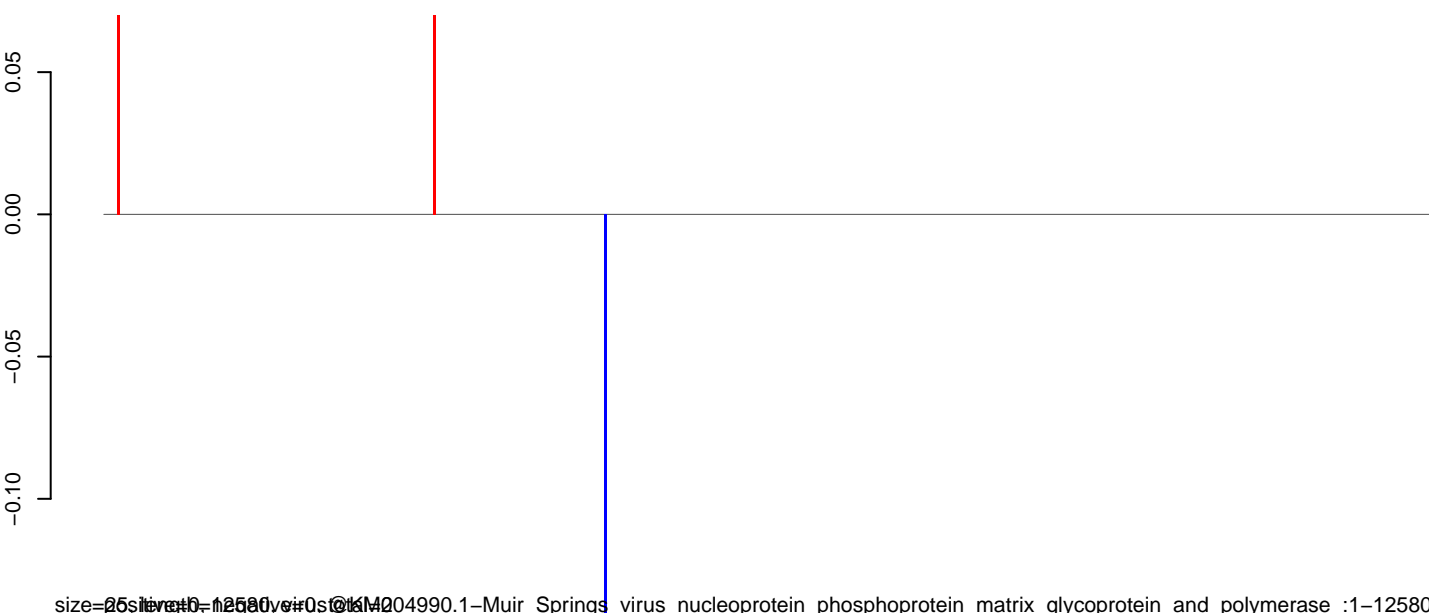
CuQuin_Mcarc_NL.18_23.rep



CuQuin_Mcarc_NL.24_35.rep



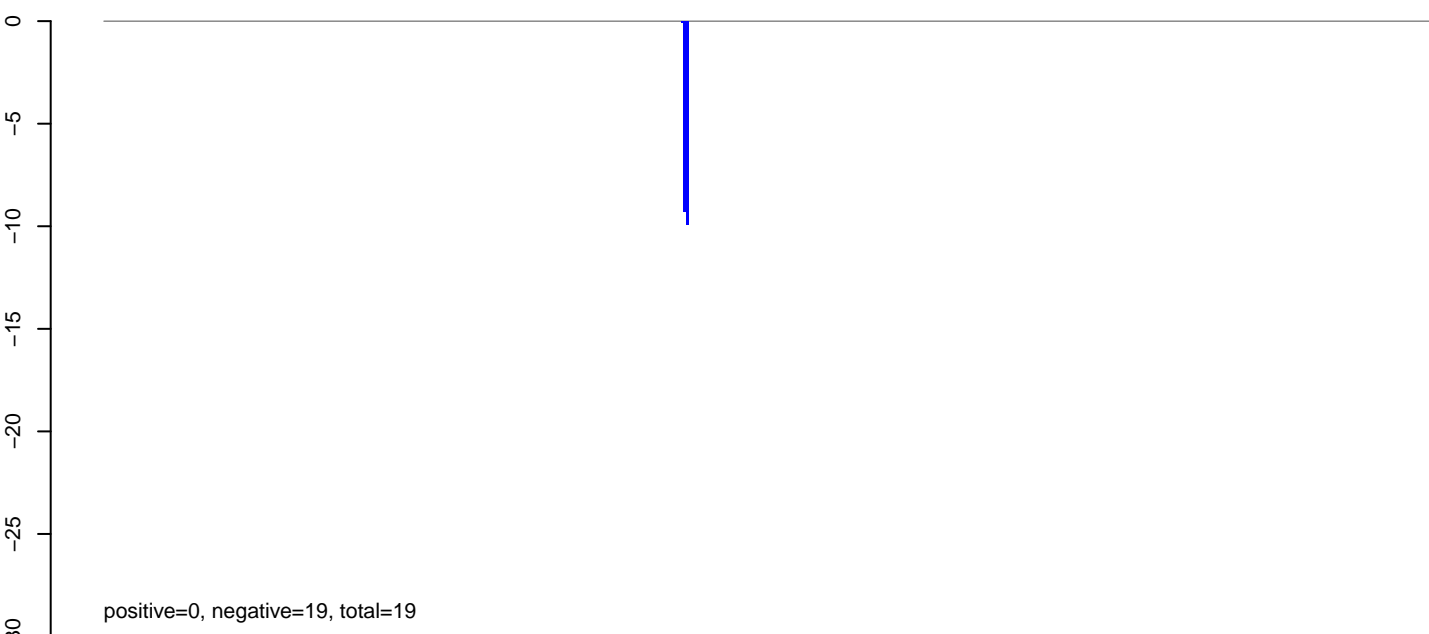
CuQuin_Mcarc_NL.rep



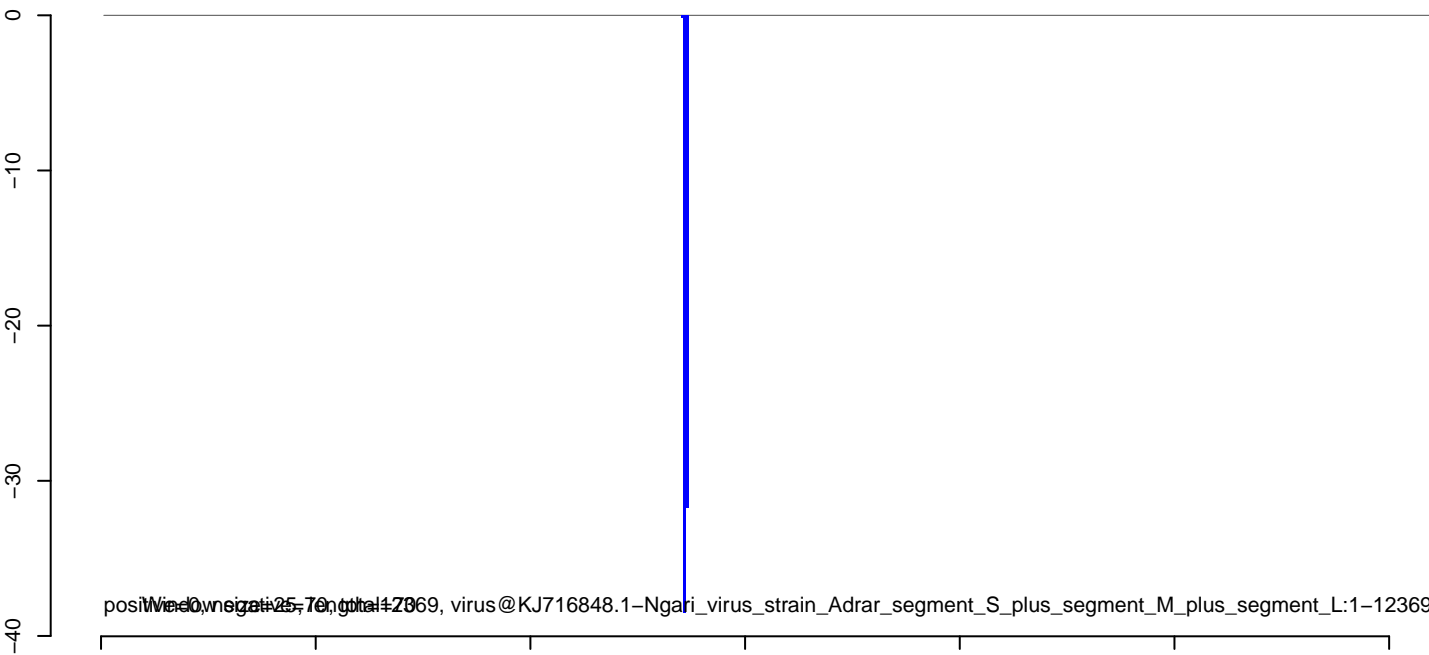
CuQuin_Mcarc_NL.18_23.rep



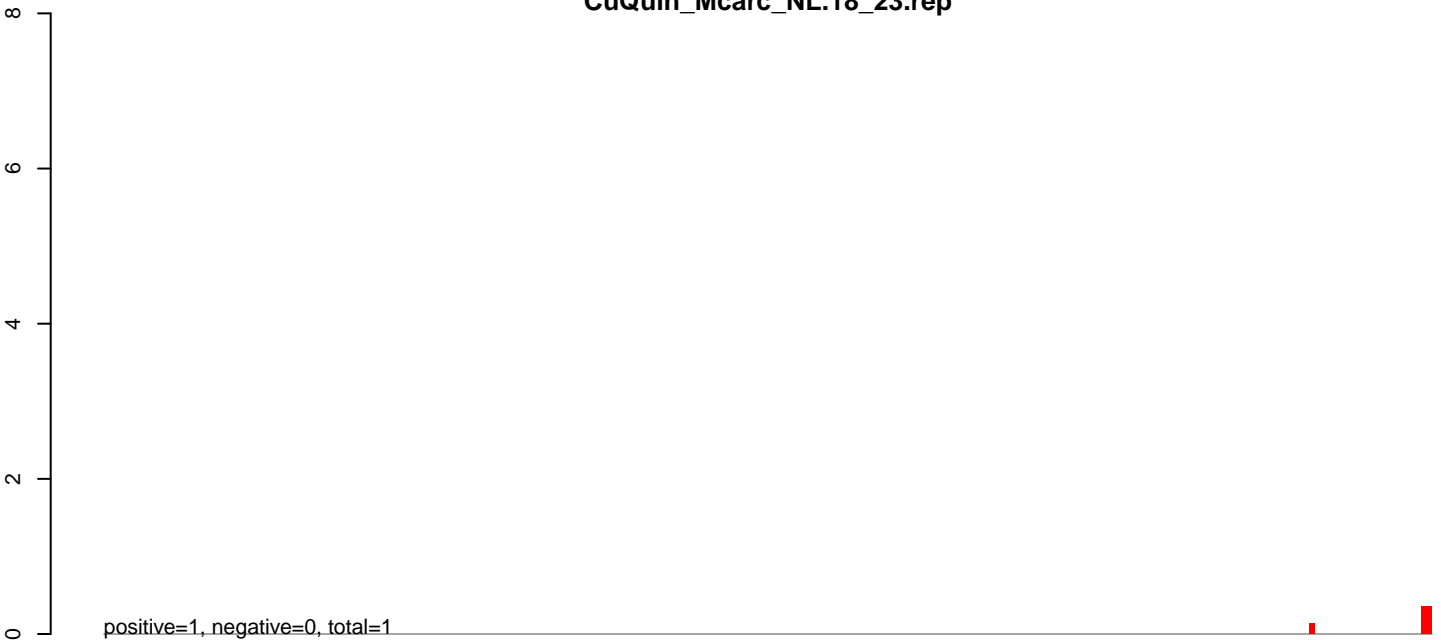
CuQuin_Mcarc_NL.24_35.rep



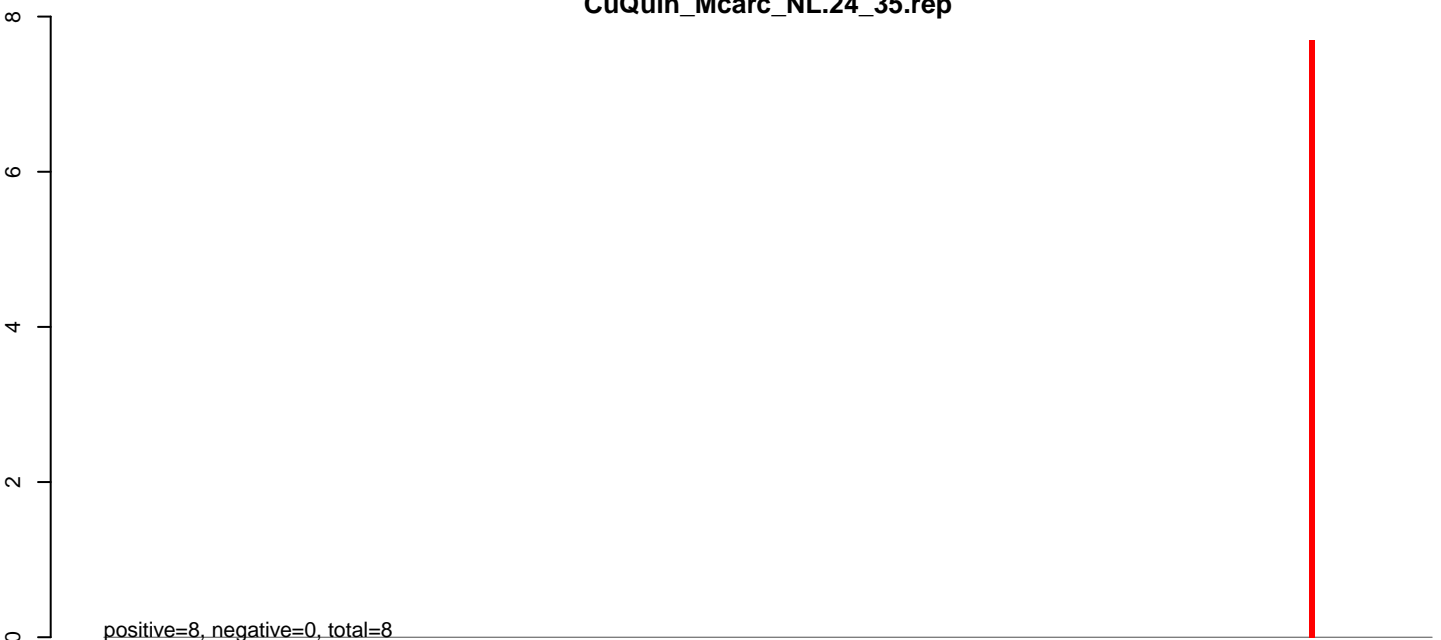
CuQuin_Mcarc_NL.rep



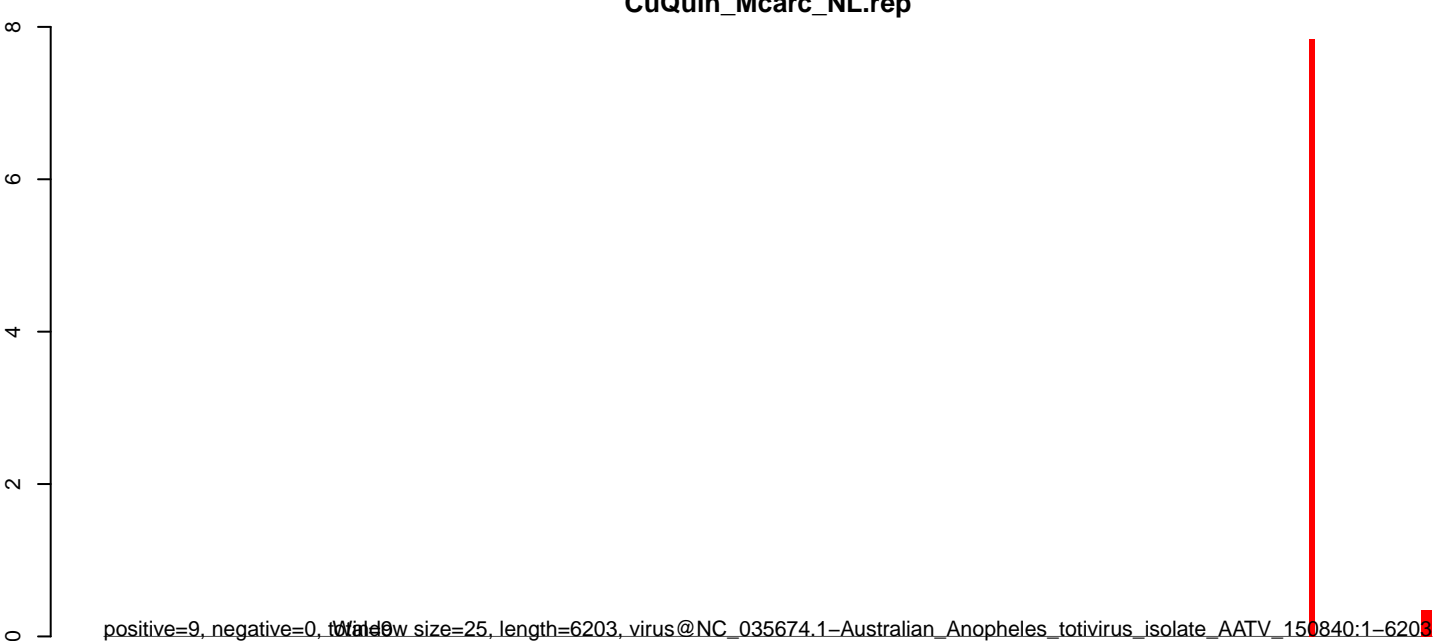
CuQuin_Mcarc_NL.18_23.rep



CuQuin_Mcarc_NL.24_35.rep

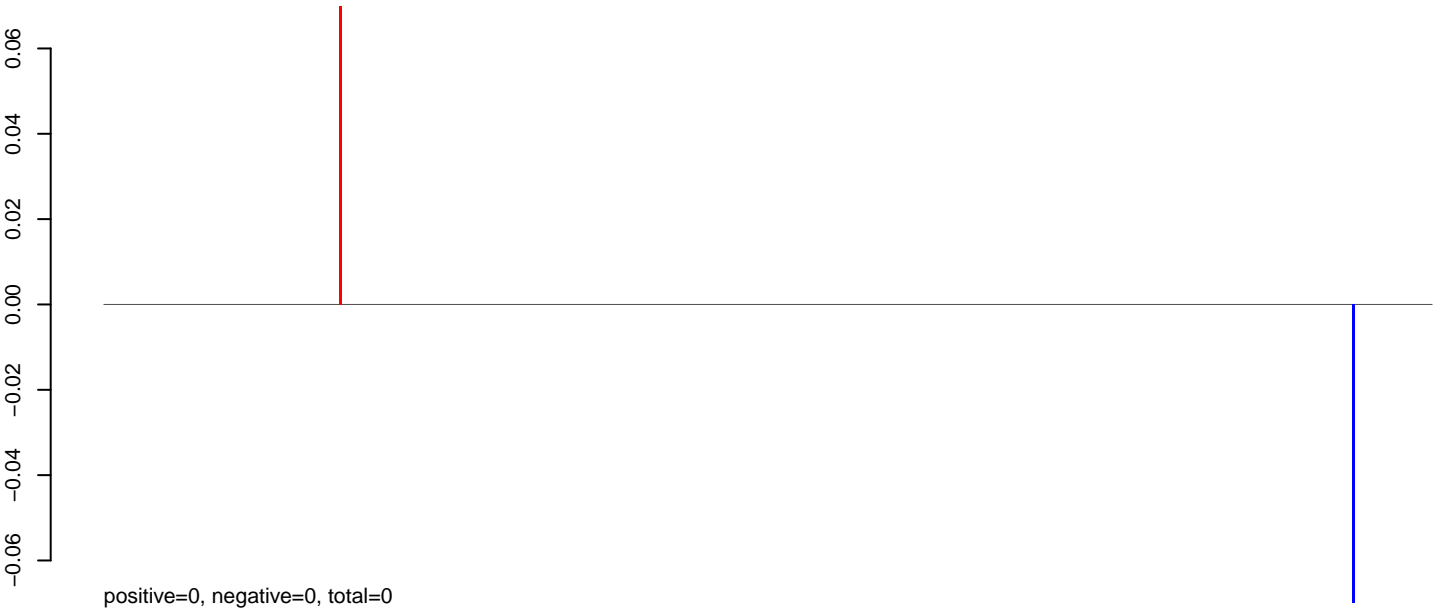


CuQuin_Mcarc_NL.rep

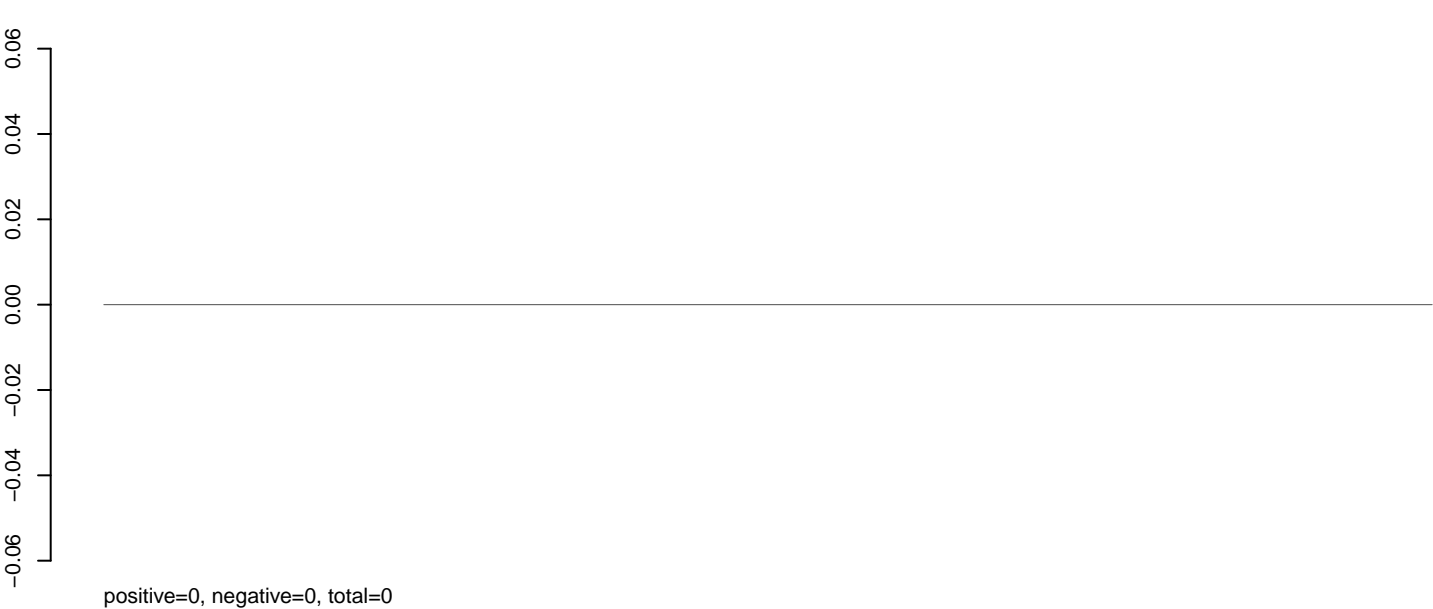


0 1000 2000 3000 4000 5000 6000

CuQuin_Mcarc_NL.18_23.rep



CuQuin_Mcarc_NL.24_35.rep



CuQuin_Mcarc_NL.rep



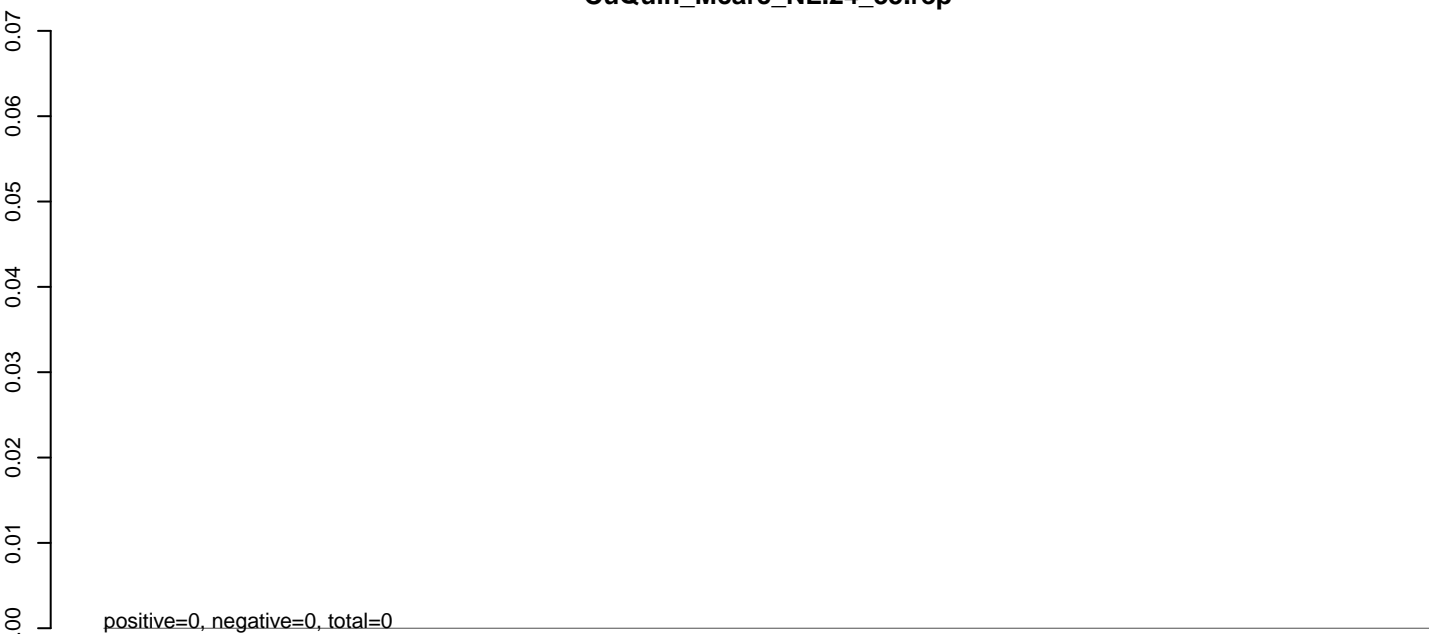
down size of the 1784-0 into NC_034531.1-Manitoba_virus_nucleoprotein_phosphoprotein_hypothetical_proteins_matrix_glycoprot:1-13784

0 2000 4000 6000 8000 10000 12000 14000

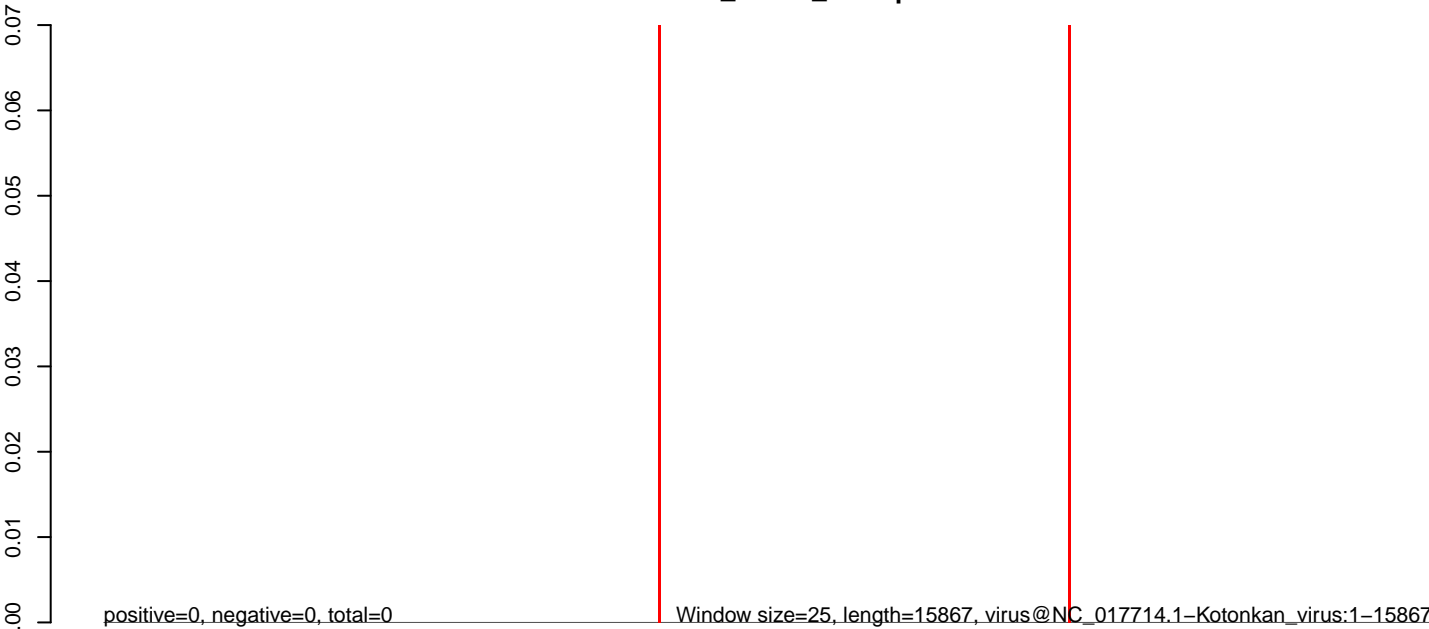
CuQuin_Mcarc_NL.18_23.rep



CuQuin_Mcarc_NL.24_35.rep



CuQuin_Mcarc_NL.rep



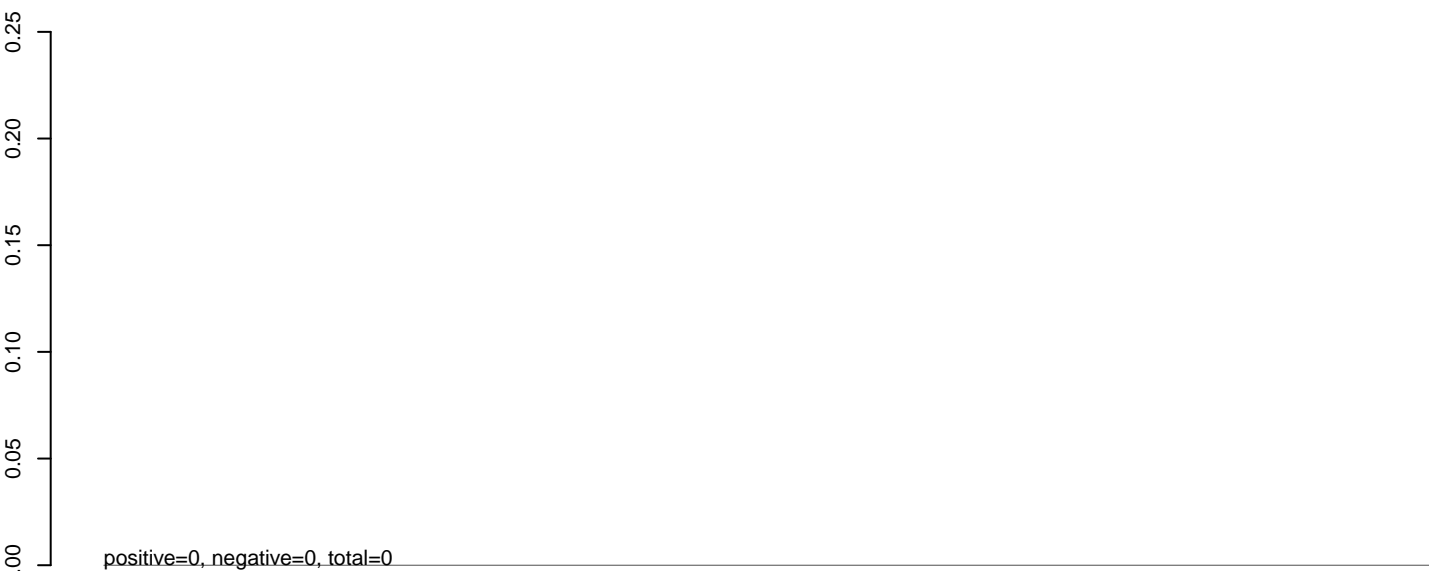
Window size=25, length=15867, virus@NC_017714.1-Kotonkan_virus:1-15867

0 5000 10000 15000

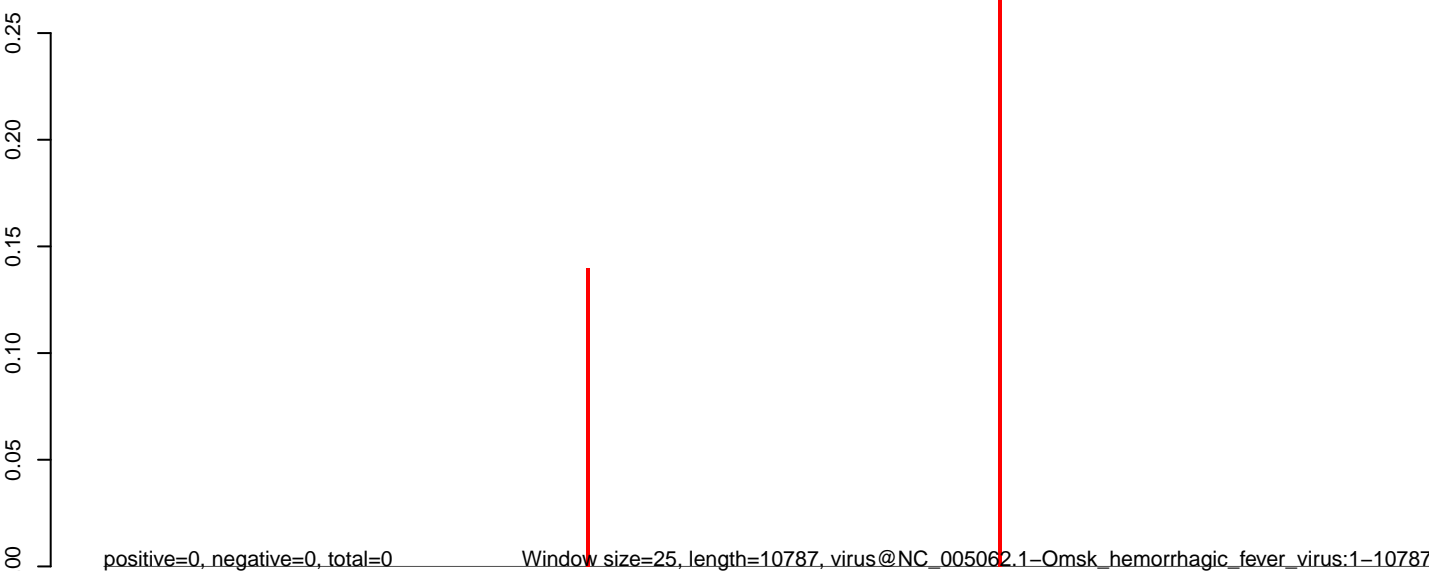
CuQuin_Mcarc_NL.18_23.rep



CuQuin_Mcarc_NL.24_35.rep



CuQuin_Mcarc_NL.rep

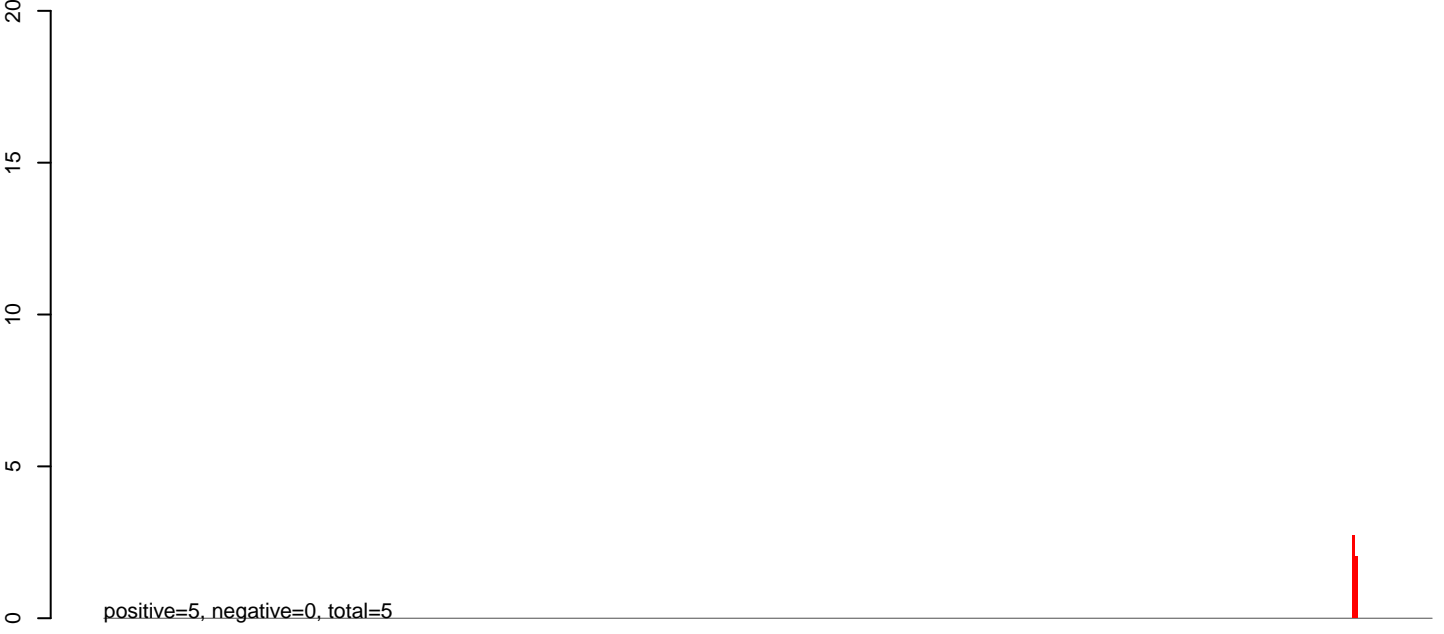


0 2000 4000 6000 8000 10000

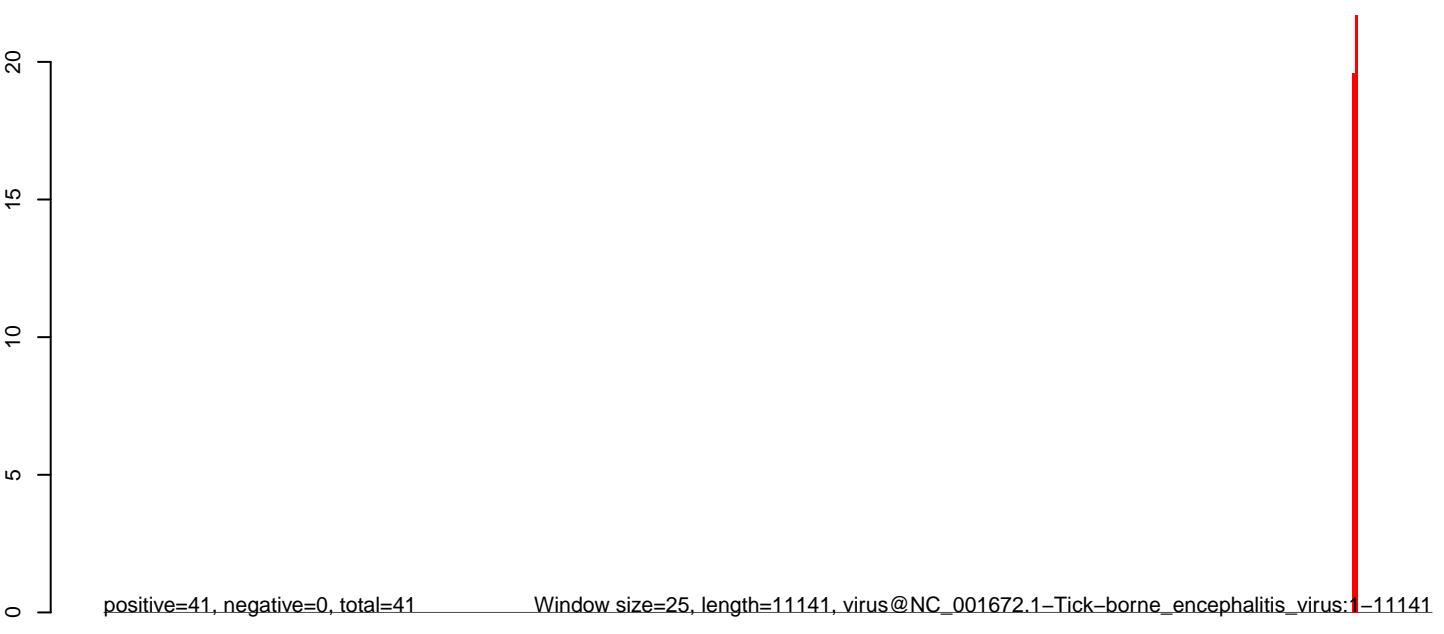
CuQuin_Mcarc_NL.18_23.rep



CuQuin_Mcarc_NL.24_35.rep



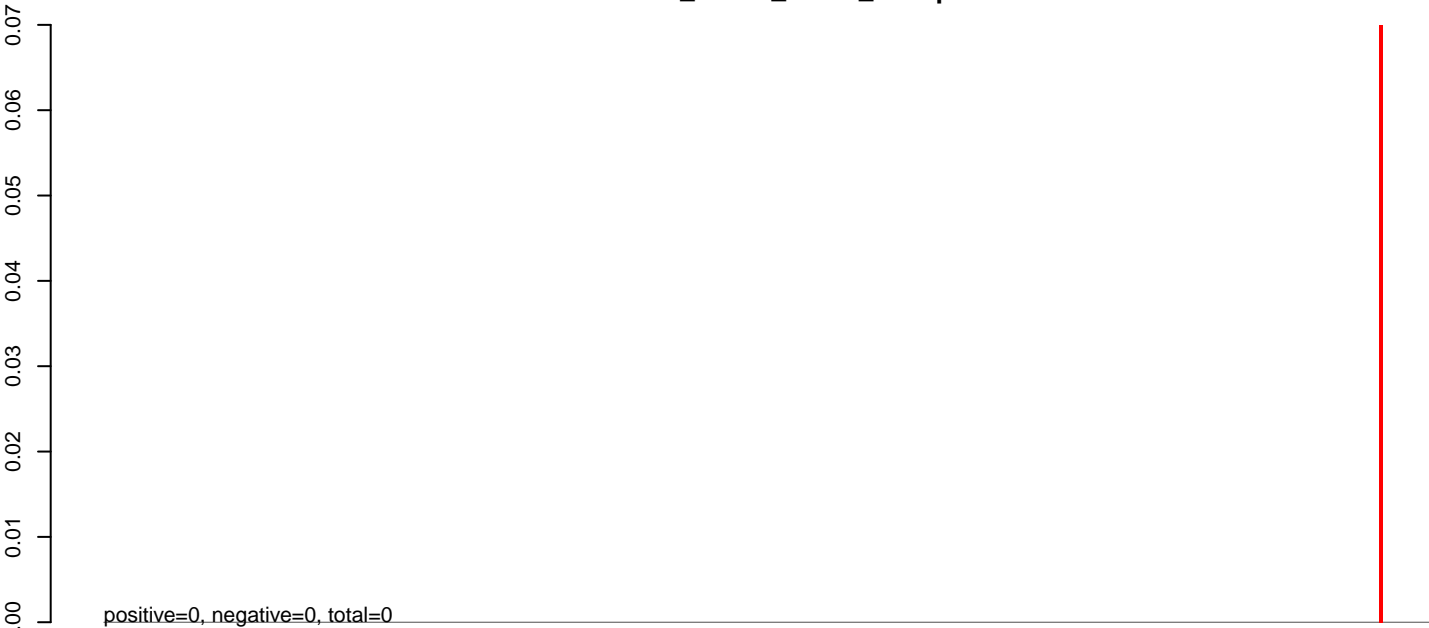
CuQuin_Mcarc_NL.rep



CuQuin_Mcarc_NL.18_23.rep



CuQuin_Mcarc_NL.24_35.rep

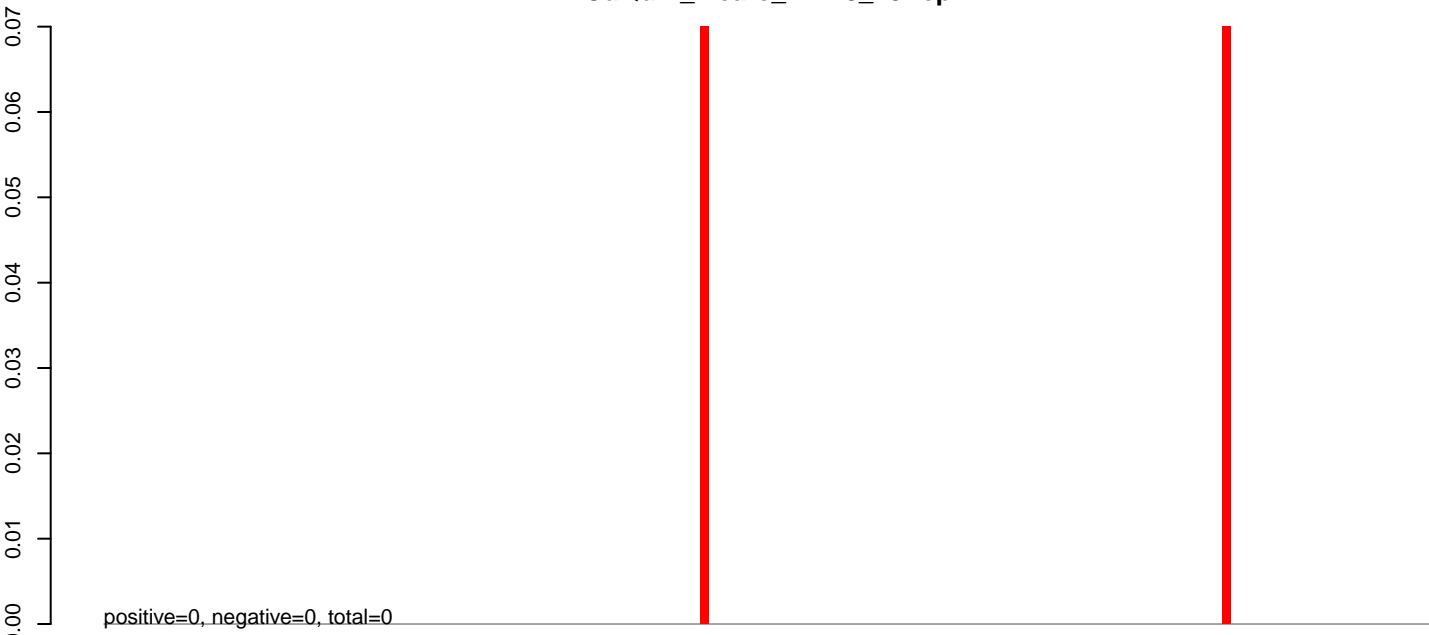


CuQuin_Mcarc_NL.rep

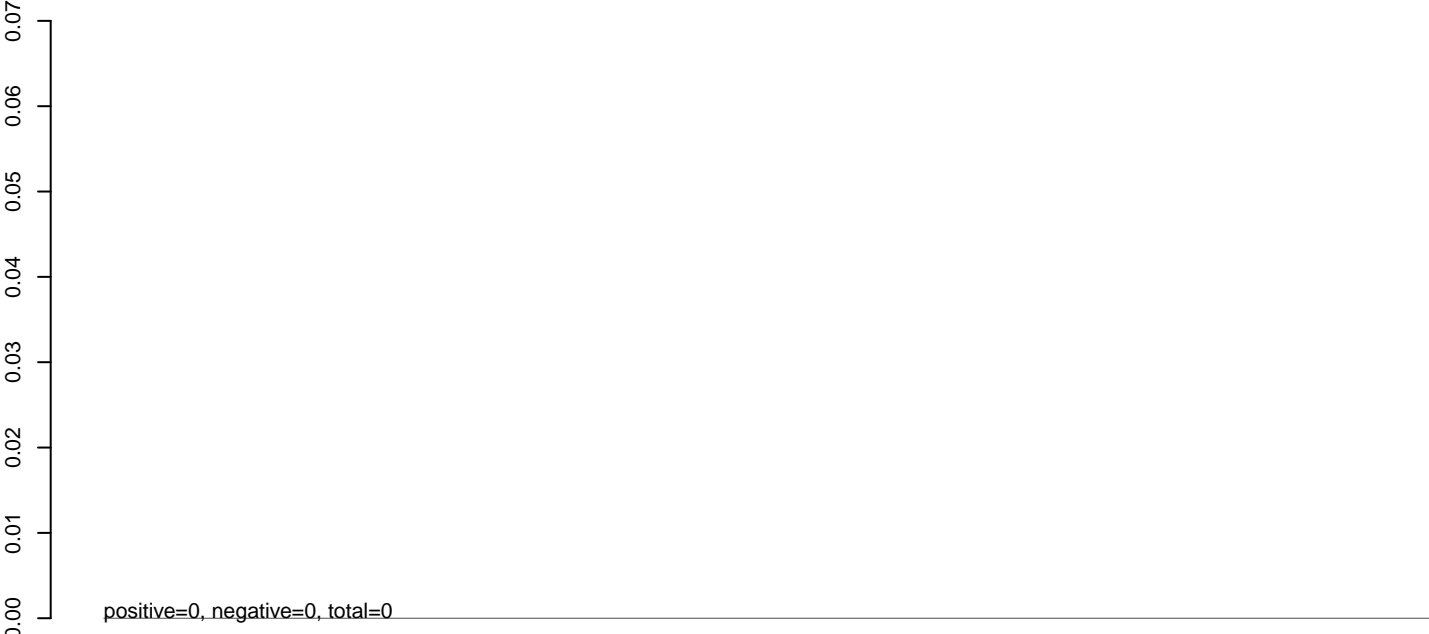


0 2000 4000 6000 8000 10000

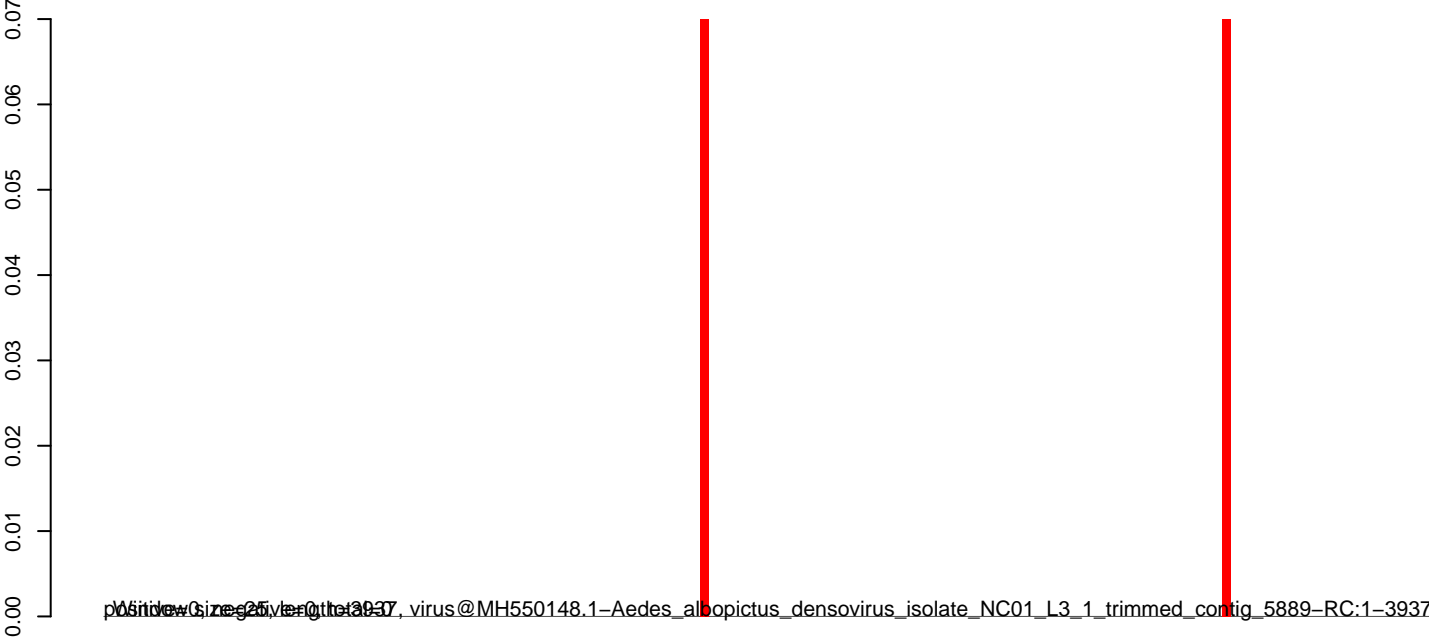
CuQuin_Mcarc_NL.18_23.rep



CuQuin_Mcarc_NL.24_35.rep



CuQuin_Mcarc_NL.rep



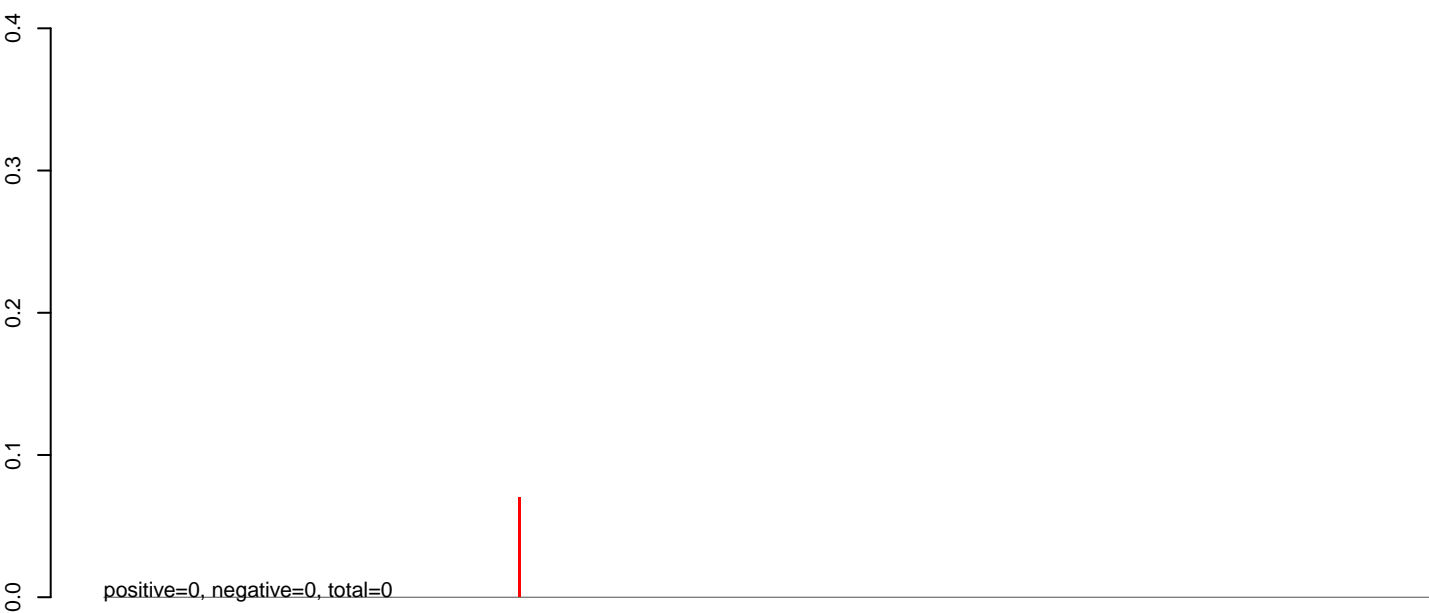
Window size=25, step=1, virus@MH550148.1-Aedes albopictus_densovirus_isolate_NC01_L3_1_trimmed_contig_5889-RC:1-3937

0 1000 2000 3000 4000

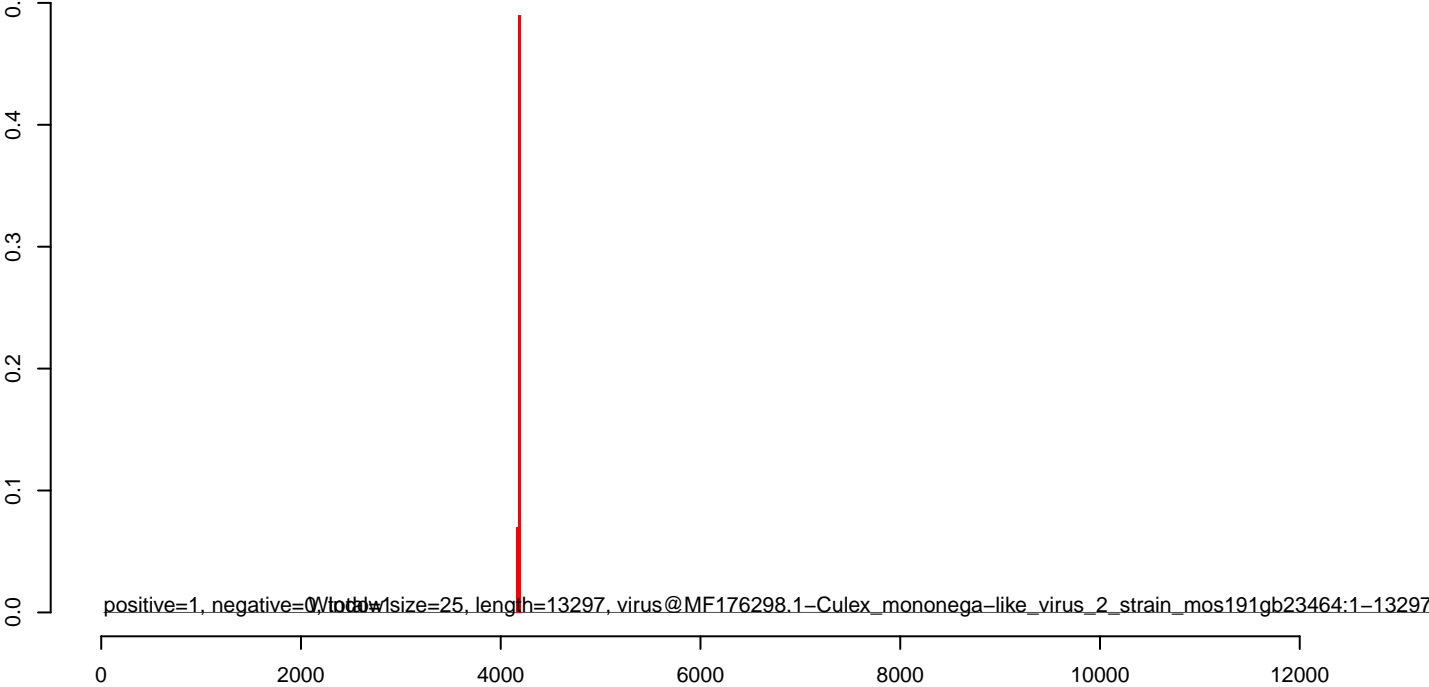
CuQuin_Mcarc_NL.18_23.rep



CuQuin_Mcarc_NL.24_35.rep



CuQuin_Mcarc_NL.rep



CuQuin_Mcarc_NL.18_23.rep



CuQuin_Mcarc_NL.24_35.rep



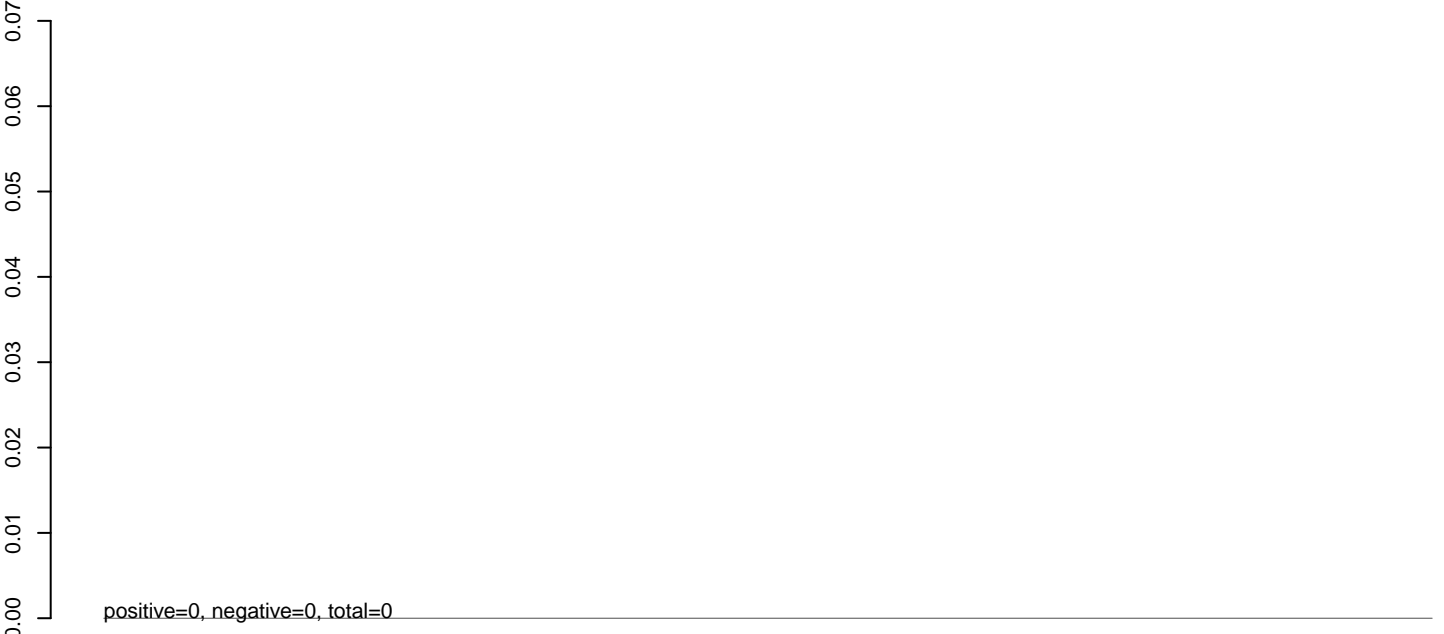
CuQuin_Mcarc_NL.rep



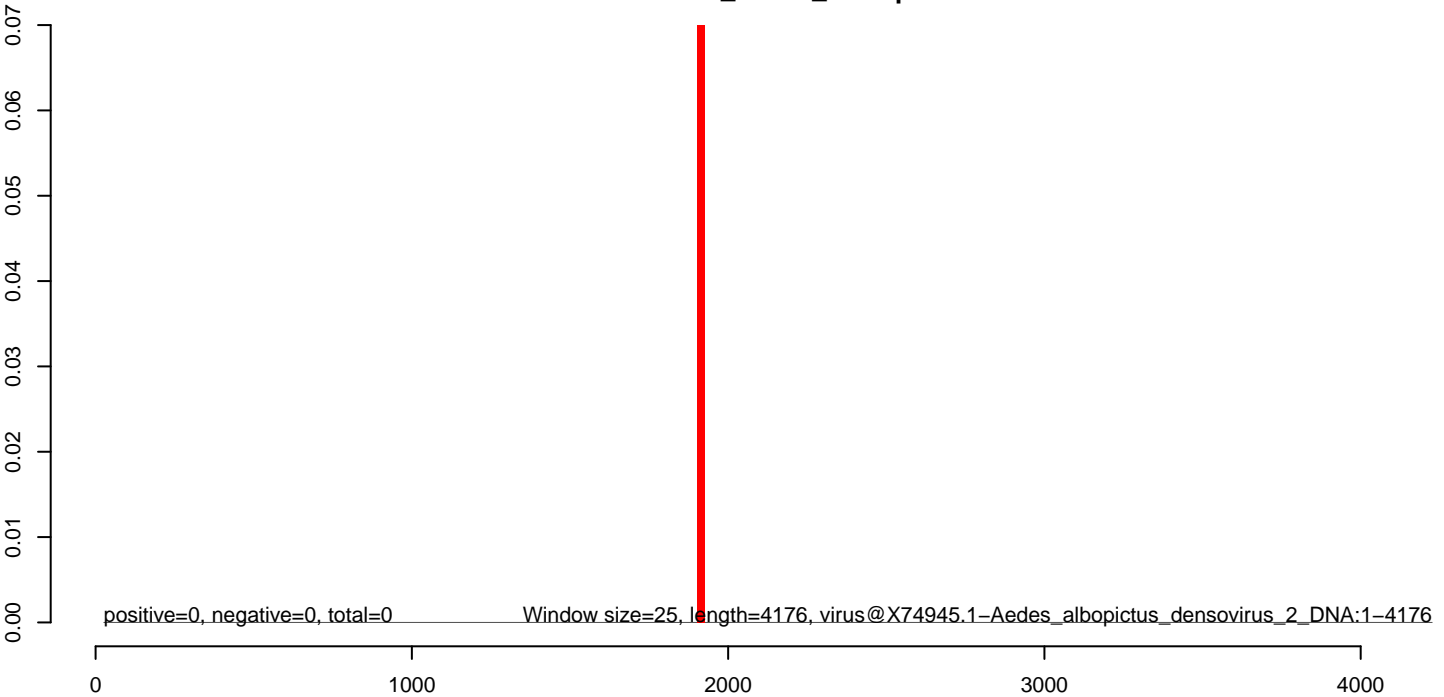
CuQuin_Mcarc_NL.18_23.rep



CuQuin_Mcarc_NL.24_35.rep



CuQuin_Mcarc_NL.rep



CuQuin_Mcarc_NL.18_23.rep

0.00
-0.01
-0.02
-0.03
-0.04
-0.05
-0.06
-0.07

positive=0, negative=0, total=0

CuQuin_Mcarc_NL.24_35.rep

0.00
-0.01
-0.02
-0.03
-0.04
-0.05
-0.06
-0.07

positive=0, negative=0, total=0

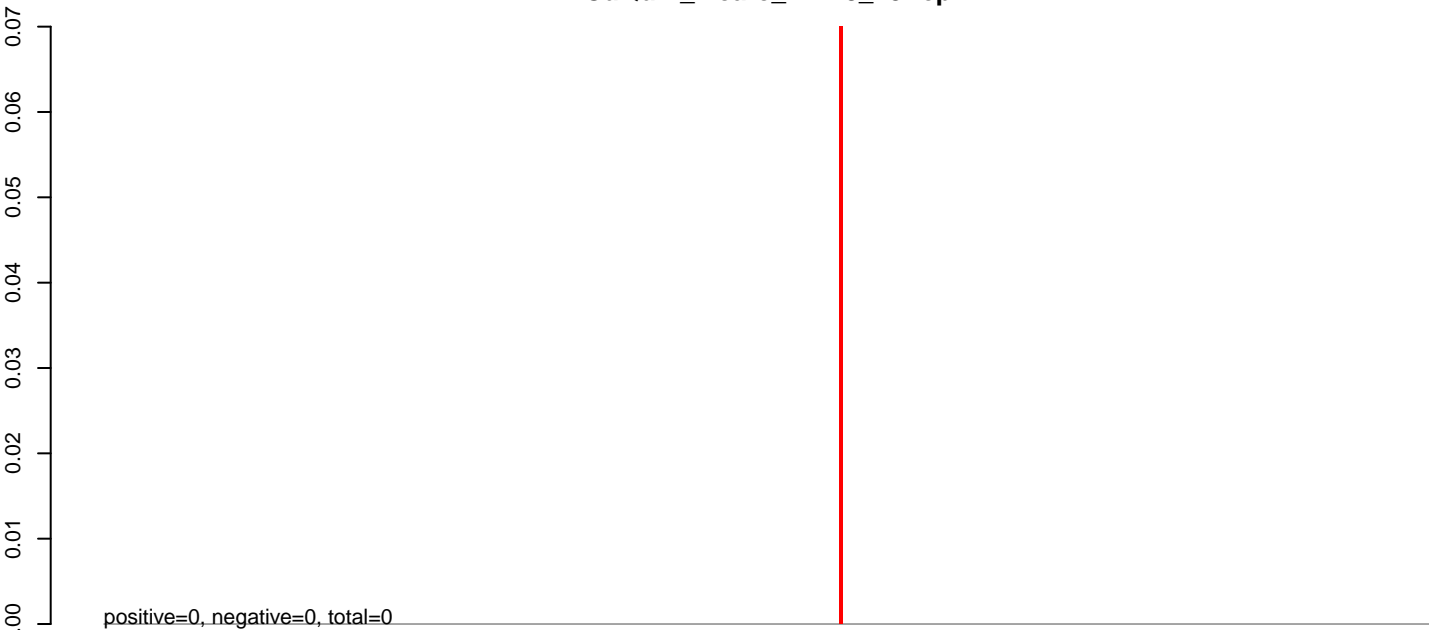
CuQuin_Mcarc_NL.rep

0.00
-0.01
-0.02
-0.03
-0.04
-0.05
-0.06
-0.07

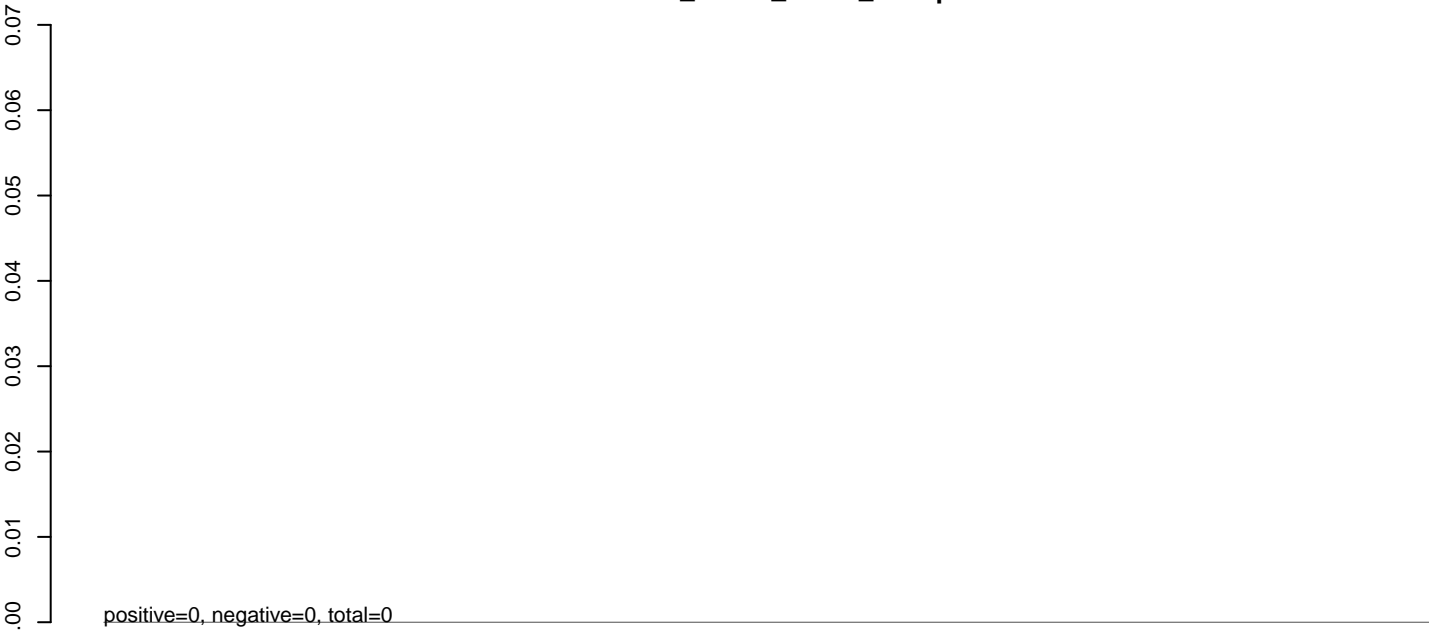
positive=0, negative=0, total=11470, virus@NC_035128.1_Aedes_camptorhynchus_negev-like_virus_strain_mos191CP47896:1-11470

0 2000 4000 6000 8000 10000

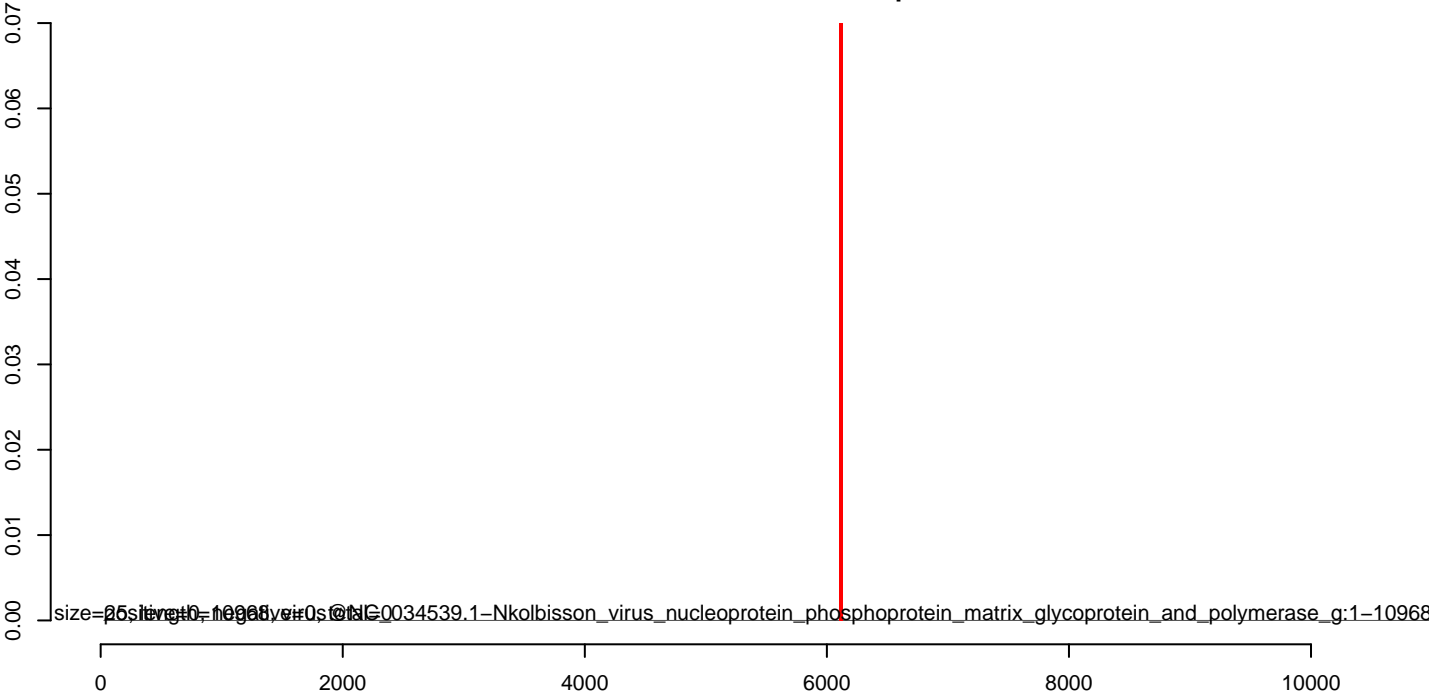
CuQuin_Mcarc_NL.18_23.rep



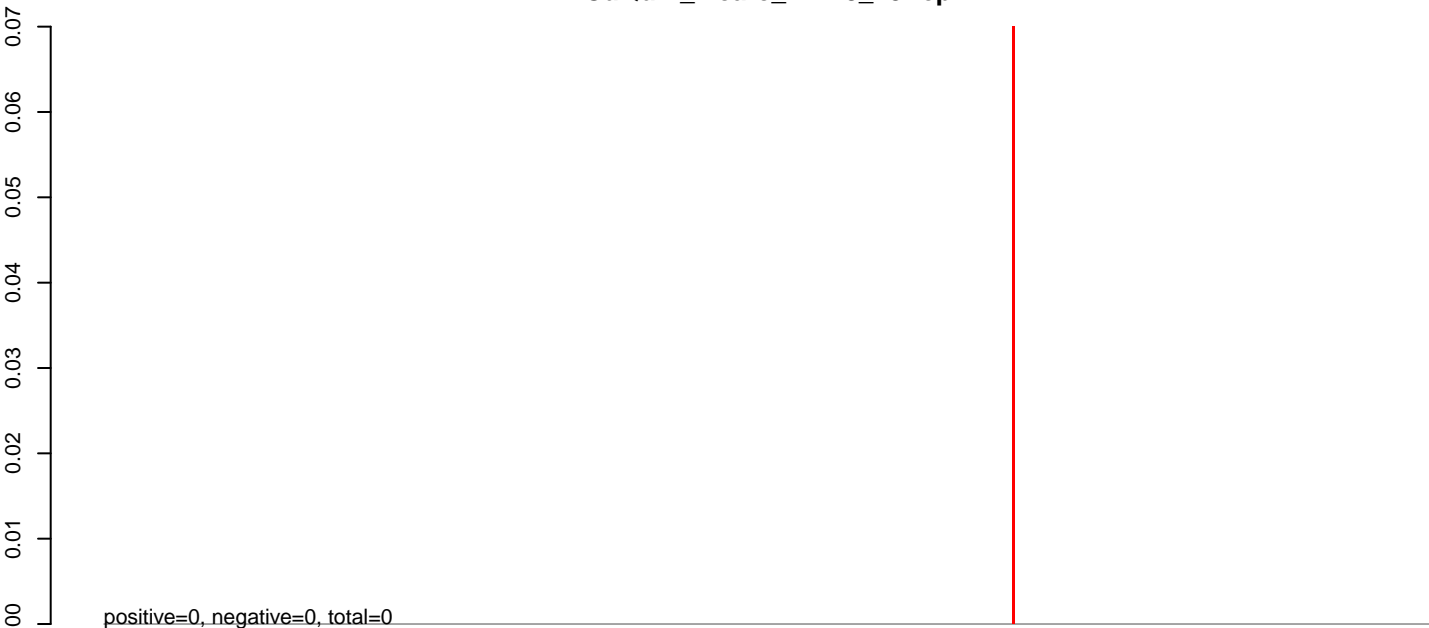
CuQuin_Mcarc_NL.24_35.rep



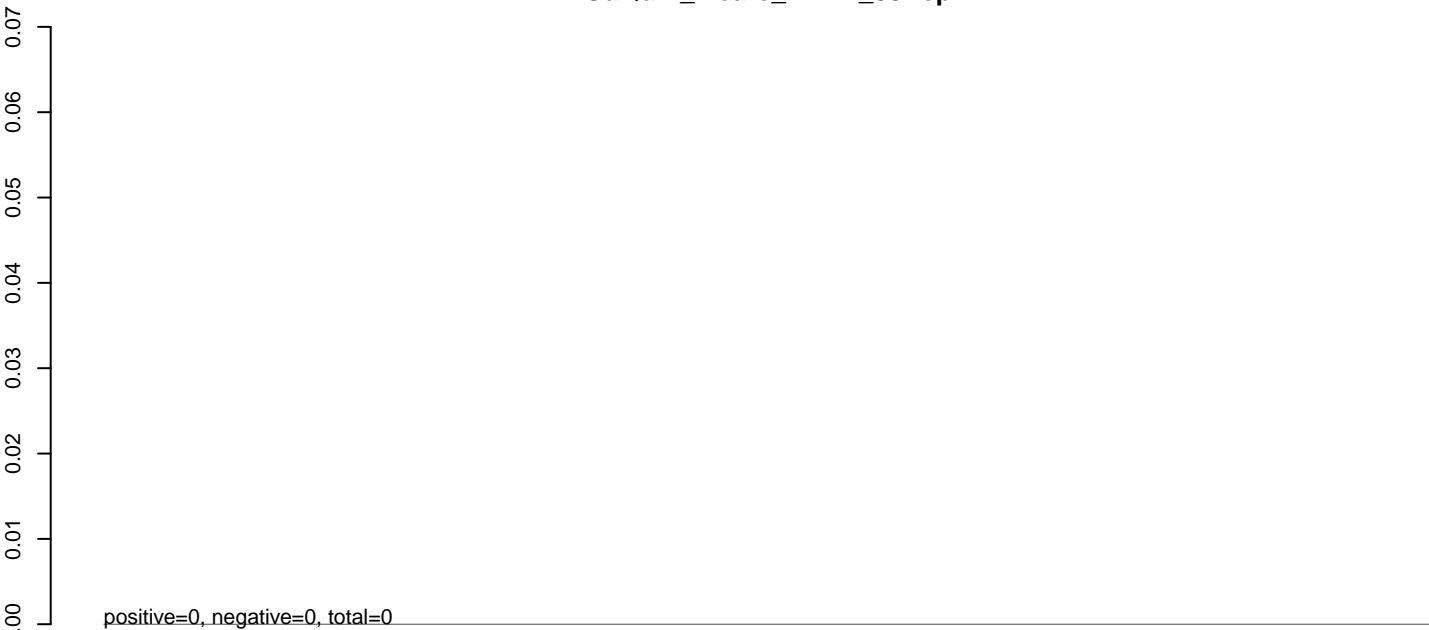
CuQuin_Mcarc_NL.rep



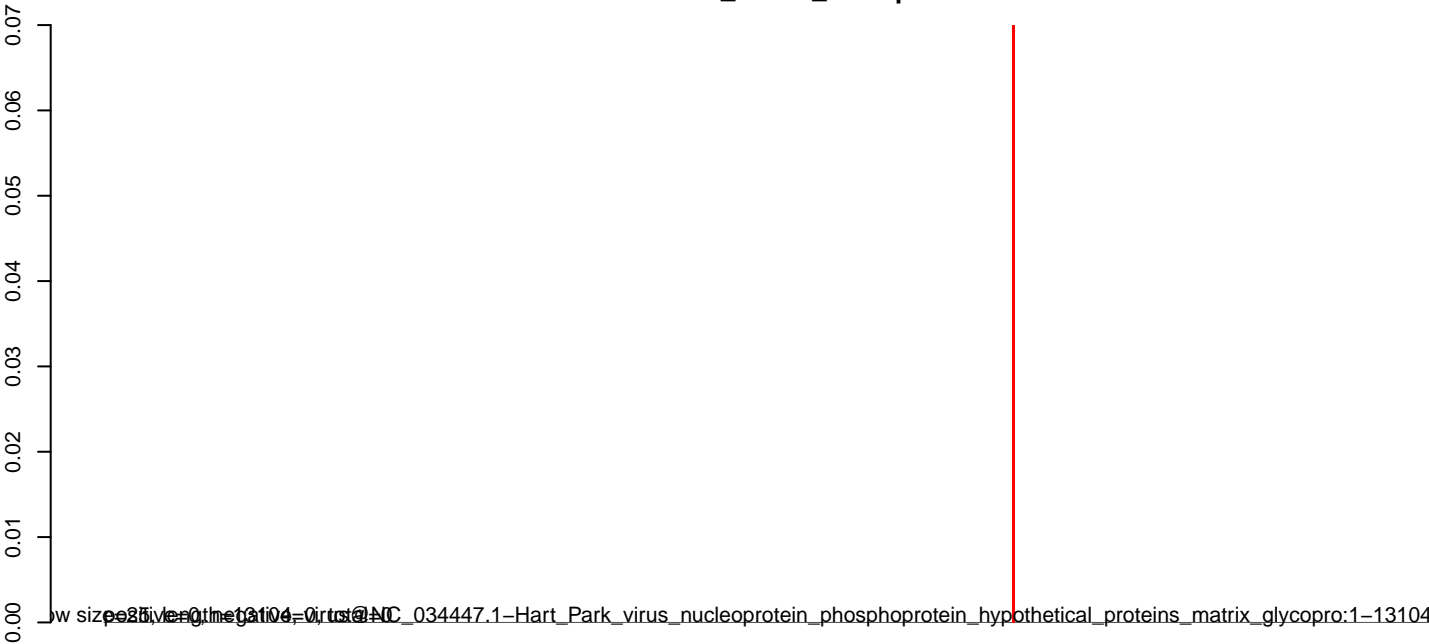
CuQuin_Mcarc_NL.18_23.rep



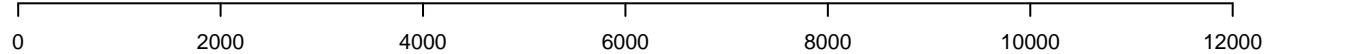
CuQuin_Mcarc_NL.24_35.rep



CuQuin_Mcarc_NL.rep



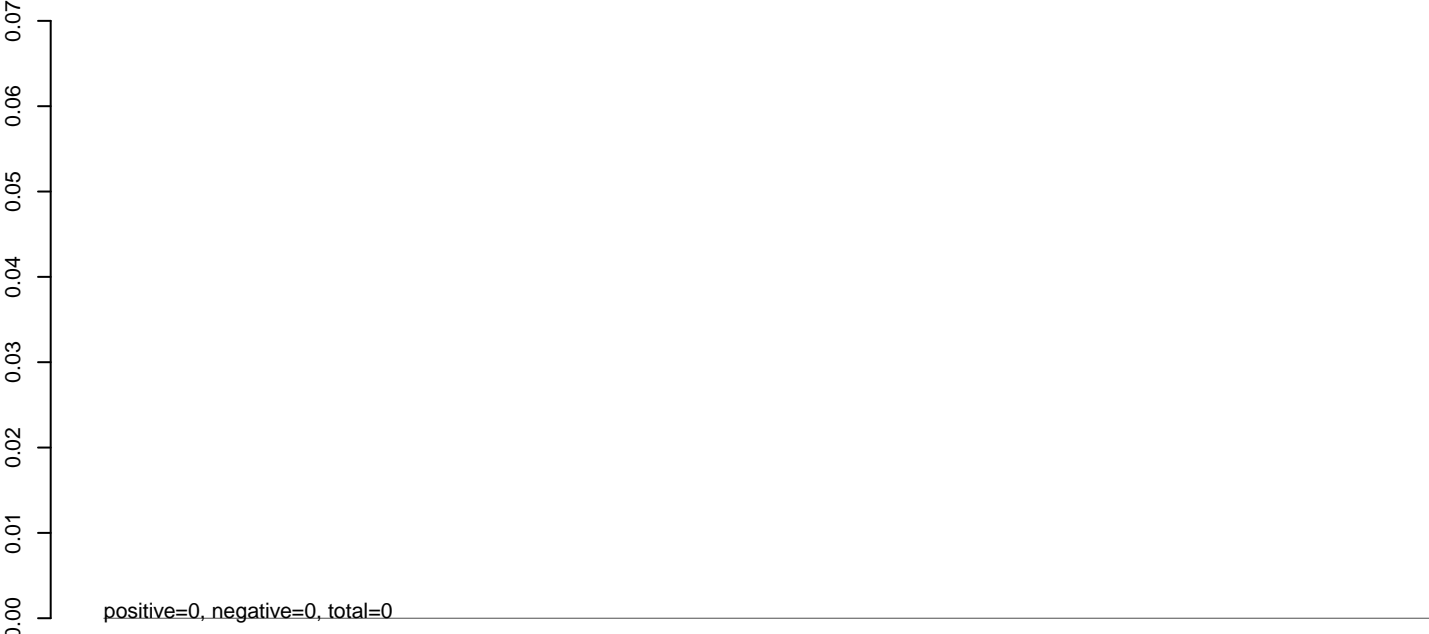
low size positive=0, negative=0, total=0
nc_034447.1-Hart_Park_virus_nucleoprotein_phosphoprotein_hypothetical_proteins_matrix_glycopro:1-13104



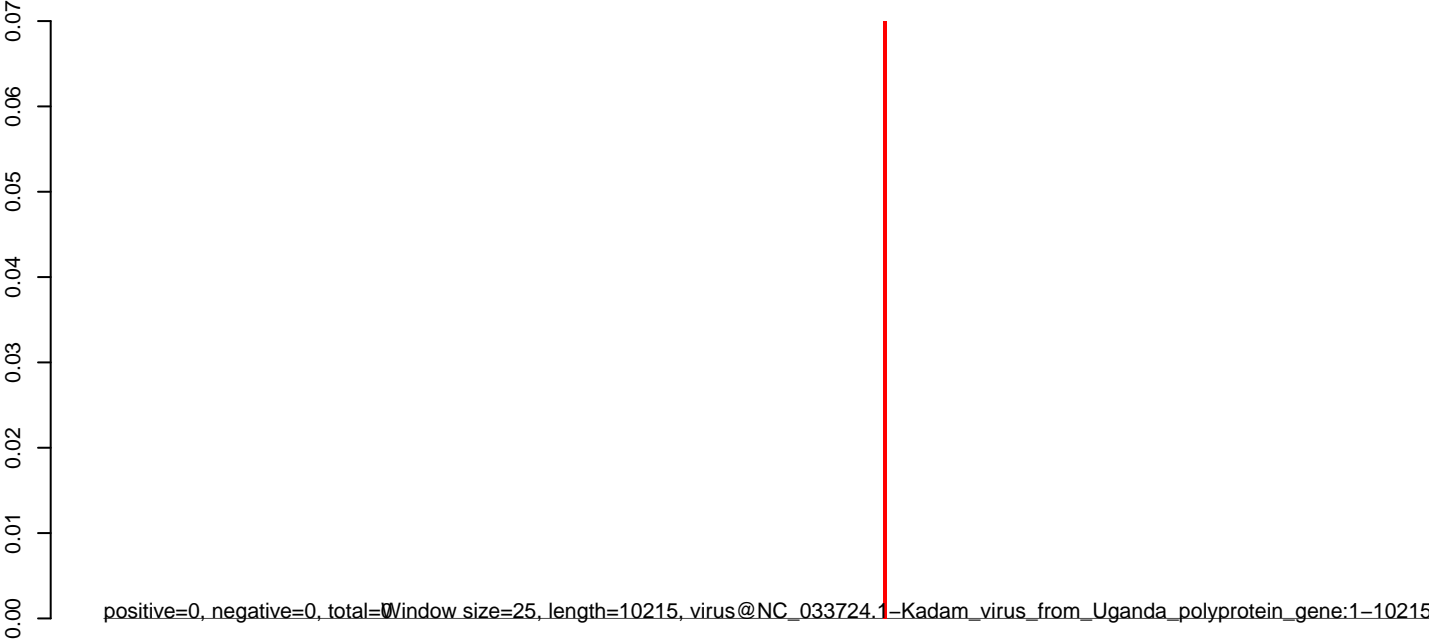
CuQuin_Mcarc_NL.18_23.rep



CuQuin_Mcarc_NL.24_35.rep

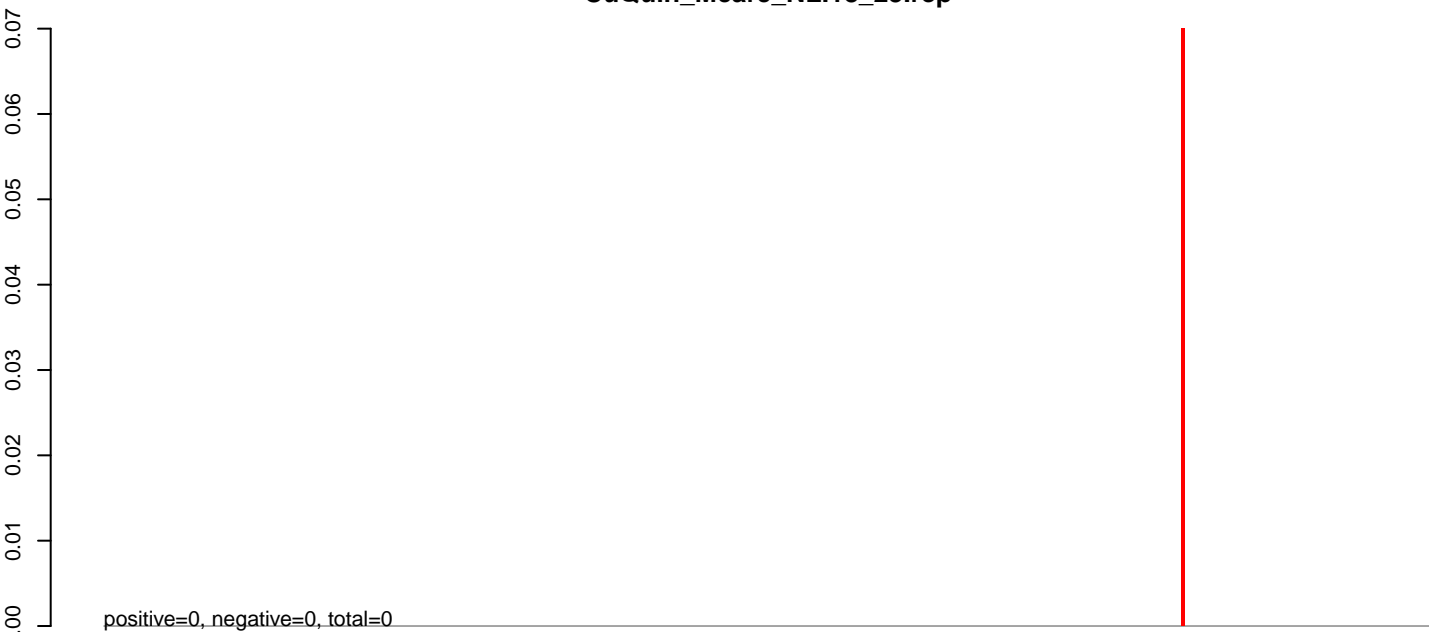


CuQuin_Mcarc_NL.rep

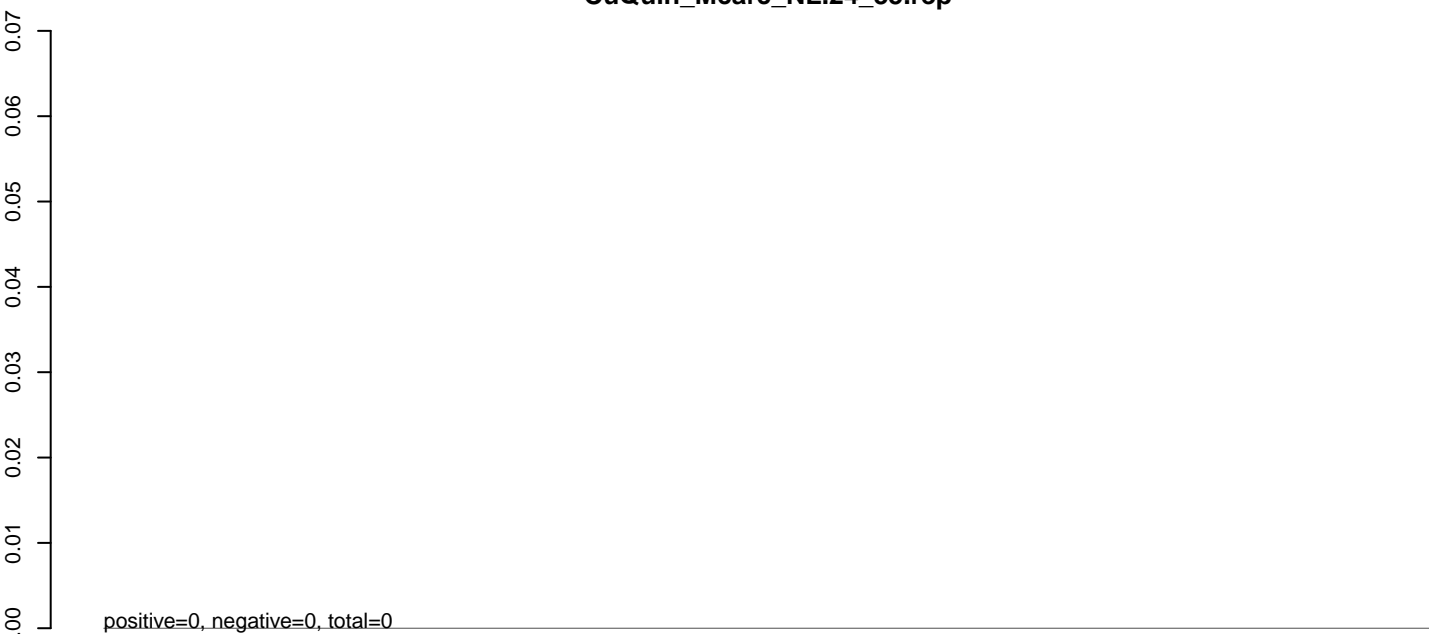


0 2000 4000 6000 8000 10000

CuQuin_Mcarc_NL.18_23.rep



CuQuin_Mcarc_NL.24_35.rep

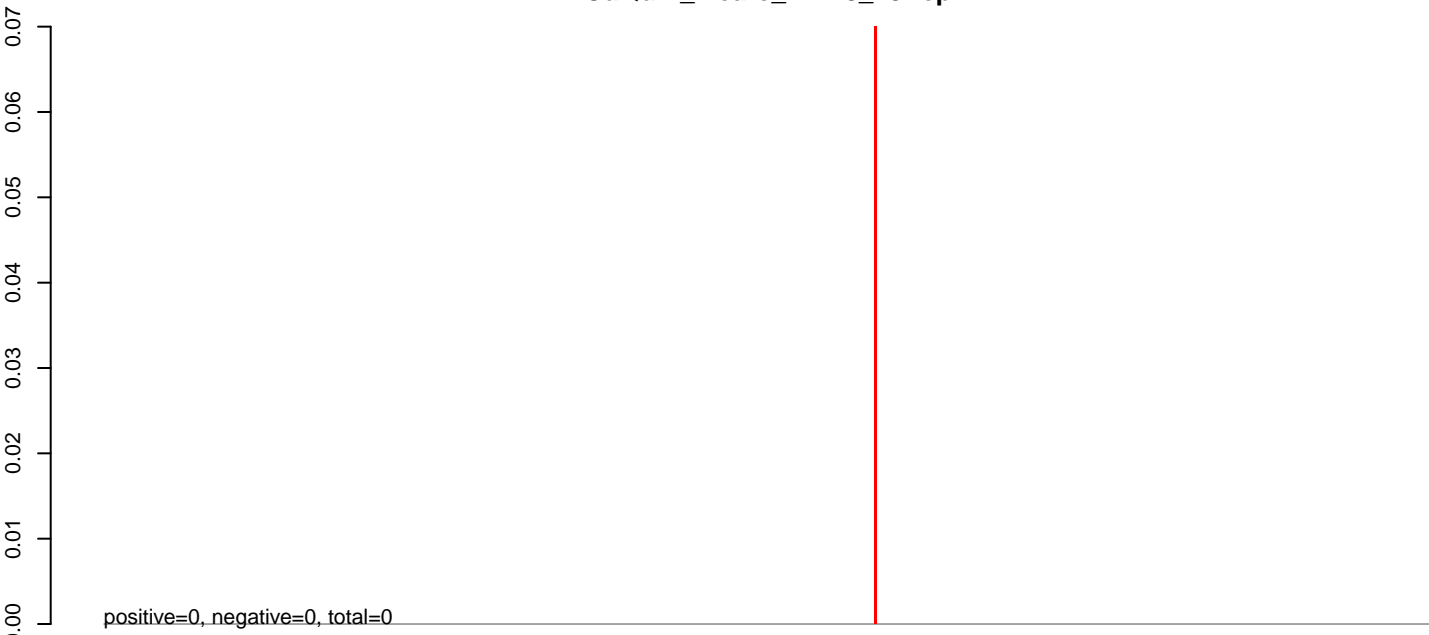


CuQuin_Mcarc_NL.rep

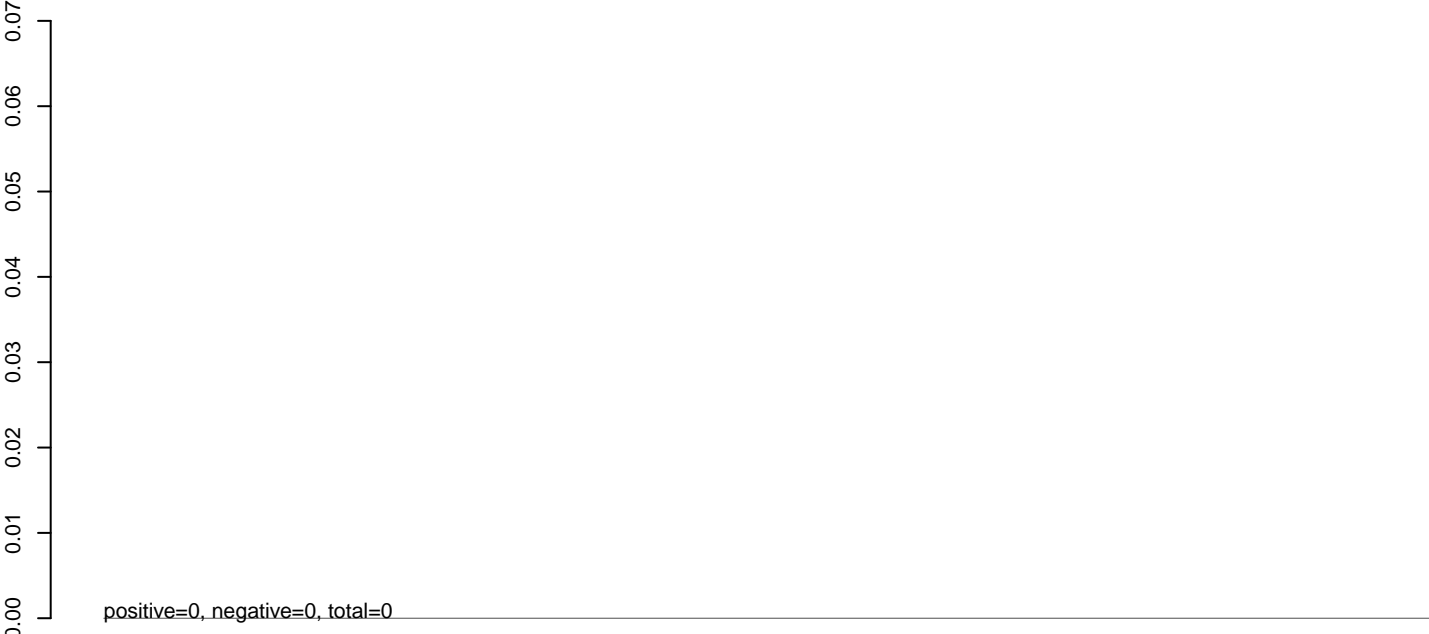


0 2000 4000 6000 8000 10000

CuQuin_Mcarc_NL.18_23.rep



CuQuin_Mcarc_NL.24_35.rep



CuQuin_Mcarc_NL.rep



0 2000 4000 6000 8000 10000

CuQuin_Mcarc_NL.18_23.rep

0.00
-0.01
-0.02
-0.03
-0.04
-0.05
-0.06
-0.07

positive=0, negative=0, total=0

CuQuin_Mcarc_NL.24_35.rep

0.00
-0.01
-0.02
-0.03
-0.04
-0.05
-0.06
-0.07

positive=0, negative=0, total=0

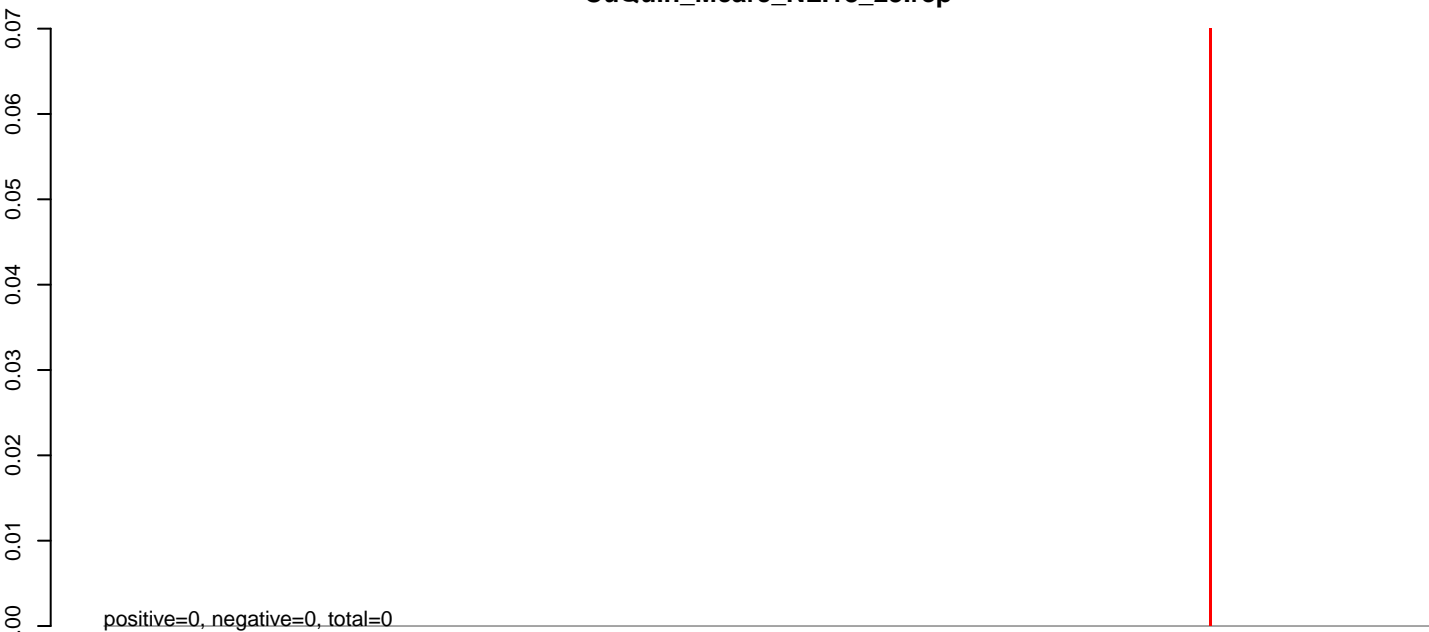
CuQuin_Mcarc_NL.rep

0.00
-0.01
-0.02
-0.03
-0.04
-0.05
-0.06
-0.07

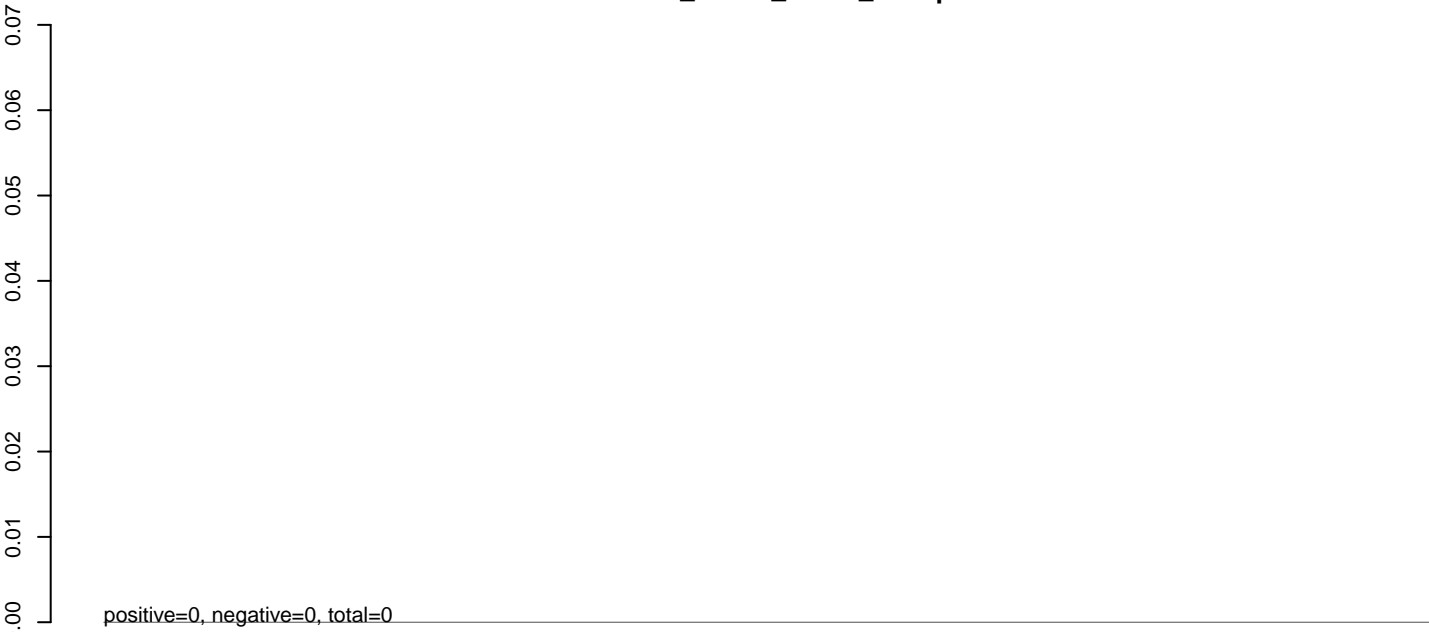
positive=0, negative=0, total=0
index size=25, length=12072, virus@NC_031319.1_Wutai_Mosquito_Virus_strain_QN3-5_nucleopasid_protein_N_G_L:1-12072

0 2000 4000 6000 8000 10000 12000

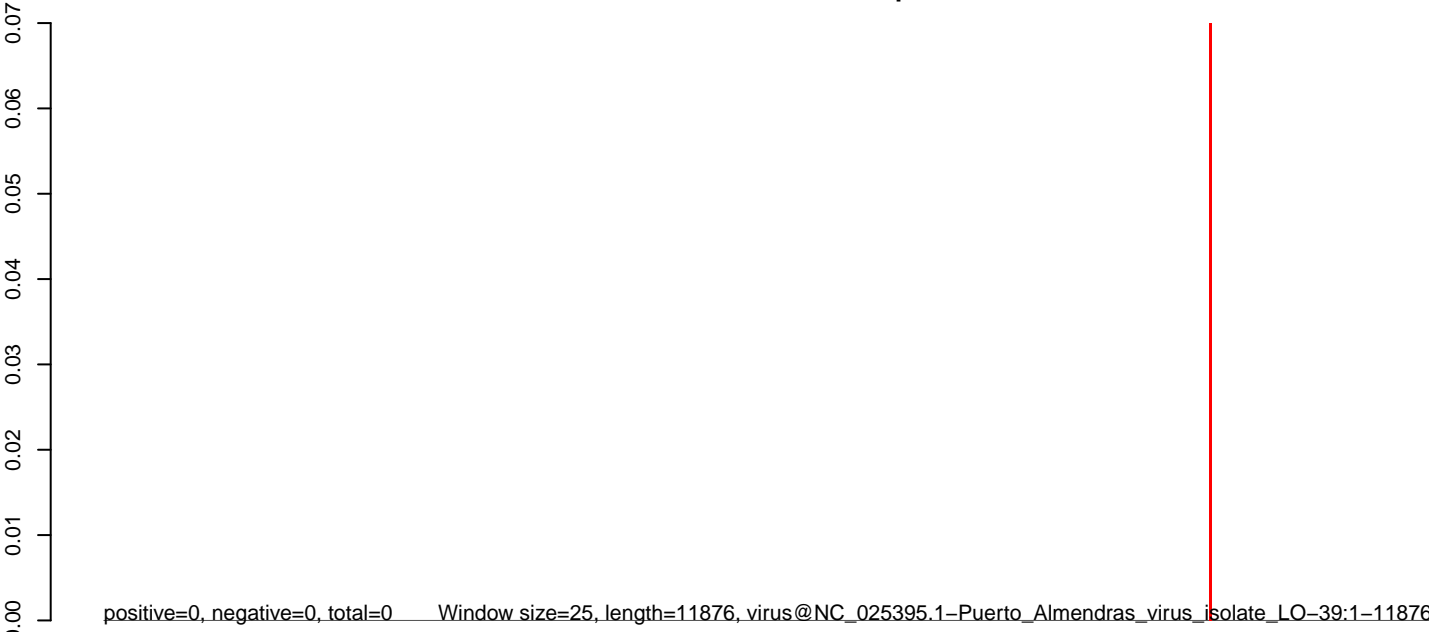
CuQuin_Mcarc_NL.18_23.rep



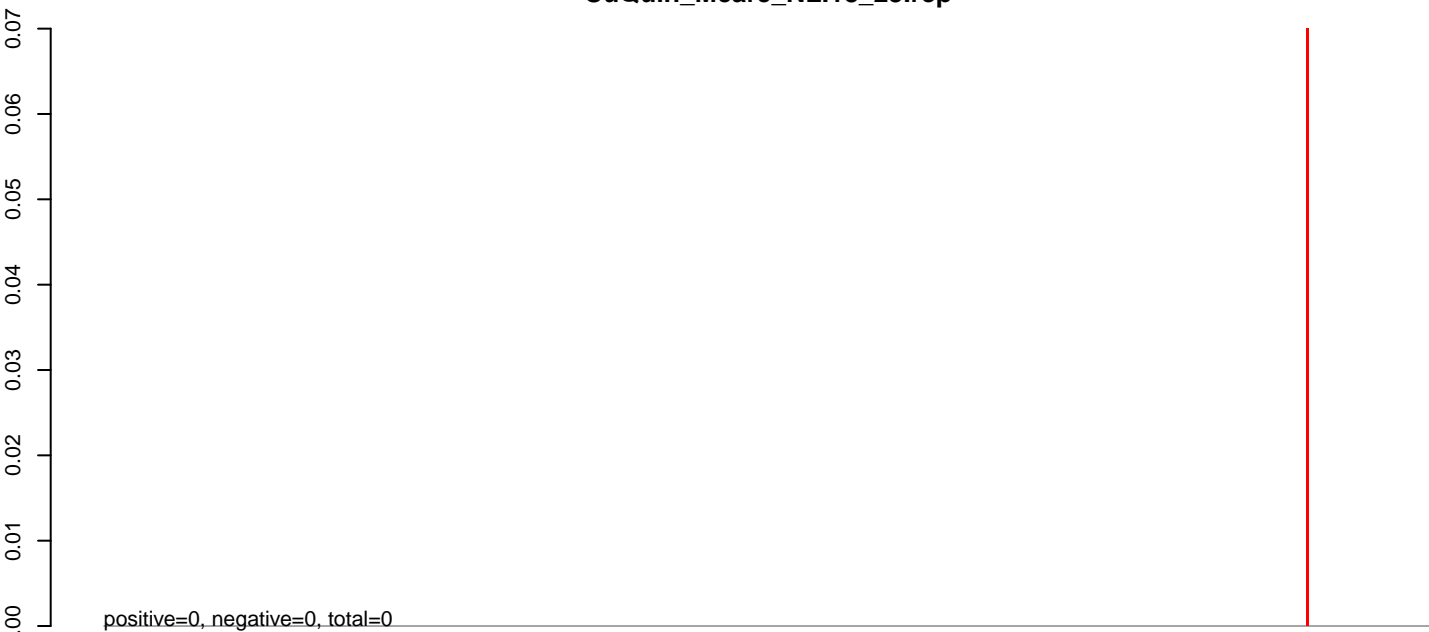
CuQuin_Mcarc_NL.24_35.rep



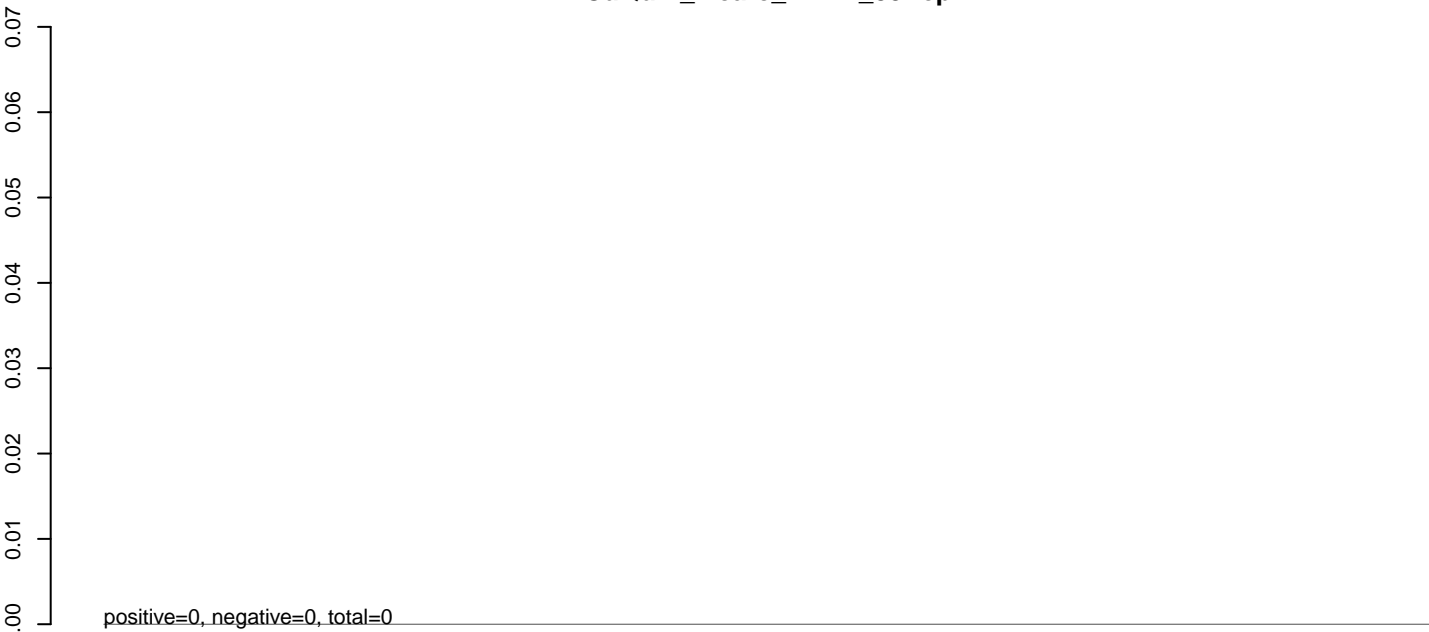
CuQuin_Mcarc_NL.rep



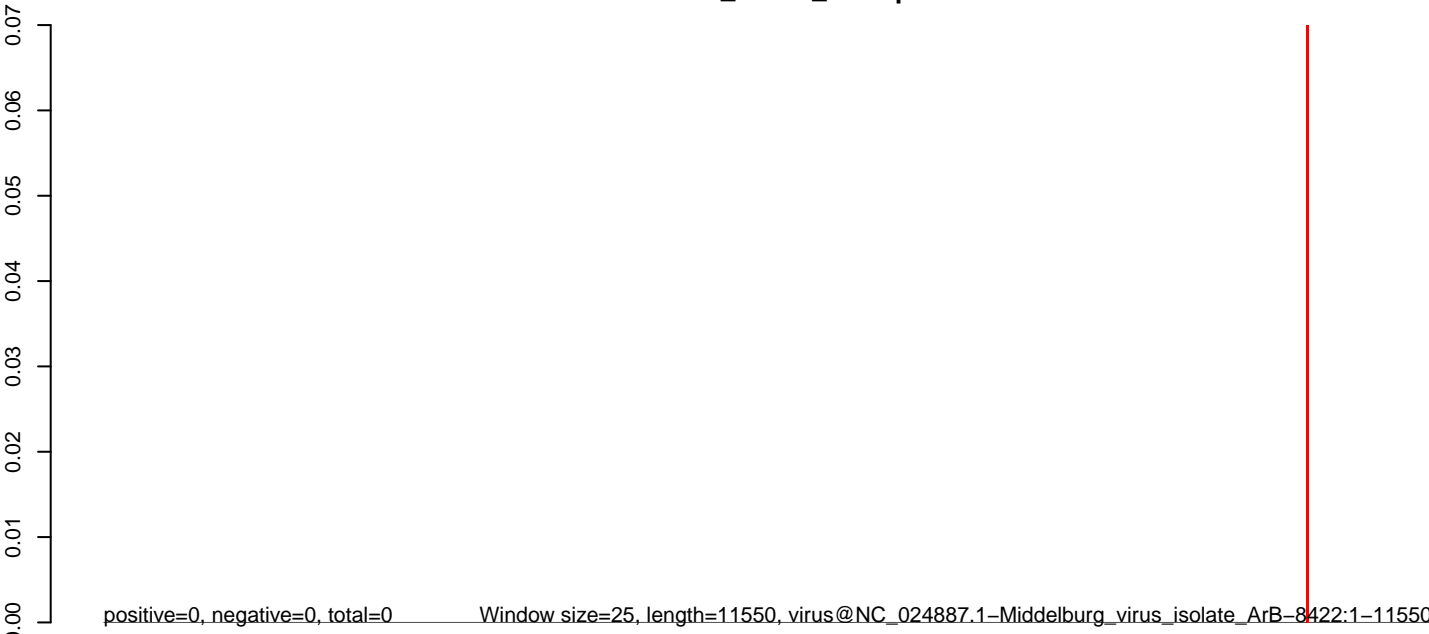
CuQuin_Mcarc_NL.18_23.rep



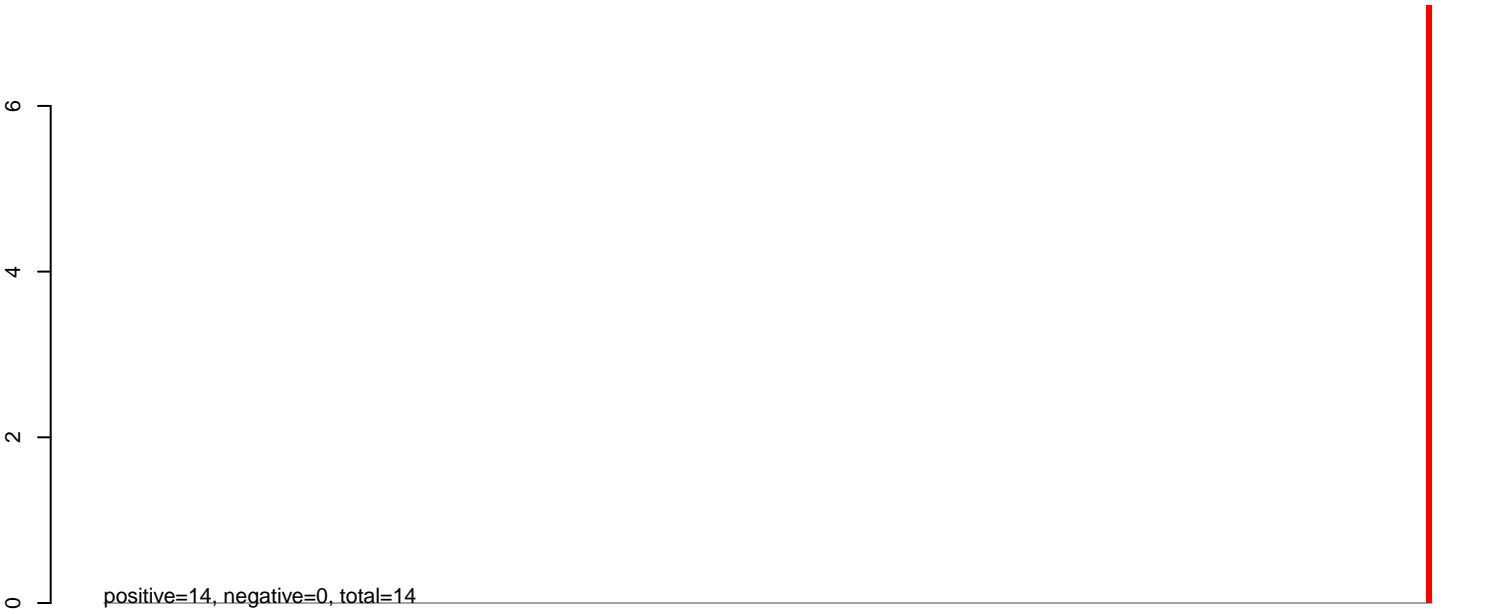
CuQuin_Mcarc_NL.24_35.rep



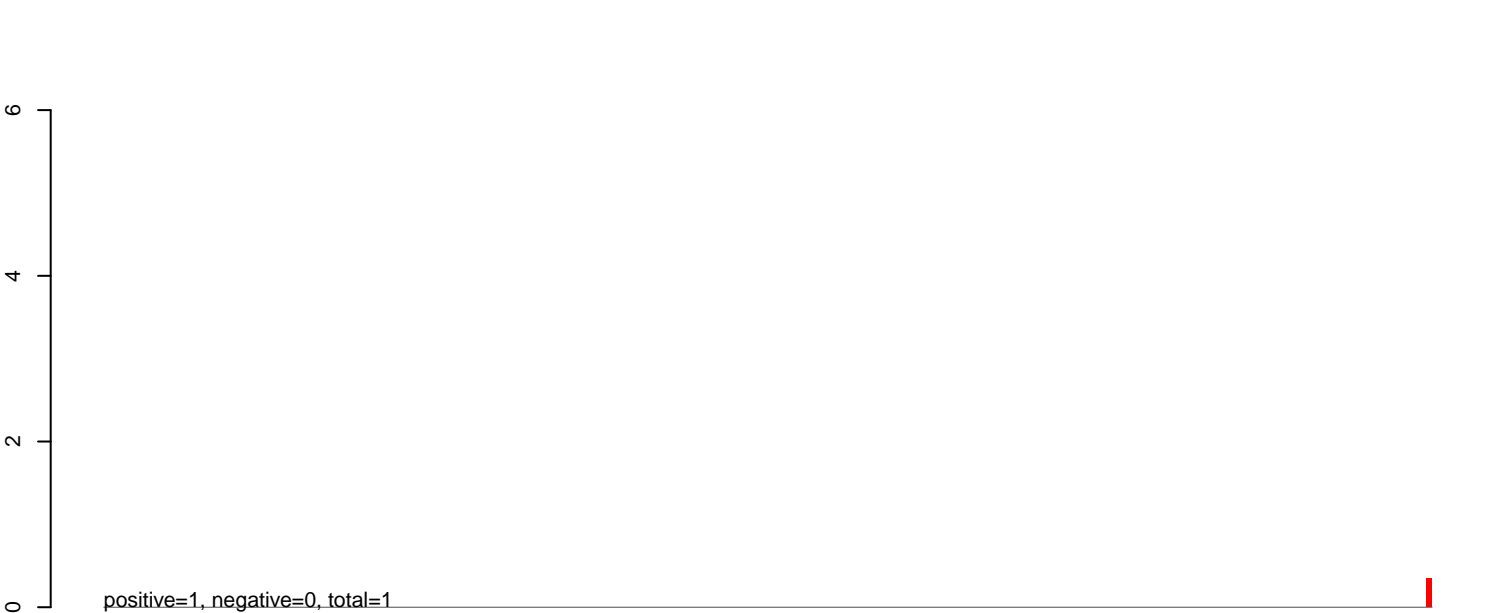
CuQuin_Mcarc_NL.rep



CuQuin_Mcarc_NL.18_23.rep



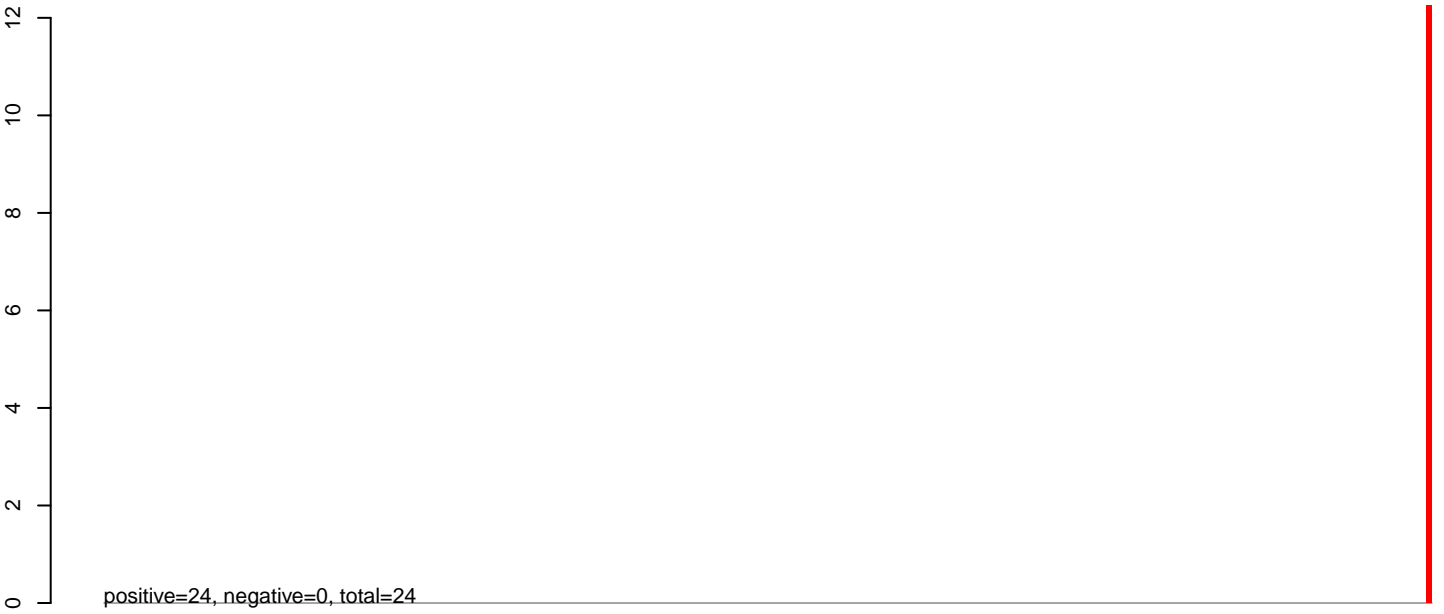
CuQuin_Mcarc_NL.24_35.rep



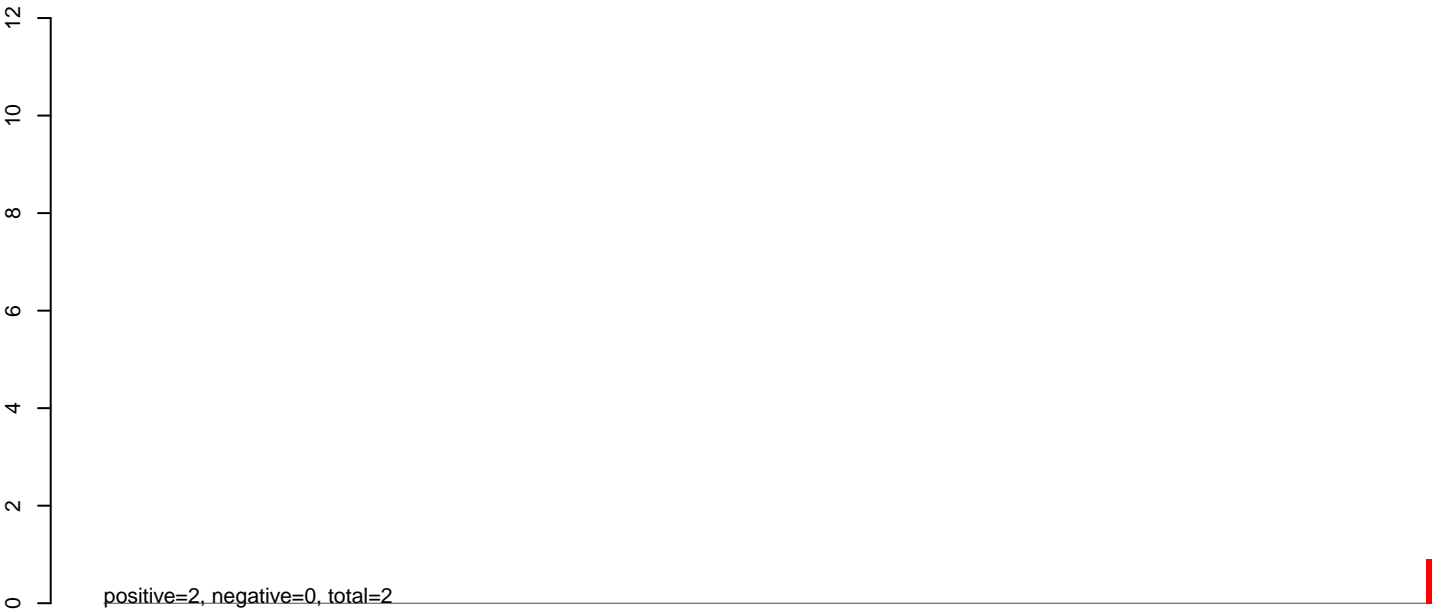
CuQuin_Mcarc_NL.rep



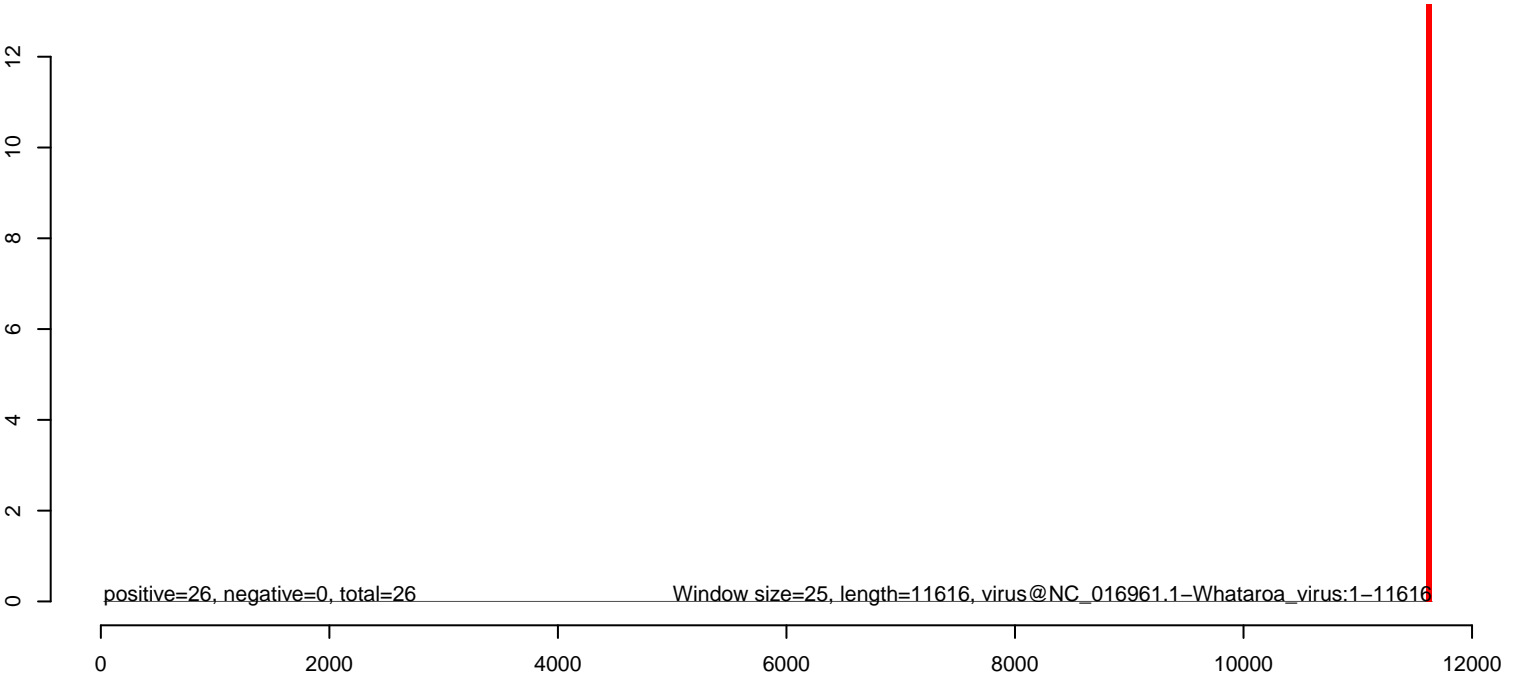
CuQuin_Mcarc_NL.18_23.rep



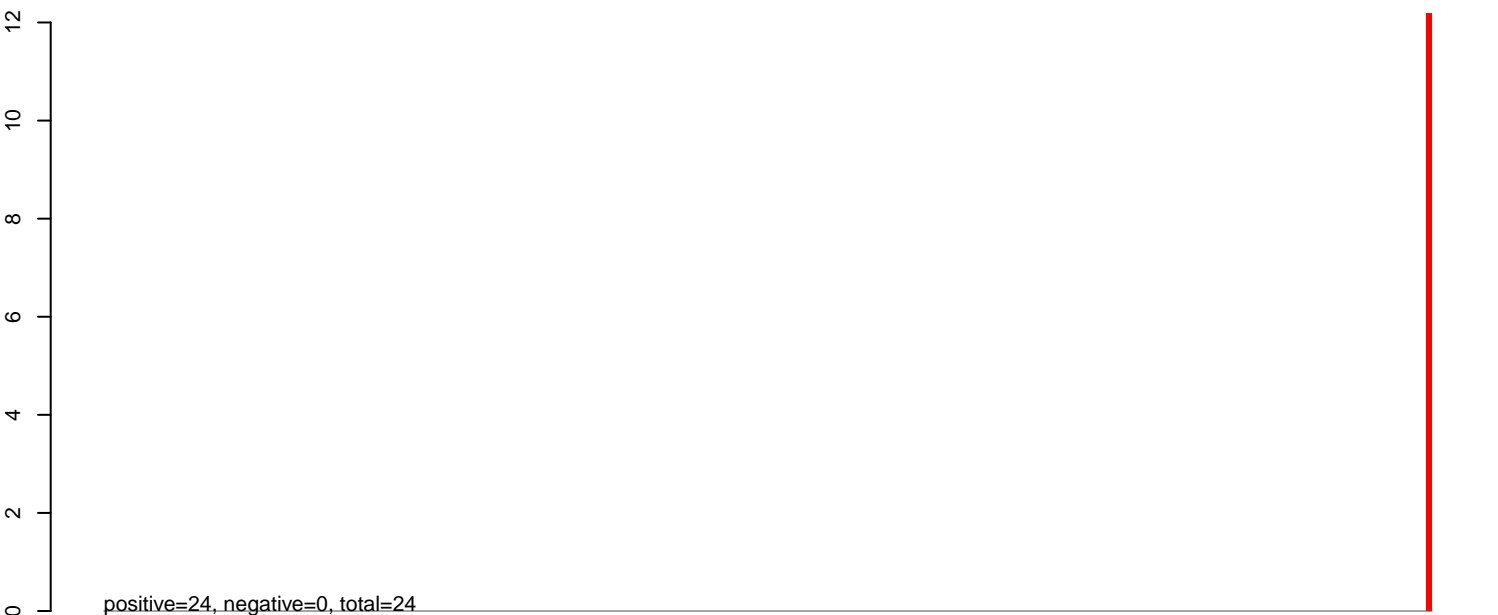
CuQuin_Mcarc_NL.24_35.rep



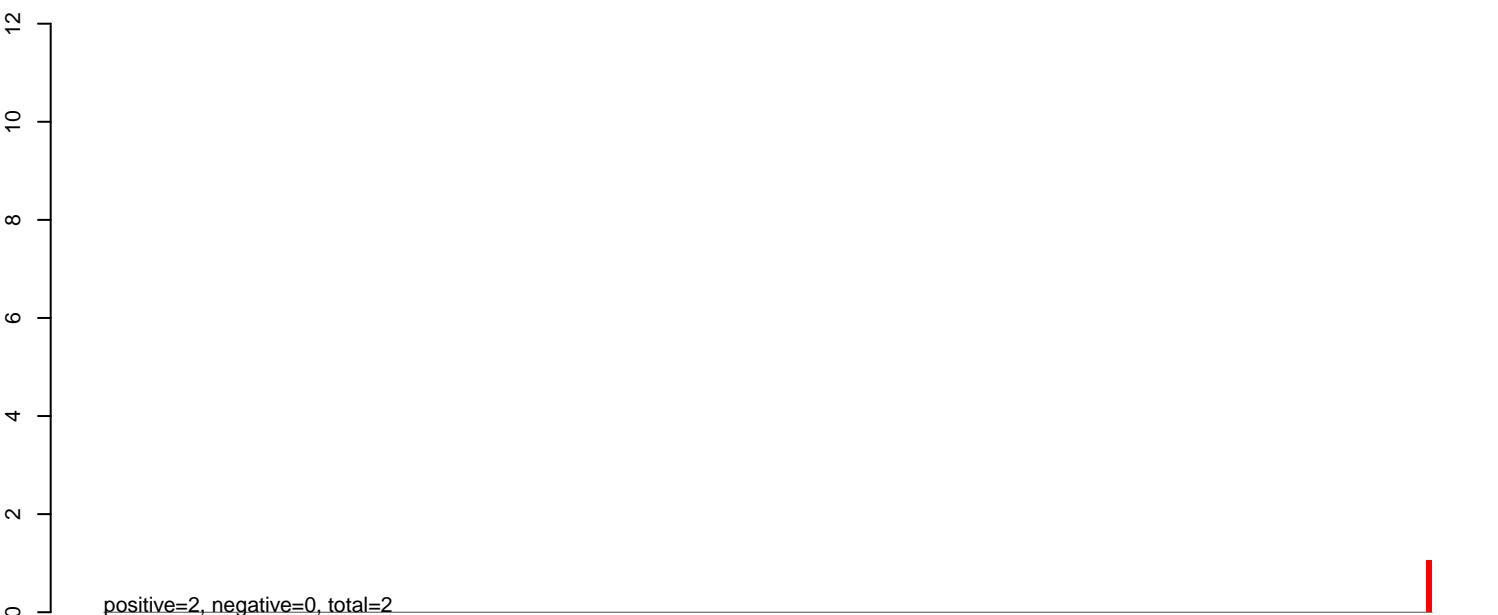
CuQuin_Mcarc_NL.rep



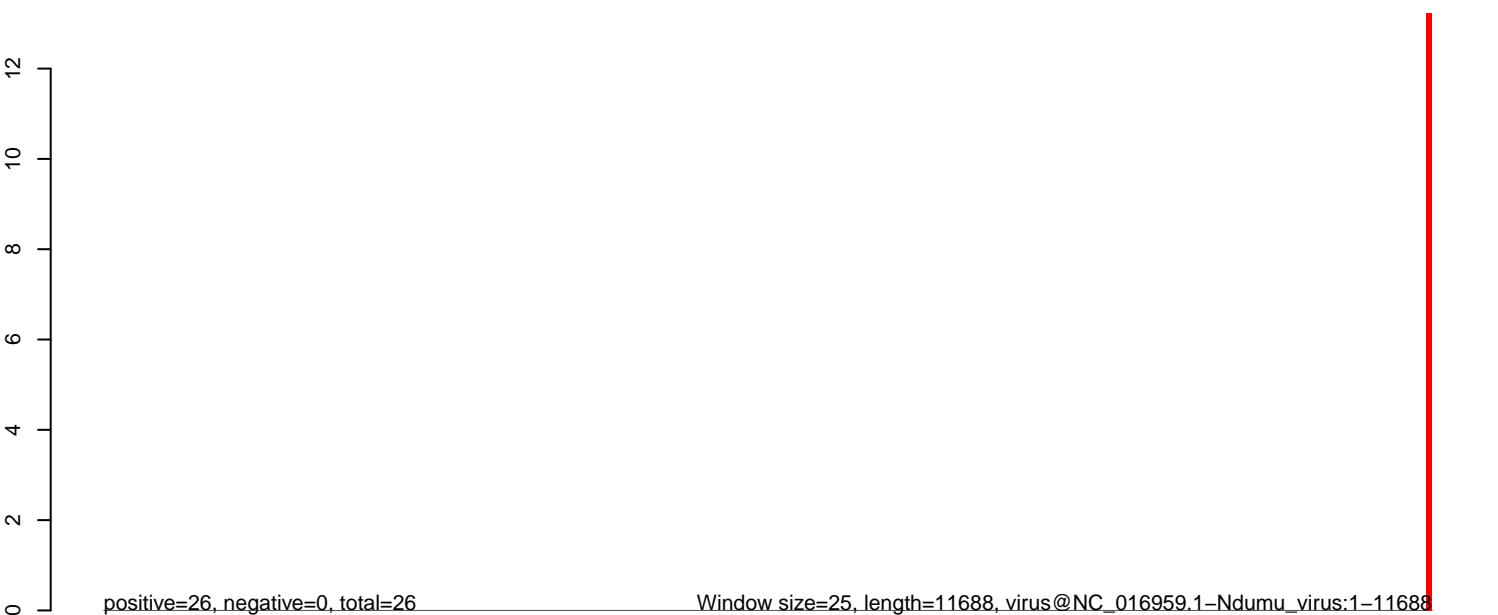
CuQuin_Mcarc_NL.18_23.rep



CuQuin_Mcarc_NL.24_35.rep



CuQuin_Mcarc_NL.rep



CuQuin_Mcarc_NL.18_23.rep

0.00
-0.01
-0.02
-0.03
-0.04
-0.05
-0.06
-0.07

positive=0, negative=0, total=0

CuQuin_Mcarc_NL.24_35.rep

0.00
-0.01
-0.02
-0.03
-0.04
-0.05
-0.06
-0.07

positive=0, negative=0, total=0

CuQuin_Mcarc_NL.rep

0.00
-0.01
-0.02
-0.03
-0.04
-0.05
-0.06
-0.07

positive=0, negative=0, total=0

Window size=25, length=11381, virus@NC_013528.1-Fort_Morgan_virus:1-11381

0 2000 4000 6000 8000 10000

CuQuin_Mcarc_NL.18_23.rep

0.00
-0.01
-0.02
-0.03
-0.04
-0.05
-0.06
-0.07

positive=0, negative=0, total=0

CuQuin_Mcarc_NL.24_35.rep

0.00
-0.01
-0.02
-0.03
-0.04
-0.05
-0.06
-0.07

positive=0, negative=0, total=0

CuQuin_Mcarc_NL.rep

0.00
-0.01
-0.02
-0.03
-0.04
-0.05
-0.06
-0.07

positive=0, negative=0, total=0

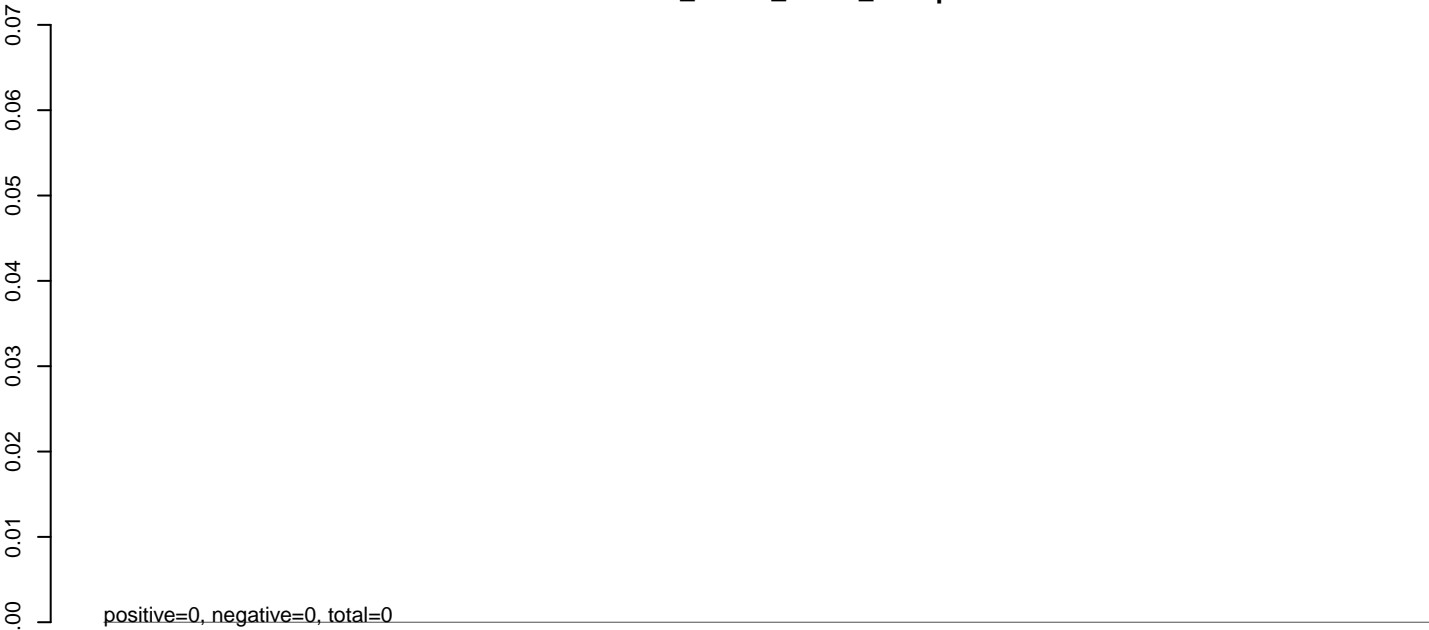
Window size=25, length=10814, virus@NC_012735.1-Wesselsbron_virus:1-10814

0 2000 4000 6000 8000 10000

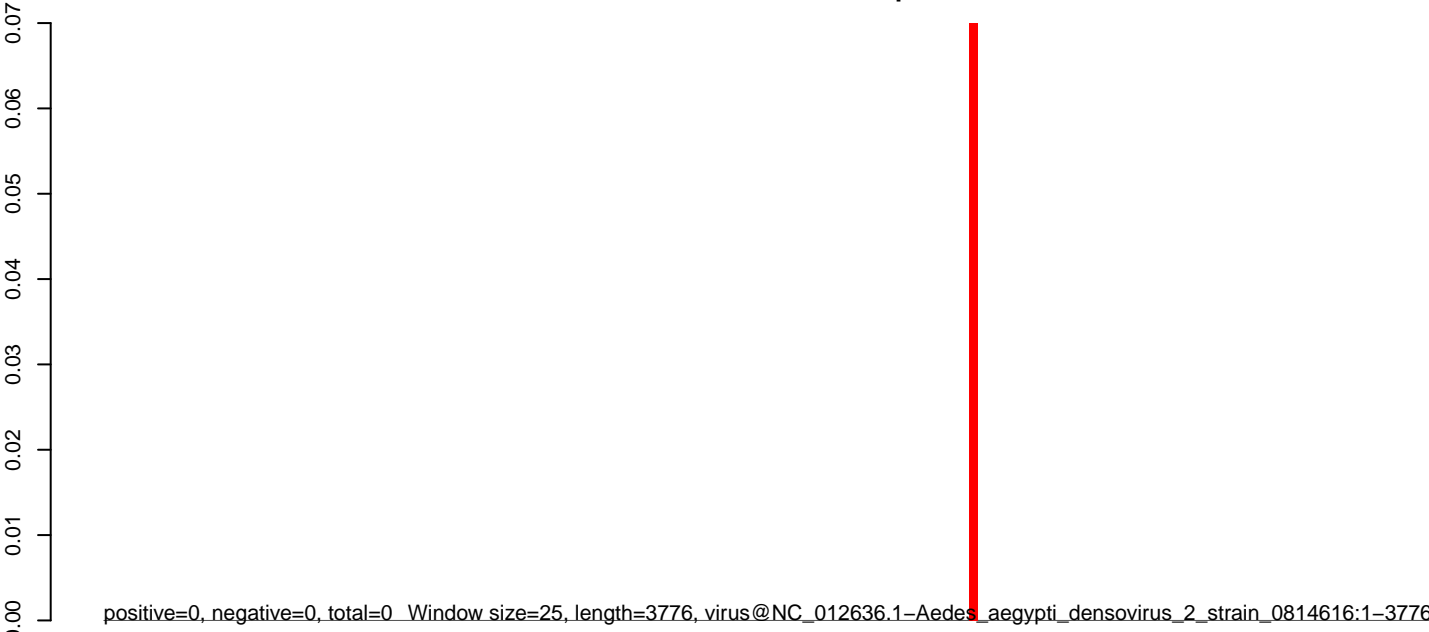
CuQuin_Mcarc_NL.18_23.rep



CuQuin_Mcarc_NL.24_35.rep

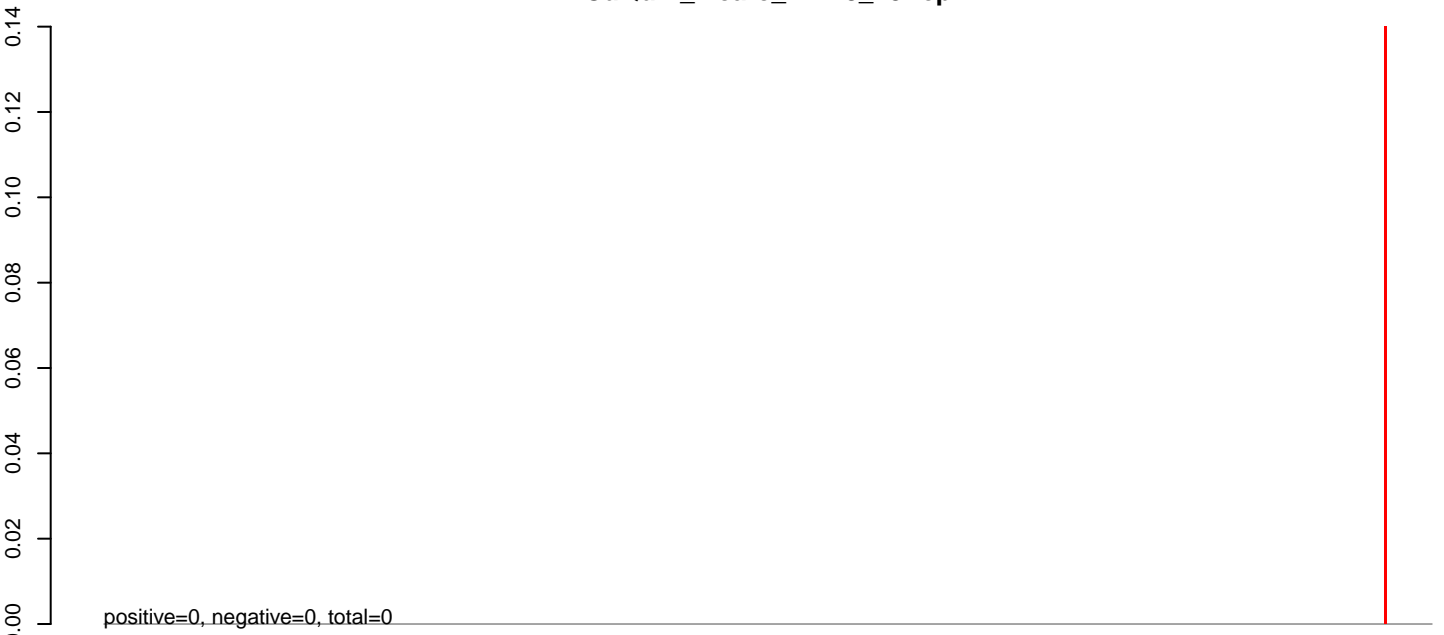


CuQuin_Mcarc_NL.rep

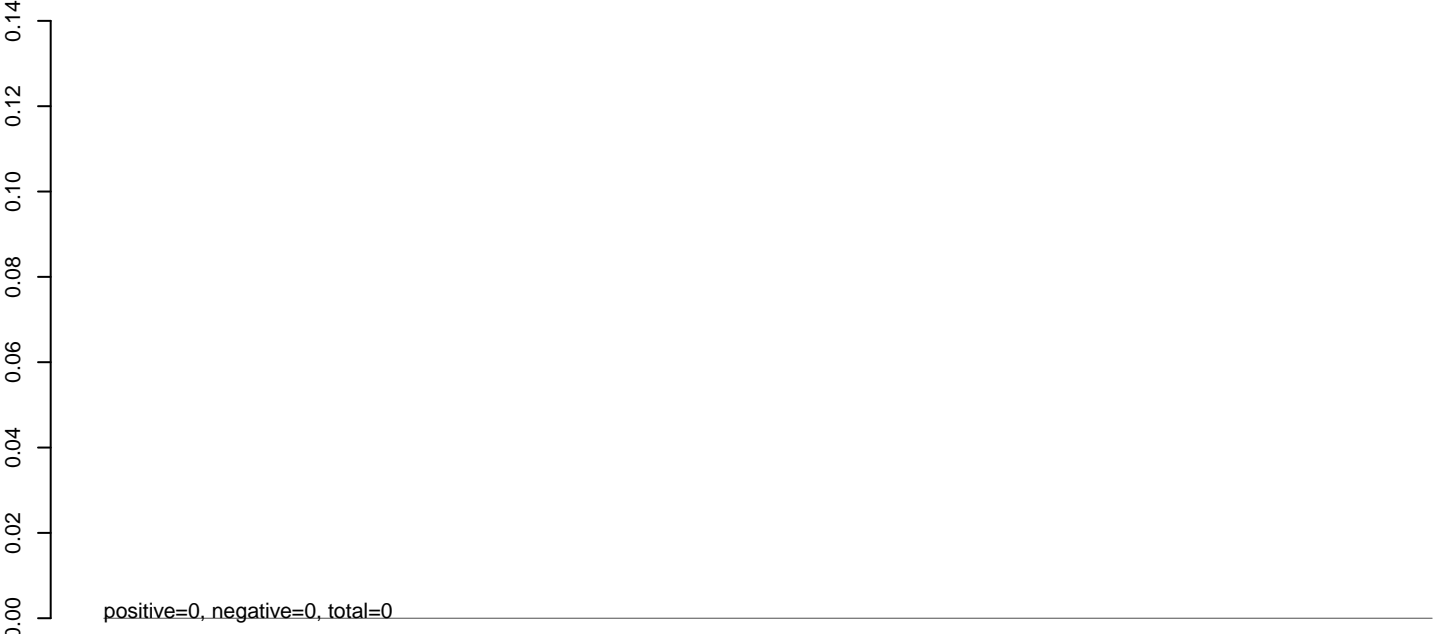


0 1000 2000 3000

CuQuin_Mcarc_NL.18_23.rep



CuQuin_Mcarc_NL.24_35.rep



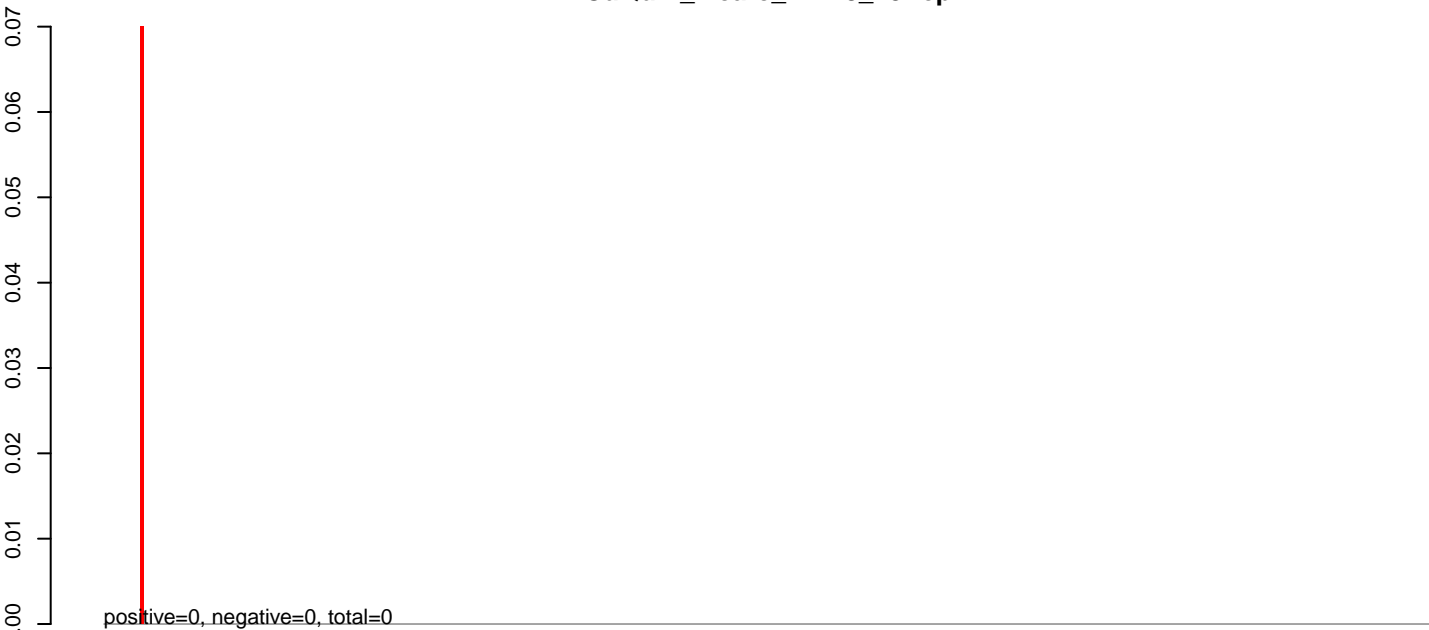
CuQuin_Mcarc_NL.rep



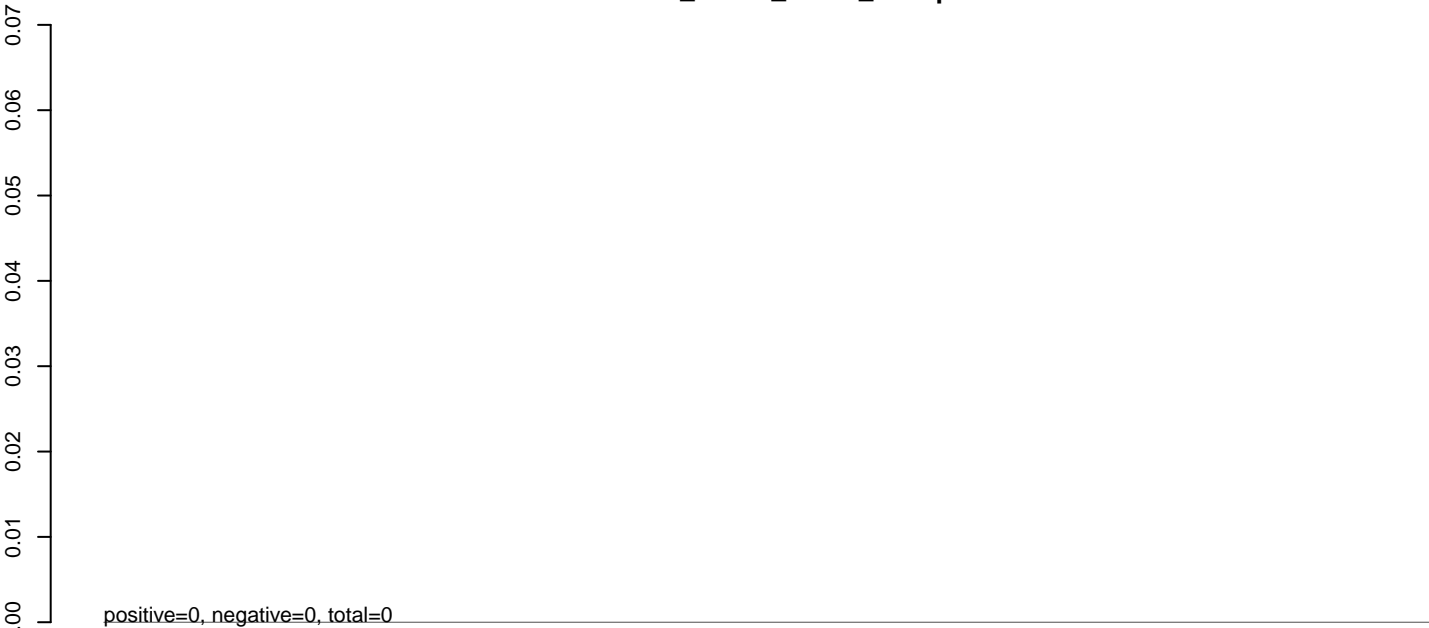
Window size=25, length=11826, virus@NC_004162.2-Chikungunya_virus:1-11826

0 2000 4000 6000 8000 10000 12000

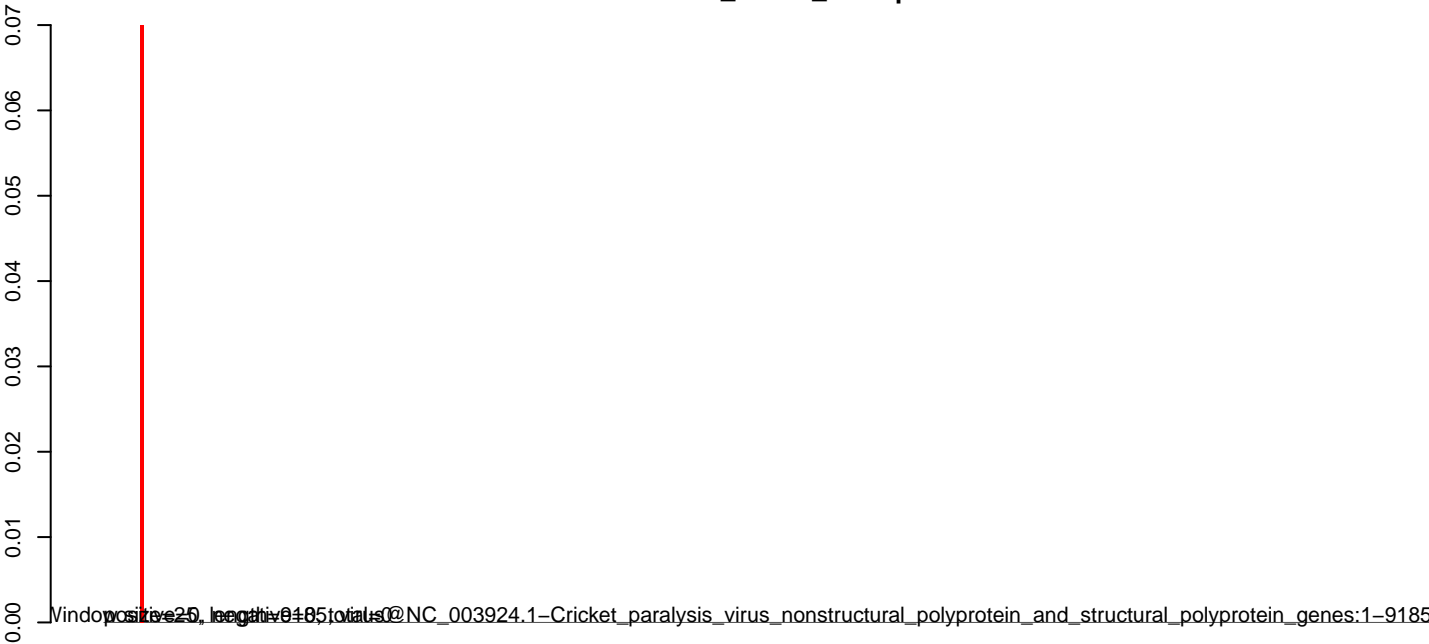
CuQuin_Mcarc_NL.18_23.rep



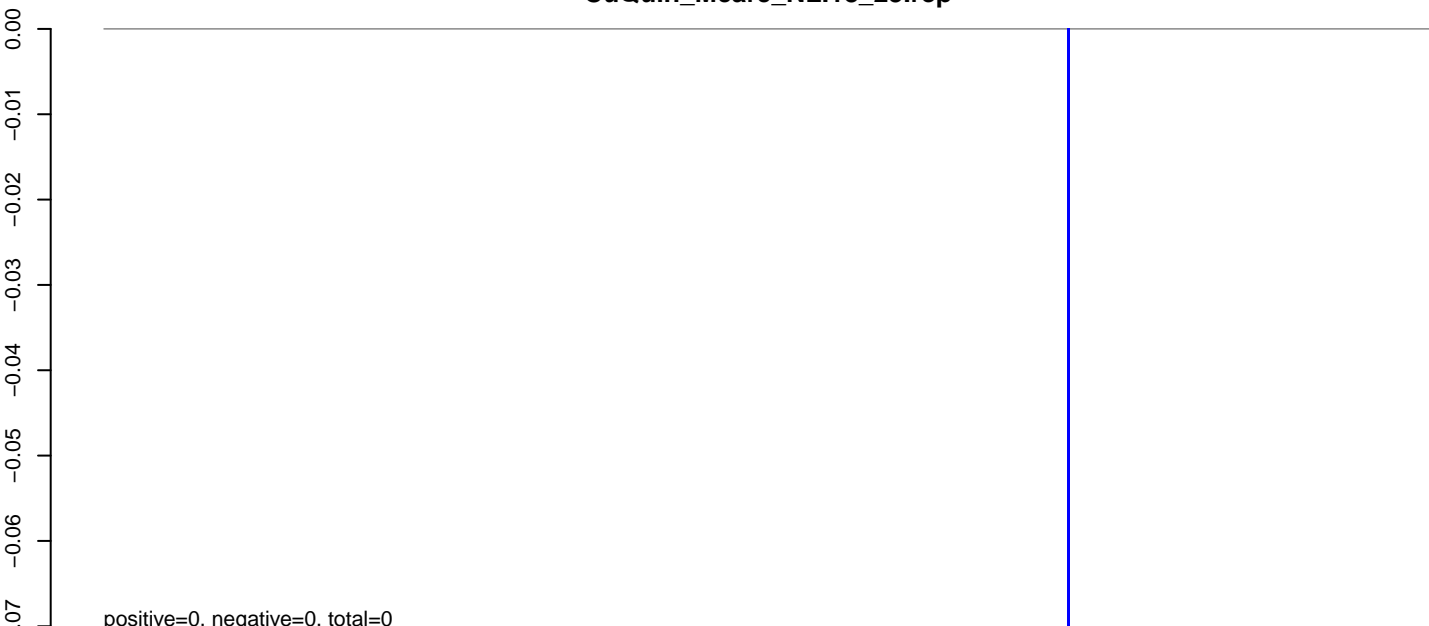
CuQuin_Mcarc_NL.24_35.rep



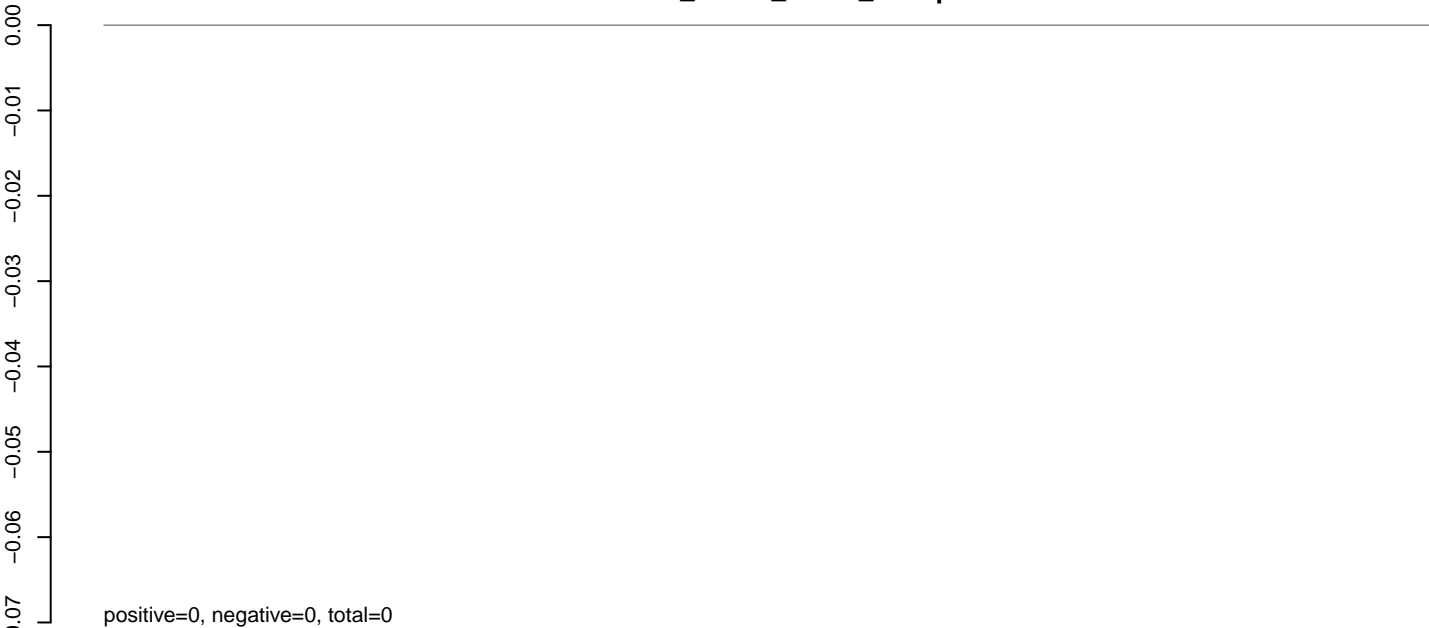
CuQuin_Mcarc_NL.rep



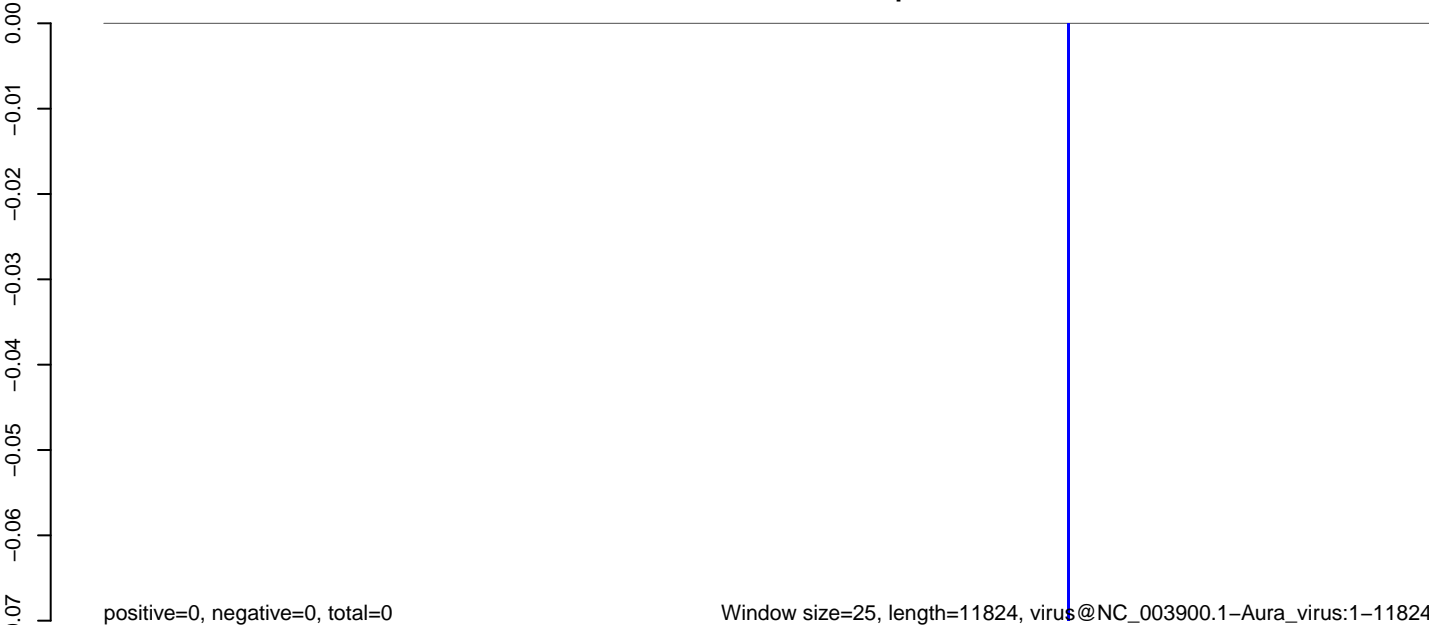
CuQuin_Mcarc_NL.18_23.rep



CuQuin_Mcarc_NL.24_35.rep



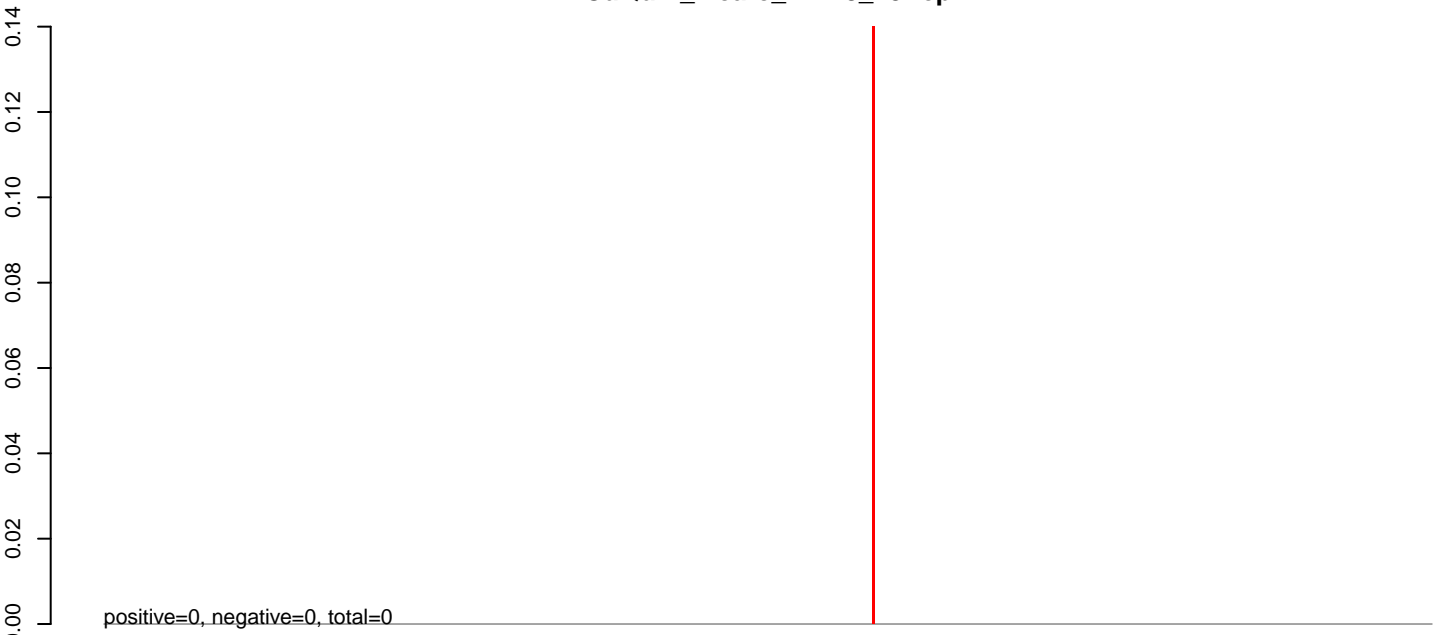
CuQuin_Mcarc_NL.rep



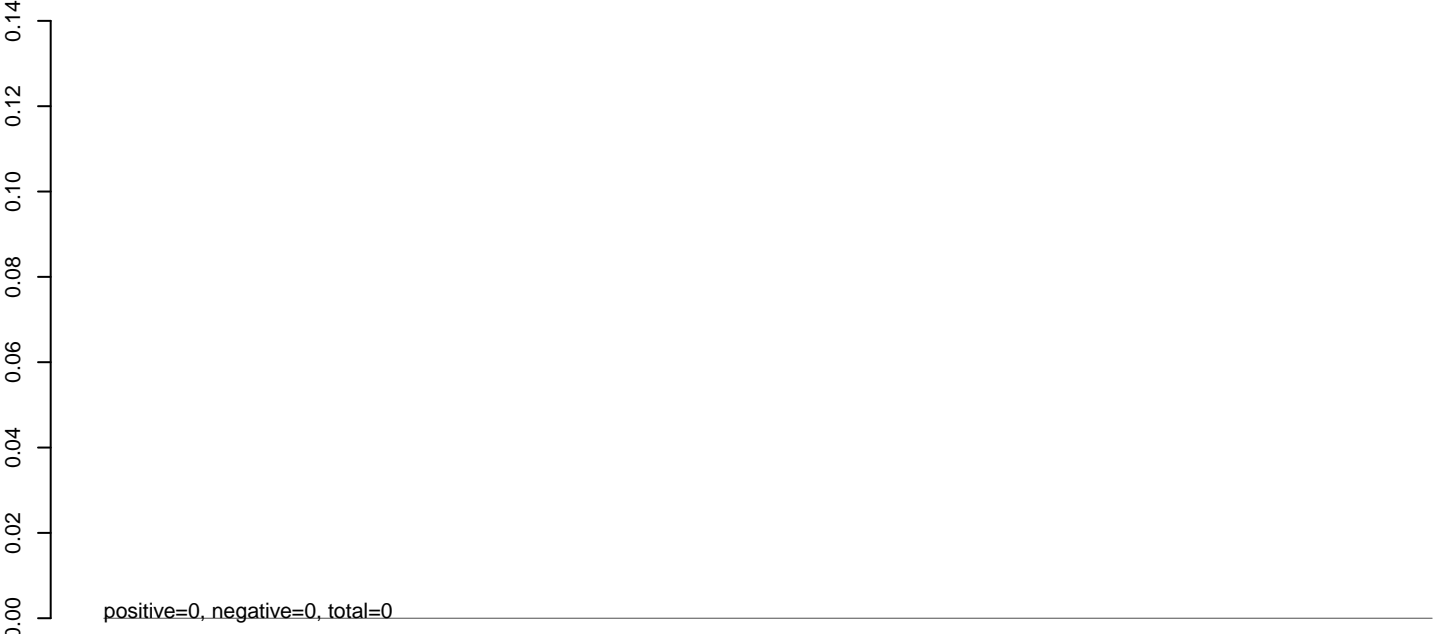
Window size=25, length=11824, virus@NC_003900.1-Aura_virus:1-11824

0 2000 4000 6000 8000 10000 12000

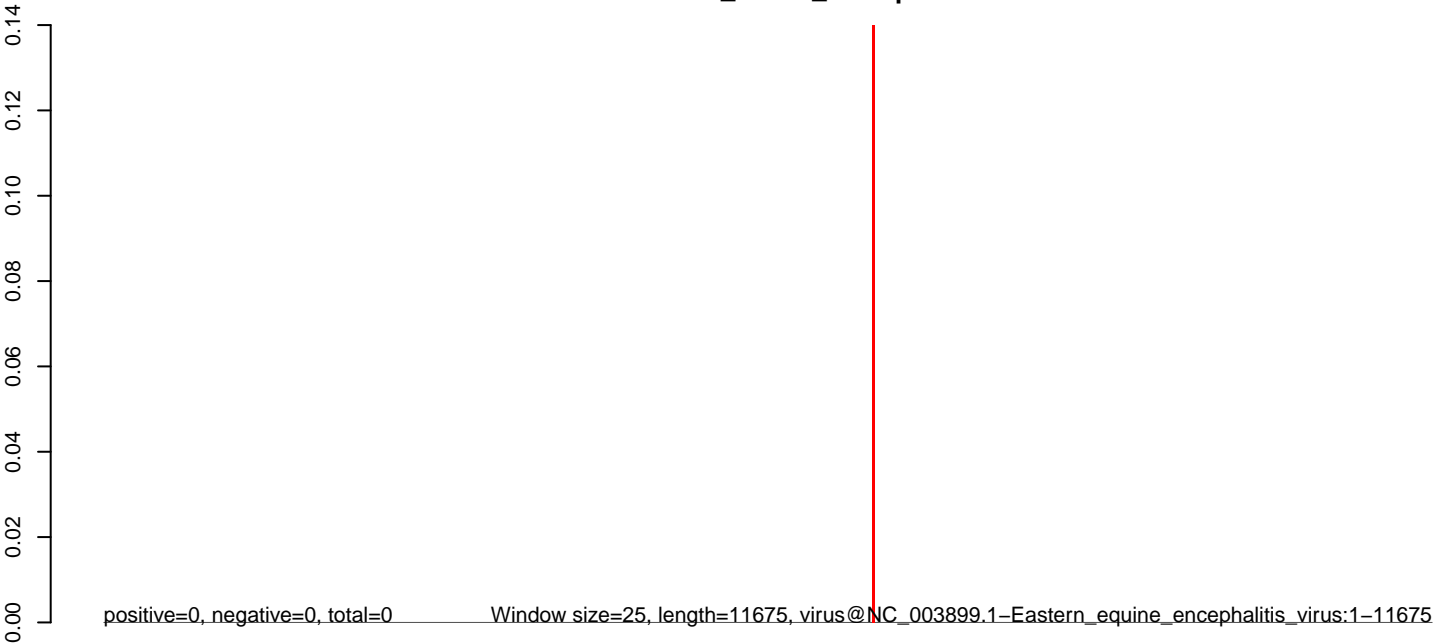
CuQuin_Mcarc_NL.18_23.rep



CuQuin_Mcarc_NL.24_35.rep

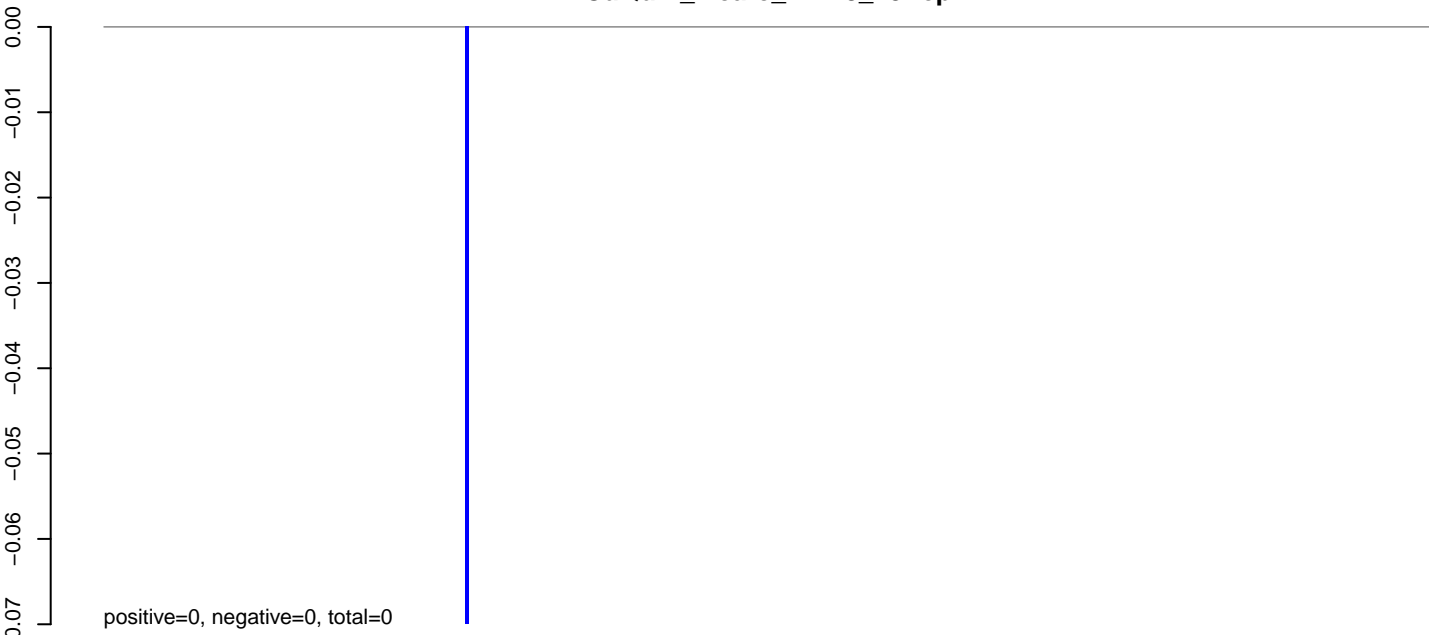


CuQuin_Mcarc_NL.rep

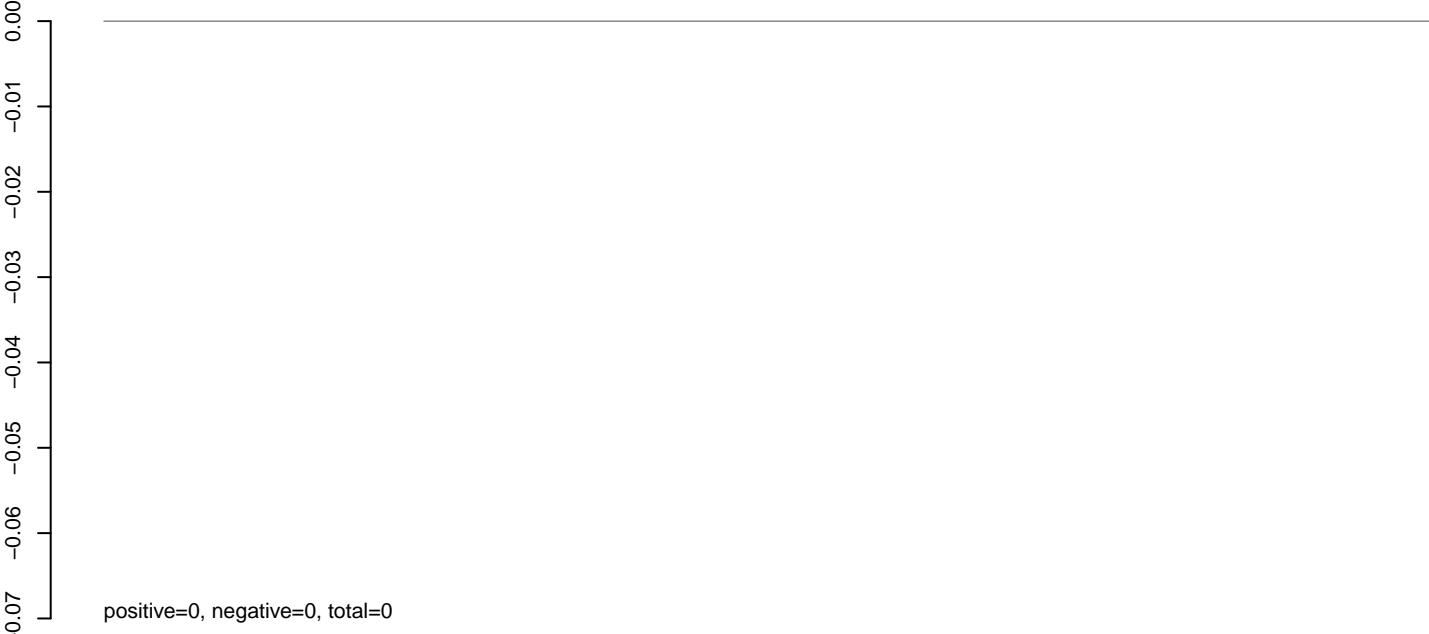


0 2000 4000 6000 8000 10000 12000

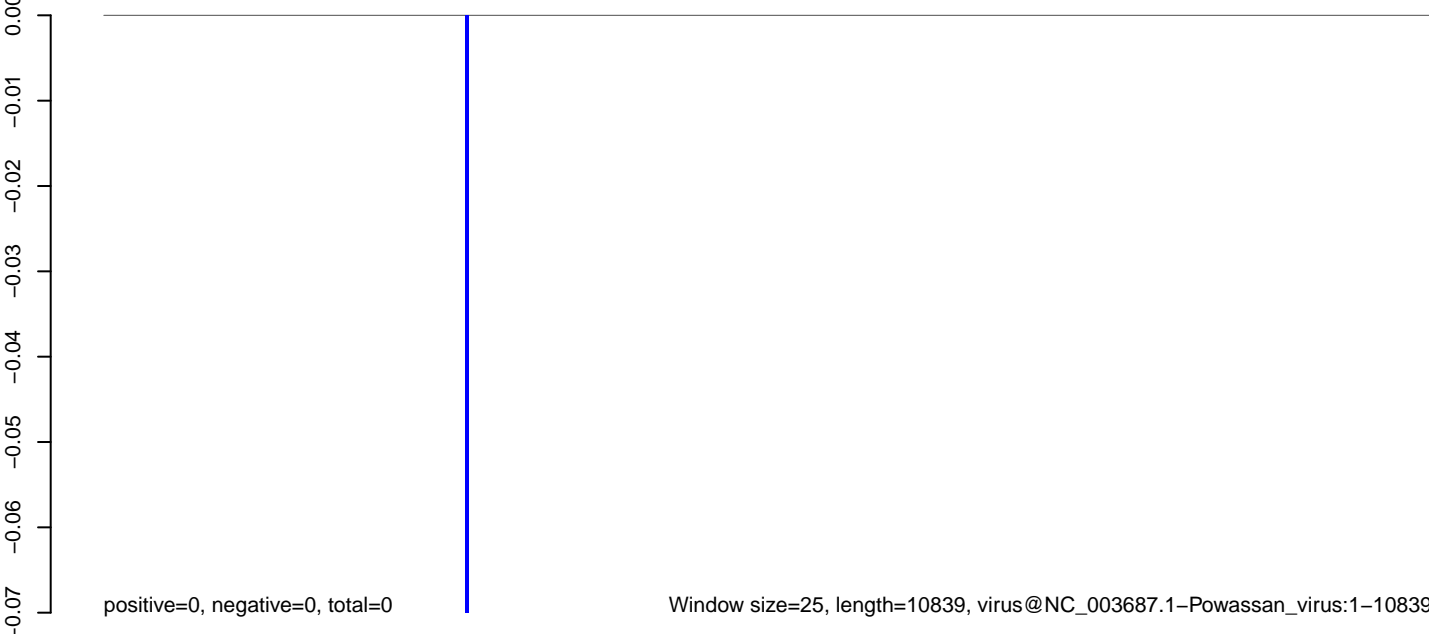
CuQuin_Mcarc_NL.18_23.rep



CuQuin_Mcarc_NL.24_35.rep



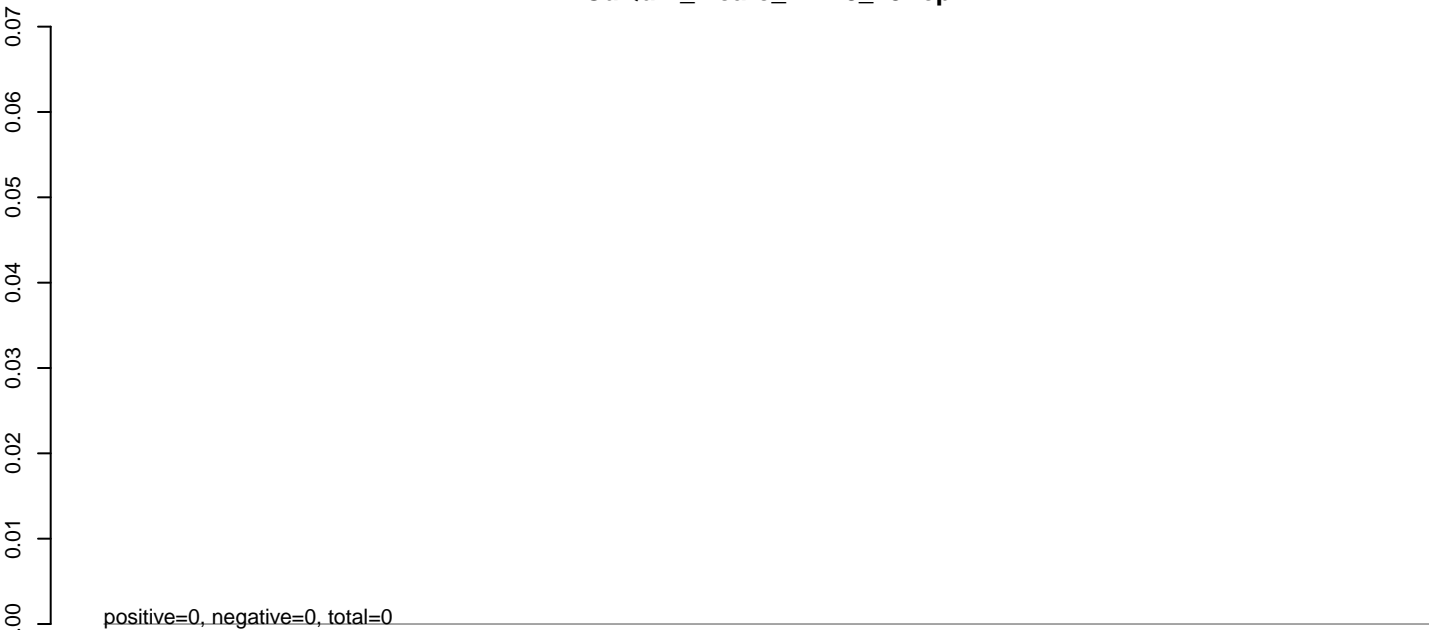
CuQuin_Mcarc_NL.rep



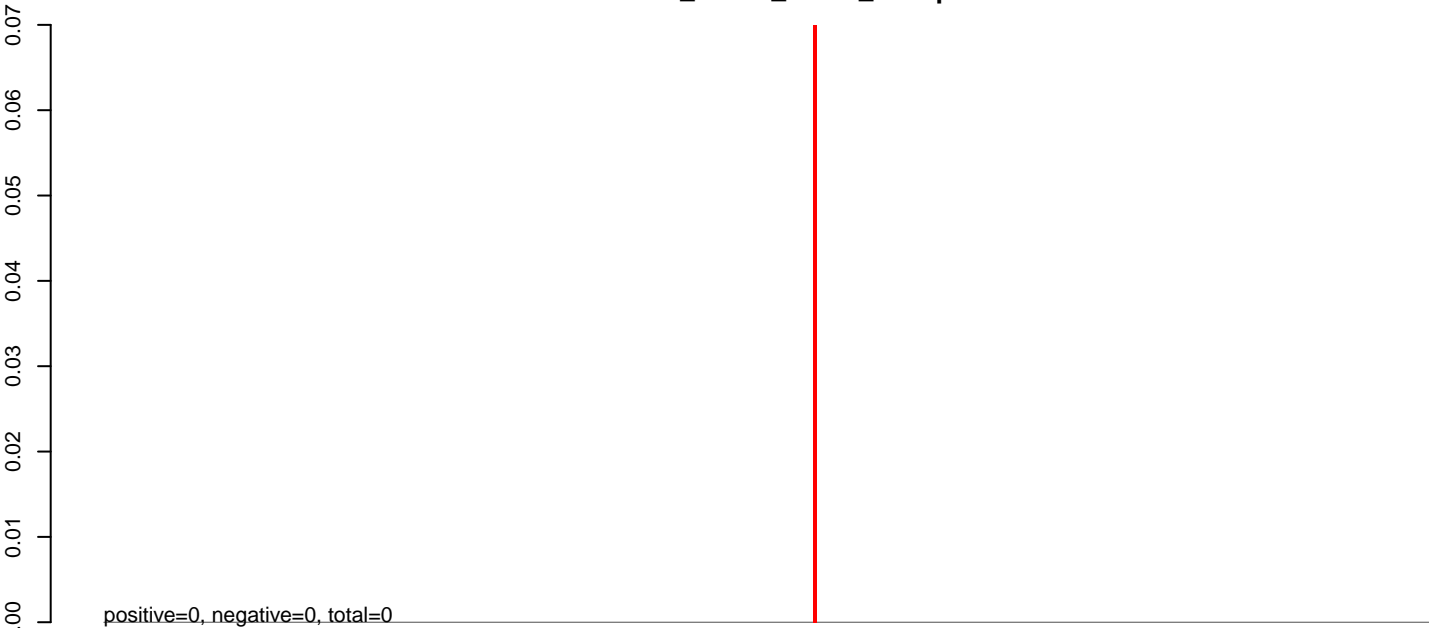
Window size=25, length=10839, virus@NC_003687.1-Powassan_virus:1-10839

0 2000 4000 6000 8000 10000

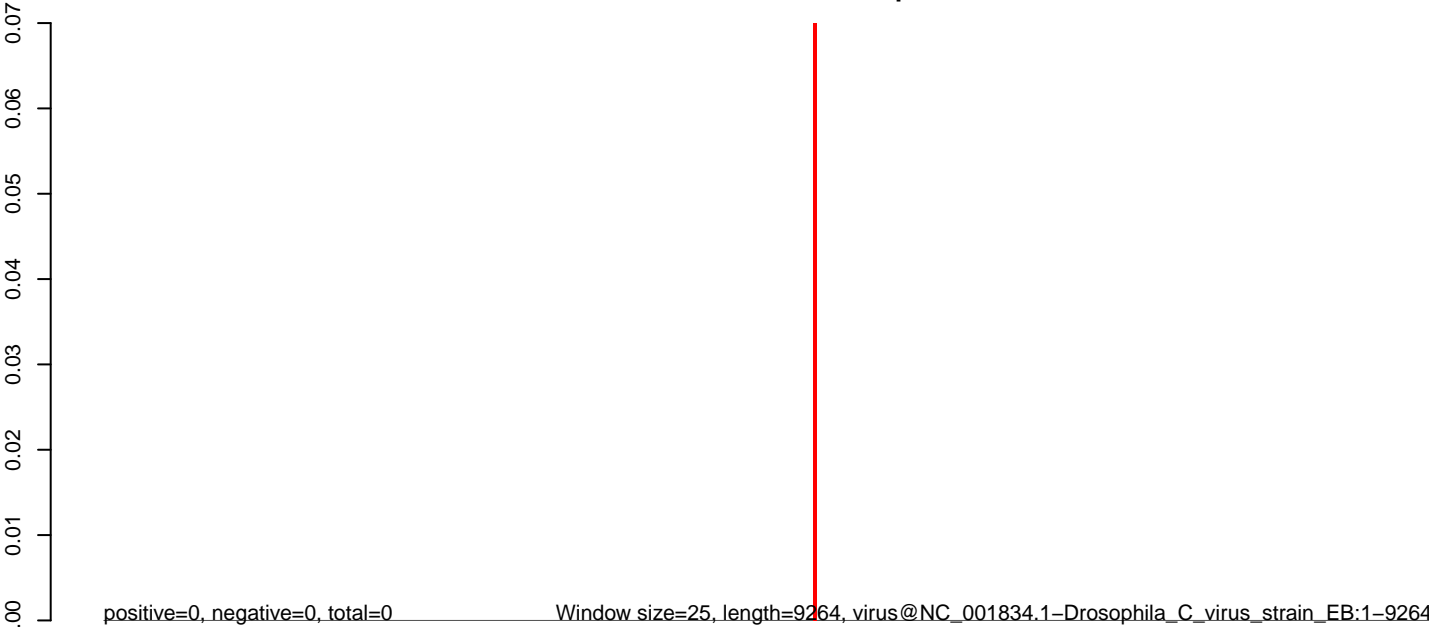
CuQuin_Mcarc_NL.18_23.rep



CuQuin_Mcarc_NL.24_35.rep



CuQuin_Mcarc_NL.rep



0 2000 4000 6000 8000

CuQuin_Mcarc_NL.18_23.rep

0.00
-0.01
-0.02
-0.03
-0.04
-0.05
-0.06
-0.07

positive=0, negative=0, total=0



CuQuin_Mcarc_NL.24_35.rep

0.00
-0.01
-0.02
-0.03
-0.04
-0.05
-0.06
-0.07

positive=0, negative=0, total=0

CuQuin_Mcarc_NL.rep

0.00
-0.01
-0.02
-0.03
-0.04
-0.05
-0.06
-0.07

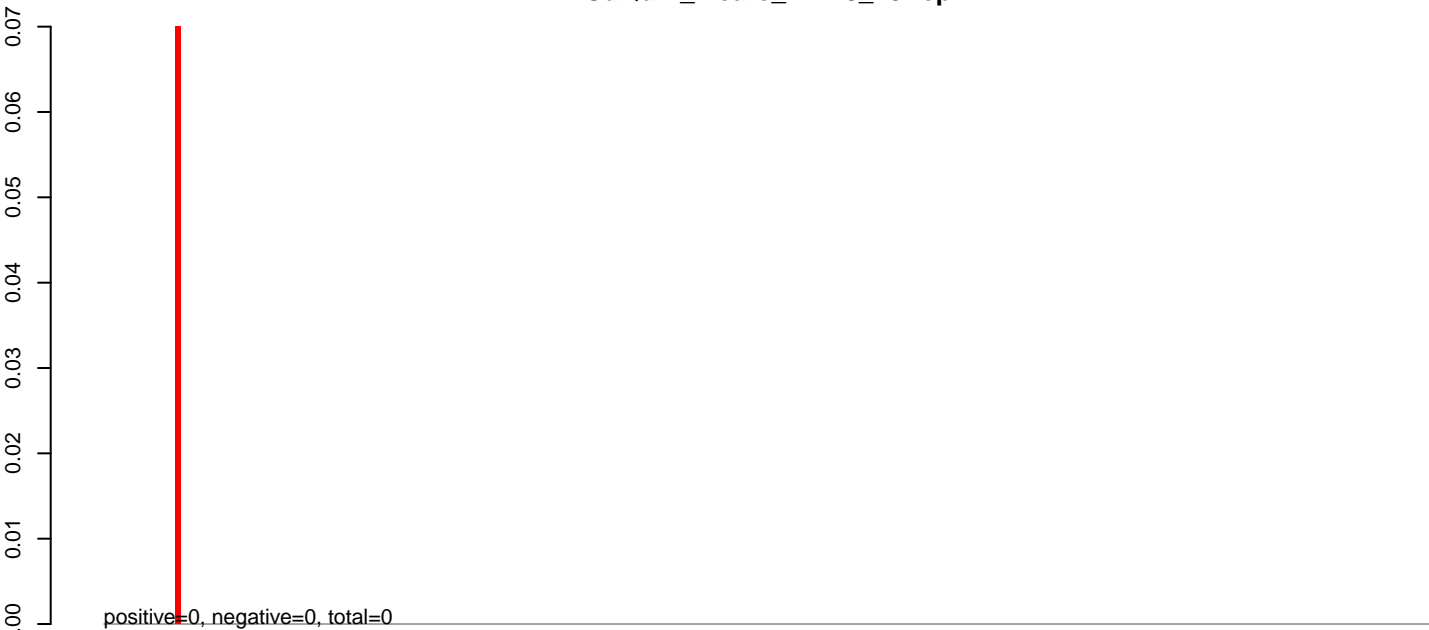
positive=0, negative=0, total=0

Window size=25, length=12916, virus@MH237595.1-Aedes_aegypti_anphevirus_strain_1a:1-12916

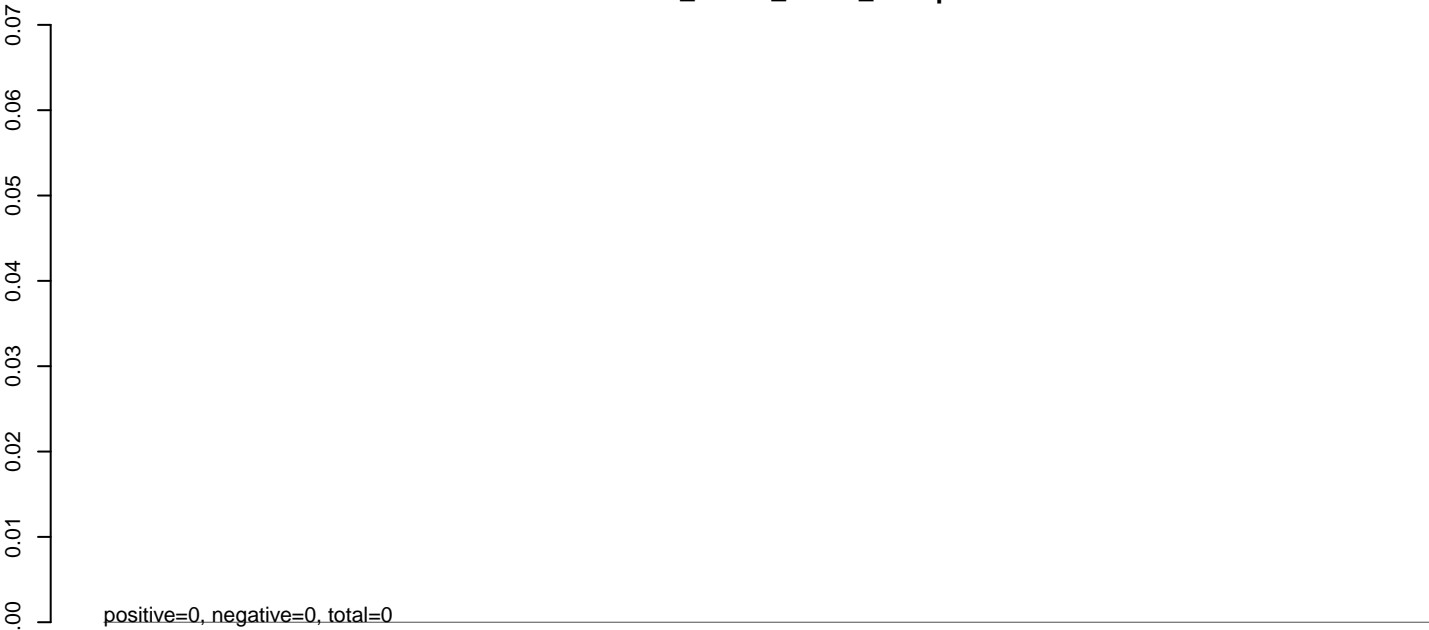


0 2000 4000 6000 8000 10000 12000

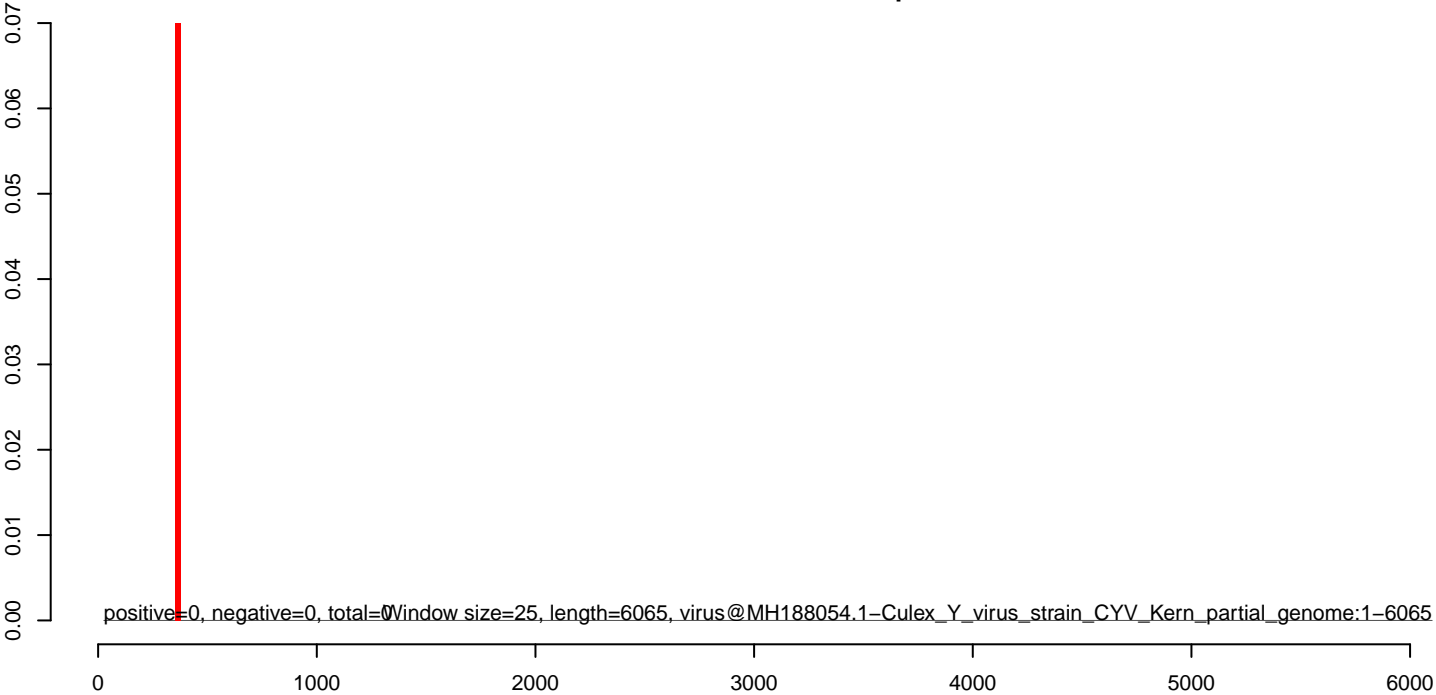
CuQuin_Mcarc_NL.18_23.rep



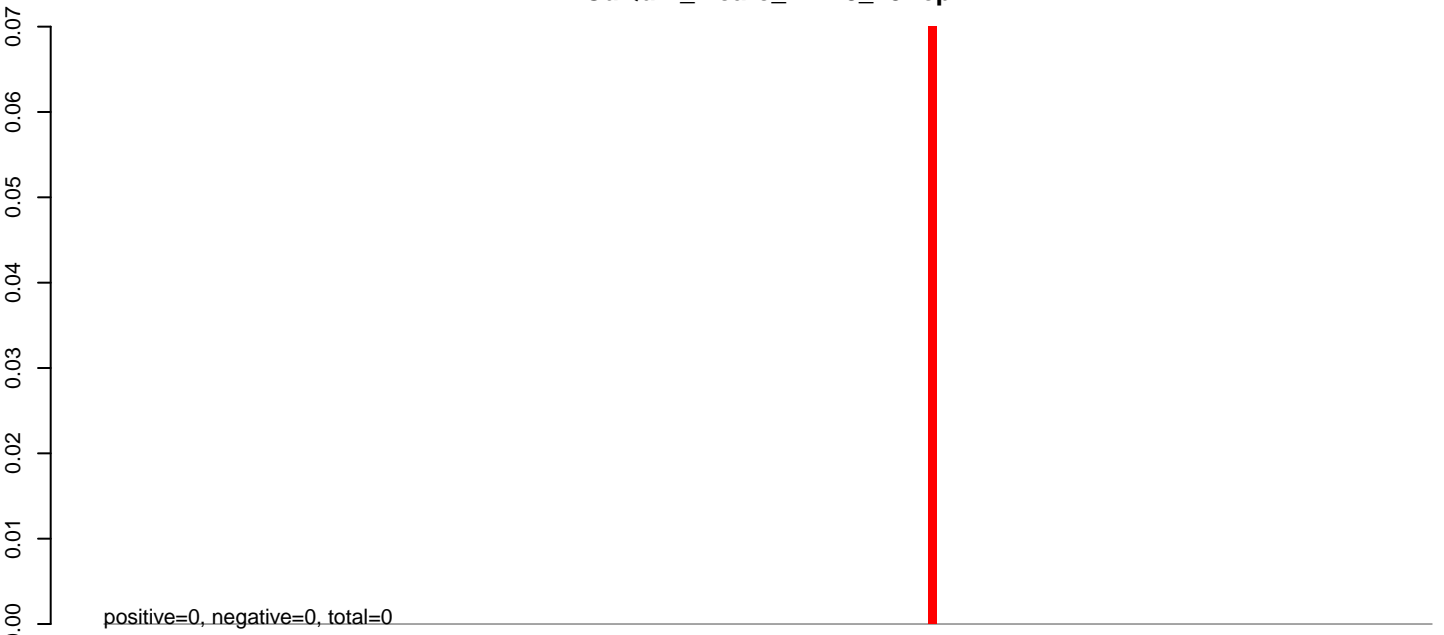
CuQuin_Mcarc_NL.24_35.rep



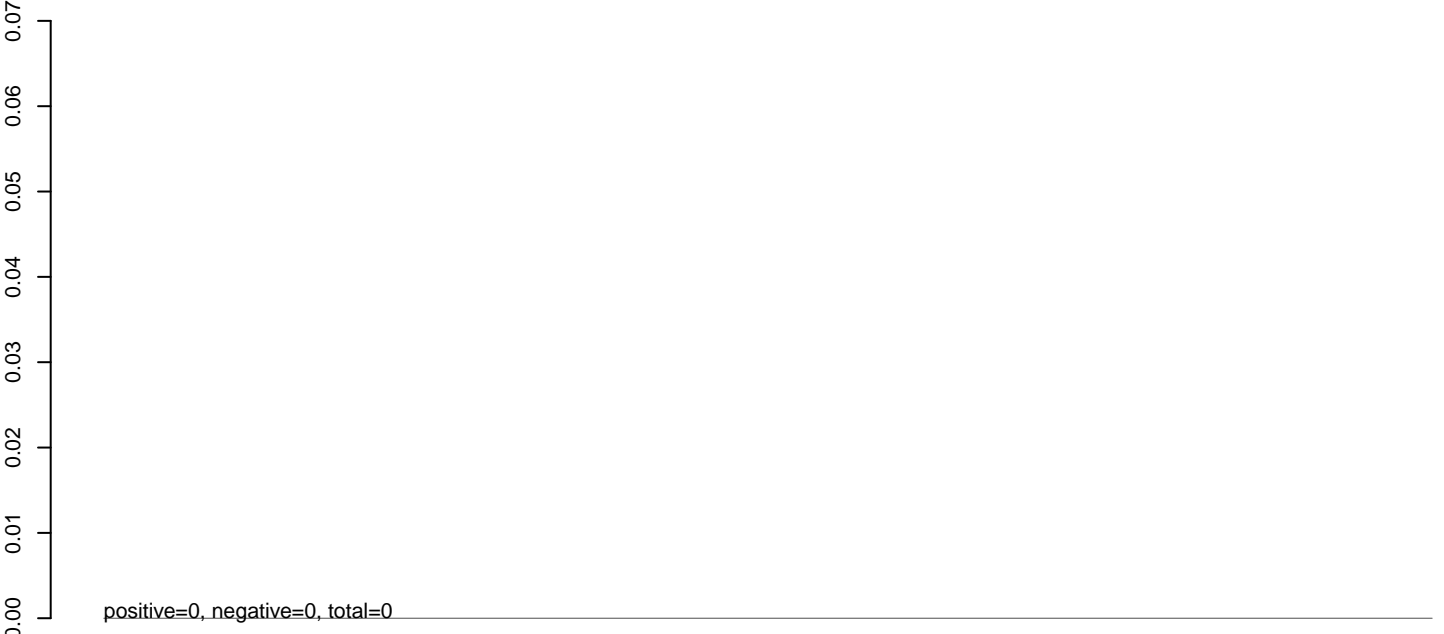
CuQuin_Mcarc_NL.rep



CuQuin_Mcarc_NL.18_23.rep



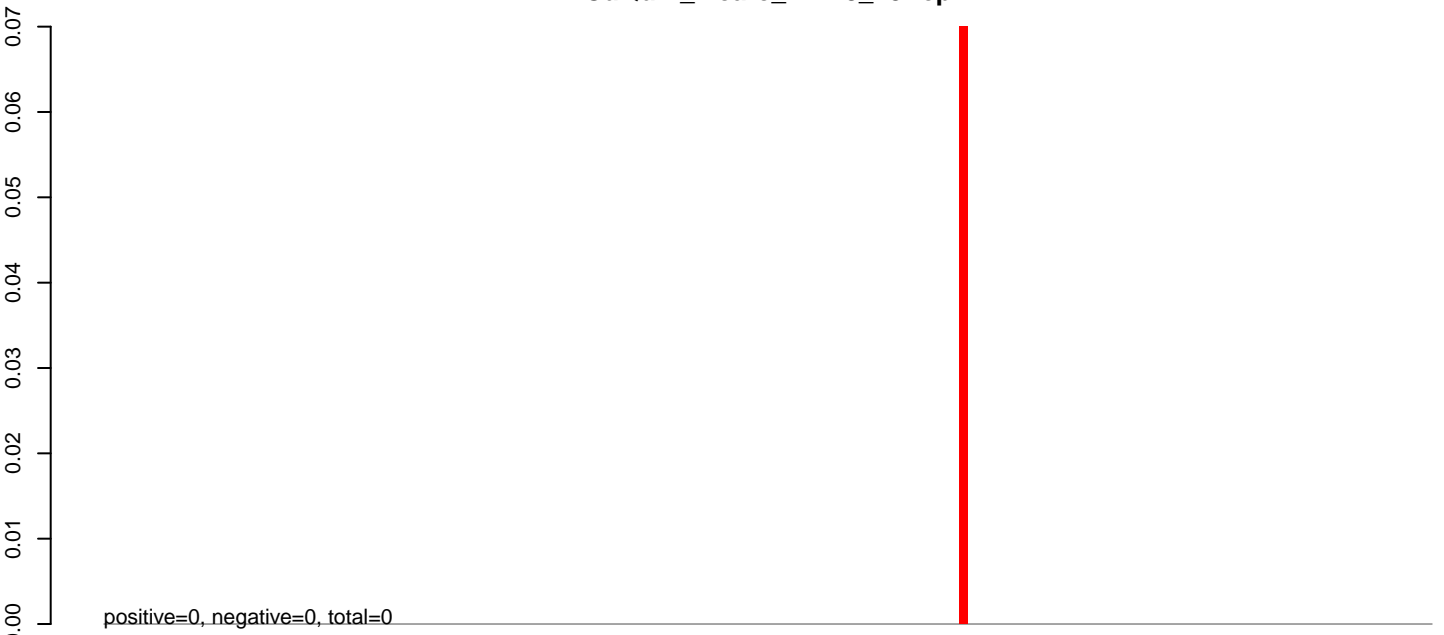
CuQuin_Mcarc_NL.24_35.rep



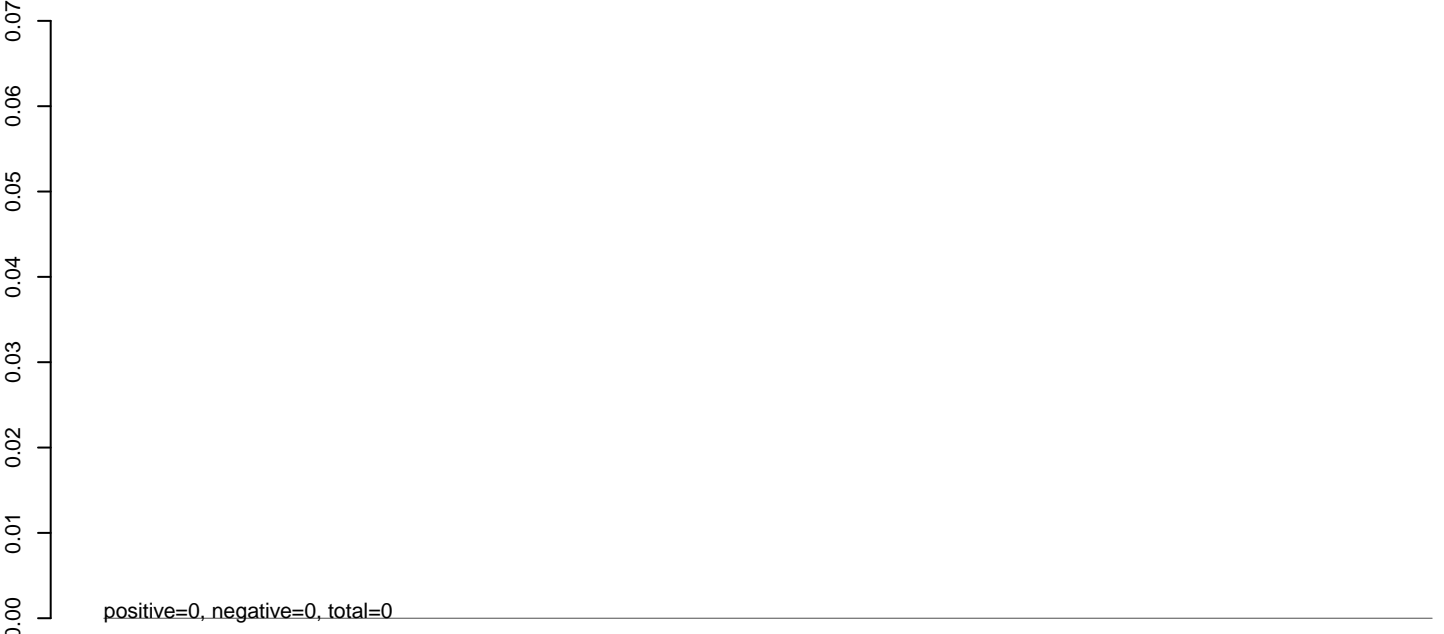
CuQuin_Mcarc_NL.rep



CuQuin_Mcarc_NL.18_23.rep



CuQuin_Mcarc_NL.24_35.rep

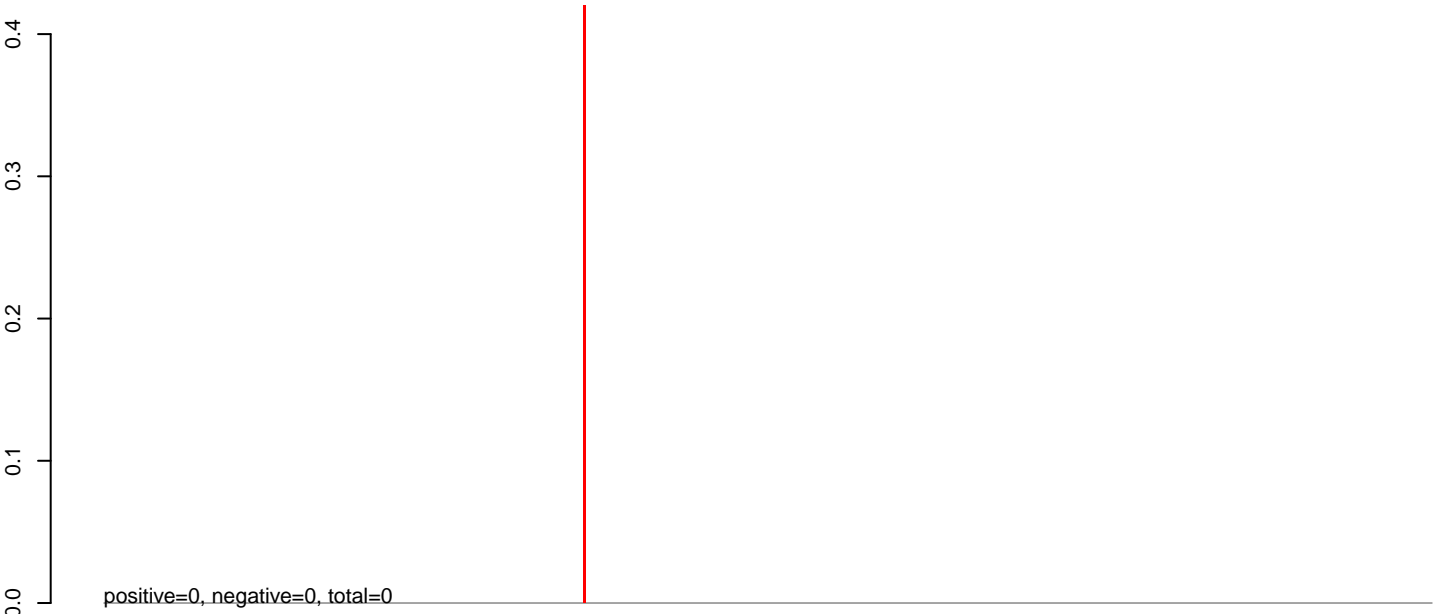


CuQuin_Mcarc_NL.rep

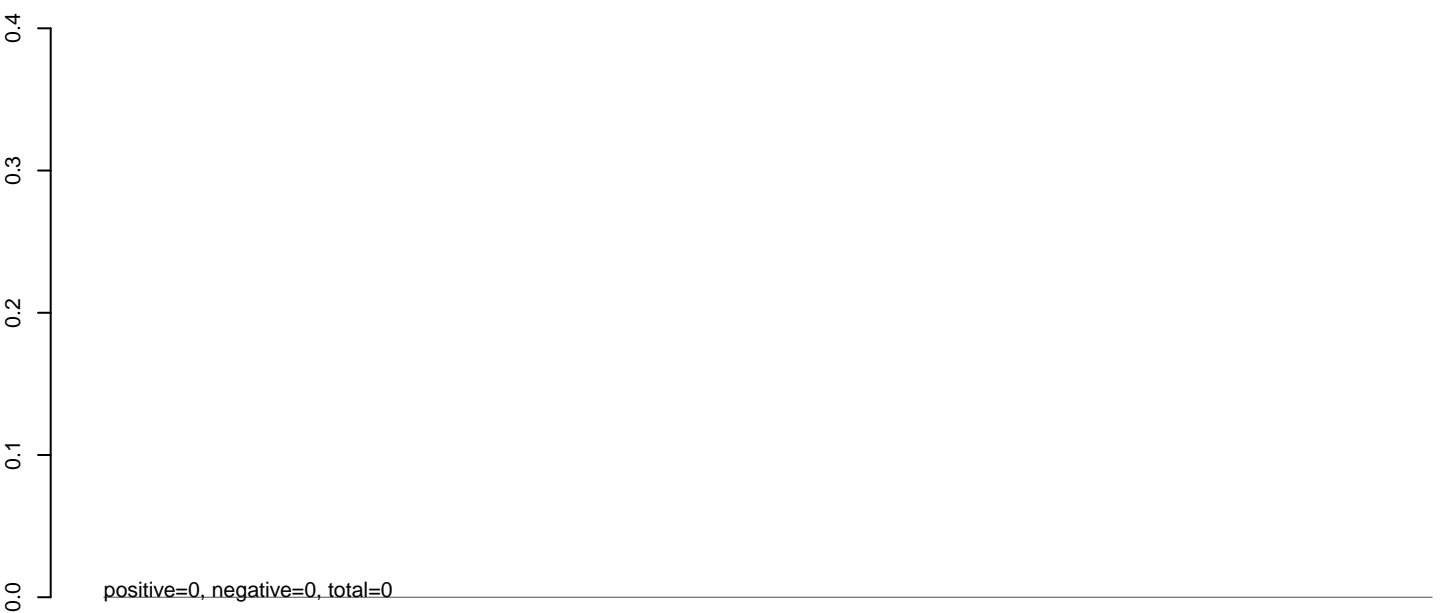


0 1000 2000 3000 4000

CuQuin_Mcarc_NL.18_23.rep



CuQuin_Mcarc_NL.24_35.rep



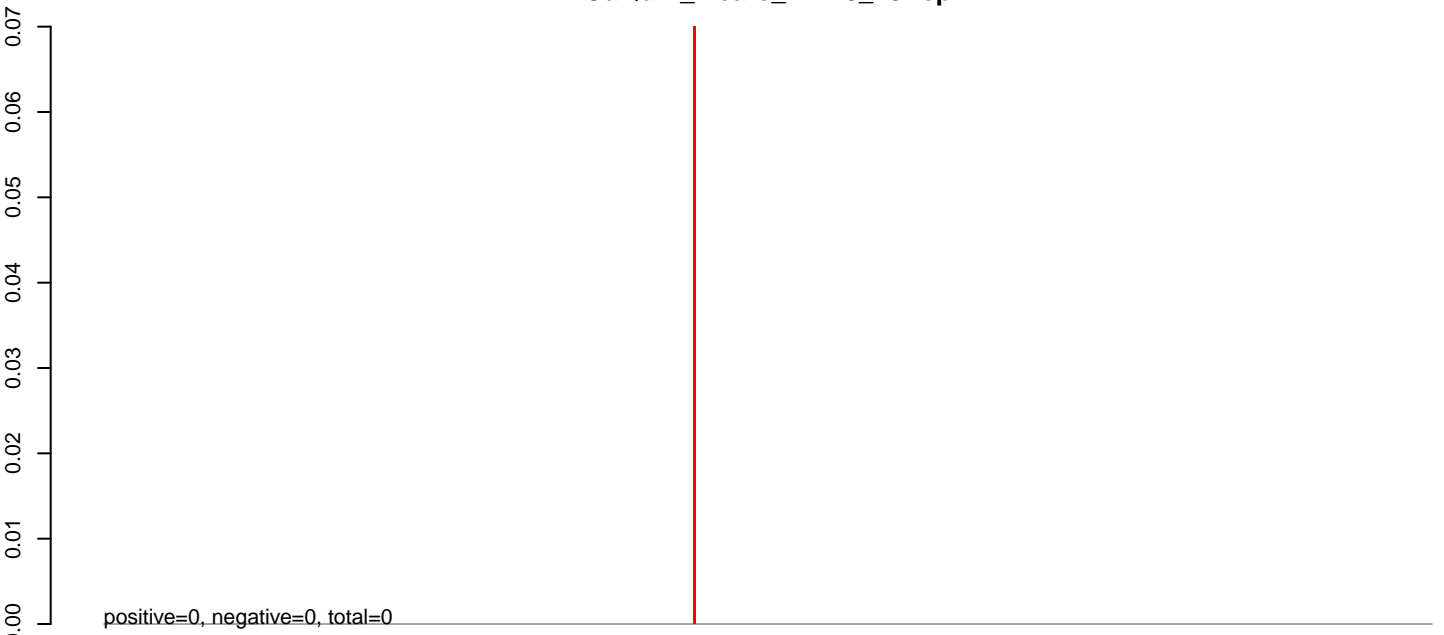
CuQuin_Mcarc_NL.rep



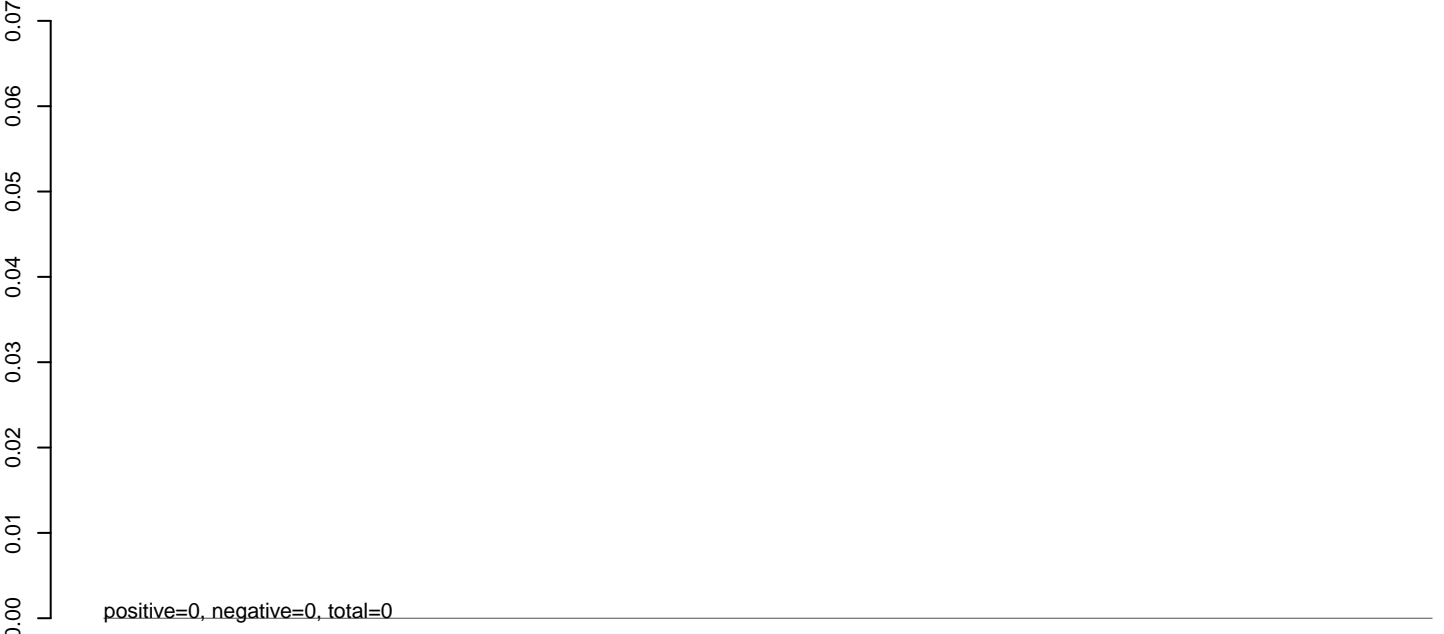
Window size=25, length=12195, virus@MG747536.1_Oropouche_virus_isolate_BeAr_136921_segment_S_M_L :1-12195

0 2000 4000 6000 8000 10000 12000

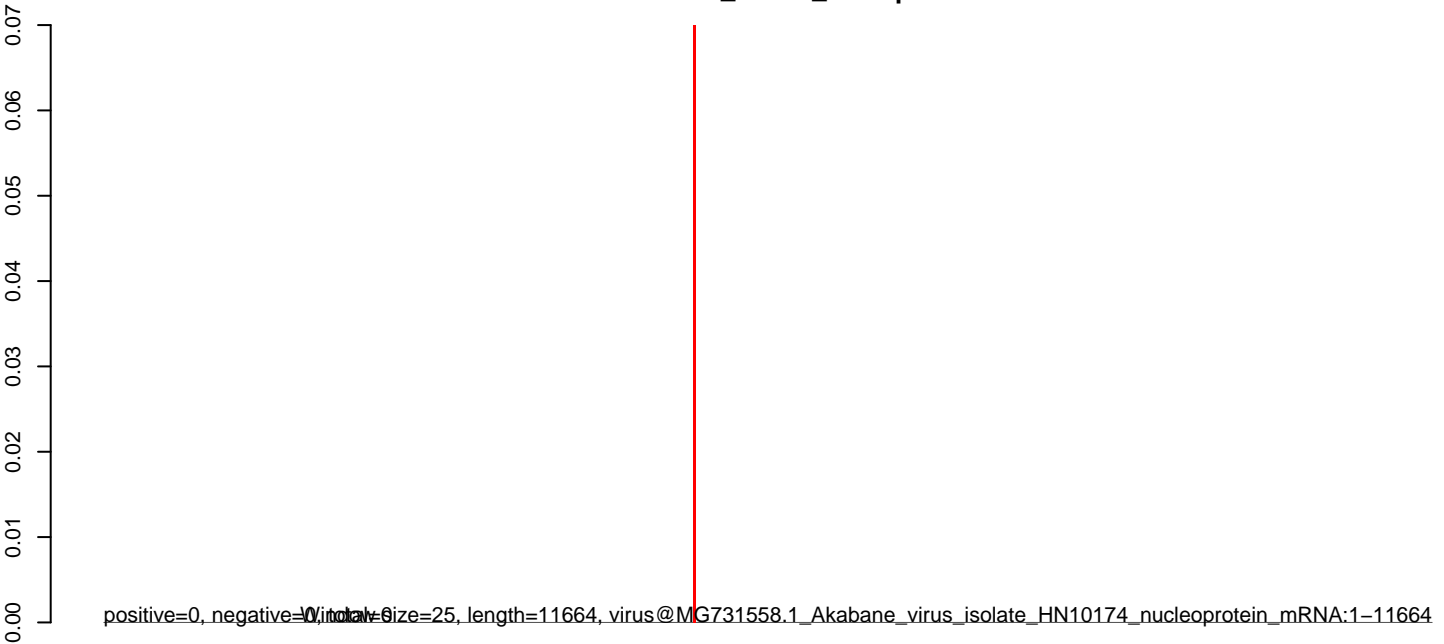
CuQuin_Mcarc_NL.18_23.rep



CuQuin_Mcarc_NL.24_35.rep



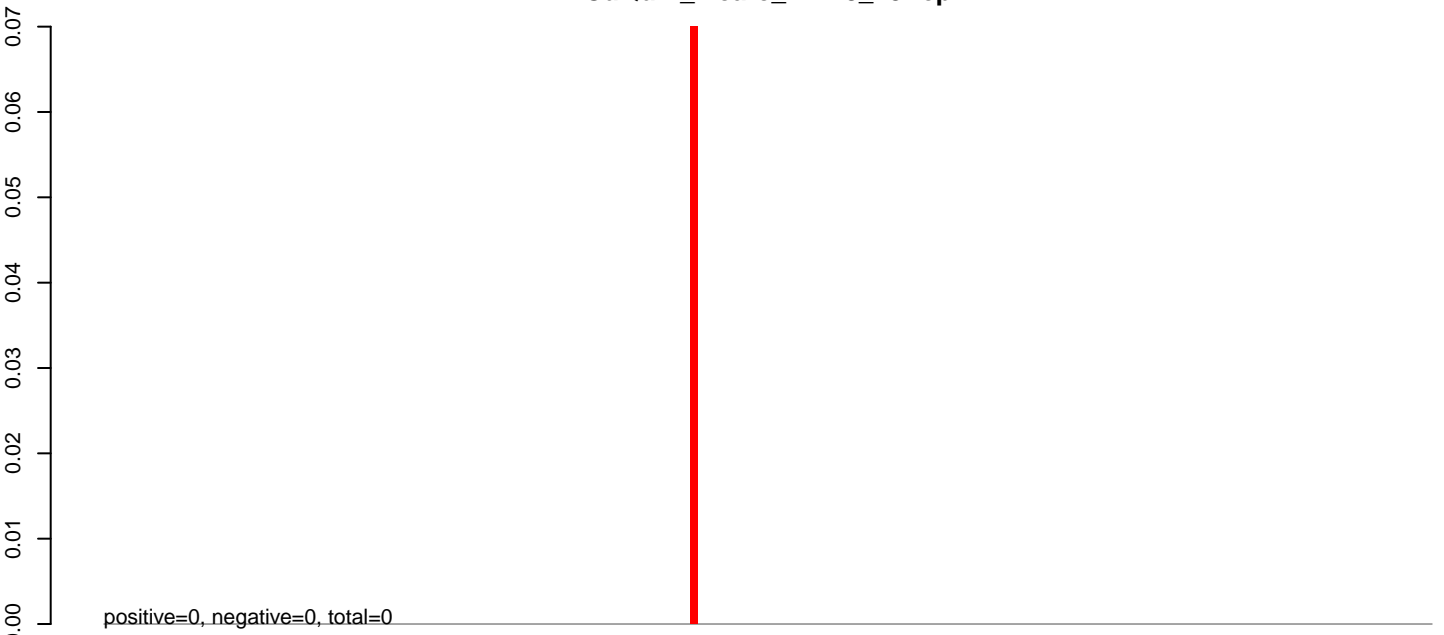
CuQuin_Mcarc_NL.rep



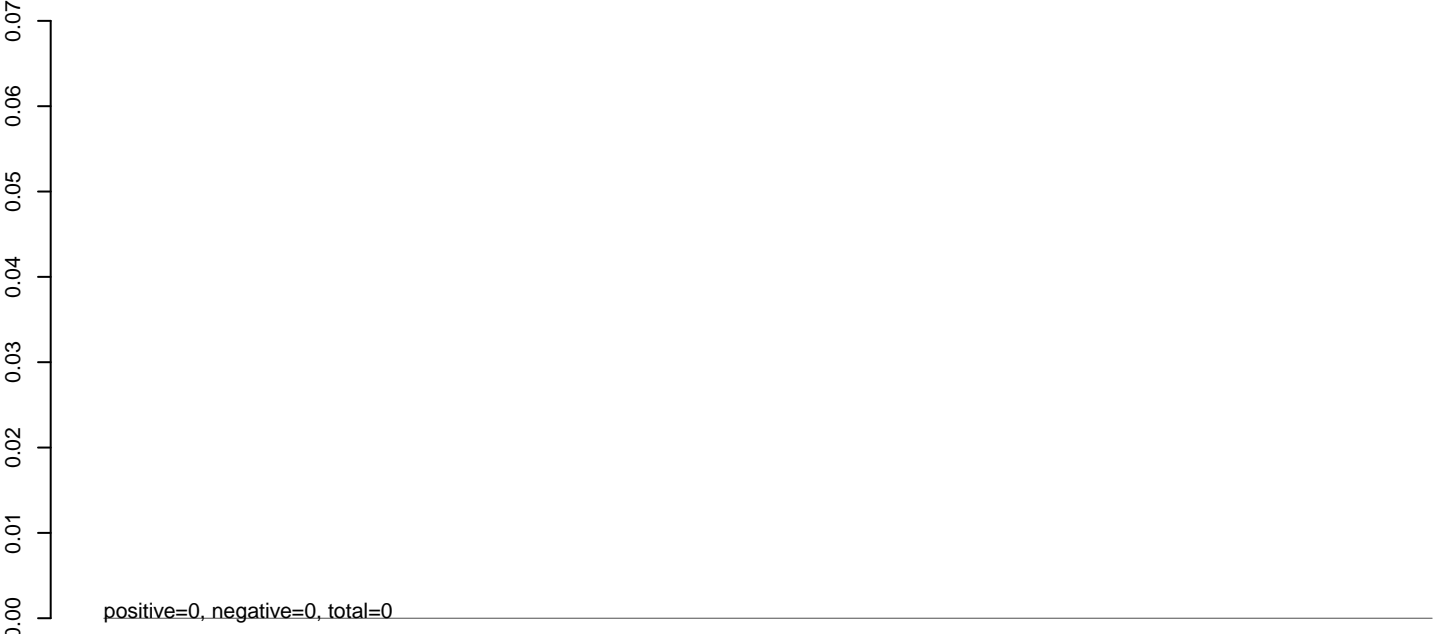
positive=0, negative=0, total=25, length=11664, virus@MG731558.1_Akabane_virus_isolate_HN10174_nucleoprotein_mRNA:1-11664

0 2000 4000 6000 8000 10000 12000

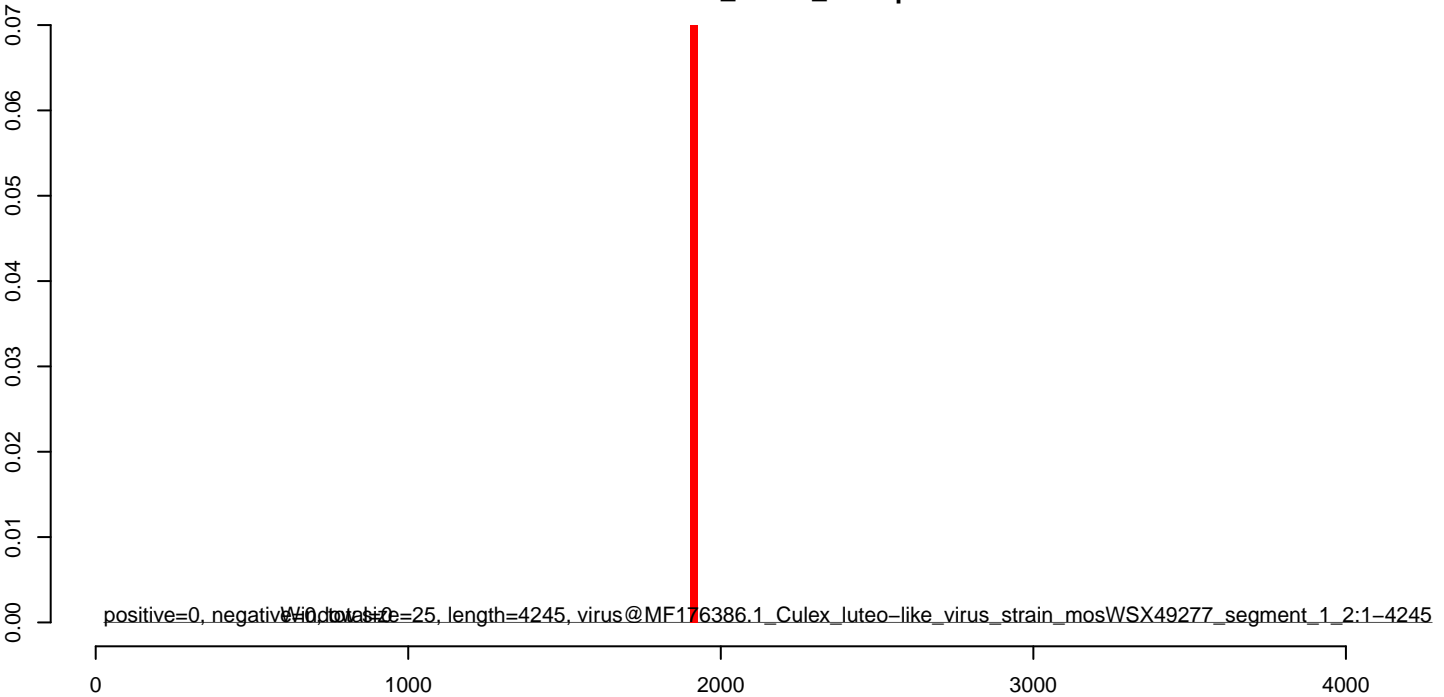
CuQuin_Mcarc_NL.18_23.rep



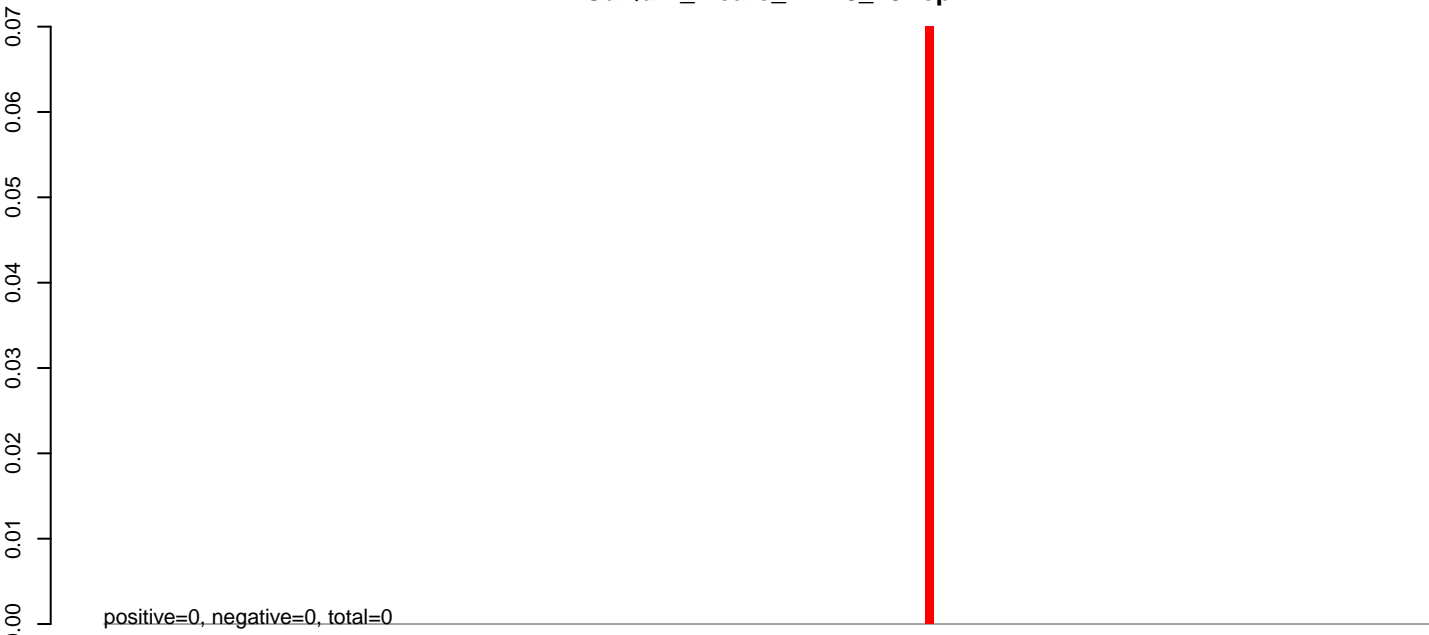
CuQuin_Mcarc_NL.24_35.rep



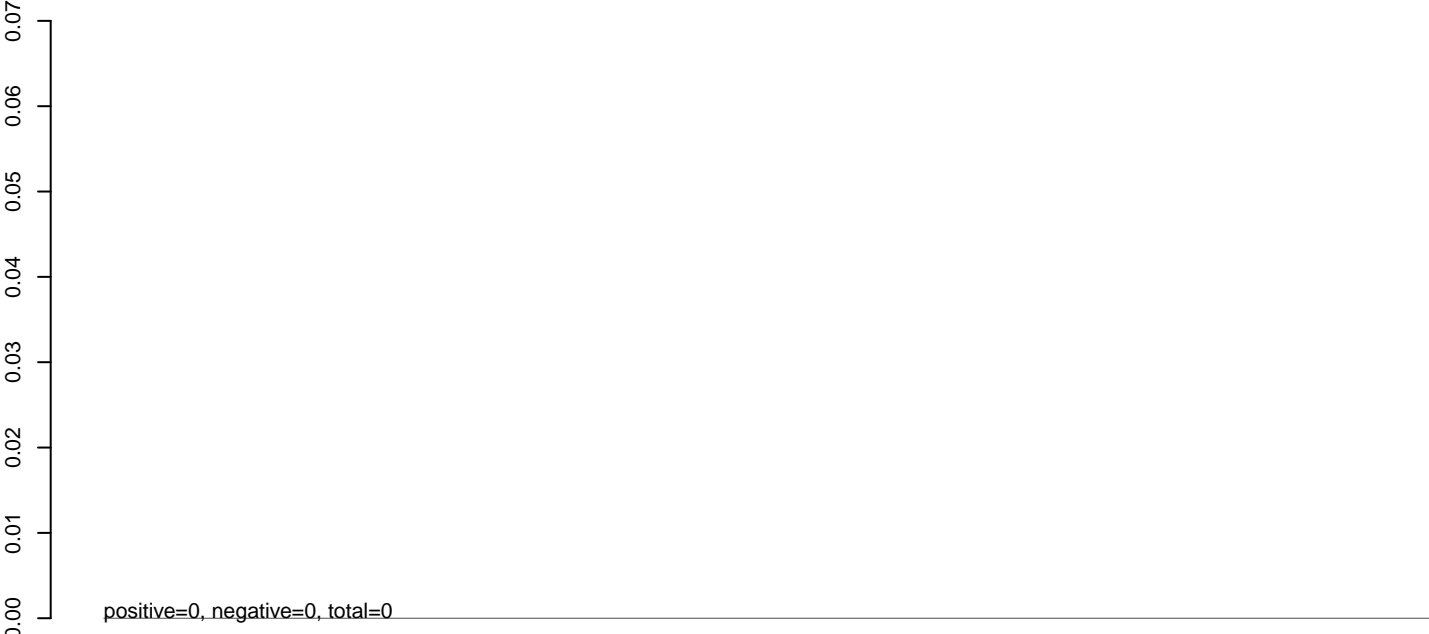
CuQuin_Mcarc_NL.rep



CuQuin_Mcarc_NL.18_23.rep



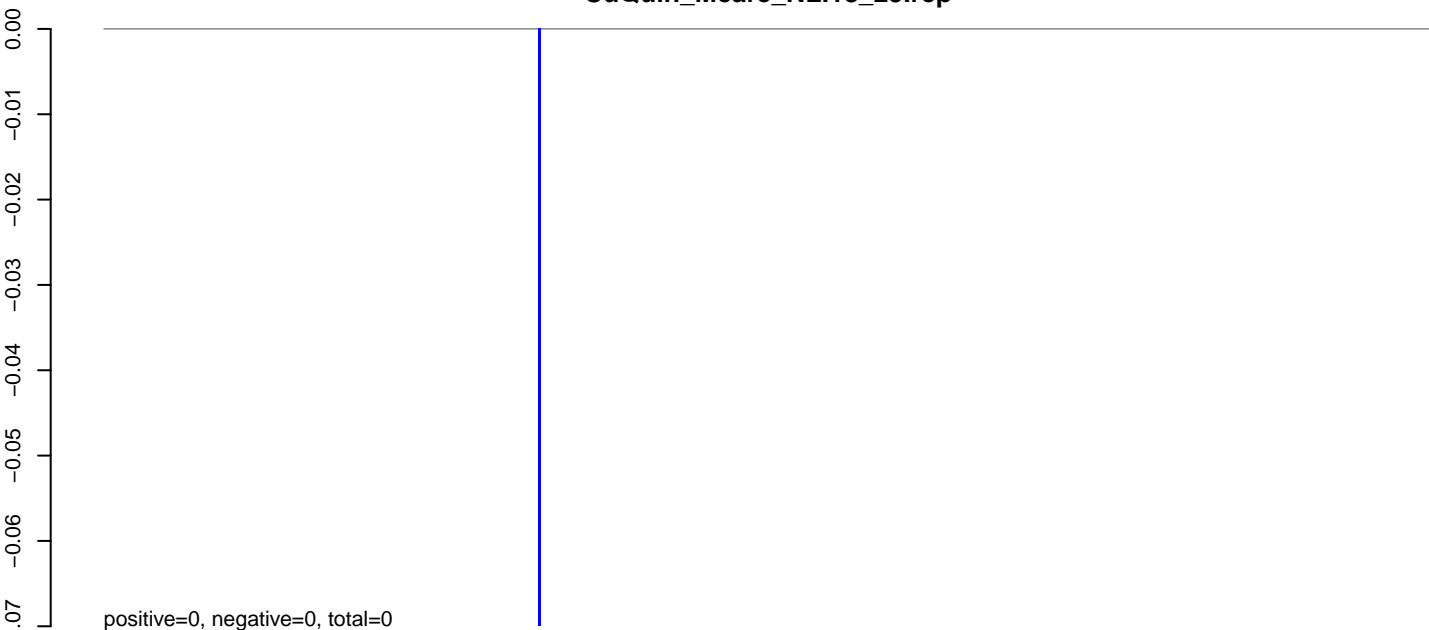
CuQuin_Mcarc_NL.24_35.rep



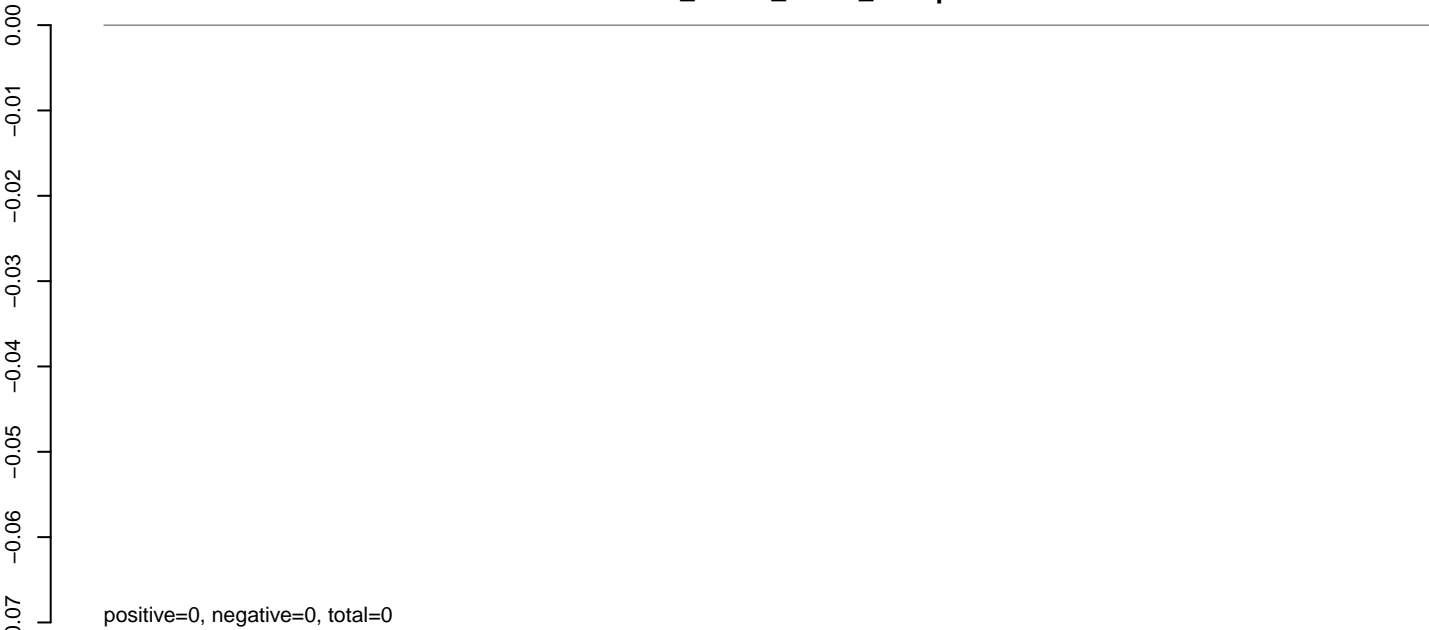
CuQuin_Mcarc_NL.rep



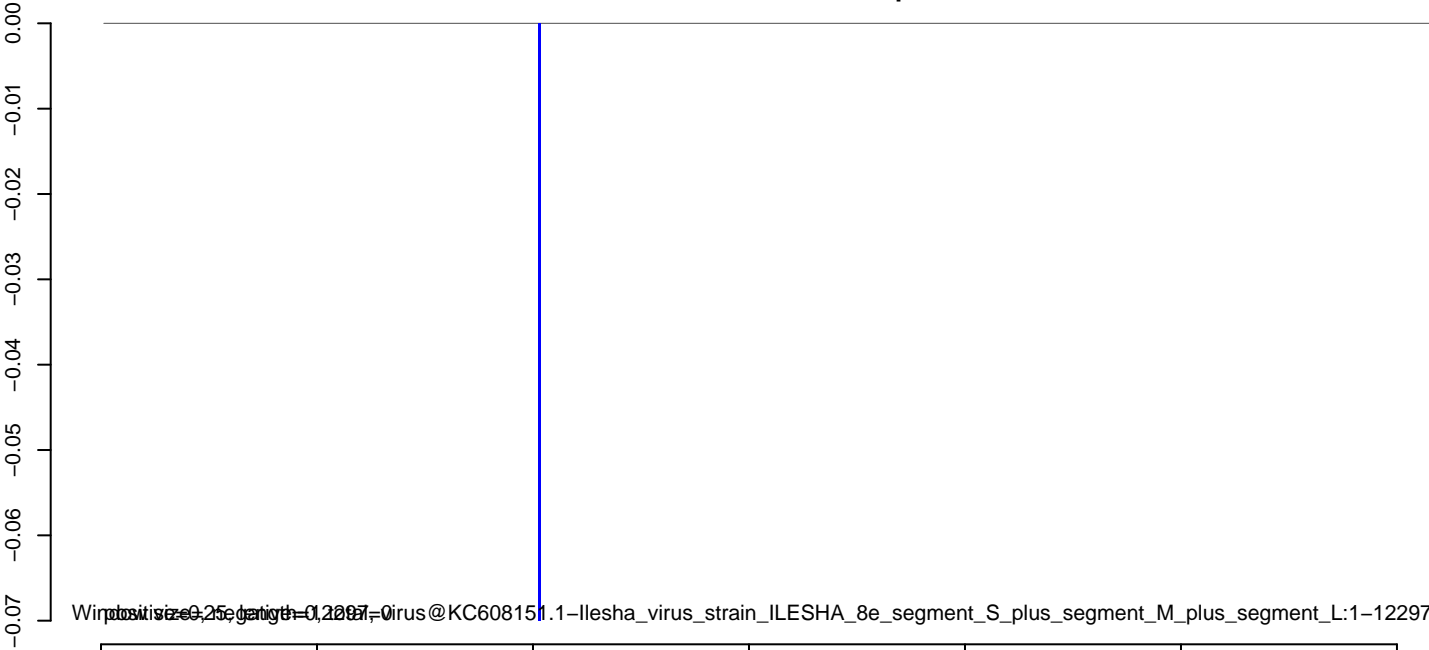
CuQuin_Mcarc_NL.18_23.rep



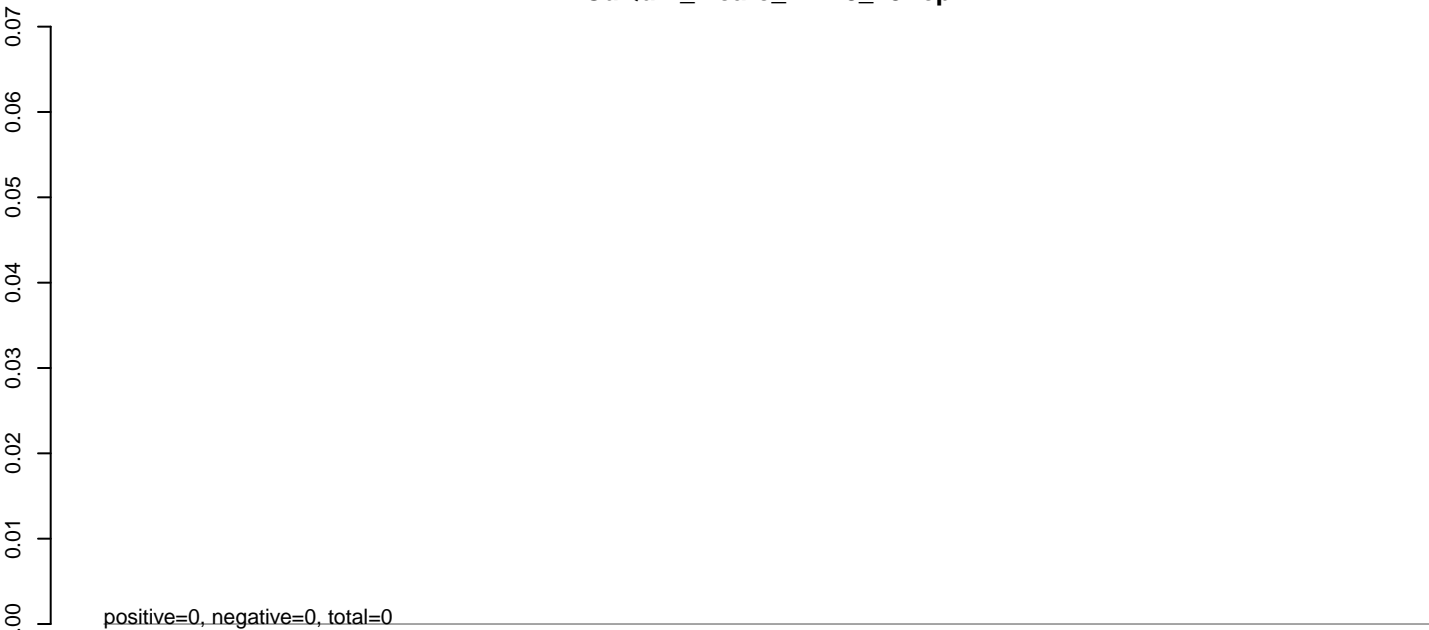
CuQuin_Mcarc_NL.24_35.rep



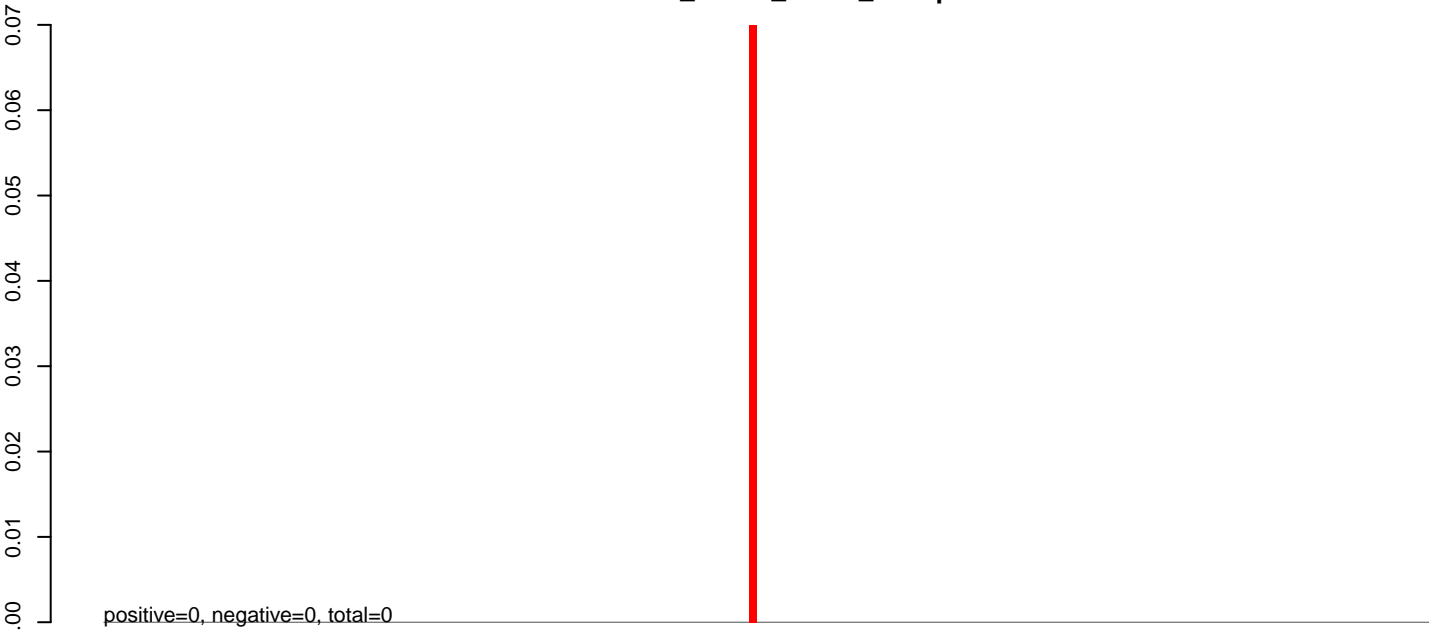
CuQuin_Mcarc_NL.rep



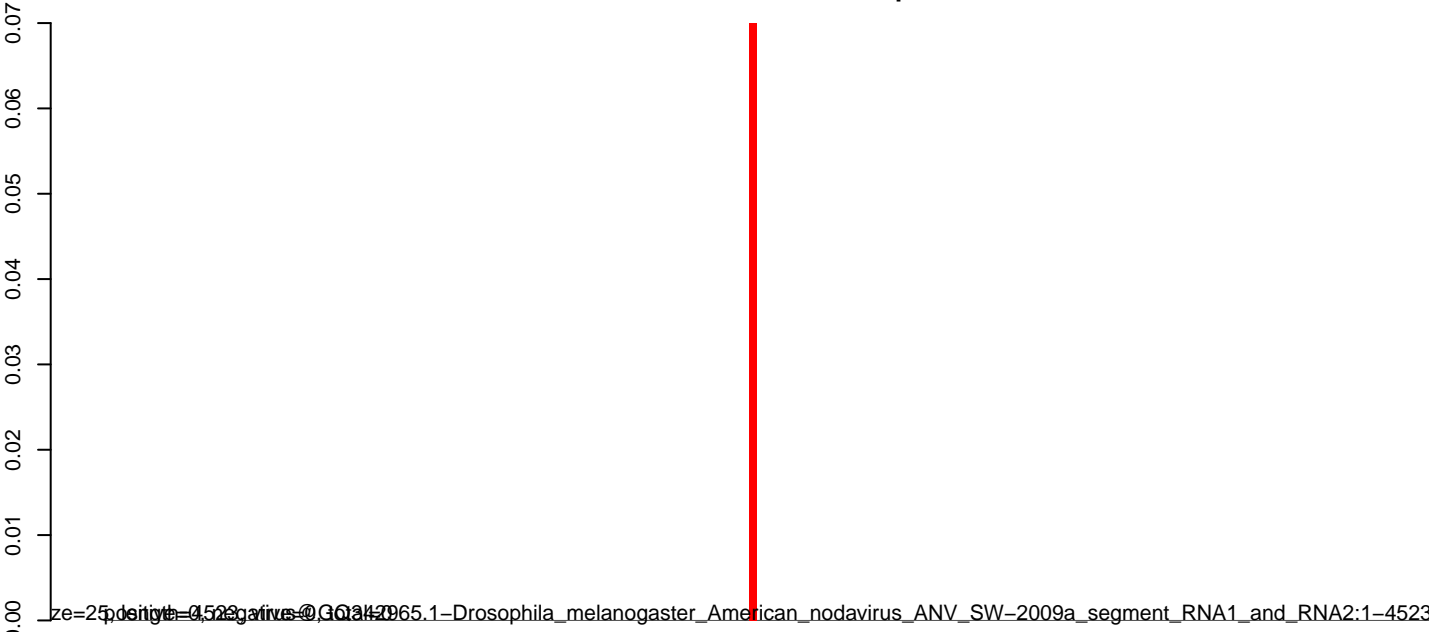
CuQuin_Mcarc_NL.18_23.rep



CuQuin_Mcarc_NL.24_35.rep



CuQuin_Mcarc_NL.rep



size=2500000, positive=4523, negative=0, total=4523
1-Drosophila_melanogaster_American_nodavirus_ANV_SW-2009a_segment_RNA1_and_RNA2:1-4523

0 1000 2000 3000 4000

CuQuin_Mcarc_NL.18_23.rep

0.00
-0.01
-0.02
-0.03
-0.04
-0.05
-0.06
-0.07

positive=0, negative=0, total=0

CuQuin_Mcarc_NL.24_35.rep

0.00
-0.01
-0.02
-0.03
-0.04
-0.05
-0.06
-0.07

positive=0, negative=0, total=0

CuQuin_Mcarc_NL.rep

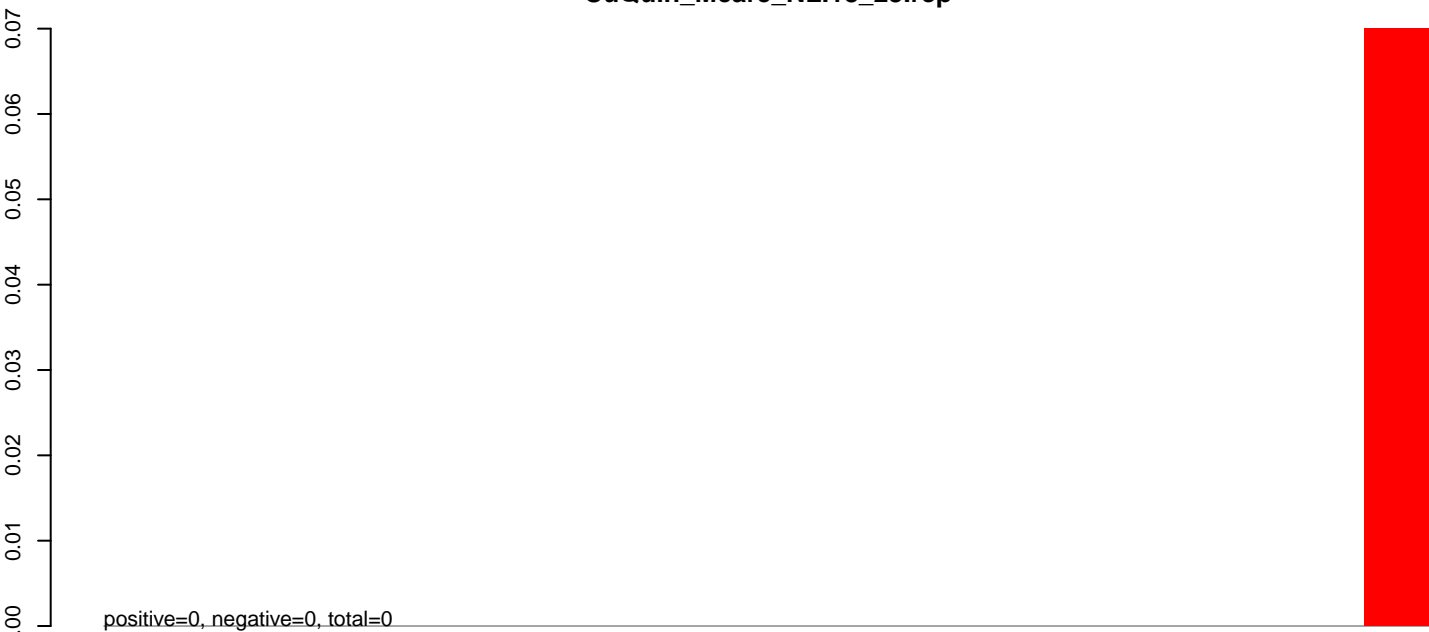
0.00
-0.01
-0.02
-0.03
-0.04
-0.05
-0.06
-0.07

positive=0, negative=0, total=0

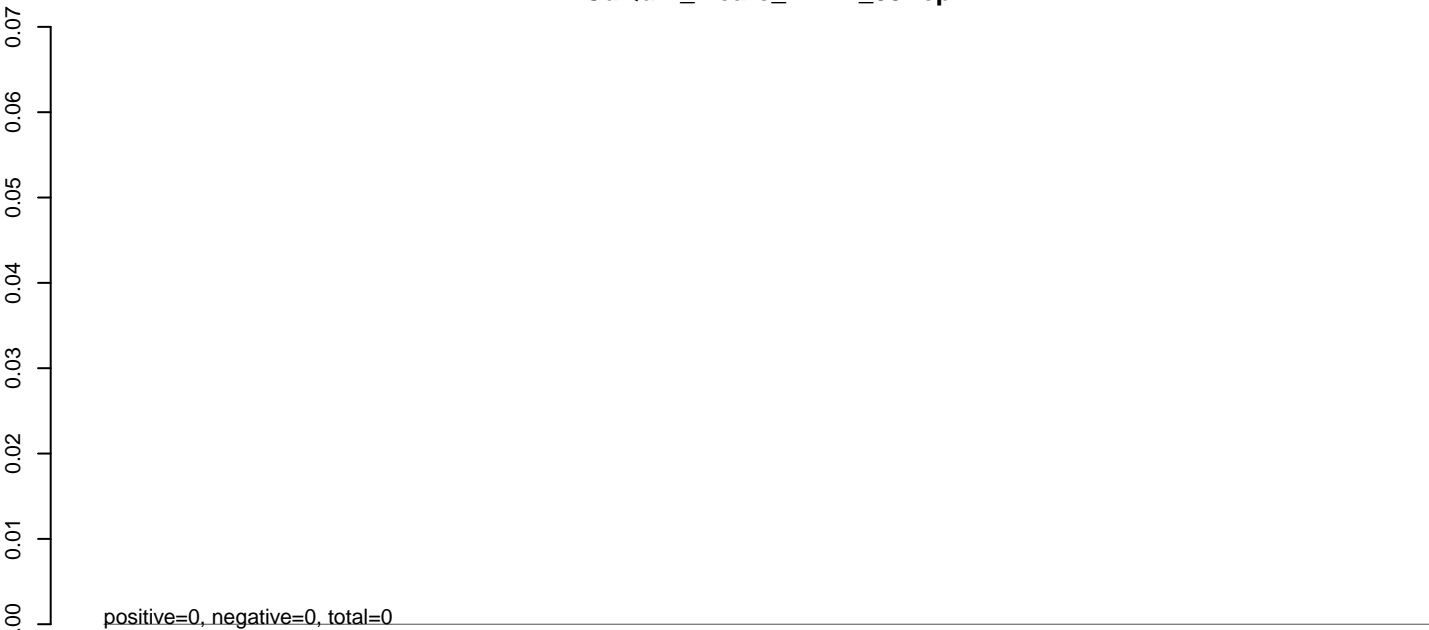
Window size=25, length=2965, virus@AY347953.2-Aedes_aegypti_genomic_sequence:1-2965

0 500 1000 1500 2000 2500 3000

CuQuin_Mcarc_NL.18_23.rep



CuQuin_Mcarc_NL.24_35.rep



CuQuin_Mcarc_NL.rep



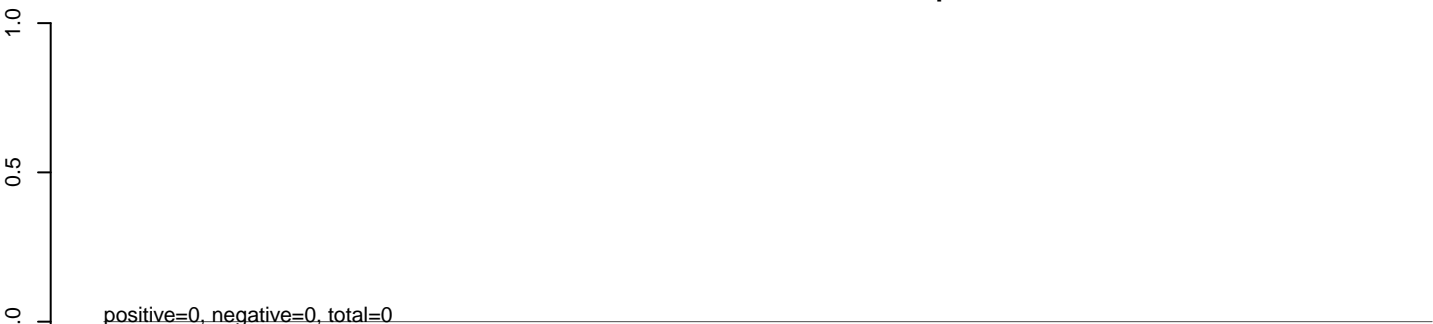
positive=0, negative=0, total=0, length=972, virus@AF411844.1-Elaeis guineensis_MADS_box_transcription_factor_AGL2-2_mRNA:1-972

0 200 400 600 800 1000

CuQuin_Mcarc_NL.18_23.rep



CuQuin_Mcarc_NL.24_35.rep



CuQuin_Mcarc_NL.rep

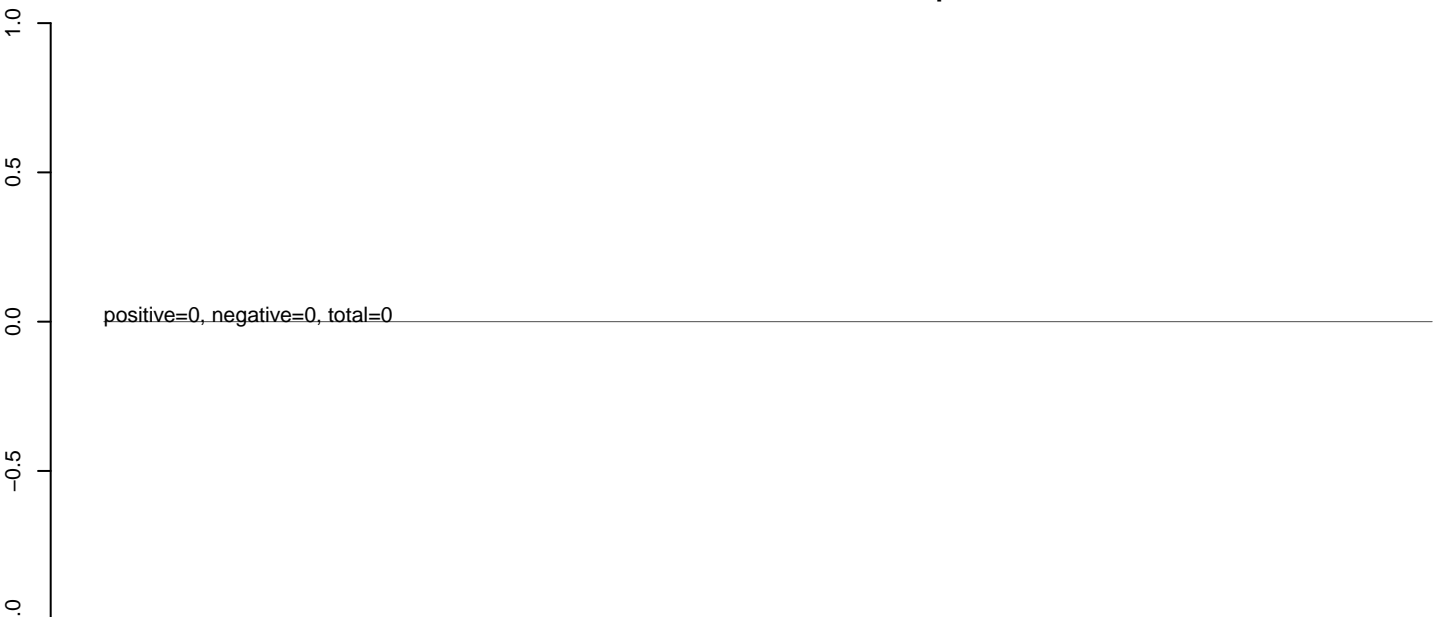


0 5000 10000 15000 20000

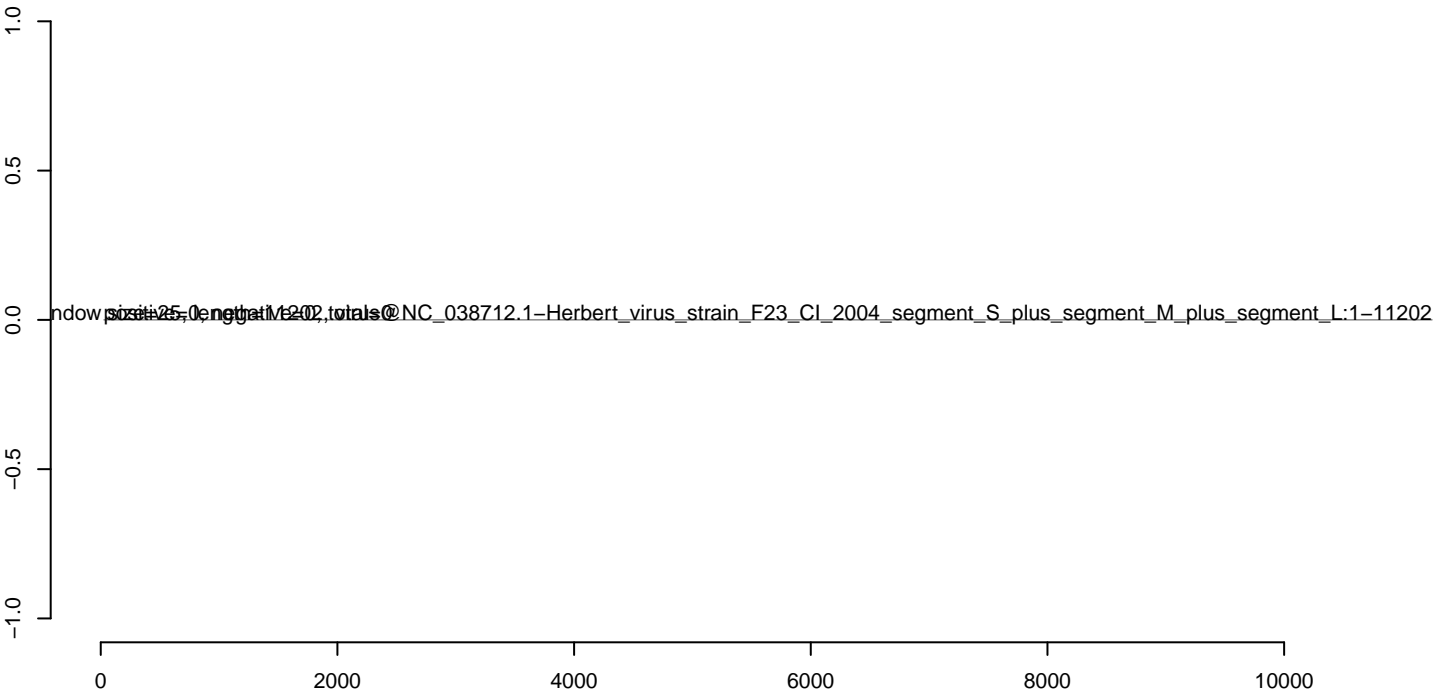
CuQuin_Mcarc_NL.18_23.rep



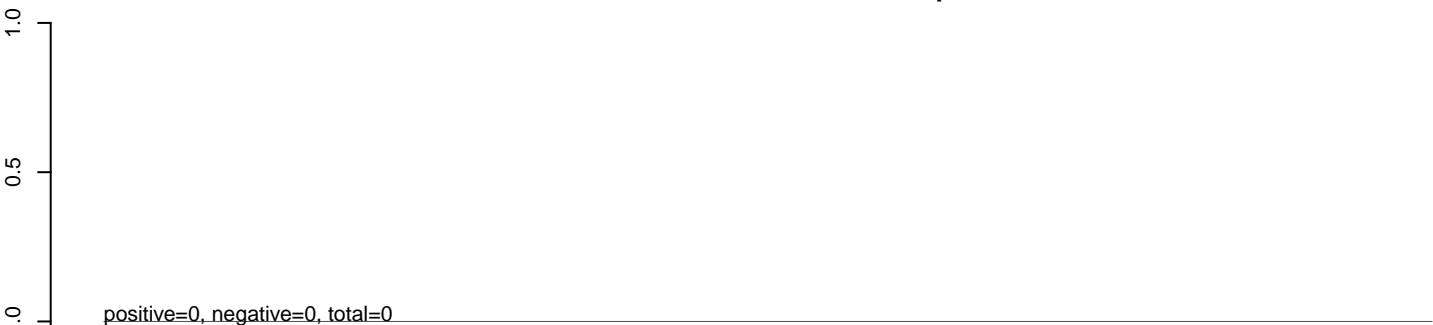
CuQuin_Mcarc_NL.24_35.rep



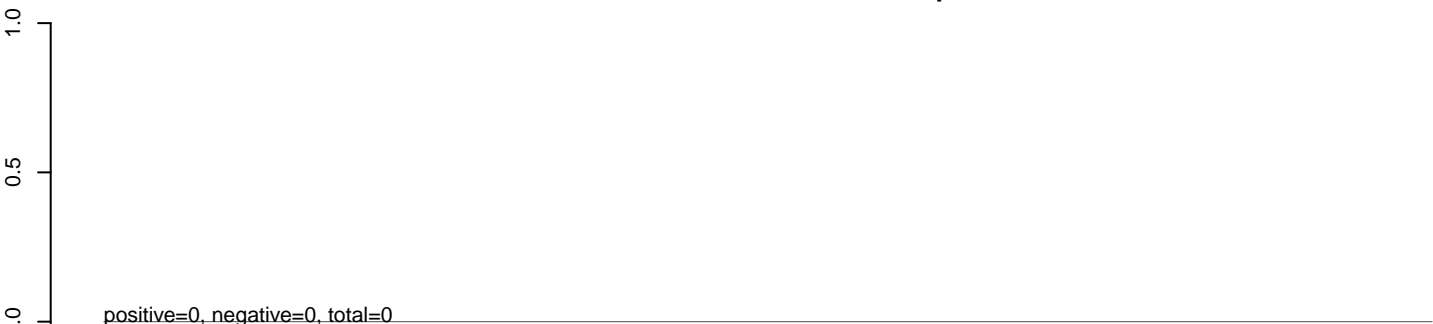
CuQuin_Mcarc_NL.rep



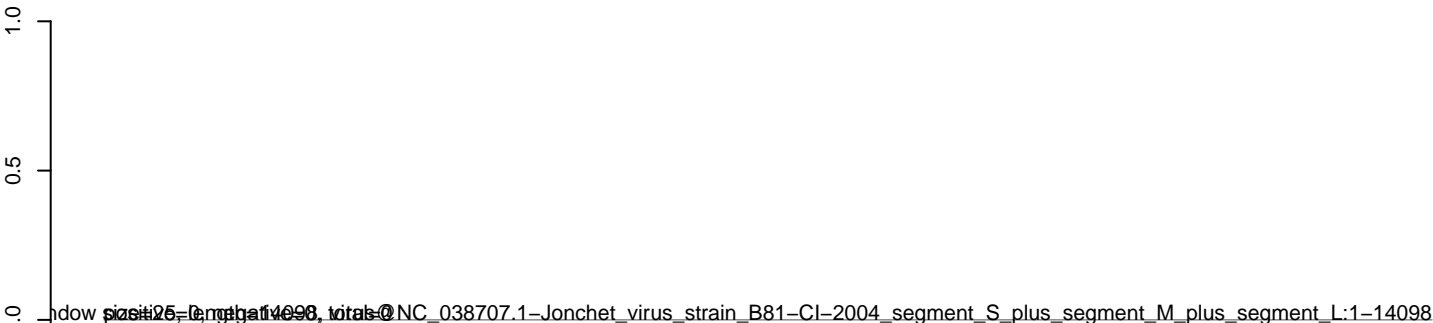
CuQuin_Mcarc_NL.18_23.rep



CuQuin_Mcarc_NL.24_35.rep



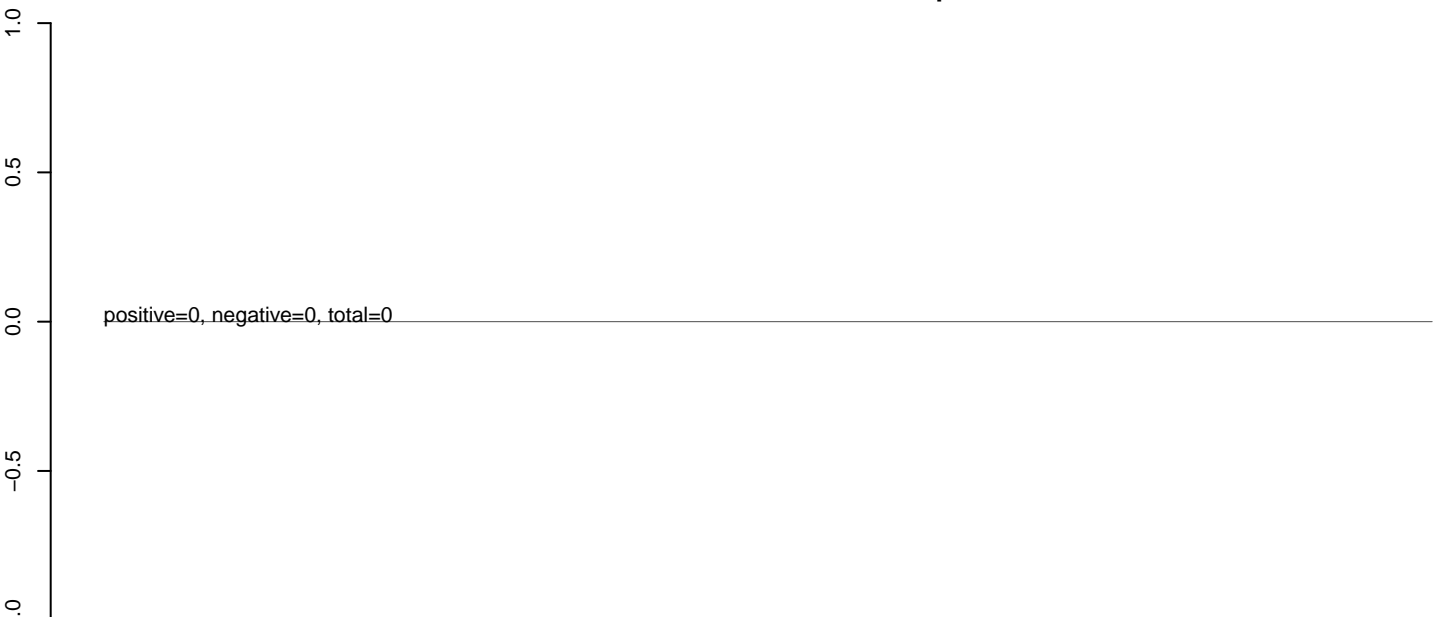
CuQuin_Mcarc_NL.rep



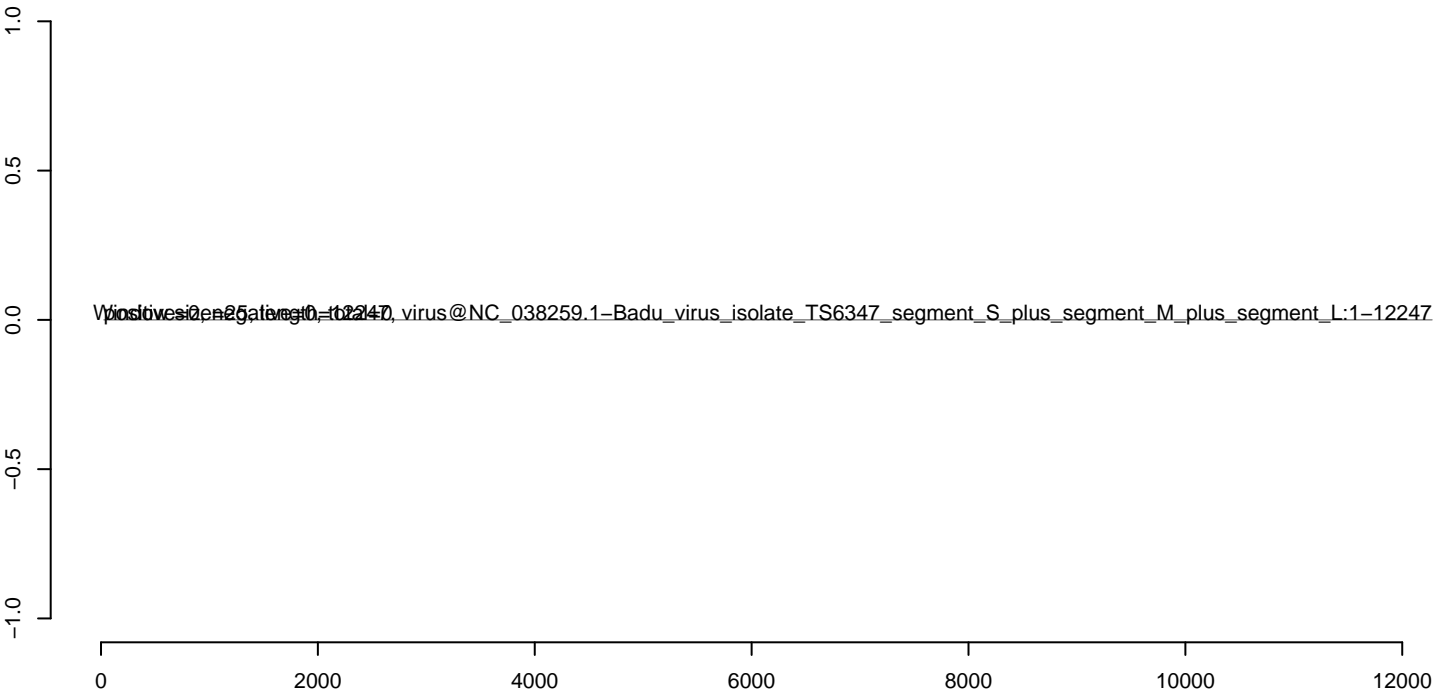
CuQuin_Mcarc_NL.18_23.rep



CuQuin_Mcarc_NL.24_35.rep



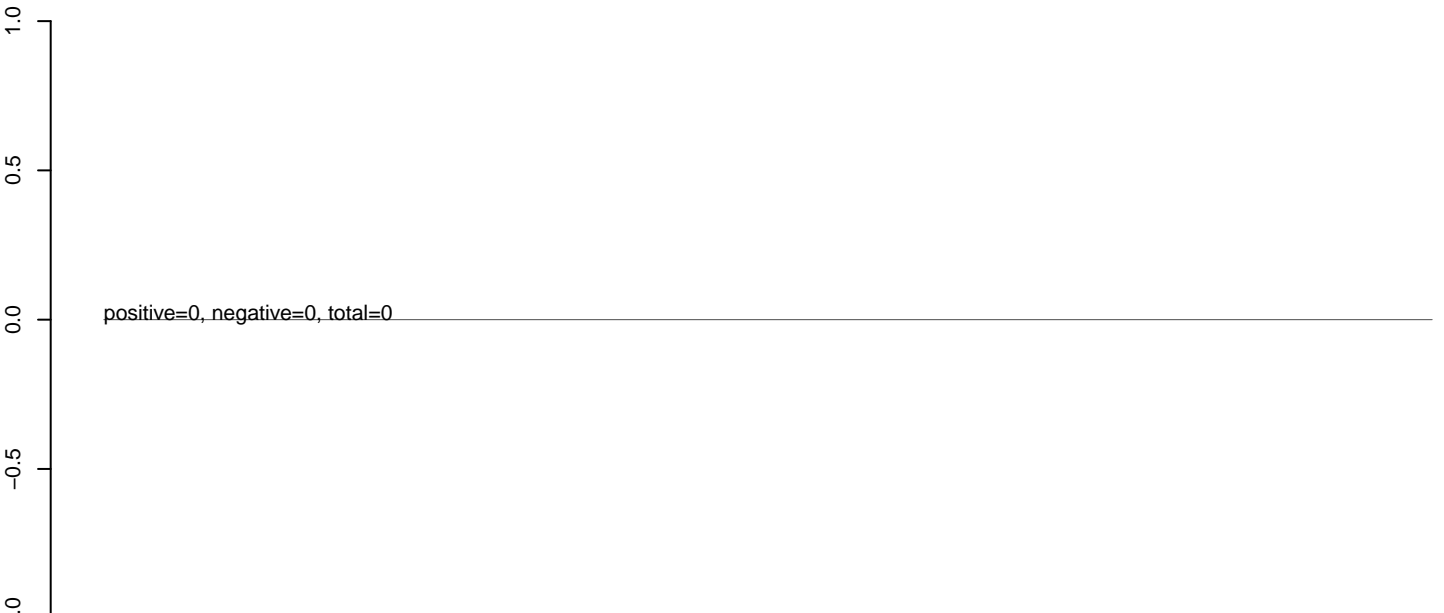
CuQuin_Mcarc_NL.rep



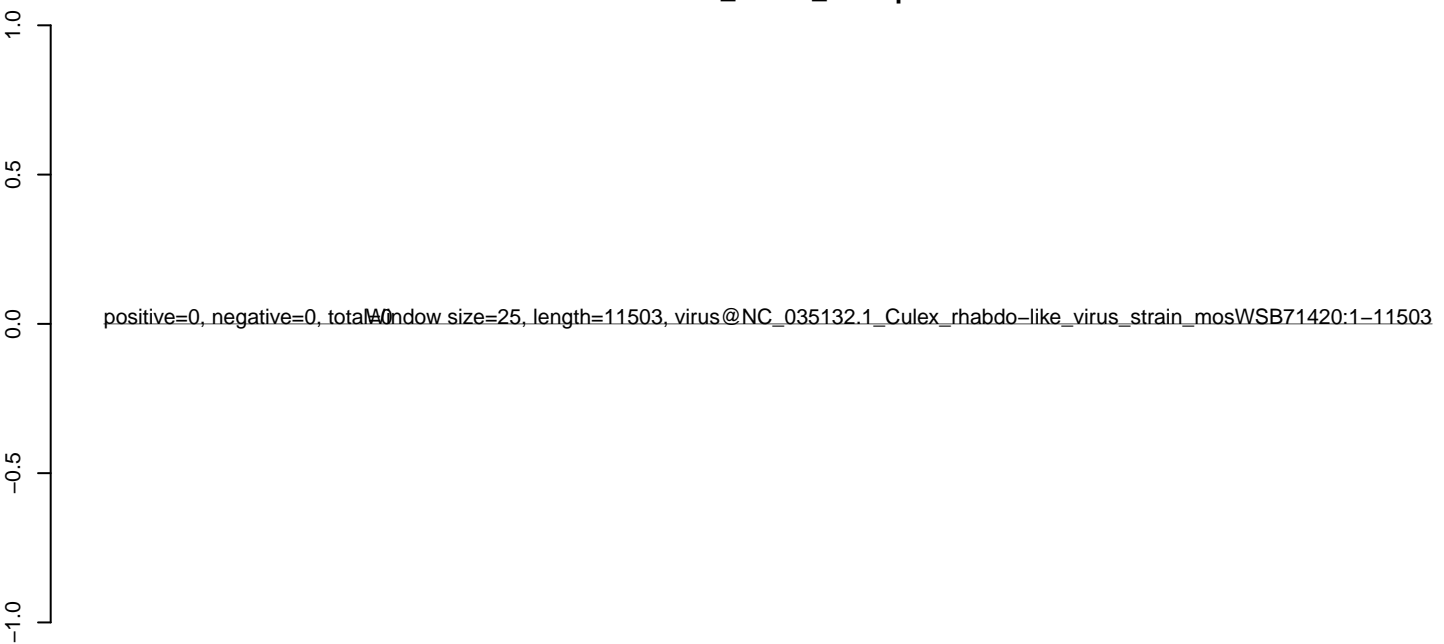
CuQuin_Mcarc_NL.18_23.rep



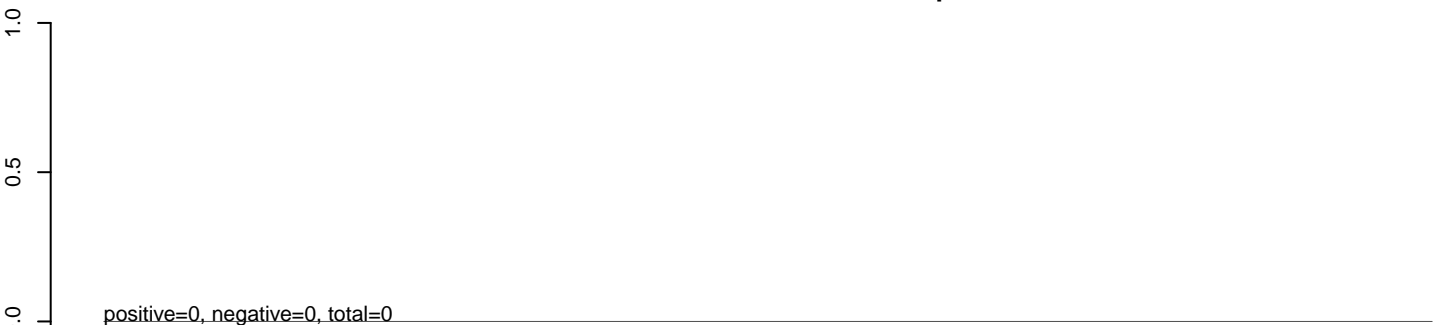
CuQuin_Mcarc_NL.24_35.rep



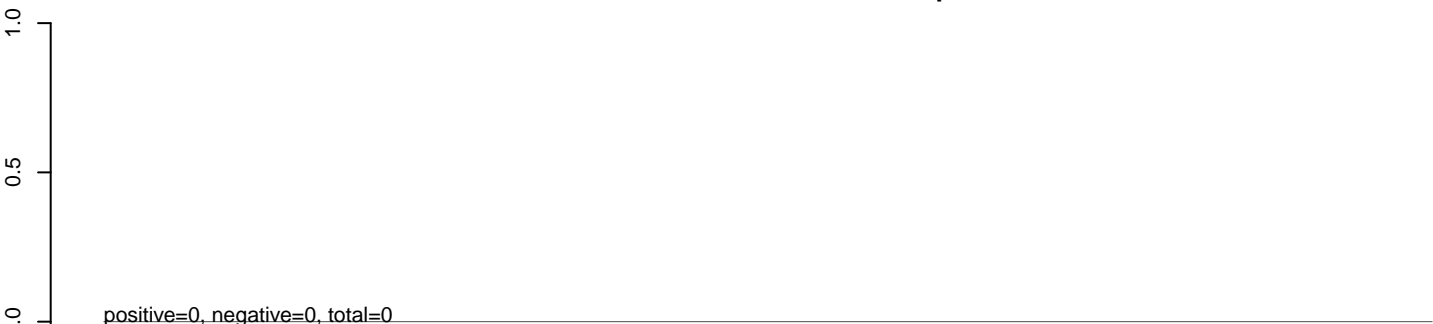
CuQuin_Mcarc_NL.rep



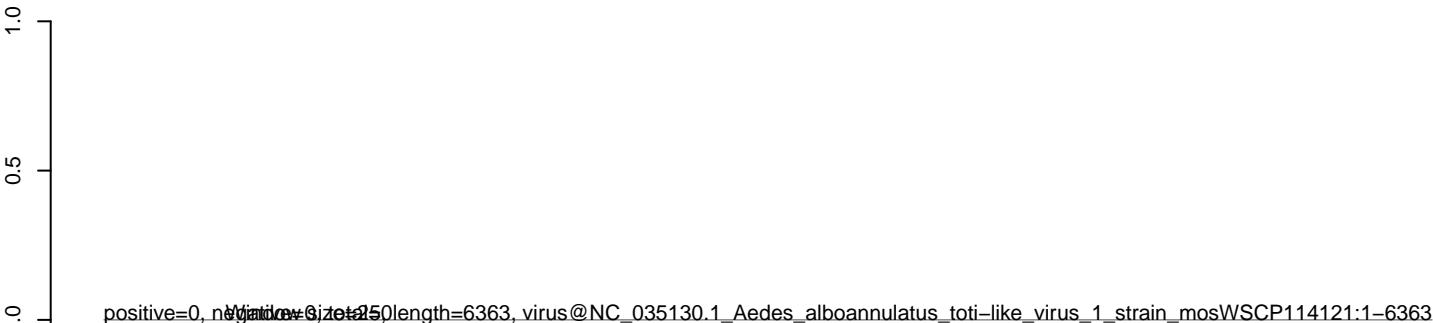
CuQuin_Mcarc_NL.18_23.rep



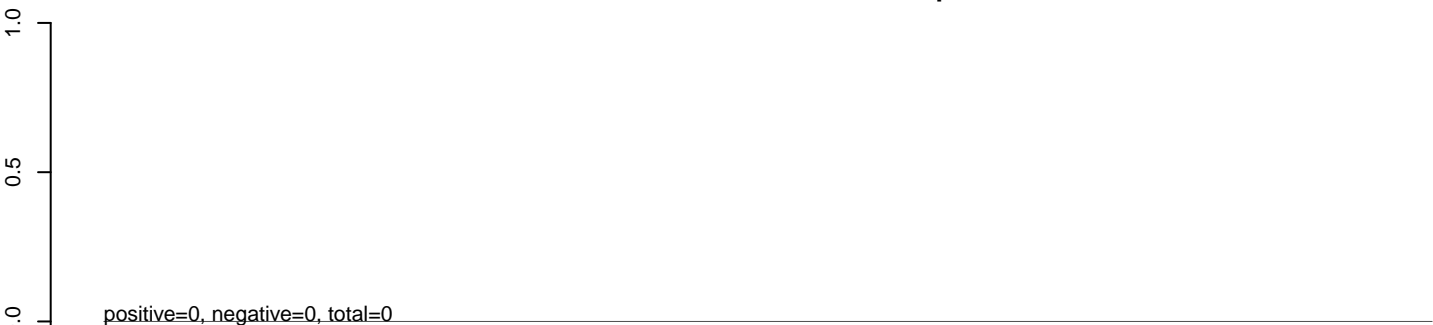
CuQuin_Mcarc_NL.24_35.rep



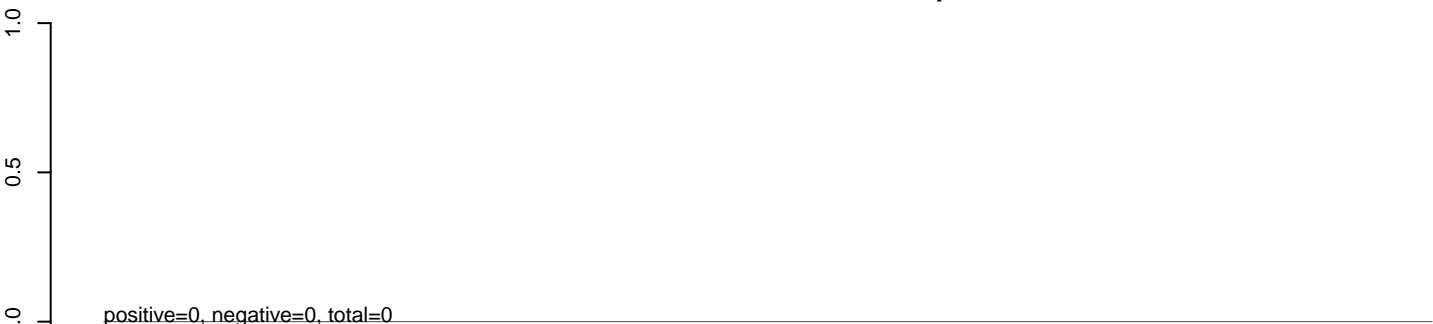
CuQuin_Mcarc_NL.rep



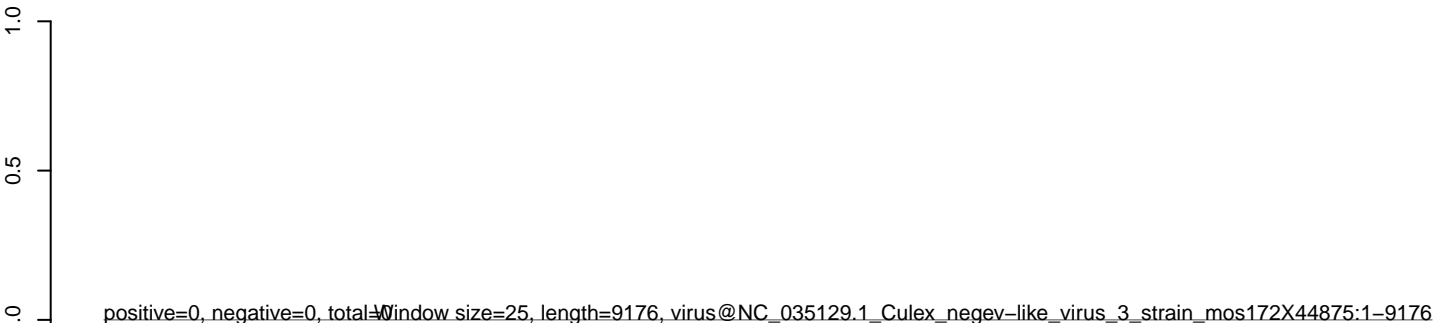
CuQuin_Mcarc_NL.18_23.rep



CuQuin_Mcarc_NL.24_35.rep



CuQuin_Mcarc_NL.rep



0 2000 4000 6000 8000

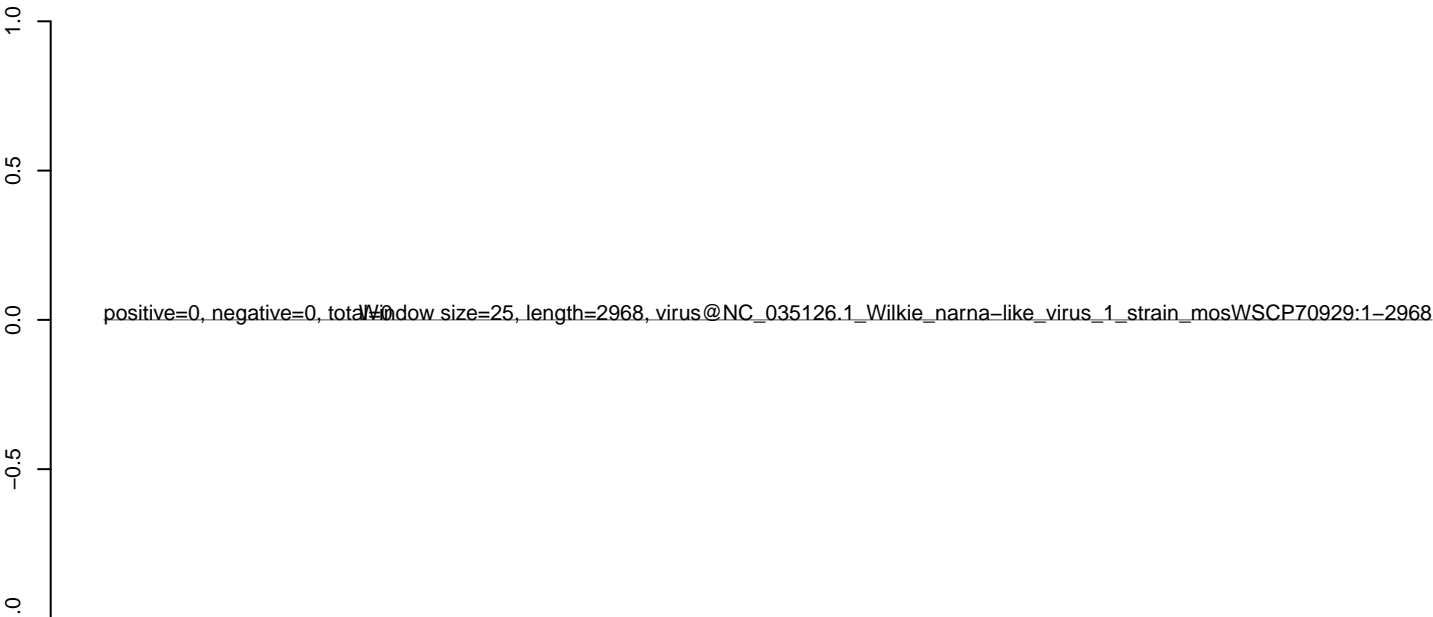
CuQuin_Mcarc_NL.18_23.rep



CuQuin_Mcarc_NL.24_35.rep



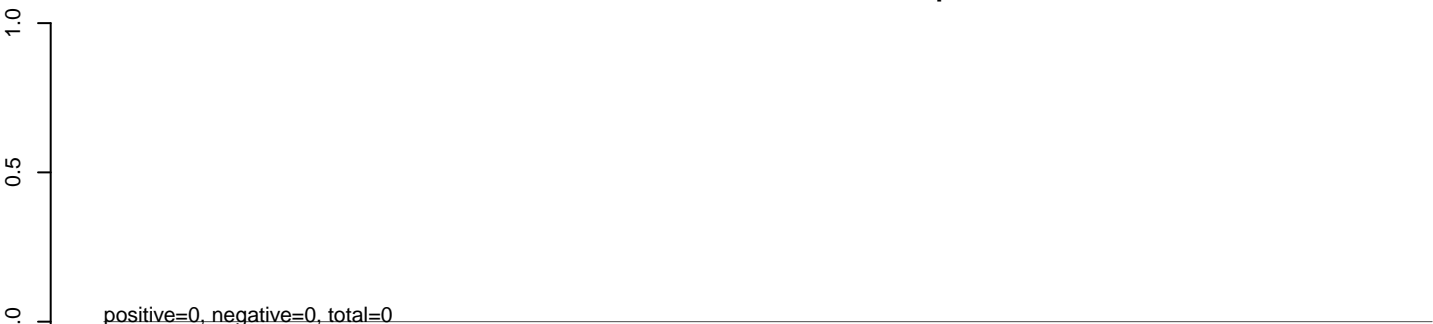
CuQuin_Mcarc_NL.rep



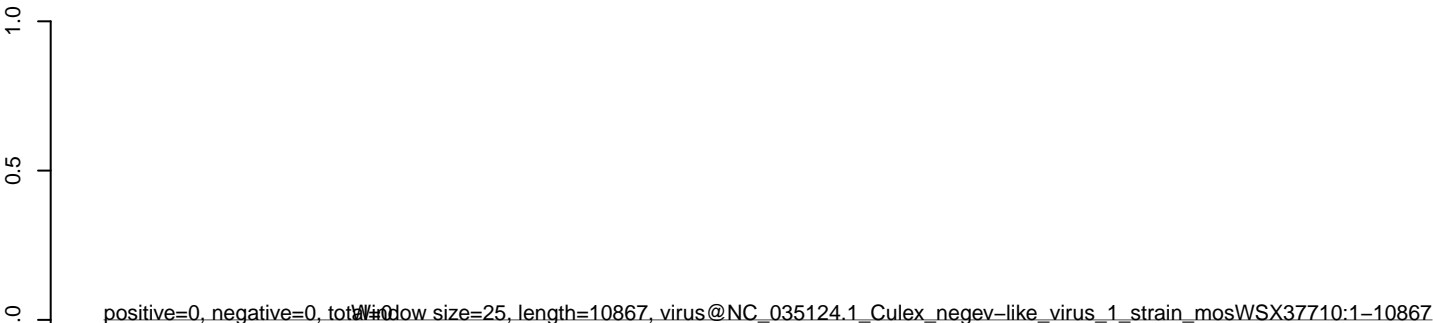
CuQuin_Mcarc_NL.18_23.rep



CuQuin_Mcarc_NL.24_35.rep



CuQuin_Mcarc_NL.rep

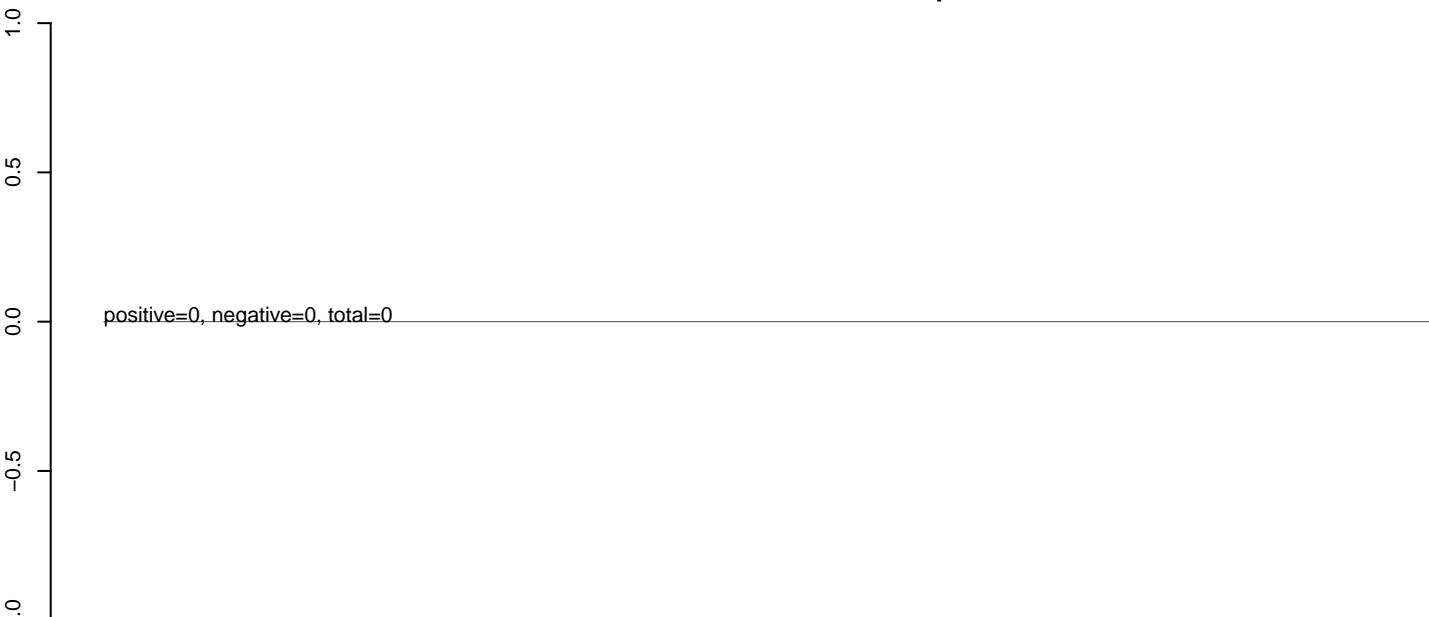


0 2000 4000 6000 8000 10000

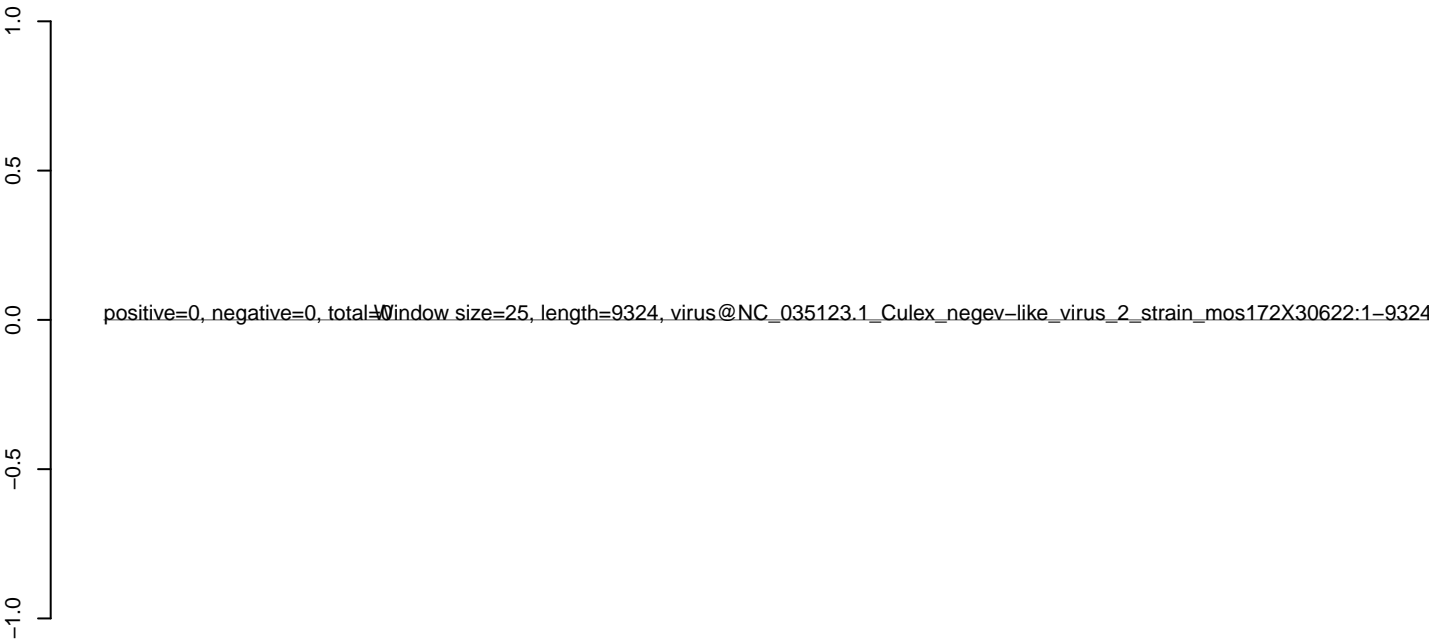
CuQuin_Mcarc_NL.18_23.rep



CuQuin_Mcarc_NL.24_35.rep



CuQuin_Mcarc_NL.rep



0 2000 4000 6000 8000

CuQuin_Mcarc_NL.18_23.rep



CuQuin_Mcarc_NL.24_35.rep

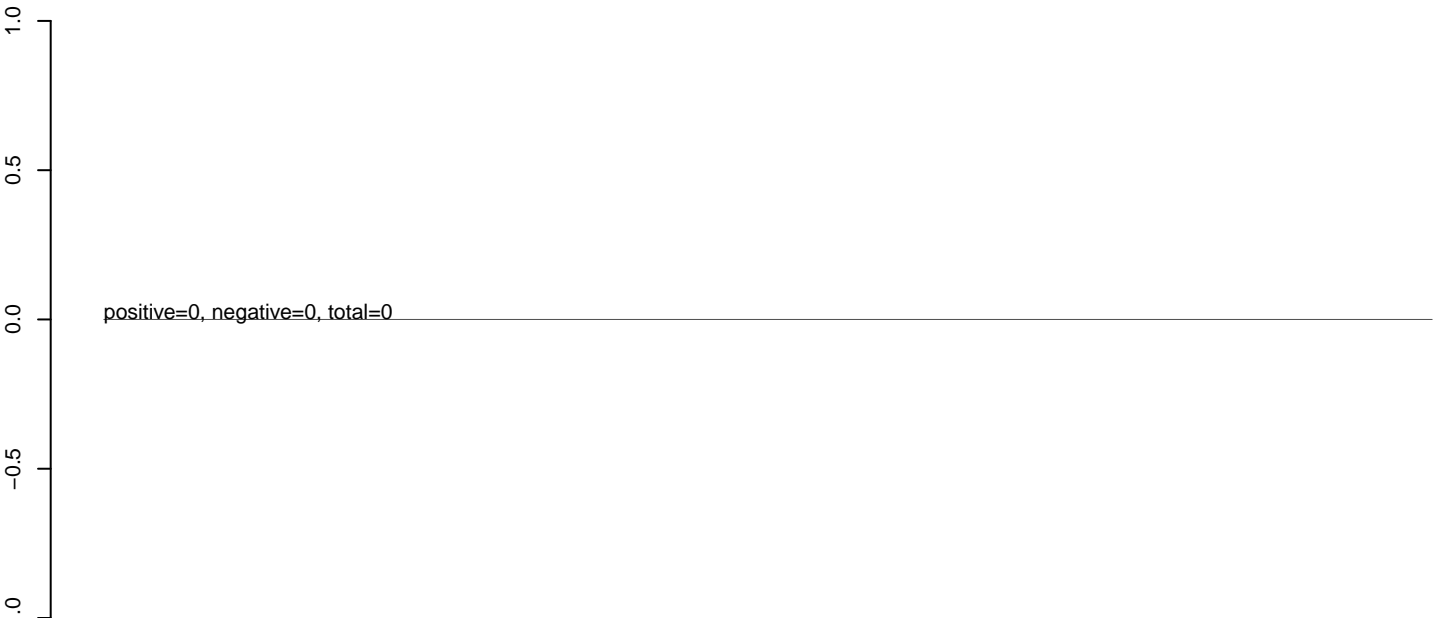


CuQuin_Mcarc_NL.rep

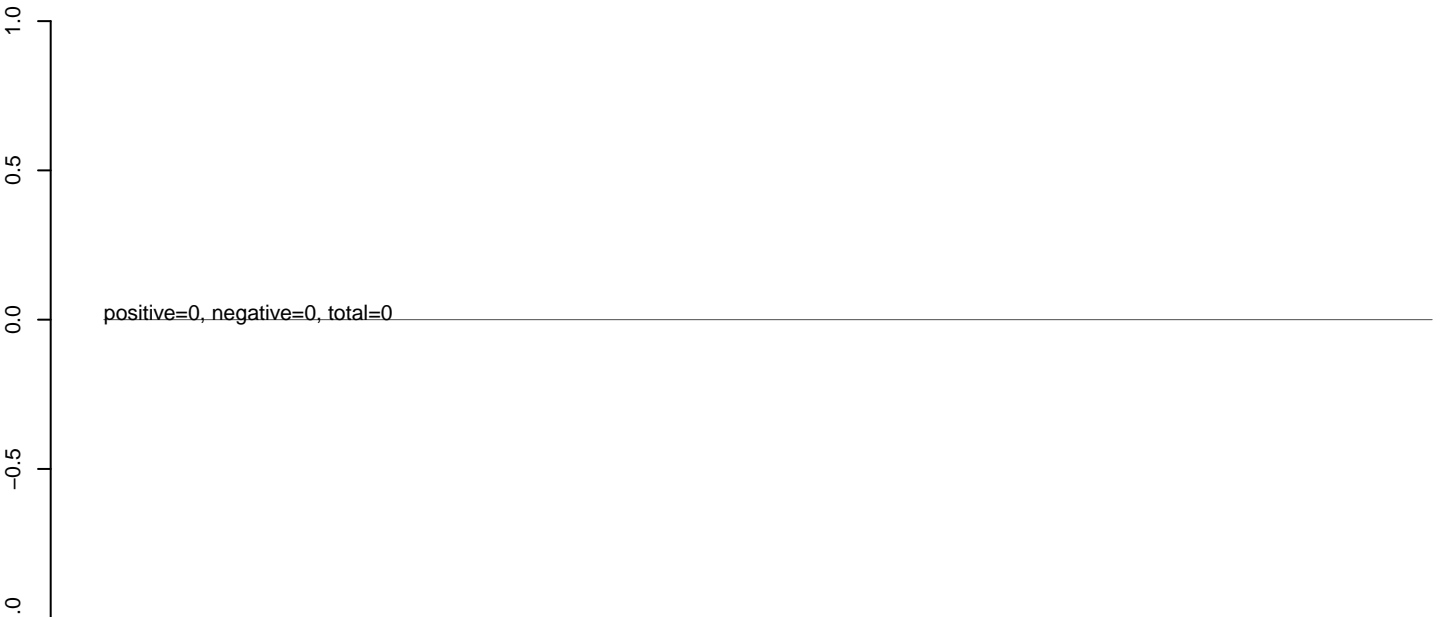


0 500 1000 1500 2000 2500 3000

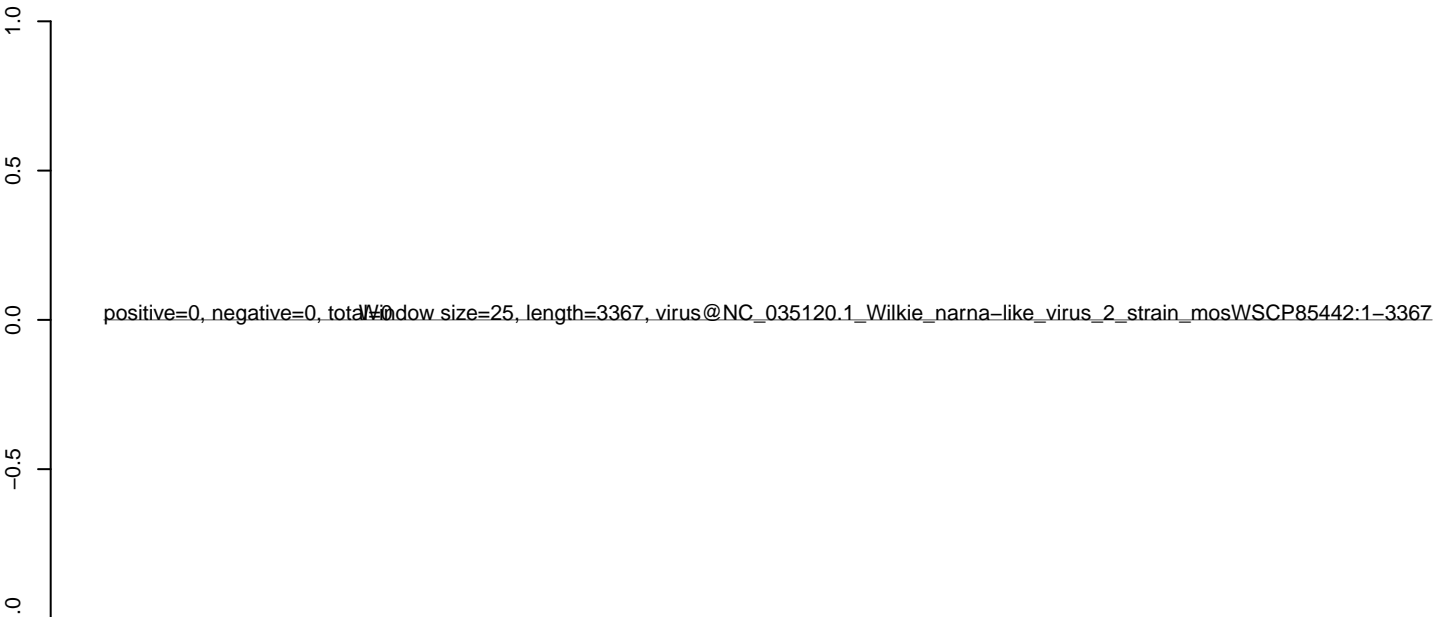
CuQuin_Mcarc_NL.18_23.rep



CuQuin_Mcarc_NL.24_35.rep



CuQuin_Mcarc_NL.rep



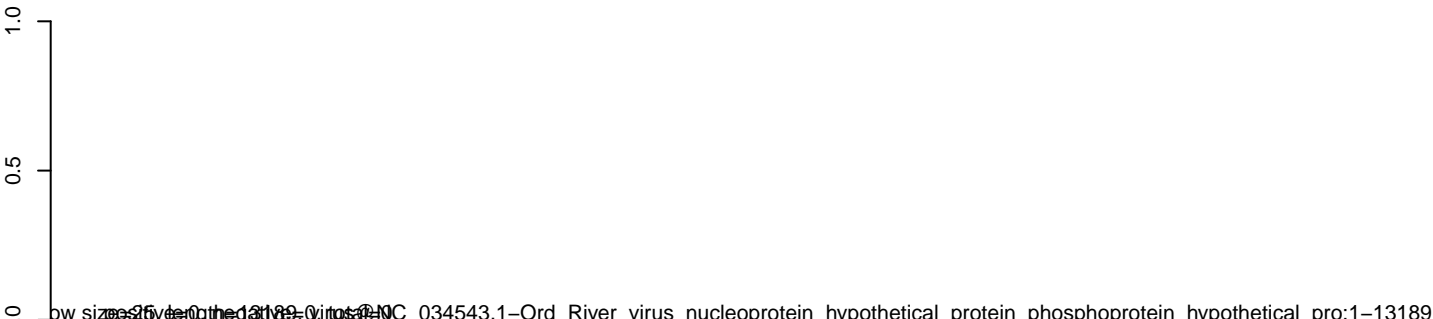
CuQuin_Mcarc_NL.18_23.rep



CuQuin_Mcarc_NL.24_35.rep

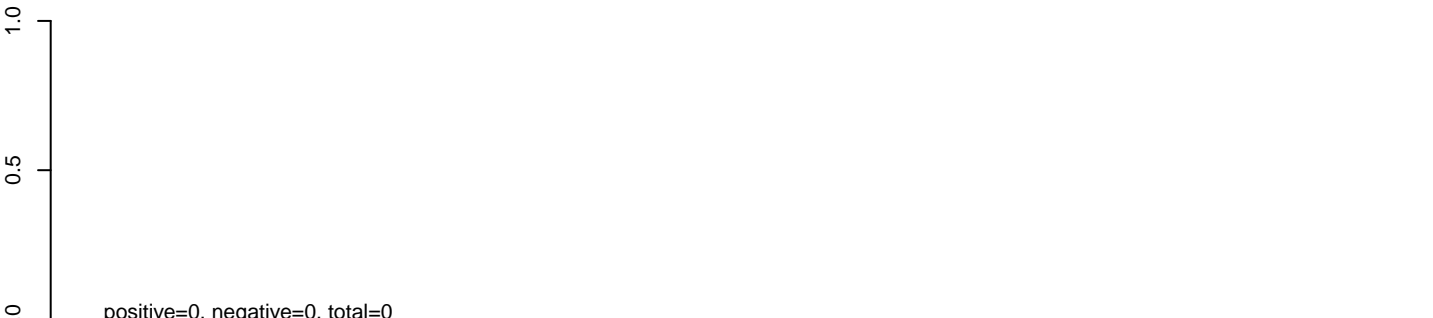


CuQuin_Mcarc_NL.rep



0 2000 4000 6000 8000 10000 12000

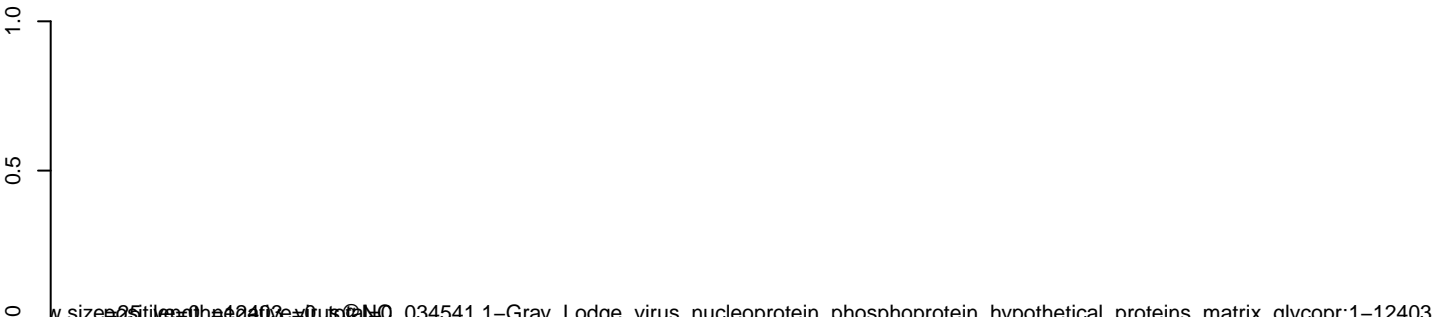
CuQuin_Mcarc_NL.18_23.rep



CuQuin_Mcarc_NL.24_35.rep



CuQuin_Mcarc_NL.rep



0 2000 4000 6000 8000 10000 12000

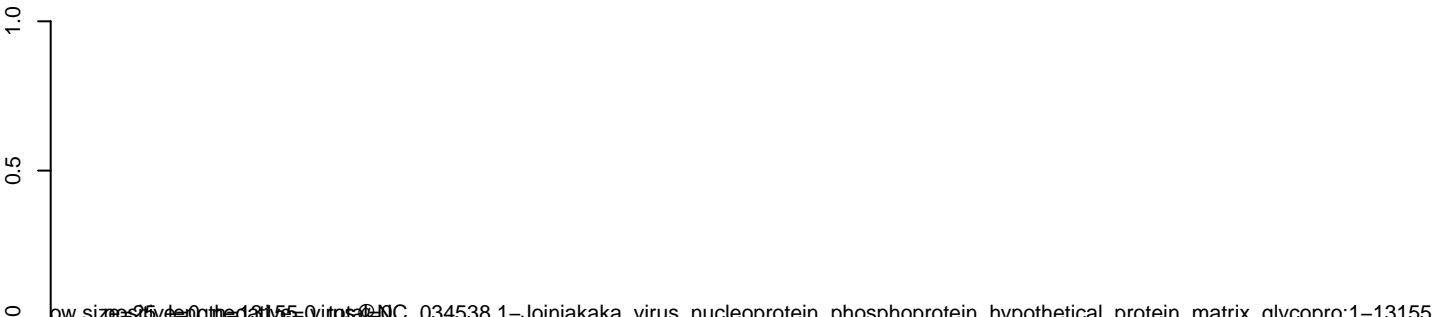
CuQuin_Mcarc_NL.18_23.rep



CuQuin_Mcarc_NL.24_35.rep



CuQuin_Mcarc_NL.rep

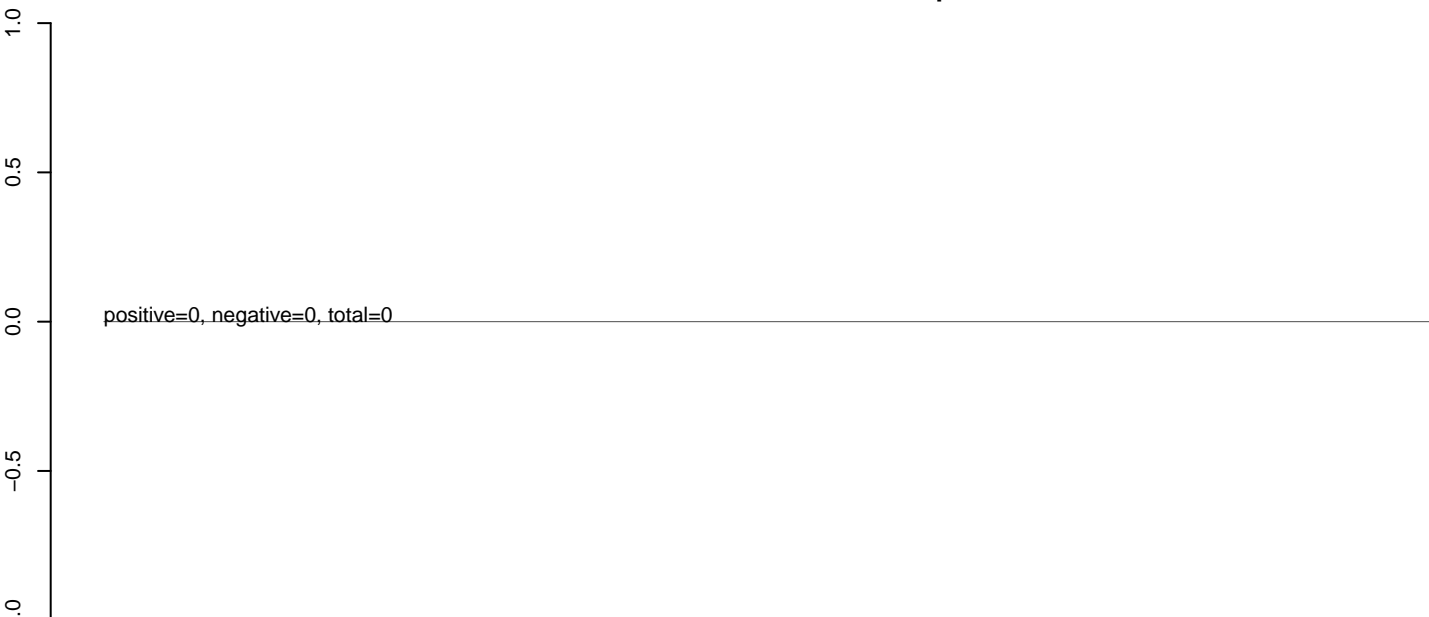


0 2000 4000 6000 8000 10000 12000

CuQuin_Mcarc_NL.18_23.rep



CuQuin_Mcarc_NL.24_35.rep



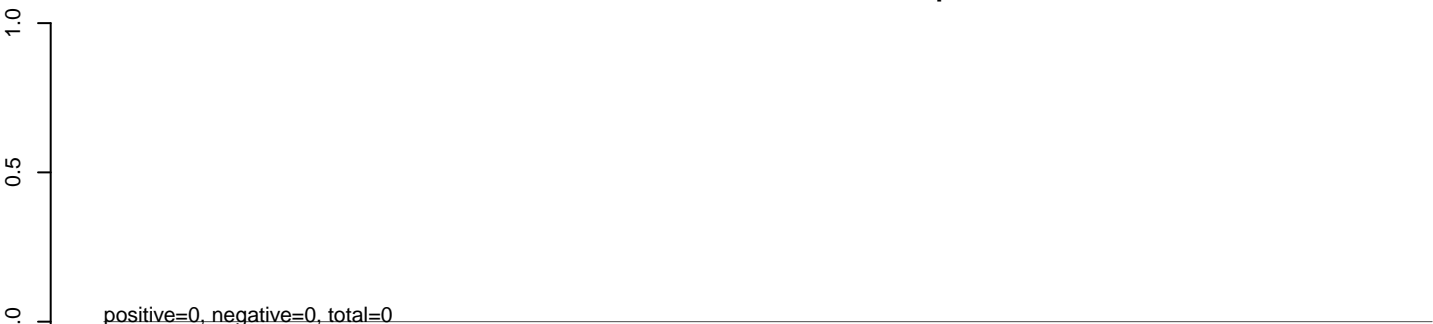
CuQuin_Mcarc_NL.rep



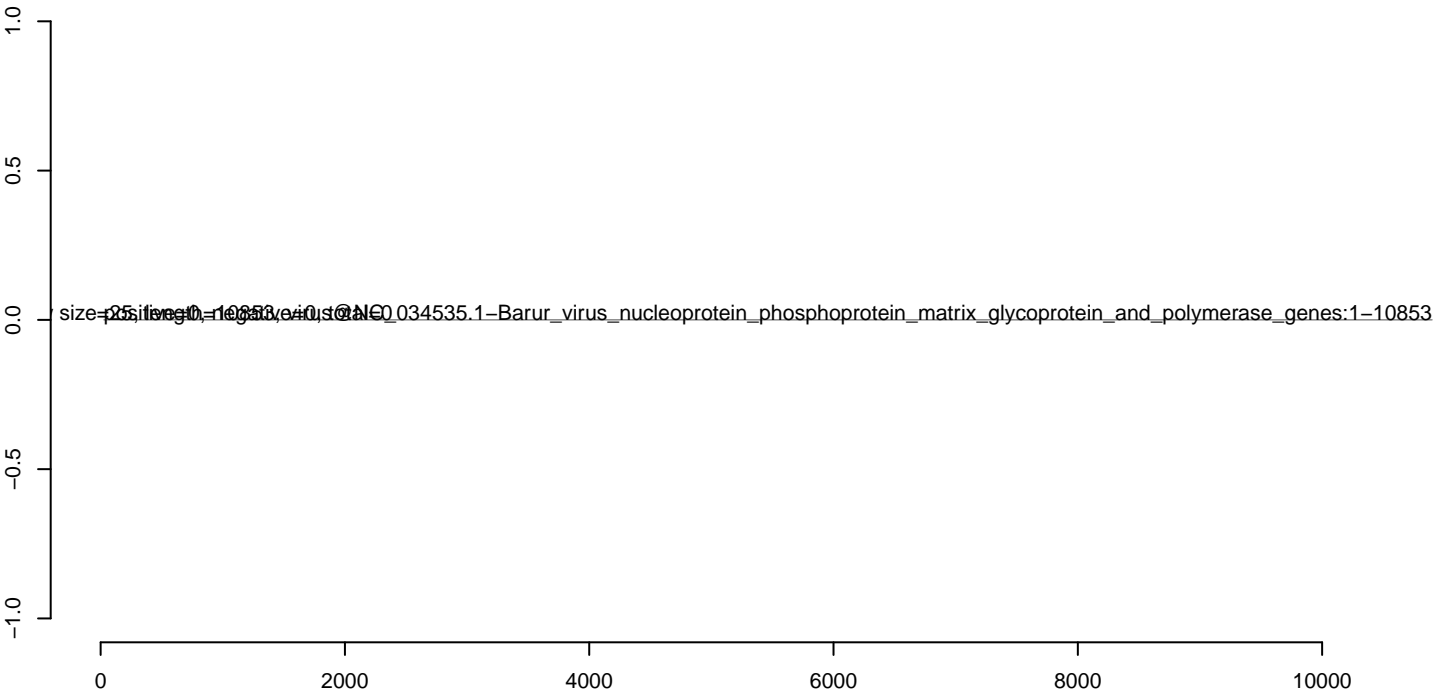
CuQuin_Mcarc_NL.18_23.rep



CuQuin_Mcarc_NL.24_35.rep



CuQuin_Mcarc_NL.rep



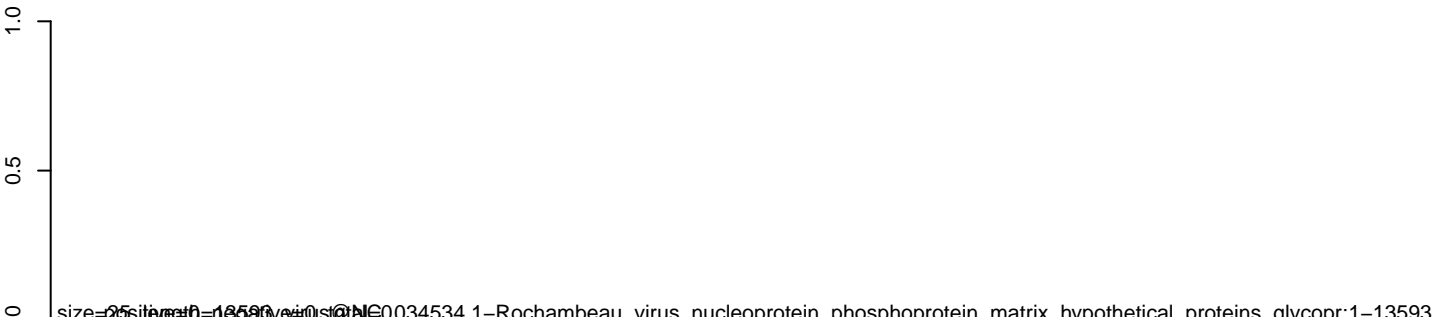
CuQuin_Mcarc_NL.18_23.rep



CuQuin_Mcarc_NL.24_35.rep



CuQuin_Mcarc_NL.rep



0 2000 4000 6000 8000 10000 12000 14000

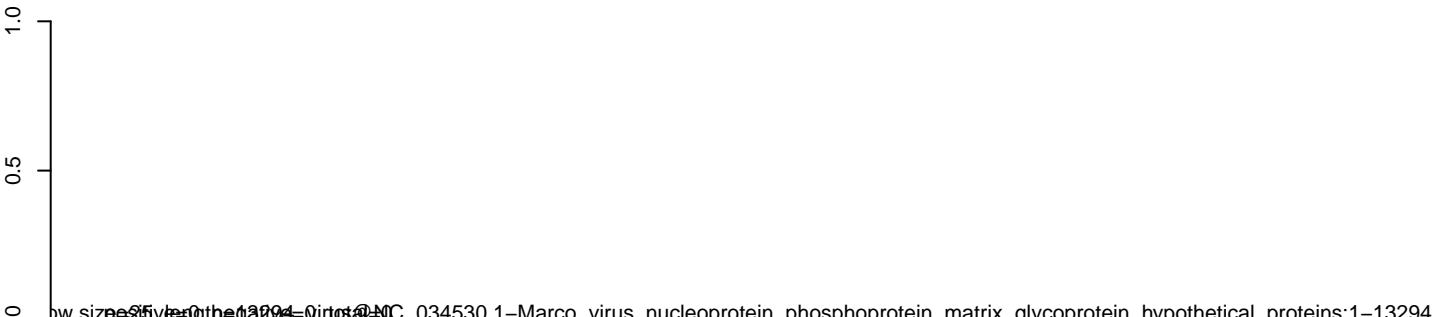
CuQuin_Mcarc_NL.18_23.rep



CuQuin_Mcarc_NL.24_35.rep



CuQuin_Mcarc_NL.rep



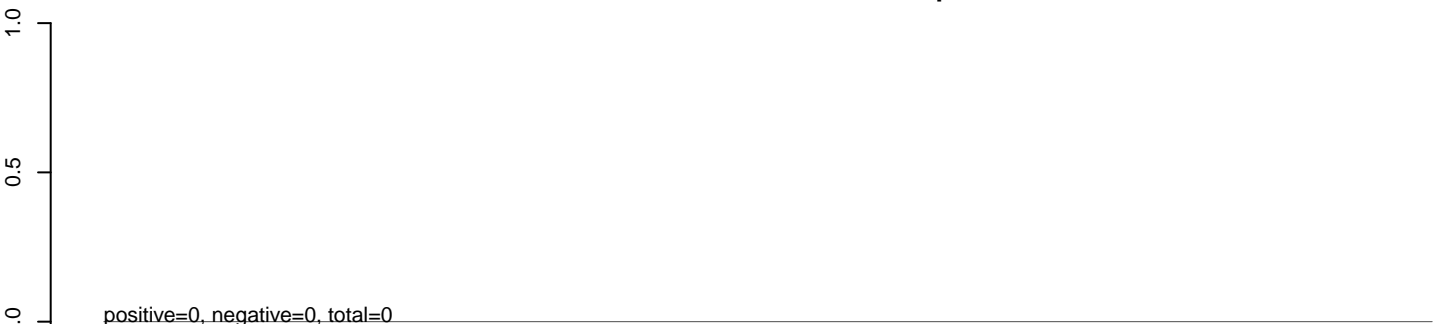
low size of the genome of the virus. NC_034530.1-Marco_virus_nucleoprotein_phosphoprotein_matrix_glycoprotein_hypothetical_proteins:1-13294

0 2000 4000 6000 8000 10000 12000

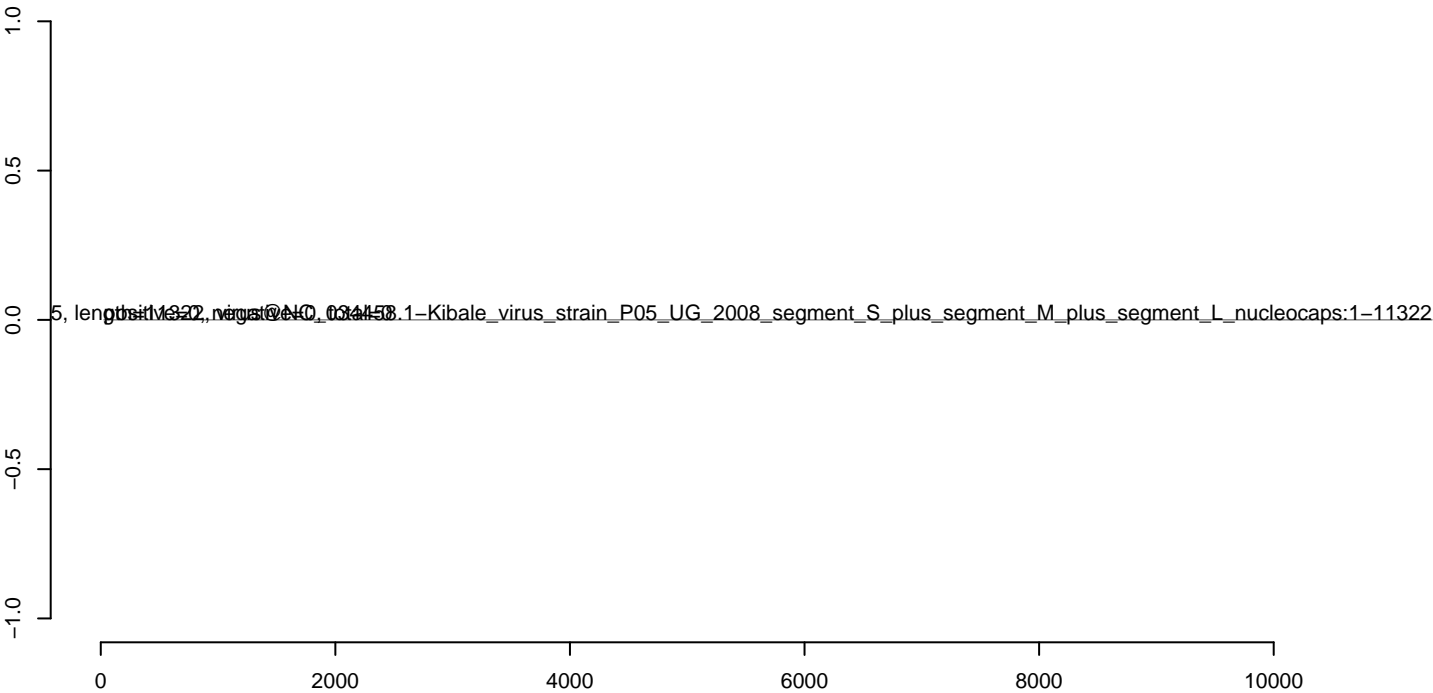
CuQuin_Mcarc_NL.18_23.rep



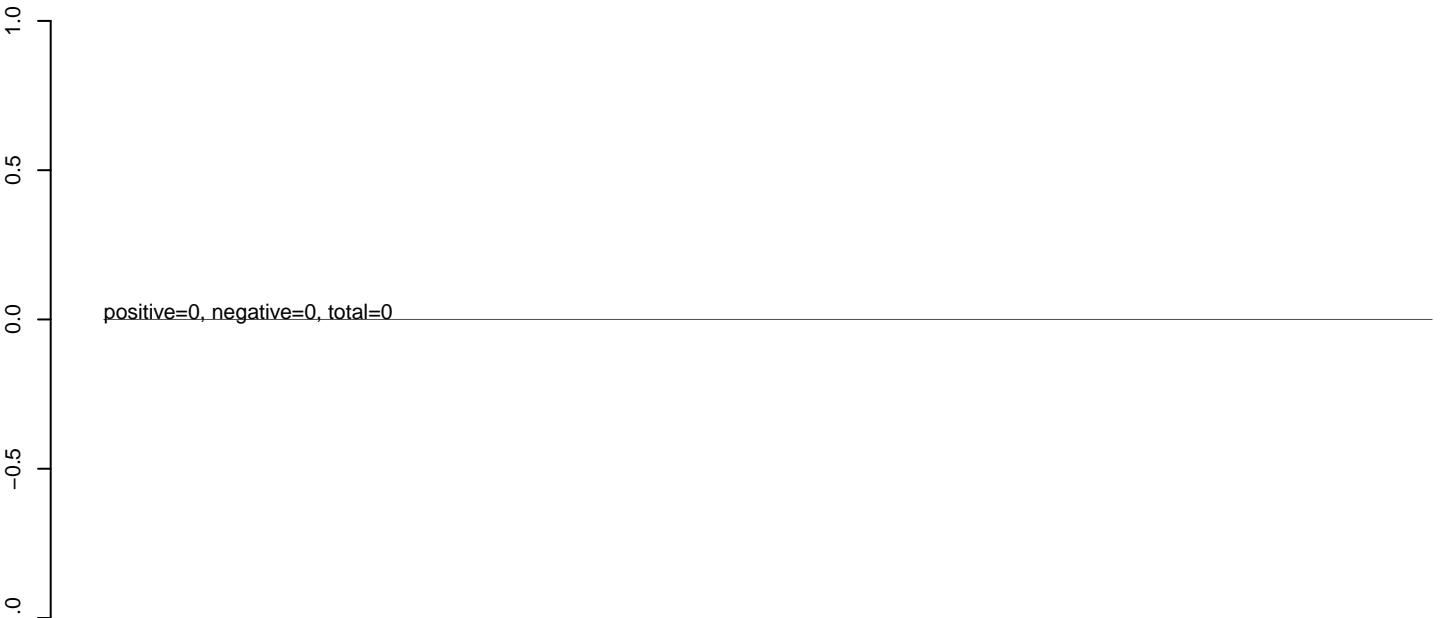
CuQuin_Mcarc_NL.24_35.rep



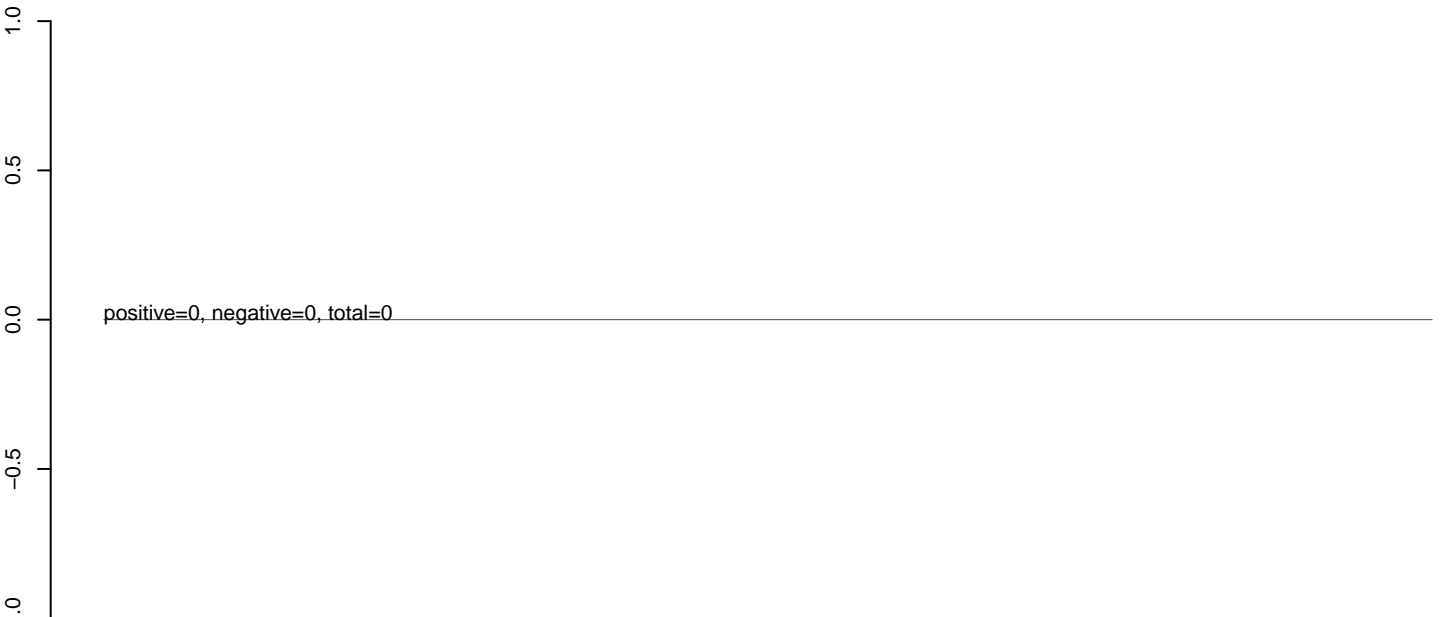
CuQuin_Mcarc_NL.rep



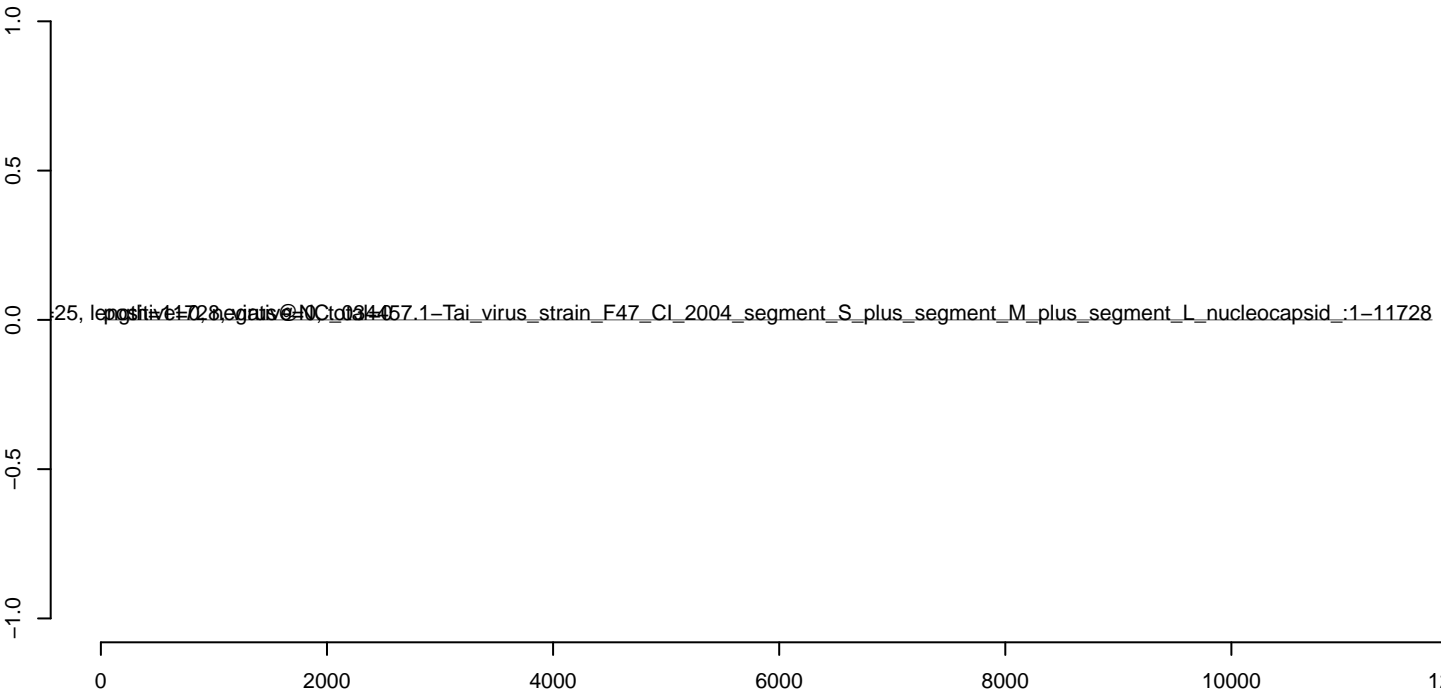
CuQuin_Mcarc_NL.18_23.rep



CuQuin_Mcarc_NL.24_35.rep



CuQuin_Mcarc_NL.rep



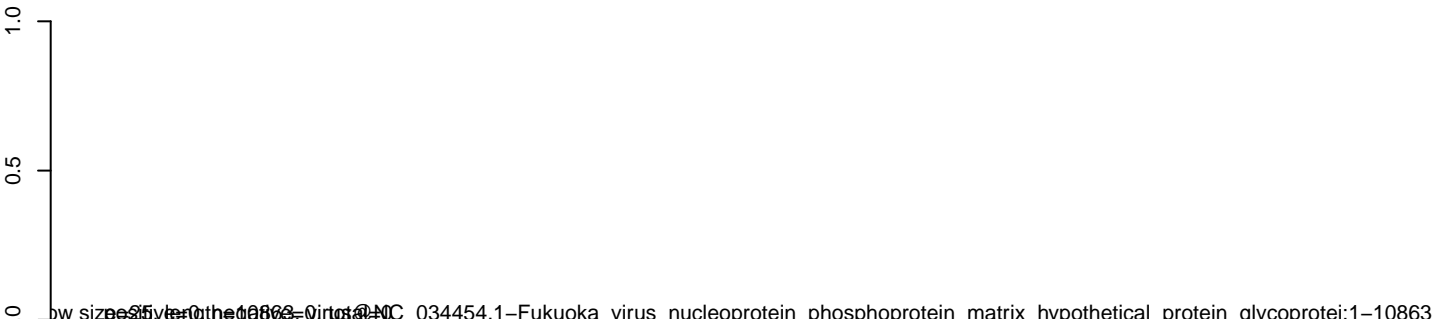
CuQuin_Mcarc_NL.18_23.rep



CuQuin_Mcarc_NL.24_35.rep



CuQuin_Mcarc_NL.rep

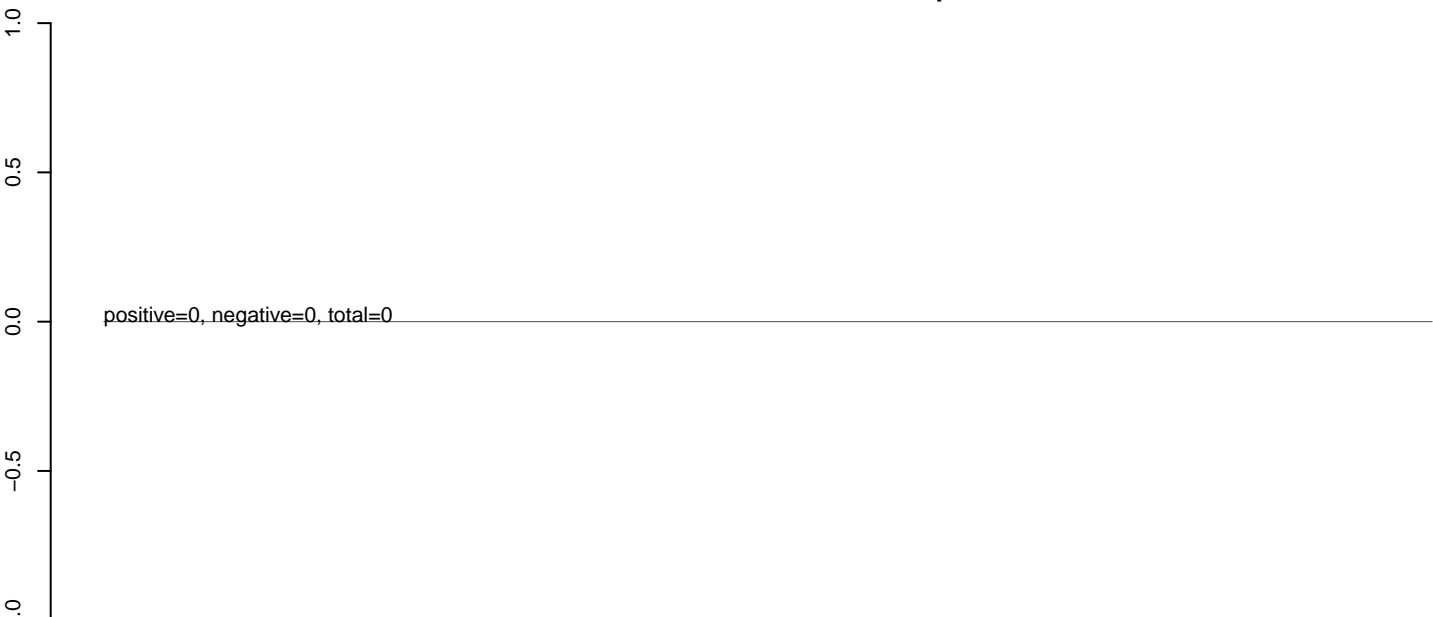


0 2000 4000 6000 8000 10000

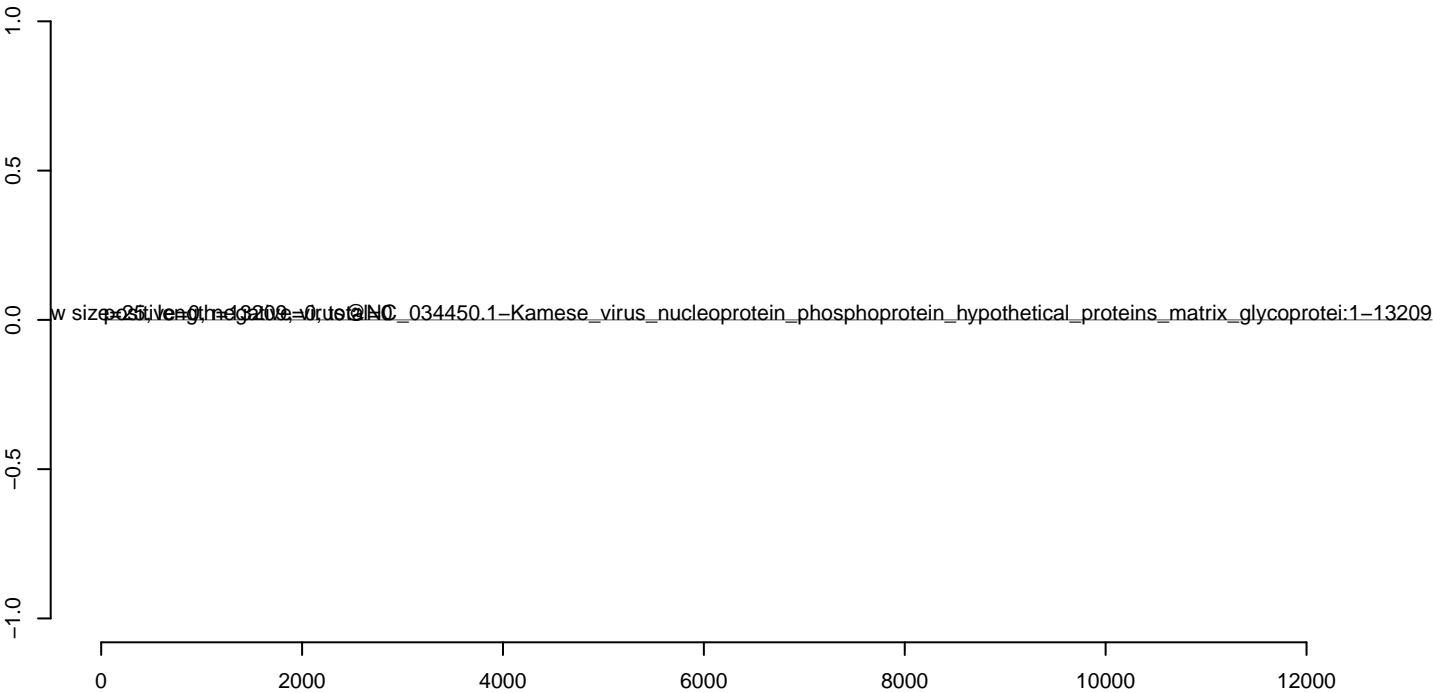
CuQuin_Mcarc_NL.18_23.rep



CuQuin_Mcarc_NL.24_35.rep



CuQuin_Mcarc_NL.rep



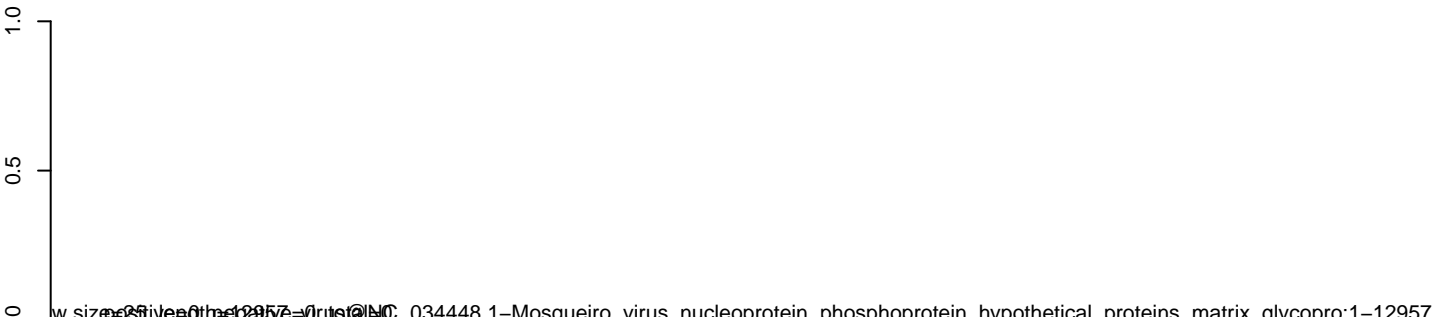
CuQuin_Mcarc_NL.18_23.rep



CuQuin_Mcarc_NL.24_35.rep



CuQuin_Mcarc_NL.rep

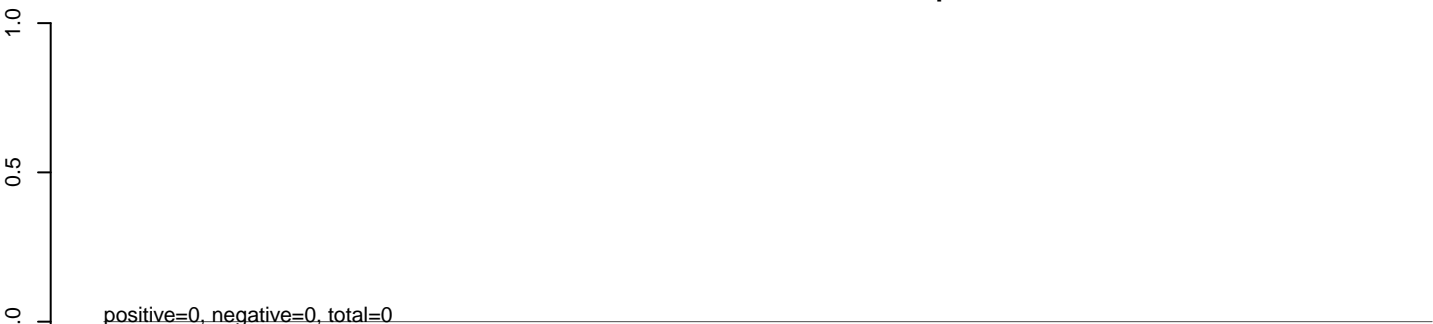


0 2000 4000 6000 8000 10000 12000

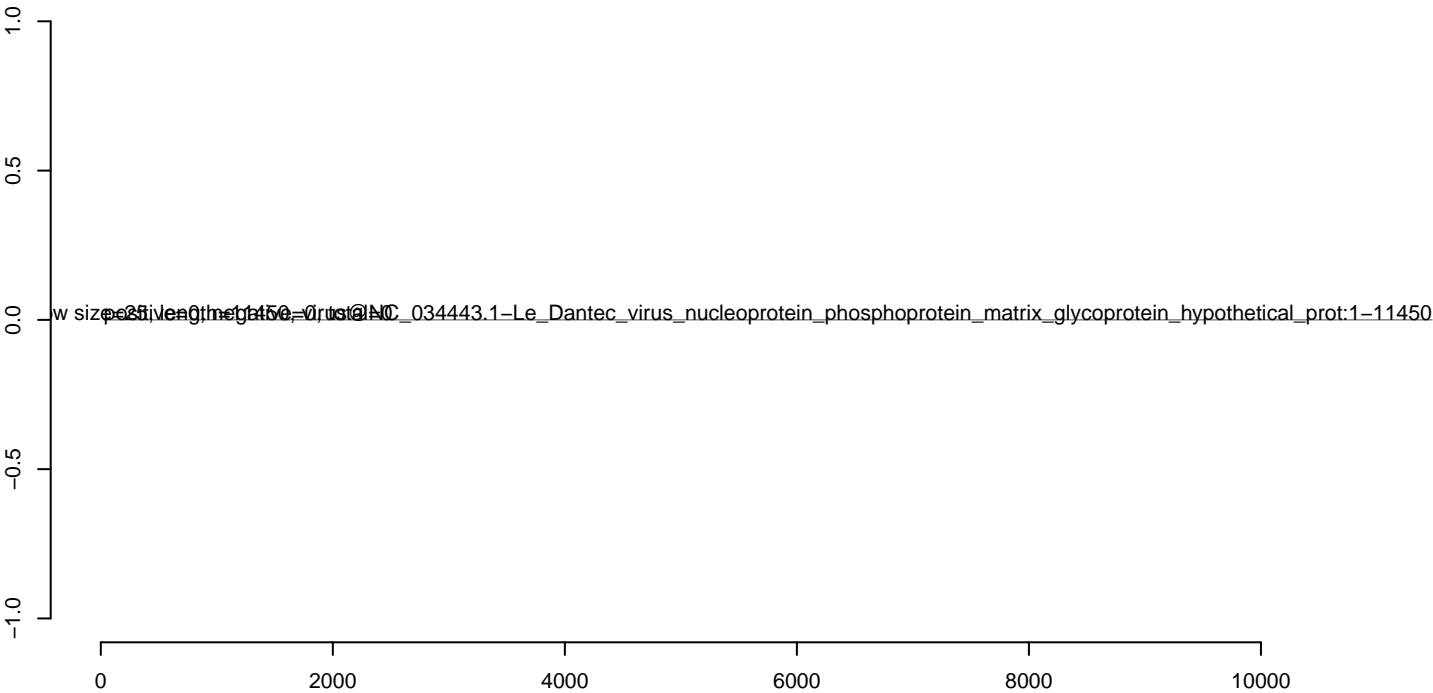
CuQuin_Mcarc_NL.18_23.rep



CuQuin_Mcarc_NL.24_35.rep



CuQuin_Mcarc_NL.rep



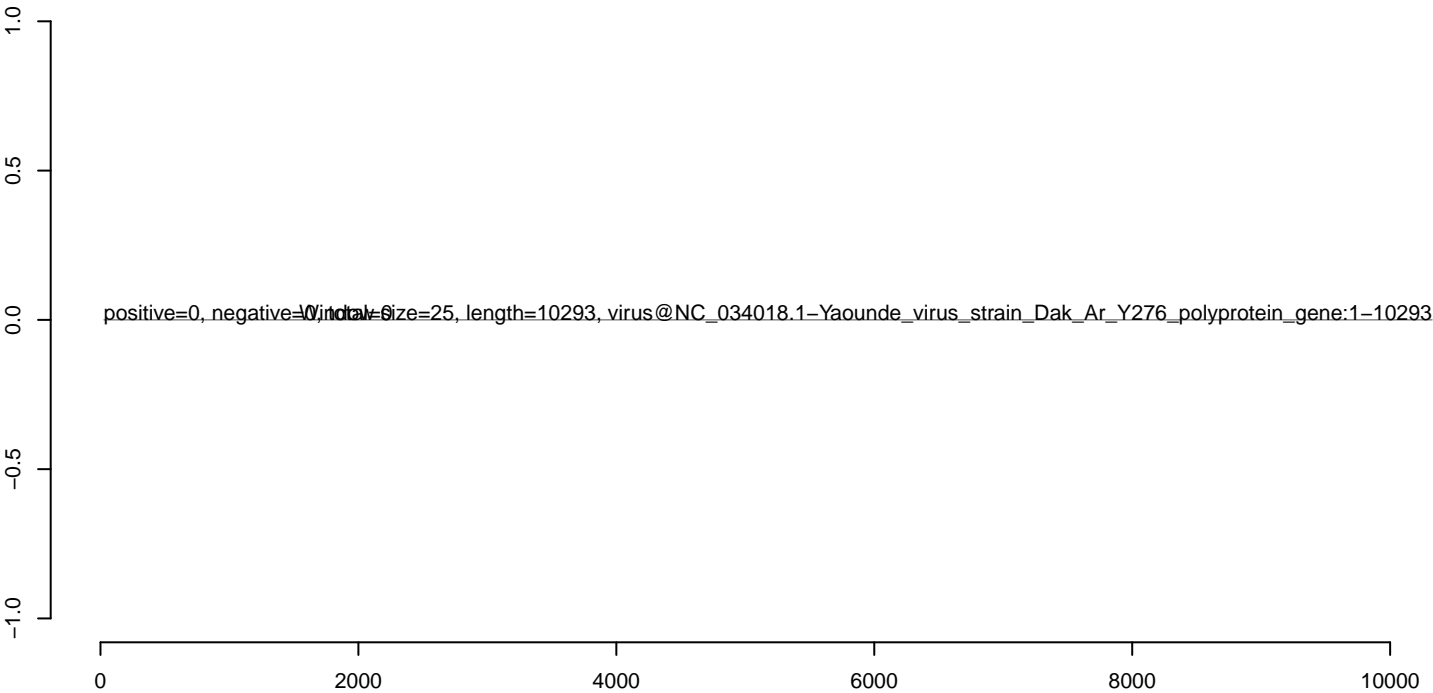
CuQuin_Mcarc_NL.18_23.rep



CuQuin_Mcarc_NL.24_35.rep



CuQuin_Mcarc_NL.rep



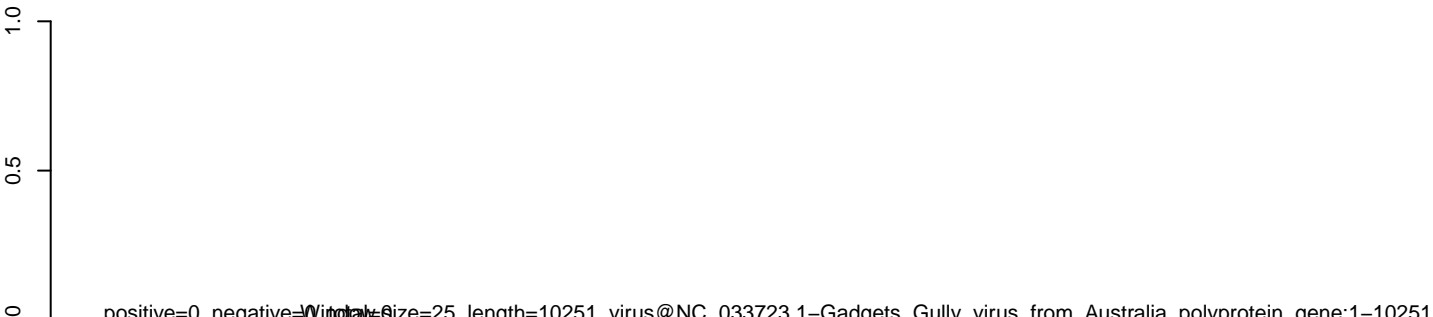
CuQuin_Mcarc_NL.18_23.rep



CuQuin_Mcarc_NL.24_35.rep



CuQuin_Mcarc_NL.rep

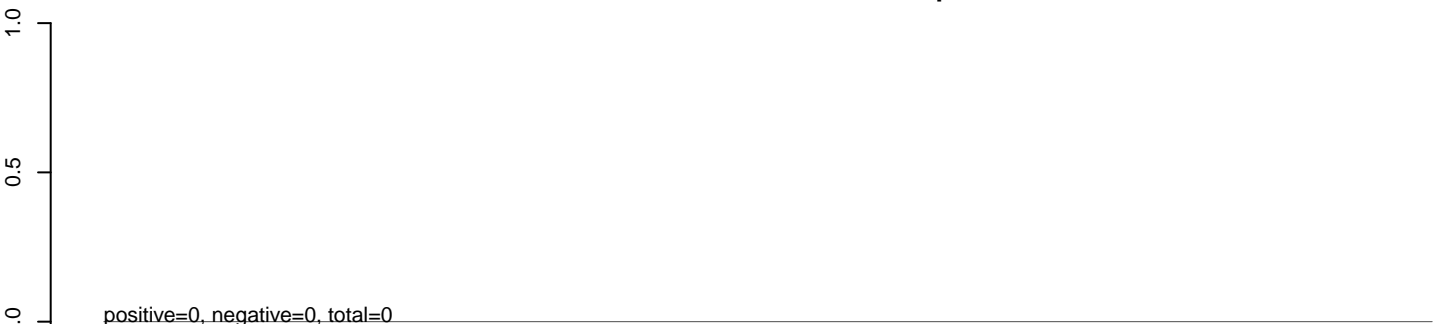


0 2000 4000 6000 8000 10000

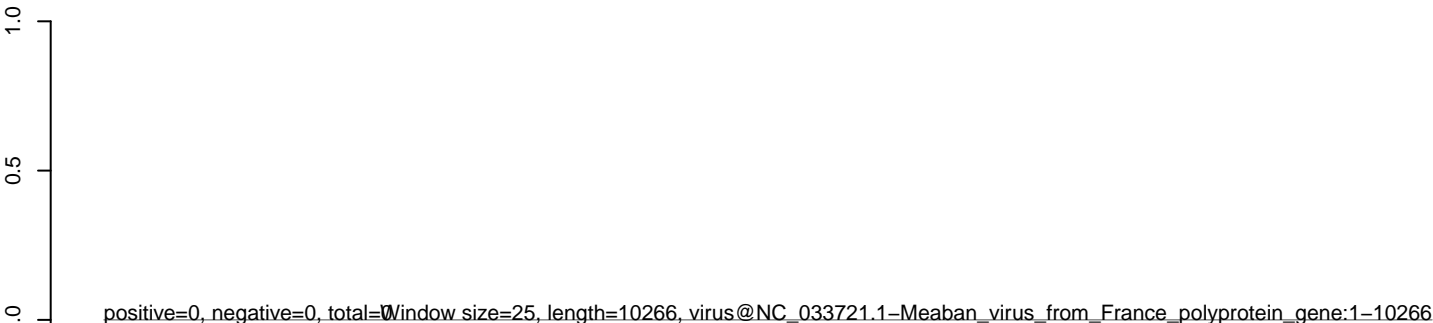
CuQuin_Mcarc_NL.18_23.rep



CuQuin_Mcarc_NL.24_35.rep



CuQuin_Mcarc_NL.rep



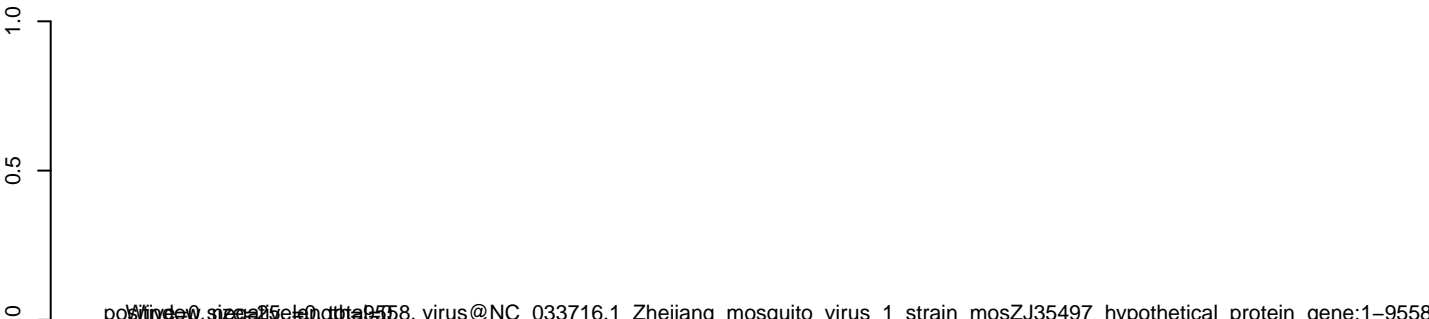
CuQuin_Mcarc_NL.18_23.rep



CuQuin_Mcarc_NL.24_35.rep

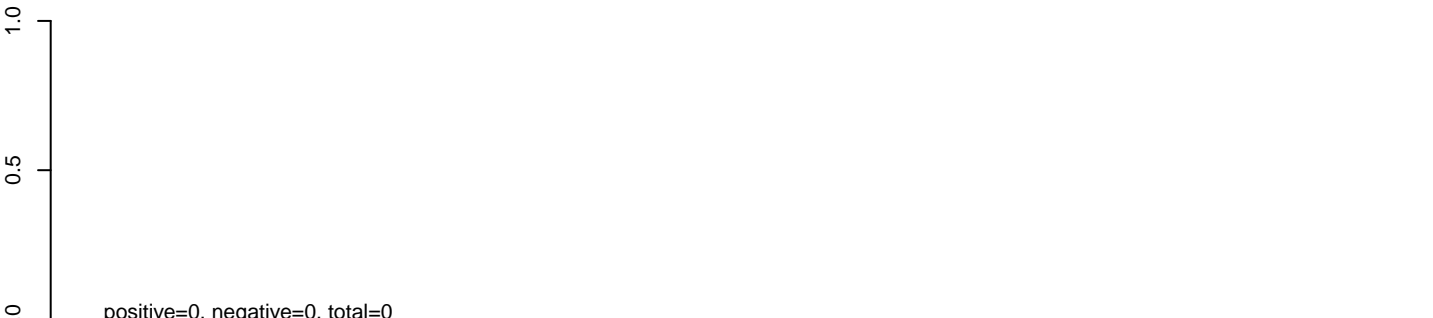


CuQuin_Mcarc_NL.rep



0 2000 4000 6000 8000

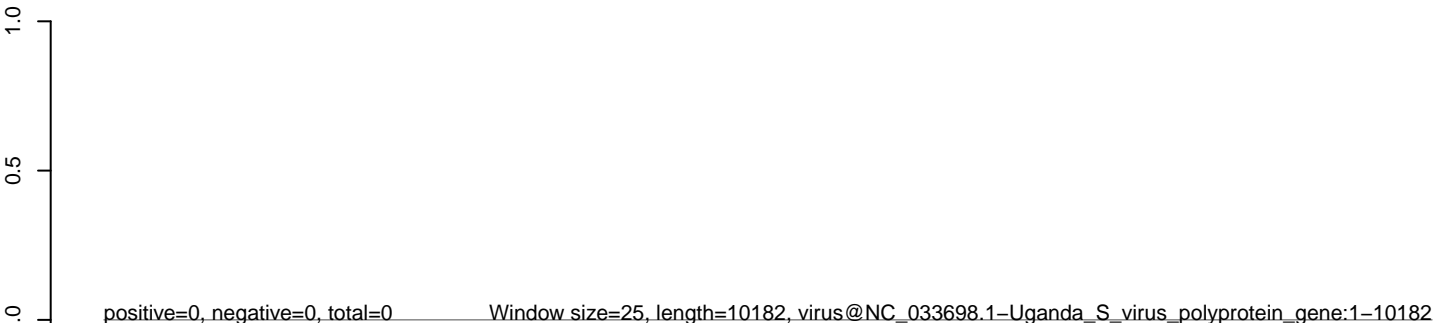
CuQuin_Mcarc_NL.18_23.rep



CuQuin_Mcarc_NL.24_35.rep



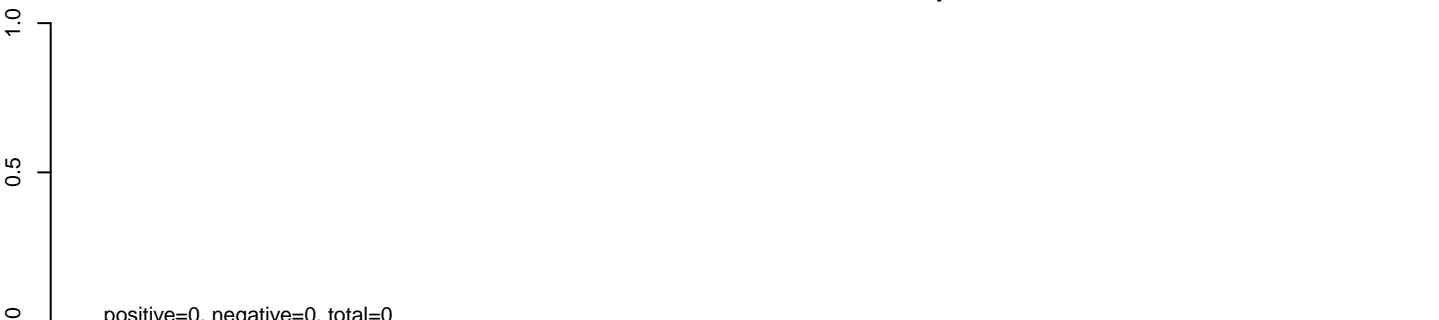
CuQuin_Mcarc_NL.rep



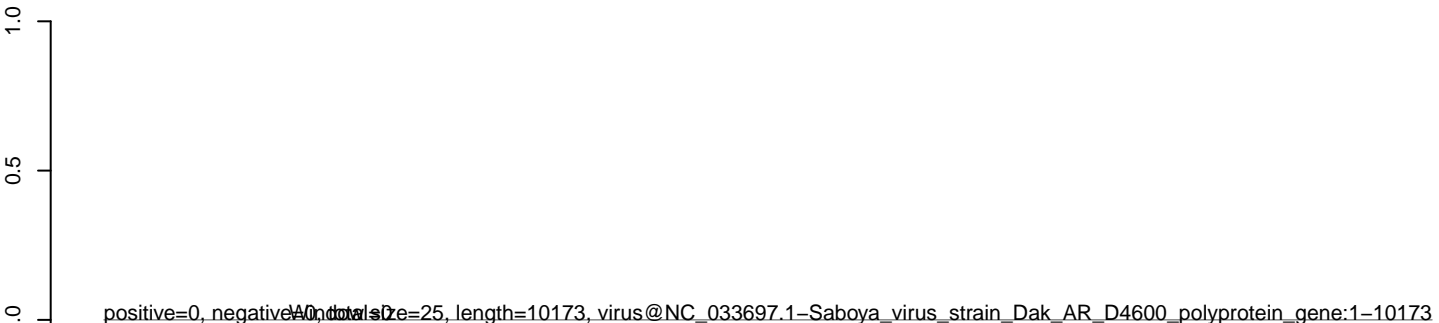
CuQuin_Mcarc_NL.18_23.rep



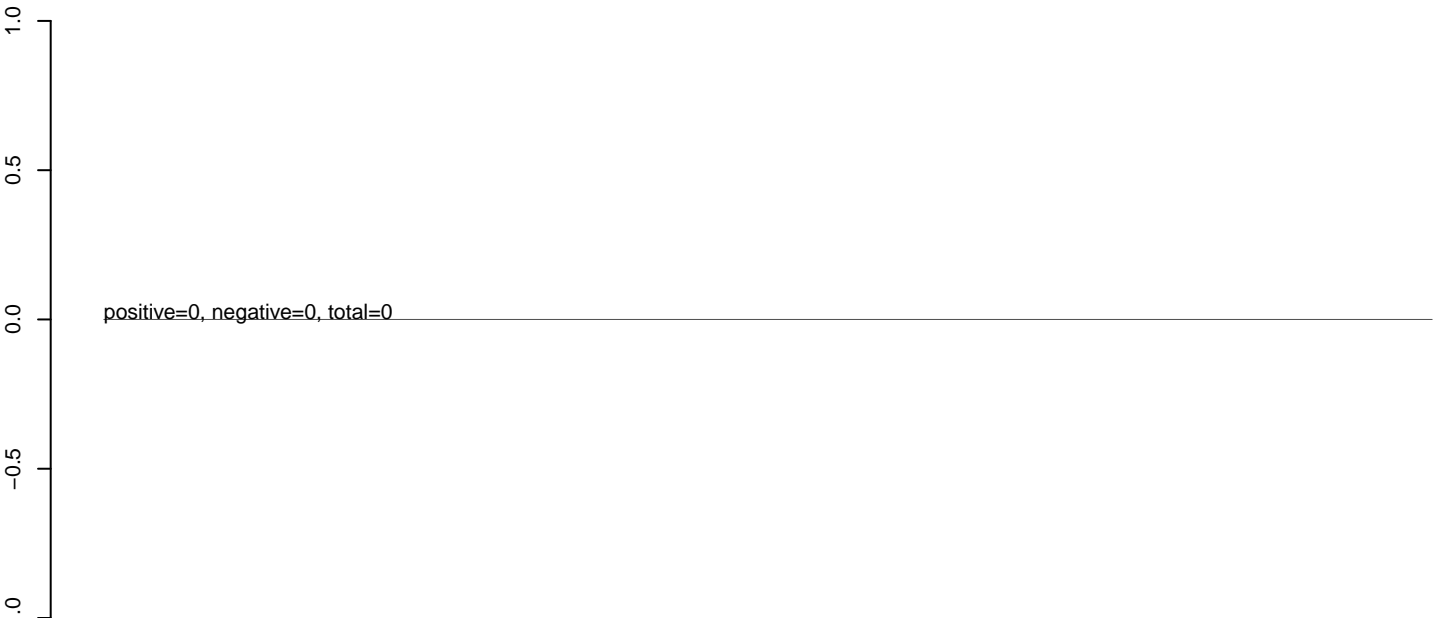
CuQuin_Mcarc_NL.24_35.rep



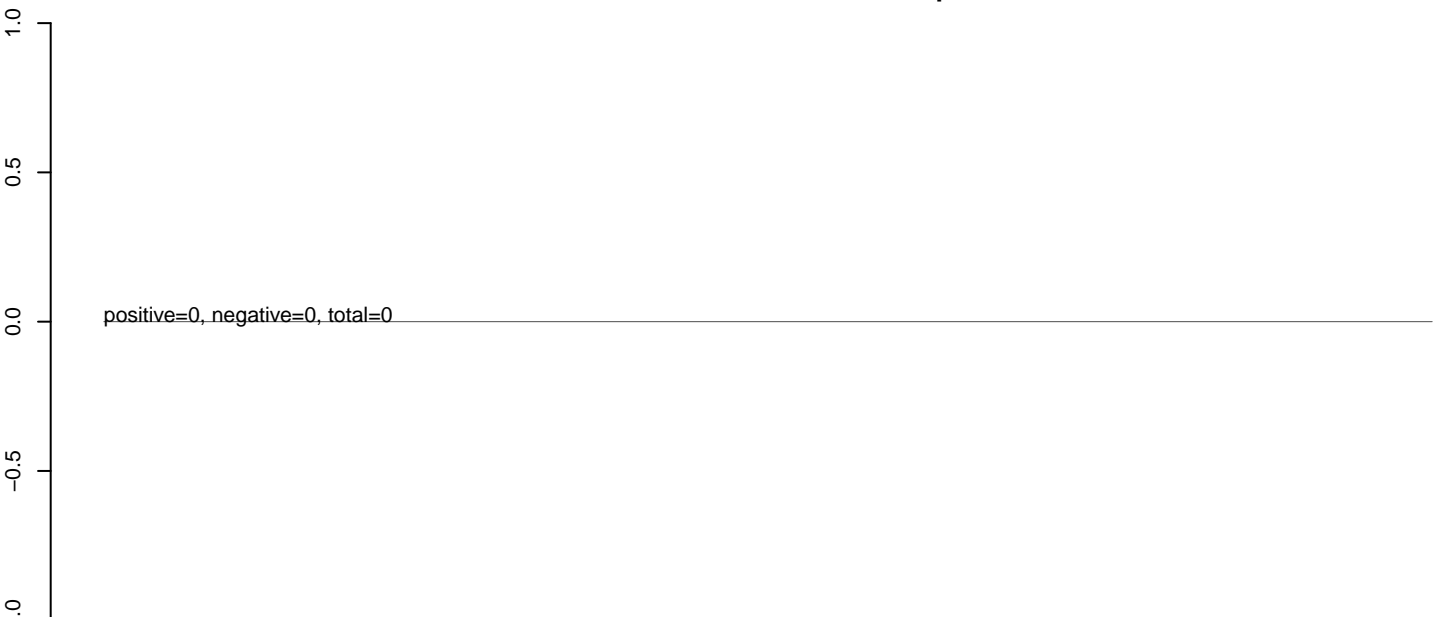
CuQuin_Mcarc_NL.rep



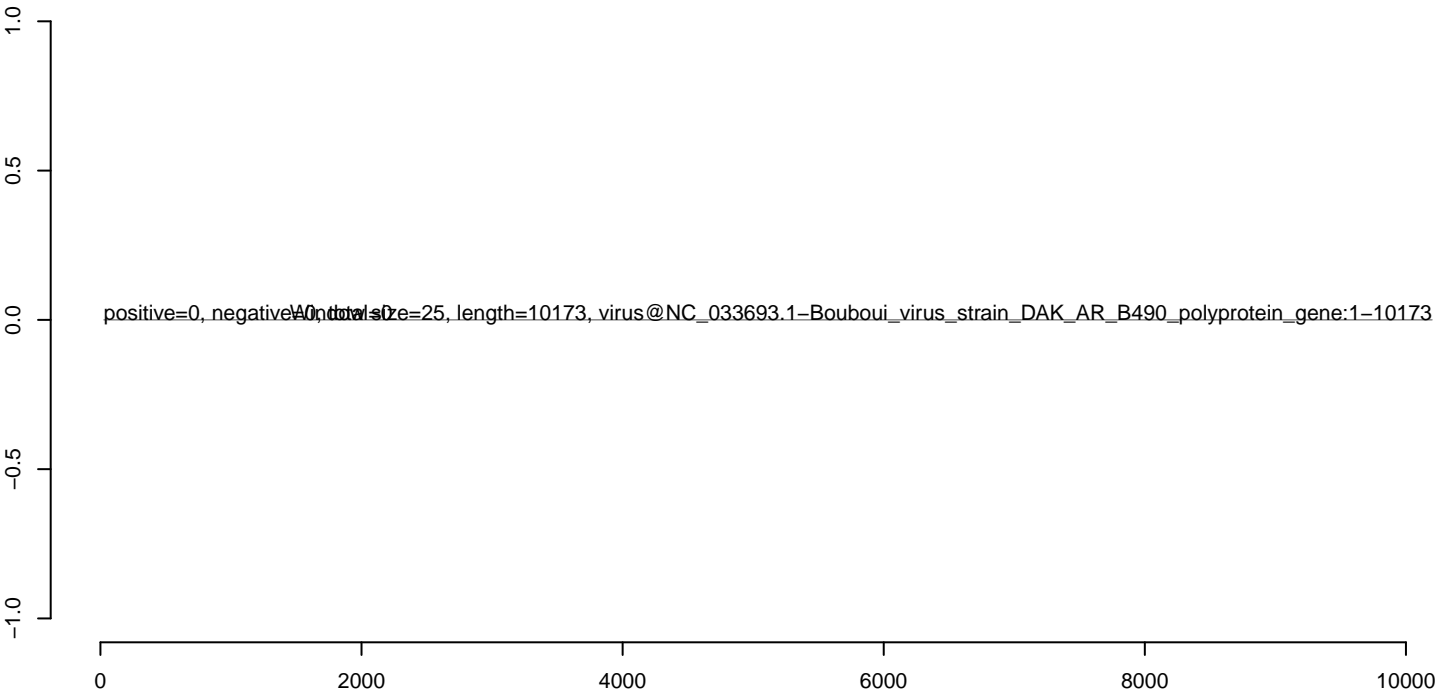
CuQuin_Mcarc_NL.18_23.rep



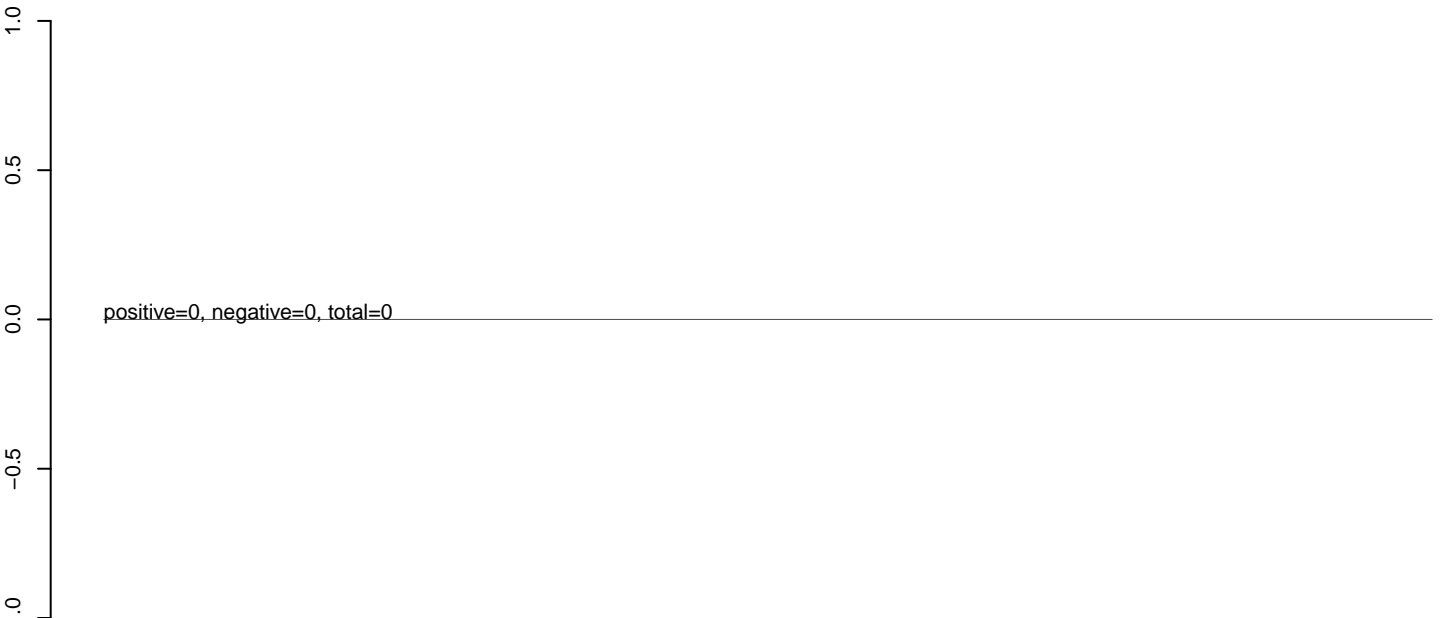
CuQuin_Mcarc_NL.24_35.rep



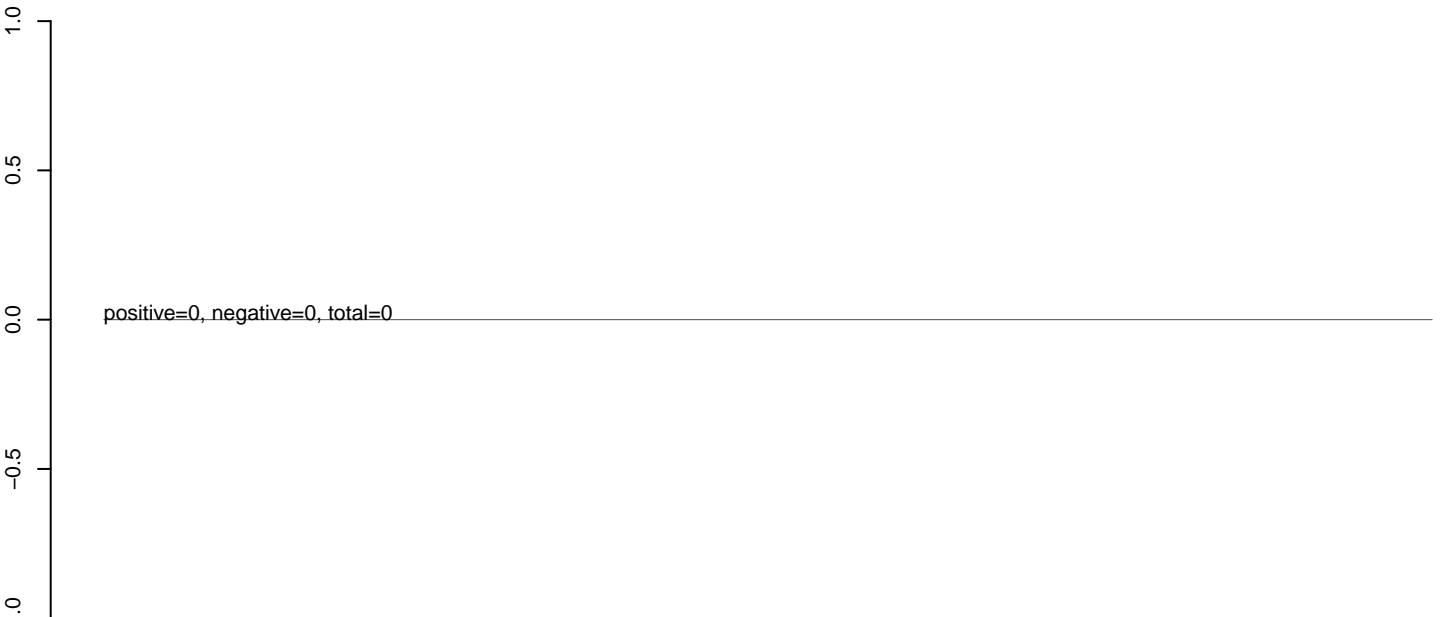
CuQuin_Mcarc_NL.rep



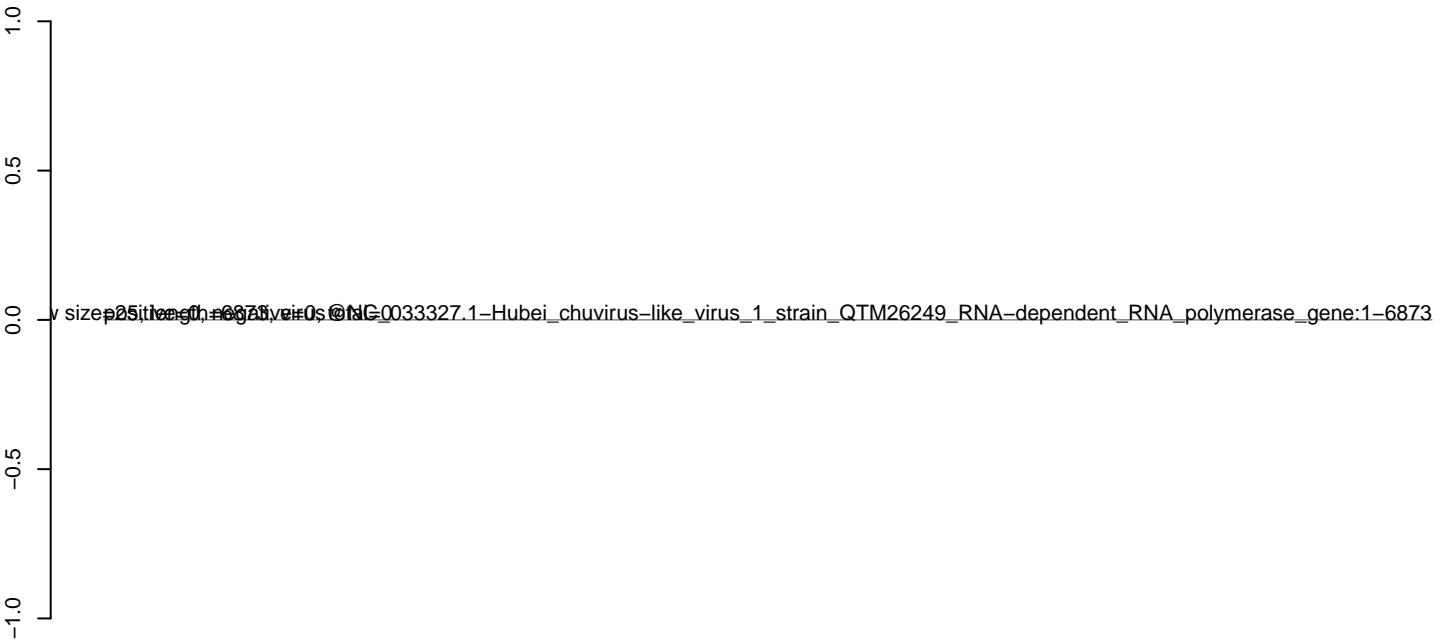
CuQuin_Mcarc_NL.18_23.rep



CuQuin_Mcarc_NL.24_35.rep



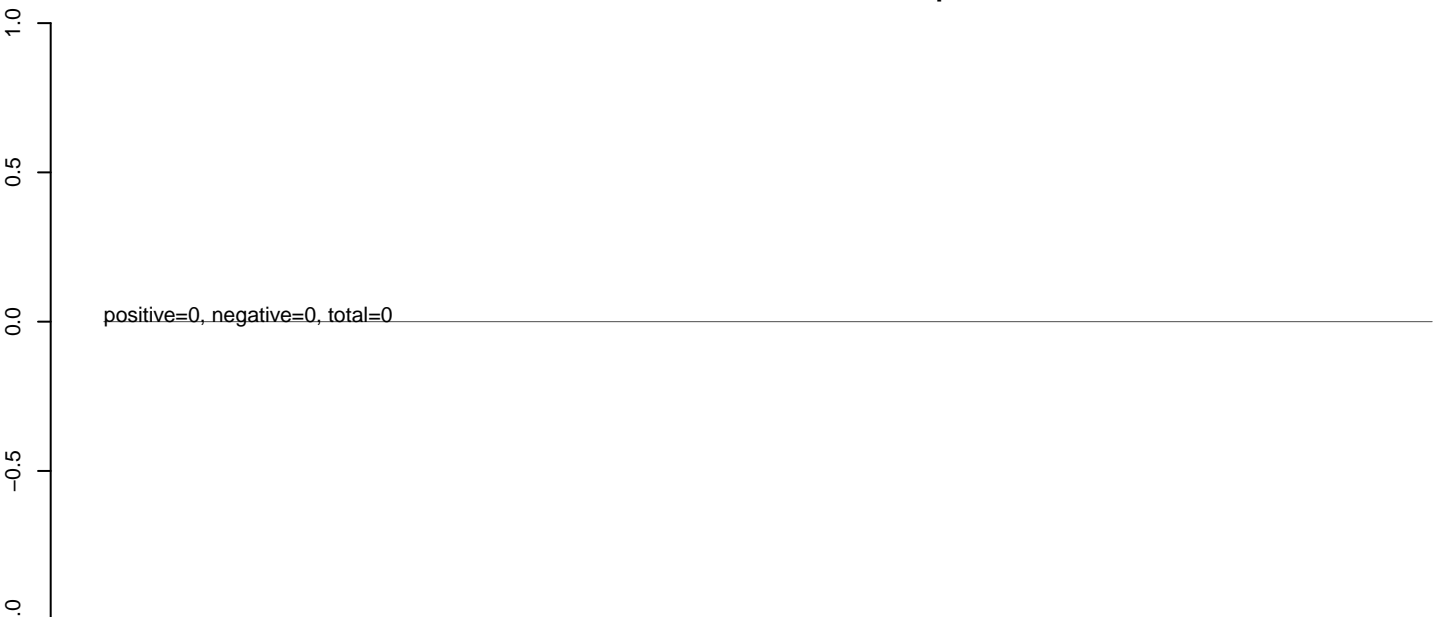
CuQuin_Mcarc_NL.rep



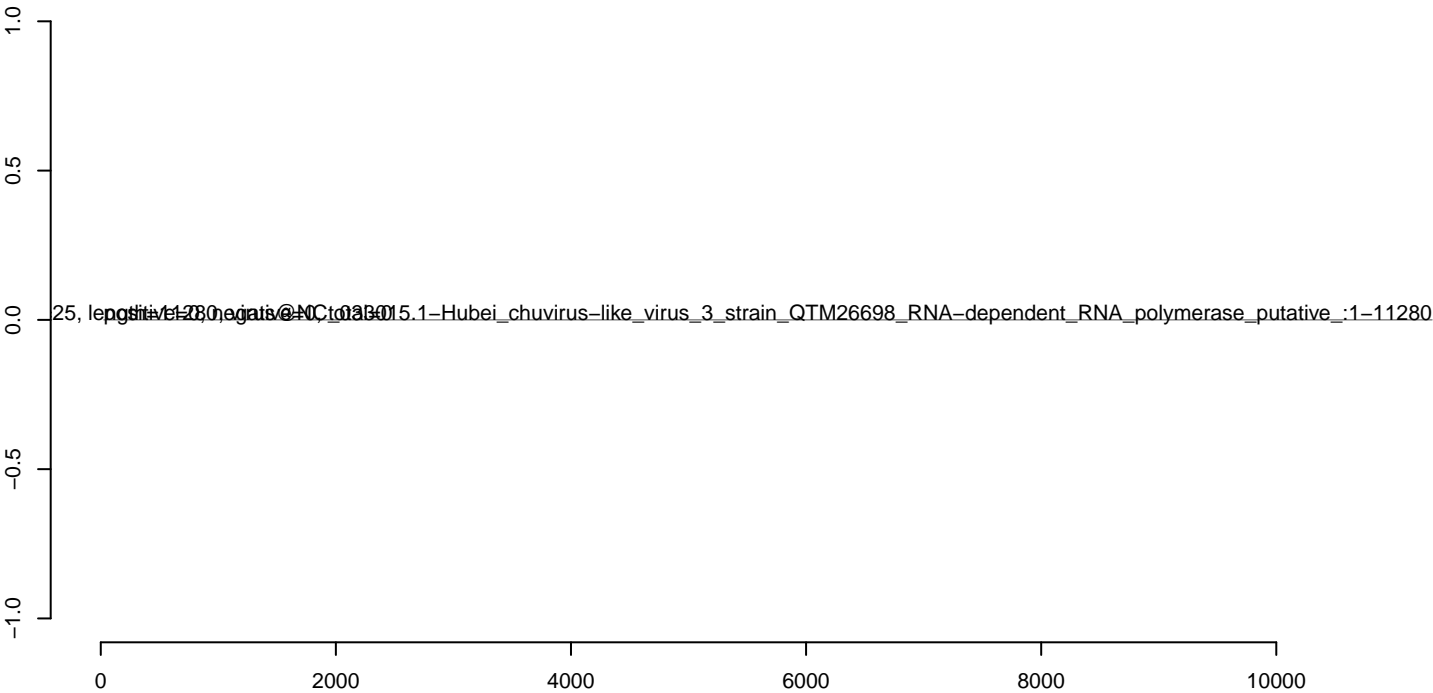
CuQuin_Mcarc_NL.18_23.rep



CuQuin_Mcarc_NL.24_35.rep



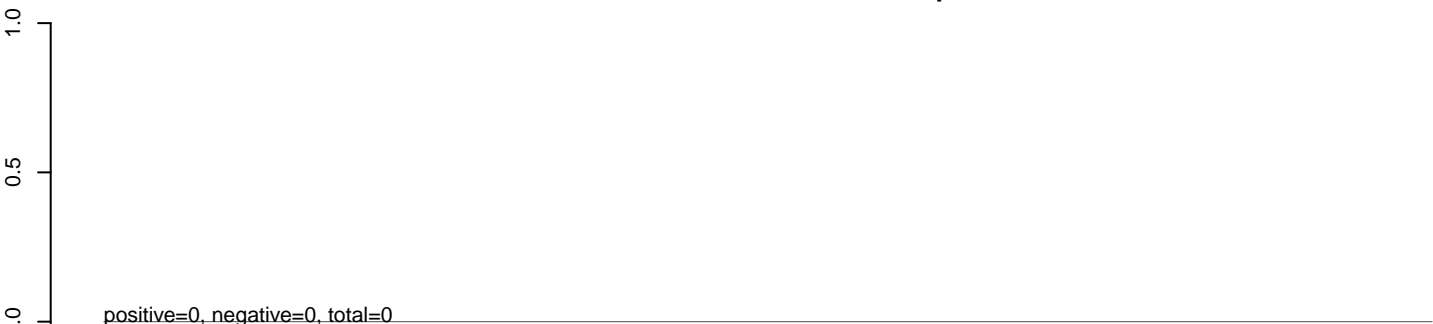
CuQuin_Mcarc_NL.rep



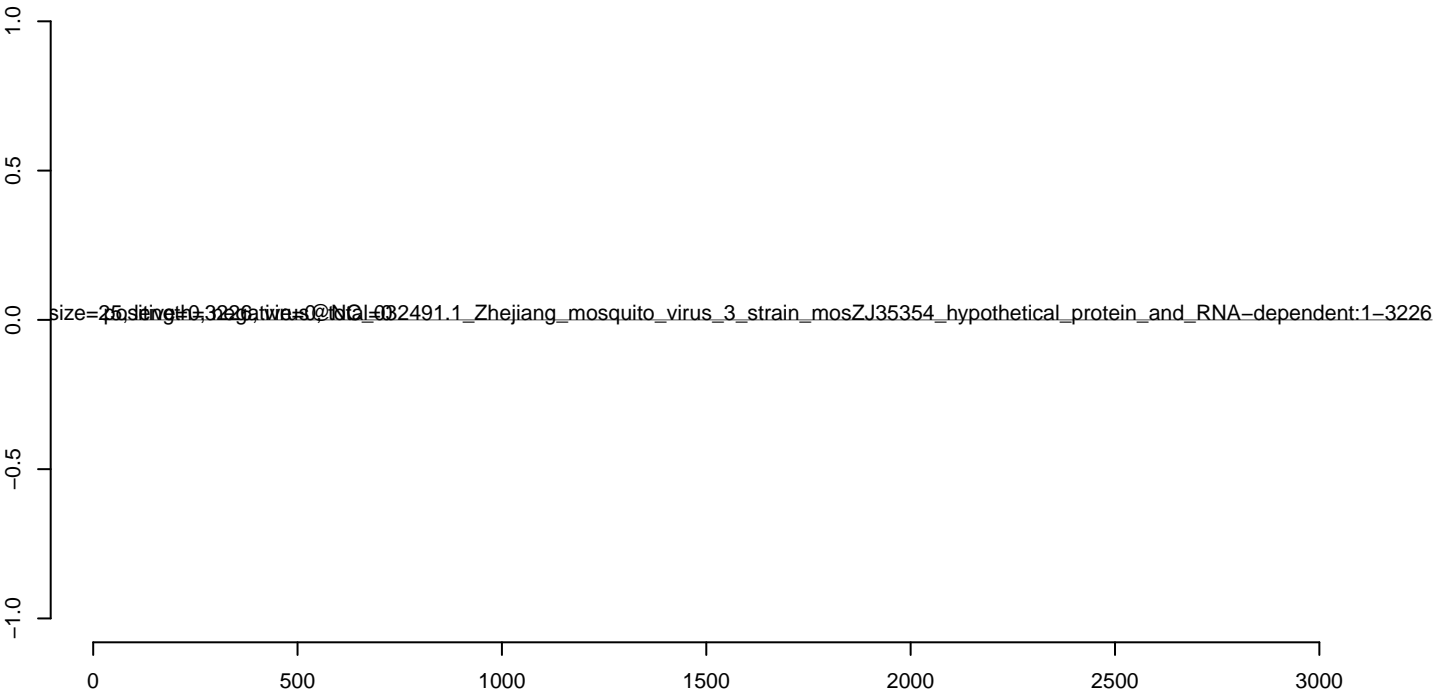
CuQuin_Mcarc_NL.18_23.rep



CuQuin_Mcarc_NL.24_35.rep



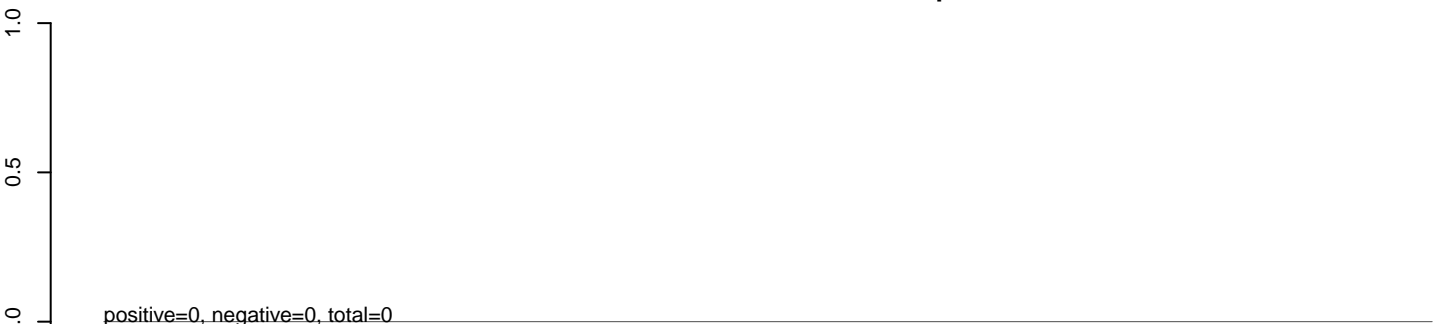
CuQuin_Mcarc_NL.rep



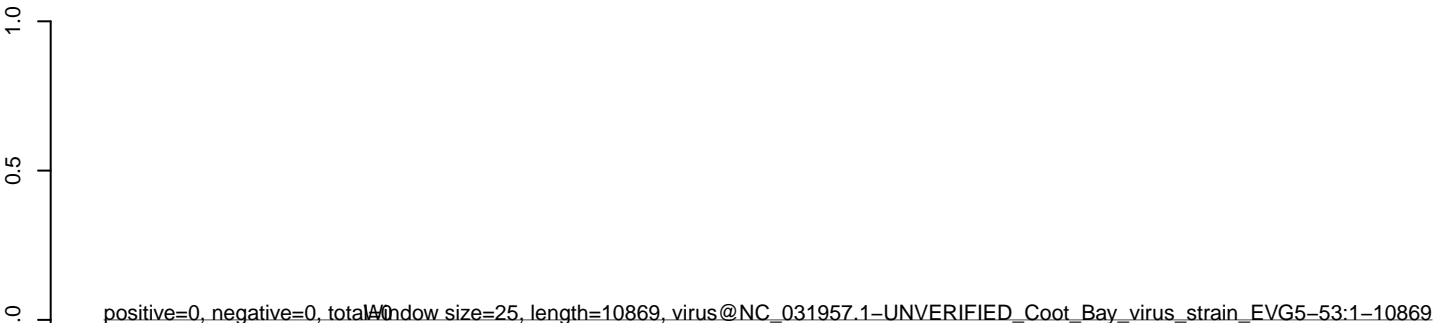
CuQuin_Mcarc_NL.18_23.rep



CuQuin_Mcarc_NL.24_35.rep



CuQuin_Mcarc_NL.rep



0 2000 4000 6000 8000 10000

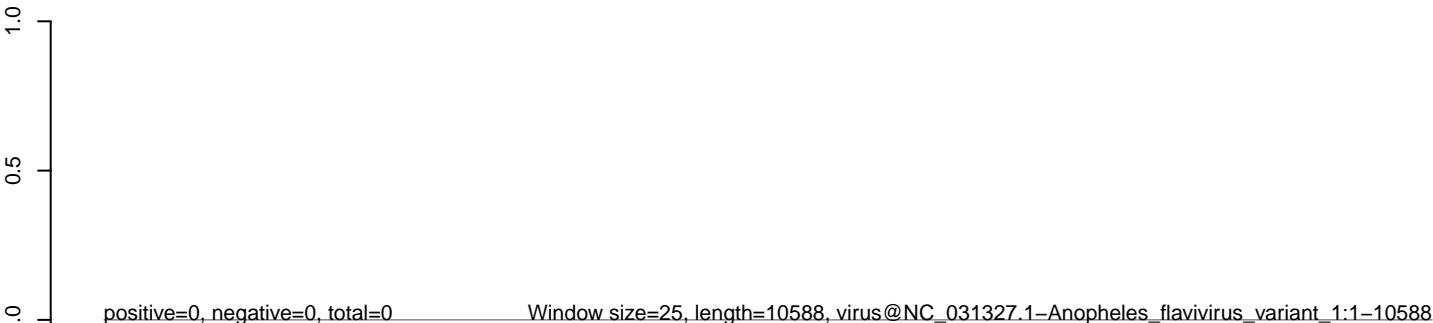
CuQuin_Mcarc_NL.18_23.rep



CuQuin_Mcarc_NL.24_35.rep



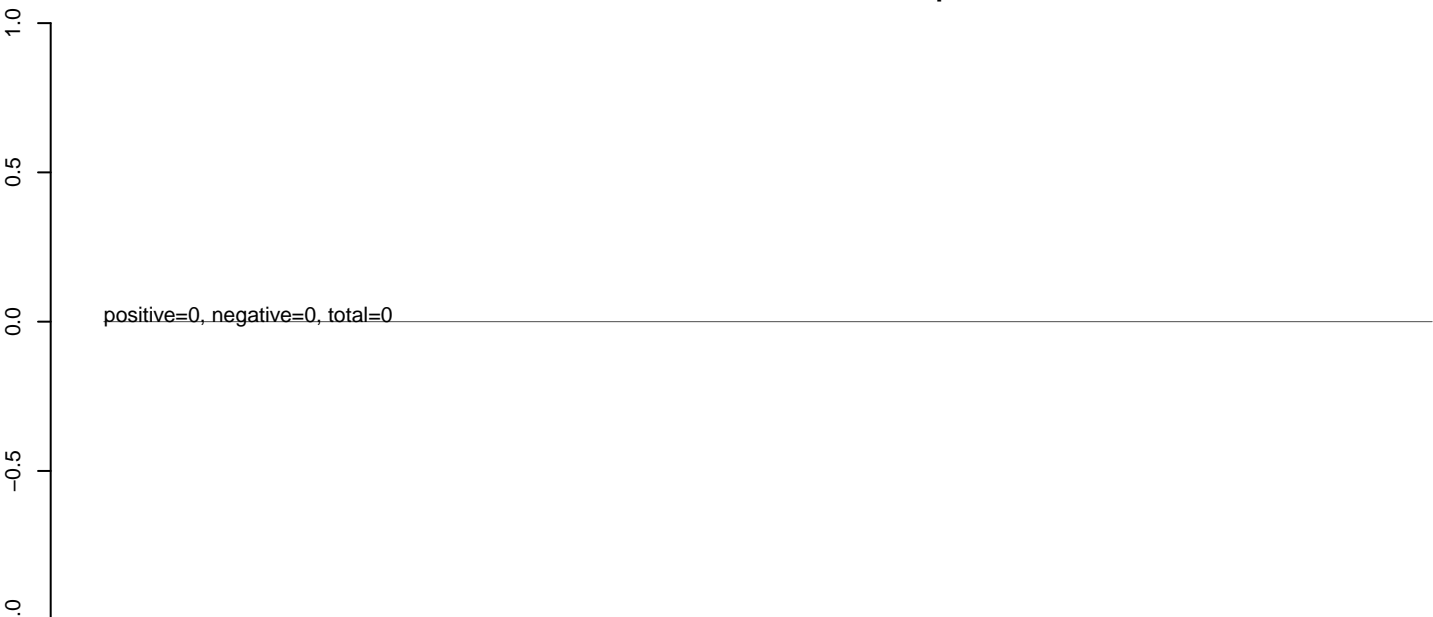
CuQuin_Mcarc_NL.rep



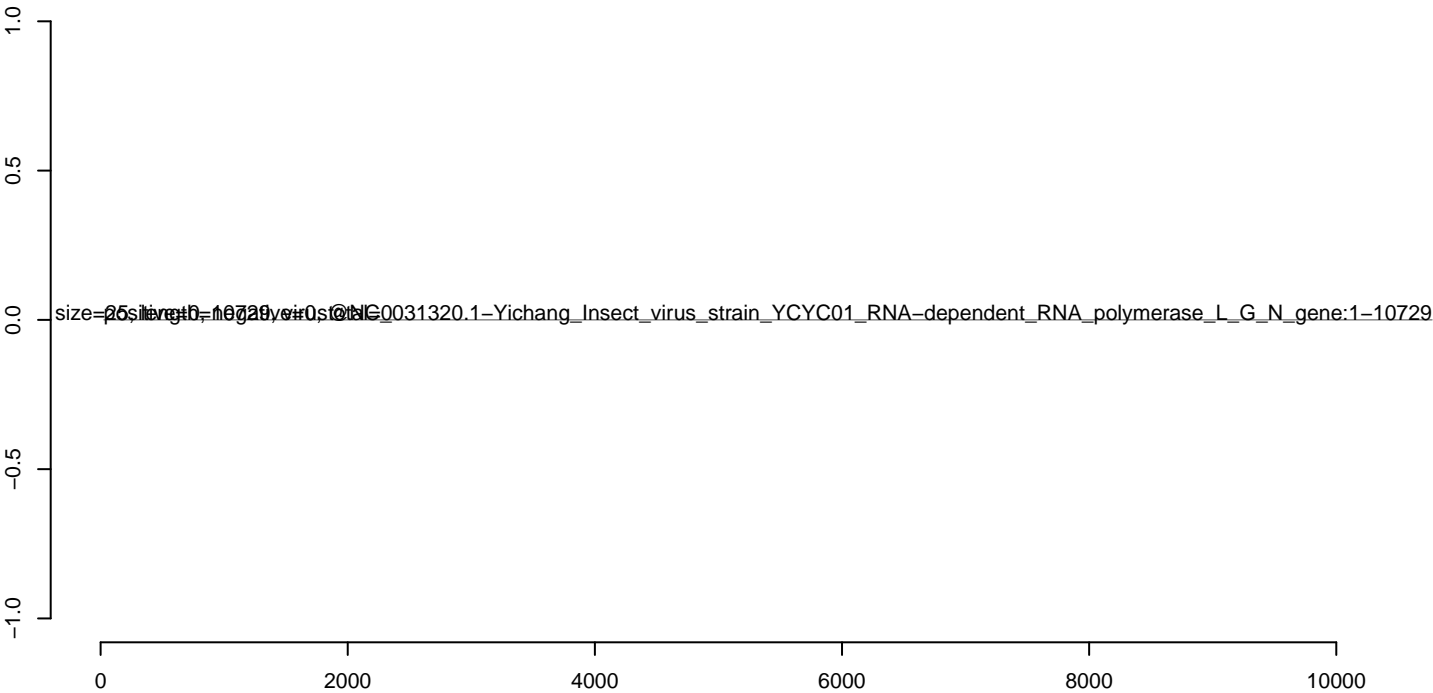
CuQuin_Mcarc_NL.18_23.rep



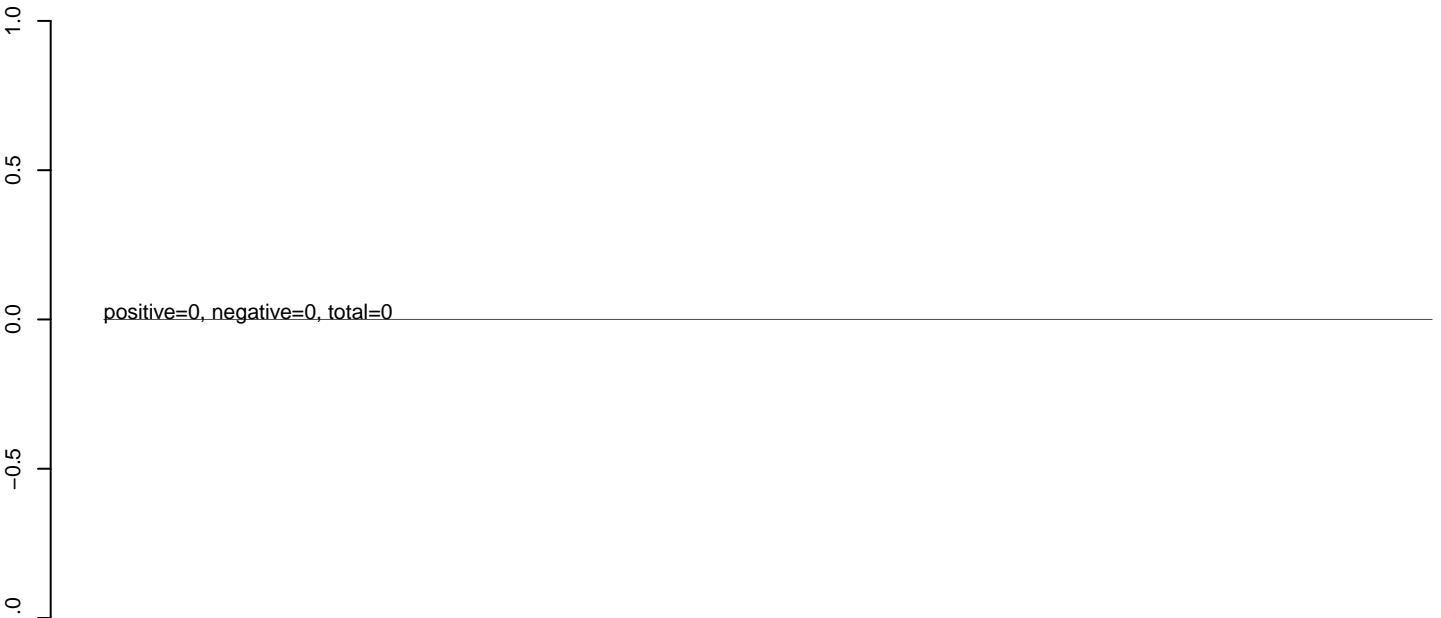
CuQuin_Mcarc_NL.24_35.rep



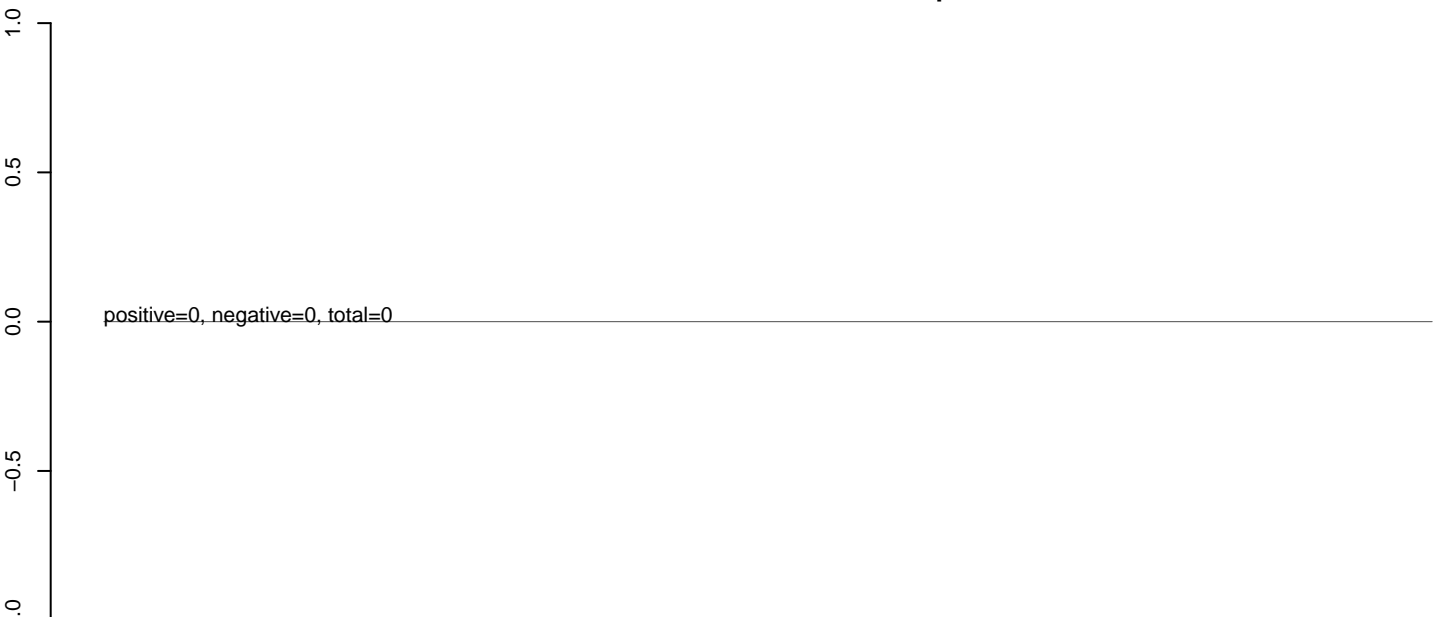
CuQuin_Mcarc_NL.rep



CuQuin_Mcarc_NL.18_23.rep



CuQuin_Mcarc_NL.24_35.rep



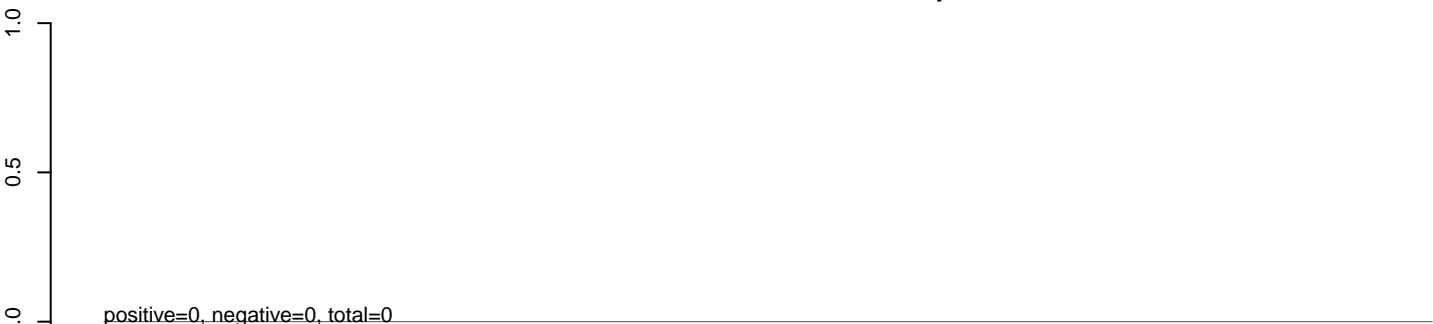
CuQuin_Mcarc_NL.rep



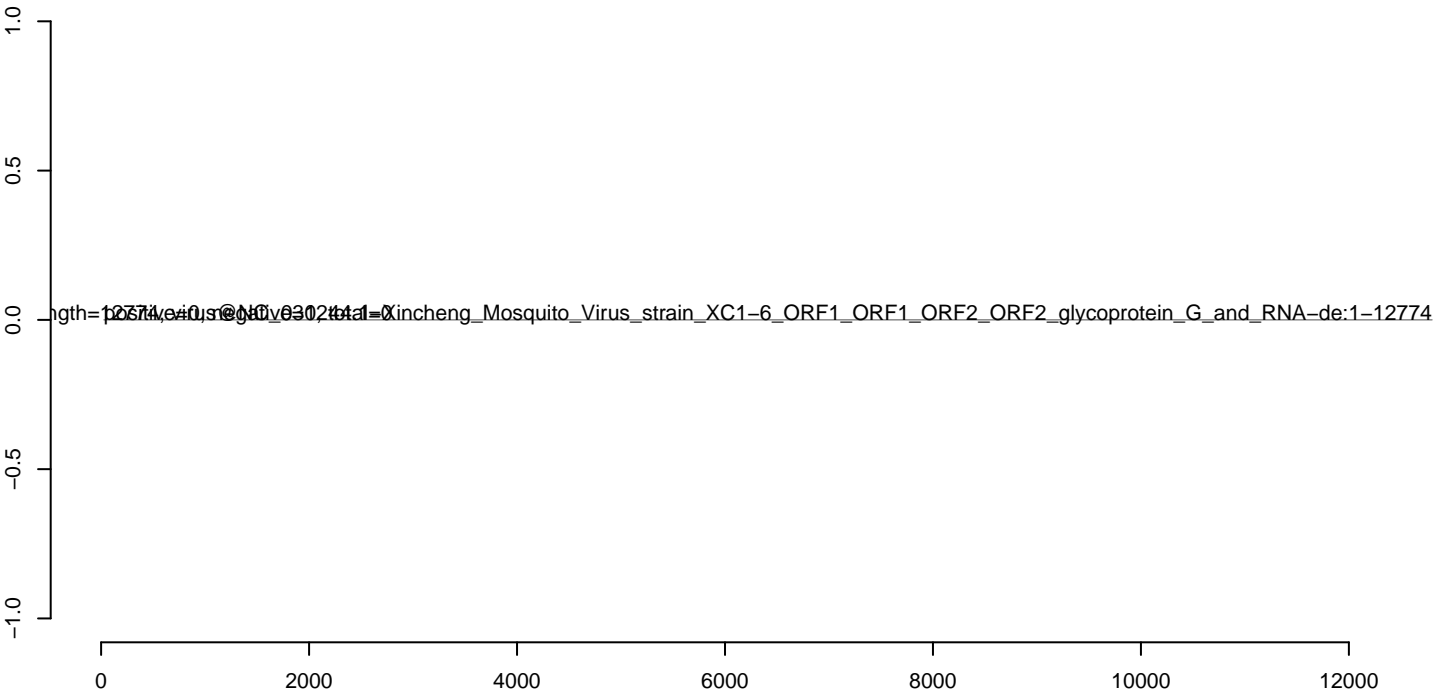
CuQuin_Mcarc_NL.18_23.rep



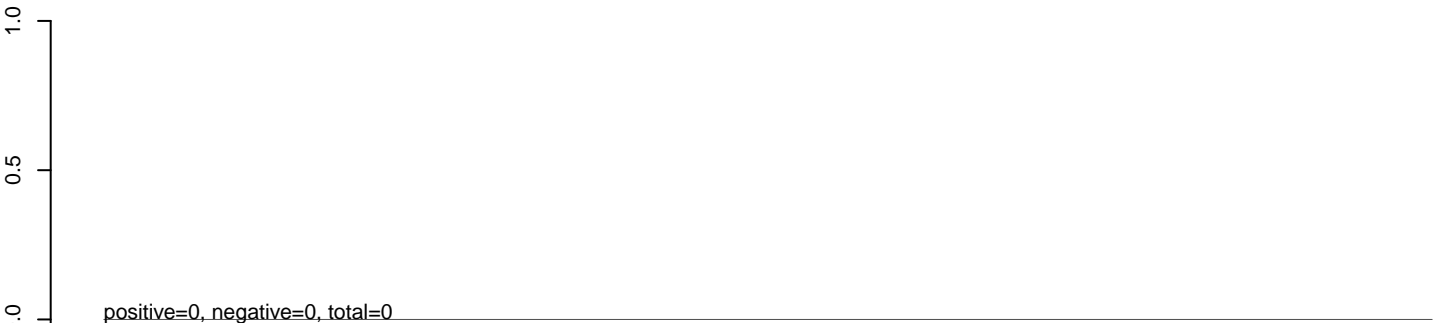
CuQuin_Mcarc_NL.24_35.rep



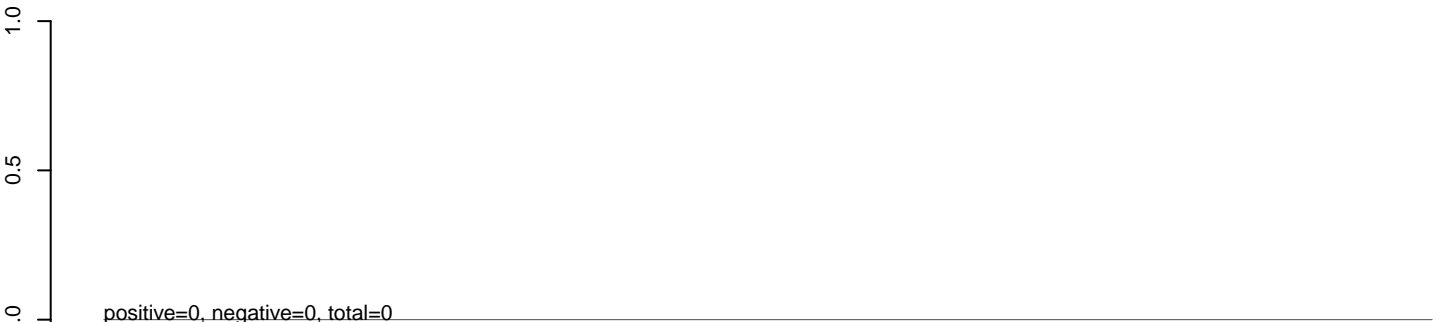
CuQuin_Mcarc_NL.rep



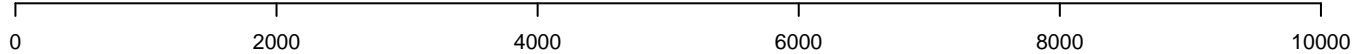
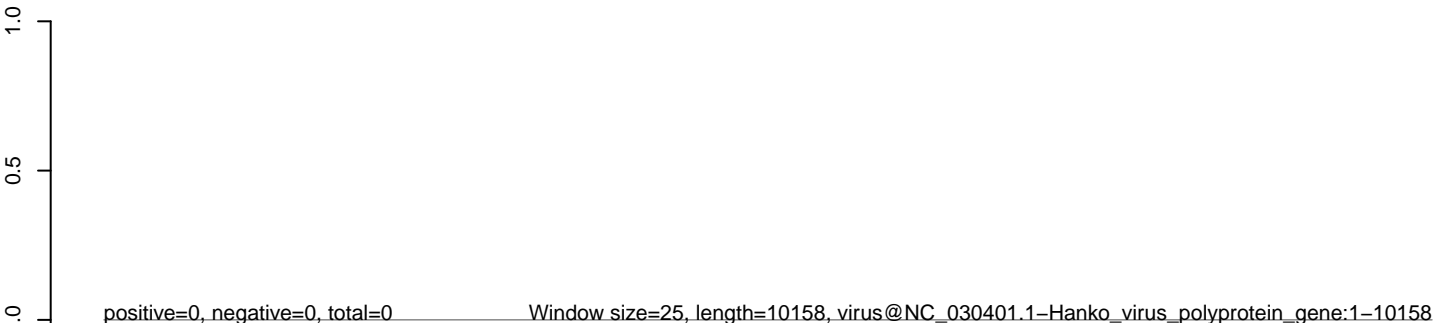
CuQuin_Mcarc_NL.18_23.rep



CuQuin_Mcarc_NL.24_35.rep



CuQuin_Mcarc_NL.rep



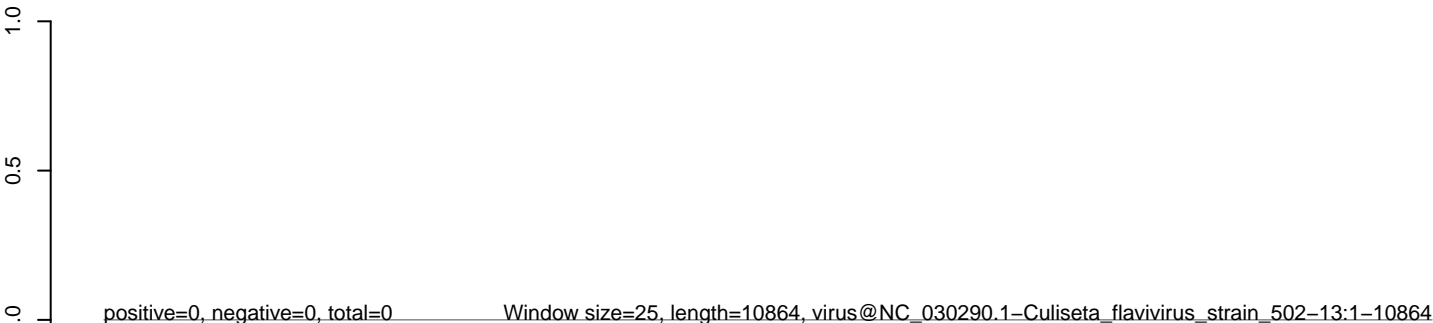
CuQuin_Mcarc_NL.18_23.rep



CuQuin_Mcarc_NL.24_35.rep



CuQuin_Mcarc_NL.rep



0 2000 4000 6000 8000 10000

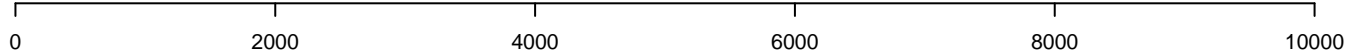
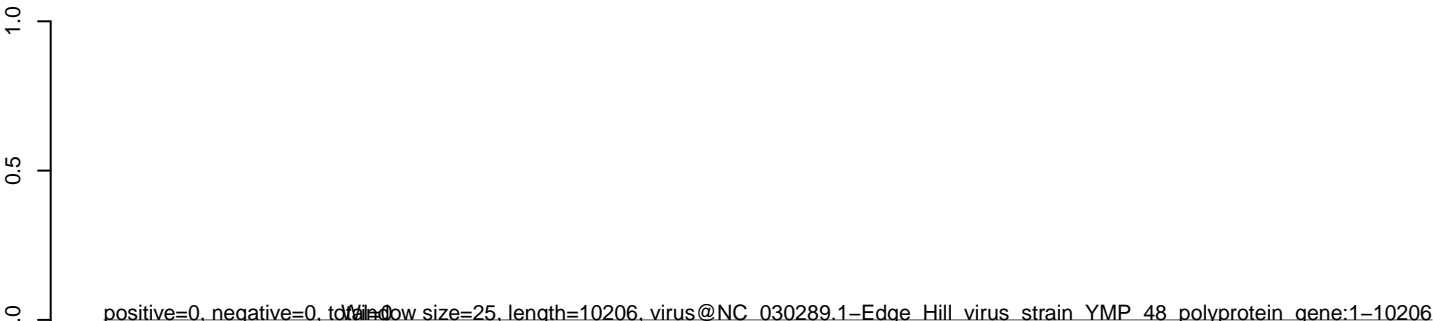
CuQuin_Mcarc_NL.18_23.rep



CuQuin_Mcarc_NL.24_35.rep



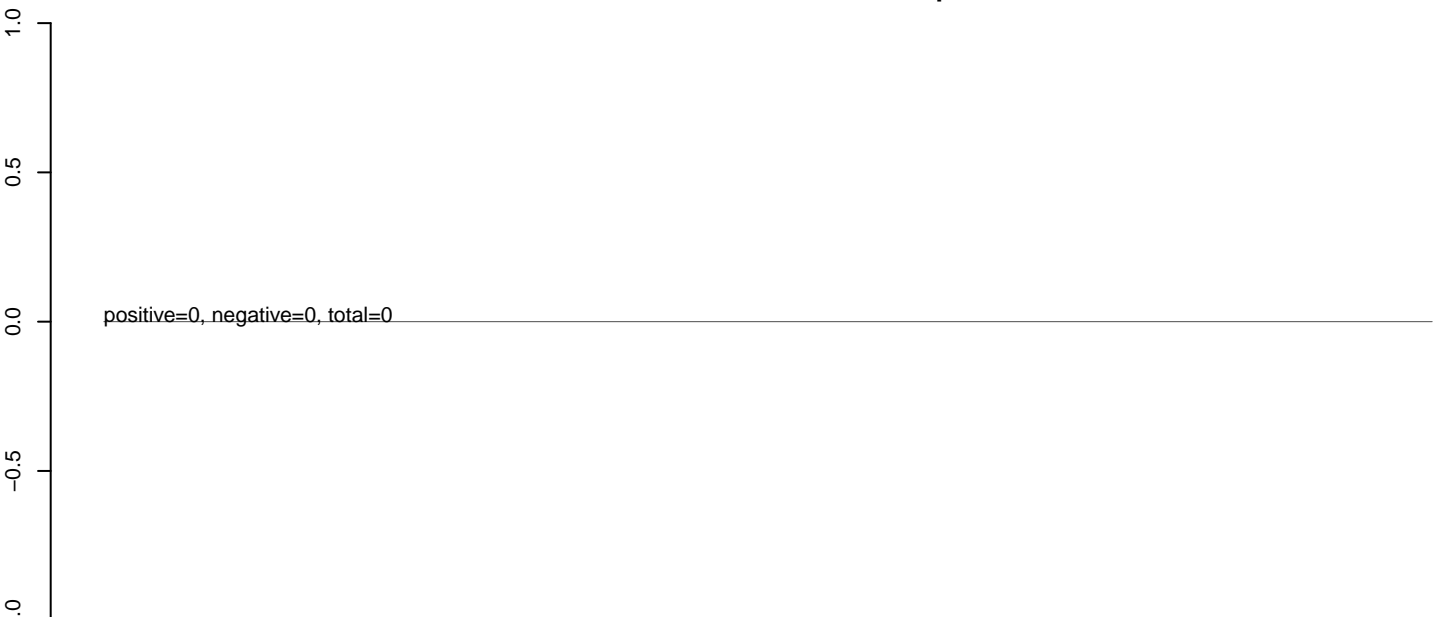
CuQuin_Mcarc_NL.rep



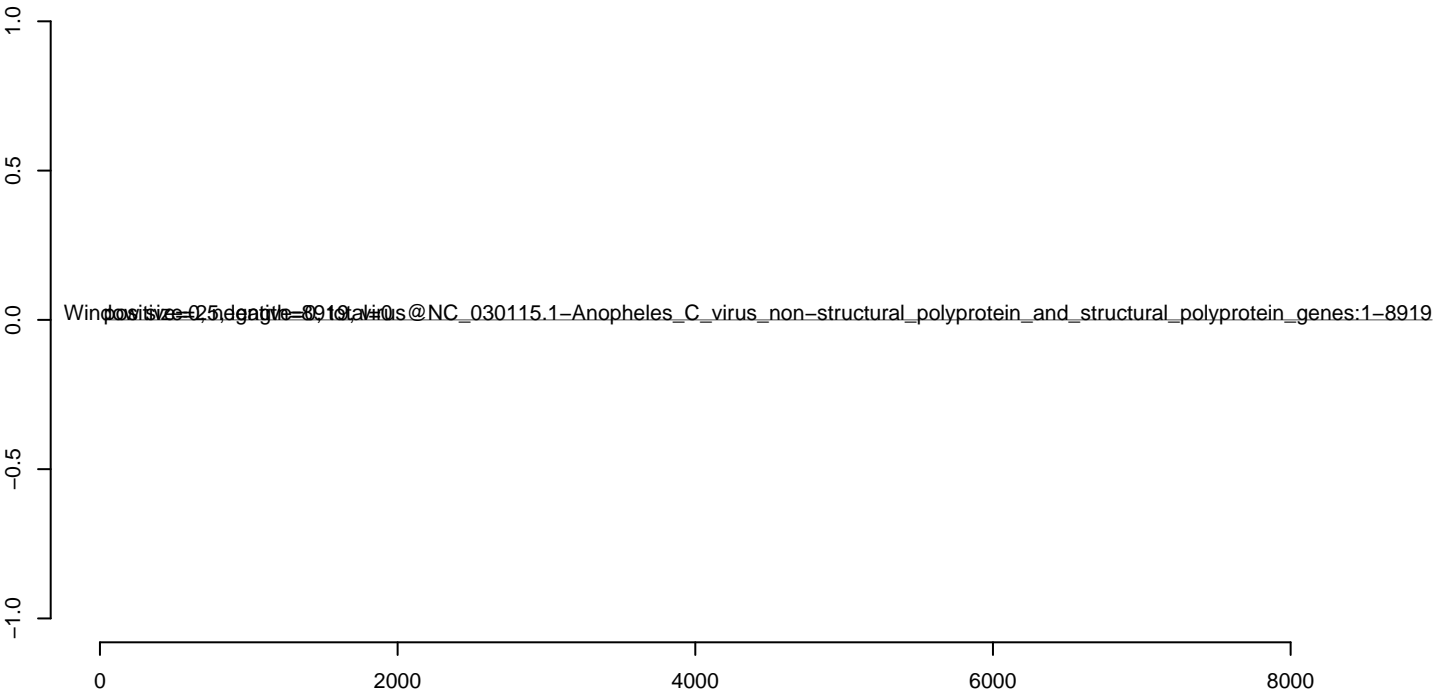
CuQuin_Mcarc_NL.18_23.rep



CuQuin_Mcarc_NL.24_35.rep



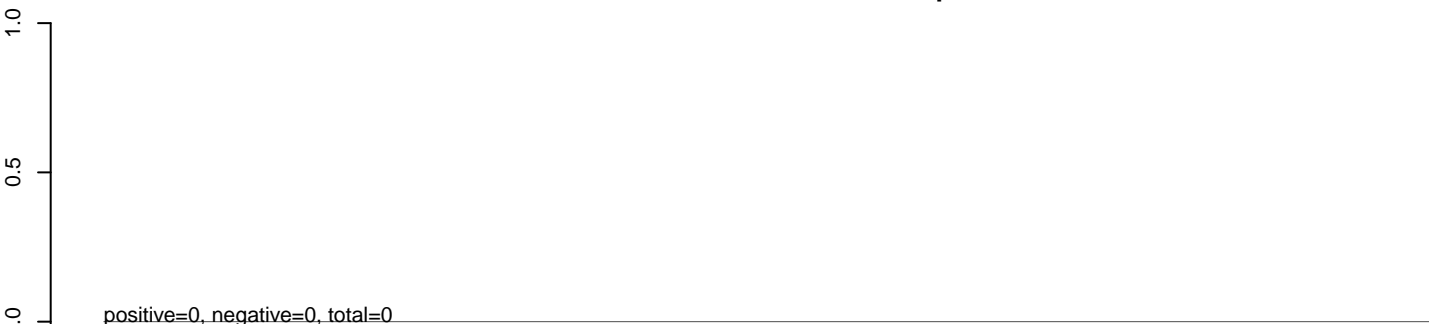
CuQuin_Mcarc_NL.rep



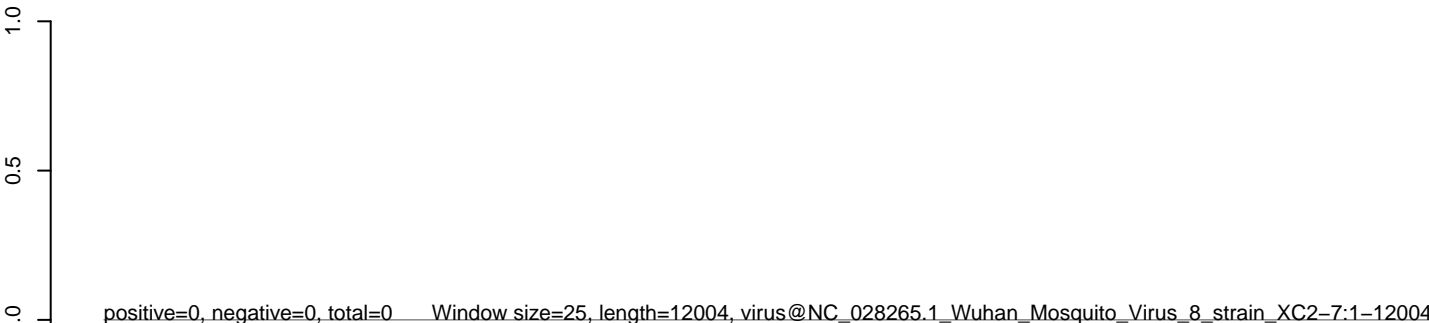
CuQuin_Mcarc_NL.18_23.rep



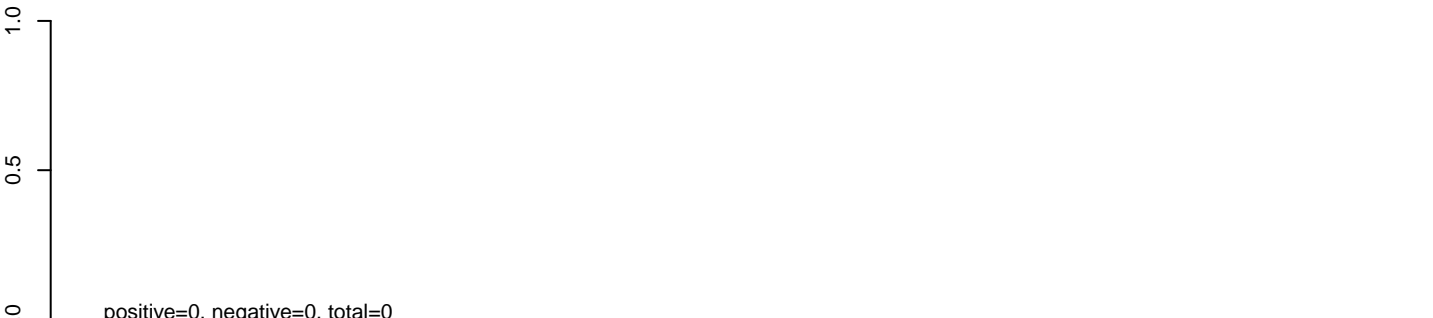
CuQuin_Mcarc_NL.24_35.rep



CuQuin_Mcarc_NL.rep



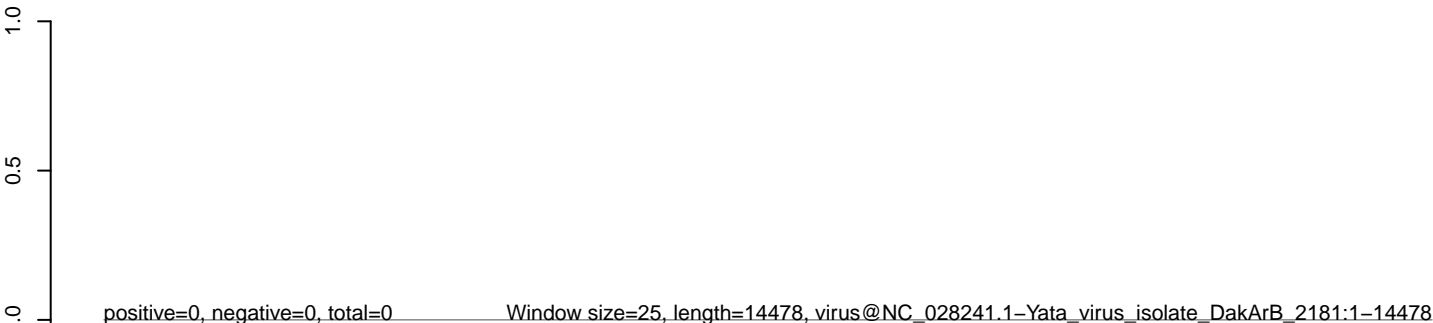
CuQuin_Mcarc_NL.18_23.rep



CuQuin_Mcarc_NL.24_35.rep



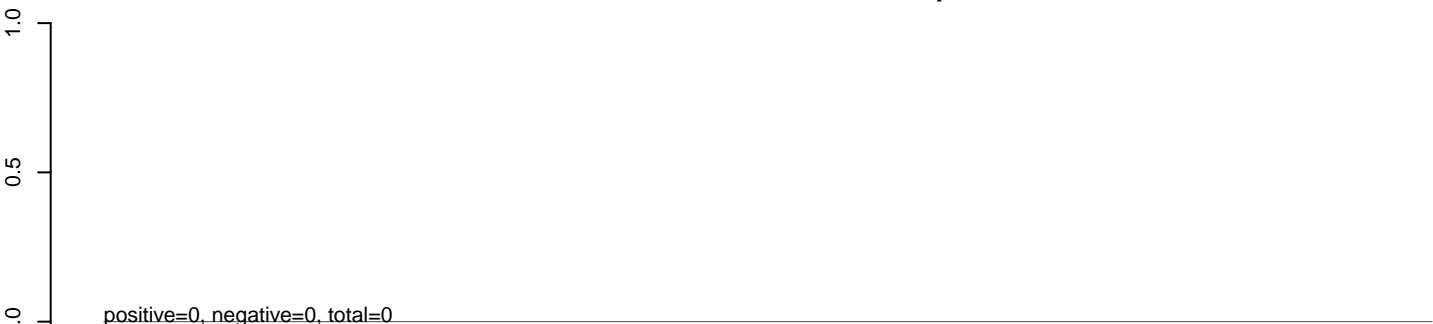
CuQuin_Mcarc_NL.rep



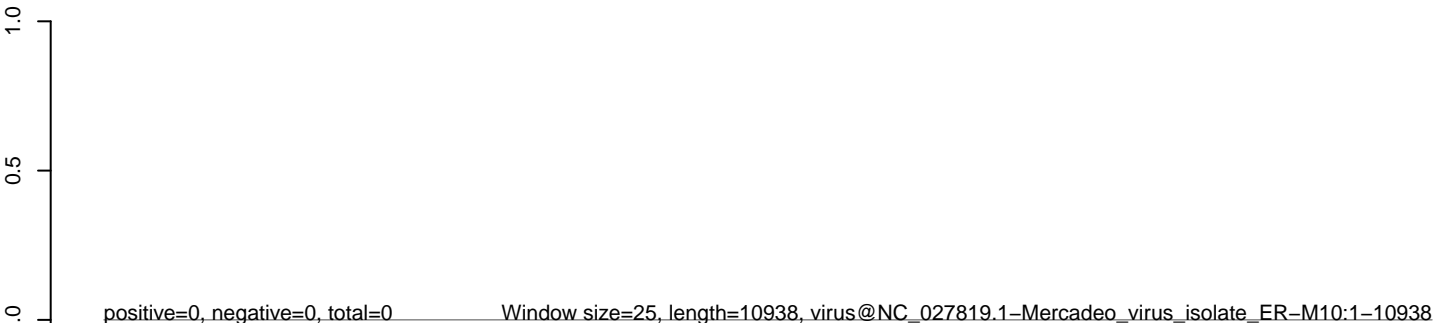
CuQuin_Mcarc_NL.18_23.rep



CuQuin_Mcarc_NL.24_35.rep



CuQuin_Mcarc_NL.rep

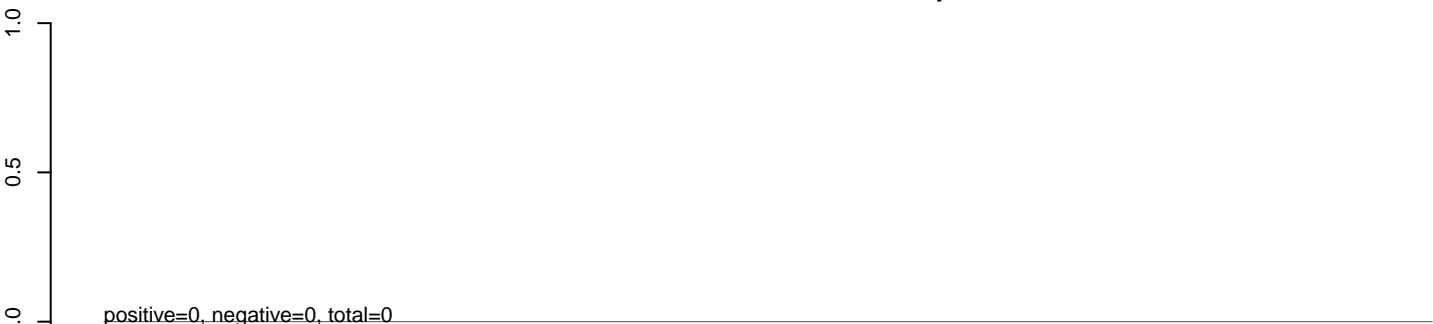


0 2000 4000 6000 8000 10000

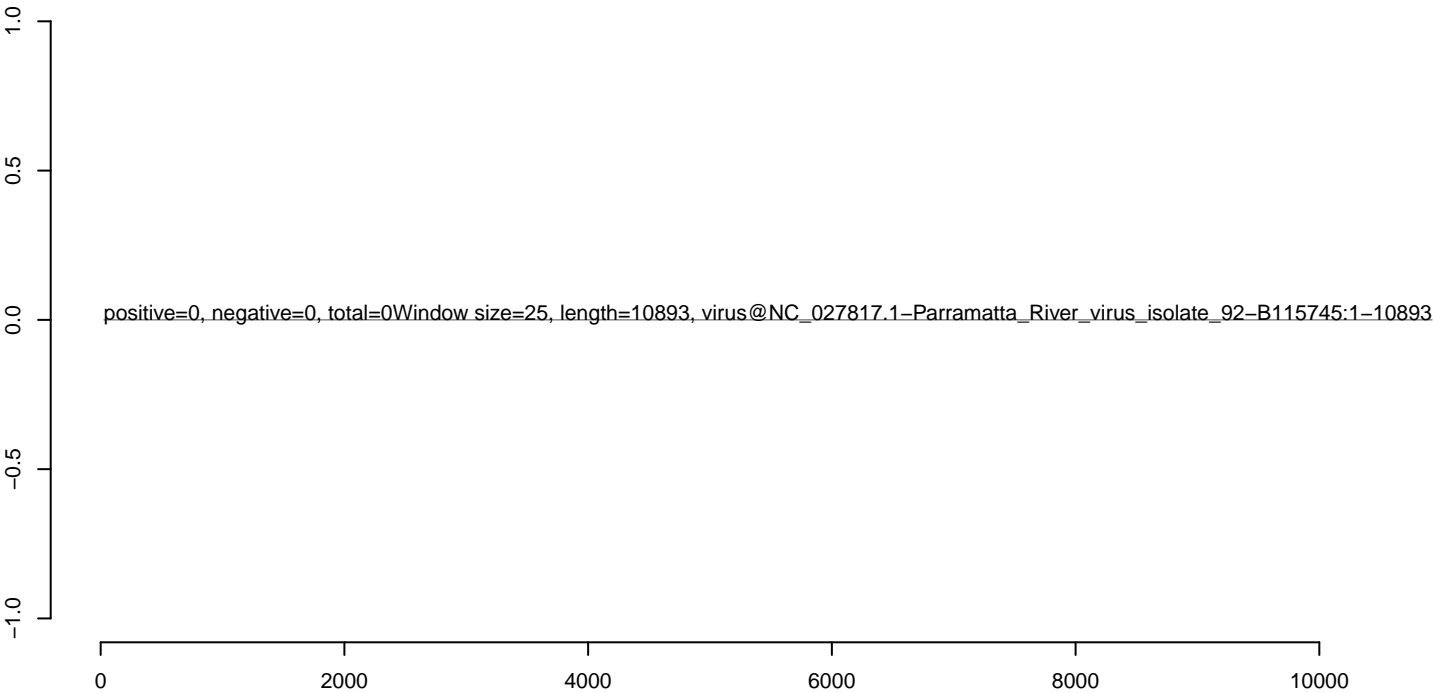
CuQuin_Mcarc_NL.18_23.rep



CuQuin_Mcarc_NL.24_35.rep



CuQuin_Mcarc_NL.rep



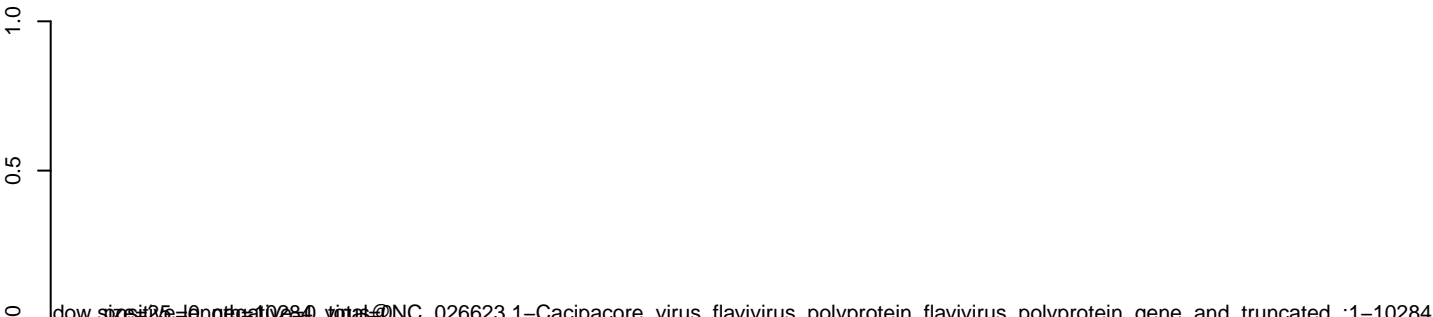
CuQuin_Mcarc_NL.18_23.rep



CuQuin_Mcarc_NL.24_35.rep



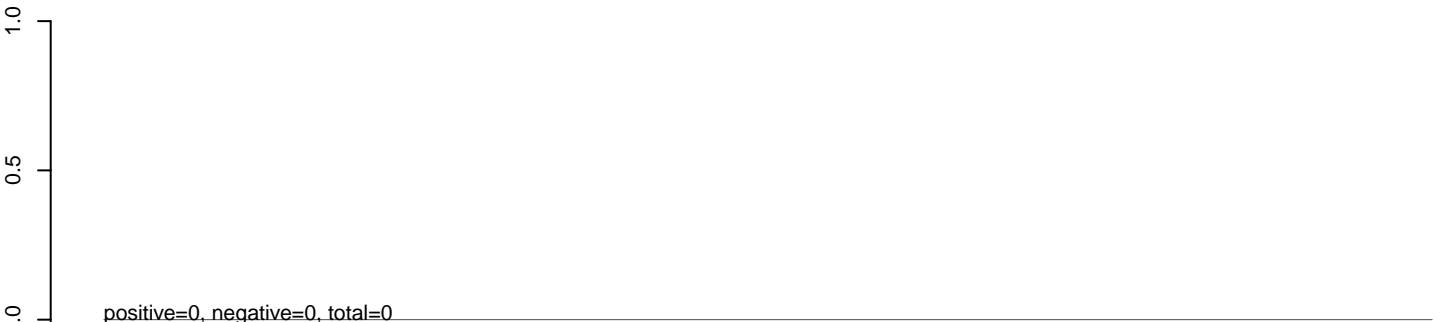
CuQuin_Mcarc_NL.rep



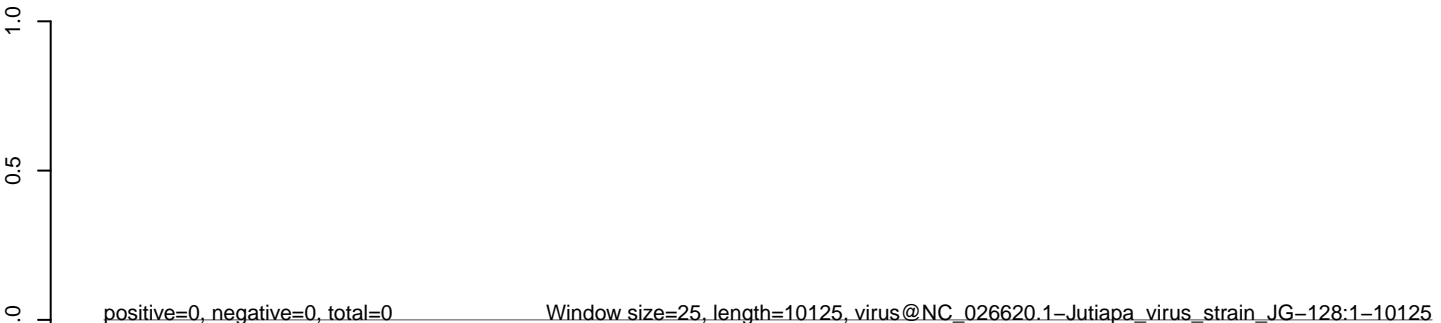
CuQuin_Mcarc_NL.18_23.rep



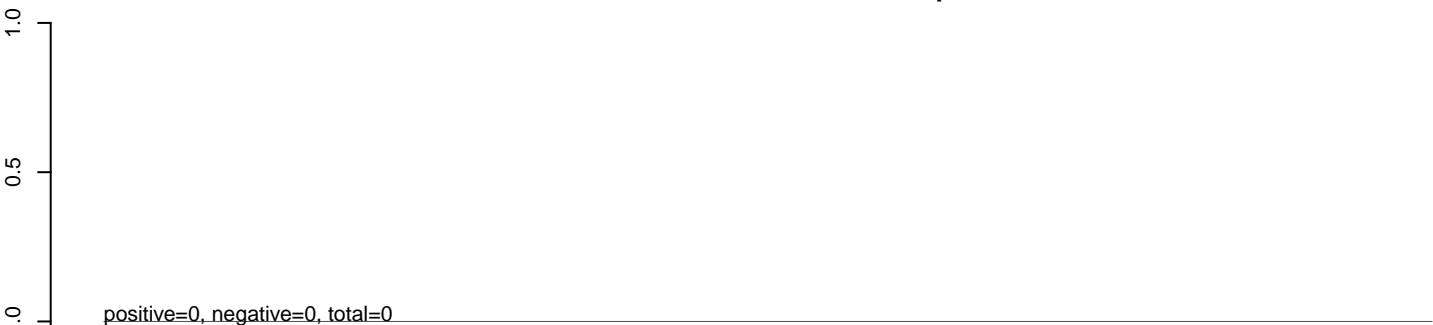
CuQuin_Mcarc_NL.24_35.rep



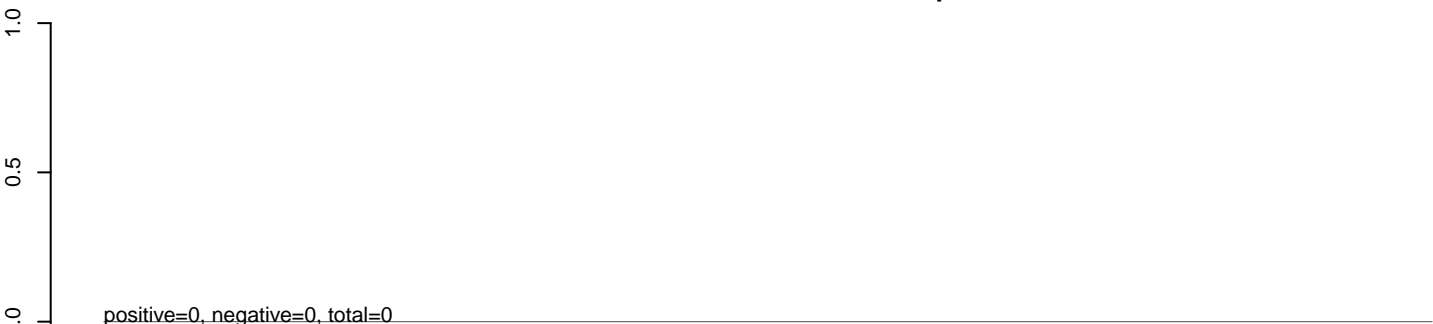
CuQuin_Mcarc_NL.rep



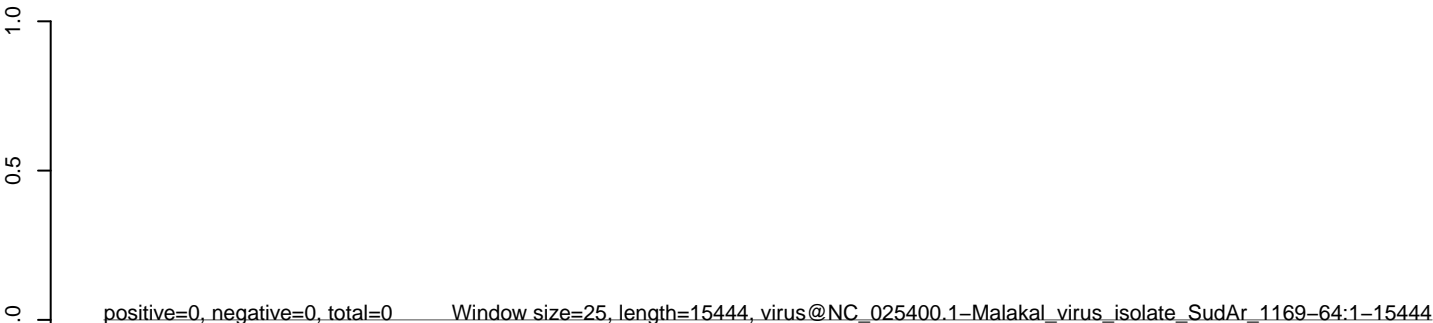
CuQuin_Mcarc_NL.18_23.rep



CuQuin_Mcarc_NL.24_35.rep



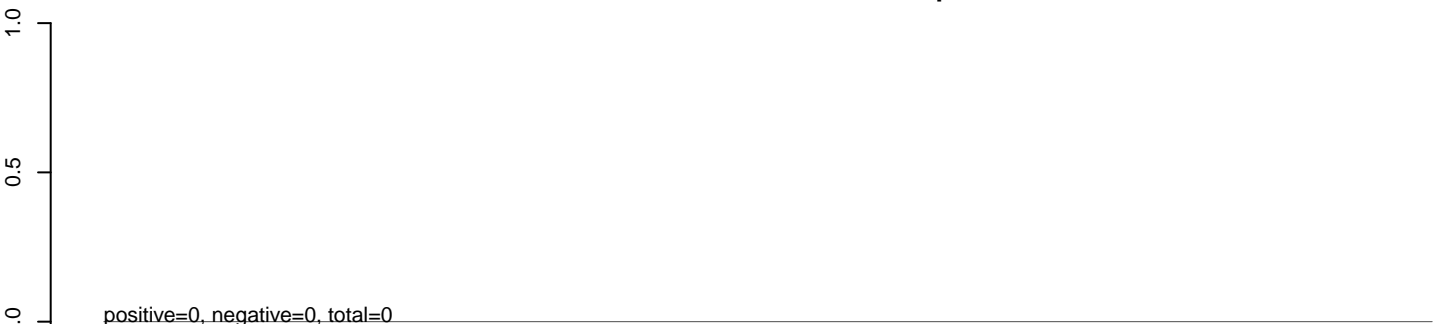
CuQuin_Mcarc_NL.rep



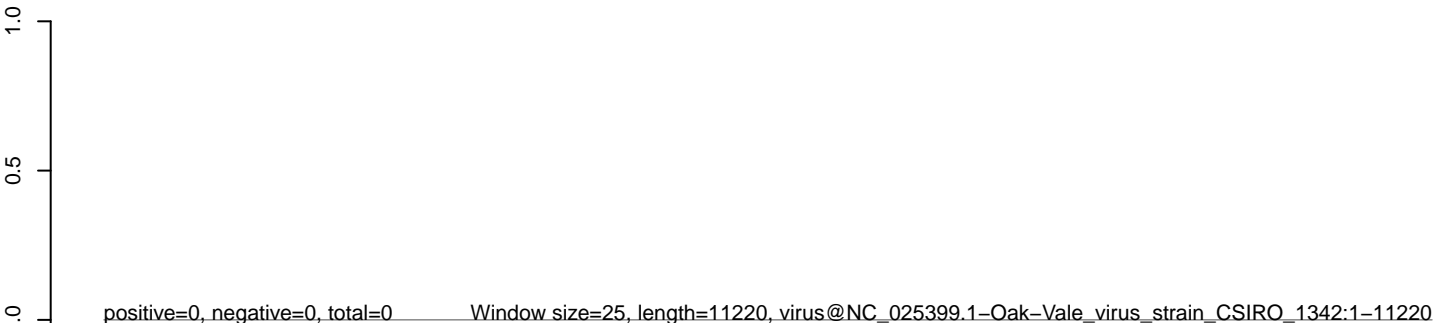
CuQuin_Mcarc_NL.18_23.rep



CuQuin_Mcarc_NL.24_35.rep



CuQuin_Mcarc_NL.rep

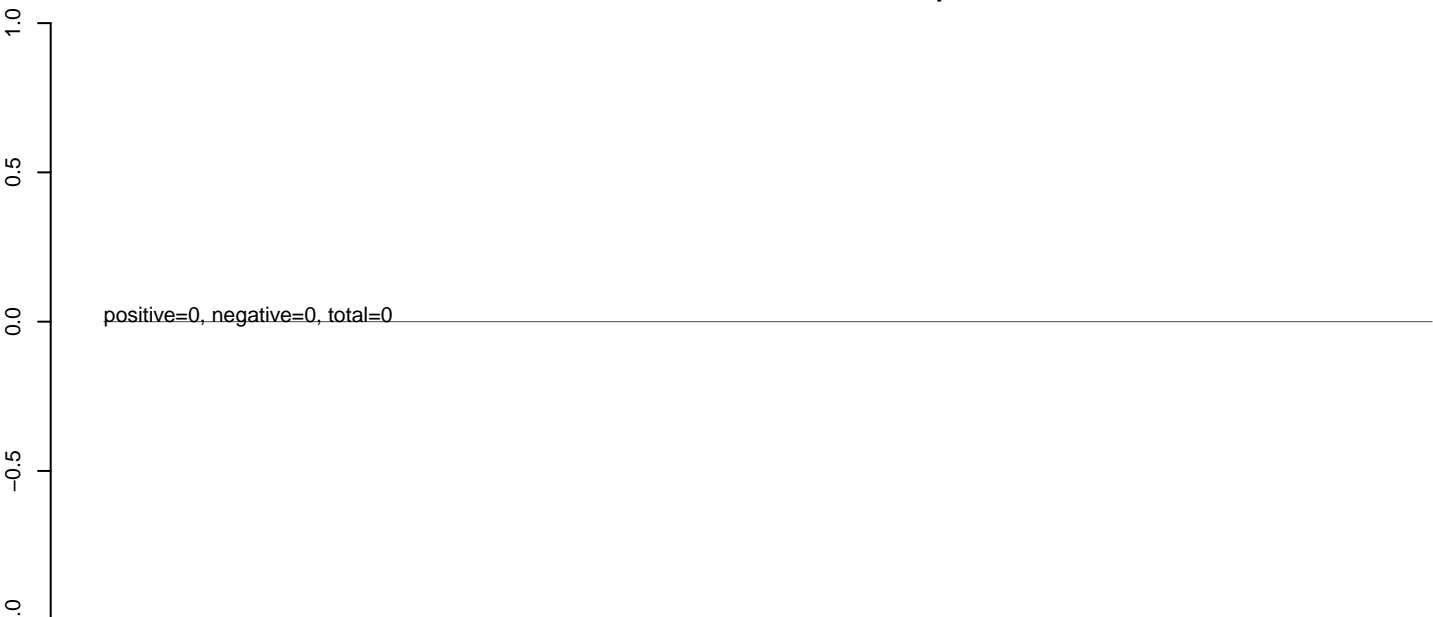


0 2000 4000 6000 8000 10000

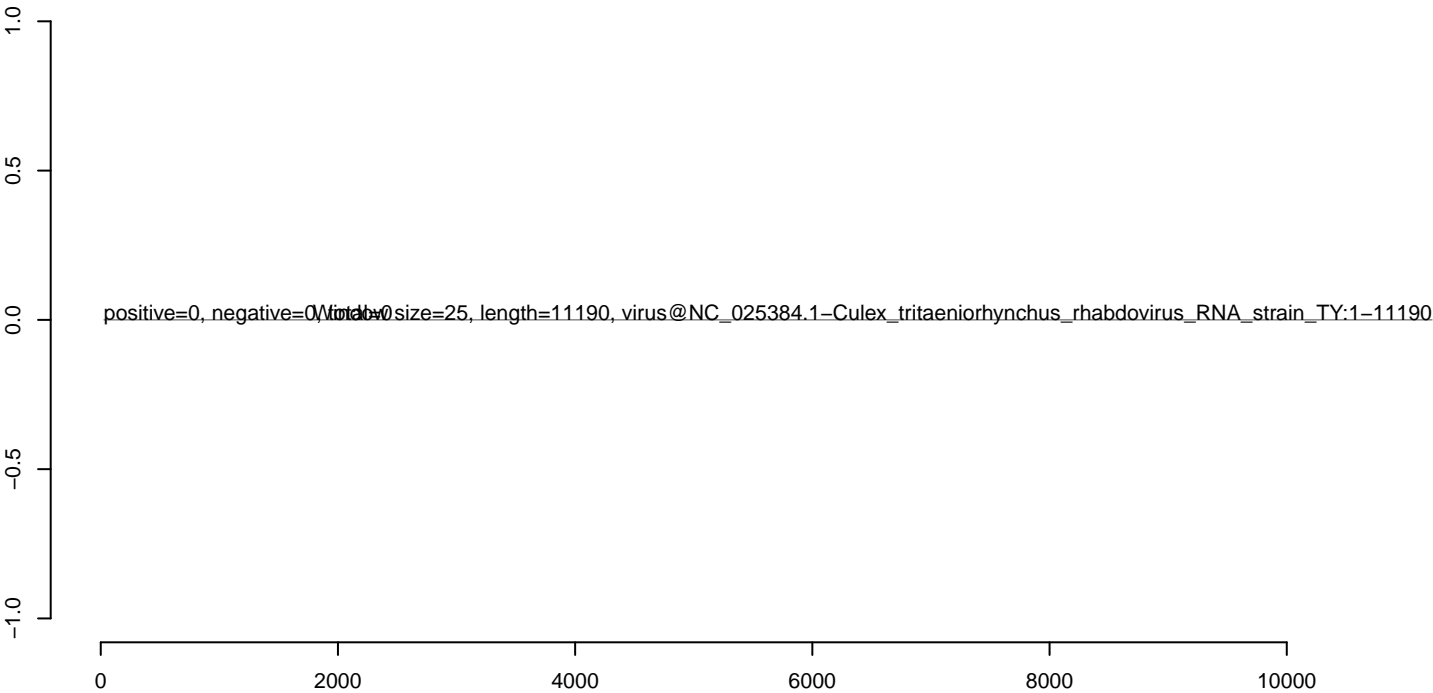
CuQuin_Mcarc_NL.18_23.rep



CuQuin_Mcarc_NL.24_35.rep



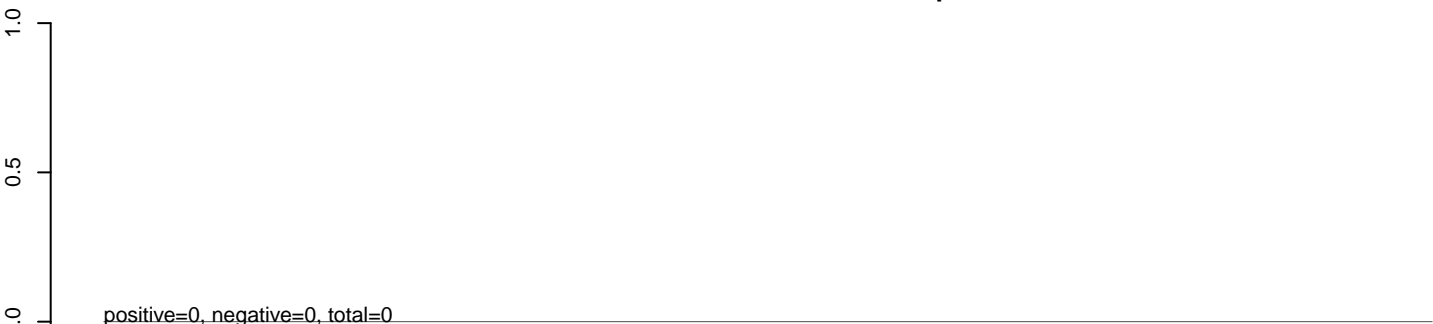
CuQuin_Mcarc_NL.rep



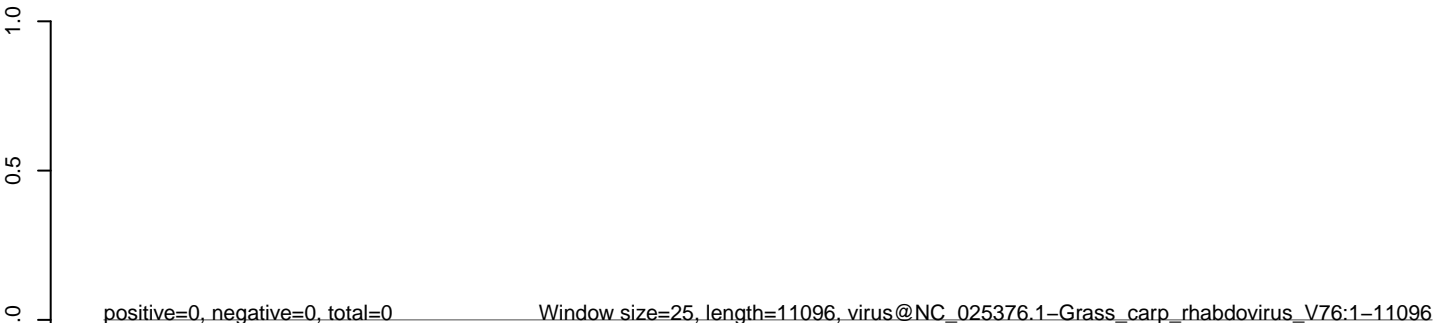
CuQuin_Mcarc_NL.18_23.rep



CuQuin_Mcarc_NL.24_35.rep



CuQuin_Mcarc_NL.rep



0 2000 4000 6000 8000 10000

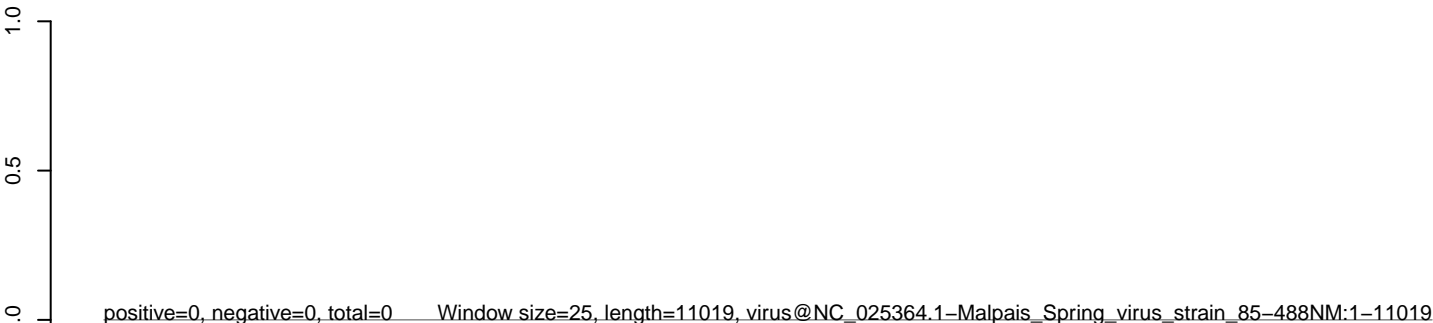
CuQuin_Mcarc_NL.18_23.rep



CuQuin_Mcarc_NL.24_35.rep



CuQuin_Mcarc_NL.rep

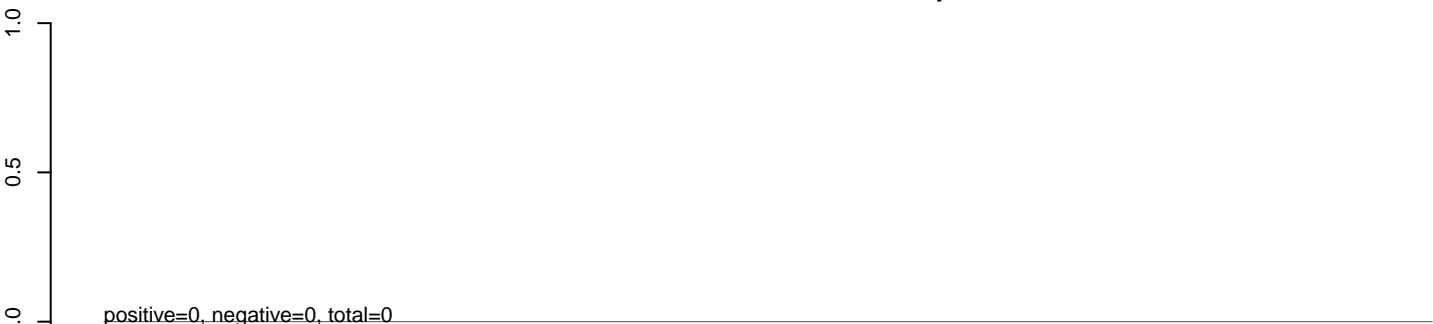


0 2000 4000 6000 8000 10000

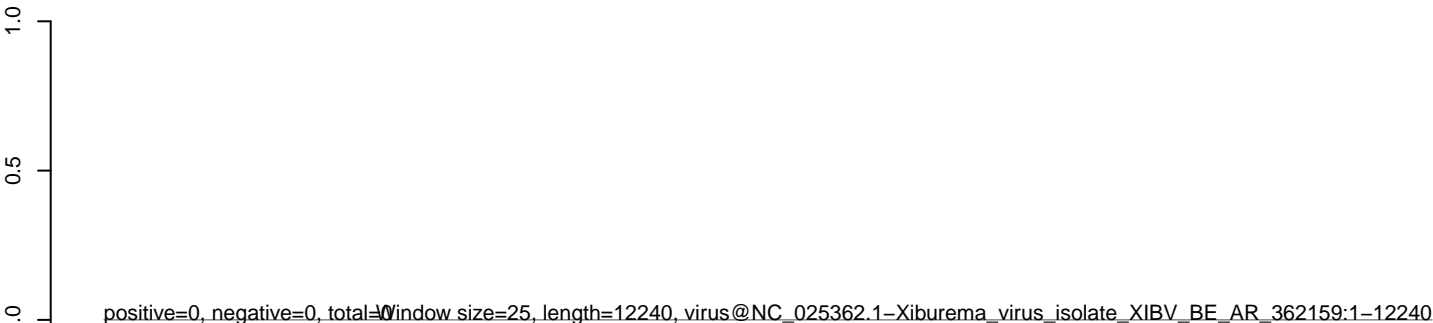
CuQuin_Mcarc_NL.18_23.rep



CuQuin_Mcarc_NL.24_35.rep



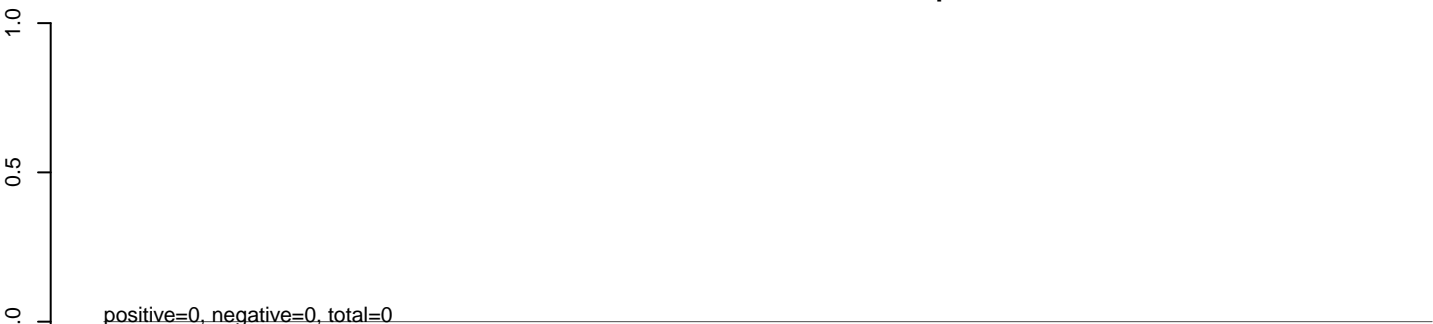
CuQuin_Mcarc_NL.rep



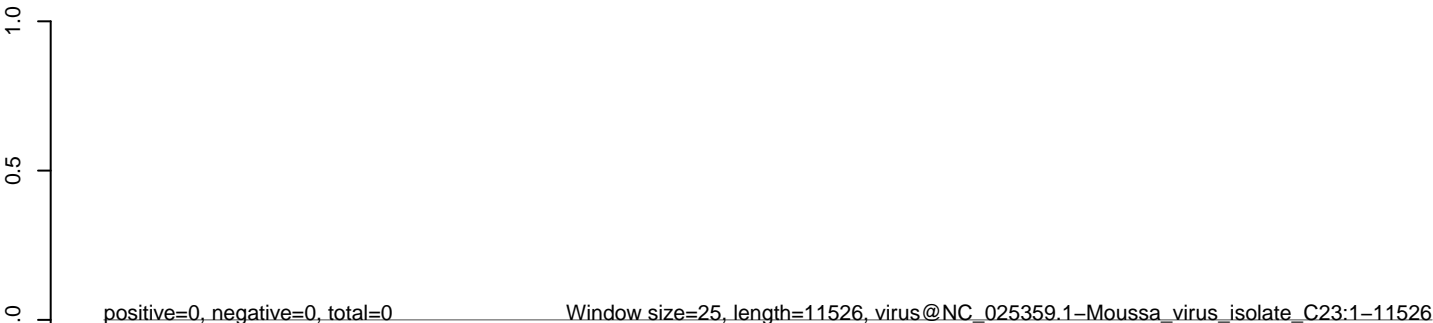
CuQuin_Mcarc_NL.18_23.rep



CuQuin_Mcarc_NL.24_35.rep



CuQuin_Mcarc_NL.rep

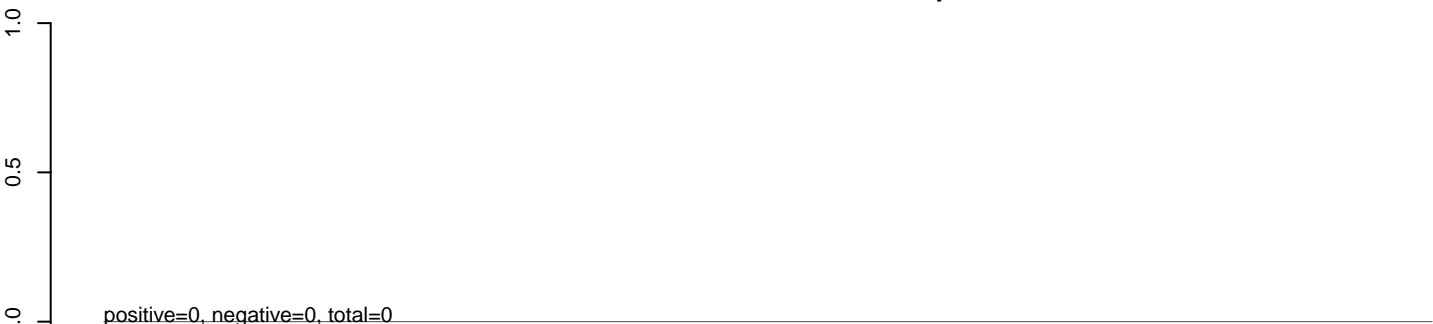


0 2000 4000 6000 8000 10000 12000

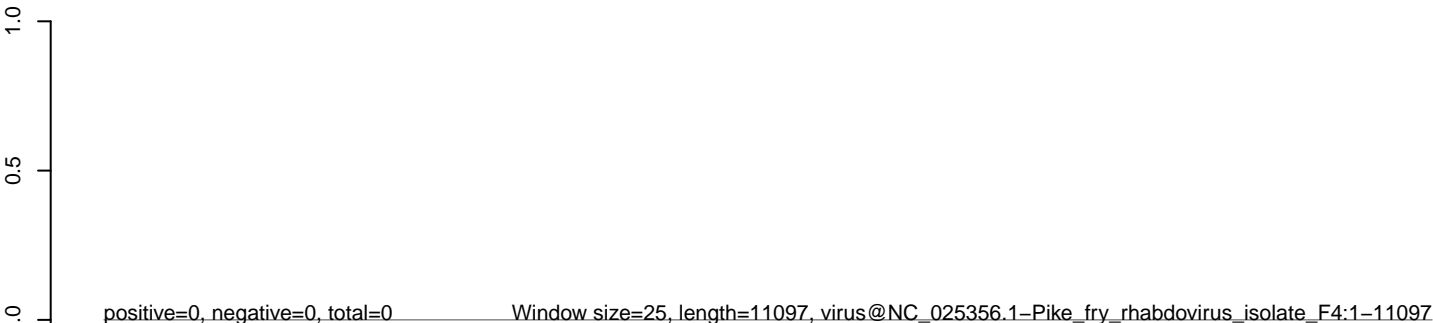
CuQuin_Mcarc_NL.18_23.rep



CuQuin_Mcarc_NL.24_35.rep



CuQuin_Mcarc_NL.rep

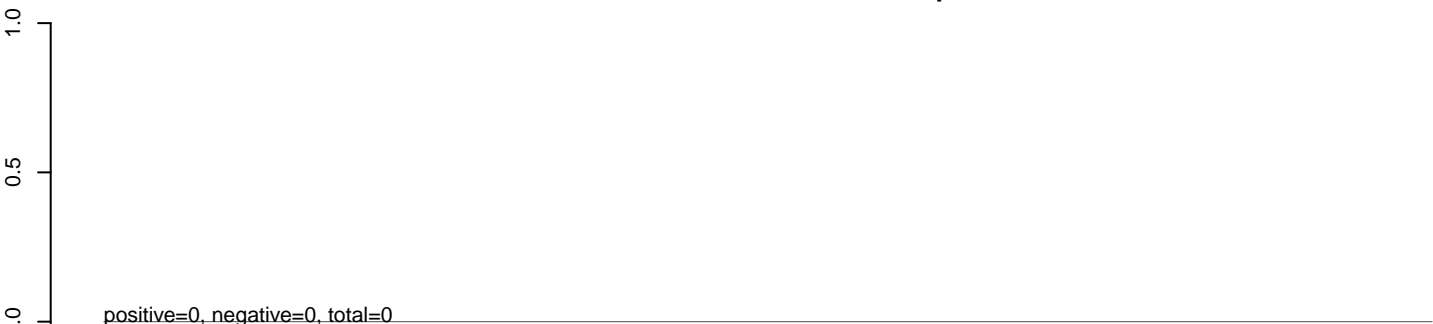


0 2000 4000 6000 8000 10000

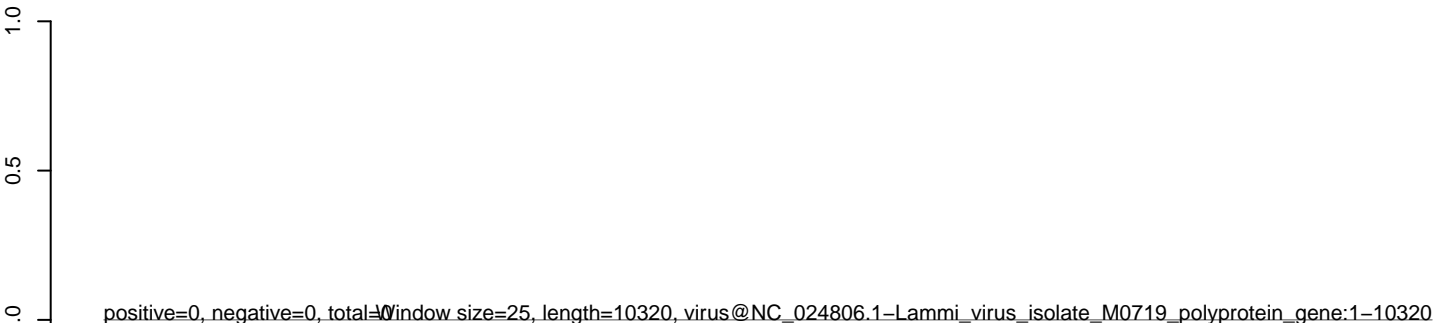
CuQuin_Mcarc_NL.18_23.rep



CuQuin_Mcarc_NL.24_35.rep

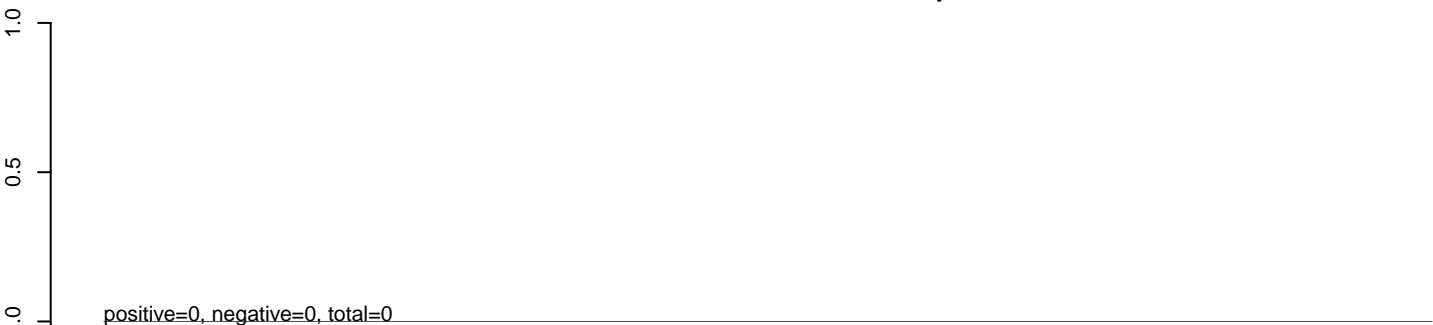


CuQuin_Mcarc_NL.rep

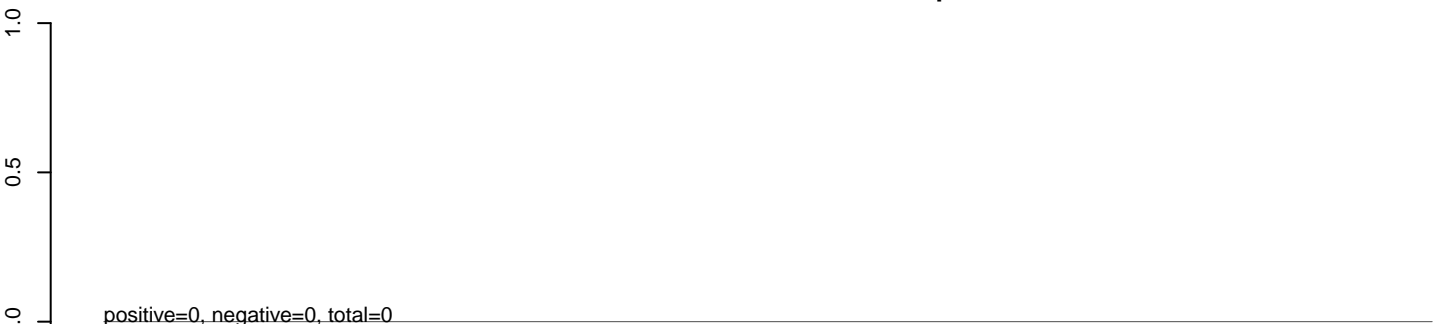


0 2000 4000 6000 8000 10000

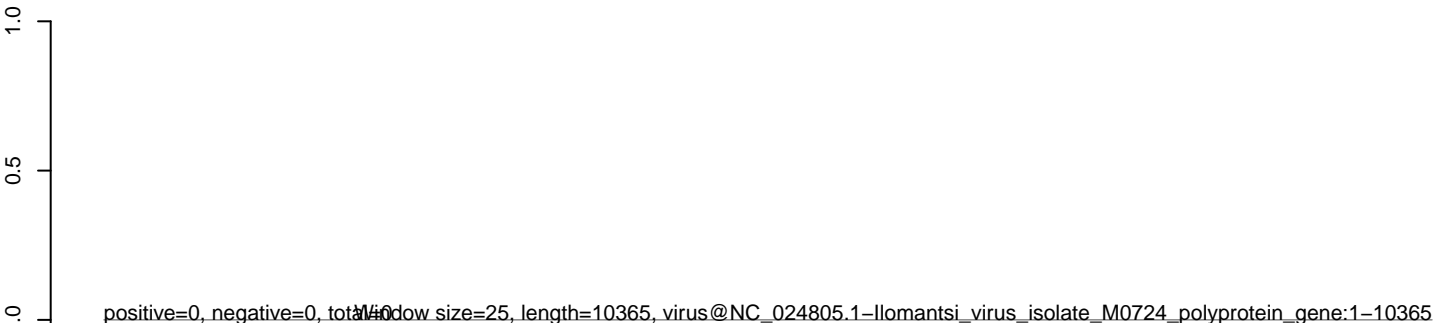
CuQuin_Mcarc_NL.18_23.rep



CuQuin_Mcarc_NL.24_35.rep



CuQuin_Mcarc_NL.rep

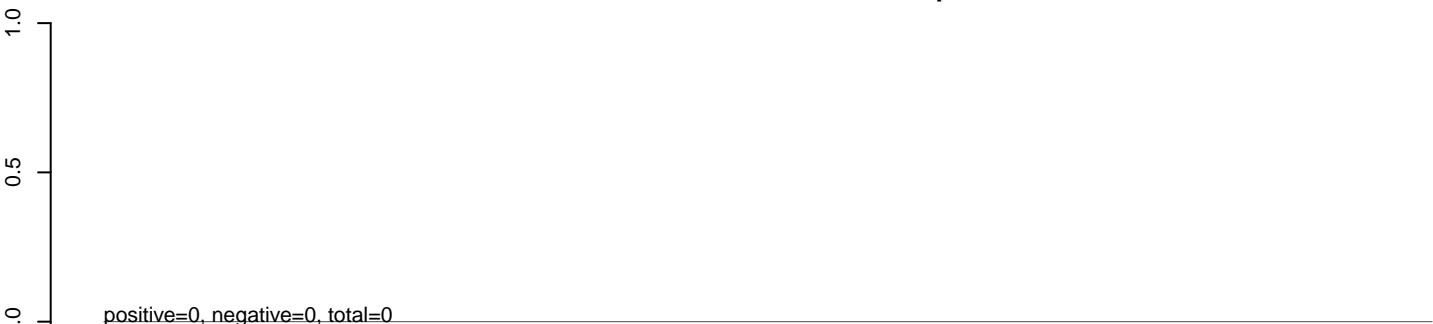


0 2000 4000 6000 8000 10000

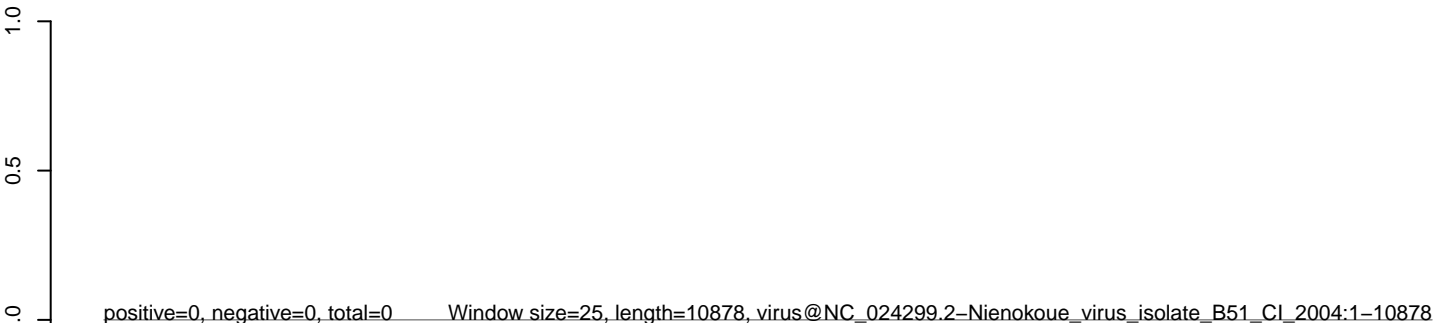
CuQuin_Mcarc_NL.18_23.rep



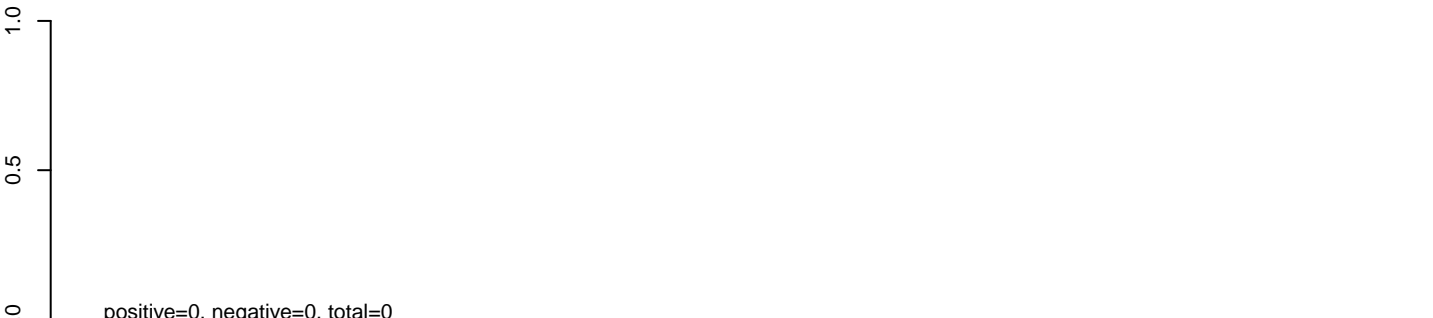
CuQuin_Mcarc_NL.24_35.rep



CuQuin_Mcarc_NL.rep



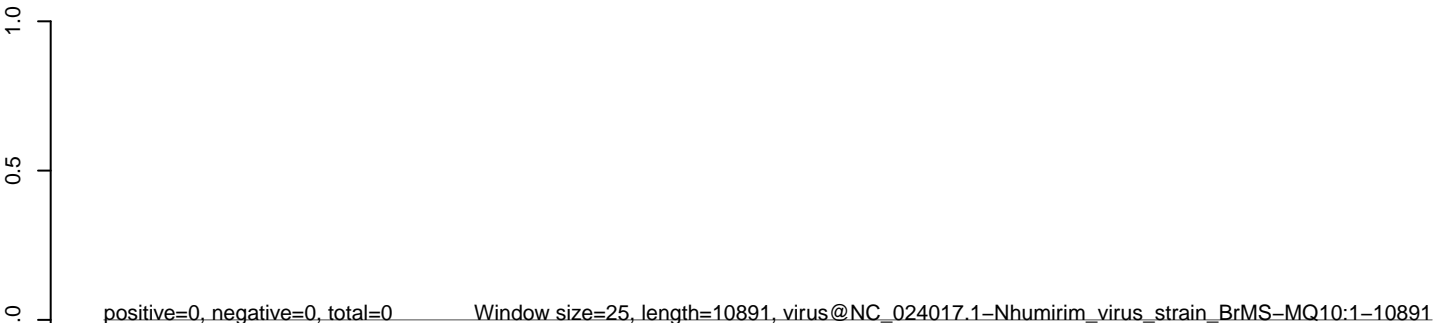
CuQuin_Mcarc_NL.18_23.rep



CuQuin_Mcarc_NL.24_35.rep



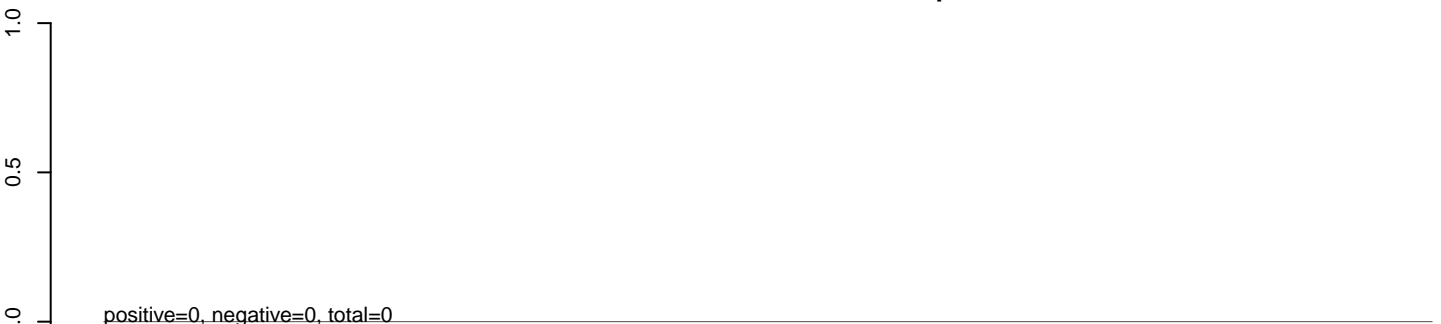
CuQuin_Mcarc_NL.rep



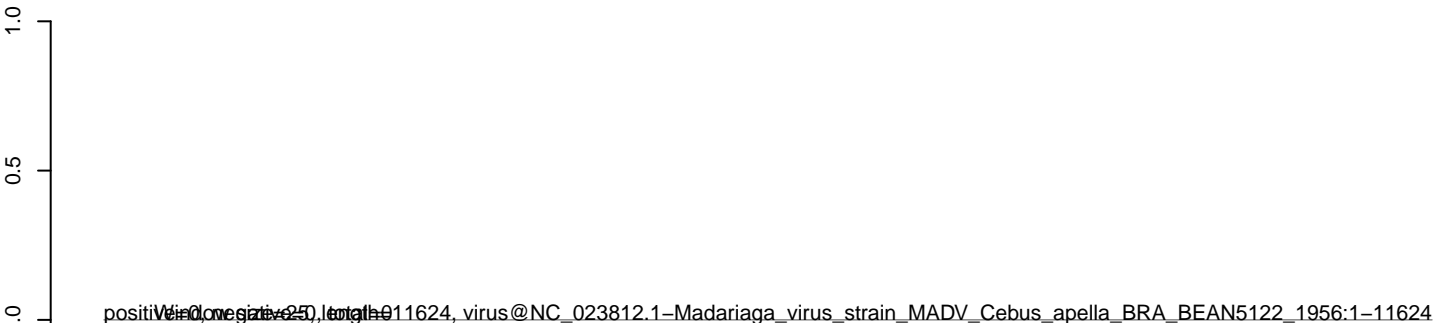
CuQuin_Mcarc_NL.18_23.rep



CuQuin_Mcarc_NL.24_35.rep



CuQuin_Mcarc_NL.rep

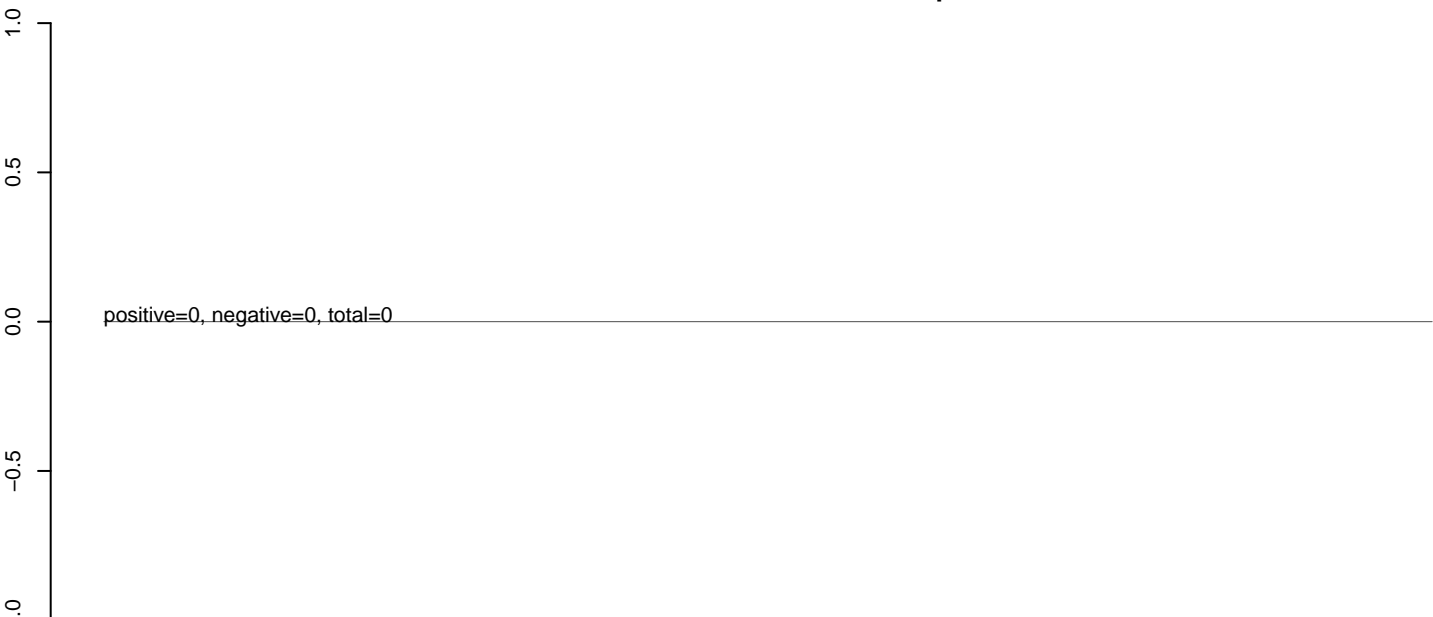


0 2000 4000 6000 8000 10000 12000

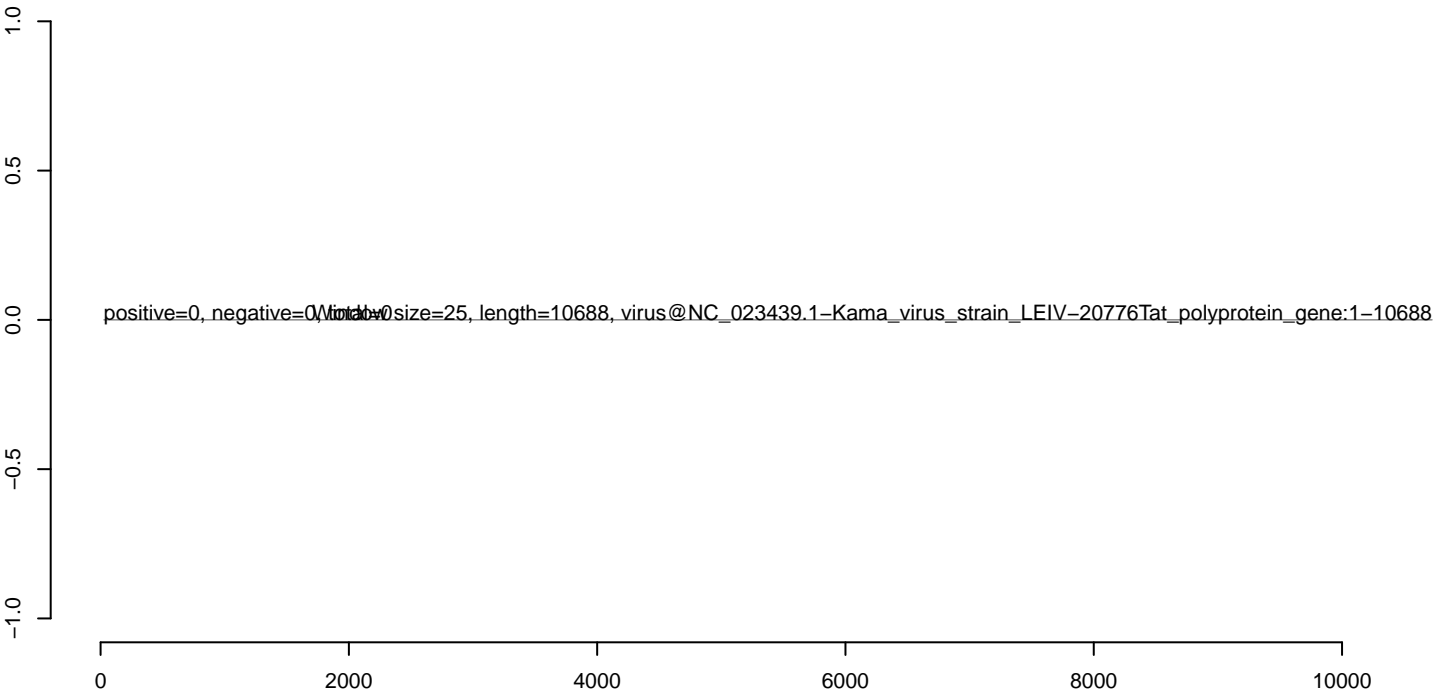
CuQuin_Mcarc_NL.18_23.rep



CuQuin_Mcarc_NL.24_35.rep



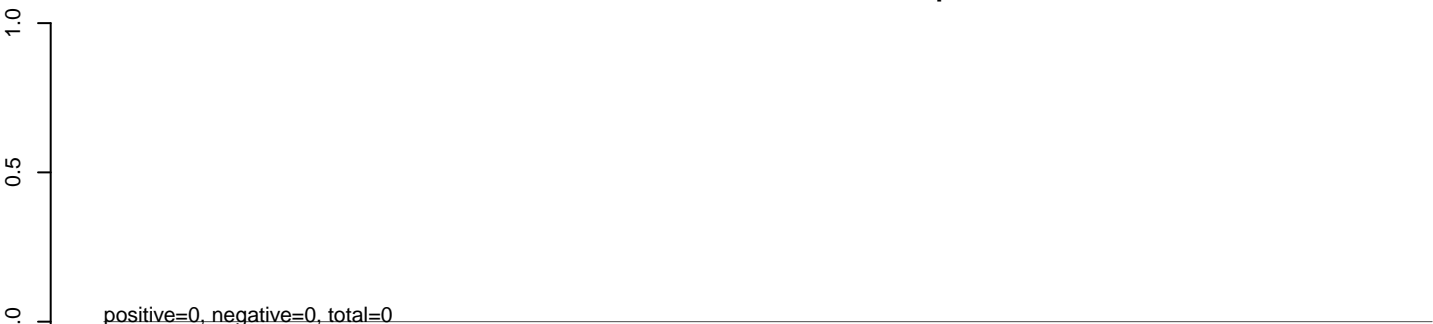
CuQuin_Mcarc_NL.rep



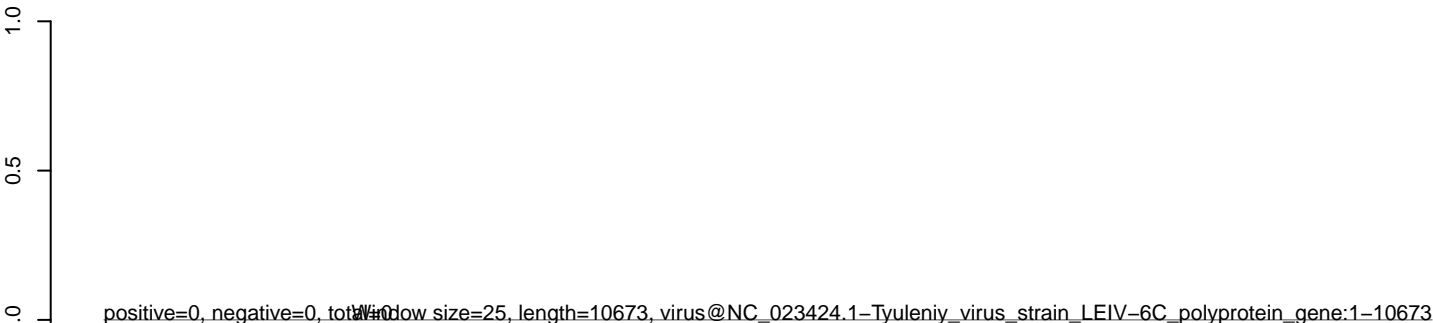
CuQuin_Mcarc_NL.18_23.rep



CuQuin_Mcarc_NL.24_35.rep



CuQuin_Mcarc_NL.rep



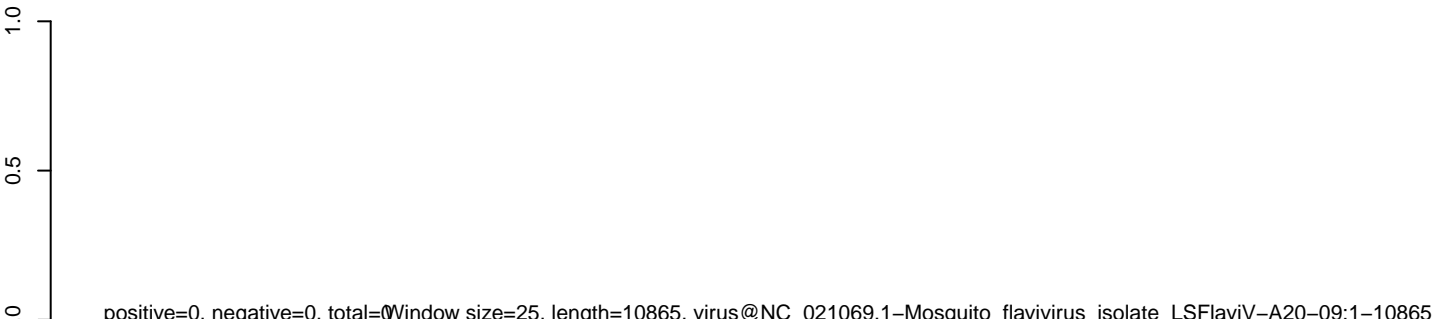
CuQuin_Mcarc_NL.18_23.rep



CuQuin_Mcarc_NL.24_35.rep



CuQuin_Mcarc_NL.rep



0 2000 4000 6000 8000 10000

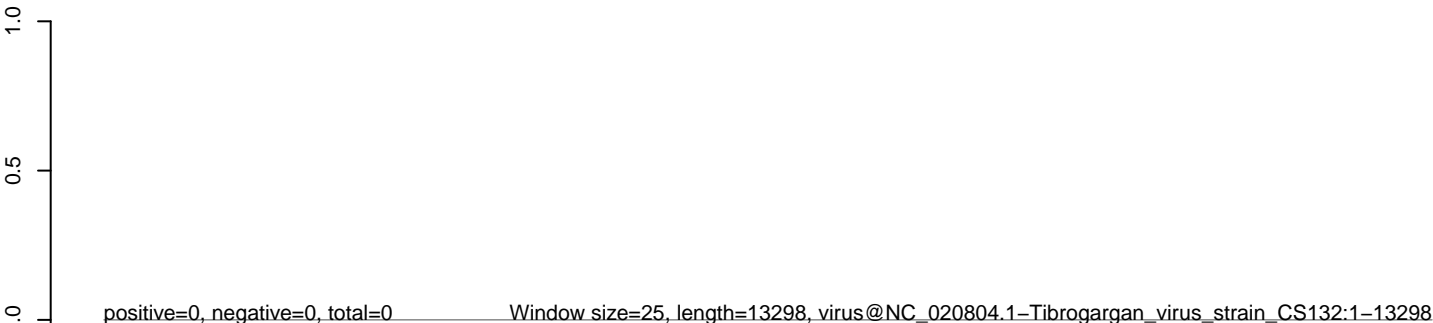
CuQuin_Mcarc_NL.18_23.rep



CuQuin_Mcarc_NL.24_35.rep



CuQuin_Mcarc_NL.rep

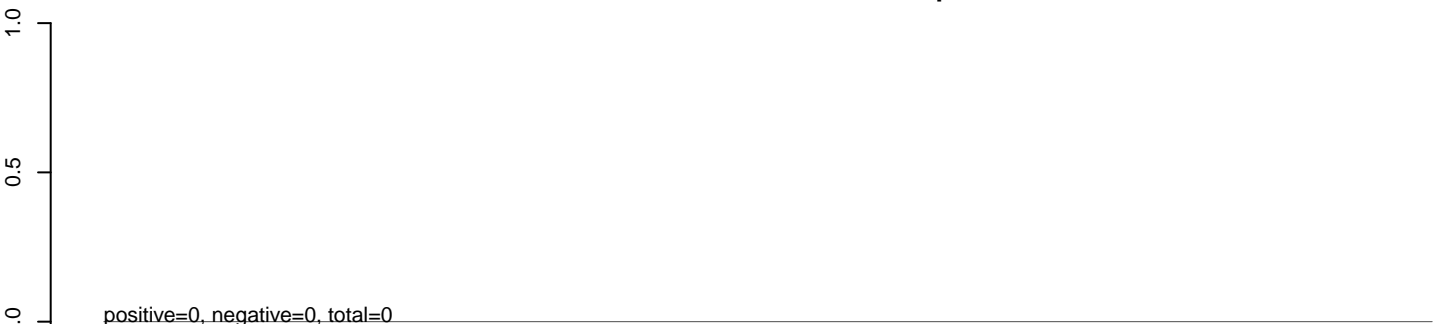


0 2000 4000 6000 8000 10000 12000

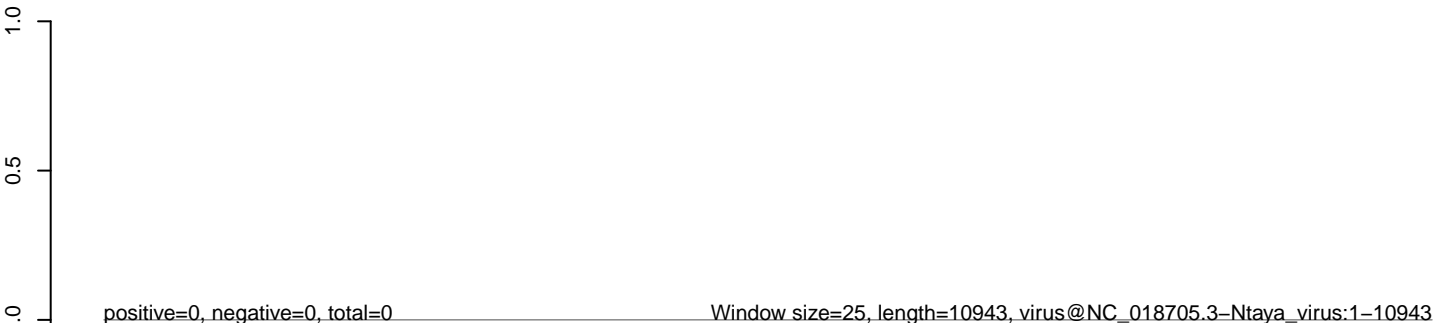
CuQuin_Mcarc_NL.18_23.rep



CuQuin_Mcarc_NL.24_35.rep



CuQuin_Mcarc_NL.rep



0 2000 4000 6000 8000 10000

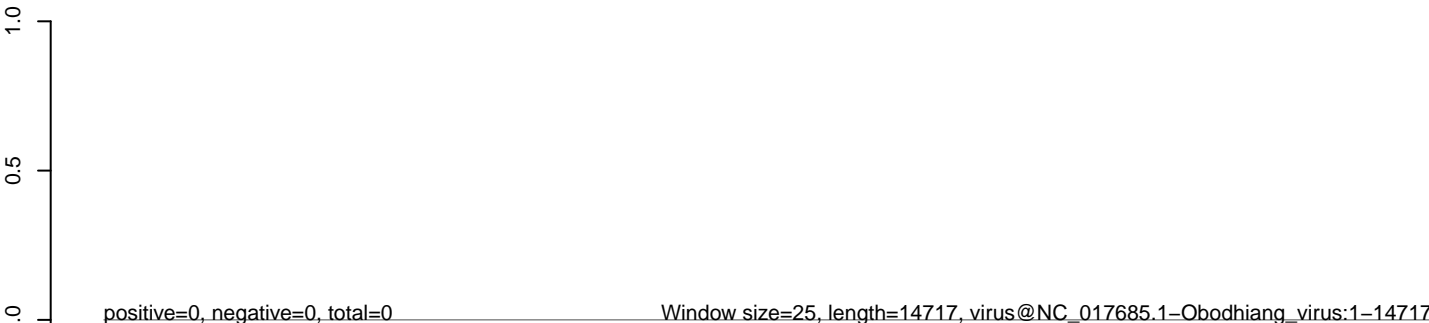
CuQuin_Mcarc_NL.18_23.rep



CuQuin_Mcarc_NL.24_35.rep



CuQuin_Mcarc_NL.rep



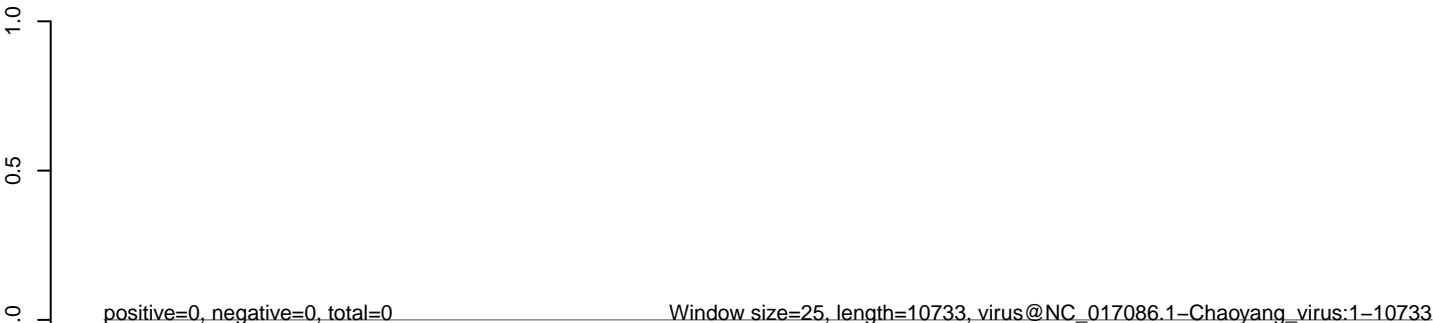
CuQuin_Mcarc_NL.18_23.rep



CuQuin_Mcarc_NL.24_35.rep



CuQuin_Mcarc_NL.rep

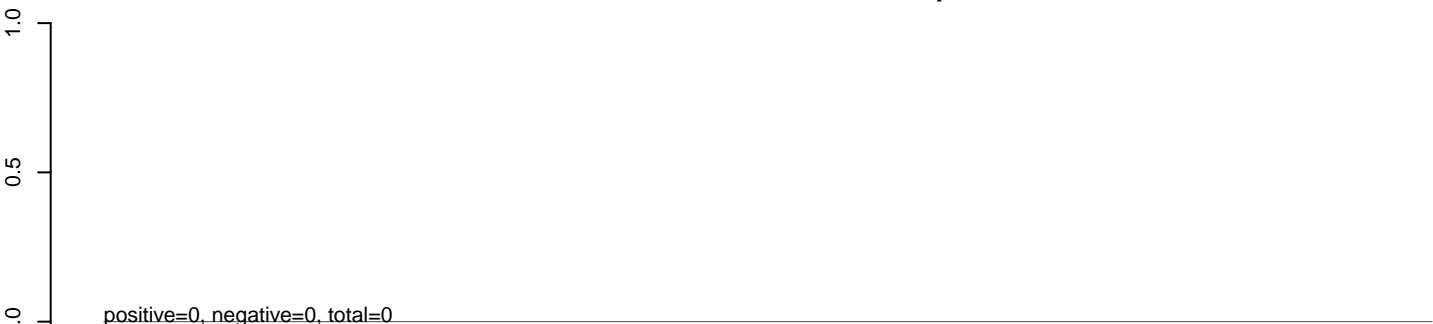


0 2000 4000 6000 8000 10000

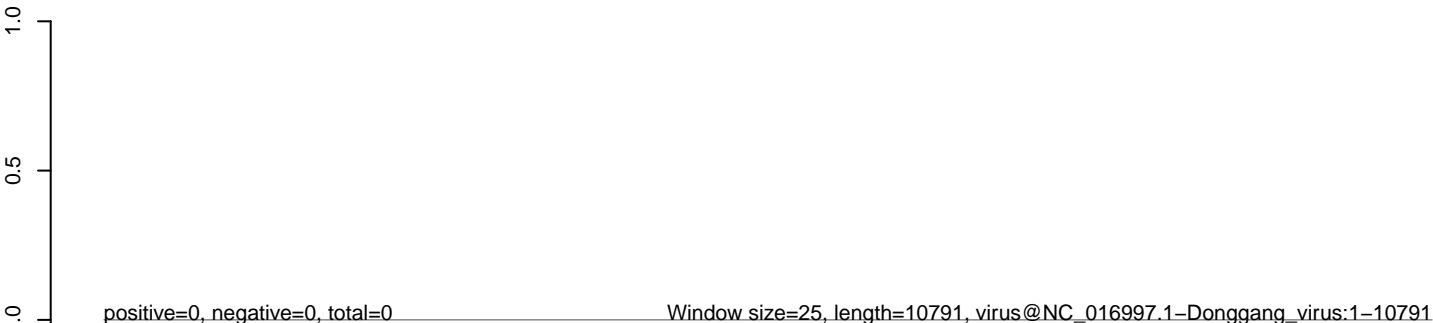
CuQuin_Mcarc_NL.18_23.rep



CuQuin_Mcarc_NL.24_35.rep



CuQuin_Mcarc_NL.rep



0 2000 4000 6000 8000 10000

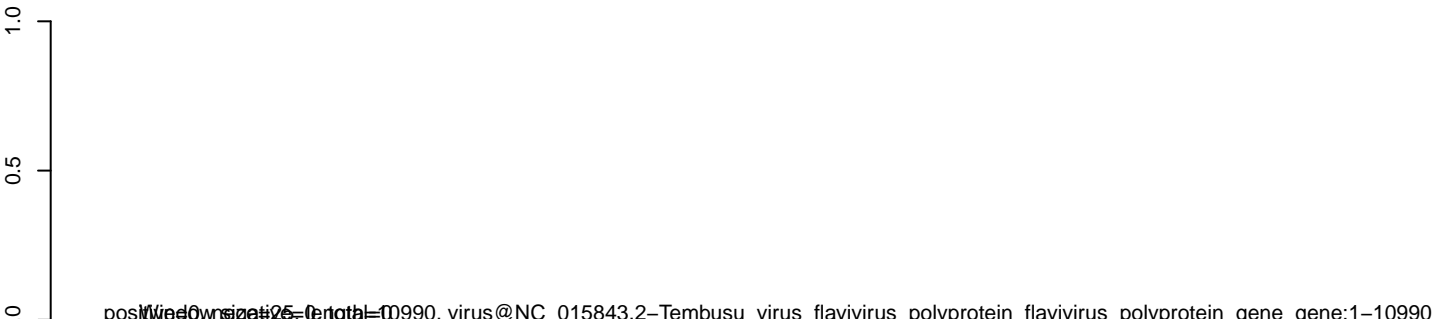
CuQuin_Mcarc_NL.18_23.rep



CuQuin_Mcarc_NL.24_35.rep



CuQuin_Mcarc_NL.rep

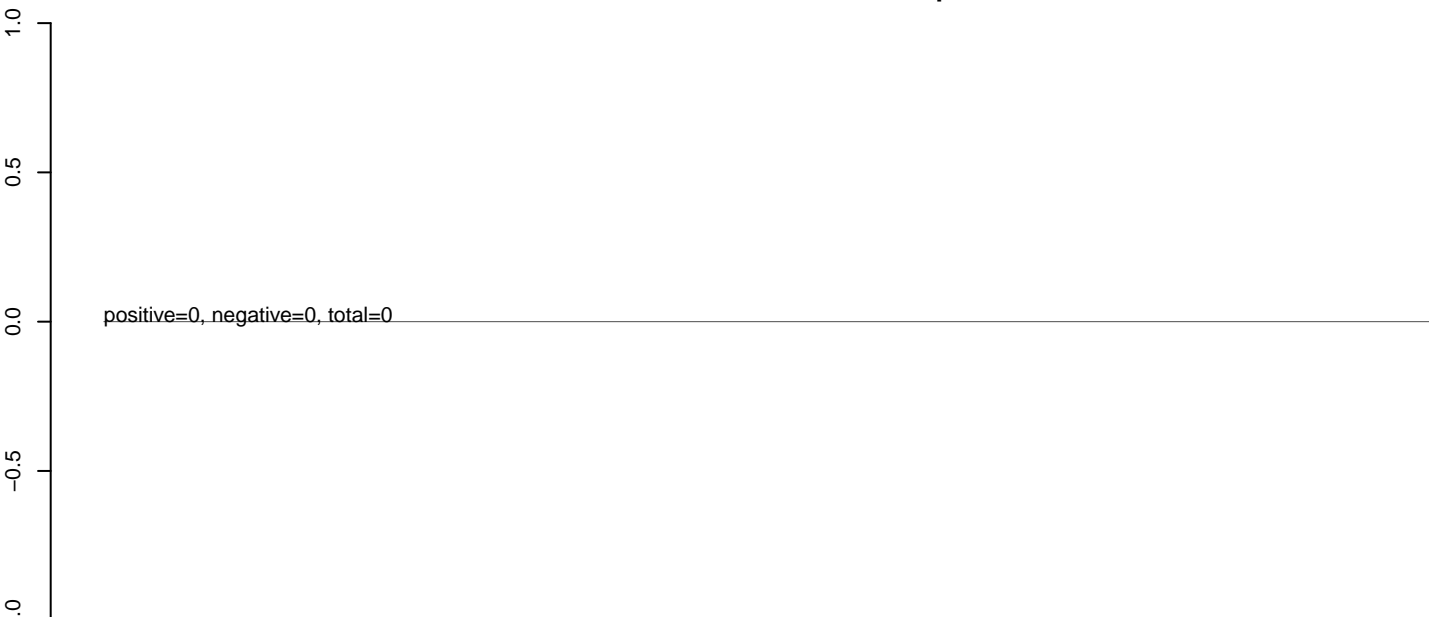


0 2000 4000 6000 8000 10000

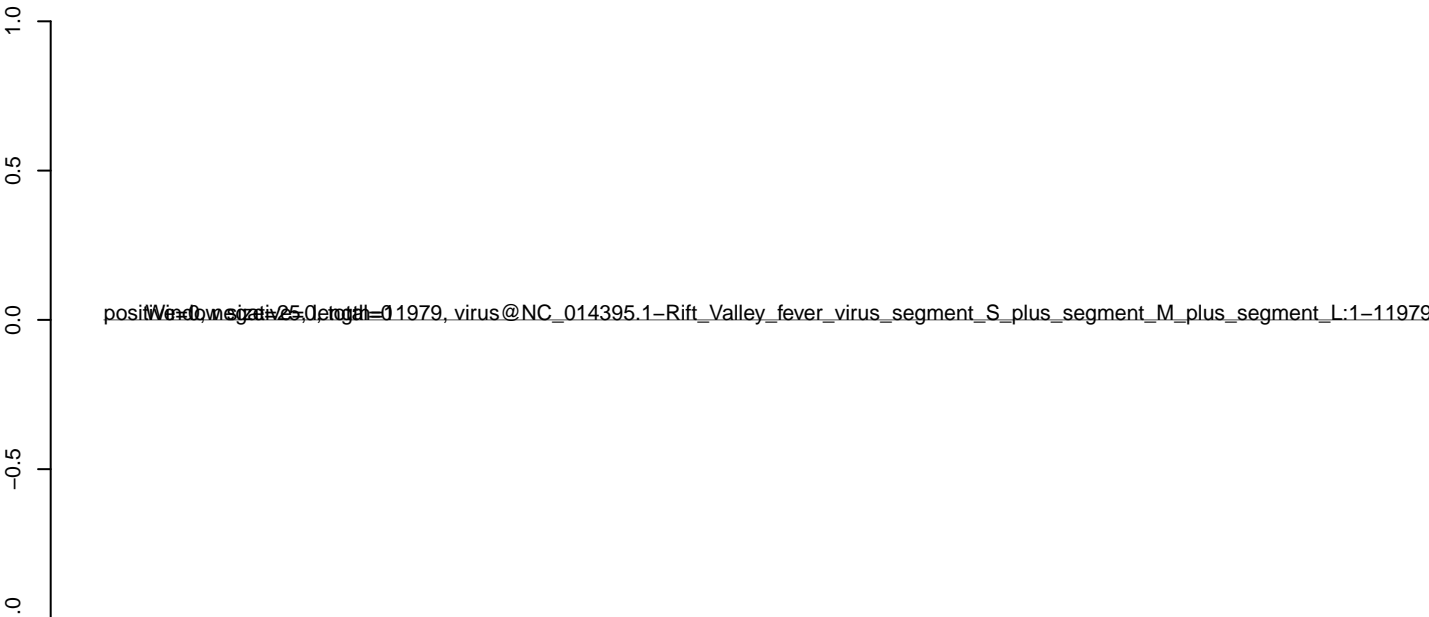
CuQuin_Mcarc_NL.18_23.rep



CuQuin_Mcarc_NL.24_35.rep



CuQuin_Mcarc_NL.rep



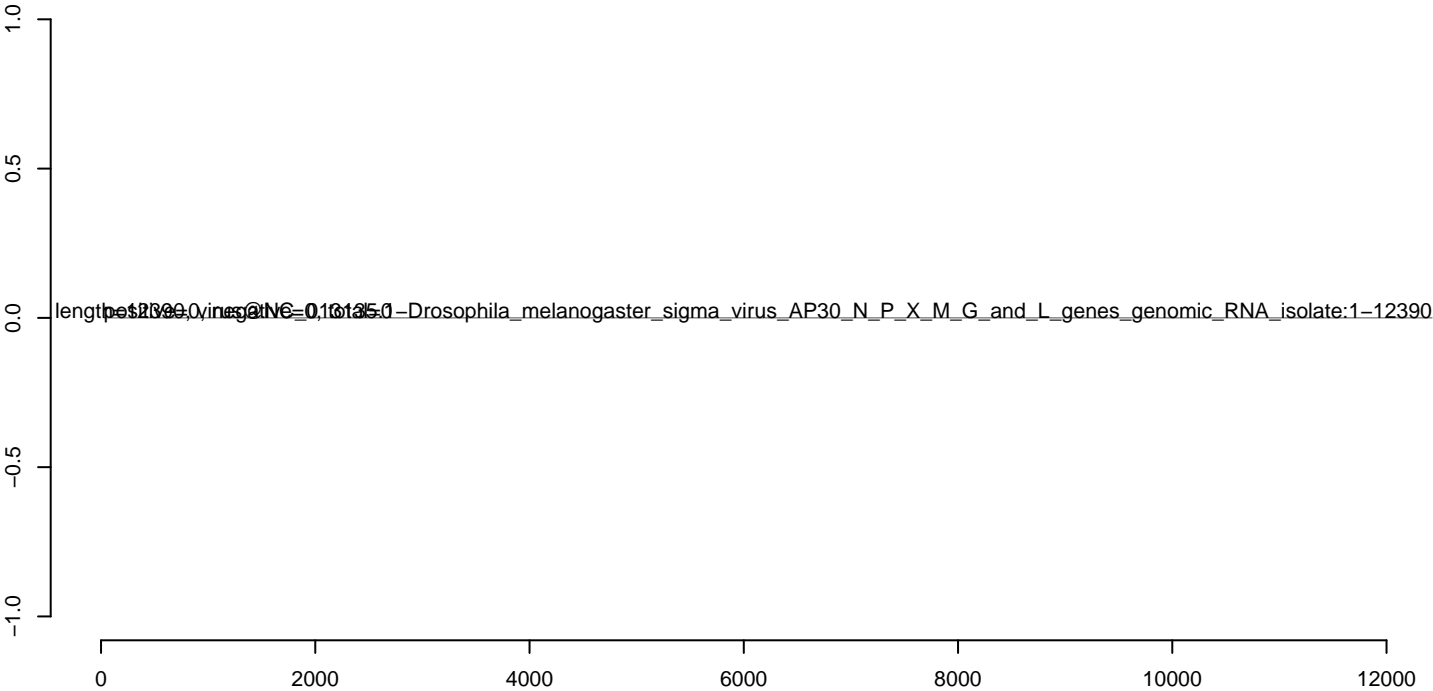
CuQuin_Mcarc_NL.18_23.rep



CuQuin_Mcarc_NL.24_35.rep



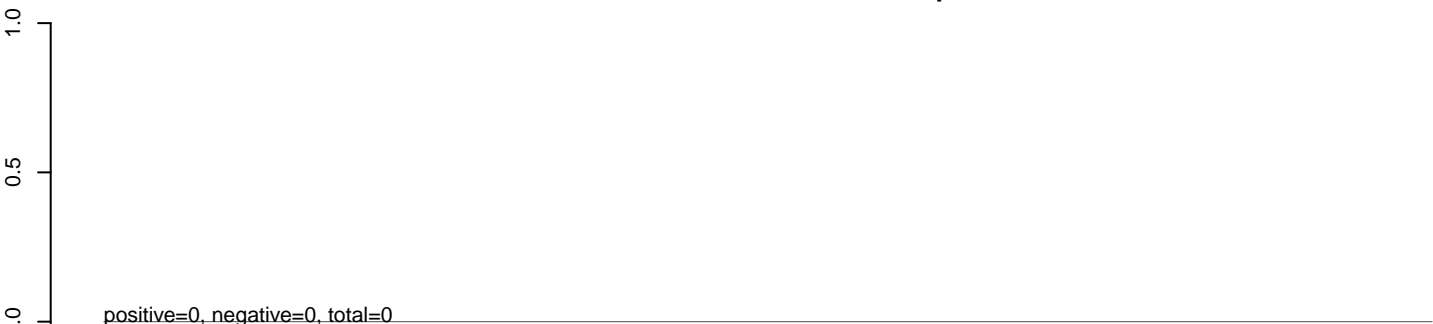
CuQuin_Mcarc_NL.rep



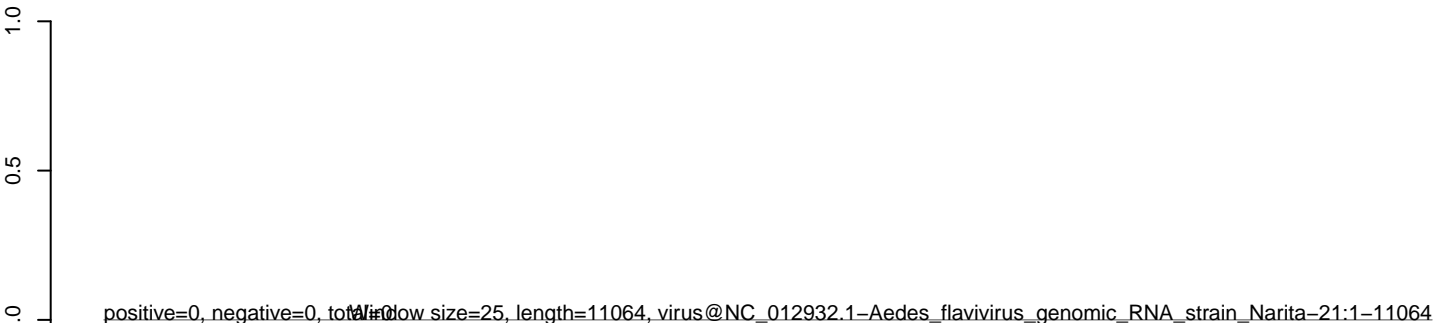
CuQuin_Mcarc_NL.18_23.rep



CuQuin_Mcarc_NL.24_35.rep



CuQuin_Mcarc_NL.rep

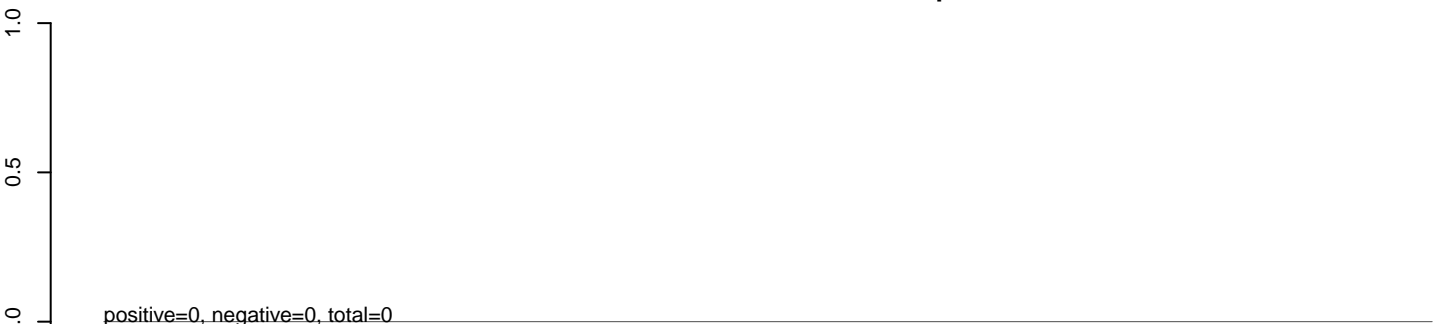


0 2000 4000 6000 8000 10000

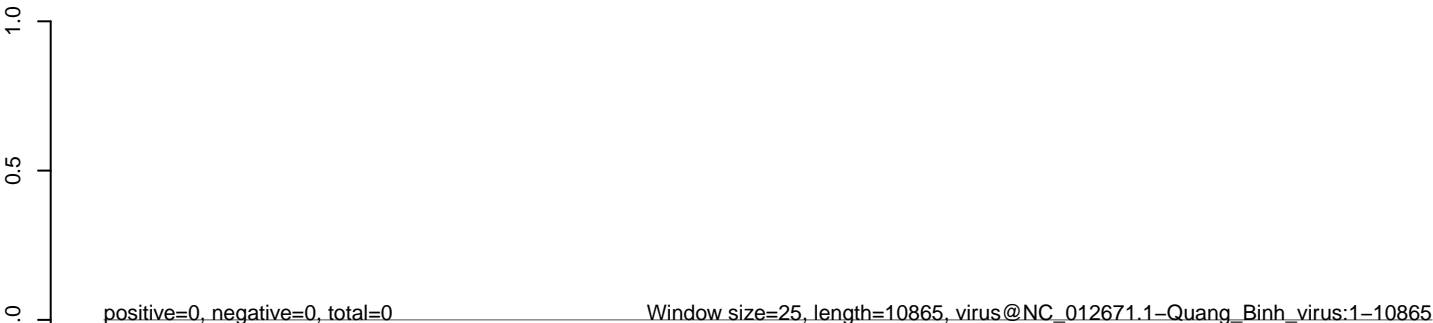
CuQuin_Mcarc_NL.18_23.rep



CuQuin_Mcarc_NL.24_35.rep



CuQuin_Mcarc_NL.rep



0 2000 4000 6000 8000 10000

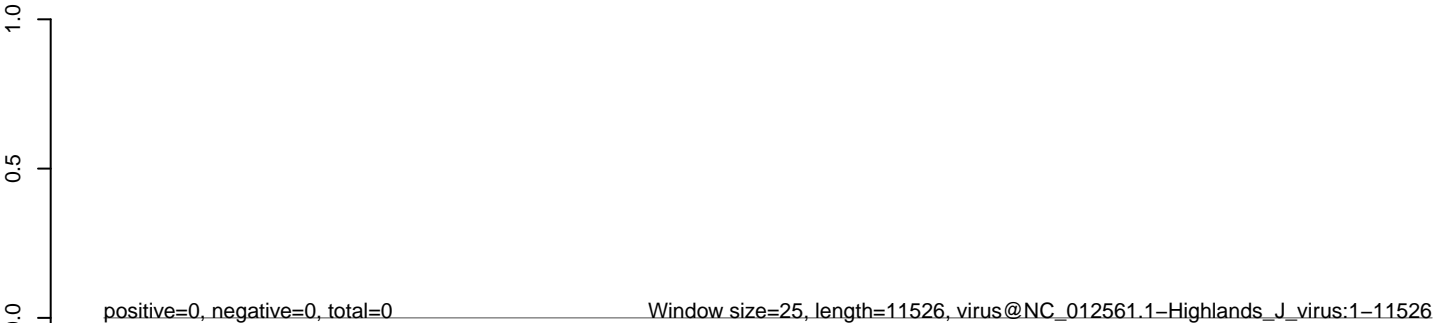
CuQuin_Mcarc_NL.18_23.rep



CuQuin_Mcarc_NL.24_35.rep



CuQuin_Mcarc_NL.rep

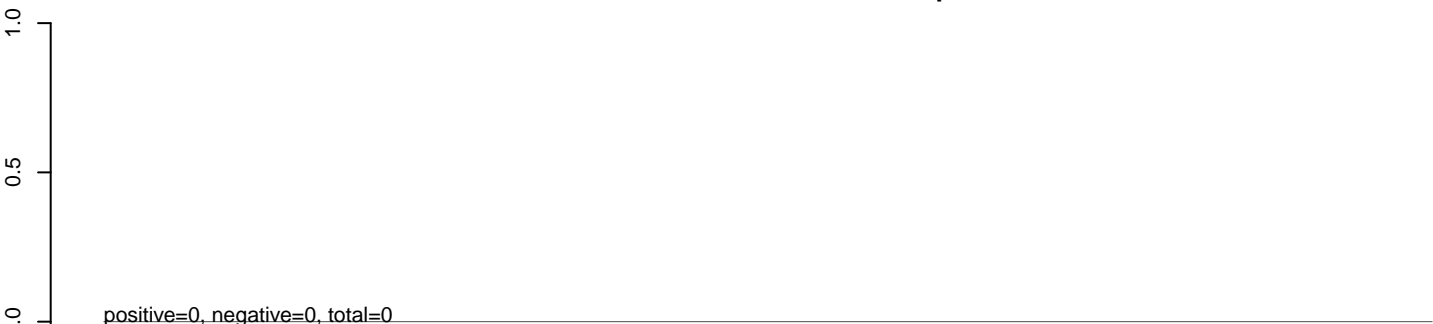


0 2000 4000 6000 8000 10000 12000

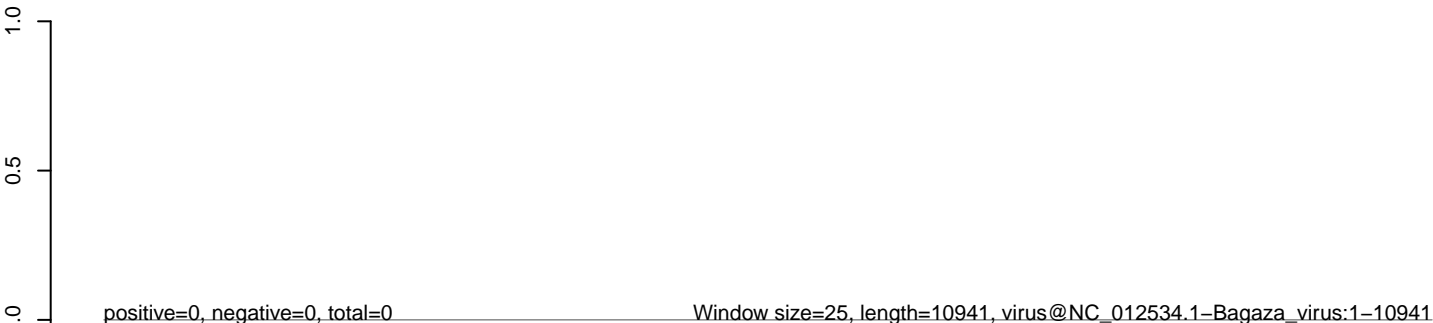
CuQuin_Mcarc_NL.18_23.rep



CuQuin_Mcarc_NL.24_35.rep



CuQuin_Mcarc_NL.rep



0 2000 4000 6000 8000 10000

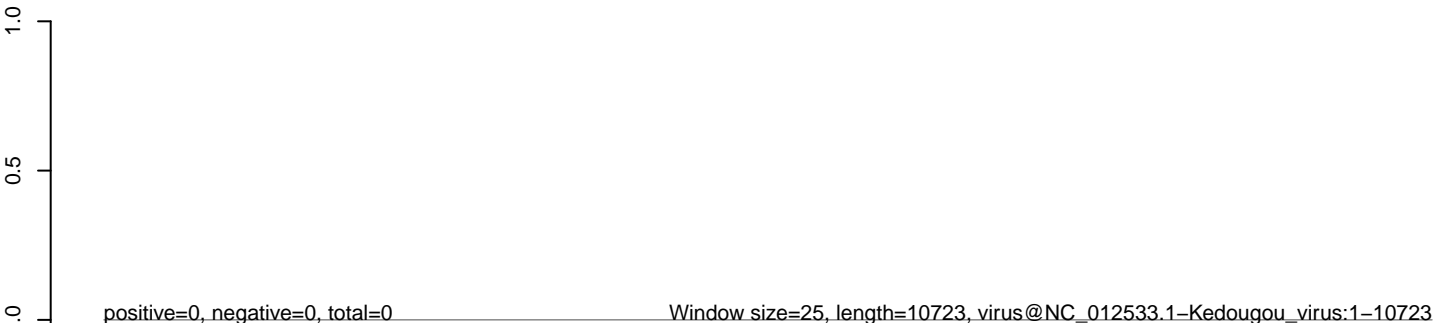
CuQuin_Mcarc_NL.18_23.rep



CuQuin_Mcarc_NL.24_35.rep



CuQuin_Mcarc_NL.rep



0 2000 4000 6000 8000 10000

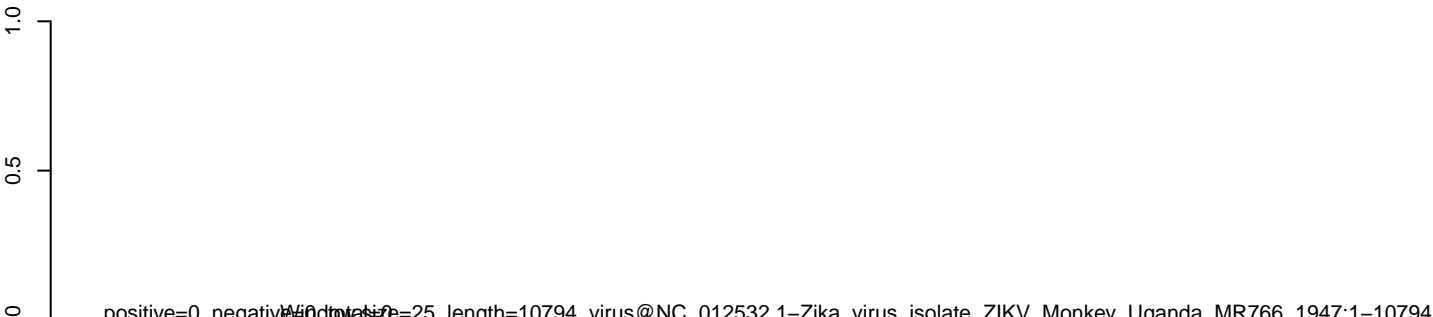
CuQuin_Mcarc_NL.18_23.rep



CuQuin_Mcarc_NL.24_35.rep



CuQuin_Mcarc_NL.rep



0 2000 4000 6000 8000 10000

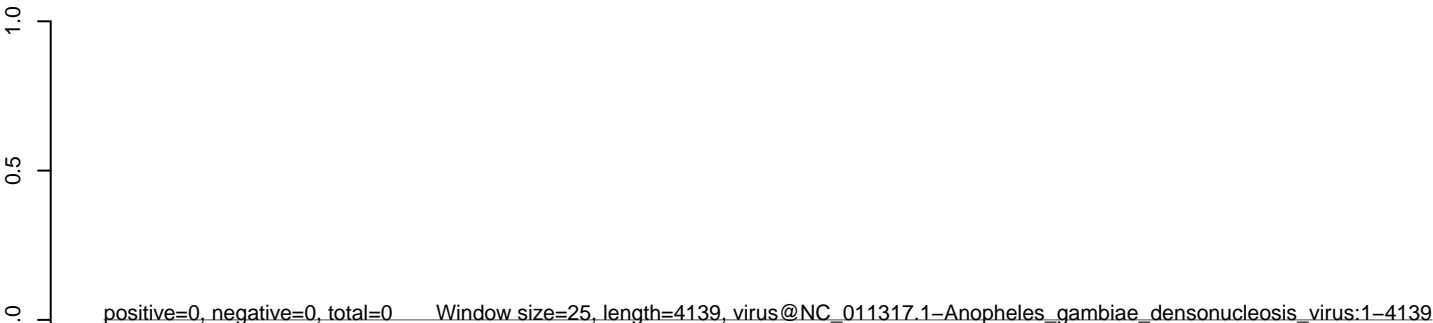
CuQuin_Mcarc_NL.18_23.rep



CuQuin_Mcarc_NL.24_35.rep



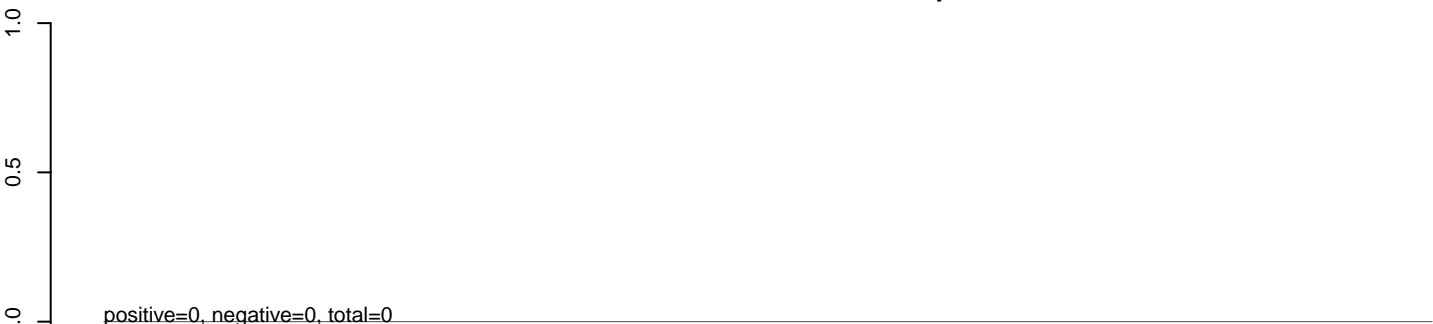
CuQuin_Mcarc_NL.rep



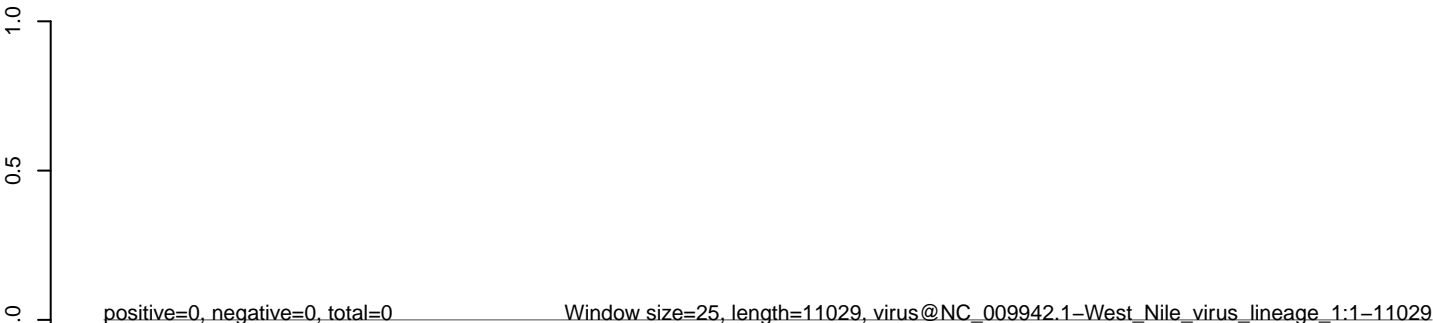
CuQuin_Mcarc_NL.18_23.rep



CuQuin_Mcarc_NL.24_35.rep



CuQuin_Mcarc_NL.rep



0 2000 4000 6000 8000 10000

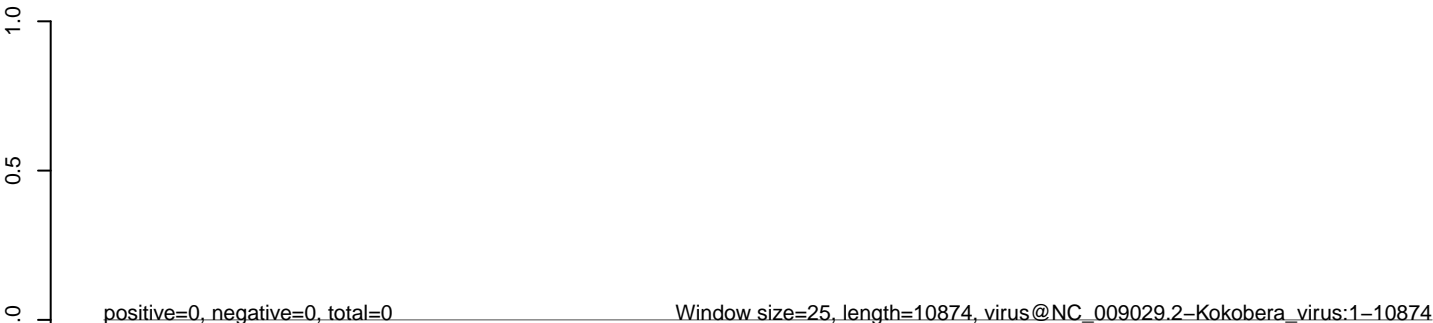
CuQuin_Mcarc_NL.18_23.rep



CuQuin_Mcarc_NL.24_35.rep



CuQuin_Mcarc_NL.rep



0 2000 4000 6000 8000 10000

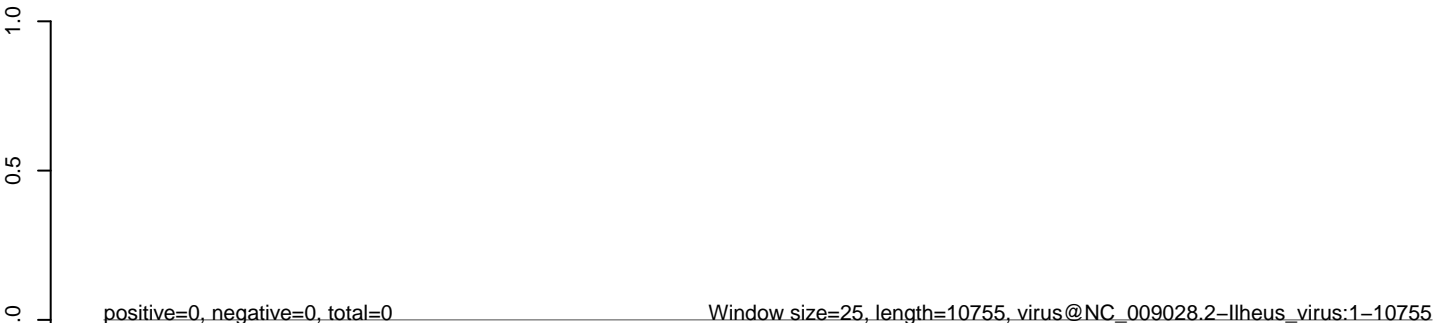
CuQuin_Mcarc_NL.18_23.rep



CuQuin_Mcarc_NL.24_35.rep



CuQuin_Mcarc_NL.rep



CuQuin_Mcarc_NL.18_23.rep



CuQuin_Mcarc_NL.24_35.rep



CuQuin_Mcarc_NL.rep



0 2000 4000 6000 8000 10000

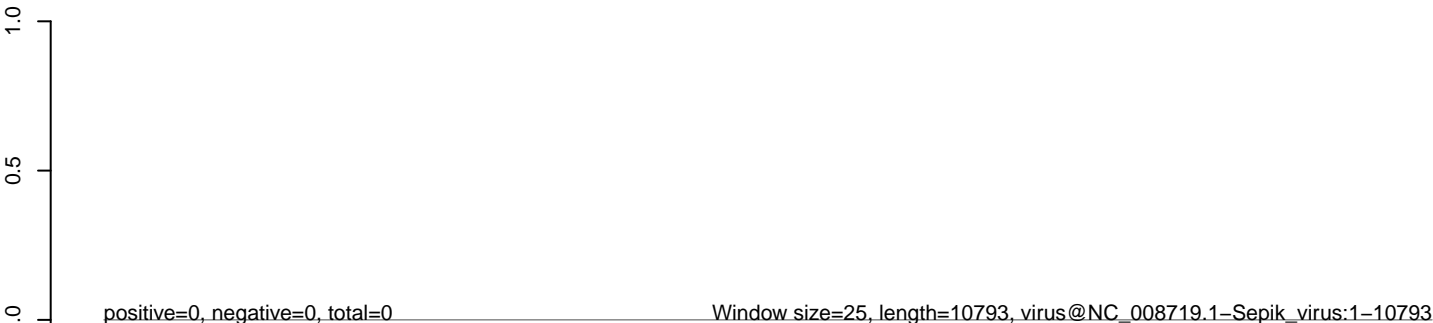
CuQuin_Mcarc_NL.18_23.rep



CuQuin_Mcarc_NL.24_35.rep



CuQuin_Mcarc_NL.rep

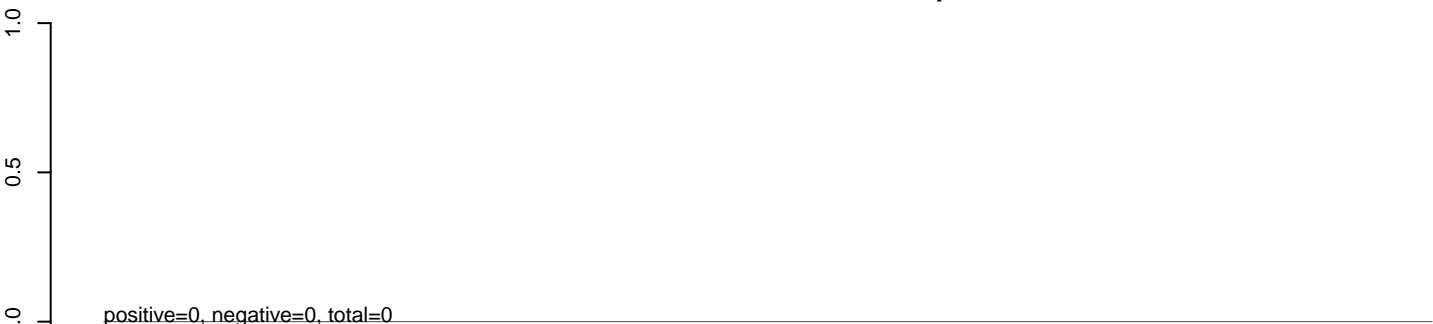


0 2000 4000 6000 8000 10000

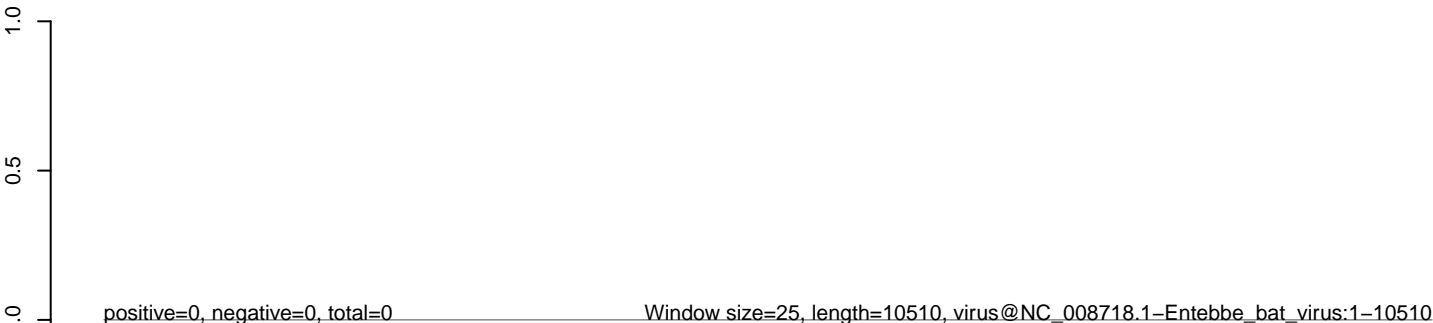
CuQuin_Mcarc_NL.18_23.rep



CuQuin_Mcarc_NL.24_35.rep



CuQuin_Mcarc_NL.rep

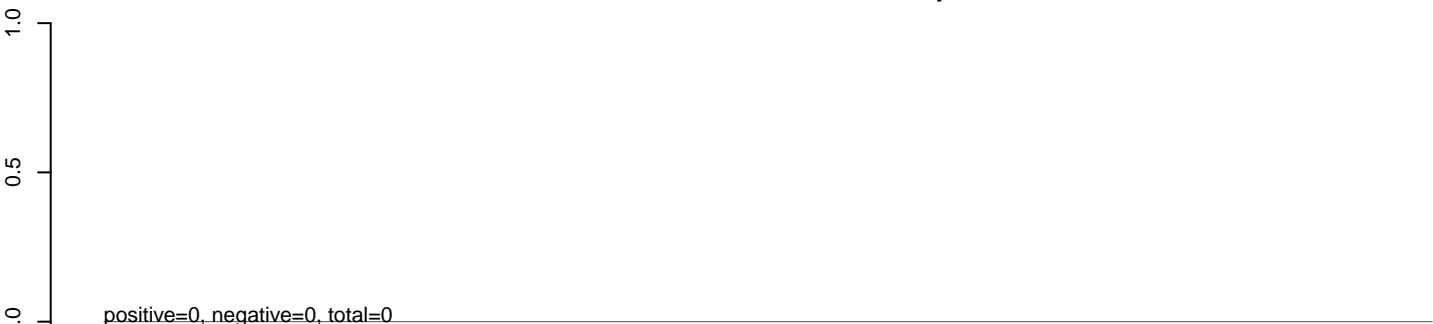


0 2000 4000 6000 8000 10000

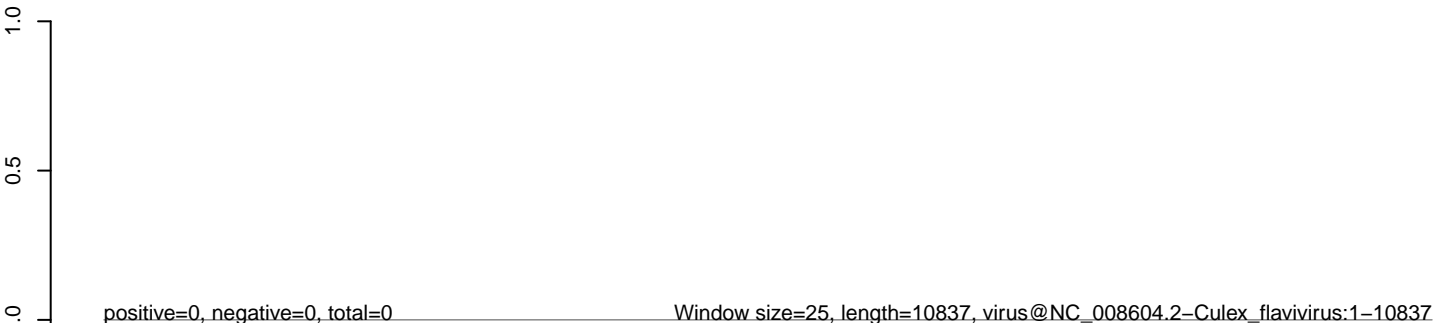
CuQuin_Mcarc_NL.18_23.rep



CuQuin_Mcarc_NL.24_35.rep



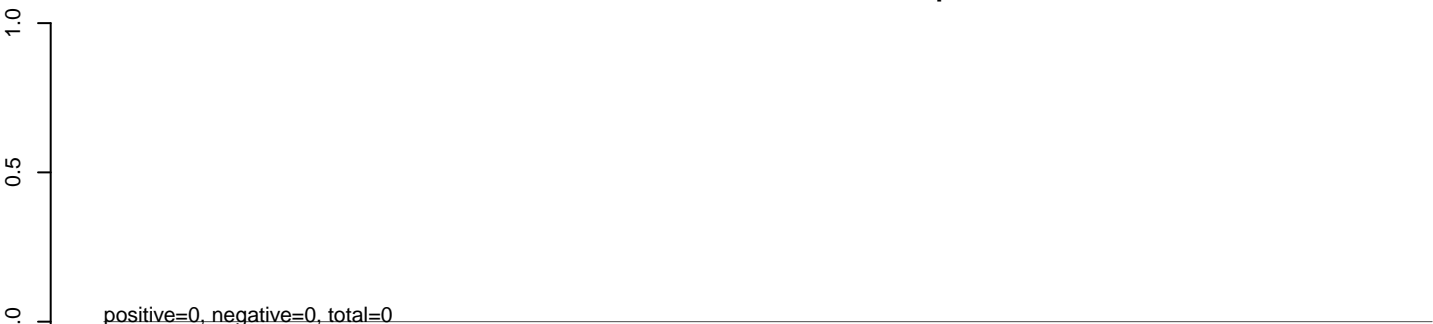
CuQuin_Mcarc_NL.rep



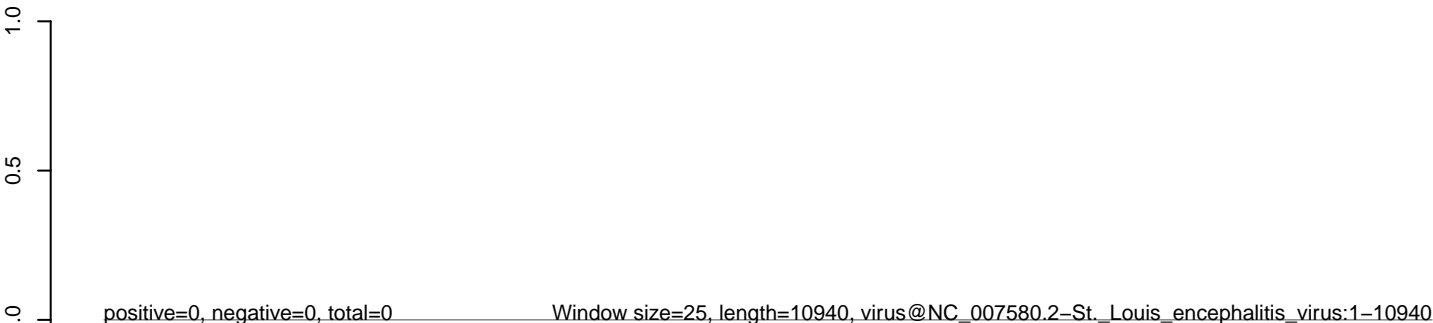
CuQuin_Mcarc_NL.18_23.rep



CuQuin_Mcarc_NL.24_35.rep



CuQuin_Mcarc_NL.rep



0 2000 4000 6000 8000 10000

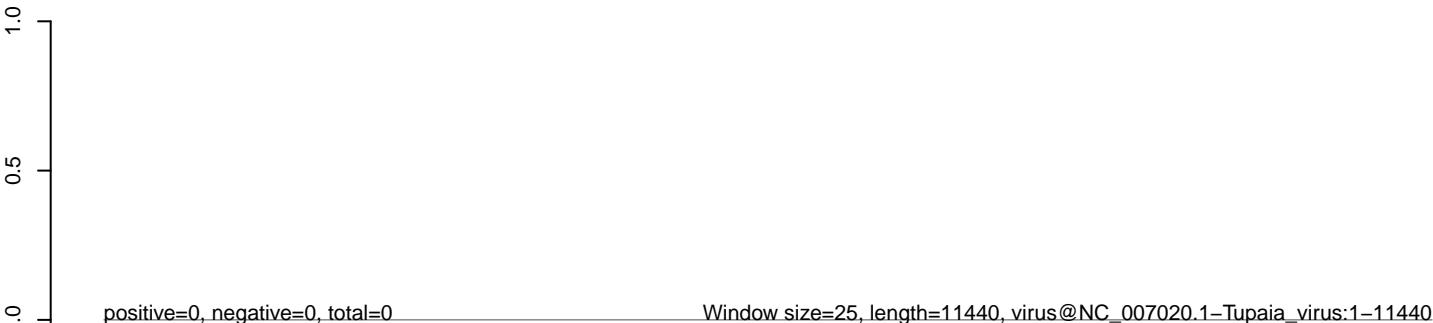
CuQuin_Mcarc_NL.18_23.rep



CuQuin_Mcarc_NL.24_35.rep



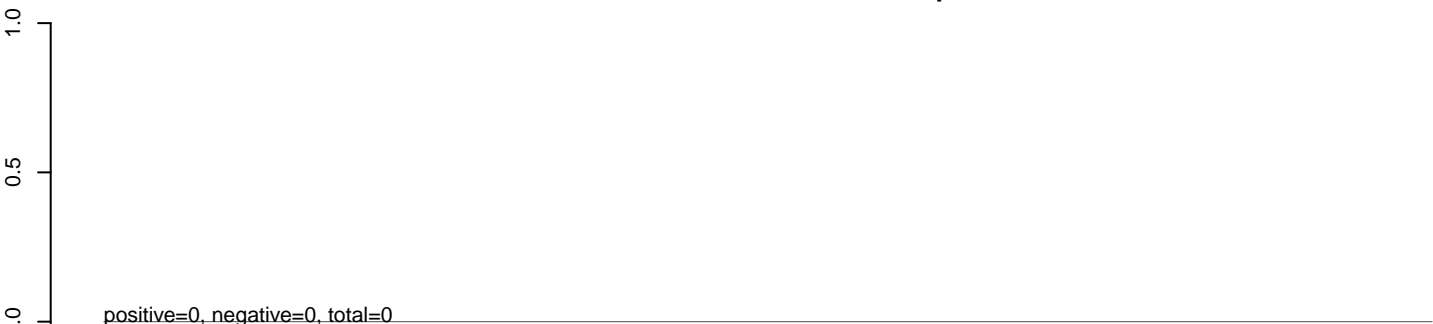
CuQuin_Mcarc_NL.rep



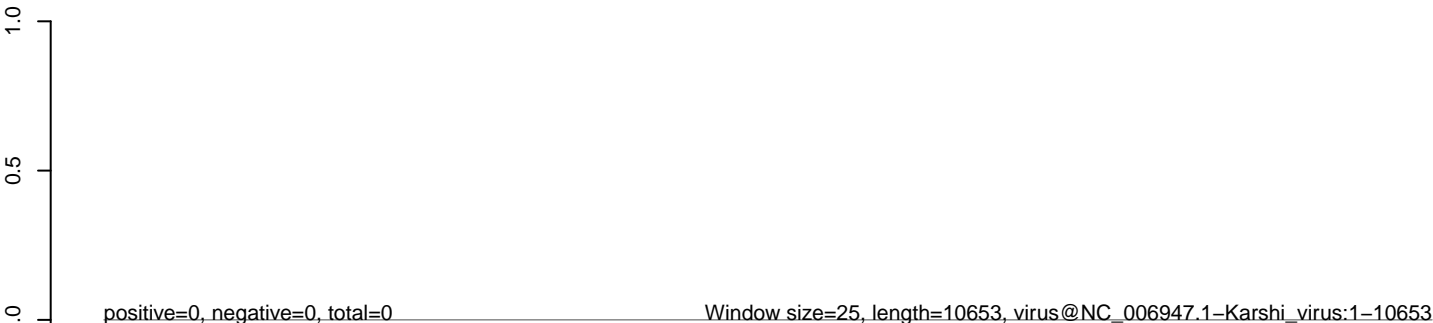
CuQuin_Mcarc_NL.18_23.rep



CuQuin_Mcarc_NL.24_35.rep



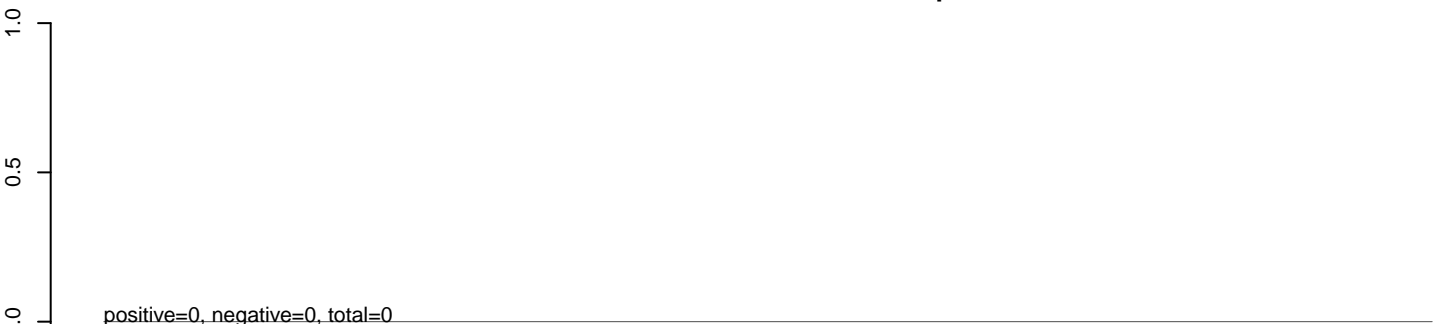
CuQuin_Mcarc_NL.rep



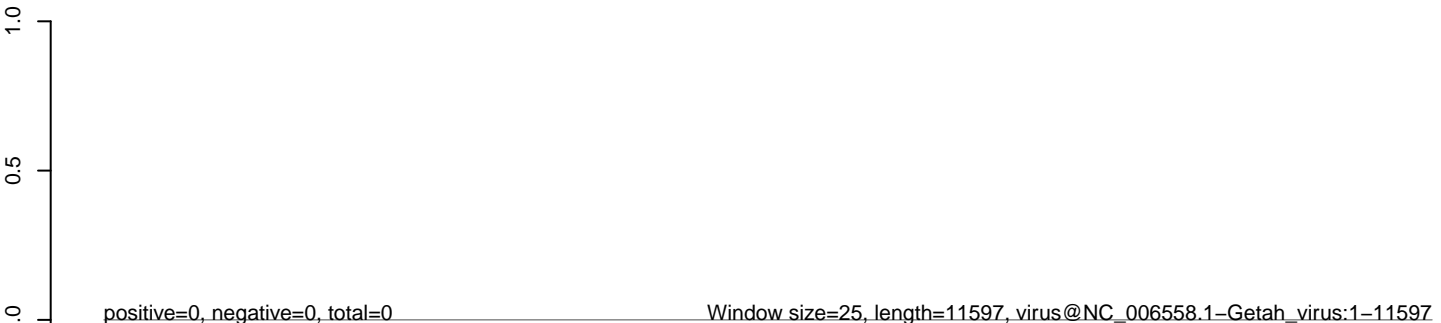
CuQuin_Mcarc_NL.18_23.rep



CuQuin_Mcarc_NL.24_35.rep



CuQuin_Mcarc_NL.rep

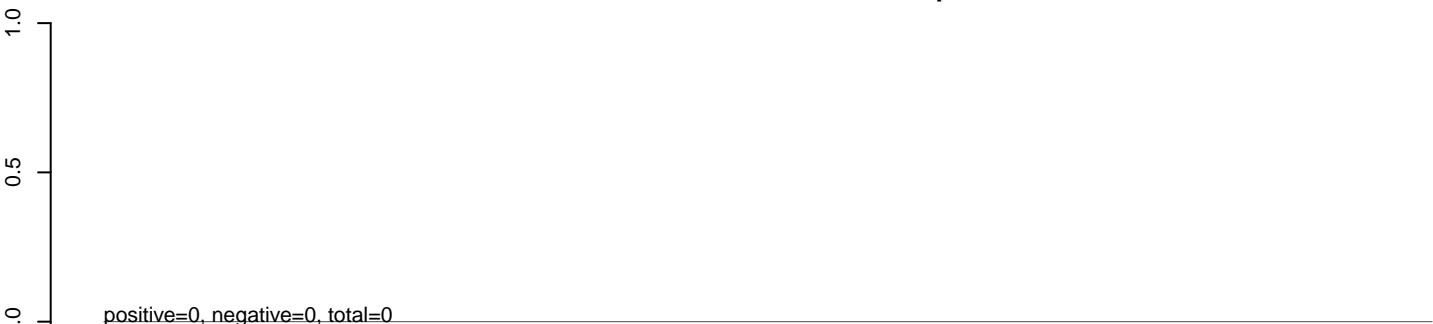


0 2000 4000 6000 8000 10000 12000

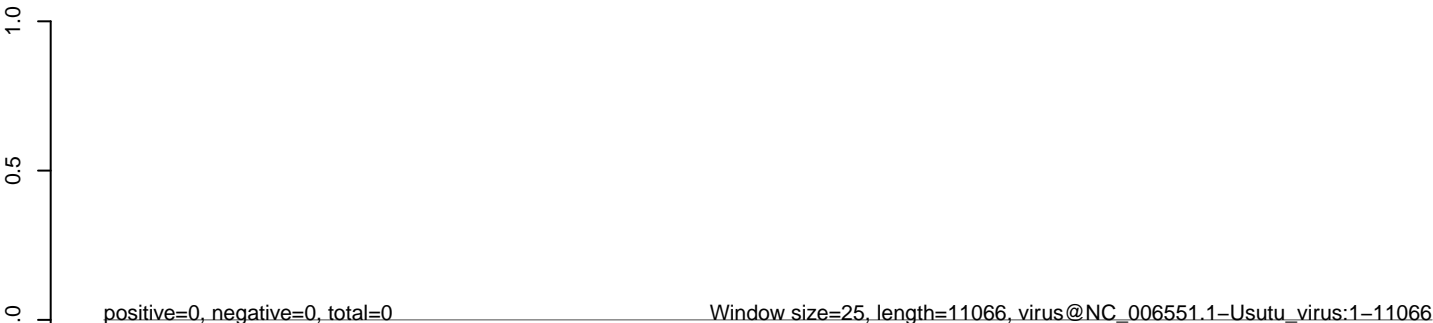
CuQuin_Mcarc_NL.18_23.rep



CuQuin_Mcarc_NL.24_35.rep



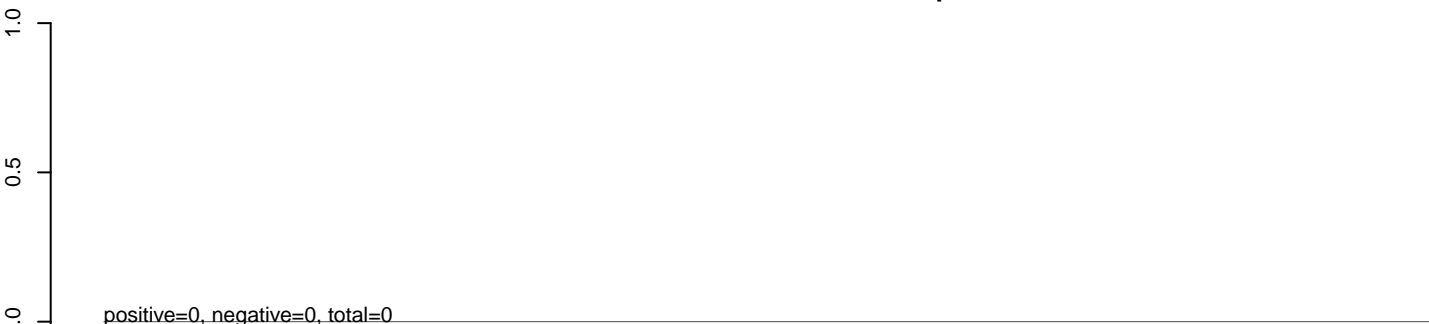
CuQuin_Mcarc_NL.rep



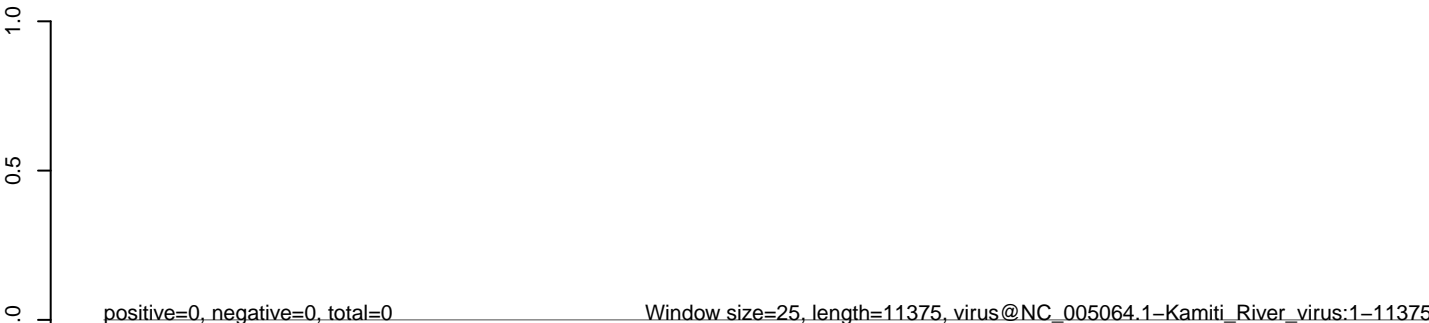
CuQuin_Mcarc_NL.18_23.rep



CuQuin_Mcarc_NL.24_35.rep



CuQuin_Mcarc_NL.rep



0 2000 4000 6000 8000 10000

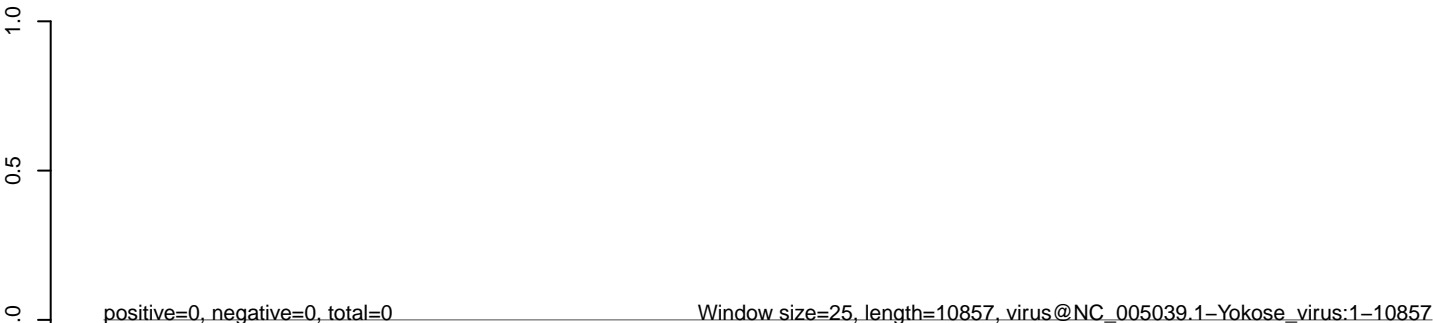
CuQuin_Mcarc_NL.18_23.rep



CuQuin_Mcarc_NL.24_35.rep



CuQuin_Mcarc_NL.rep

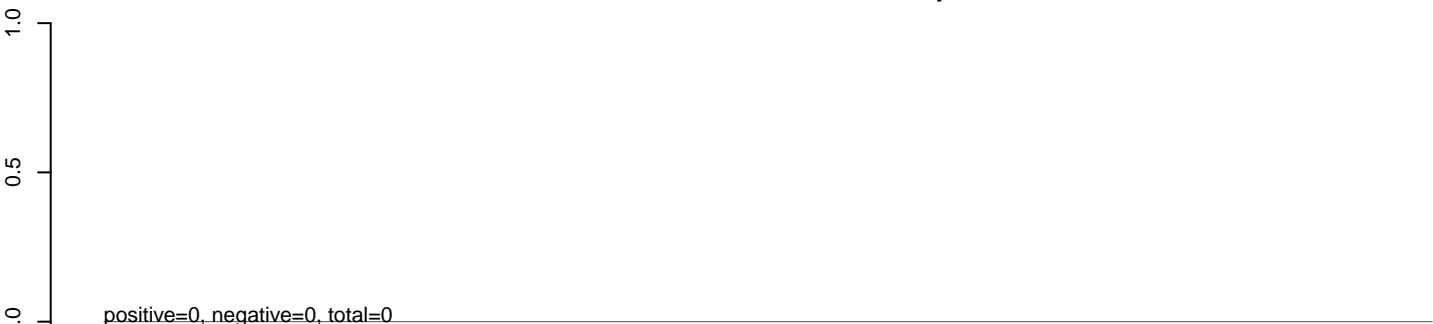


0 2000 4000 6000 8000 10000

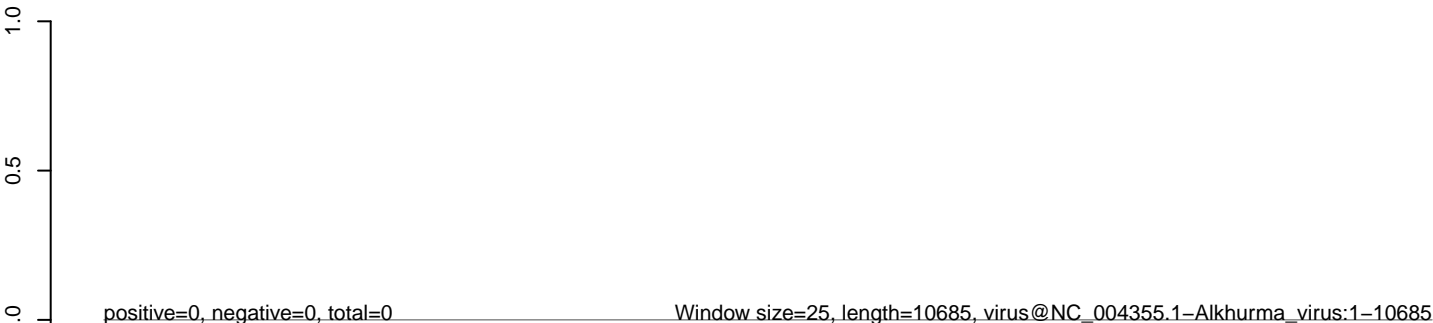
CuQuin_Mcarc_NL.18_23.rep



CuQuin_Mcarc_NL.24_35.rep



CuQuin_Mcarc_NL.rep

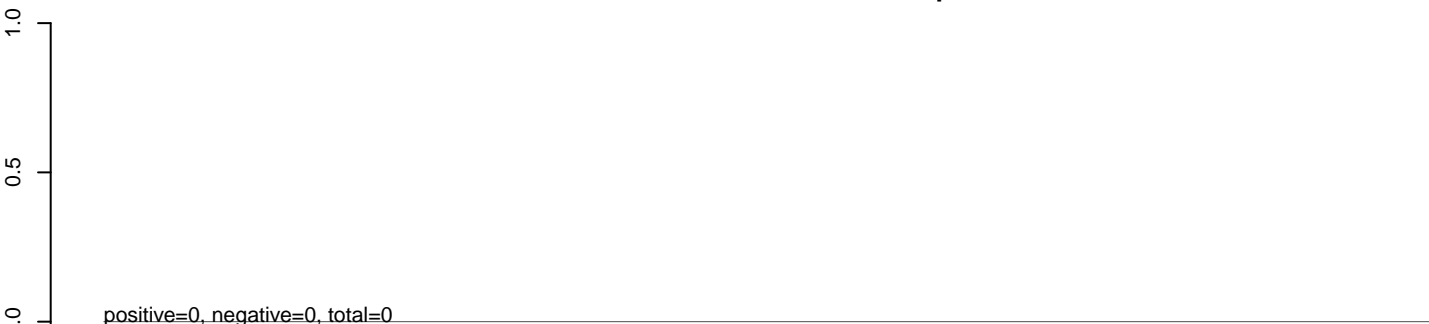


0 2000 4000 6000 8000 10000

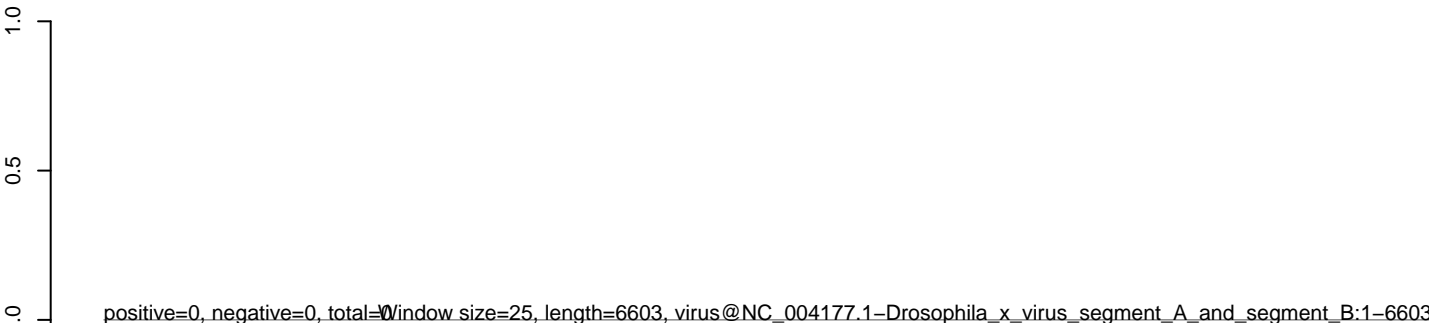
CuQuin_Mcarc_NL.18_23.rep



CuQuin_Mcarc_NL.24_35.rep



CuQuin_Mcarc_NL.rep

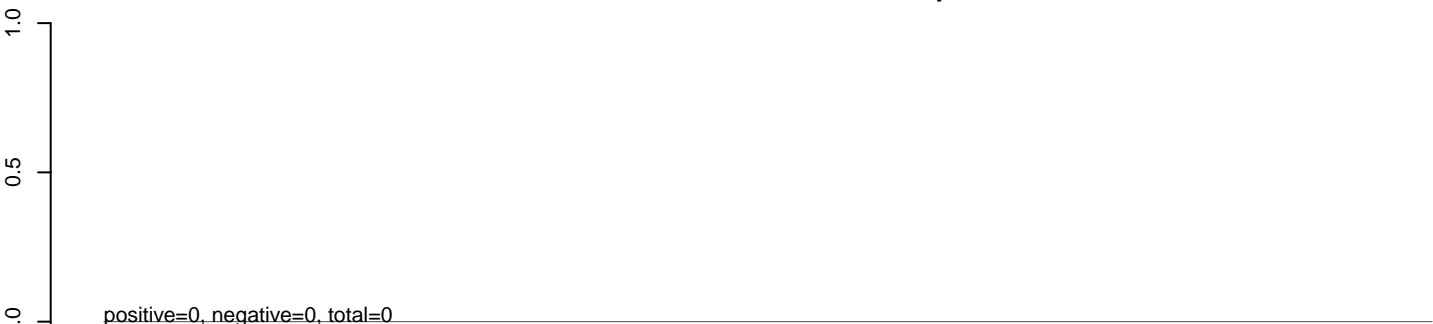


0 1000 2000 3000 4000 5000 6000

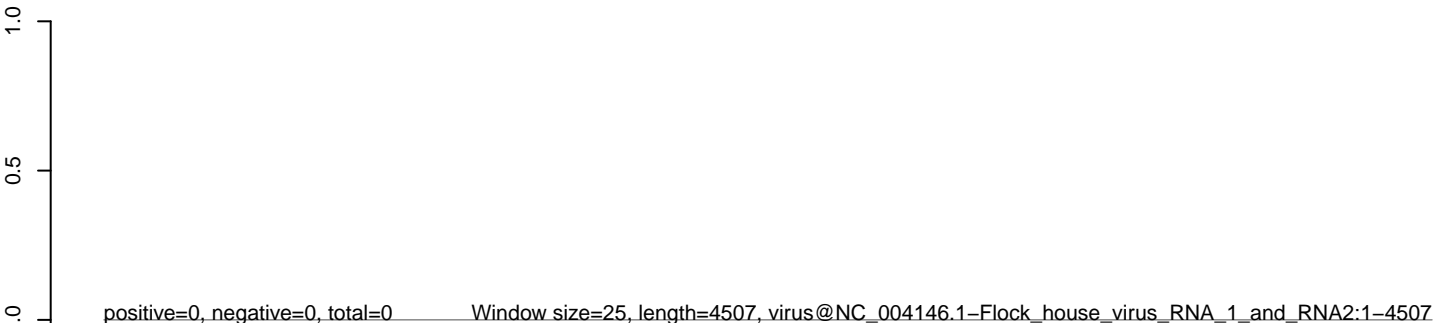
CuQuin_Mcarc_NL.18_23.rep



CuQuin_Mcarc_NL.24_35.rep



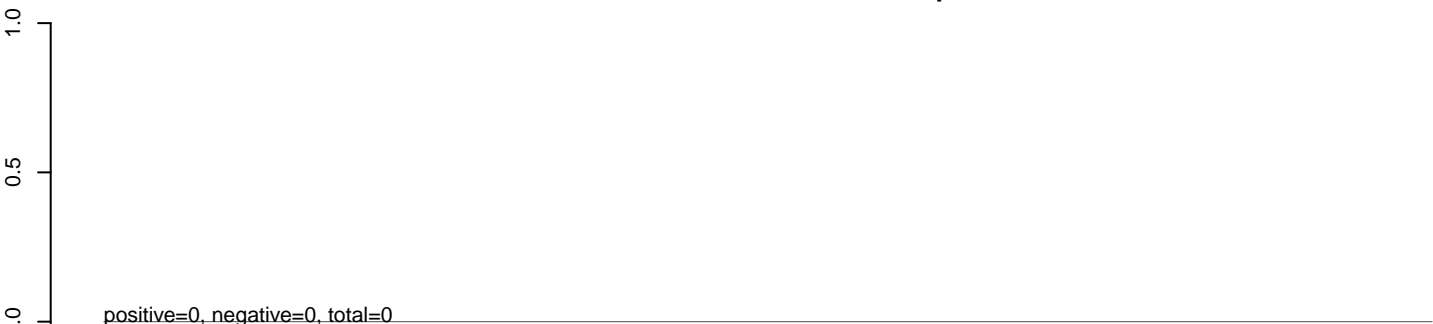
CuQuin_Mcarc_NL.rep



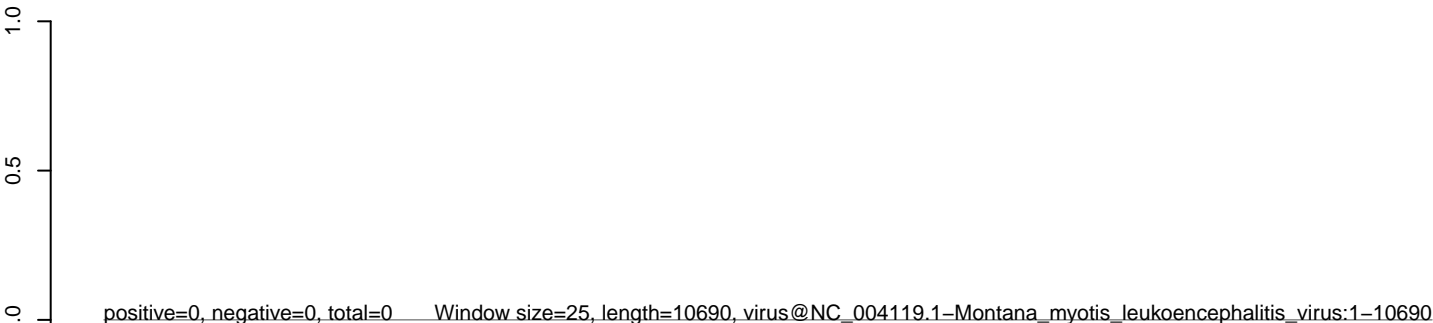
CuQuin_Mcarc_NL.18_23.rep



CuQuin_Mcarc_NL.24_35.rep



CuQuin_Mcarc_NL.rep

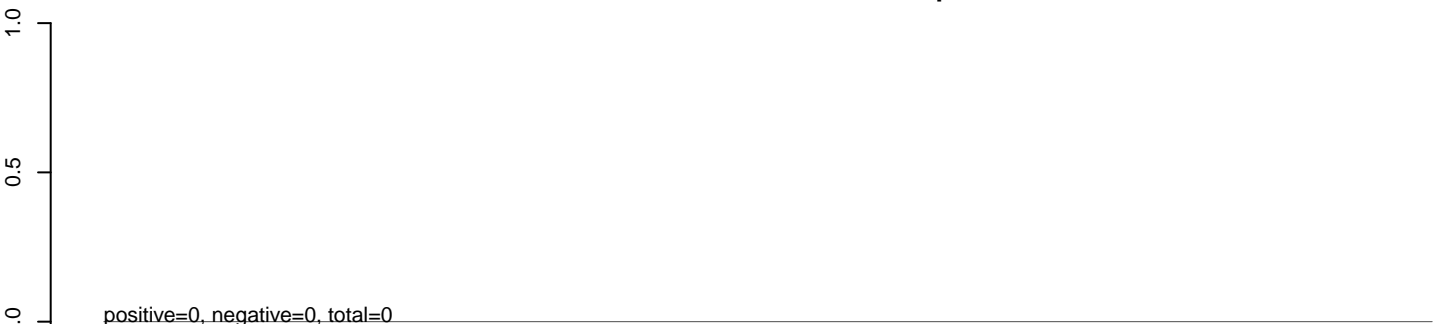


0 2000 4000 6000 8000 10000

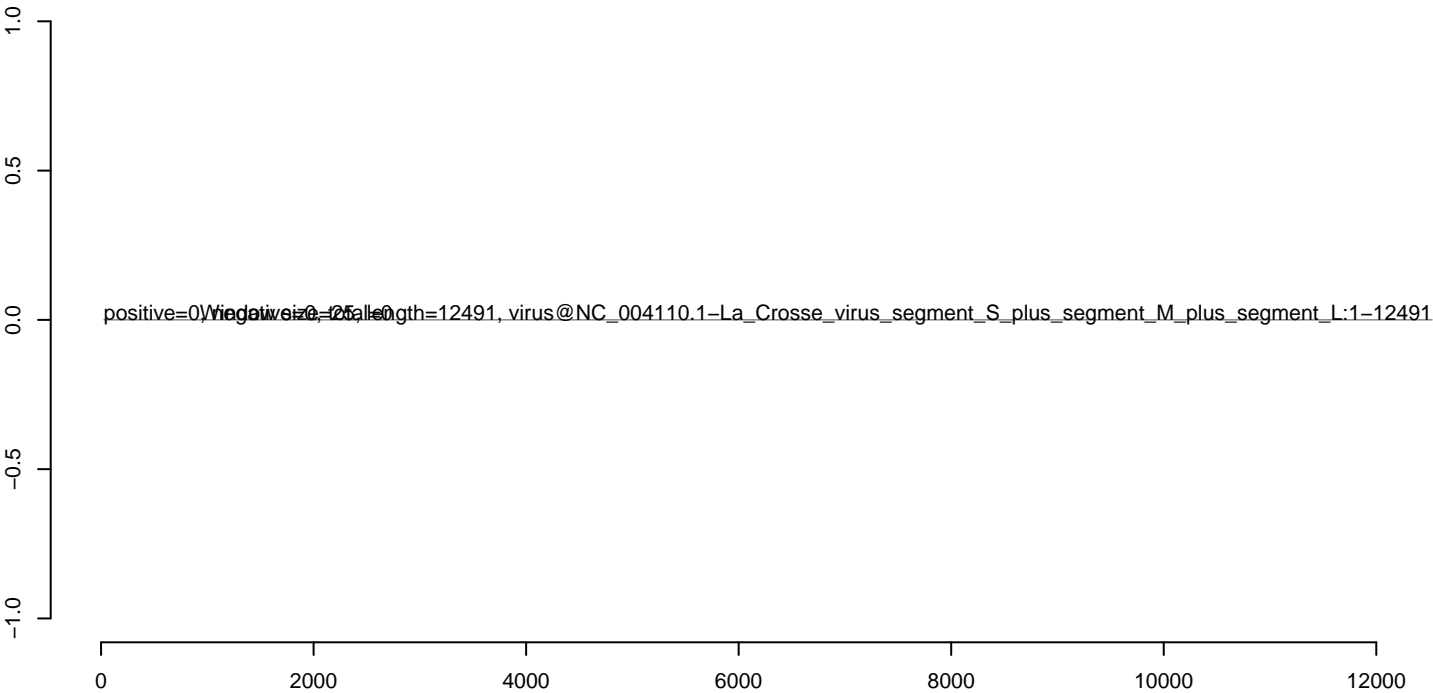
CuQuin_Mcarc_NL.18_23.rep



CuQuin_Mcarc_NL.24_35.rep



CuQuin_Mcarc_NL.rep



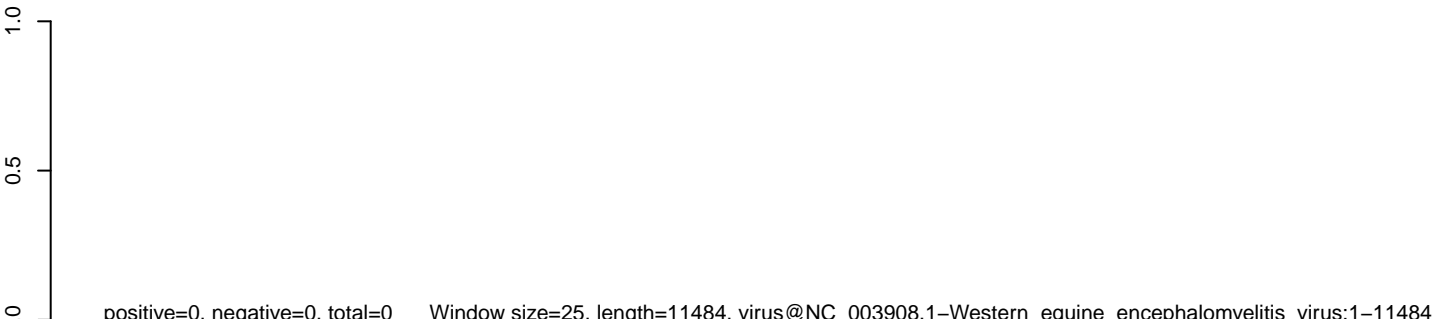
CuQuin_Mcarc_NL.18_23.rep



CuQuin_Mcarc_NL.24_35.rep



CuQuin_Mcarc_NL.rep

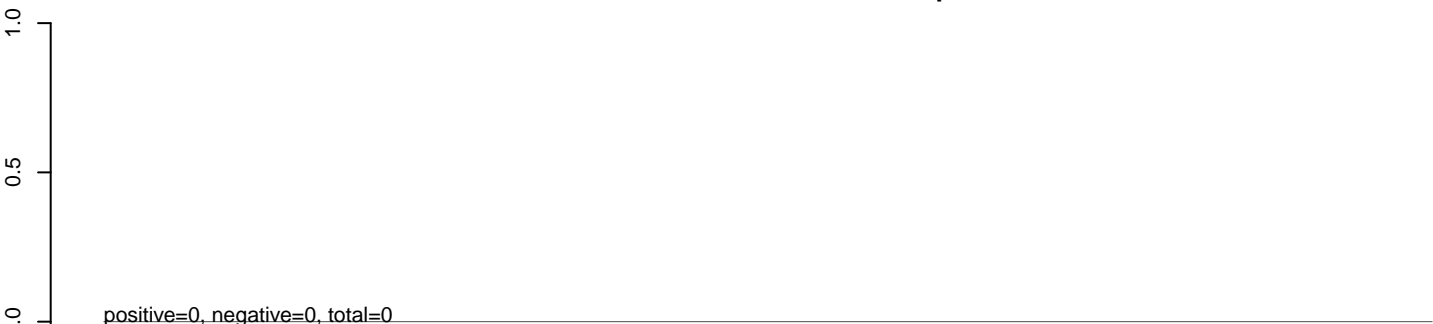


0 2000 4000 6000 8000 10000

CuQuin_Mcarc_NL.18_23.rep



CuQuin_Mcarc_NL.24_35.rep



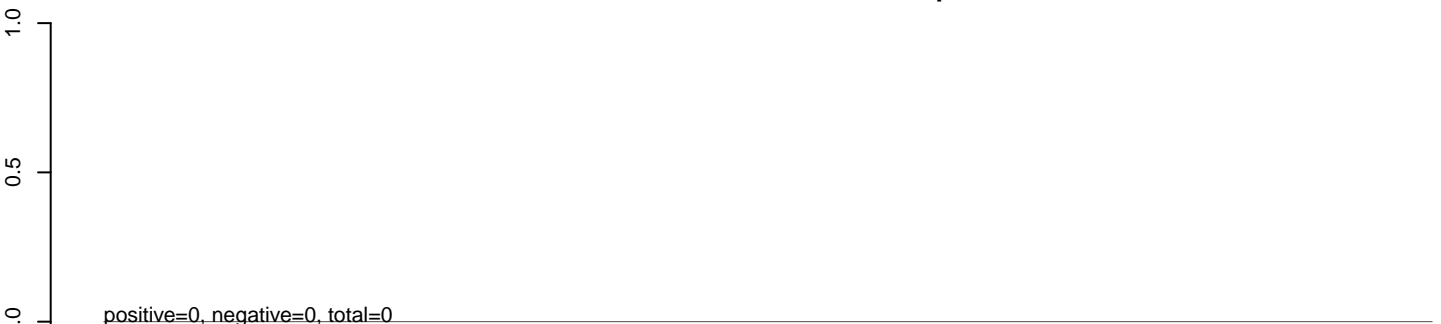
CuQuin_Mcarc_NL.rep



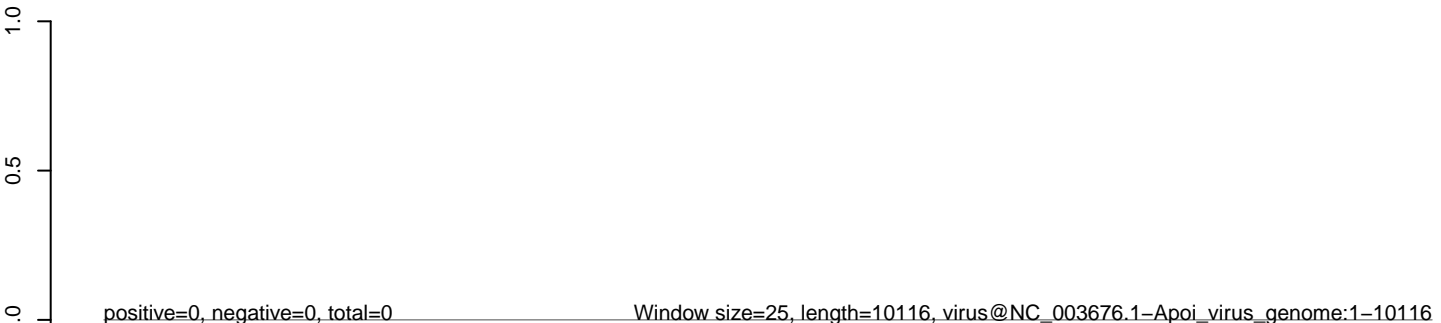
CuQuin_Mcarc_NL.18_23.rep



CuQuin_Mcarc_NL.24_35.rep



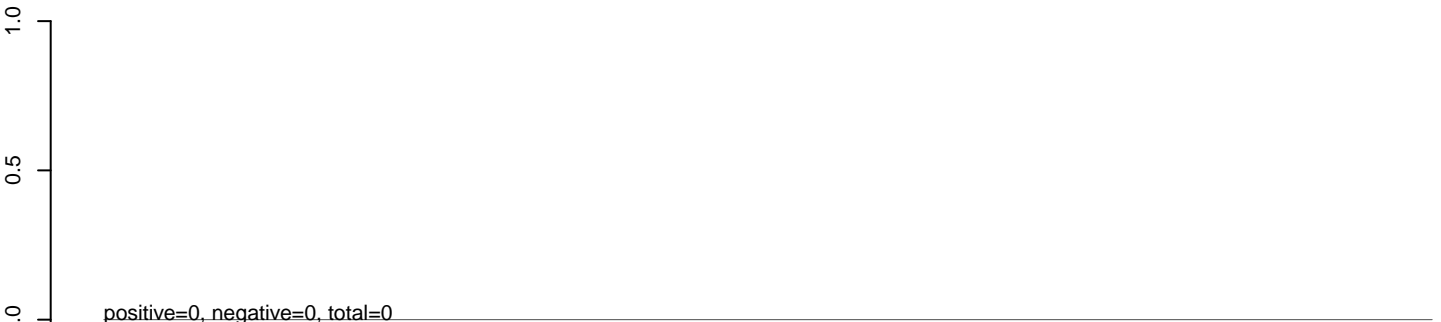
CuQuin_Mcarc_NL.rep



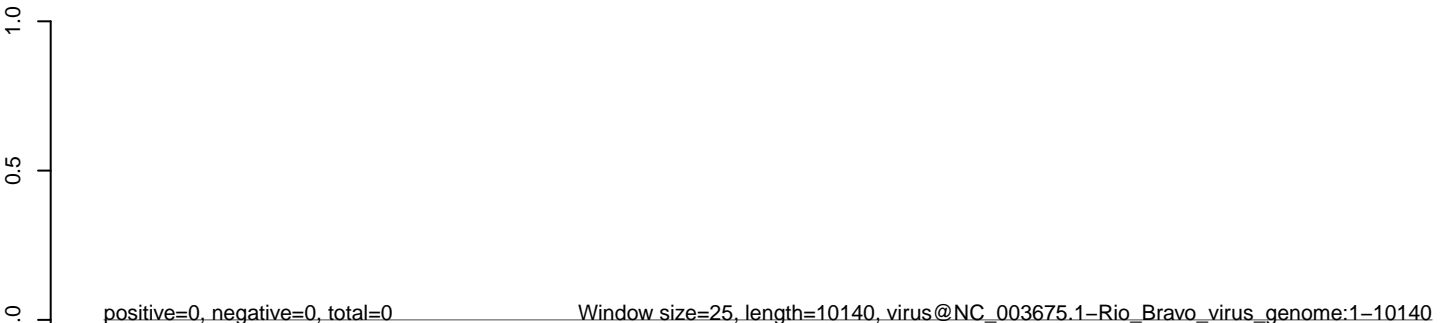
CuQuin_Mcarc_NL.18_23.rep



CuQuin_Mcarc_NL.24_35.rep



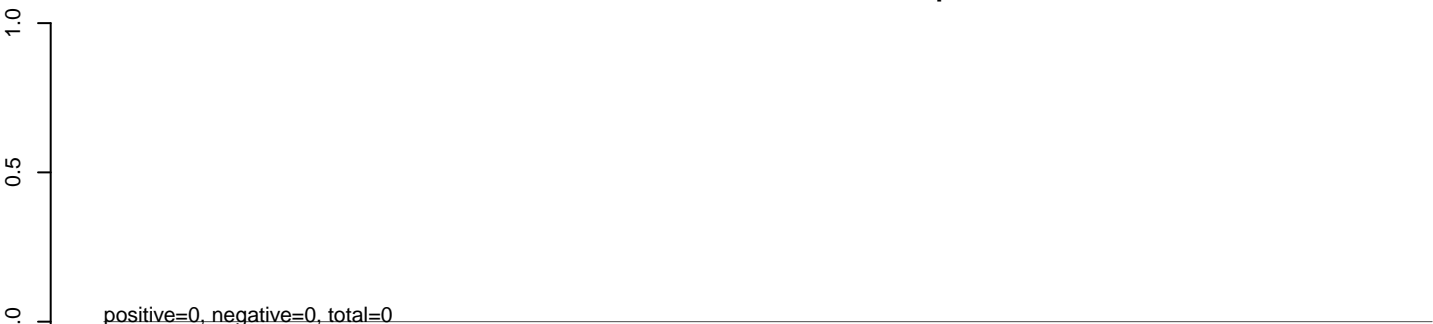
CuQuin_Mcarc_NL.rep



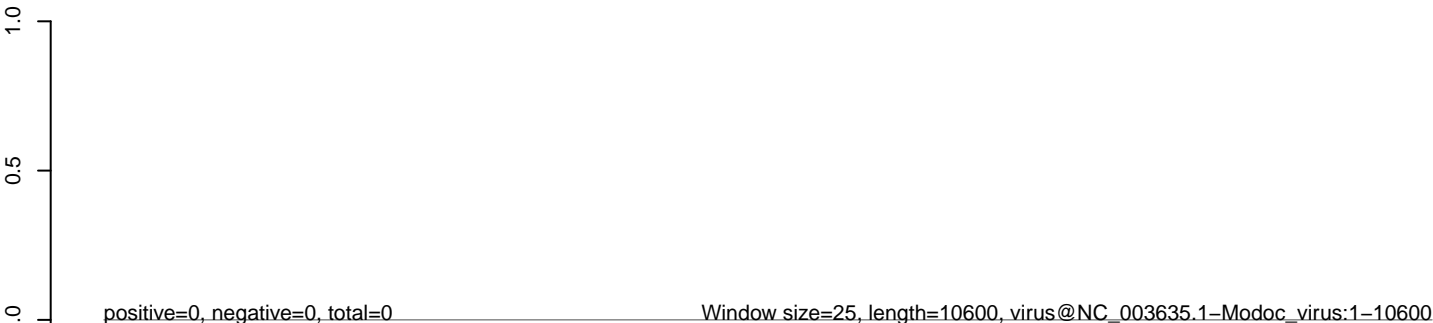
CuQuin_Mcarc_NL.18_23.rep



CuQuin_Mcarc_NL.24_35.rep



CuQuin_Mcarc_NL.rep



0 2000 4000 6000 8000 10000

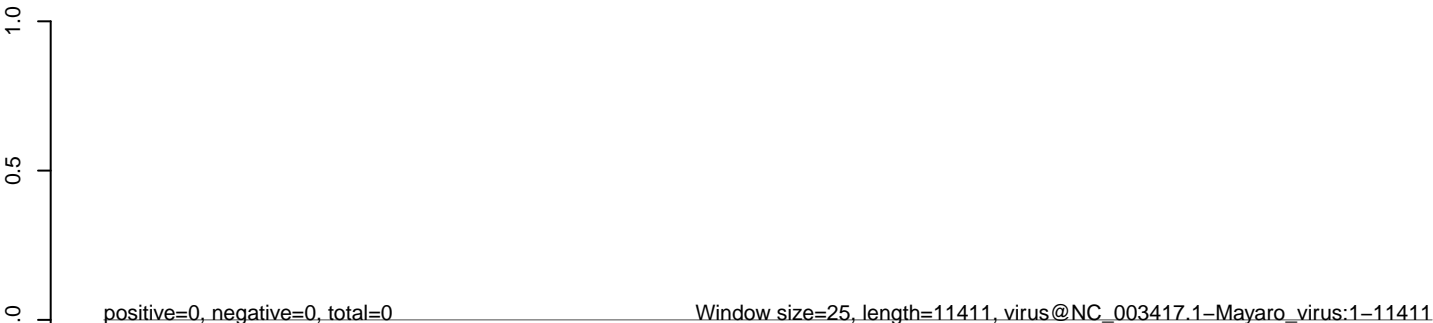
CuQuin_Mcarc_NL.18_23.rep



CuQuin_Mcarc_NL.24_35.rep



CuQuin_Mcarc_NL.rep



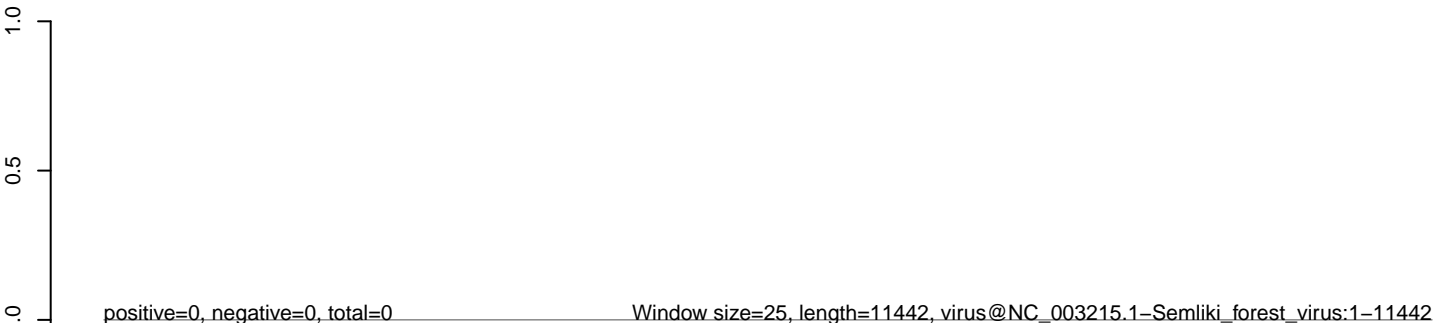
CuQuin_Mcarc_NL.18_23.rep



CuQuin_Mcarc_NL.24_35.rep



CuQuin_Mcarc_NL.rep

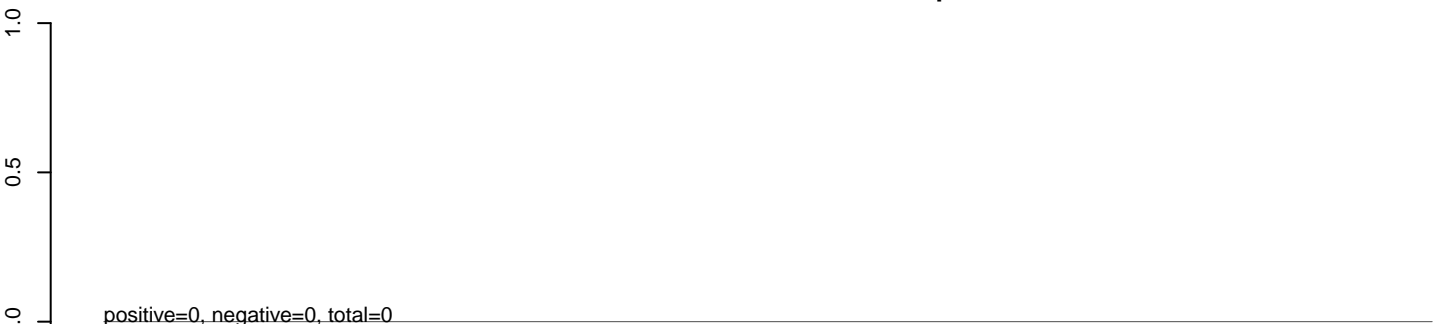


0 2000 4000 6000 8000 10000

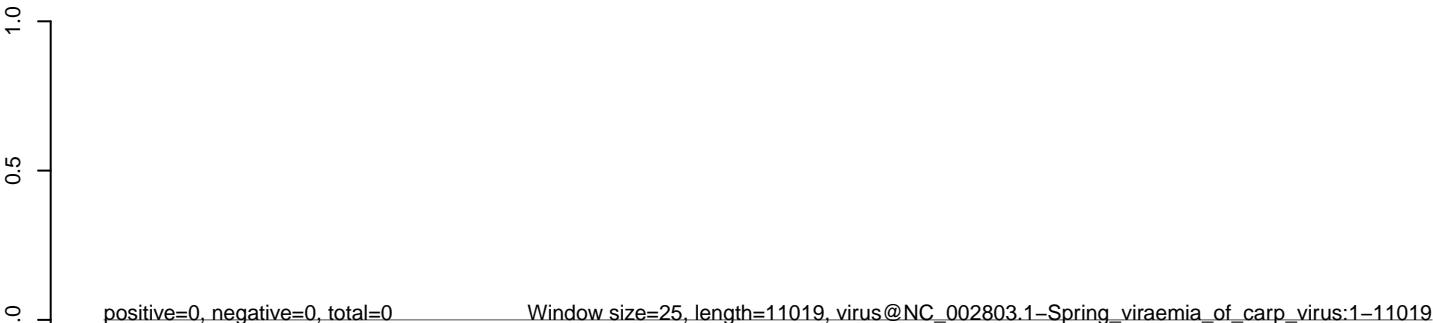
CuQuin_Mcarc_NL.18_23.rep



CuQuin_Mcarc_NL.24_35.rep



CuQuin_Mcarc_NL.rep



0 2000 4000 6000 8000 10000

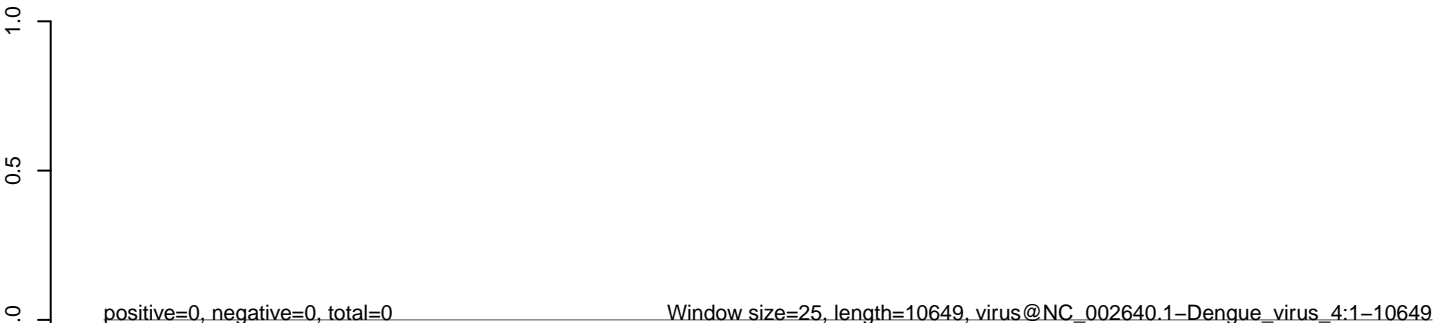
CuQuin_Mcarc_NL.18_23.rep



CuQuin_Mcarc_NL.24_35.rep



CuQuin_Mcarc_NL.rep



0 2000 4000 6000 8000 10000

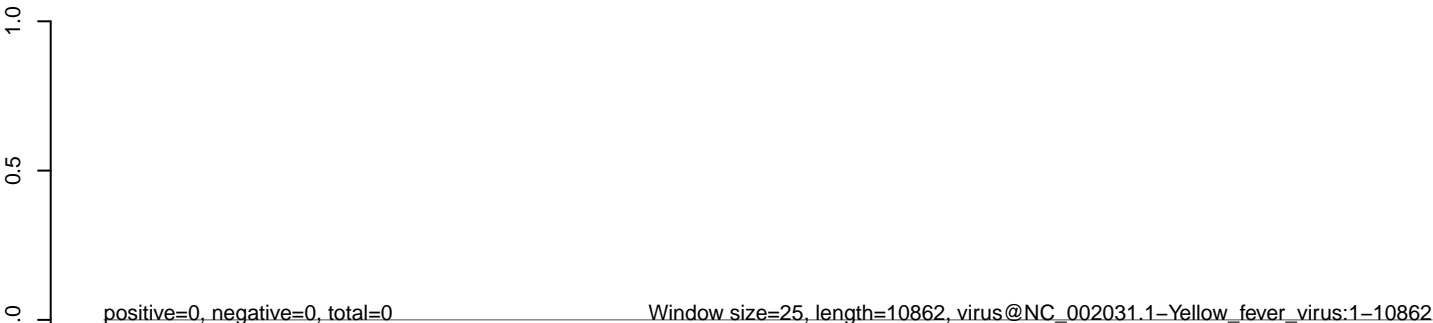
CuQuin_Mcarc_NL.18_23.rep



CuQuin_Mcarc_NL.24_35.rep



CuQuin_Mcarc_NL.rep



0 2000 4000 6000 8000 10000

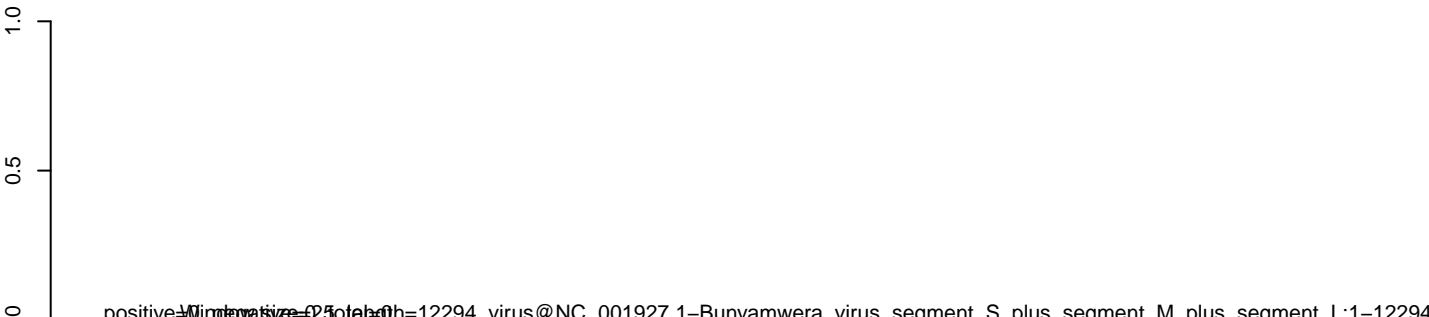
CuQuin_Mcarc_NL.18_23.rep



CuQuin_Mcarc_NL.24_35.rep



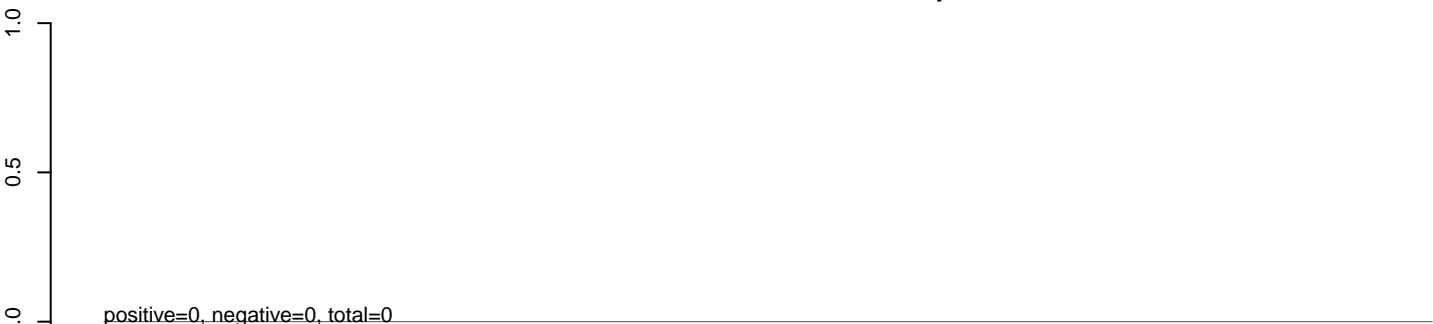
CuQuin_Mcarc_NL.rep



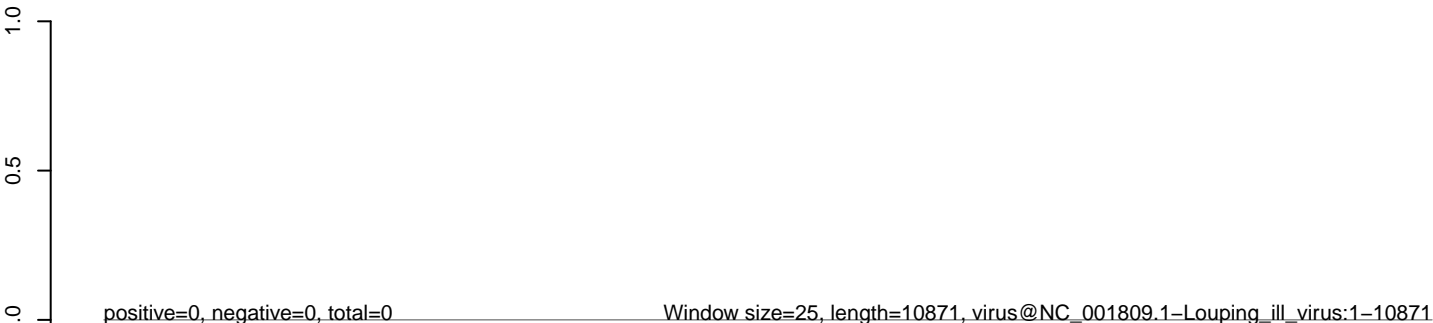
CuQuin_Mcarc_NL.18_23.rep



CuQuin_Mcarc_NL.24_35.rep



CuQuin_Mcarc_NL.rep

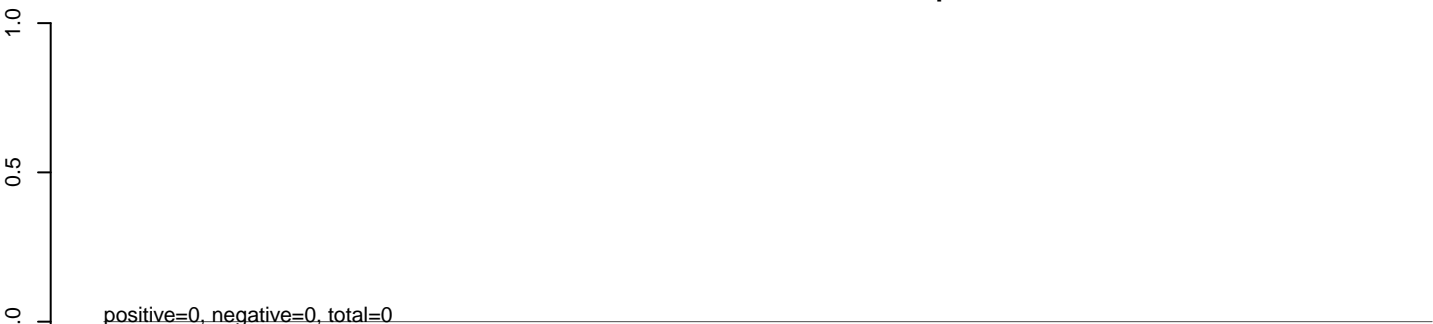


0 2000 4000 6000 8000 10000

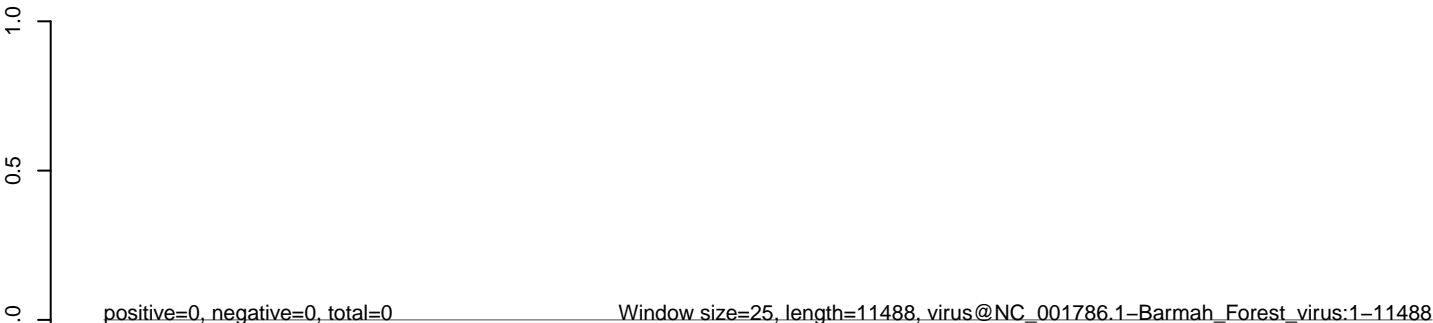
CuQuin_Mcarc_NL.18_23.rep



CuQuin_Mcarc_NL.24_35.rep



CuQuin_Mcarc_NL.rep

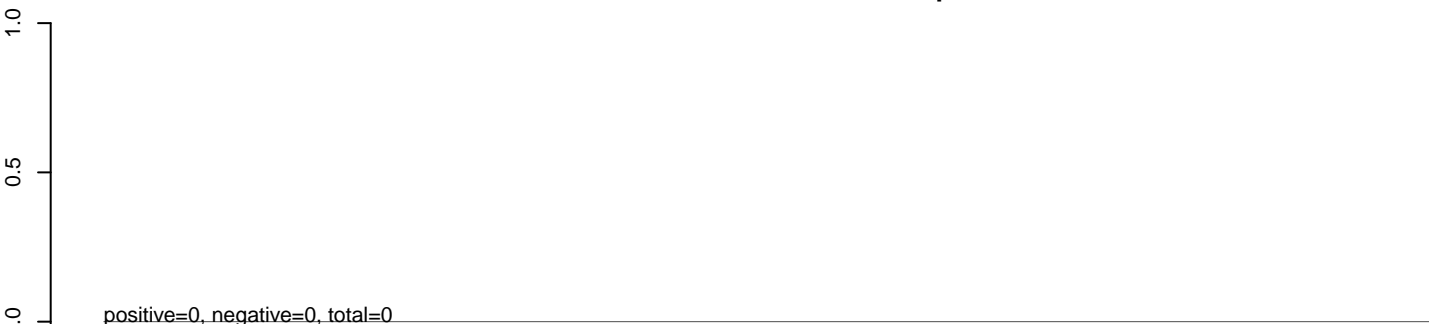


0 2000 4000 6000 8000 10000

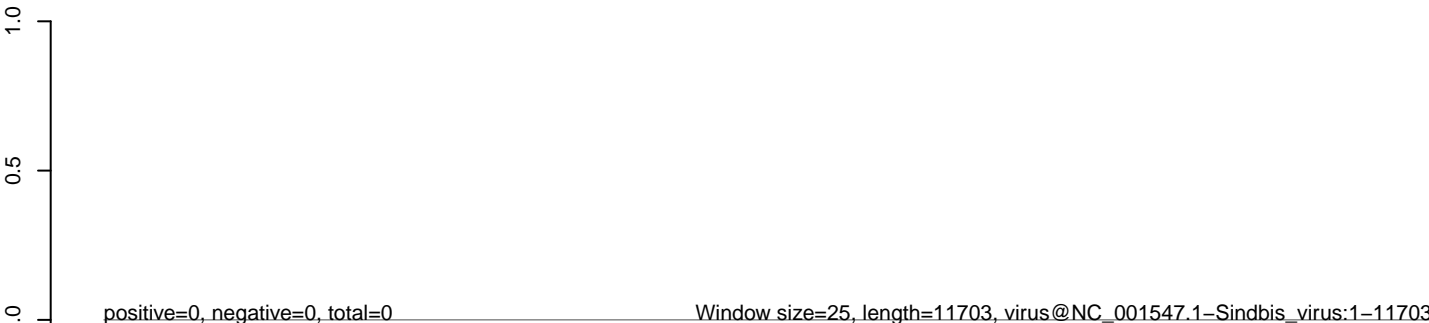
CuQuin_Mcarc_NL.18_23.rep



CuQuin_Mcarc_NL.24_35.rep



CuQuin_Mcarc_NL.rep

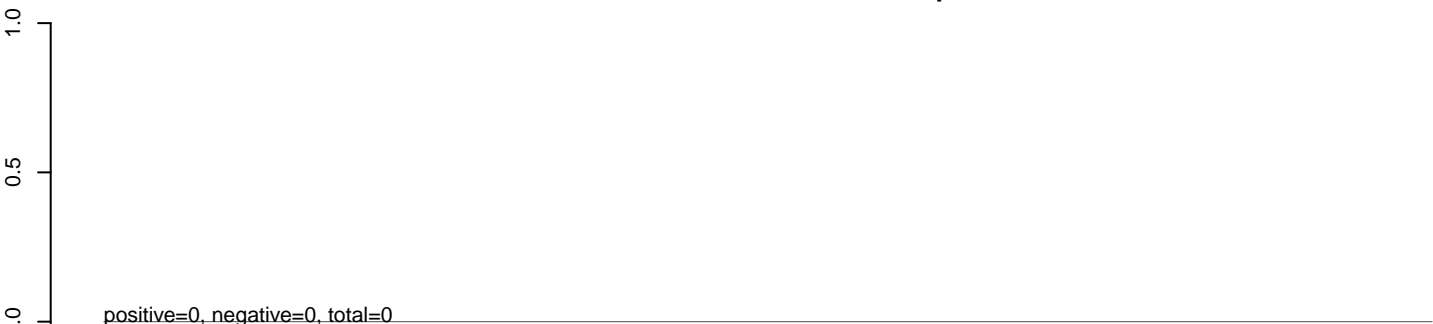


0 2000 4000 6000 8000 10000 12000

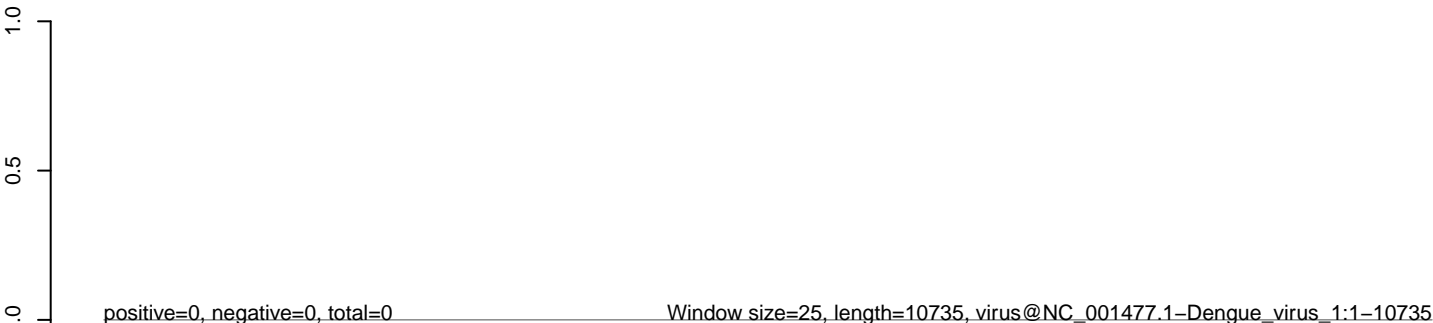
CuQuin_Mcarc_NL.18_23.rep



CuQuin_Mcarc_NL.24_35.rep



CuQuin_Mcarc_NL.rep



0 2000 4000 6000 8000 10000

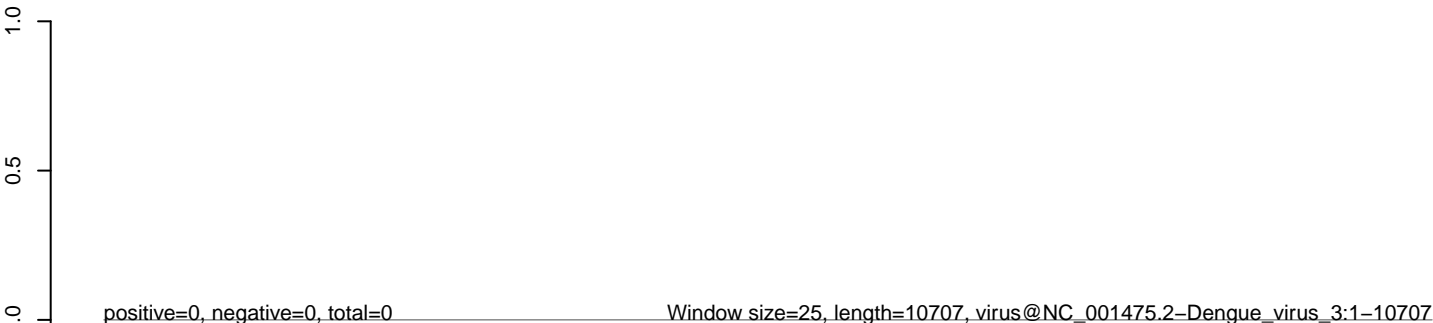
CuQuin_Mcarc_NL.18_23.rep



CuQuin_Mcarc_NL.24_35.rep



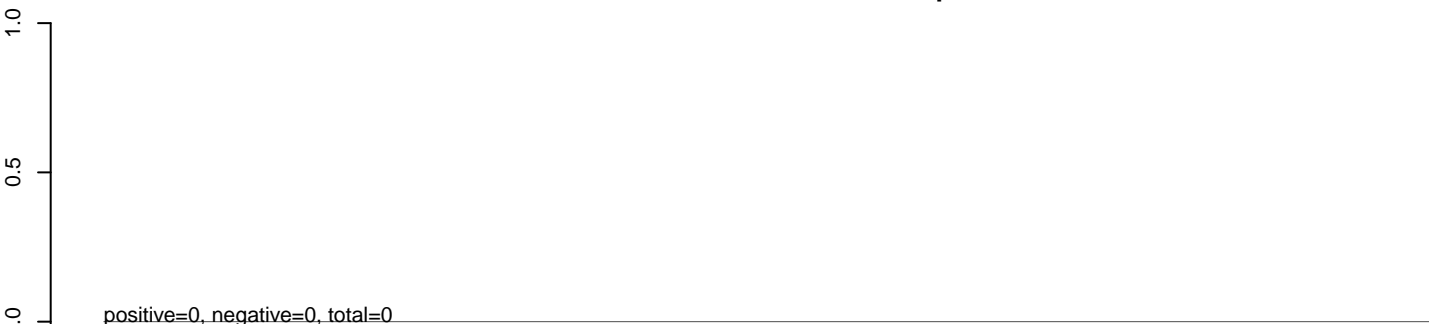
CuQuin_Mcarc_NL.rep



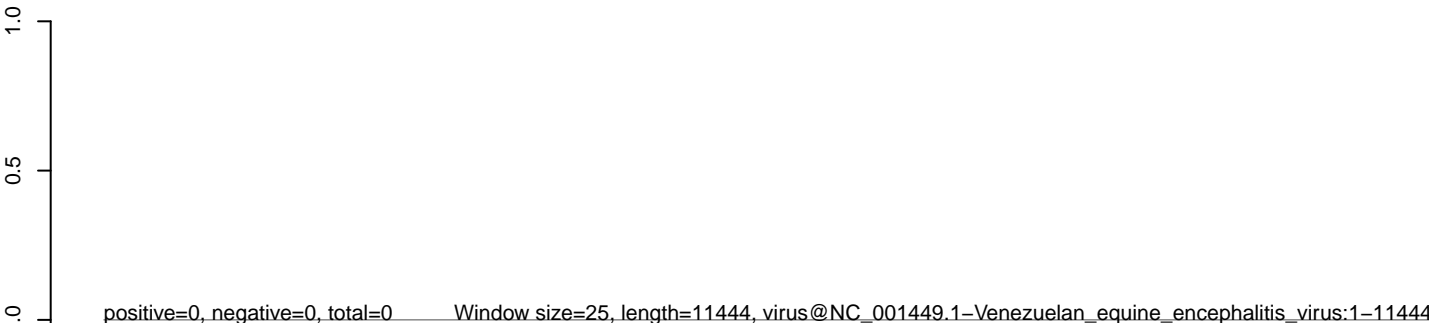
CuQuin_Mcarc_NL.18_23.rep



CuQuin_Mcarc_NL.24_35.rep



CuQuin_Mcarc_NL.rep

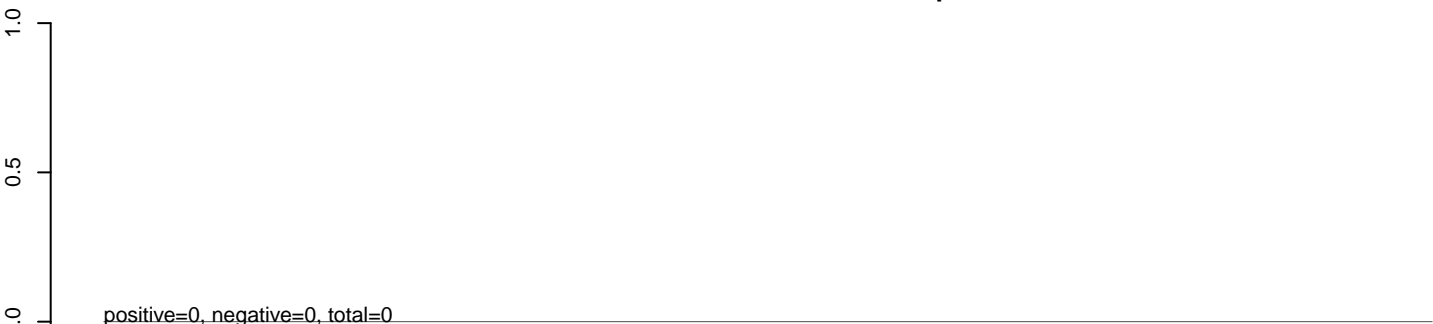


0 2000 4000 6000 8000 10000

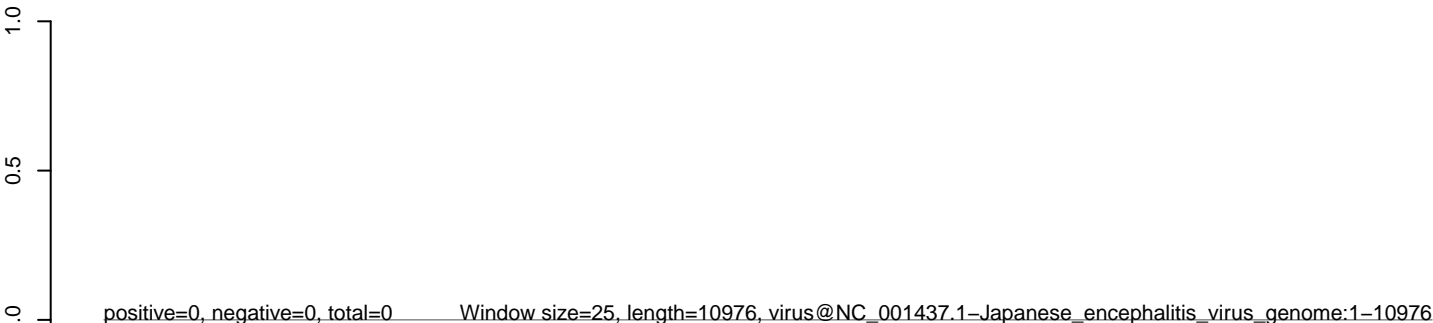
CuQuin_Mcarc_NL.18_23.rep



CuQuin_Mcarc_NL.24_35.rep

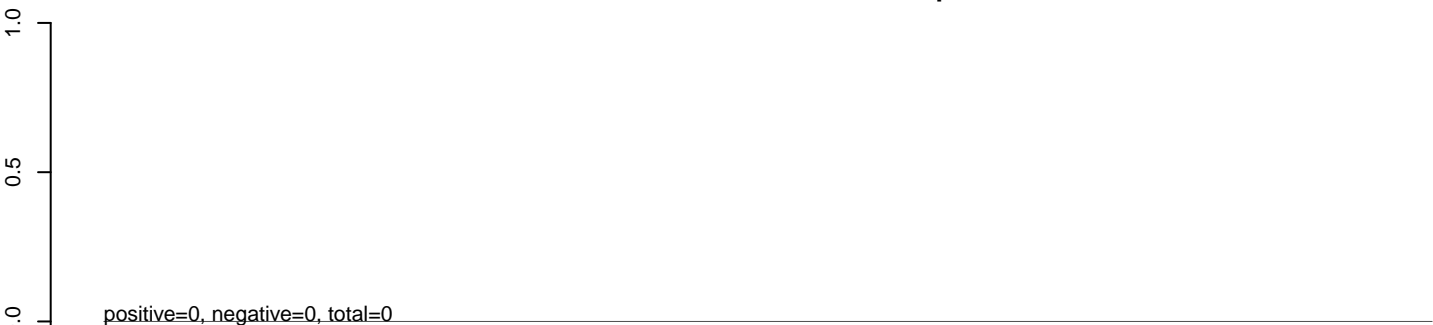


CuQuin_Mcarc_NL.rep

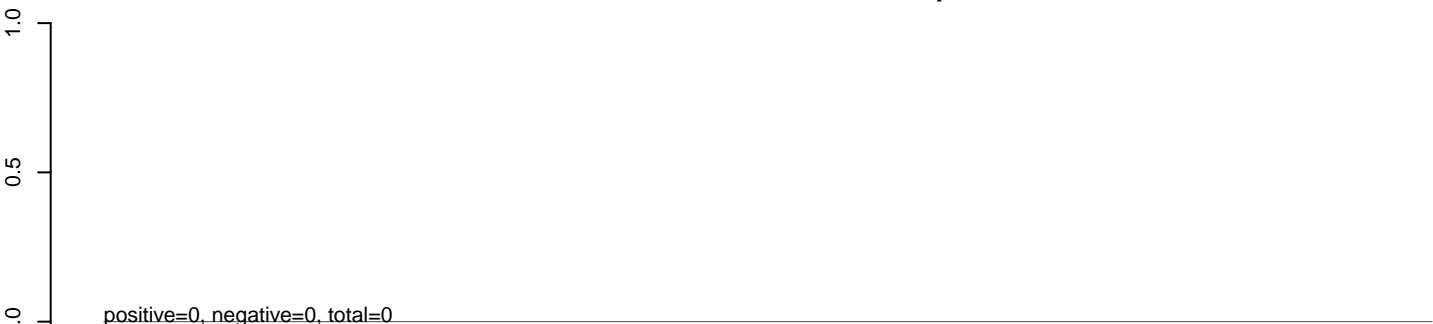


0 2000 4000 6000 8000 10000

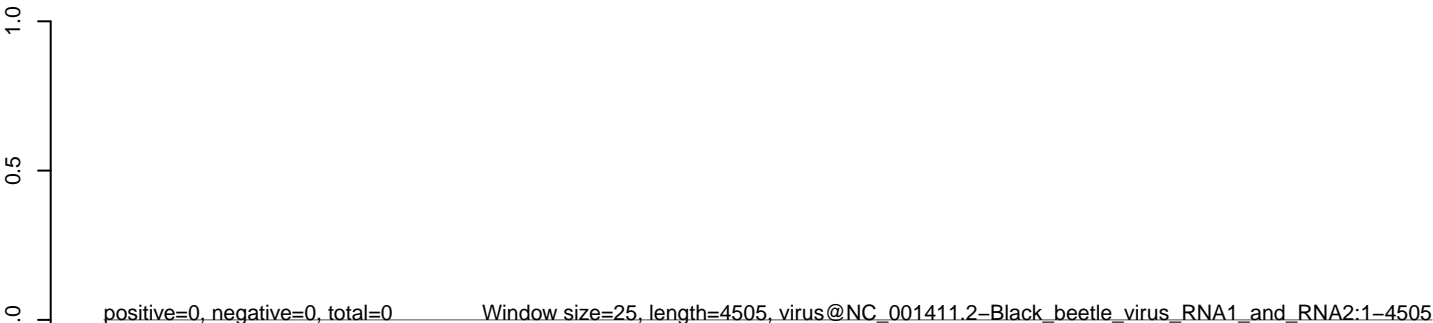
CuQuin_Mcarc_NL.18_23.rep



CuQuin_Mcarc_NL.24_35.rep



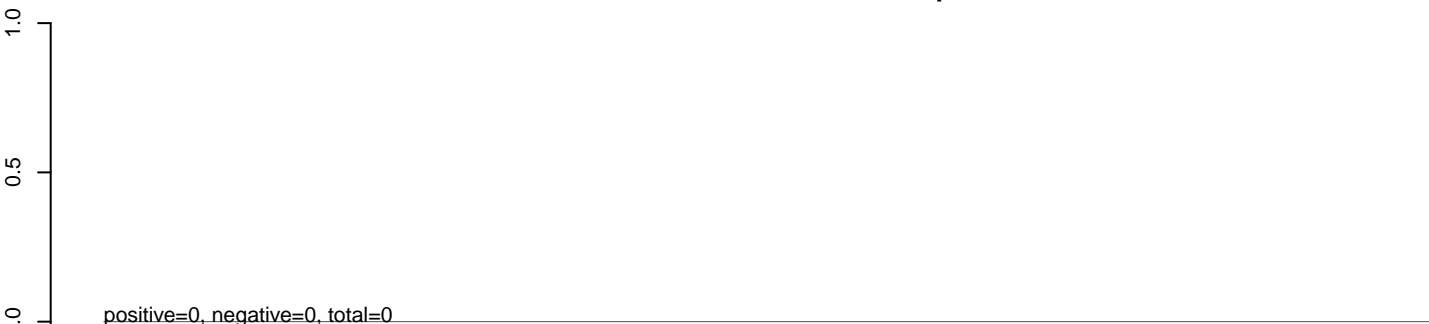
CuQuin_Mcarc_NL.rep



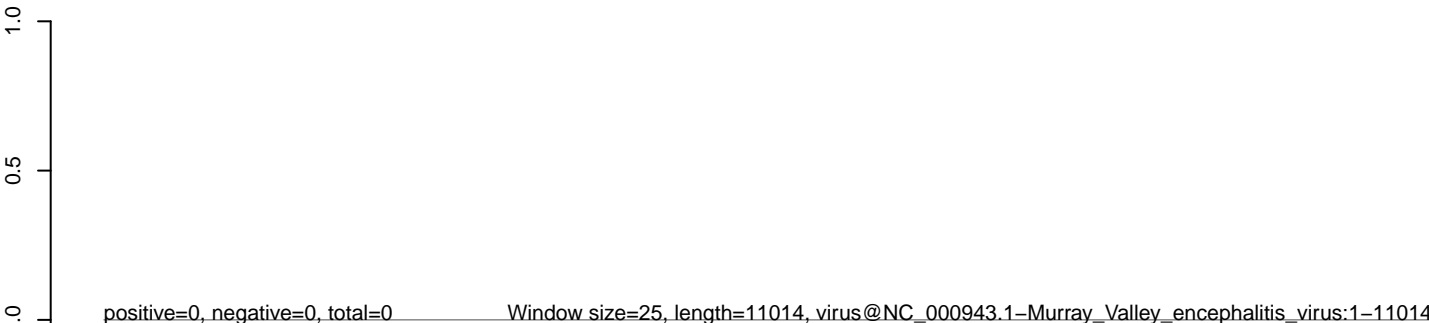
CuQuin_Mcarc_NL.18_23.rep



CuQuin_Mcarc_NL.24_35.rep



CuQuin_Mcarc_NL.rep

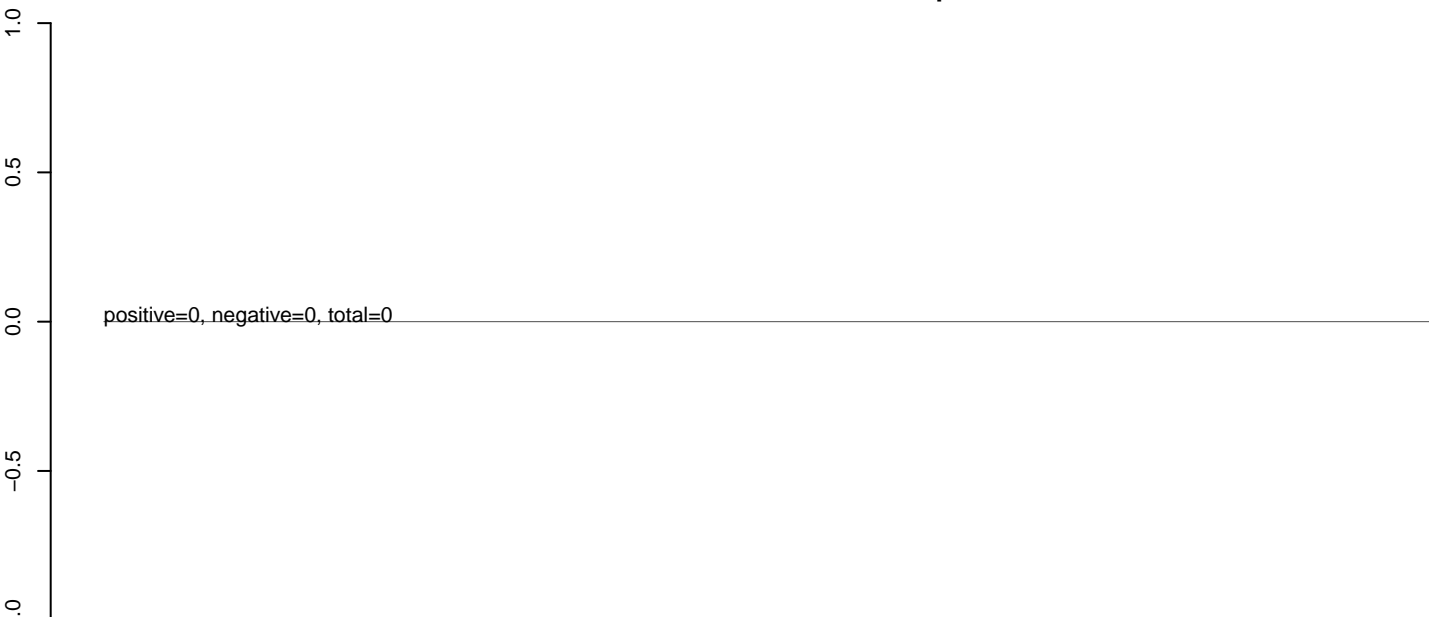


0 2000 4000 6000 8000 10000

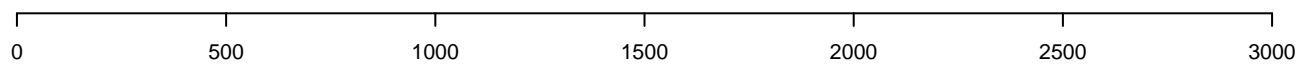
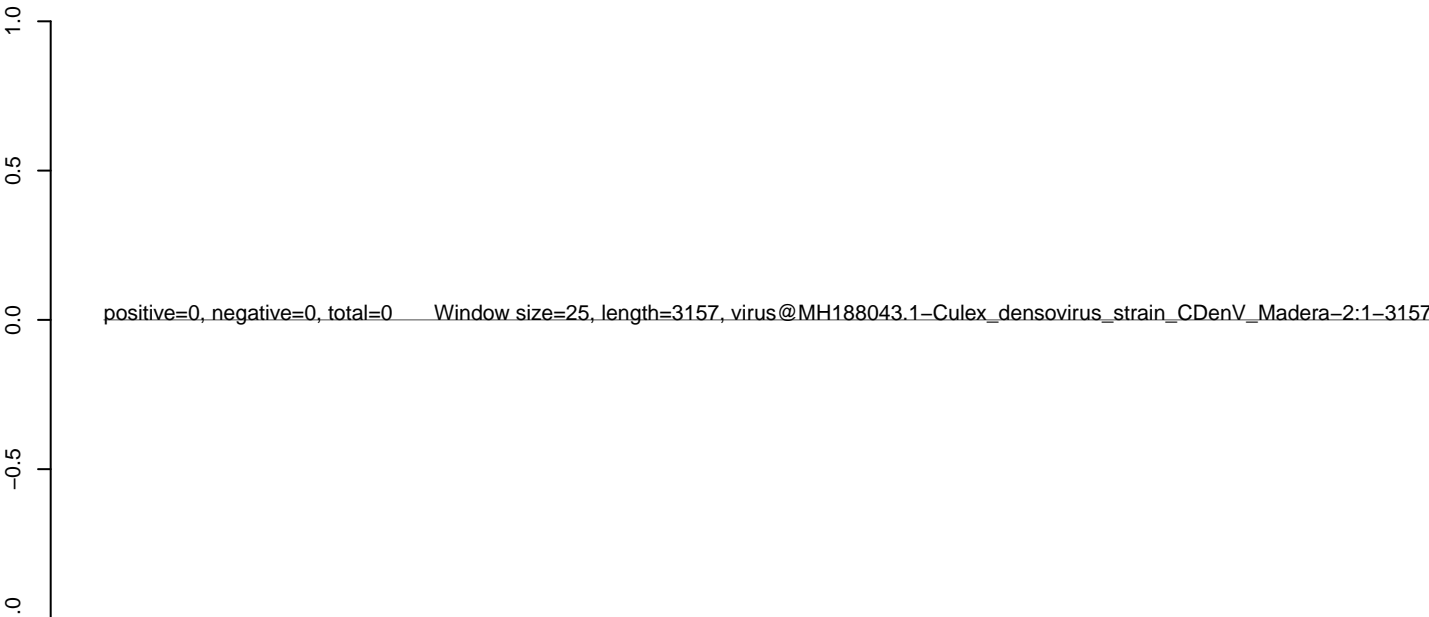
CuQuin_Mcarc_NL.18_23.rep



CuQuin_Mcarc_NL.24_35.rep



CuQuin_Mcarc_NL.rep



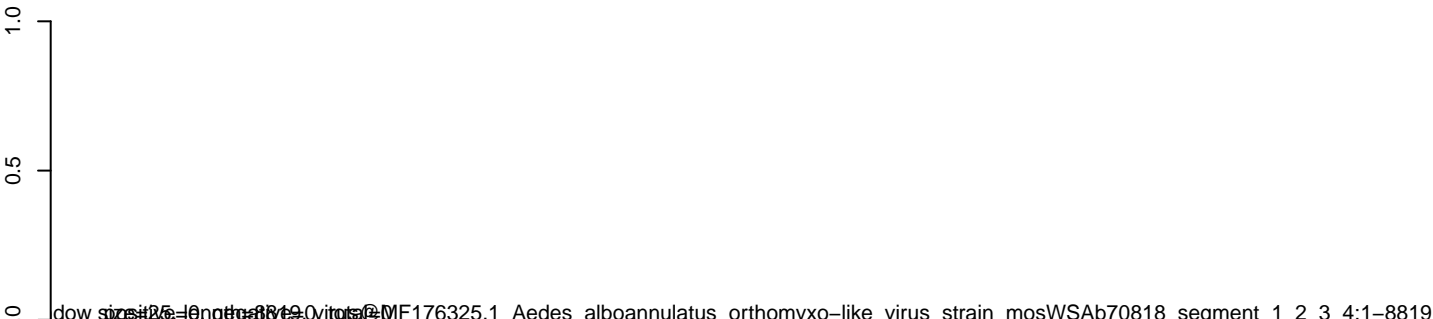
CuQuin_Mcarc_NL.18_23.rep



CuQuin_Mcarc_NL.24_35.rep



CuQuin_Mcarc_NL.rep

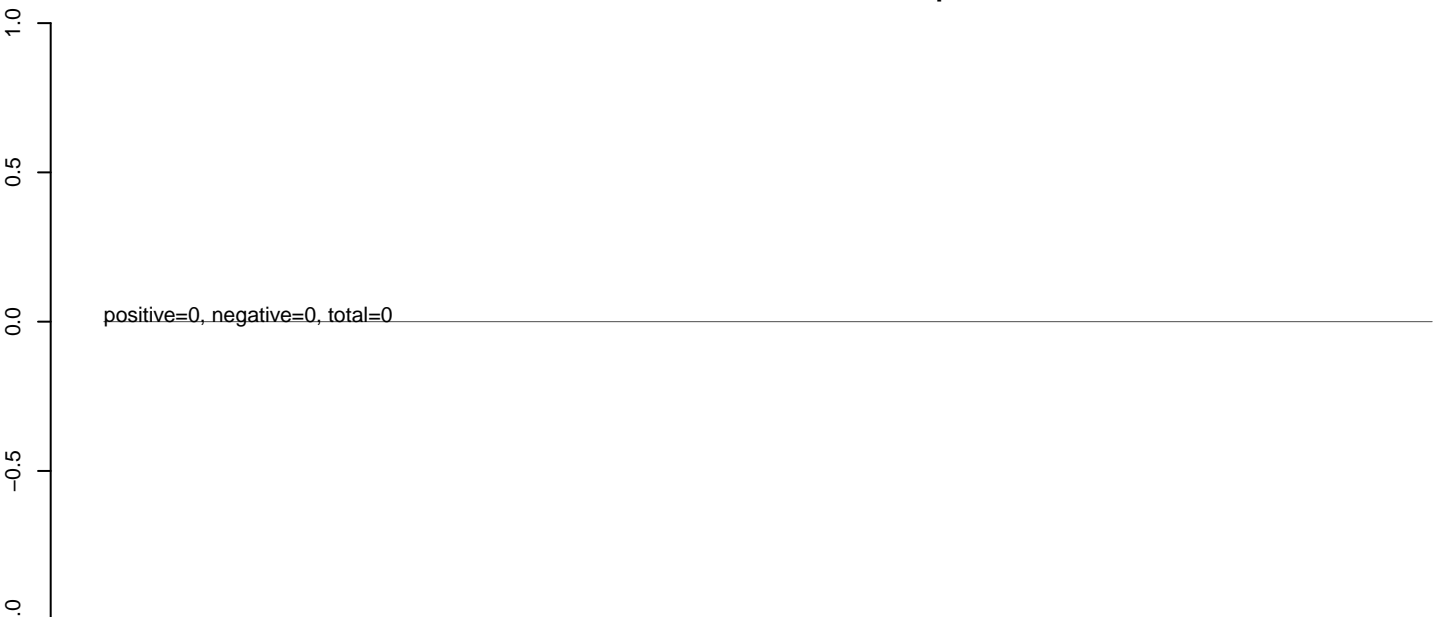


0 2000 4000 6000 8000

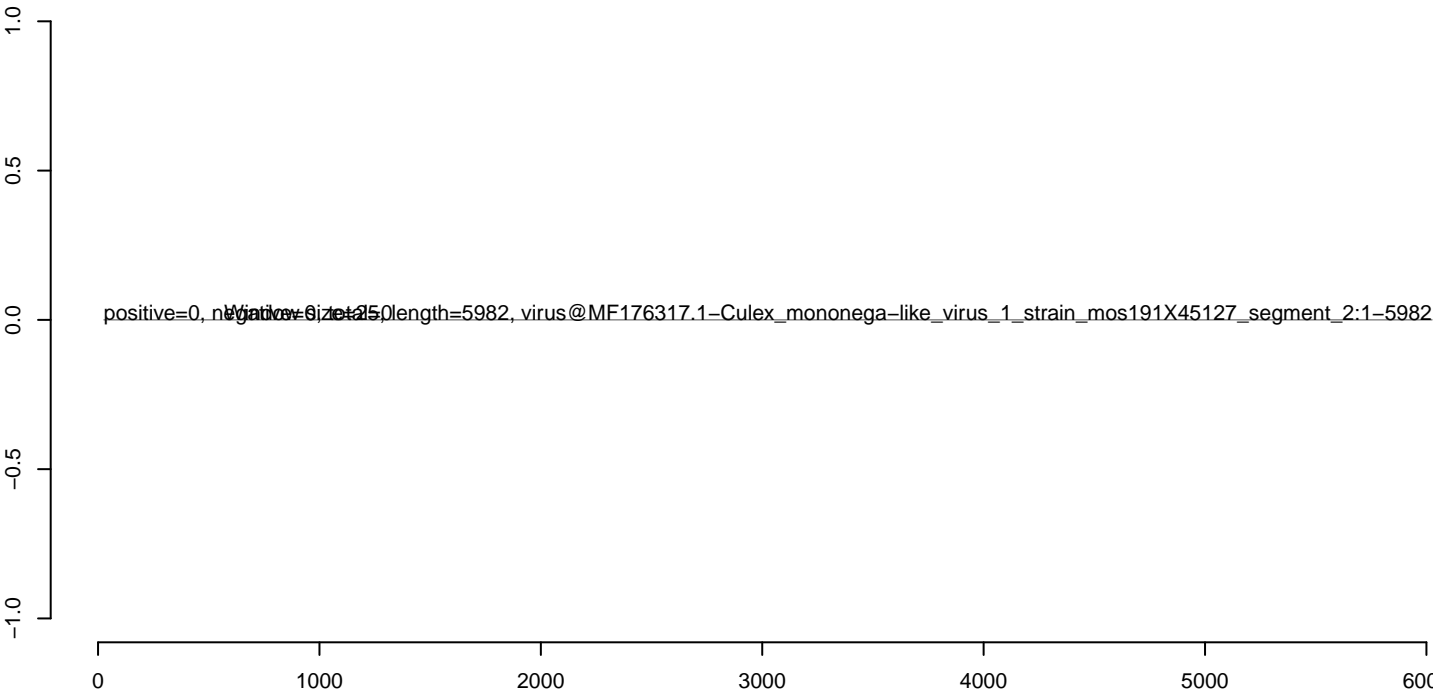
CuQuin_Mcarc_NL.18_23.rep



CuQuin_Mcarc_NL.24_35.rep



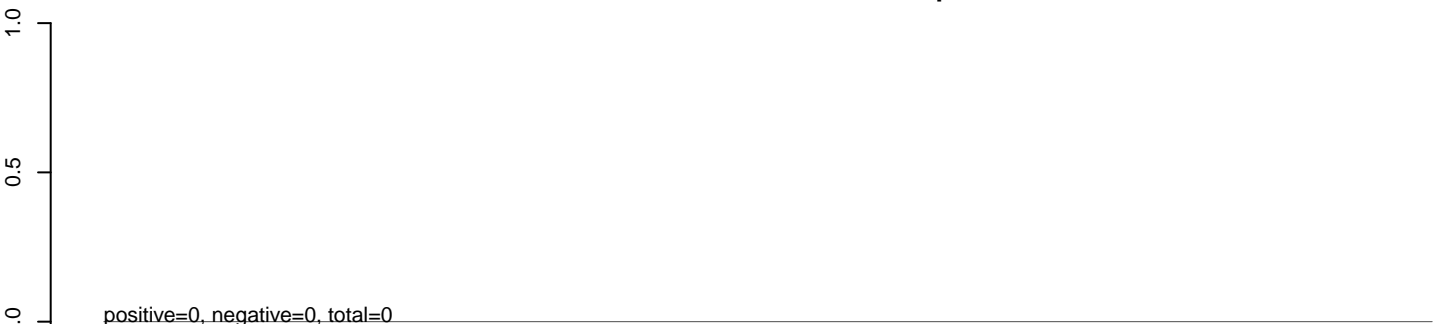
CuQuin_Mcarc_NL.rep



CuQuin_Mcarc_NL.18_23.rep



CuQuin_Mcarc_NL.24_35.rep



CuQuin_Mcarc_NL.rep



0 2000 4000 6000

CuQuin_Mcarc_NL.18_23.rep



CuQuin_Mcarc_NL.24_35.rep



CuQuin_Mcarc_NL.rep



CuQuin_Mcarc_NL.18_23.rep



CuQuin_Mcarc_NL.24_35.rep



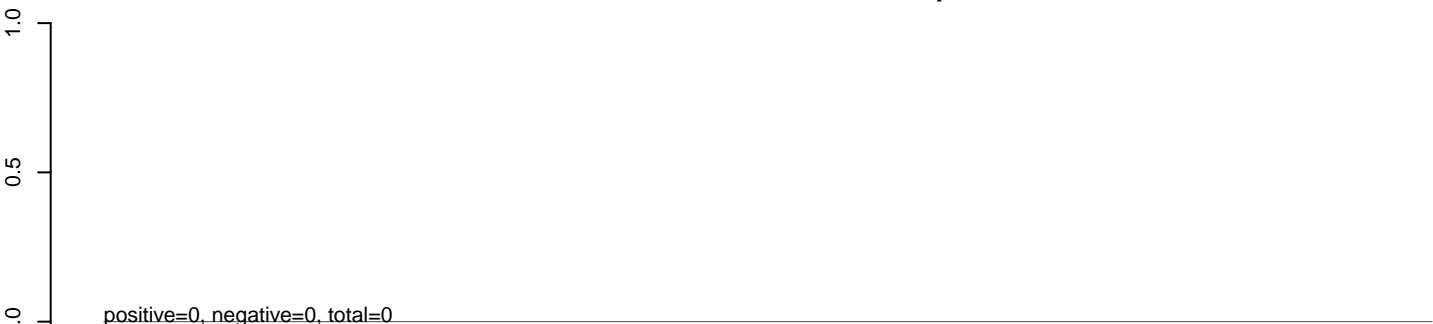
CuQuin_Mcarc_NL.rep



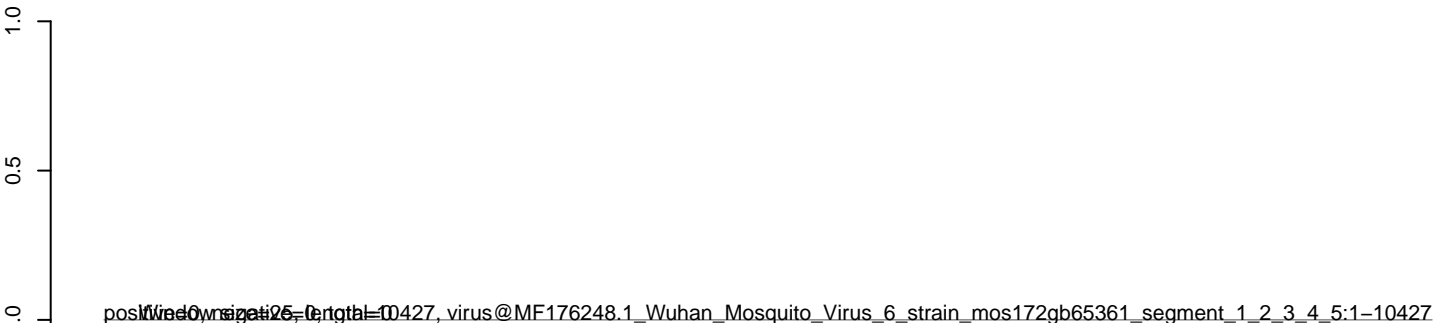
CuQuin_Mcarc_NL.18_23.rep



CuQuin_Mcarc_NL.24_35.rep



CuQuin_Mcarc_NL.rep



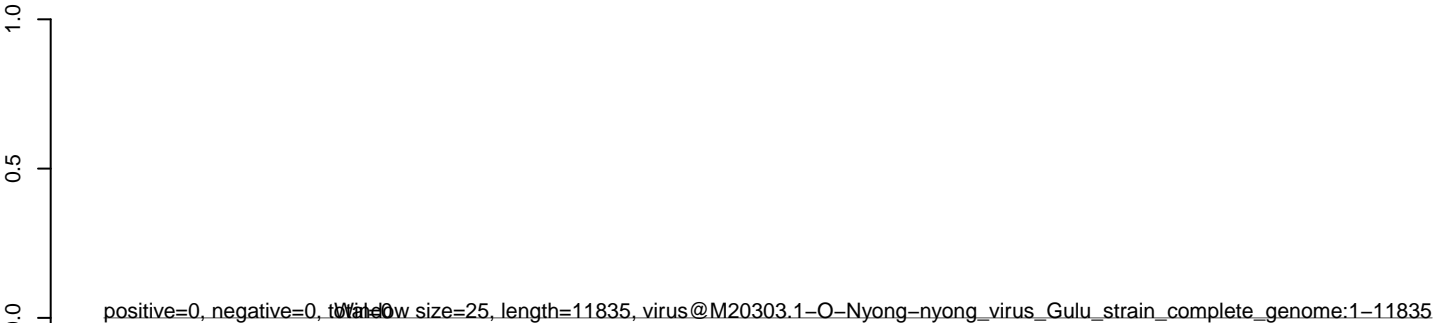
CuQuin_Mcarc_NL.18_23.rep



CuQuin_Mcarc_NL.24_35.rep



CuQuin_Mcarc_NL.rep



0 2000 4000 6000 8000 10000 12000

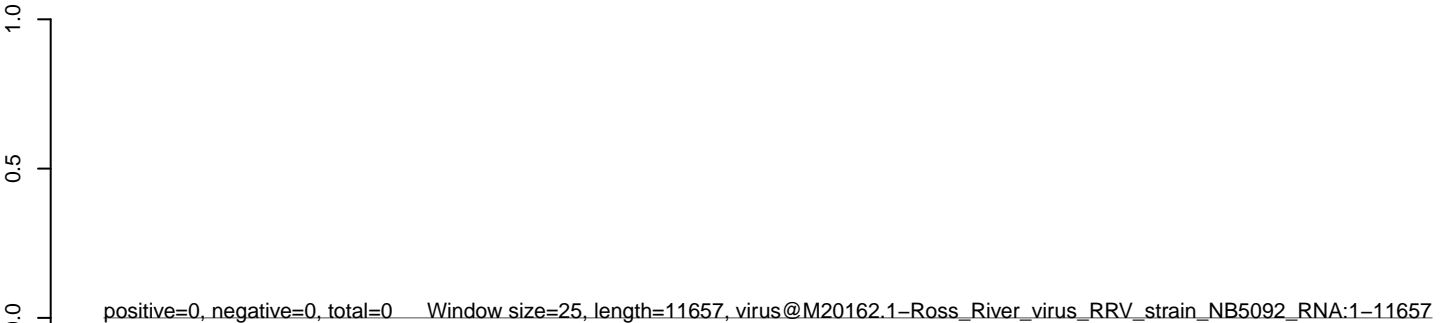
CuQuin_Mcarc_NL.18_23.rep



CuQuin_Mcarc_NL.24_35.rep



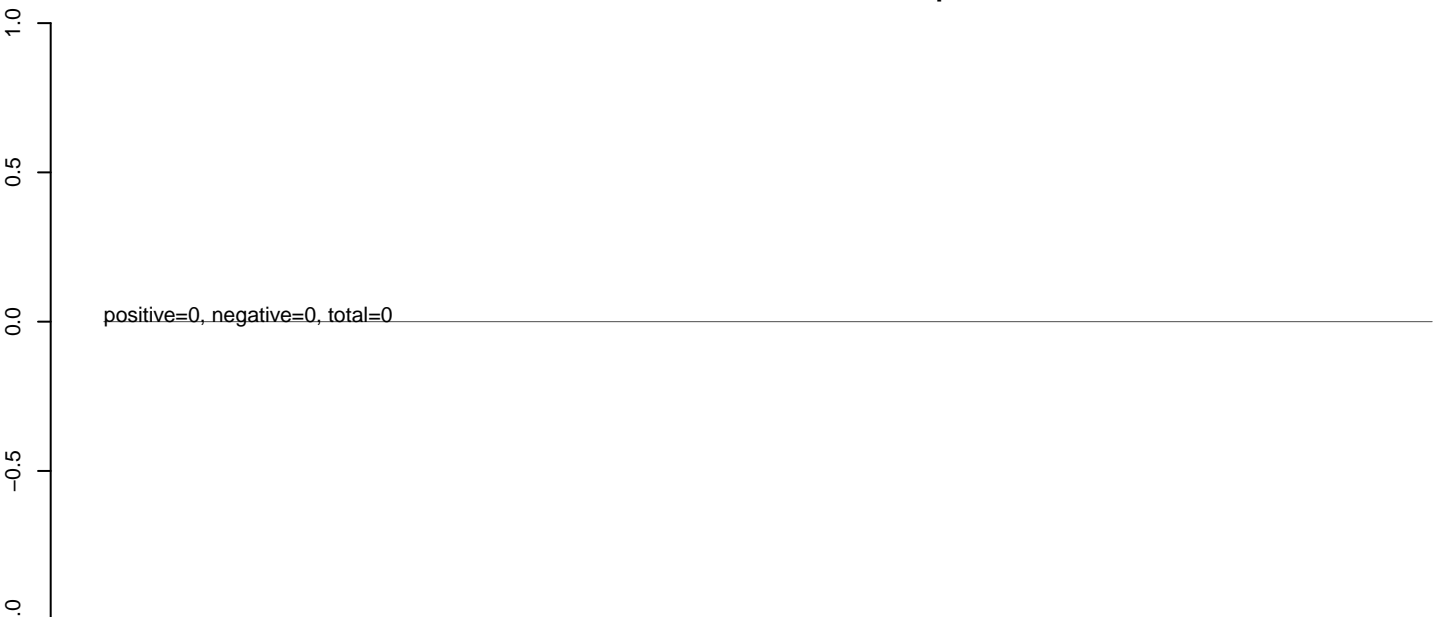
CuQuin_Mcarc_NL.rep



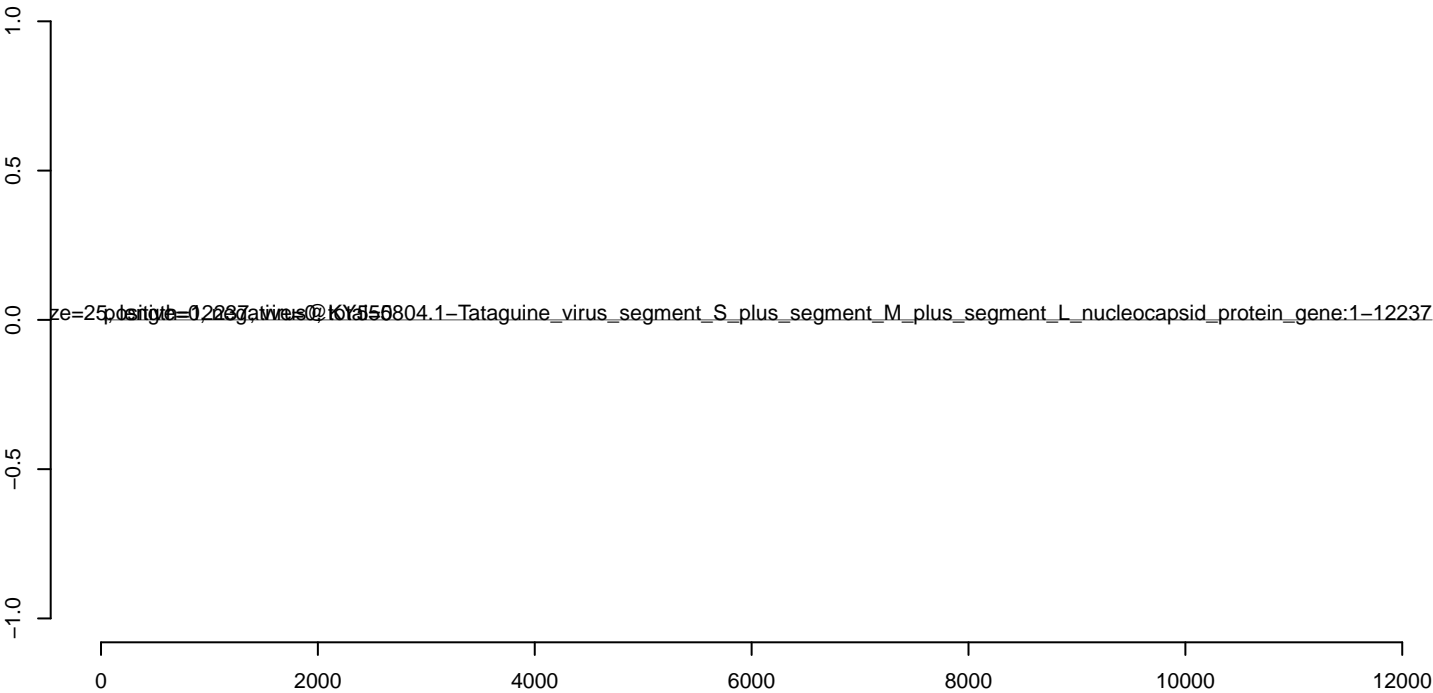
CuQuin_Mcarc_NL.18_23.rep



CuQuin_Mcarc_NL.24_35.rep



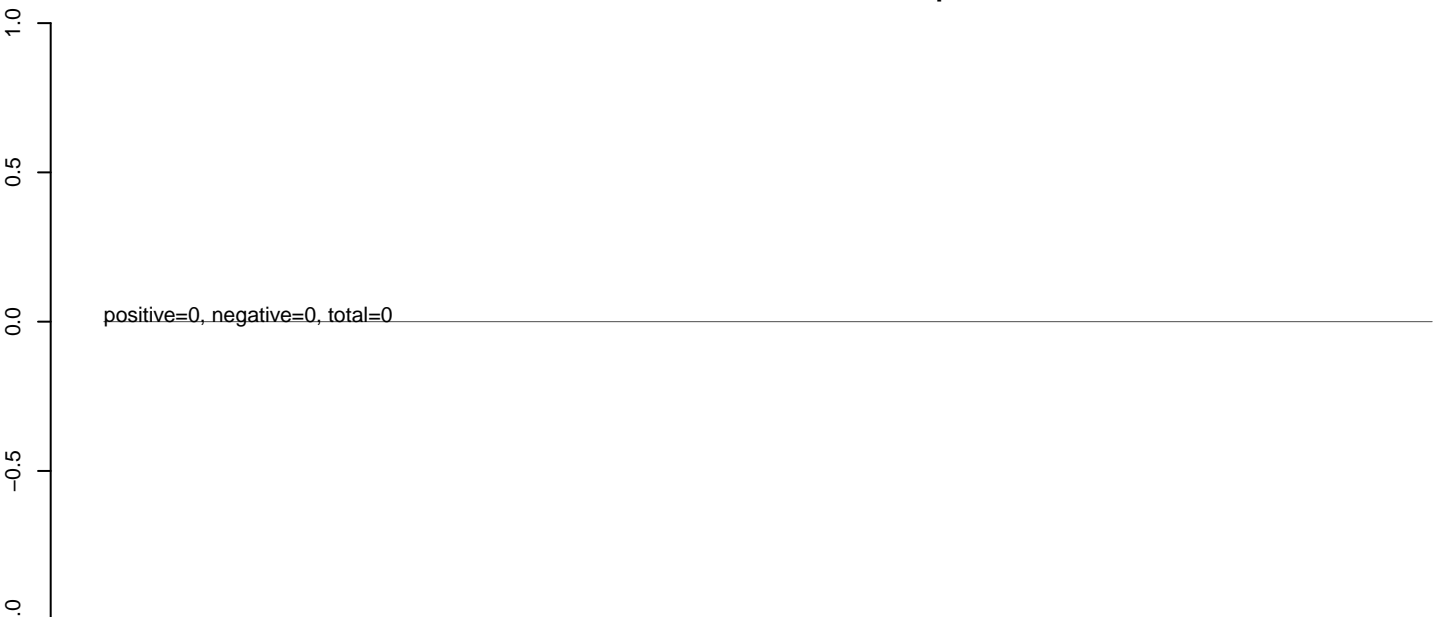
CuQuin_Mcarc_NL.rep



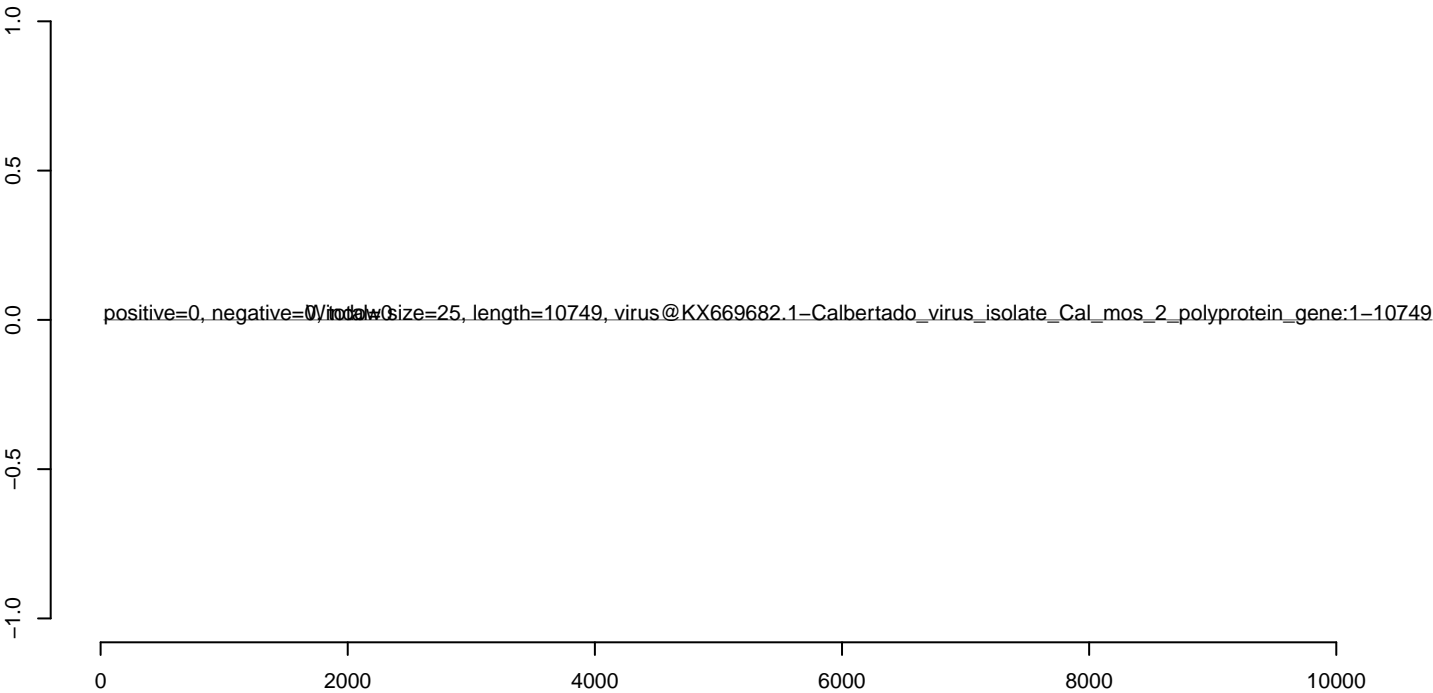
CuQuin_Mcarc_NL.18_23.rep



CuQuin_Mcarc_NL.24_35.rep



CuQuin_Mcarc_NL.rep



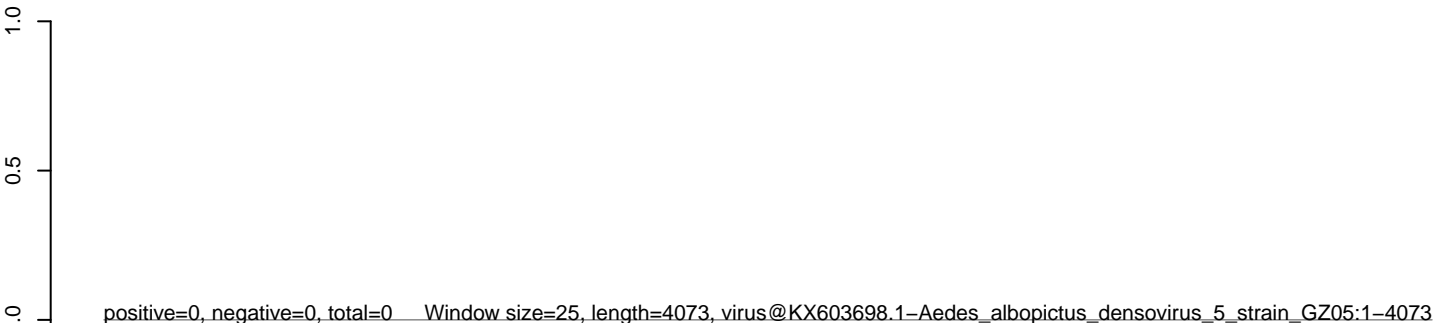
CuQuin_Mcarc_NL.18_23.rep



CuQuin_Mcarc_NL.24_35.rep



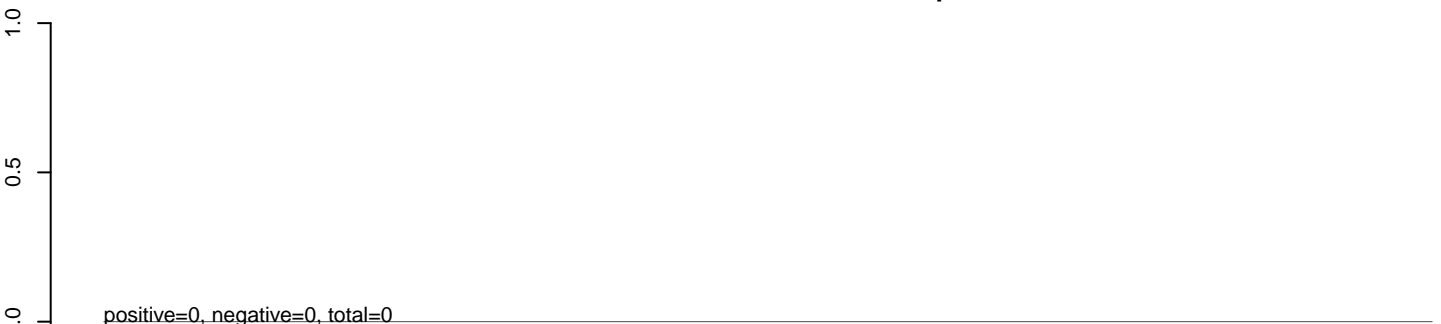
CuQuin_Mcarc_NL.rep



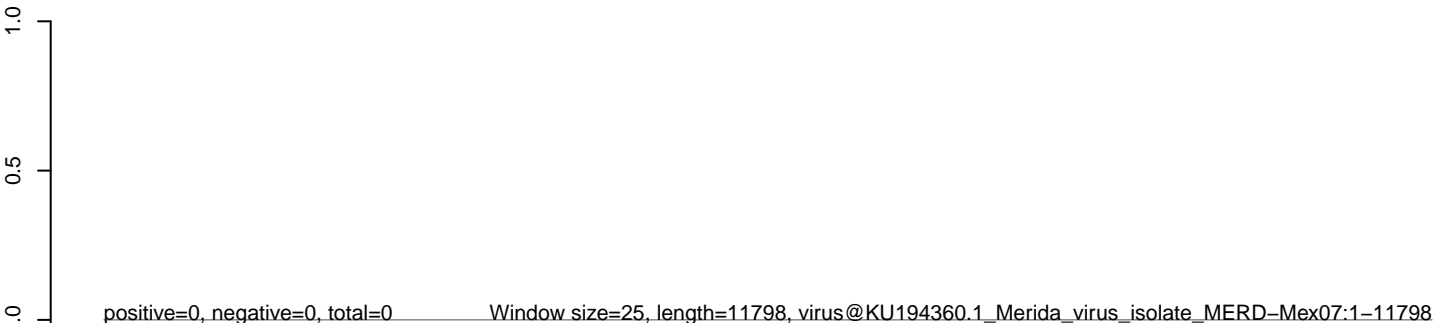
CuQuin_Mcarc_NL.18_23.rep



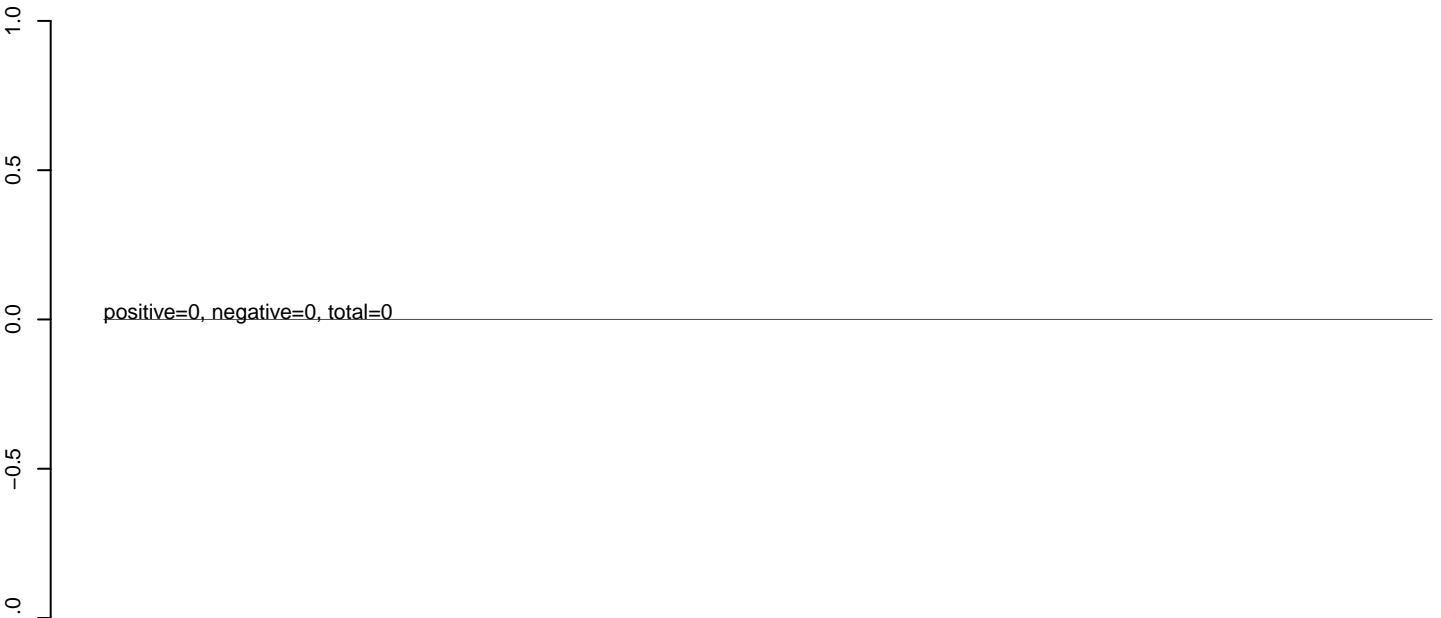
CuQuin_Mcarc_NL.24_35.rep



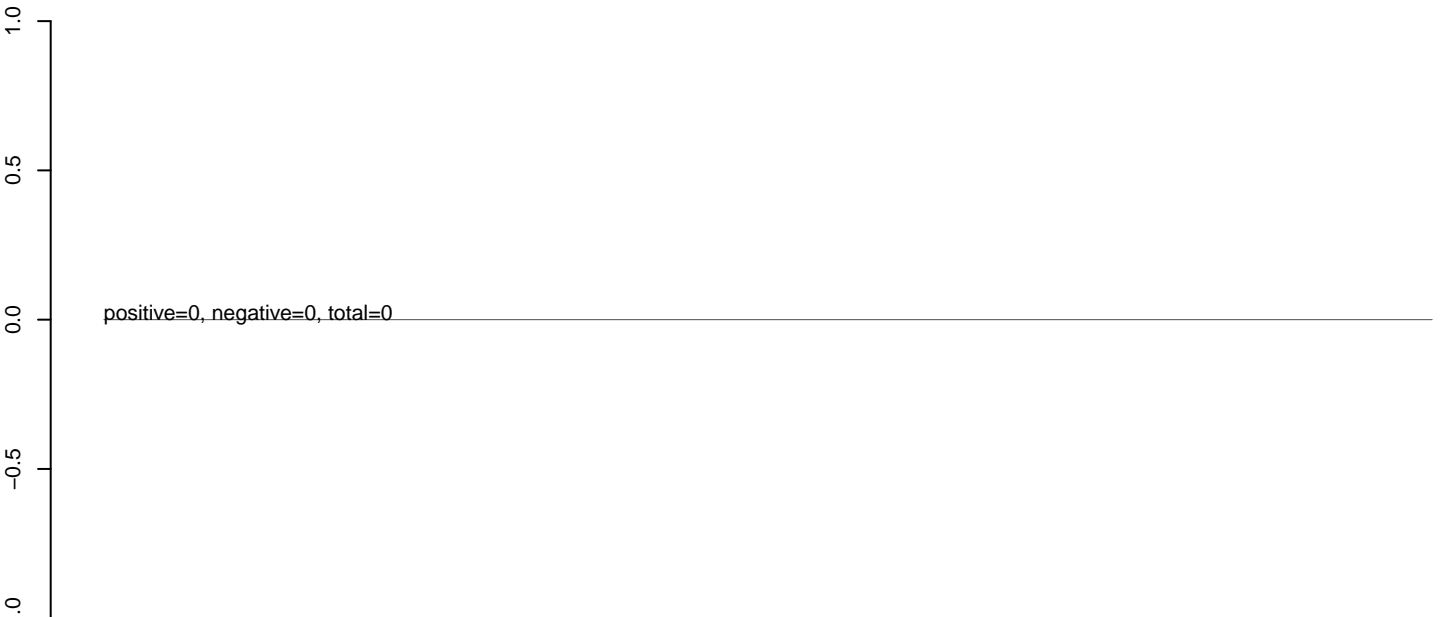
CuQuin_Mcarc_NL.rep



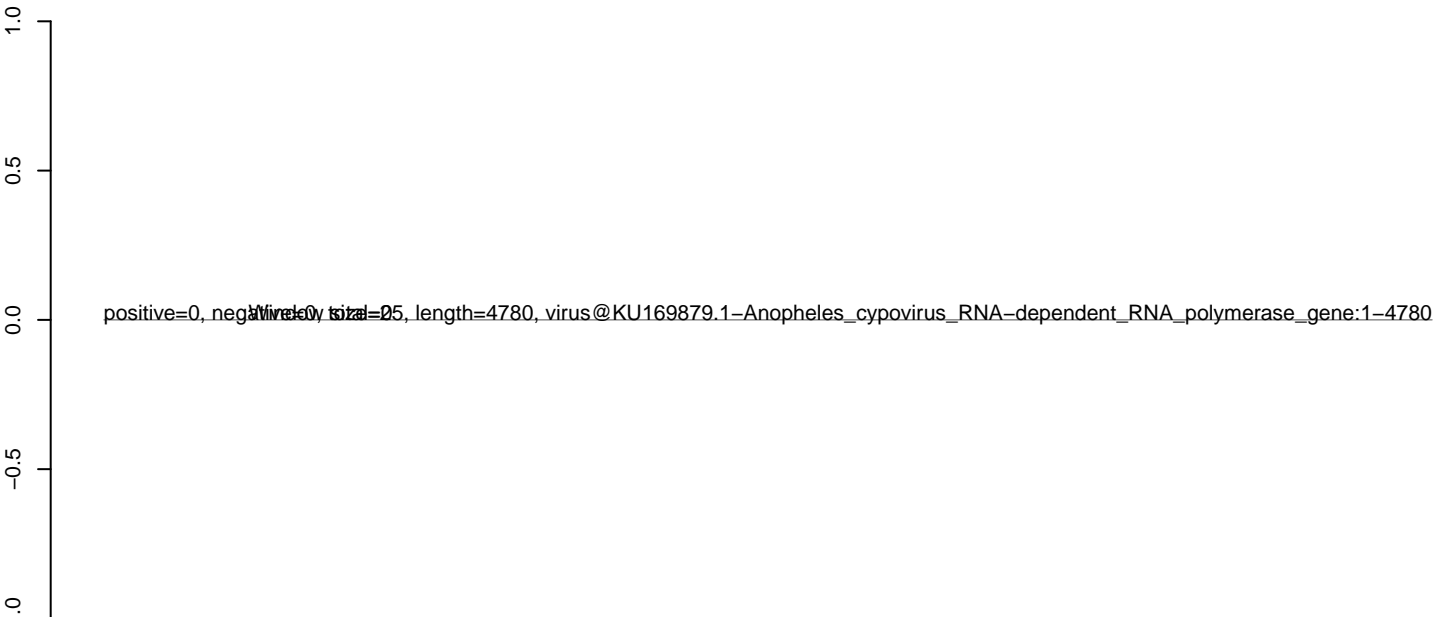
CuQuin_Mcarc_NL.18_23.rep



CuQuin_Mcarc_NL.24_35.rep



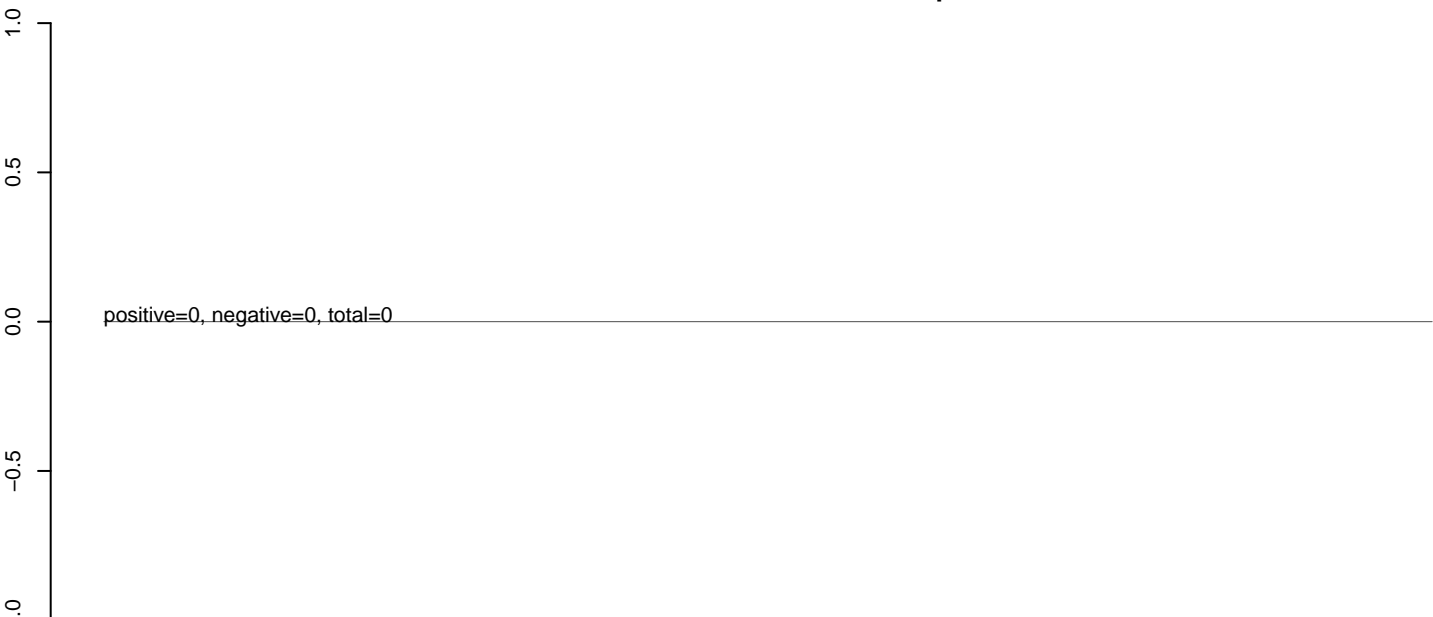
CuQuin_Mcarc_NL.rep



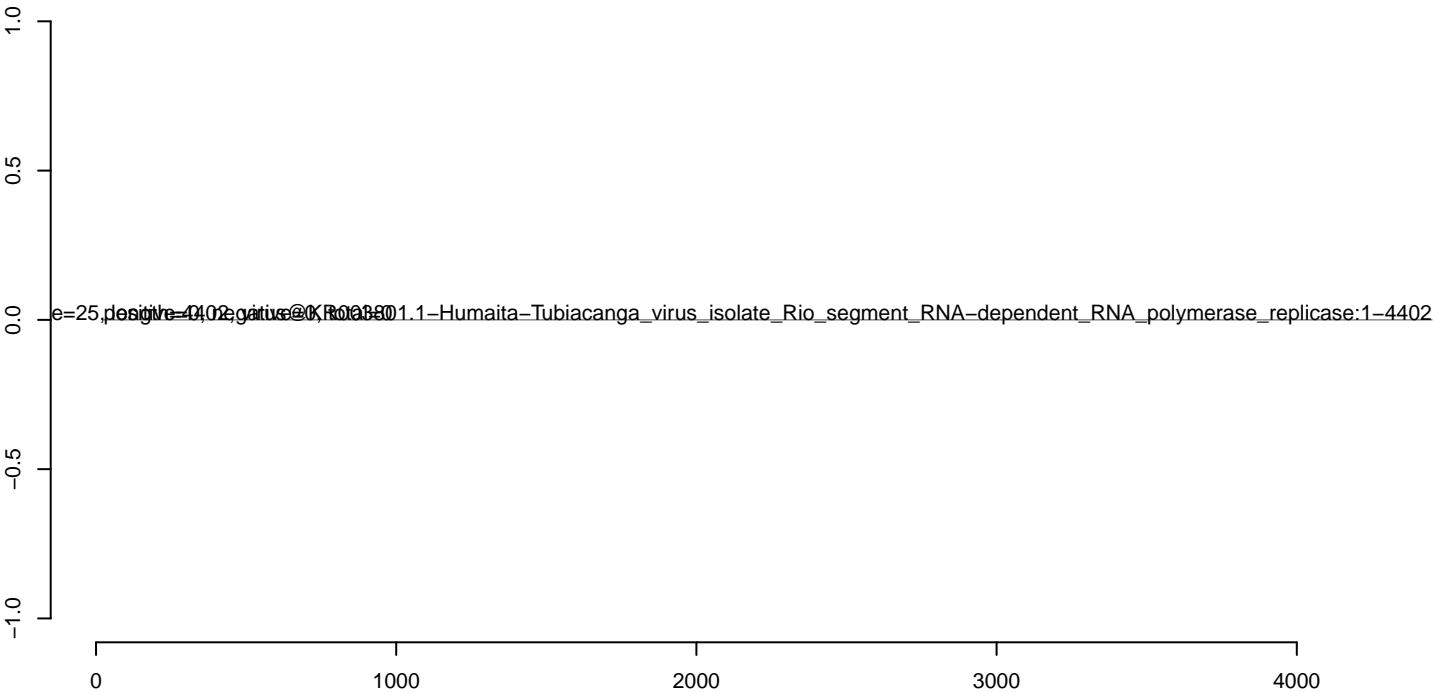
CuQuin_Mcarc_NL.18_23.rep



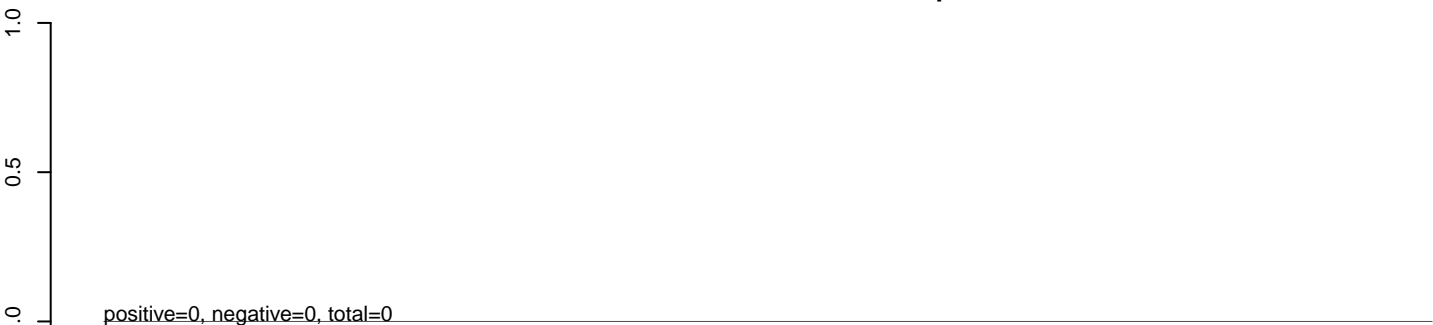
CuQuin_Mcarc_NL.24_35.rep



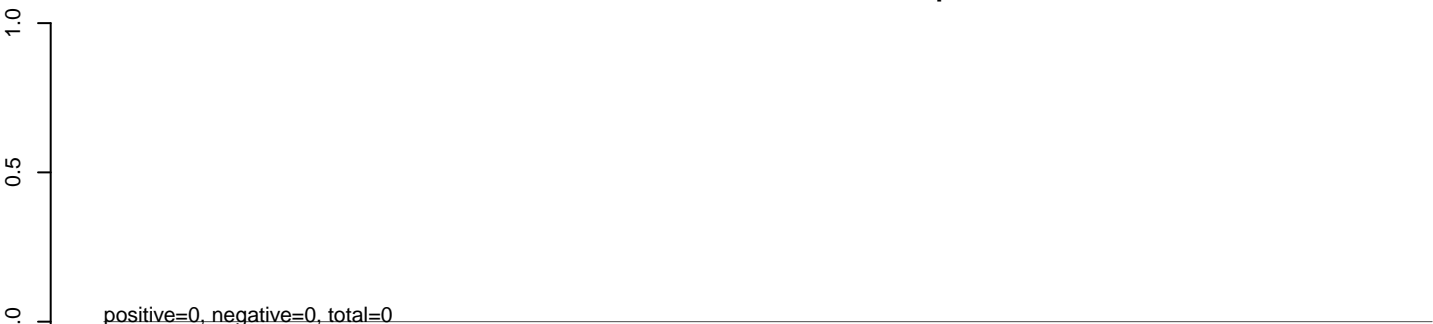
CuQuin_Mcarc_NL.rep



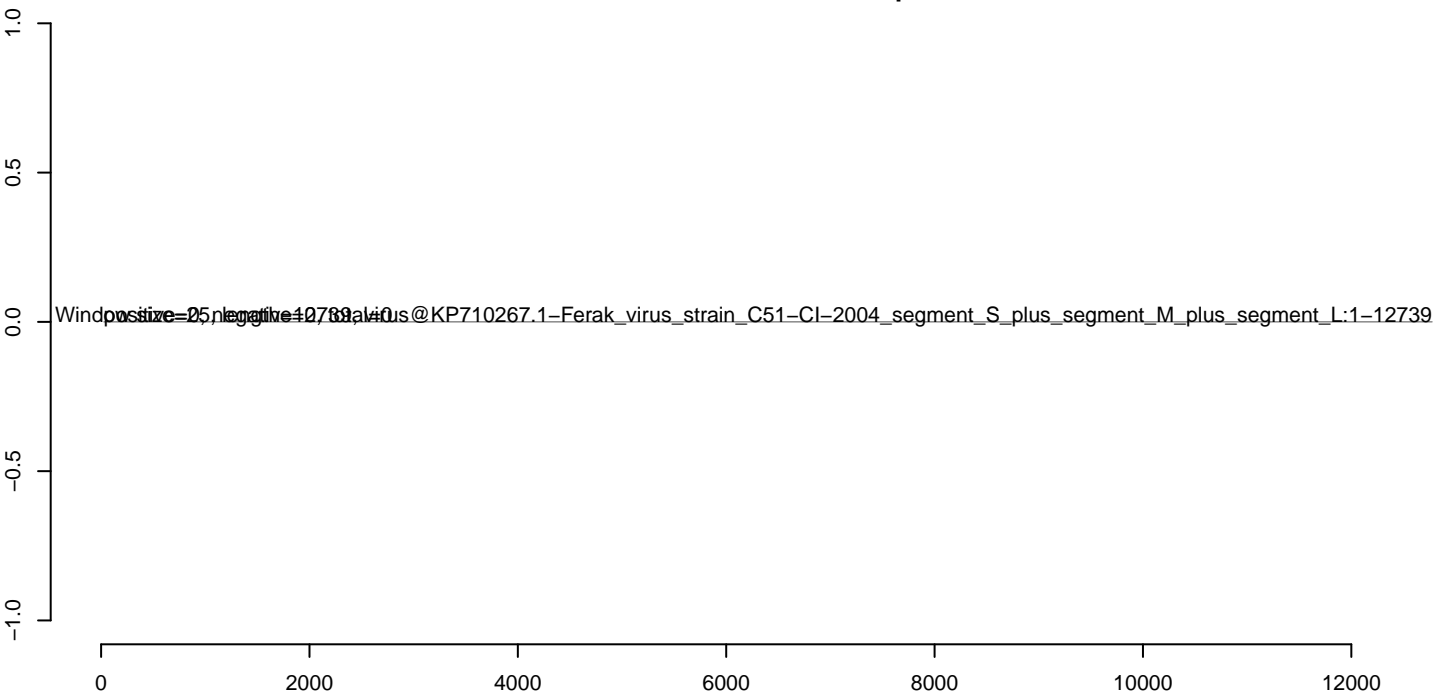
CuQuin_Mcarc_NL.18_23.rep



CuQuin_Mcarc_NL.24_35.rep



CuQuin_Mcarc_NL.rep



CuQuin_Mcarc_NL.18_23.rep



CuQuin_Mcarc_NL.24_35.rep



CuQuin_Mcarc_NL.rep



0 2000 4000 6000 8000 10000

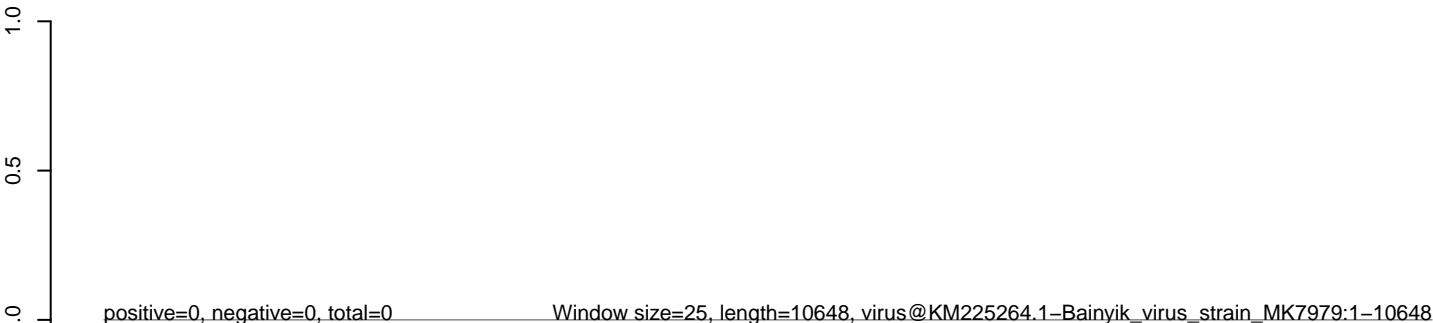
CuQuin_Mcarc_NL.18_23.rep



CuQuin_Mcarc_NL.24_35.rep

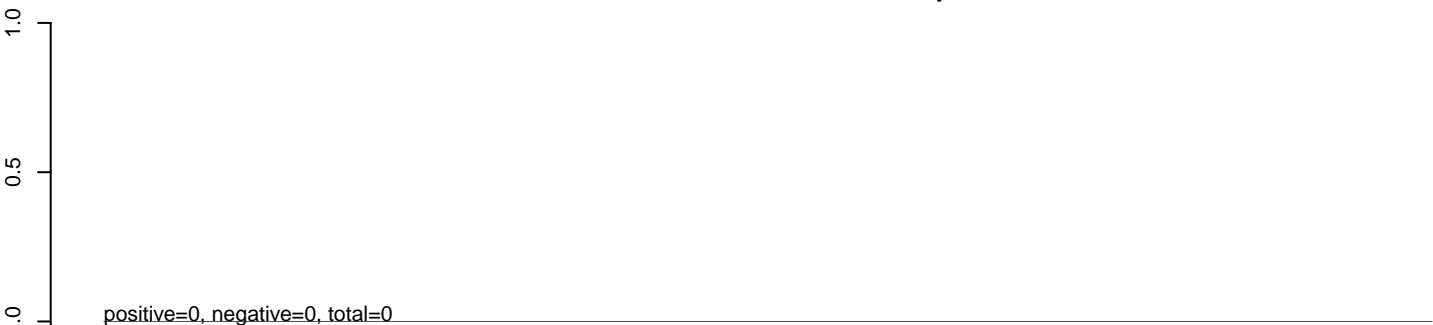


CuQuin_Mcarc_NL.rep

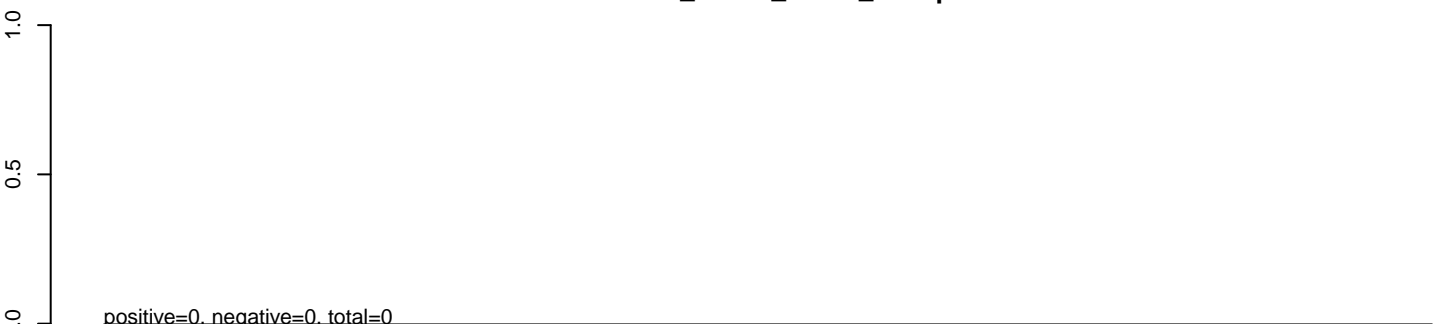


0 2000 4000 6000 8000 10000

CuQuin_Mcarc_NL.18_23.rep



CuQuin_Mcarc_NL.24_35.rep



CuQuin_Mcarc_NL.rep



0 2000 4000 6000 8000 10000

CuQuin_Mcarc_NL.18_23.rep



CuQuin_Mcarc_NL.24_35.rep



CuQuin_Mcarc_NL.rep

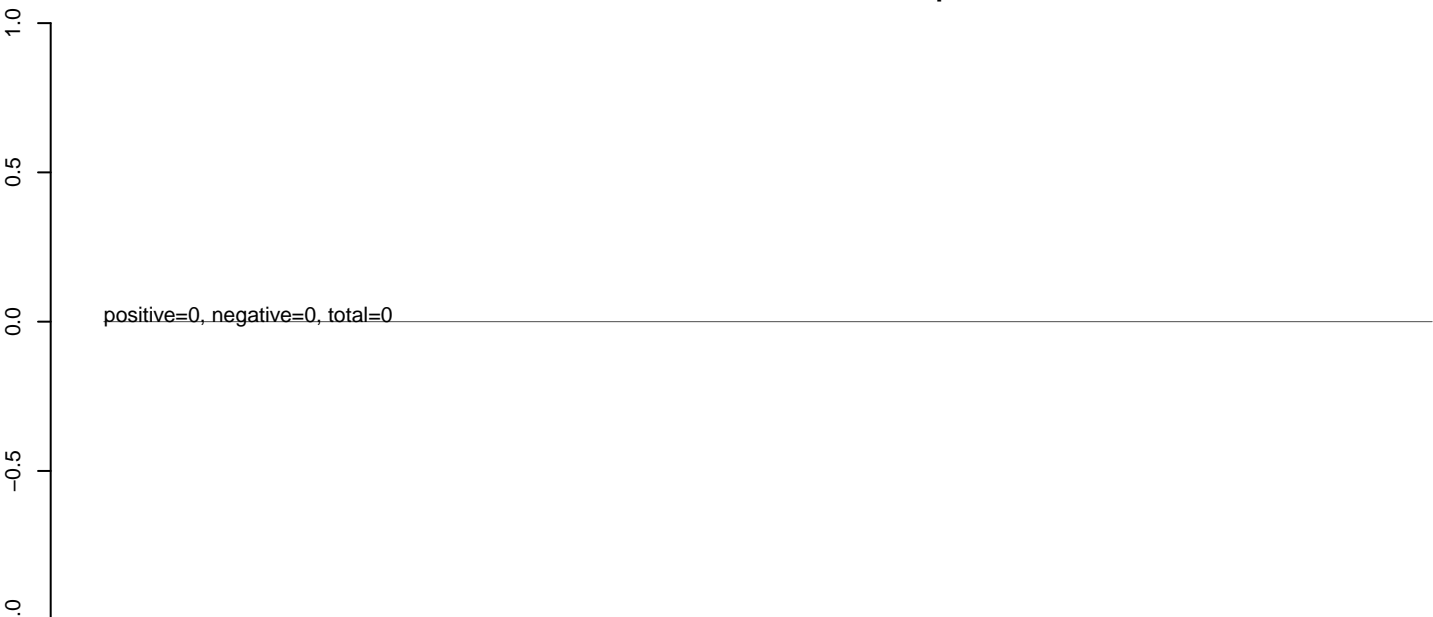


0 1000 2000 3000 4000

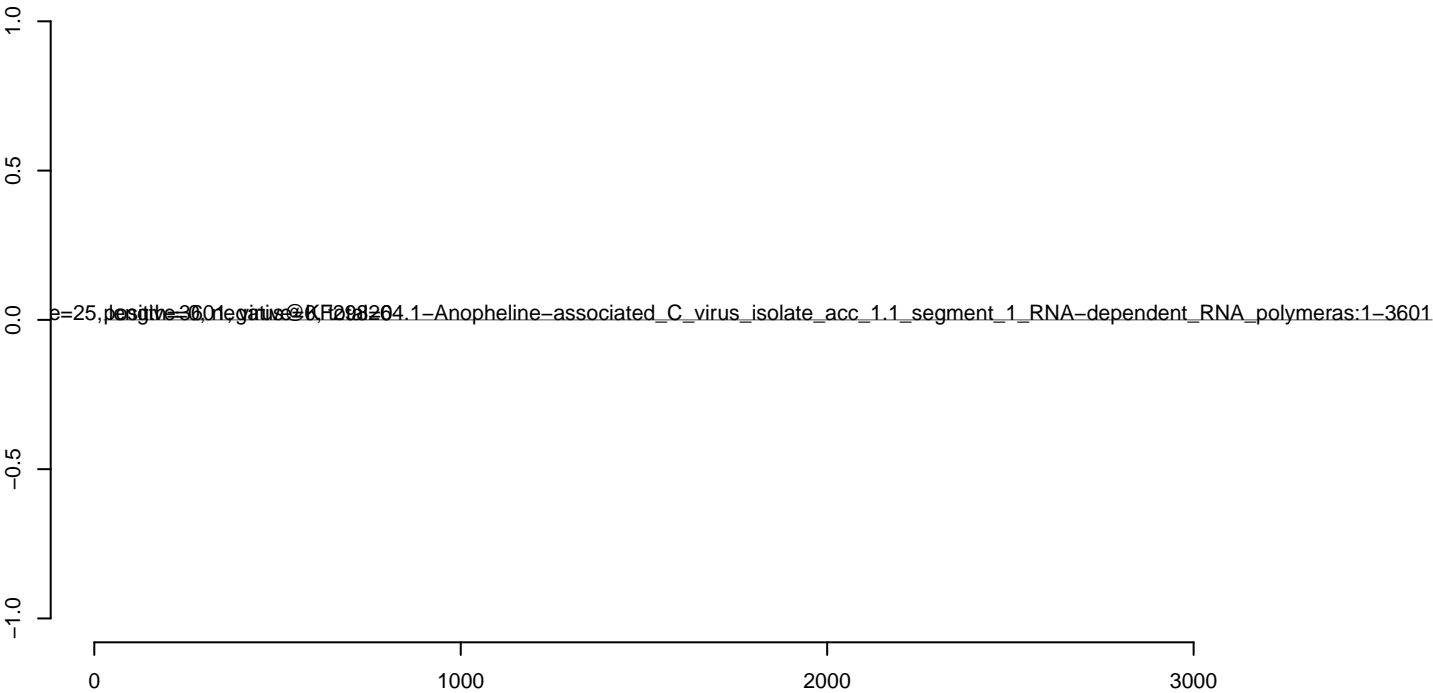
CuQuin_Mcarc_NL.18_23.rep



CuQuin_Mcarc_NL.24_35.rep



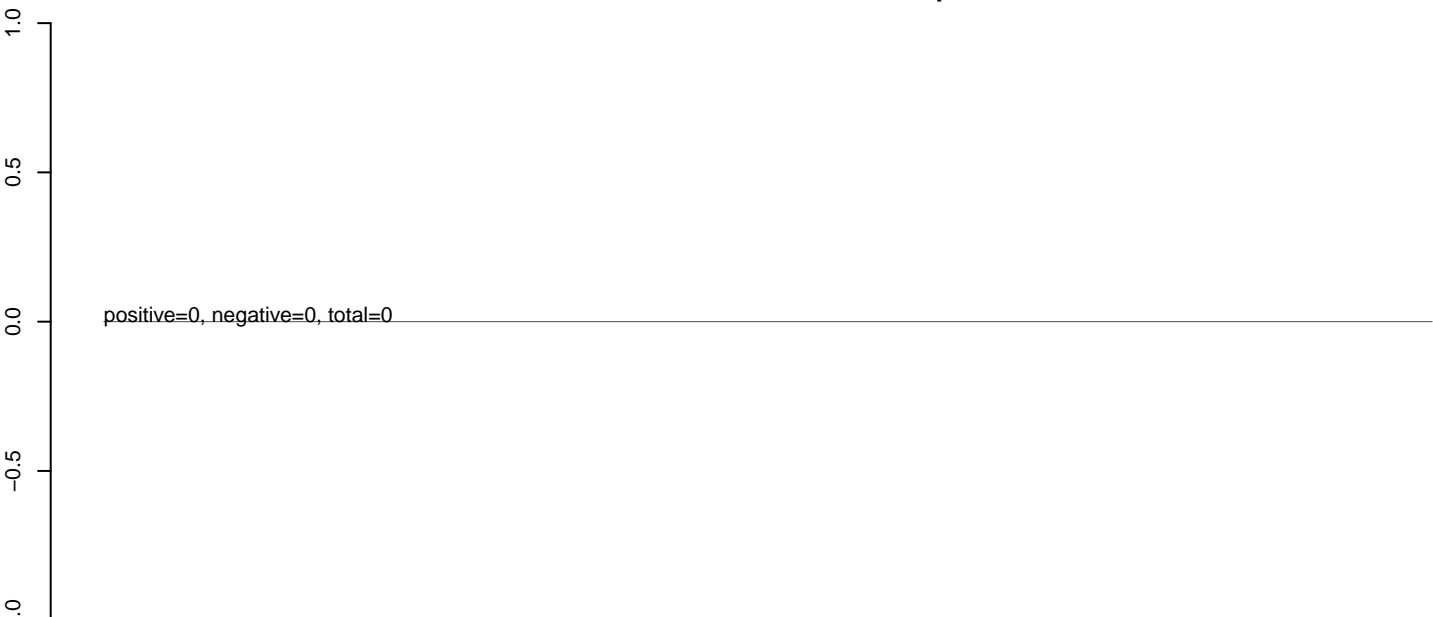
CuQuin_Mcarc_NL.rep



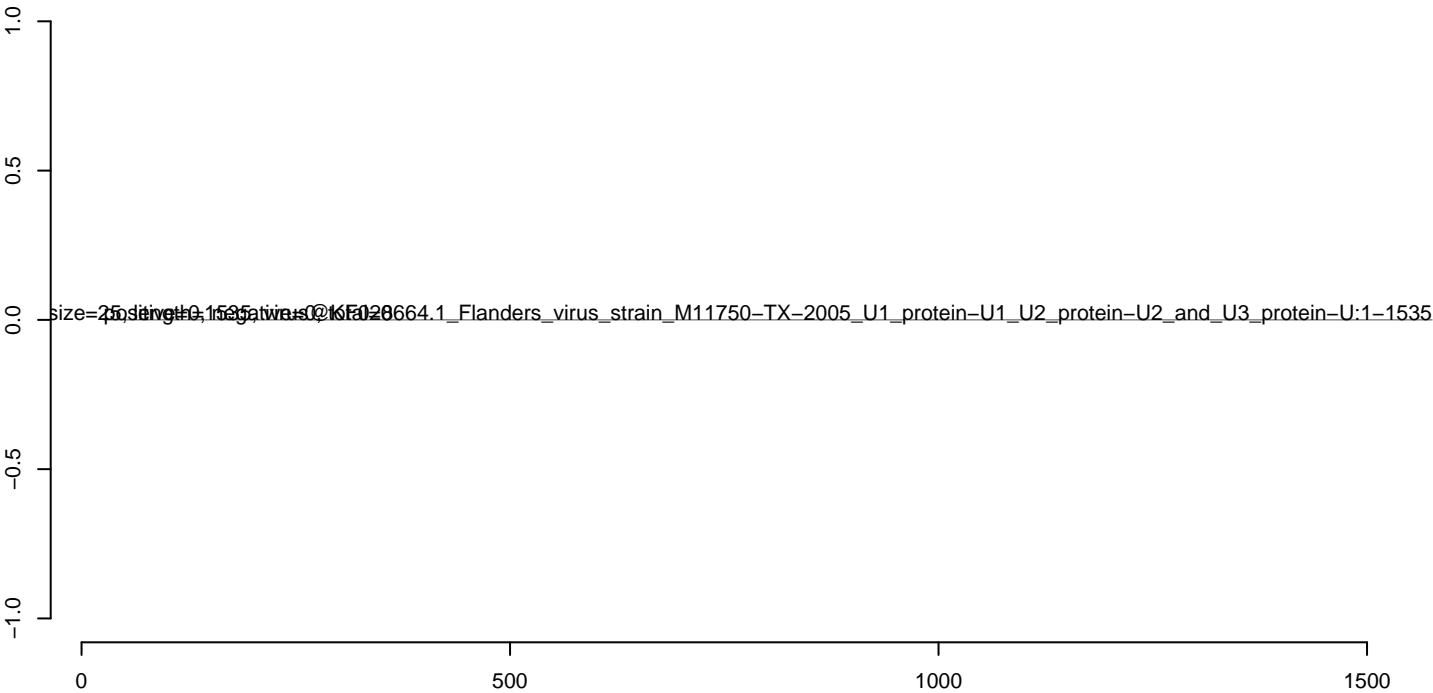
CuQuin_Mcarc_NL.18_23.rep



CuQuin_Mcarc_NL.24_35.rep



CuQuin_Mcarc_NL.rep



CuQuin_Mcarc_NL.18_23.rep



CuQuin_Mcarc_NL.24_35.rep



CuQuin_Mcarc_NL.rep



0 2000 4000 6000 8000 10000

CuQuin_Mcarc_NL.18_23.rep



CuQuin_Mcarc_NL.24_35.rep



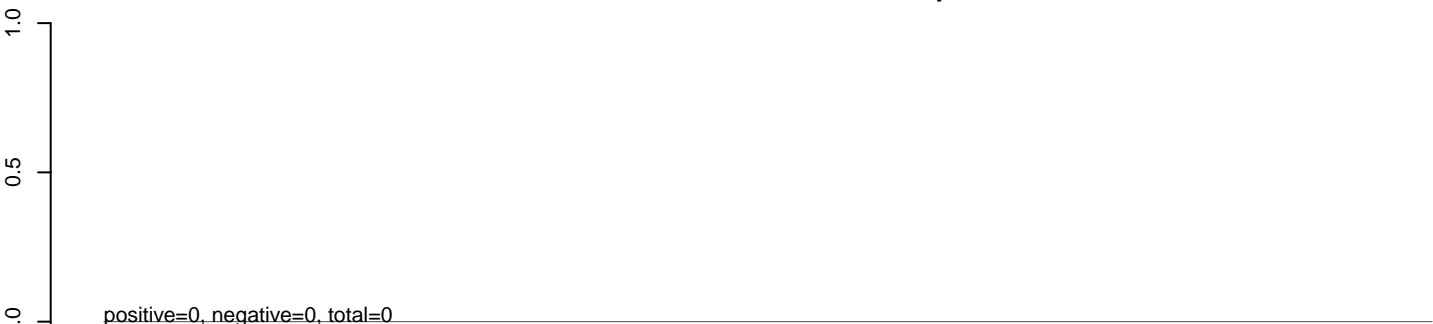
CuQuin_Mcarc_NL.rep



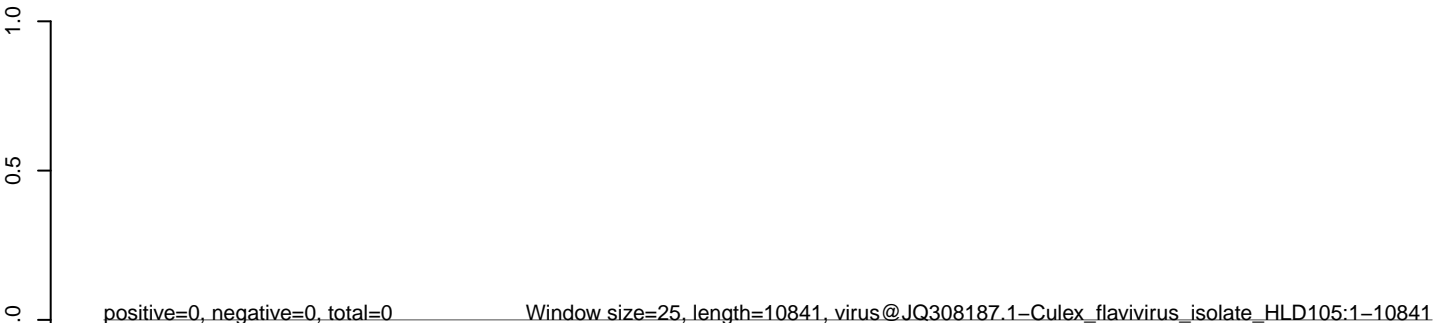
CuQuin_Mcarc_NL.18_23.rep



CuQuin_Mcarc_NL.24_35.rep



CuQuin_Mcarc_NL.rep



0 2000 4000 6000 8000 10000

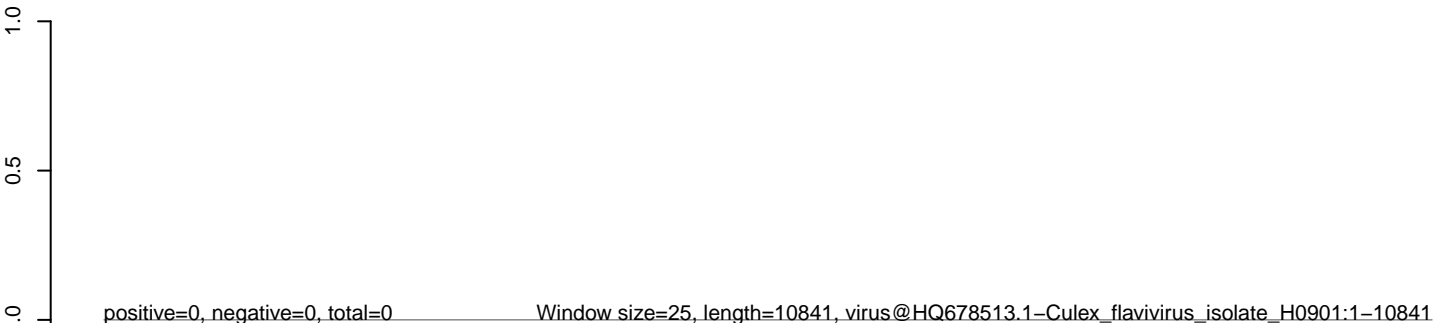
CuQuin_Mcarc_NL.18_23.rep



CuQuin_Mcarc_NL.24_35.rep



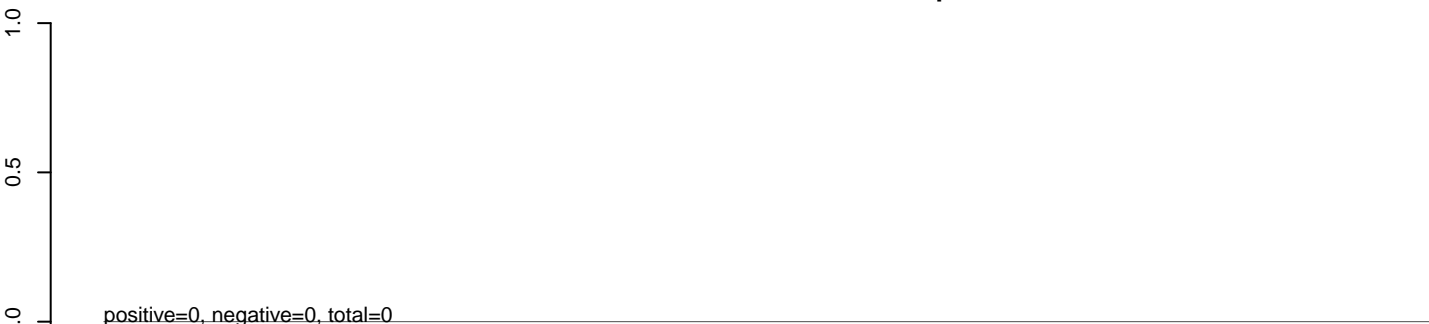
CuQuin_Mcarc_NL.rep



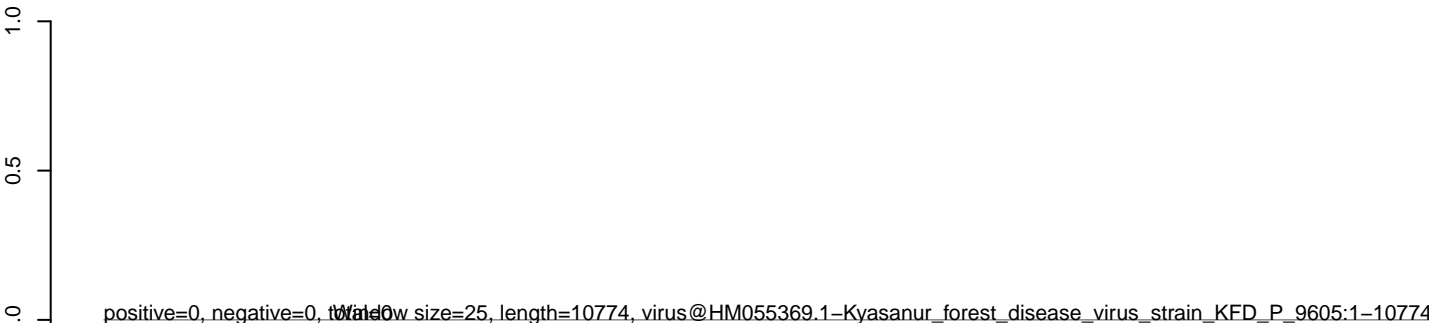
CuQuin_Mcarc_NL.18_23.rep



CuQuin_Mcarc_NL.24_35.rep



CuQuin_Mcarc_NL.rep



0 2000 4000 6000 8000 10000

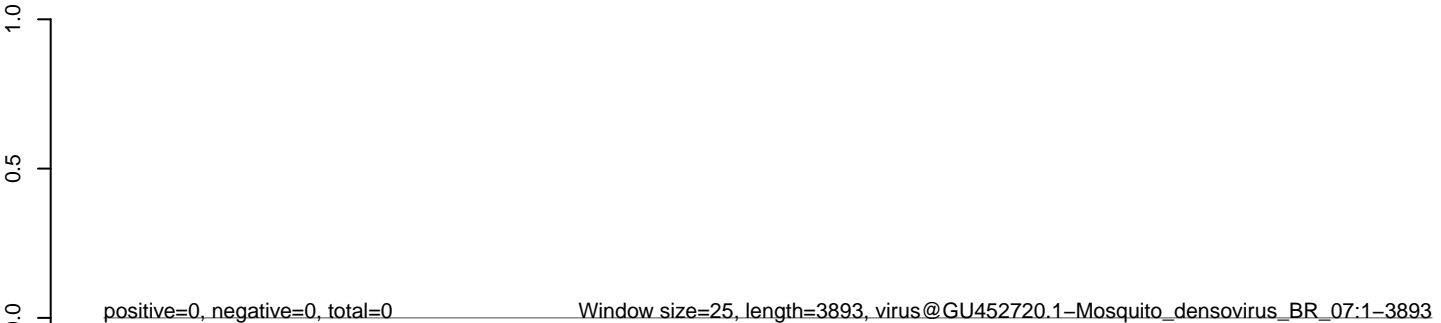
CuQuin_Mcarc_NL.18_23.rep



CuQuin_Mcarc_NL.24_35.rep



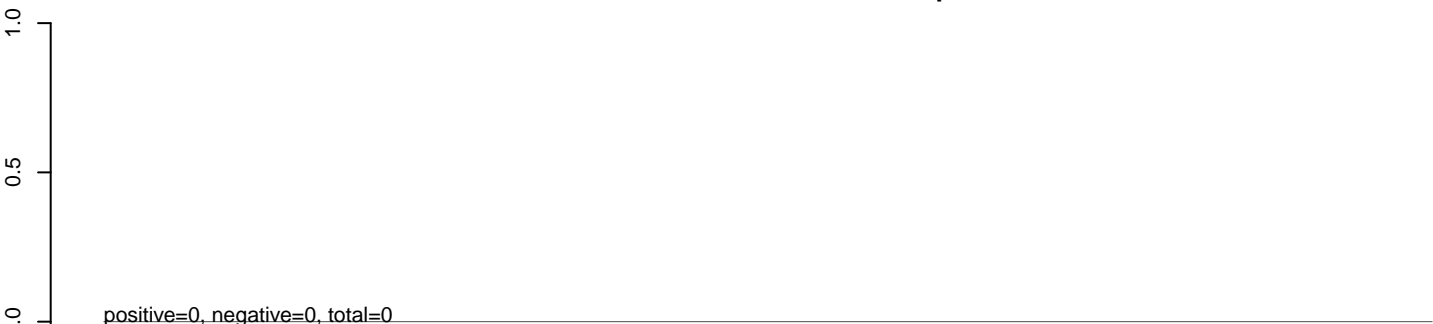
CuQuin_Mcarc_NL.rep



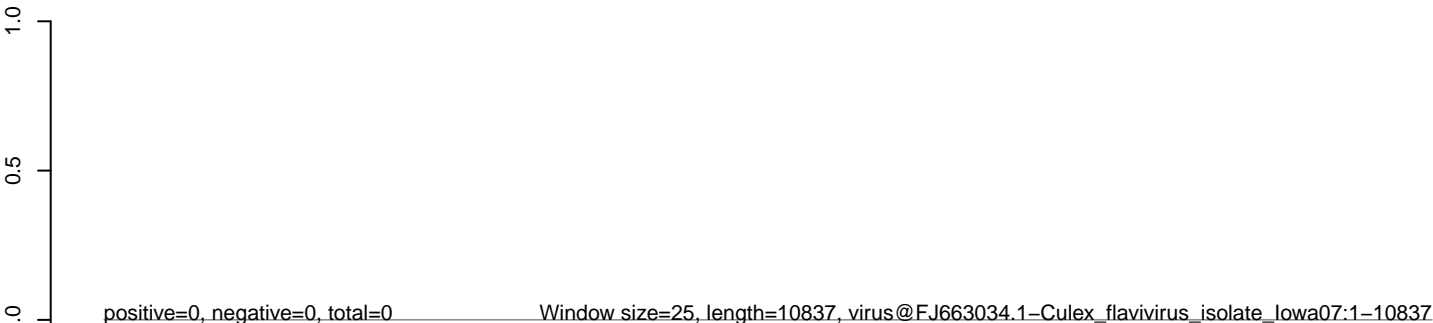
CuQuin_Mcarc_NL.18_23.rep



CuQuin_Mcarc_NL.24_35.rep



CuQuin_Mcarc_NL.rep

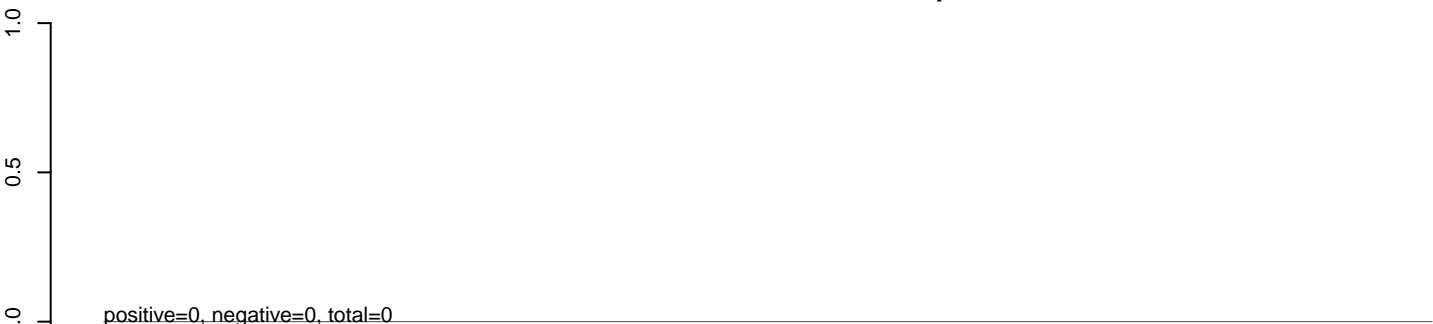


0 2000 4000 6000 8000 10000

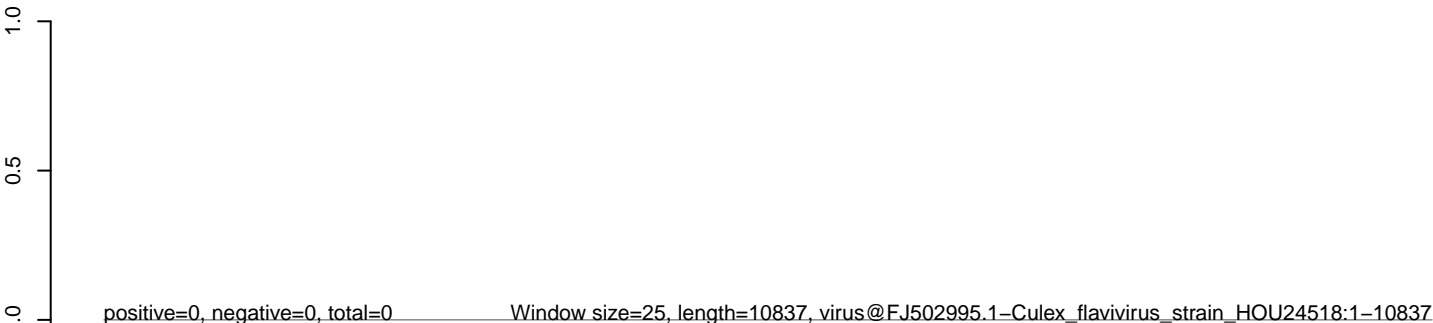
CuQuin_Mcarc_NL.18_23.rep



CuQuin_Mcarc_NL.24_35.rep



CuQuin_Mcarc_NL.rep



0 2000 4000 6000 8000 10000

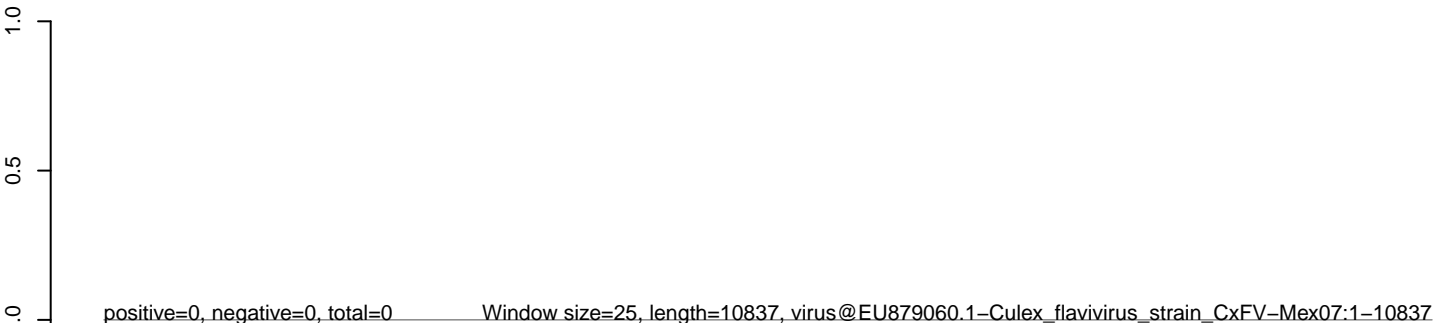
CuQuin_Mcarc_NL.18_23.rep



CuQuin_Mcarc_NL.24_35.rep



CuQuin_Mcarc_NL.rep



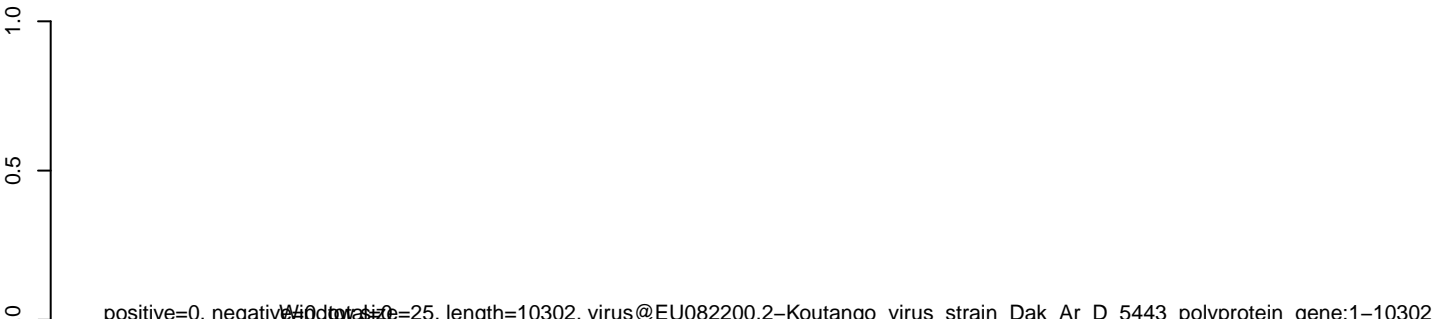
CuQuin_Mcarc_NL.18_23.rep



CuQuin_Mcarc_NL.24_35.rep



CuQuin_Mcarc_NL.rep

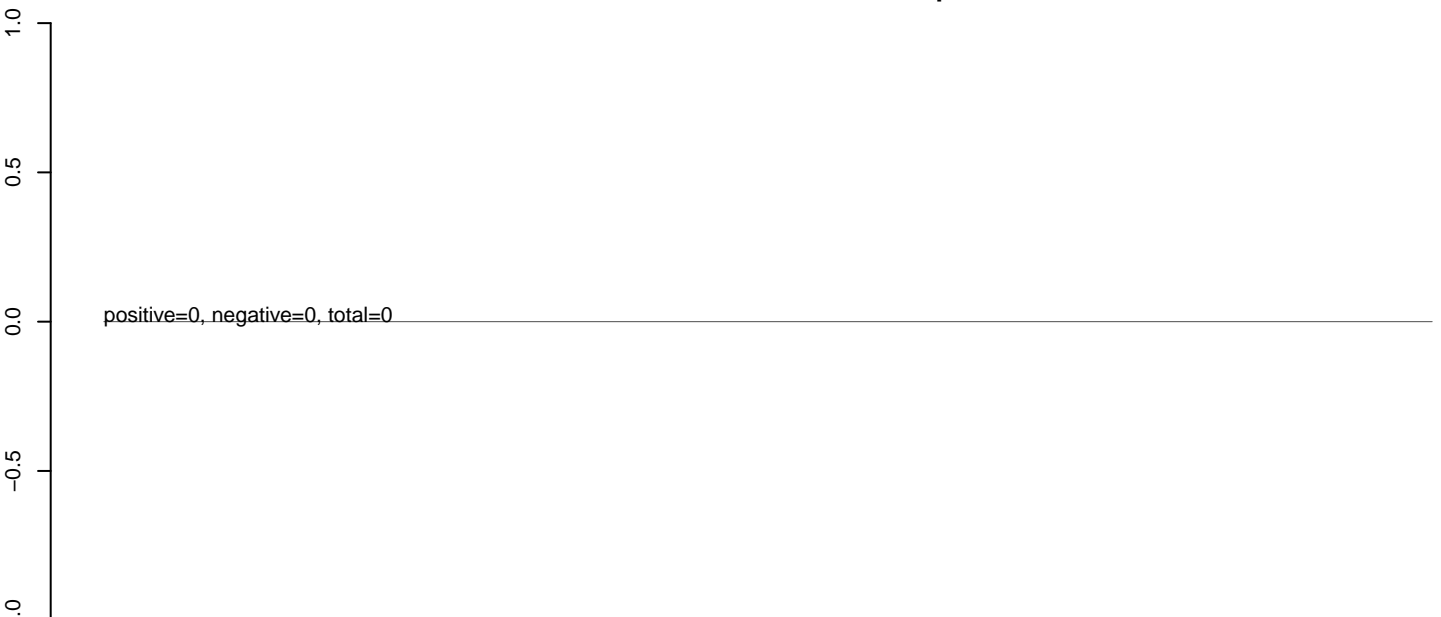


0 2000 4000 6000 8000 10000

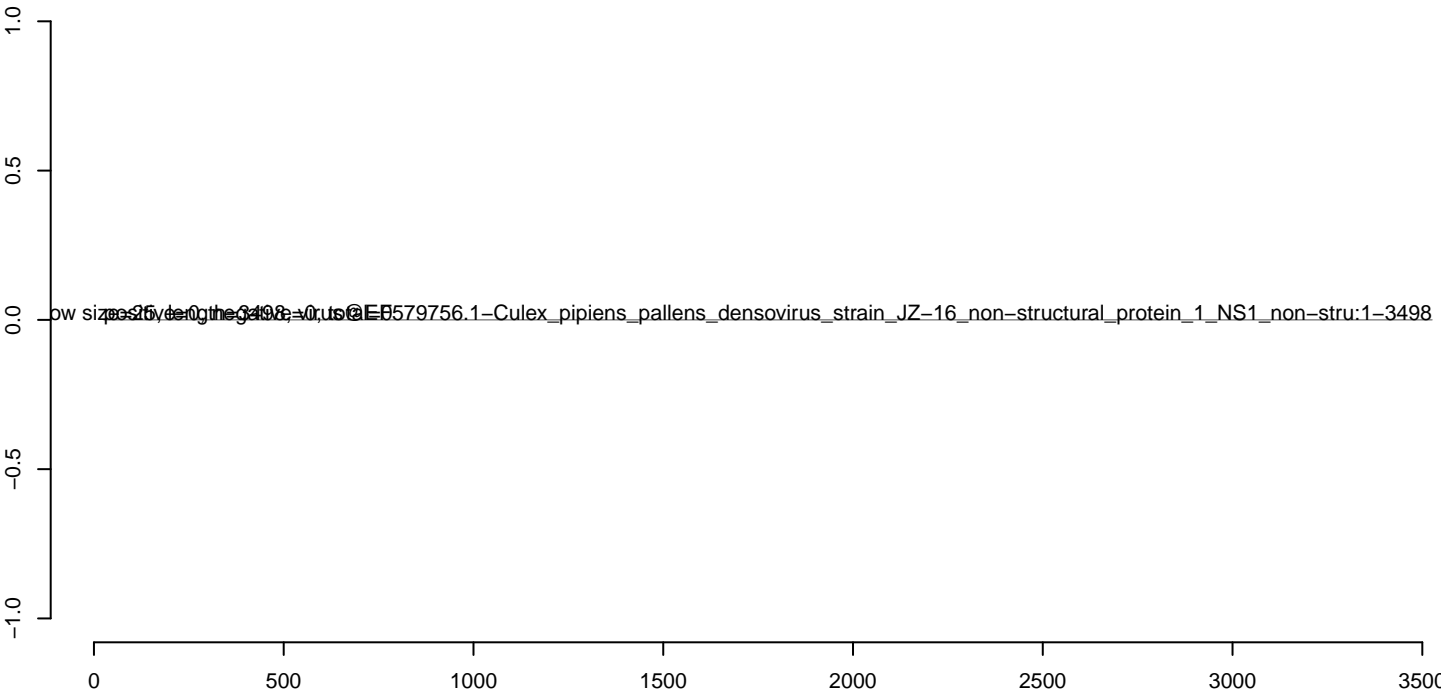
CuQuin_Mcarc_NL.18_23.rep



CuQuin_Mcarc_NL.24_35.rep



CuQuin_Mcarc_NL.rep



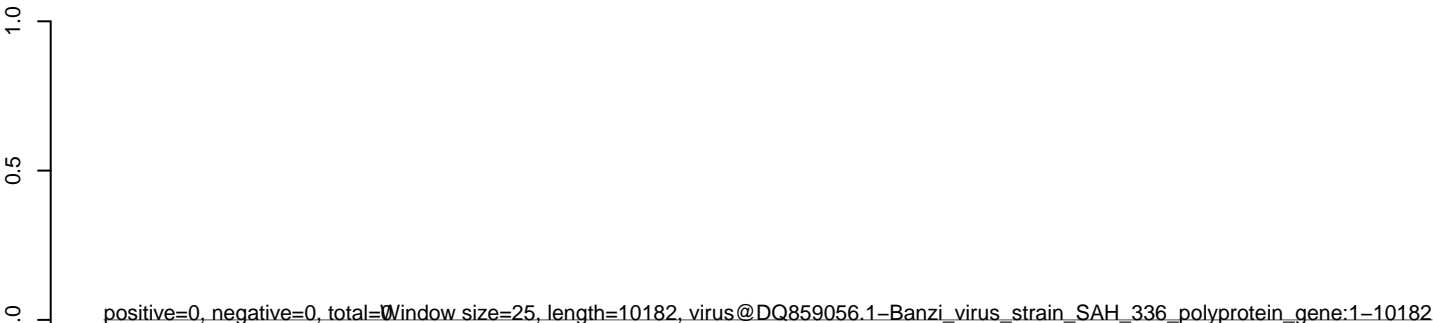
CuQuin_Mcarc_NL.18_23.rep



CuQuin_Mcarc_NL.24_35.rep



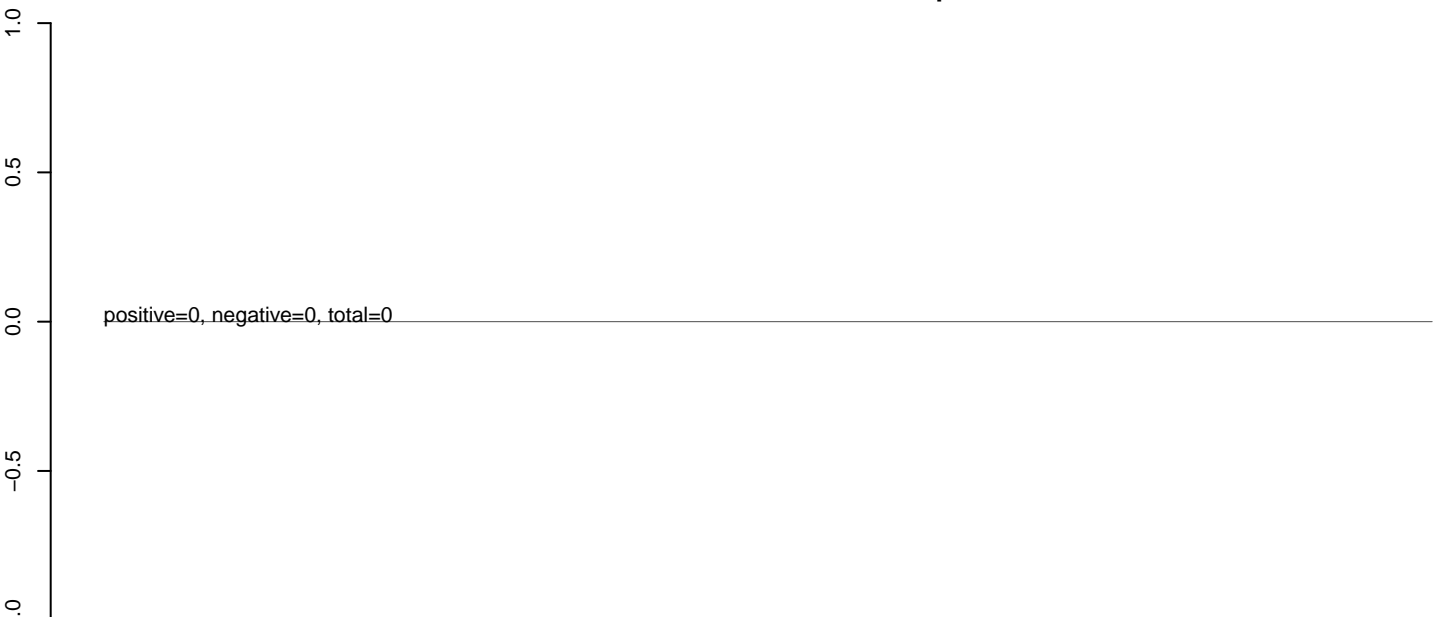
CuQuin_Mcarc_NL.rep



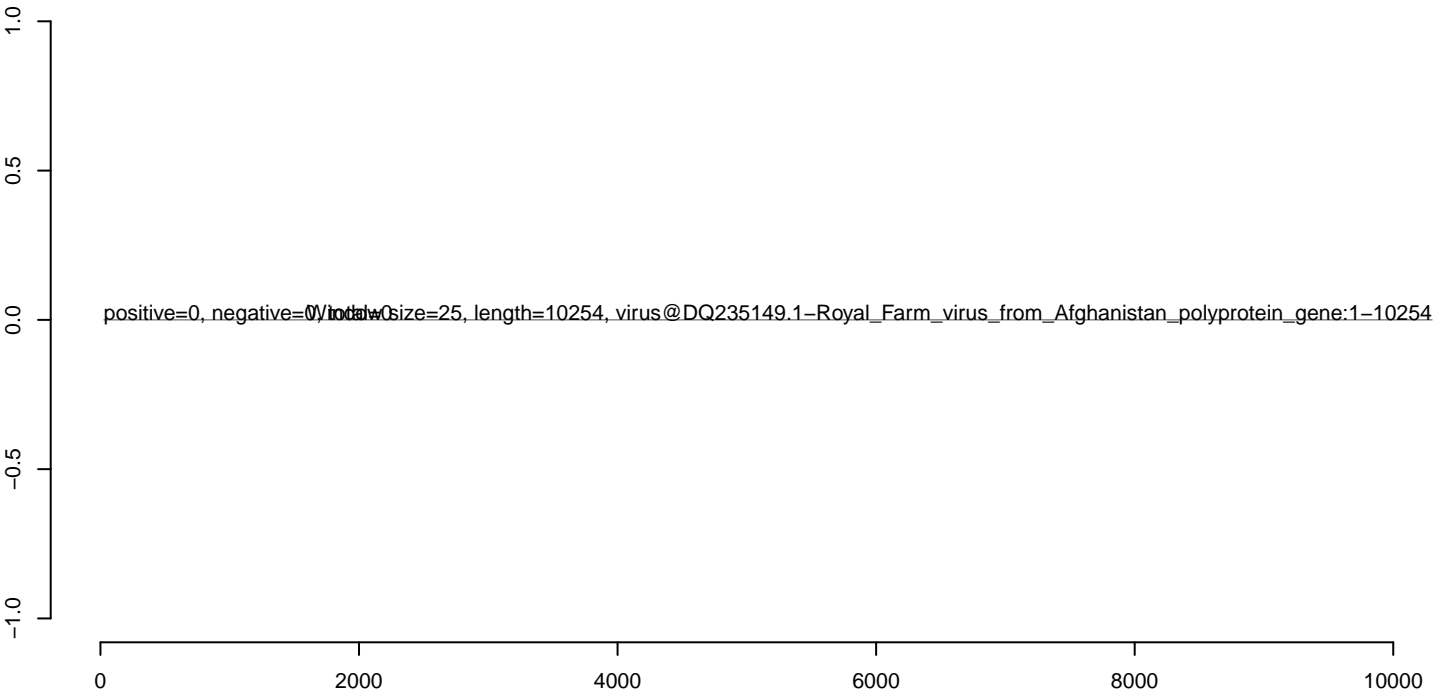
CuQuin_Mcarc_NL.18_23.rep



CuQuin_Mcarc_NL.24_35.rep



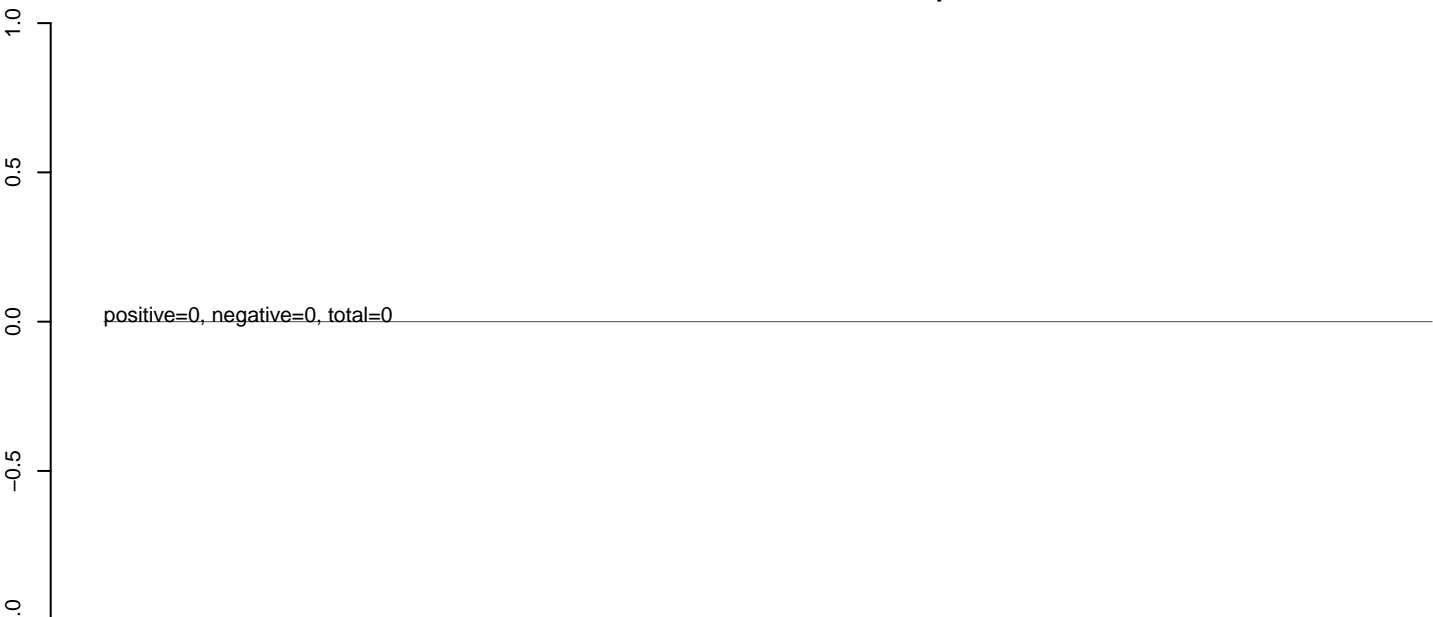
CuQuin_Mcarc_NL.rep



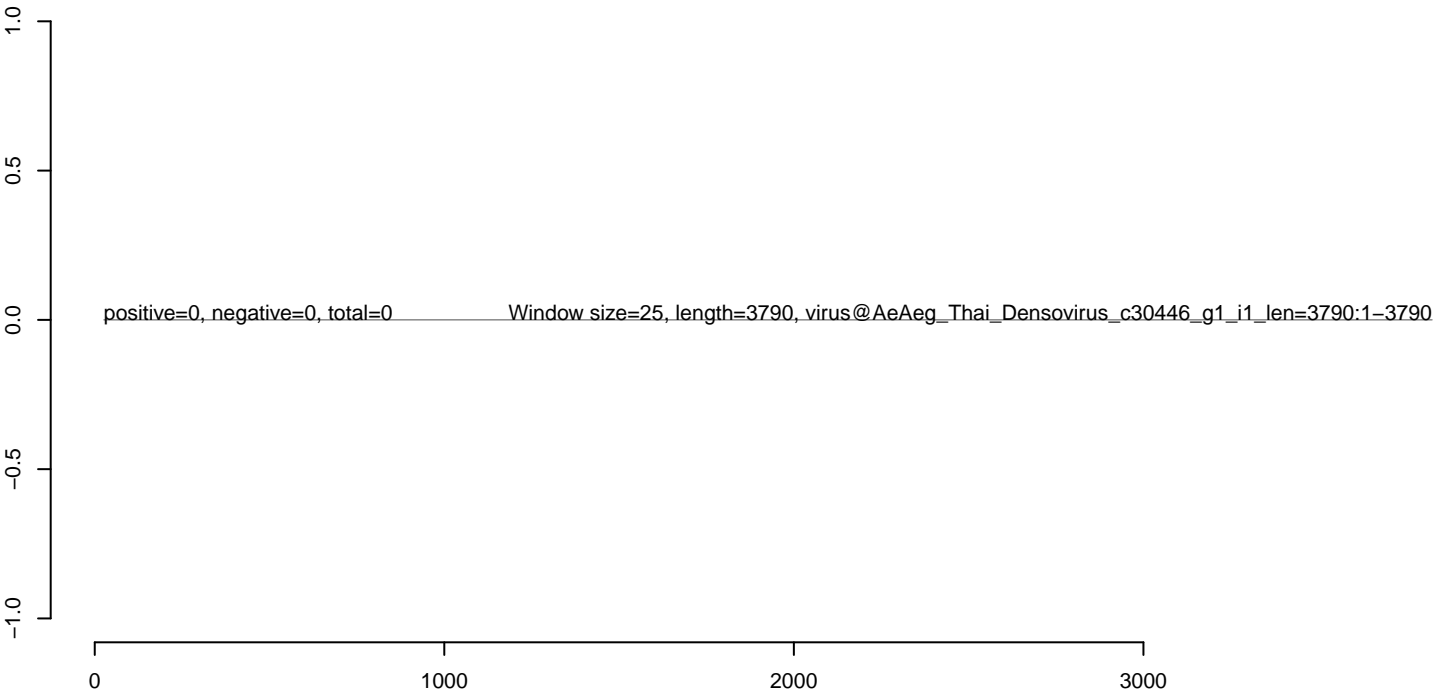
CuQuin_Mcarc_NL.18_23.rep



CuQuin_Mcarc_NL.24_35.rep



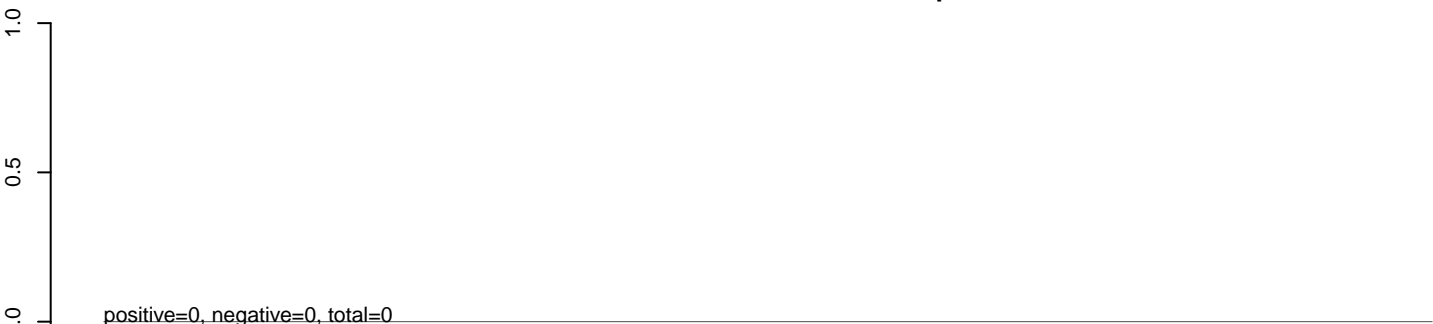
CuQuin_Mcarc_NL.rep



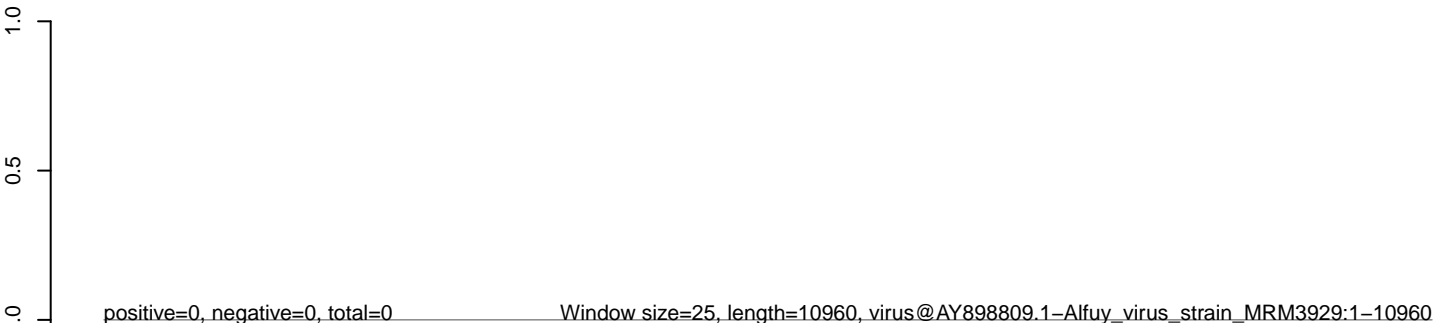
CuQuin_Mcarc_NL.18_23.rep



CuQuin_Mcarc_NL.24_35.rep



CuQuin_Mcarc_NL.rep



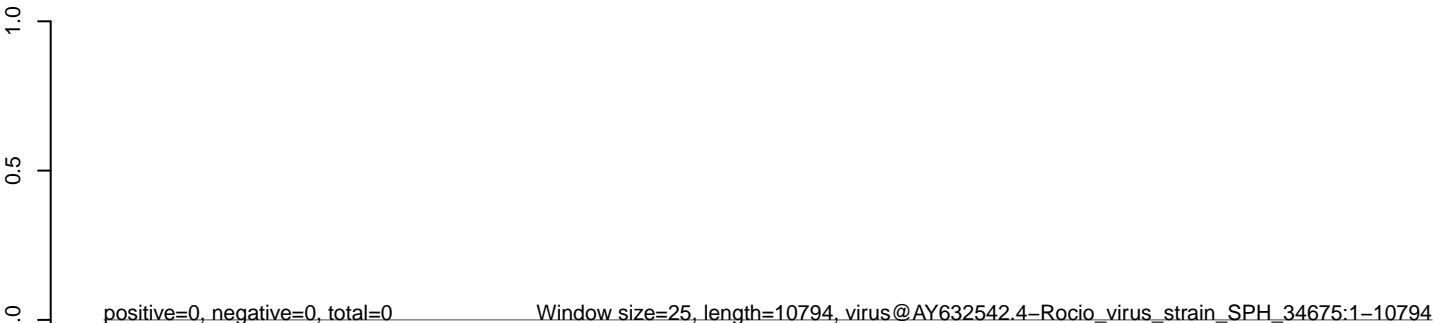
CuQuin_Mcarc_NL.18_23.rep



CuQuin_Mcarc_NL.24_35.rep



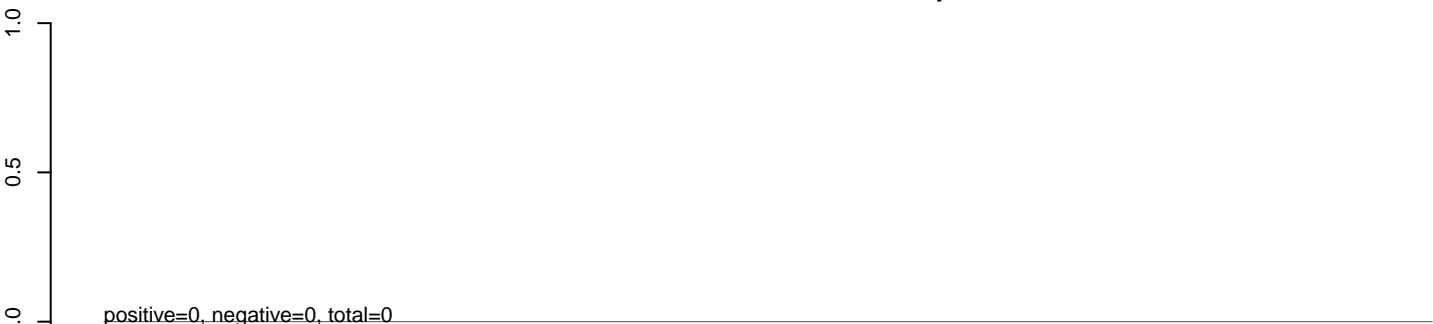
CuQuin_Mcarc_NL.rep



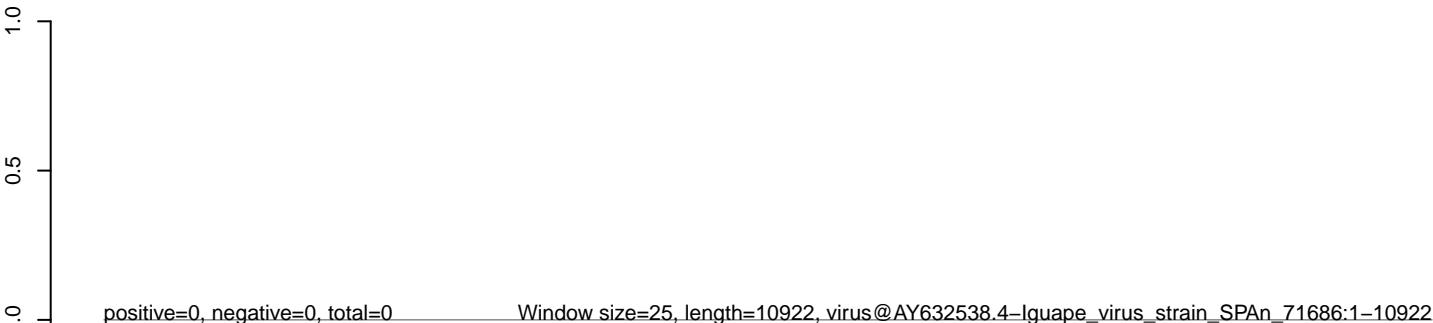
CuQuin_Mcarc_NL.18_23.rep



CuQuin_Mcarc_NL.24_35.rep



CuQuin_Mcarc_NL.rep



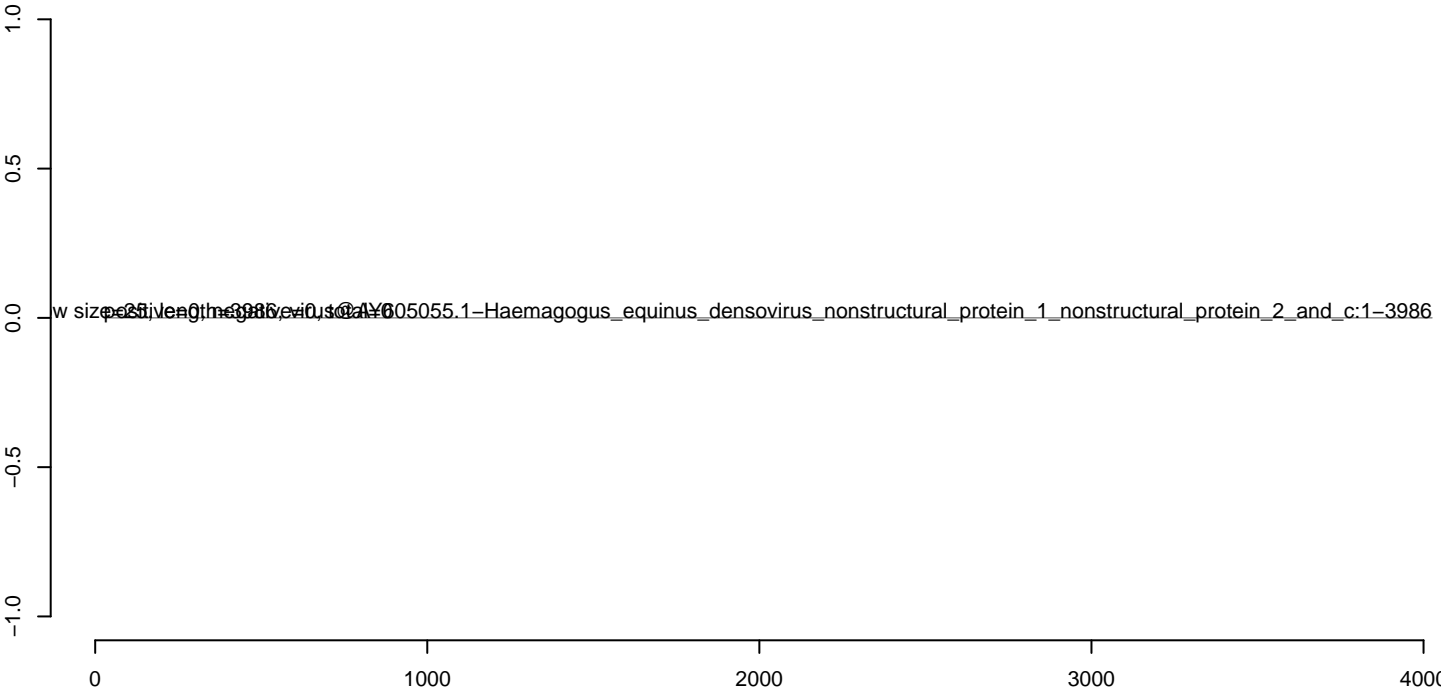
CuQuin_Mcarc_NL.18_23.rep



CuQuin_Mcarc_NL.24_35.rep



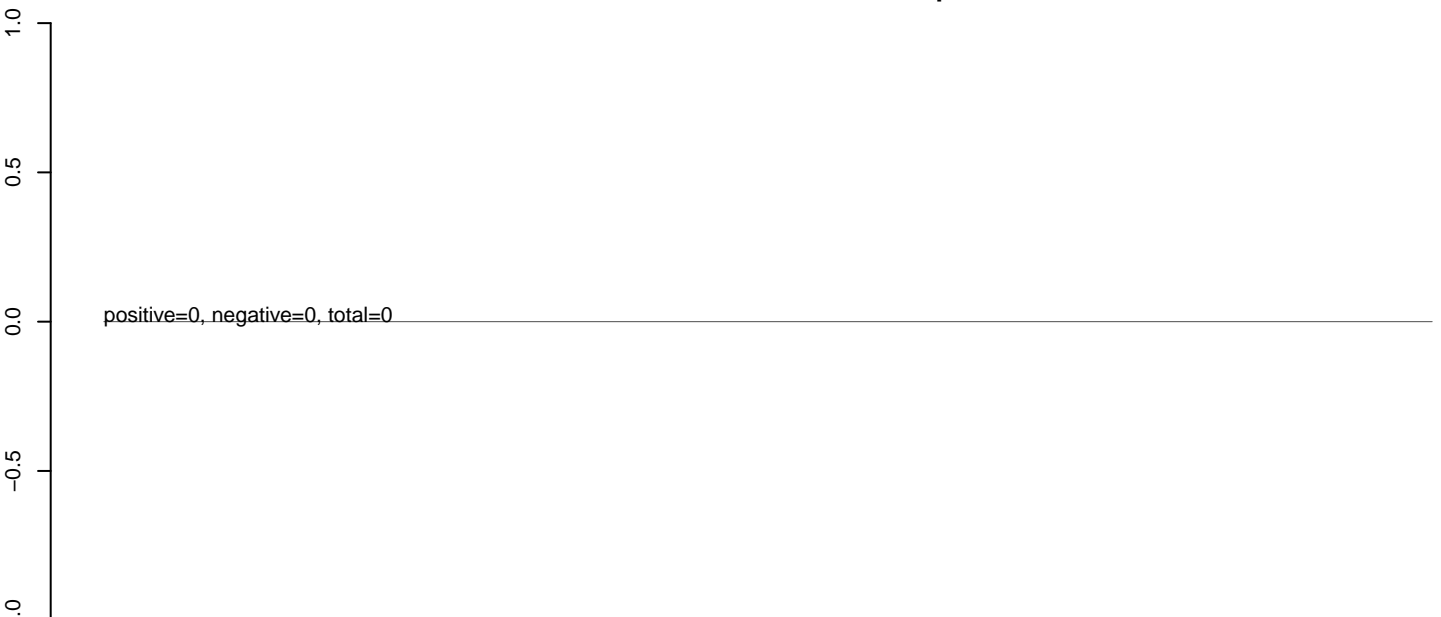
CuQuin_Mcarc_NL.rep



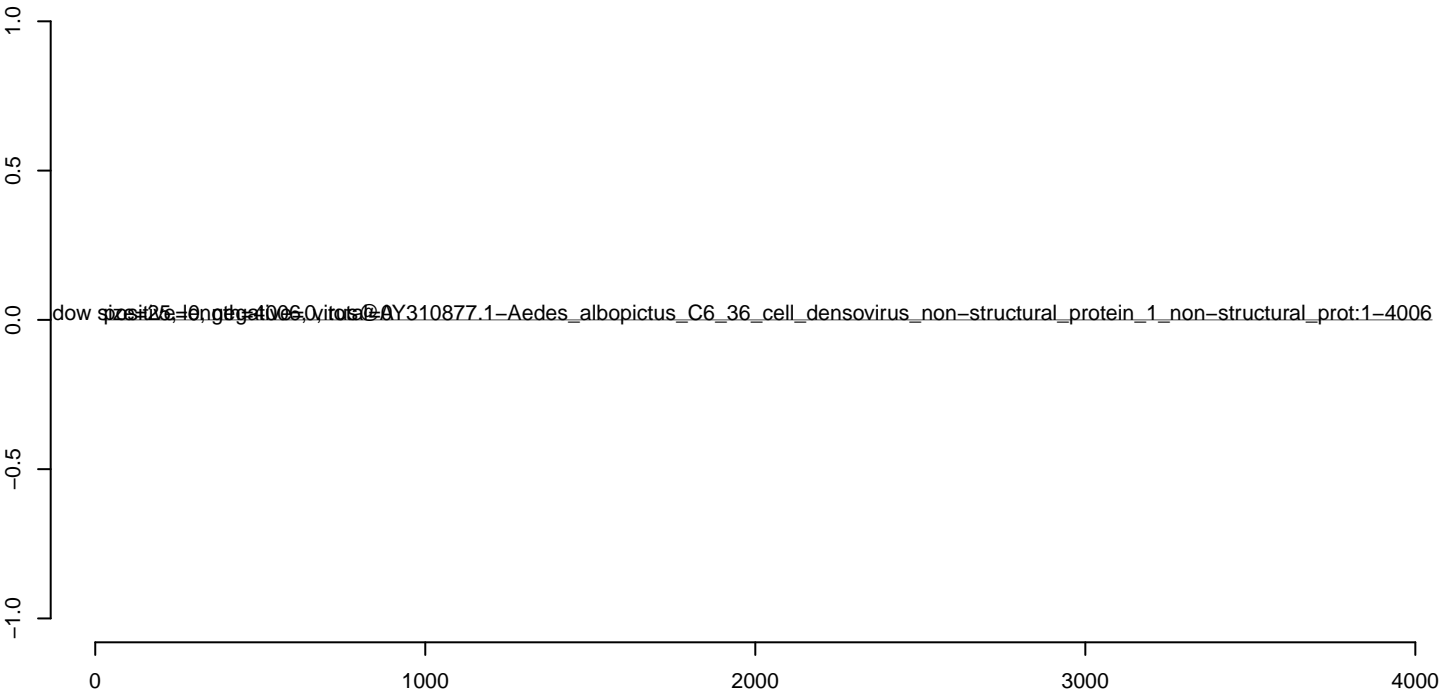
CuQuin_Mcarc_NL.18_23.rep



CuQuin_Mcarc_NL.24_35.rep



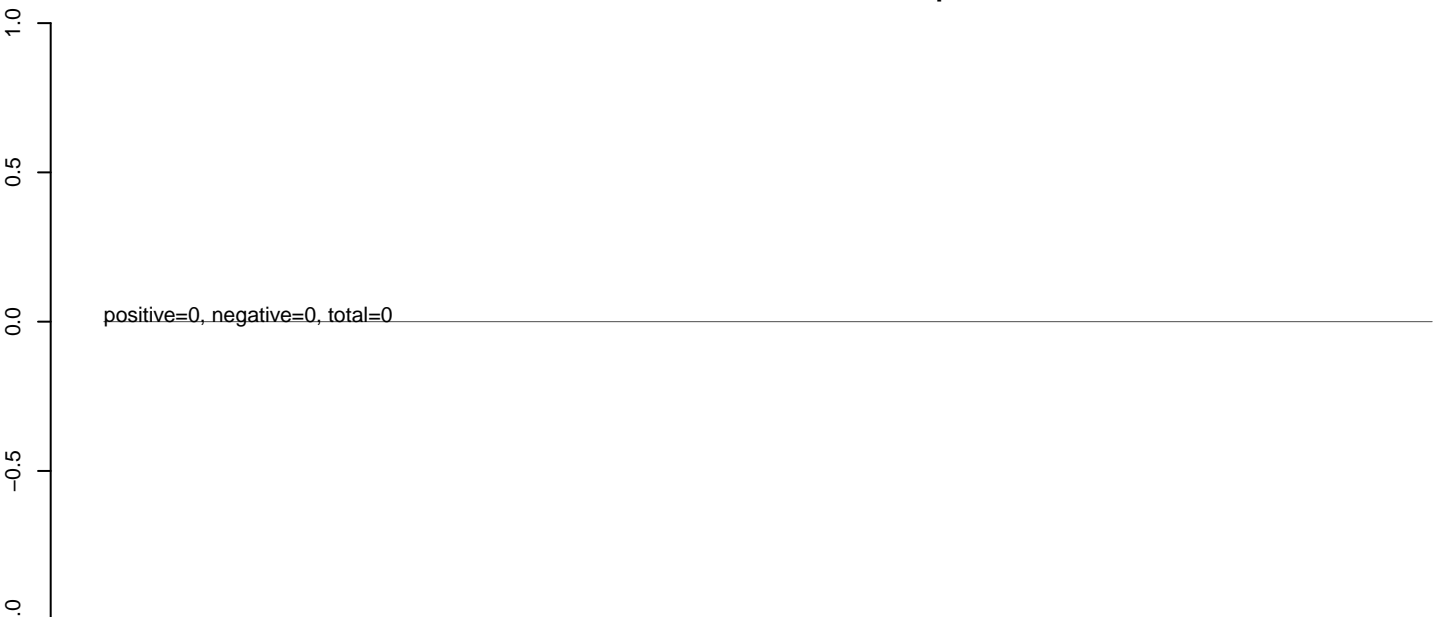
CuQuin_Mcarc_NL.rep



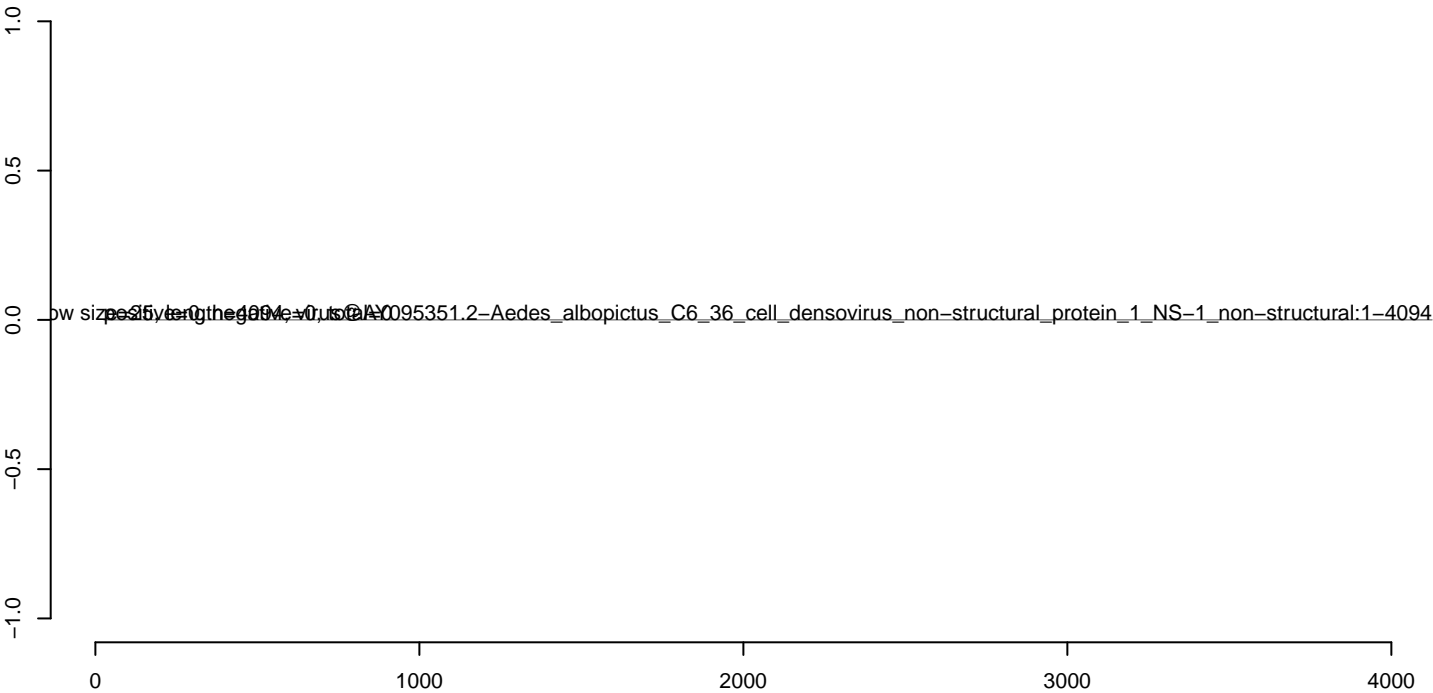
CuQuin_Mcarc_NL.18_23.rep



CuQuin_Mcarc_NL.24_35.rep



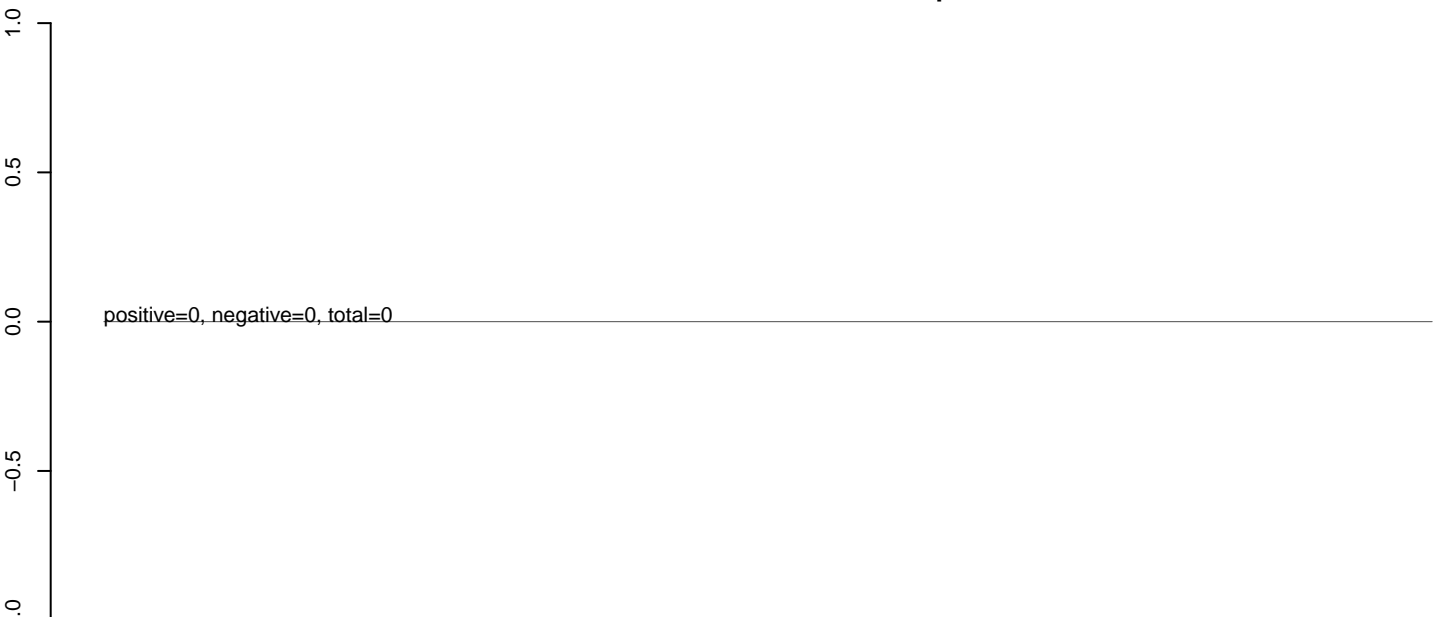
CuQuin_Mcarc_NL.rep



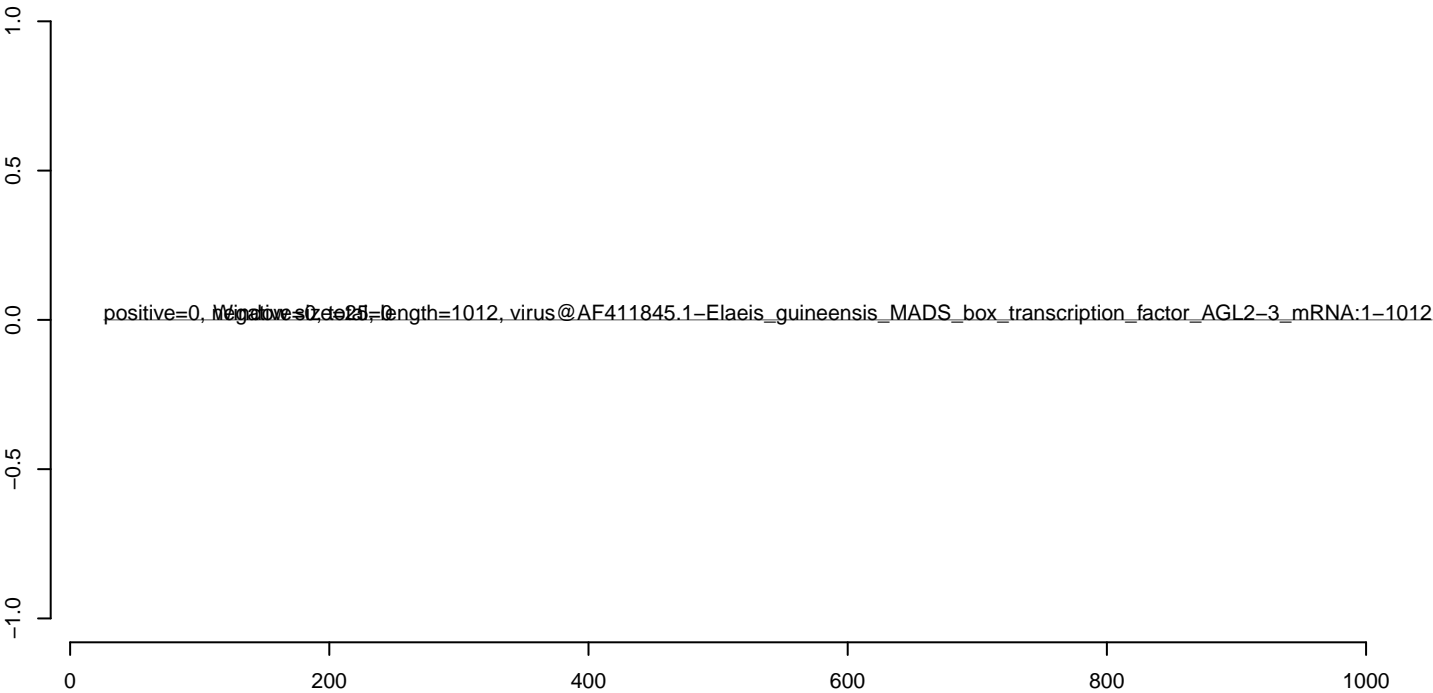
CuQuin_Mcarc_NL.18_23.rep



CuQuin_Mcarc_NL.24_35.rep



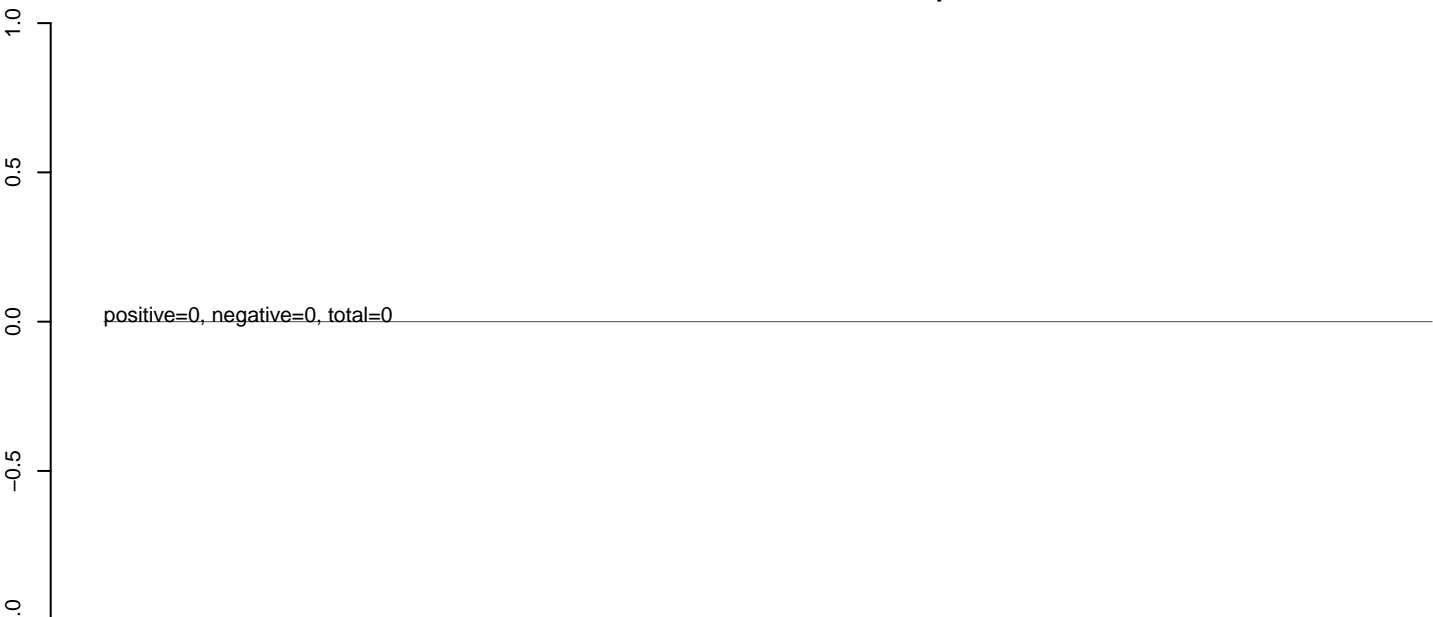
CuQuin_Mcarc_NL.rep



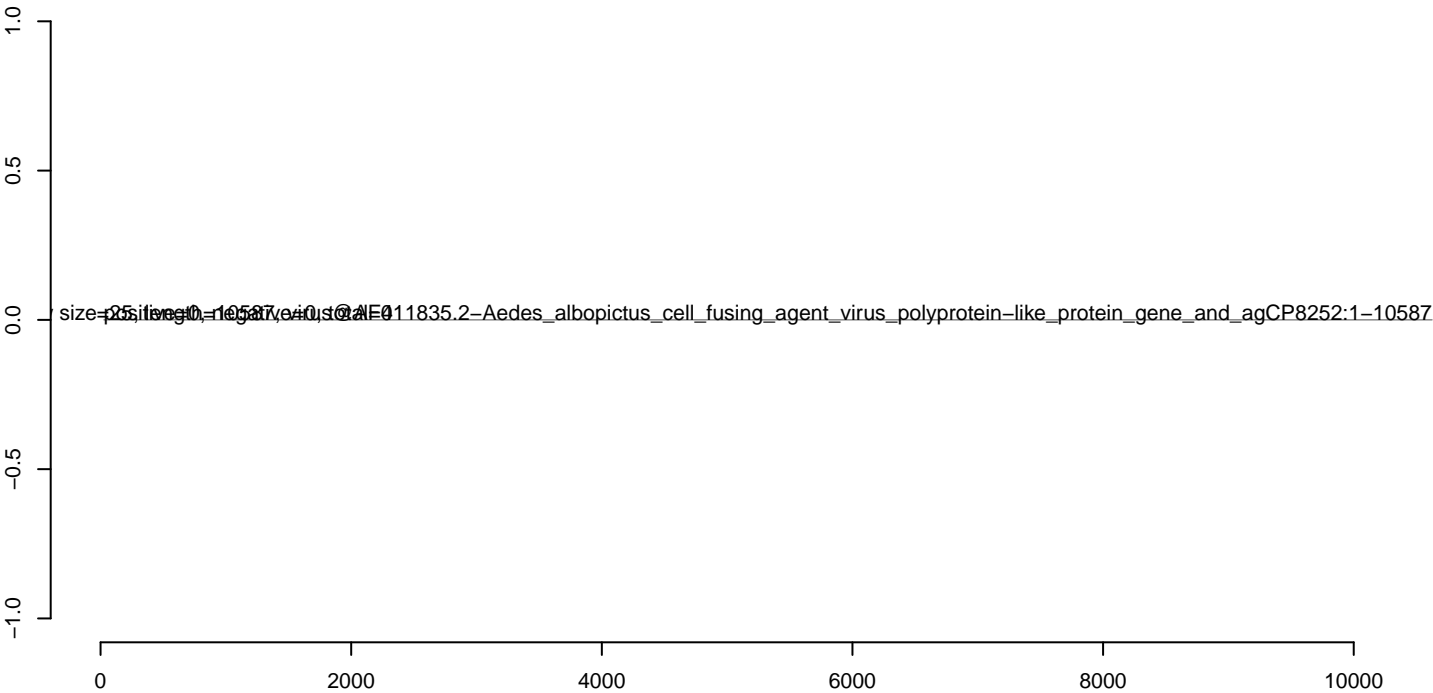
CuQuin_Mcarc_NL.18_23.rep



CuQuin_Mcarc_NL.24_35.rep



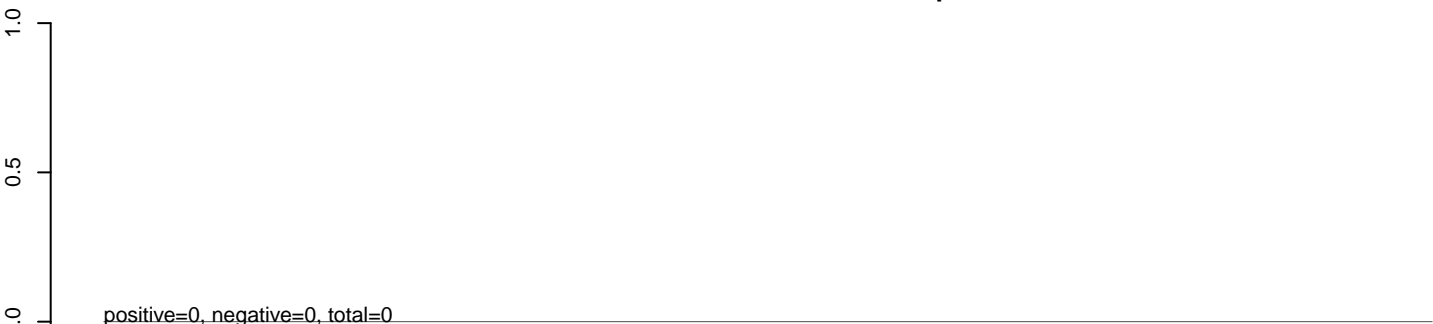
CuQuin_Mcarc_NL.rep



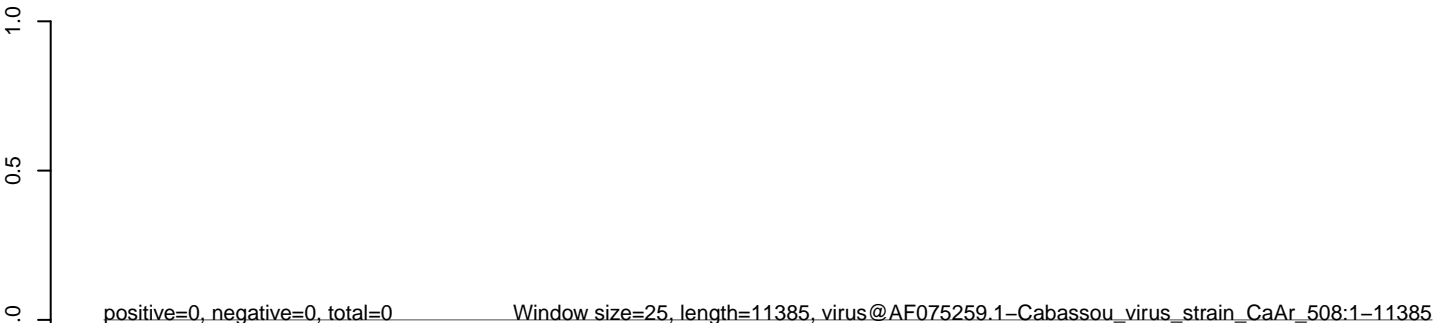
CuQuin_Mcarc_NL.18_23.rep



CuQuin_Mcarc_NL.24_35.rep



CuQuin_Mcarc_NL.rep

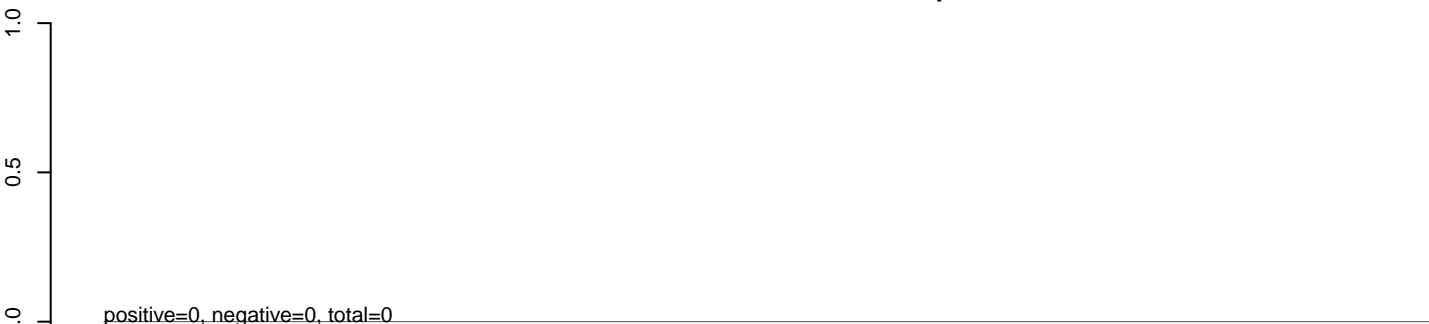


0 2000 4000 6000 8000 10000

CuQuin_Mcarc_NL.18_23.rep



CuQuin_Mcarc_NL.24_35.rep



CuQuin_Mcarc_NL.rep



0 2000 4000 6000 8000 10000

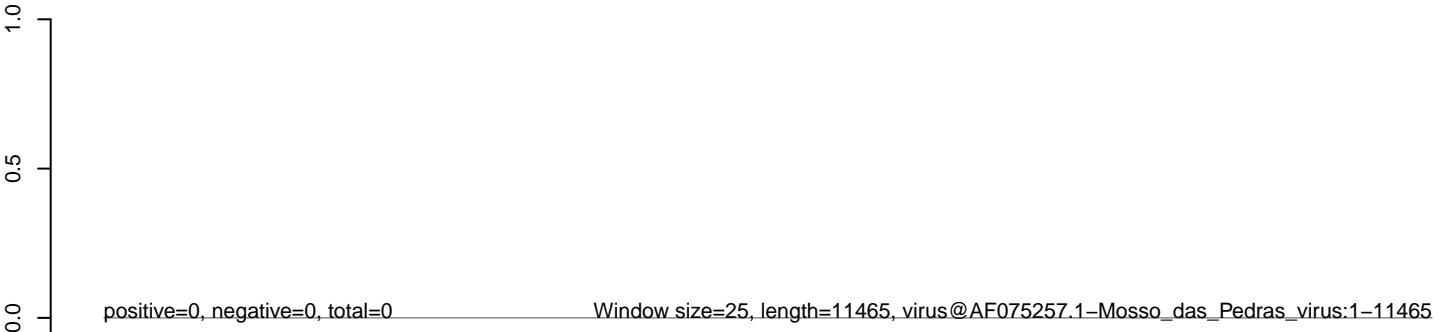
CuQuin_Mcarc_NL.18_23.rep



CuQuin_Mcarc_NL.24_35.rep



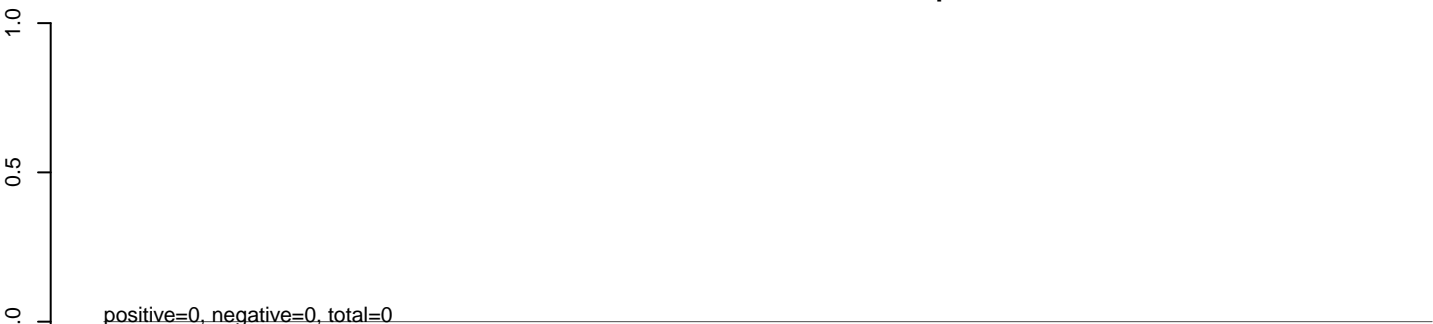
CuQuin_Mcarc_NL.rep



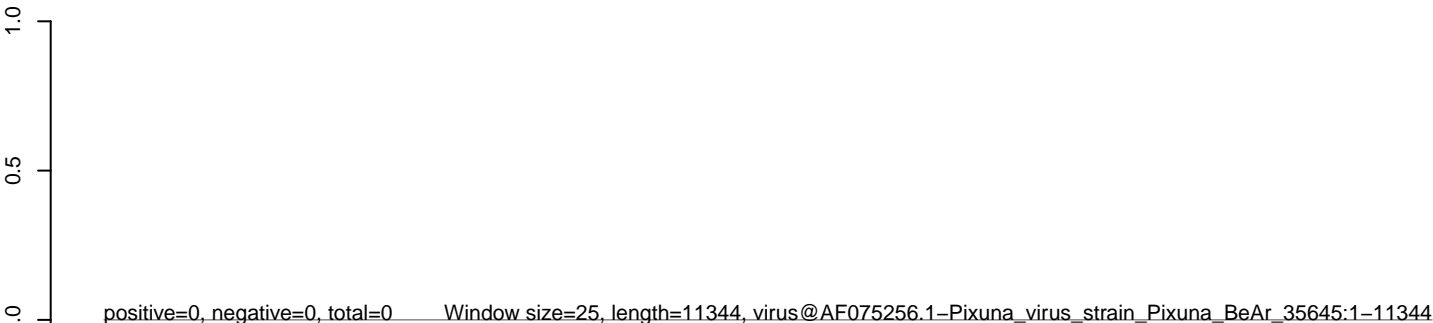
CuQuin_Mcarc_NL.18_23.rep



CuQuin_Mcarc_NL.24_35.rep



CuQuin_Mcarc_NL.rep



0 2000 4000 6000 8000 10000

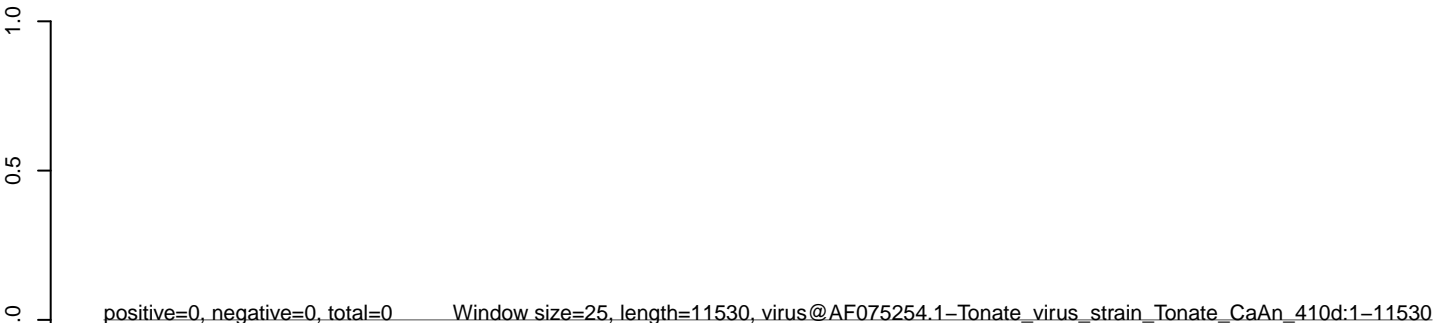
CuQuin_Mcarc_NL.18_23.rep



CuQuin_Mcarc_NL.24_35.rep



CuQuin_Mcarc_NL.rep

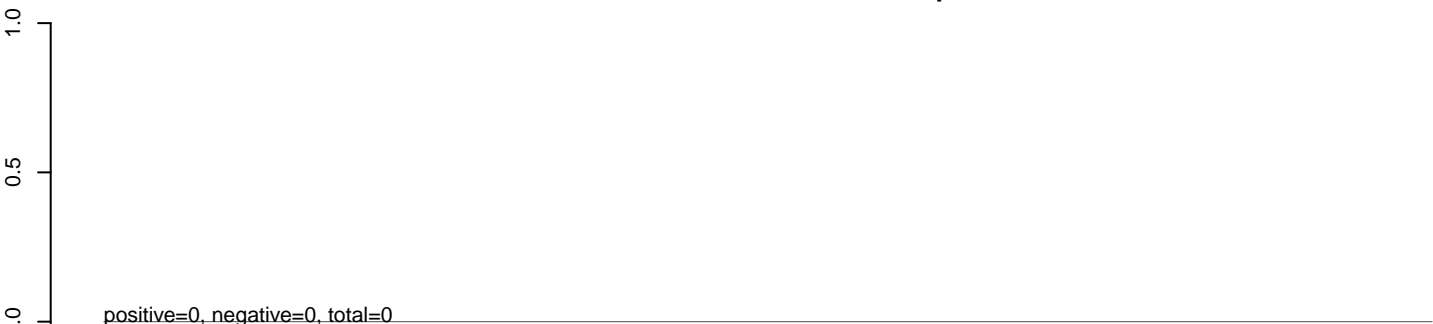


0 2000 4000 6000 8000 10000 12000

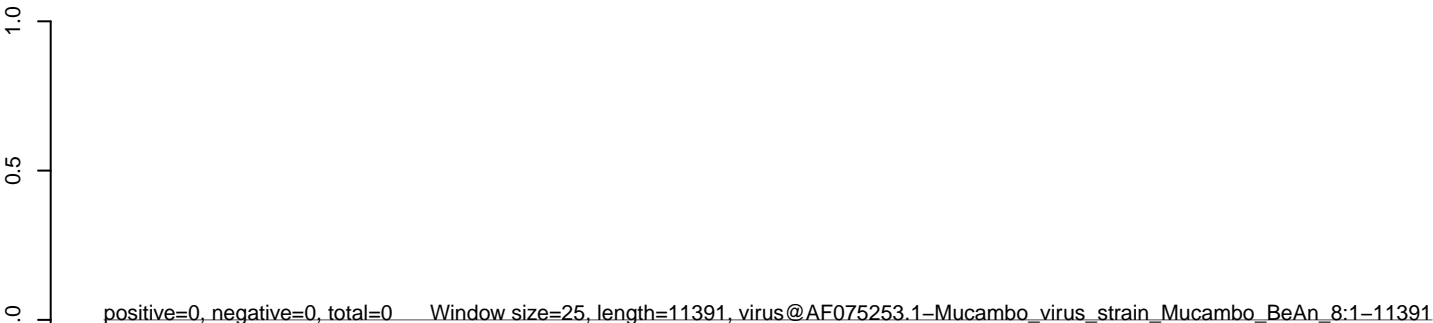
CuQuin_Mcarc_NL.18_23.rep



CuQuin_Mcarc_NL.24_35.rep



CuQuin_Mcarc_NL.rep



0 2000 4000 6000 8000 10000

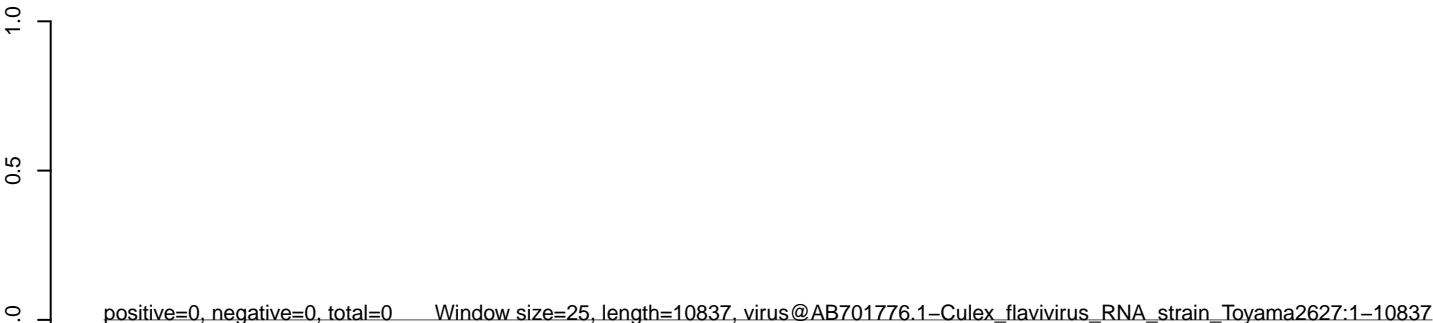
CuQuin_Mcarc_NL.18_23.rep



CuQuin_Mcarc_NL.24_35.rep



CuQuin_Mcarc_NL.rep

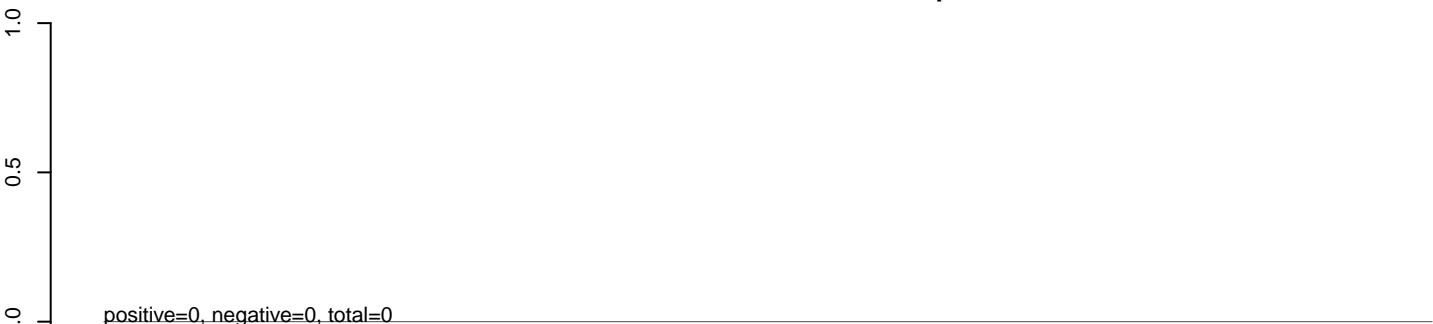


0 2000 4000 6000 8000 10000

CuQuin_Mcarc_NL.18_23.rep



CuQuin_Mcarc_NL.24_35.rep



CuQuin_Mcarc_NL.rep

